

Valutazione delle risorse idriche utilizzabili per obiettivi multipli attraverso la realizzazione di alcuni grandi invasi artificiali in Piemonte

APPENDICI

Bando sulla ricerca scientifica applicata
CIPE 2003

Gennaio 2007

**VALUTAZIONE DELLE RISORSE IDRICHE
UTILIZZABILI PER OBIETTIVI MULTIPLI
ATTRAVERSO LA REALIZZAZIONE
DI ALCUNI GRANDI INVASI ARTIFICIALI
IN PIEMONTE**

Progetto Finanziato dalla REGIONE PIEMONTE

APPENDICI
(Gennaio 2007)

Regione Piemonte
Direzione Risorse Idriche

Referente
Ing. Aldo LEO

Politecnico di Torino
*Dipartimento di Idraulica, Trasporti
ed Infrastrutture Civili (DITIC)*

*Responsabile della ricerca: Pierluigi
Claps*
*Co laboratore alla ricerca: Francesco
Laio*
Borsista:
Alberto Viglione

Appendice E

Tabelle fuori testo

E	Tabelle fuori testo	E1
E.1	Regionalizzazione del deflusso annuo	E3
E.2	Regionalizzazione dei regimi idrologici	E9
E.3	Regionalizzazione dei deflussi nei periodi critici dell'anno	E17

E.1 Regionalizzazione del deflusso annuo

E.2 Regionalizzazione dei regimi idrologici

Tabella E.2: Deflussi medi mensili [mm] tratti dalla Pubblicazione 17.

cod	gen	feb	mar	apr	mag	giu	lug	ago	set	ott	nov	dic
1	122	112	122	124	169	177	151	120	127	130	105	113
2	55	48	59	101	184	215	162	130	125	166	110	66
3	84	78	81	111	160	141	104	85	98	129	171	108
4	59	53	61	101	179	197	157	124	125	128	131	80
5	45	49	102	202	228	217	105	125	185	197	196	79
6	37	39	85	198	249	234	110	97	167	170	154	60
7	35	35	61	175	265	216	121	100	118	176	112	47
8	19	17	29	100	236	267	186	128	117	86	62	28
9	29	27	63	168	277	206	123	99	125	147	114	50
10	28	24	28	45	113	181	156	115	84	62	48	34
11	33	28	38	85	166	194	119	79	86	96	70	40
12	30	28	47	95	185	204	118	77	90	97	77	42
13	24	21	24	57	189	186	105	51	42	54	37	29
14	22	19	30	66	143	137	60	32	39	62	53	31
15	21	17	21	43	128	156	87	43	40	42	32	24
16	23	20	27	59	125	149	79	42	39	41	33	26
17	31	28	32	45	90	103	63	38	39	46	42	34
18	47	39	44	73	193	250	156	102	102	112	79	57
19	34	31	43	51	84	61	25	16	25	43	51	43
20	28	27	57	130	186	108	45	28	37	64	64	37
21	36	32	44	89	174	169	104	61	53	66	57	40
22	35	29	44	99	249	282	152	79	72	88	69	43
23	38	35	70	180	260	129	55	43	51	104	109	54
24	36	28	35	76	195	289	199	107	87	99	74	47
25	40	35	50	97	176	179	101	61	62	84	74	51
26	40	33	54	138	257	257	154	87	91	124	96	53
27	40	36	64	154	266	275	140	80	83	115	92	59
28	31	36	63	66	73	43	18	11	19	38	58	45
29	36	42	84	132	222	146	50	24	41	75	116	62
30	43	47	99	123	153	91	32	18	36	72	117	69
31	39	47	95	118	129	63	25	21	34	64	87	54
32	30	33	82	179	261	143	53	28	45	80	88	46
33	81	71	111	80	73	43	16	12	36	69	129	106
34	85	101	148	110	122	52	16	11	34	53	130	103
35	82	94	128	102	88	28	16	12	27	75	110	120
36	39	60	69	69	62	17	8	5	17	26	79	59
37	88	95	86	66	61	29	15	11	28	64	117	119
38	87	83	97	90	56	37	20	13	24	61	121	146
39	37	36	42	55	111	253	317	260	159	84	54	45
40	16	13	16	34	133	257	258	181	101	50	30	20
41	22	18	23	35	88	194	184	134	87	52	35	26
42	31	29	31	54	161	290	268	198	134	82	43	33
43	19	16	18	38	167	342	401	331	182	75	34	25
44	38	31	38	60	149	230	162	82	69	63	55	46
45	19	15	16	31	109	224	195	148	99	62	36	23
46	18	18	23	52	227	346	198	113	90	91	50	32
47	6	5	6	31	137	273	256	182	105	49	19	10

Tabella E.3: Afflussi medi mensili [mm] tratti dalla Pubblicazione 17.

cod	gen	feb	mar	apr	mag	giu	lug	ago	set	ott	nov	dic
1	63	86	81	129	137	152	103	150	138	153	171	95
2	58	58	93	154	167	160	103	147	149	174	168	88
3	68	69	87	138	181	139	86	77	104	142	162	103
4	51	46	64	115	195	194	145	120	129	132	132	73
5	50	83	119	186	193	236	159	216	257	264	267	83
6	57	60	114	204	245	224	150	169	216	219	193	85
7	56	71	85	178	236	213	143	152	219	254	139	57
8	51	52	96	133	263	122	103	114	146	142	162	75
9	58	43	106	195	252	169	131	150	194	185	168	81
10	53	56	60	92	99	89	67	85	86	94	104	64
11	44	50	69	154	166	140	82	105	128	133	129	63
12	49	53	86	149	184	141	72	92	138	136	129	67
13	29	54	76	93	70	87	52	80	89	122	139	75
14	38	42	72	118	149	107	48	74	107	137	104	62
15	44	35	64	89	155	71	46	70	105	88	89	54
16	57	51	68	78	90	66	44	67	92	91	83	62
17	47	40	60	79	108	67	44	66	91	96	85	58
18	45	52	93	141	188	134	68	88	120	156	108	78
19	38	40	73	106	133	92	48	62	91	107	99	63
20	52	56	95	120	152	102	59	76	96	133	116	78
21	79	71	97	91	126	76	48	82	97	126	125	94
22	92	93	136	130	155	91	59	83	119	150	176	114
23	98	97	132	121	144	90	80	78	104	179	138	103
24	89	82	122	115	139	81	53	90	108	143	147	104
25	66	68	106	126	124	86	49	71	111	166	138	107
26	69	67	136	168	114	102	68	58	114	221	170	105
27	79	81	132	182	125	107	74	82	100	172	194	140
28	55	63	86	97	108	68	45	56	83	117	135	84
29	71	72	107	107	138	101	63	68	111	136	201	106
30	68	68	105	108	127	89	56	58	107	149	194	104
31	57	68	94	110	120	90	57	71	88	136	142	87
32	83	82	125	125	167	93	66	85	109	155	161	115
33	94	87	121	116	116	86	46	72	125	167	213	146
34	88	75	109	113	131	63	39	43	121	154	173	116
35	79	79	83	104	117	52	43	37	99	200	191	116
36	61	74	64	96	87	43	59	45	98	114	137	95
37	82	87	75	93	103	69	46	62	124	148	183	148
38	100	124	114	138	92	67	69	63	106	182	236	170
39	82	83	62	81	111	83	53	108	105	88	115	70
40	46	42	57	63	122	76	44	100	102	131	83	74
41	79	76	53	76	85	85	56	85	94	88	102	73
42	54	53	65	135	153	113	85	100	118	118	133	64
43	105	98	92	82	90	111	112	135	132	104	130	123
44	110	107	98	117	103	112	79	101	94	113	130	119
45	48	65	43	99	118	135	79	116	82	100	124	75
46	40	58	61	140	124	132	70	113	98	132	144	67
47	58	56	60	82	102	92	72	98	104	116	70	77

Tabella E.4: Ampiezze e fasi della Serie di Fourier (Equazione 7.5) dei deflussi medi mensili adimensionalizzati ($d_i - \bar{d}$) per i bacini della Pubblicazione 17.

cod	A_1 [mm]	ϕ_1 [rad]	A_2 [mm]	ϕ_2 [rad]	R^2
1	24.257	-3.139	12.370	0.272	0.677
2	62.975	2.553	32.304	0.836	0.842
3	10.773	2.148	38.255	0.979	0.814
4	52.886	2.562	32.824	0.697	0.924
5	50.490	2.591	72.042	1.549	0.903
6	62.540	2.880	71.265	1.418	0.886
7	69.313	2.946	65.571	1.294	0.863
8	103.358	2.866	43.682	0.459	0.922
9	71.845	2.975	64.882	1.260	0.890
10	65.844	2.666	26.628	-0.303	0.946
11	57.571	2.858	35.088	0.708	0.857
12	60.588	2.928	40.032	0.811	0.864
13	62.555	3.126	43.811	0.465	0.820
14	37.590	-3.101	37.048	0.839	0.824
15	47.824	3.052	32.071	0.354	0.828
16	45.197	-3.132	29.623	0.476	0.861
17	23.839	3.082	19.059	0.497	0.817
18	70.552	2.795	42.504	0.394	0.802
19	11.446	-2.110	20.584	1.040	0.839
20	43.191	-2.621	47.911	1.260	0.895
21	52.564	-3.109	36.385	0.652	0.901
22	87.930	3.084	60.477	0.525	0.851
23	49.971	-2.637	72.031	1.309	0.849
24	90.098	2.839	52.922	0.203	0.867
25	48.113	3.132	40.432	0.765	0.886
26	79.764	3.041	59.909	0.811	0.897
27	82.497	-3.114	64.894	0.827	0.899
28	17.318	-1.583	20.352	1.402	0.934
29	43.052	-2.503	62.574	1.135	0.888
30	27.515	-1.908	48.240	1.335	0.927
31	27.531	-1.861	38.397	1.558	0.944
32	62.197	-2.569	69.801	1.285	0.901
33	39.587	-0.631	25.381	1.336	0.841
34	50.521	-1.112	29.225	1.502	0.818
35	48.752	-0.838	24.682	1.574	0.892
36	28.246	-1.014	17.910	1.534	0.778
37	46.782	-0.526	17.113	0.988	0.933
38	48.580	-0.580	22.484	0.931	0.844
39	124.407	2.499	55.053	-1.136	0.971
40	114.598	2.668	51.097	-0.674	0.970
41	77.742	2.617	33.522	-0.691	0.942
42	119.502	2.658	46.527	-0.615	0.957
43	179.943	2.560	77.309	-1.008	0.989
44	67.915	2.912	42.215	0.048	0.864
45	90.547	2.608	36.577	-0.581	0.937
46	112.803	2.865	63.300	0.167	0.808
47	123.452	2.674	51.447	-0.640	0.965

Tabella E.5: Ampiezze e fasi della Serie di Fourier (Equazione 7.5) degli afflussi medi mensili adimensionalizzati ($a_i - \bar{a}$) per i bacini della Pubblicazione 17.

cod	A_1 [mm]	ϕ_1 [rad]	A_2 [mm]	ϕ_2 [rad]	R^2
1	31.503	2.021	27.154	1.534	0.686
2	37.630	2.266	42.919	1.619	0.899
3	12.505	2.775	48.799	1.271	0.927
4	54.485	2.633	37.398	0.958	0.927
5	77.168	2.044	60.234	1.843	0.829
6	64.534	2.506	61.479	1.637	0.945
7	68.968	2.447	56.940	1.791	0.789
8	37.269	2.742	54.994	1.498	0.609
9	54.648	2.609	60.568	1.659	0.897
10	12.942	2.209	18.494	1.526	0.796
11	33.456	2.683	43.452	1.588	0.883
12	29.579	2.806	47.977	1.619	0.868
13	18.432	1.302	30.649	1.748	0.682
14	19.458	2.585	44.379	1.669	0.877
15	16.909	2.753	32.758	1.663	0.531
16	6.519	1.579	18.878	1.918	0.759
17	10.543	2.080	25.017	1.735	0.766
18	26.907	2.874	49.138	1.622	0.859
19	13.636	2.819	37.116	1.604	0.924
20	11.079	2.913	40.194	1.629	0.906
21	10.141	0.403	27.339	1.693	0.705
22	14.328	-0.168	41.453	1.720	0.837
23	10.367	-0.100	34.108	1.820	0.659
24	11.863	0.045	34.071	1.798	0.796
25	12.976	0.551	44.128	1.765	0.959
26	15.680	0.482	61.169	1.817	0.798
27	15.319	-0.085	51.544	1.595	0.810
28	10.631	0.266	34.411	1.629	0.911
29	16.425	0.570	44.816	1.444	0.730
30	20.438	0.477	47.385	1.529	0.839
31	6.803	0.830	36.840	1.614	0.897
32	7.507	0.024	42.186	1.614	0.818
33	37.762	0.267	45.178	1.573	0.913
34	28.183	0.097	47.285	1.670	0.920
35	40.411	0.344	54.003	1.599	0.886
36	21.653	0.382	28.280	1.668	0.778
37	39.989	0.416	36.429	1.433	0.921
38	51.484	0.110	42.194	1.523	0.821
39	9.764	1.458	10.210	1.793	-0.081
40	22.790	1.785	24.601	1.772	0.513
41	10.192	1.165	8.095	1.374	0.193
42	25.168	2.548	35.656	1.554	0.818
43	19.879	1.290	7.097	-1.108	0.682
44	10.008	-0.247	10.837	1.074	0.515
45	24.657	2.376	23.326	0.967	0.555
46	24.499	2.368	37.404	1.537	0.686
47	19.455	2.099	12.853	1.833	0.612

Tabella E.6: Parametri della Serie di Fourier (Equazione 7.5) dei deflussi medi mensili adimensionalizzati ($d_i - \bar{d}$) per i bacini della Pubblicazione 17.

cod	B_1 [mm]	C_1 [rad]	B_2 [mm]	C_2 [rad]	R^2
1	-24.257	0.063	11.917	-3.320	0.677
2	-52.375	-34.968	21.667	-23.960	0.842
3	-5.882	-9.025	21.333	-31.754	0.814
4	-44.240	-28.978	25.167	-21.073	0.924
5	-43.029	-26.415	1.583	-72.024	0.903
6	-60.415	-16.163	10.833	-70.437	0.886
7	-67.997	-13.443	17.917	-63.076	0.863
8	-99.469	-28.084	39.167	-19.341	0.922
9	-70.845	-11.945	19.833	-61.776	0.890
10	-58.524	-30.172	25.417	7.939	0.946
11	-55.269	-16.116	26.667	-22.805	0.857
12	-59.207	-12.861	27.583	-29.012	0.864
13	-62.547	-0.980	39.167	-19.630	0.820
14	-37.559	1.534	24.750	-27.568	0.824
15	-47.633	-4.275	30.083	-11.114	0.828
16	-45.195	0.423	26.333	-13.568	0.861
17	-23.797	-1.421	16.750	-9.093	0.817
18	-66.354	-23.972	39.250	-16.310	0.802
19	-5.881	9.820	10.417	-17.754	0.839
20	-37.480	21.465	14.667	-45.611	0.895
21	-52.536	1.717	28.917	-22.084	0.901
22	-87.785	-5.046	52.333	-30.311	0.851
23	-43.749	24.148	18.667	-69.571	0.849
24	-85.992	-26.889	51.833	-10.681	0.867
25	-48.110	-0.460	29.167	-28.001	0.886
26	-79.359	-8.024	41.250	-43.446	0.897
27	-82.465	2.278	43.917	-47.776	0.899
28	-0.205	17.317	3.417	-20.063	0.934
29	-34.571	25.659	26.417	-56.725	0.888
30	-9.108	25.964	11.250	-46.910	0.927
31	-7.875	26.380	0.500	-38.394	0.944
32	-52.290	33.678	19.667	-66.973	0.901
33	31.965	23.354	5.917	-24.682	0.841
34	22.364	45.301	2.000	-29.156	0.818
35	32.618	36.233	-0.083	-24.682	0.892
36	14.928	23.978	0.667	-17.898	0.778
37	40.453	23.496	9.417	-14.289	0.933
38	40.636	26.623	13.417	-18.042	0.844
39	-99.558	-74.601	23.167	49.941	0.971
40	-101.963	-52.308	39.917	31.899	0.970
41	-67.283	-38.947	25.833	21.362	0.942
42	-105.823	-55.518	38.000	26.847	0.957
43	-150.334	-98.890	41.250	65.385	0.989
44	-66.132	-15.461	42.167	-2.021	0.864
45	-77.940	-46.088	30.583	20.063	0.937
46	-108.529	-30.758	62.417	-10.537	0.808
47	-110.200	-55.646	41.250	30.744	0.965

Tabella E.7: Parametri della Serie di Fourier (Equazione 7.5) degli afflussi medi mensili adimensionalizzati ($a_i - \bar{a}$) per i bacini della Pubblicazione 17.

cod	B_1 [mm]	C_1 [rad]	B_2 [mm]	C_2 [rad]	R^2
1	-13.699	-28.368	1.000	-27.135	0.686
2	-24.101	-28.899	-2.083	-42.868	0.899
3	-11.674	-4.482	14.417	-46.621	0.927
4	-47.578	-26.551	21.500	-30.600	0.927
5	-35.135	-68.705	-16.167	-58.024	0.829
6	-51.929	-38.315	-4.083	-61.343	0.945
7	-52.975	-44.161	-12.417	-55.570	0.789
8	-34.334	-14.498	4.000	-54.848	0.609
9	-47.078	-27.751	-5.333	-60.333	0.897
10	-7.716	-10.391	0.833	-18.475	0.796
11	-29.992	-14.824	-0.750	-43.446	0.883
12	-27.925	-9.753	-2.333	-47.920	0.868
13	4.890	-17.772	-5.417	-30.167	0.682
14	-16.522	-10.278	-4.333	-44.167	0.877
15	-15.648	-6.407	-3.000	-32.620	0.531
16	-0.051	-6.519	-6.417	-17.754	0.759
17	-5.137	-9.207	-4.083	-24.682	0.766
18	-25.950	-7.111	-2.500	-49.075	0.859
19	-12.934	-4.320	-1.250	-37.095	0.924
20	-10.790	-2.513	-2.333	-40.126	0.906
21	9.330	-3.973	-3.333	-27.135	0.705
22	14.128	2.390	-6.167	-40.992	0.837
23	10.315	1.038	-8.417	-33.053	0.659
24	11.851	-0.529	-7.667	-33.198	0.796
25	11.058	-6.790	-8.500	-43.301	0.959
26	13.894	-7.268	-14.917	-59.323	0.798
27	15.264	1.299	-1.250	-51.529	0.810
28	10.257	-2.793	-2.000	-34.352	0.911
29	13.831	-8.858	5.667	-44.456	0.730
30	18.153	-9.391	2.000	-47.343	0.839
31	4.592	-5.019	-1.583	-36.806	0.897
32	7.504	-0.180	-1.833	-42.147	0.818
33	36.429	-9.946	-0.083	-45.178	0.913
34	28.051	-2.716	-4.667	-47.054	0.920
35	38.044	-13.628	-1.500	-53.982	0.886
36	20.089	-8.079	-2.750	-28.146	0.778
37	36.576	-16.163	5.000	-36.084	0.921
38	51.176	-5.630	2.000	-42.147	0.821
39	1.096	-9.702	-2.250	-9.959	-0.081
40	-4.840	-22.270	-4.917	-24.104	0.513
41	4.024	-9.364	1.583	-7.939	0.193
42	-20.861	-14.080	0.583	-35.651	0.818
43	5.513	-19.099	3.167	6.351	0.682
44	9.705	2.443	5.167	-9.526	0.515
45	-17.775	-17.089	13.250	-19.197	0.555
46	-17.527	-17.117	1.250	-37.383	0.686
47	-9.806	-16.803	-3.333	-12.413	0.612

Tabella E.8: RMSE dei regimi idrologici stimati con Fourier sui dati misurati e con le due formulazioni del Paragrafo 7.2.2 per i bacini della Pubblicazione 17.

	Fourier	Eq. 7.9	Eq. 7.10
1	10.09	58.83	62.73
2	17.19	19.03	18.63
3	10.58	21.10	27.16
4	10.17	18.49	15.02
5	16.34	21.74	21.42
6	19.19	23.93	26.72
7	21.35	25.76	30.08
8	18.61	26.15	26.64
9	19.21	28.68	30.04
10	9.69	13.06	12.65
11	15.49	18.51	18.20
12	16.24	18.67	21.22
13	19.97	31.77	32.42
14	13.63	18.16	19.22
15	14.68	22.69	22.59
16	12.19	23.97	23.23
17	8.05	17.16	13.90
18	22.68	25.39	28.53
19	5.77	11.52	12.31
20	12.53	17.41	23.86
21	12.05	16.85	17.91
22	25.06	27.09	26.45
23	20.72	26.71	29.13
24	23.08	26.81	26.16
25	12.73	13.24	13.02
26	19.11	20.30	20.27
27	19.96	23.53	24.75
28	4.06	11.25	13.68
29	15.27	18.11	21.88
30	8.90	9.64	10.53
31	6.56	14.72	14.33
32	17.58	26.87	32.59
33	11.45	23.49	30.77
34	15.35	23.00	23.95
35	10.75	17.63	23.35
36	9.85	25.43	14.77
37	7.64	26.91	29.18
38	12.91	34.42	42.58
39	13.45	33.98	34.34
40	12.75	18.40	18.87
41	11.98	13.71	13.00
42	15.54	18.85	19.15
43	11.79	65.17	60.51
44	17.82	29.14	31.97
45	14.42	20.75	20.74
46	35.04	45.37	43.23
47	14.61	18.10	17.29
	14.77	23.65	24.70

E.3 Regionalizzazione dei deflussi nei periodi critici dell'anno

Tabella E.9: Serie storica dei deflussi mensili [mm] estratte dalla Pubblicazione 17. (1/37
Toce a Cadarese)

1		Gen	Feb	Mar	Apr	Mag	Giu	Lug	Ago	Set	Ott	Nov	Dic
1	1956	88.4	104.0	64.1	59.9	155.1	148.7	185.9	143.7	223.8	123.2	102.4	94.3
2	1957	114.5	93.2	112.3	56.1	94.4	226.6	131.7	89.1	100.1	111.5	87.5	92.1
3	1958	90.2	75.5	113.4	105.2	212.2	161.5	168.3	174.2	161.5	204.9	97.9	134.2
4	1959	190.3	158.6	150.8	138.8	136.7	124.5	77.3	70.7	61.6	153.7	90.9	113.3
5	1960	99.8	115.7	128.5	181.3	216.6	239.4	206.4	172.7	204.0	171.2	87.2	95.1
6	1961	111.4	96.9	124.1	139.5	135.8	160.1	168.3	146.4	115.7	117.2	80.2	73.9
7	1962	153.7	125.6	112.8	122.1	149.3	139.9	68.6	49.6	54.8	89.1	105.2	96.6
8	1963	96.6	92.4	95.7	116.0	159.5	188.4	166.9	123.2	144.5	120.2	120.5	99.2
9	1964	132.2	104.0	102.3	125.5	178.6	191.2	115.2	96.0	93.1	69.5	55.8	74.9
10	1965	92.4	94.7	113.9	96.7	91.2	98.9	78.7	129.7	182.7	182.4	131.3	145.5
11	1966	145.6	144.1	158.1	168.6	203.4	192.6	163.9	108.7	76.3	175.6	125.4	125.6
12	1967	118.4	115.9	142.8	134.7	191.7	188.4	212.2	146.4	113.6	71.1	62.5	92.8
13	1968	85.5	69.7	115.5	134.8	244.4	194.0	177.1	110.9	144.5	84.2	182.7	153.7
14	1969	162.5	144.1	146.4	133.0	237.1	201.1	181.5	123.4	114.3	94.5	105.5	136.8
15	1970	145.5	137.5	153.7	154.4	125.9	196.9	156.6	108.7	114.3	178.6	135.7	161.0

Tabella E.9: Serie storica dei deflussi mensili [mm] estratte dalla Pubblicazione 17. (2/37
Toce a Candoglia)

2		Gen	Feb	Mar	Apr	Mag	Giu	Lug	Ago	Set	Ott	Nov	Dic
1	1933	47.0	37.1	36.5	57.0	90.9	162.3	119.1	87.6	203.0	112.8	125.2	65.6
2	1934	47.6	39.8	77.3	206.4	395.1	213.2	169.9	166.8	92.2	57.2	106.6	80.4
3	1935	49.7	34.4	43.4	68.2	169.8	287.6	176.6	246.5	111.5	248.3	277.5	93.2
4	1936	89.5	52.7	109.8	157.2	271.0	353.6	360.2	154.0	174.3	66.8	45.0	46.9
5	1937	37.9	30.6	65.9	114.9	358.4	306.2	161.2	95.5	158.0	216.8	144.5	51.4
6	1938	37.4	32.2	31.1	32.8	76.6	245.3	206.3	104.9	129.8	100.5	65.3	62.1
7	1939	58.6	54.5	57.2	169.2	241.3	335.0	297.2	391.6	121.0	149.0	114.4	75.2
8	1940	50.7	41.7	48.3	84.9	187.1	228.4	244.8	112.6	77.5	213.3	86.1	59.1
9	1941	54.0	51.2	69.1	167.8	215.0	355.3	262.2	132.3	81.7	122.4	107.3	59.3
10	1942	47.9	39.5	39.7	46.4	88.5	106.6	96.9	88.8	161.4	222.0	231.8	70.1
11	1943	58.4	49.4	50.9	64.5	117.5	85.1	84.1	82.9	114.0	90.0	64.1	60.3
12	1944	46.2	42.2	40.9	64.6	75.4	69.2	127.8	90.7	74.5	197.6	93.4	60.1
13	1945	50.9	42.8	47.7	53.3	102.3	103.9	92.0	112.2	96.6	125.0	198.0	68.7
14	1946	61.7	53.1	93.5	138.6	309.4	358.7	255.3	162.8	139.1	69.6	52.4	50.4
15	1947	43.9	34.4	46.2	87.6	223.8	137.6	123.8	101.1	169.0	98.8	80.0	67.3
16	1948	60.3	58.6	65.2	148.0	257.0	194.6	109.4	132.5	326.5	97.0	73.4	67.1
17	1949	56.6	44.7	38.3	43.1	229.0	154.3	89.3	70.1	67.0	54.5	56.8	52.3
18	1950	50.7	46.0	61.4	79.7	208.8	184.4	117.7	83.7	102.9	74.3	59.0	55.8
19	1951	52.3	79.4	72.0	119.6	309.4	428.1	251.8	223.8	121.3	103.0	331.6	88.3
20	1952	56.6	44.7	47.7	95.9	173.6	196.3	138.8	87.9	68.0	62.6	53.5	51.6
21	1953	46.3	40.9	43.0	69.7	83.0	170.9	172.4	77.1	100.0	356.7	124.0	60.8
22	1954	53.1	52.4	62.6	85.1	111.2	174.3	126.6	251.8	111.8	60.7	49.9	79.4
23	1955	67.7	65.2	72.2	84.6	108.6	187.8	113.8	73.1	59.9	66.8	46.2	42.0
24	1956	38.1	34.0	57.5	109.5	159.1	170.9	185.3	115.7	253.8	87.6	63.3	50.5
25	1957	55.9	46.6	67.8	76.3	110.7	385.8	148.3	95.6	68.5	54.5	94.1	73.3
26	1958	57.2	59.1	57.2	82.6	216.8	164.8	161.7	209.8	105.6	194.1	85.1	85.1
27	1959	68.5	55.6	88.6	126.7	183.6	172.6	139.9	99.0	78.0	85.8	85.3	123.8
28	1960	70.6	59.1	89.3	128.8	281.5	245.3	176.6	137.8	306.2	328.7	154.1	74.7
29	1961	67.5	59.2	72.6	124.4	114.2	163.1	157.0	95.5	68.5	127.5	102.7	79.7
30	1962	61.2	50.4	47.7	92.5	114.5	149.1	95.1	76.1	51.1	46.0	132.1	56.8
31	1963	53.0	41.2	42.3	105.2	146.0	208.1	178.3	135.5	136.2	102.5	186.1	72.4
32	1964	60.5	48.8	55.4	143.3	139.3	177.7	86.7	61.2	47.2	36.9	27.4	27.4

Tabella E.9: Serie storica dei deflussi mensili [mm] estratte dalla Pubblicazione 17 ed integrate con i dati degli annali. (3/37 Ticino a Miorina)

4		Gen	Feb	Mar	Apr	Mag	Giu	Lug	Ago	Set	Ott	Nov	Dic
1	1921	56.0	48.0	43.4	69.1	108.8	121.4	76.3	154.2	104.5	46.3	24.4	18.3
2	1922	15.7	14.1	57.6	77.4	153.8	155.2	139.6	90.1	227.8	157.1	86.0	63.7
3	1923	71.0	47.7	41.4	75.8	180.2	225.9	120.1	77.5	138.7	172.5	223.1	130.7
4	1924	60.1	41.8	43.8	95.1	223.2	185.4	129.9	215.1	193.3	253.3	93.5	101.9
5	1925	53.6	81.0	91.3	117.1	215.1	231.7	176.2	122.6	176.8	141.2	91.9	54.8
6	1926	44.6	73.7	72.7	100.2	330.8	246.7	207.8	101.1	62.1	51.5	473.3	171.7
7	1927	73.1	48.8	81.2	128.0	176.6	233.7	259.8	157.9	166.5	139.2	144.5	129.5
8	1928	67.8	44.4	49.9	223.1	239.9	280.4	151.8	99.4	94.7	184.7	349.6	81.2
9	1929	50.3	32.6	30.4	68.7	212.7	172.0	116.1	112.0	64.0	156.3	86.4	82.4
10	1930	61.7	55.7	55.6	119.4	225.3	254.5	250.8	147.7	127.7	128.3	72.3	131.1
11	1931	50.7	37.0	58.4	71.5	188.7	197.2	161.1	153.8	119.0	68.6	128.0	77.1
12	1932	45.5	31.2	28.8	53.0	212.7	248.6	250.0	135.6	120.2	228.9	75.4	90.5
13	1933	56.8	39.6	44.6	58.9	105.1	174.0	150.6	72.7	84.8	153.0	158.7	102.3
14	1934	60.1	41.4	83.6	181.1	294.7	173.6	124.2	180.2	124.5	73.9	152.8	124.2
15	1935	70.2	42.9	52.4	68.3	151.4	273.4	157.9	161.1	171.3	341.8	335.4	144.9
16	1936	134.3	77.7	87.7	198.4	226.5	283.2	339.3	180.6	119.8	78.7	49.5	53.6
17	1937	42.2	34.8	96.6	163.4	250.4	247.8	147.3	92.9	172.4	223.6	232.1	76.7
18	1938	45.5	31.9	32.5	28.7	70.2	219.2	179.0	91.7	121.0	120.1	65.2	88.5
19	1939	85.2	72.2	62.5	147.7	269.9	275.7	319.4	309.7	124.1	138.8	120.6	70.2
20	1940	45.9	32.3	36.5	71.9	158.7	187.8	321.9	88.9	66.0	152.2	99.8	66.6
21	1941	48.7	49.9	73.1	202.7	250.8	381.8	241.5	121.8	66.4	91.7	79.0	55.2
22	1942	34.7	26.6	35.1	44.4	80.8	142.6	118.5	92.9	130.0	190.8	247.8	54.8
23	1943	54.0	48.8	48.7	57.0	118.9	83.7	73.1	53.6	102.1	111.2	53.0	55.6
24	1944	48.7	37.8	40.6	55.0	71.0	62.8	127.0	90.5	84.1	203.8	83.7	56.4
25	1945	53.6	49.1	58.9	55.8	80.4	99.8	82.8	93.4	81.3	73.9	151.6	69.0
26	1946	59.7	56.1	114.9	113.9	258.1	315.0	175.3	137.6	162.6	59.3	46.3	37.5
27	1947	31.3	26.8	57.6	122.9	175.3	113.5	125.4	96.2	83.3	70.6	53.0	59.7
28	1948	69.4	63.8	66.2	111.9	224.9	189.7	95.4	155.9	222.3	77.1	54.2	55.6
29	1949	49.1	48.0	43.4	36.2	179.0	155.5	86.0	50.7	46.0	38.4	40.5	47.1
30	1950	47.9	43.3	48.7	72.3	211.1	157.9	91.3	79.6	102.1	64.1	51.1	53.6
31	1951	69.4	159.1	131.5	134.3	264.6	390.4	225.7	211.9	109.2	100.3	420.3	112.0
32	1952	65.8	55.4	49.5	108.4	237.8	173.2	107.2	80.8	126.9	96.6	52.6	54.4
33	1953	56.0	49.1	40.1	62.1	84.8	123.3	196.9	85.6	104.5	271.5	167.7	63.3
34	1954	56.8	49.1	54.8	92.3	149.8	219.6	147.7	213.1	129.2	54.4	51.8	115.3
35	1955	72.7	68.2	64.5	85.6	97.8	225.5	104.7	82.8	59.7	55.6	51.8	54.8
36	1956	54.0	41.8	37.8	165.0	169.7	145.7	202.5	147.3	216.4	80.4	50.3	53.2
37	1957	54.4	49.5	53.6	67.6	107.6	340.9	160.3	130.7	79.3	51.5	106.1	108.8
38	1958	63.7	61.2	55.2	86.0	188.3	153.6	146.1	173.3	91.9	224.5	70.3	96.2
39	1959	69.4	57.6	95.4	113.9	184.3	129.2	88.5	91.7	71.5	55.6	119.4	170.5
40	1960	78.7	81.8	97.4	128.0	235.0	215.2	241.1	239.5	281.2	405.1	263.6	126.6
41	1961	86.0	78.8	85.6	155.9	127.4	213.7	146.5	100.7	76.6	58.0	106.4	80.8
42	1962	71.0	60.5	54.0	75.8	128.7	139.4	95.0	85.2	57.0	35.7	49.9	56.4
43	1963	62.1	50.6	38.6	99.8	174.9	212.5	205.8	182.2	251.0	120.5	321.7	88.1
44	1964	66.6	54.3	63.3	171.3	133.1	187.0	89.3	73.1	58.5	42.6	36.9	43.8
45	1965	44.2	40.0	40.2	41.6	58.4	69.5	79.1	128.3	319.7	242.3	55.8	61.7
46	1966	57.6	50.2	62.1	105.3	176.6	127.7	132.7	94.2	70.3	221.6	202.3	64.9
47	1967	61.7	55.7	82.8	96.6	180.6	135.9	121.0	108.0	121.0	100.7	89.6	64.5
48	1968	62.5	58.3	60.9	129.6	266.3	192.9	132.3	93.4	198.8	75.5	296.6	77.1
49	1969	67.0	60.5	69.4	75.8	217.6	195.2	163.6	87.3	67.6	52.4	50.7	52.8
50	1970	51.5	49.9	48.3	67.6	129.5	140.6	96.6	80.8	107.2	103.1	60.9	66.2
51	1971	62.1	74.1	100.3	133.2	231.8	225.1	124.2	86.5	69.9	49.9	42.4	43.4
52	1972	42.6	84.3	147.3	156.3	131.1	247.5	129.9	97.8	114.7	66.2	63.6	51.1
53	1973	56.4	51.0	49.9	61.7	93.8	147.7	227.7	91.3	71.1	82.8	51.8	48.3
54	1974	54.4	99.0	130.3	123.7	153.8	140.2	131.9	90.9	76.6	57.6	54.6	56.4
55	1975	56.8	51.3	116.5	179.9	233.0	228.6	164.8	96.2	216.8	151.0	102.5	87.7
56	1976	63.3	55.0	45.1	68.7	91.7	78.6	62.5	33.3	143.8	430.2	324.4	81.2
57	1977	80.0	81.8	185.1	139.0	442.4	266.7	209.8	334.0	242.0	308.1	77.4	67.8
58	1978	86.0	84.3	170.9	134.3	238.3	253.0	180.2	229.3	69.9	58.0	49.5	46.7
59	1979	41.8	39.6	126.6	98.2	153.0	179.9	100.3	94.6	66.4	284.5	111.2	73.5
60	1980	66.2	60.1	105.5	83.3	118.9	216.8	184.7	112.0	71.9	82.8	59.3	54.0
61	1981	46.3	36.3	31.7	166.1	195.6	177.1	224.5	118.5	242.7	242.3	73.1	59.7
62	1982	60.9	57.6	58.9	88.0	129.9	128.8	96.2	133.5	228.6	218.8	138.7	109.6
63	1983	64.9	58.7	73.5	132.4	430.2	223.1	143.7	91.7	159.9	55.2	44.8	39.8
64	1984	49.9	54.3	53.6	90.3	239.9	263.6	123.4	88.1	186.2	182.2	74.6	84.0
65	1985	65.3	56.8	129.9	123.3	240.7	175.6	110.0	99.8	74.6	47.5	35.7	32.1

Tabella E.9: Serie storica dei deflussi mensili [mm] estratte dalla Pubblicazione 17. (4/37 Mastallone a Ponte Folle)

6		Gen	Feb	Mar	Apr	Mag	Giu	Lug	Ago	Set	Ott	Nov	Dic
1	1933	52.5	32.3	33.1	106.1	132.3	229.6	63.1	31.1	146.6	66.3	152.4	40.6
2	1934	34.5	43.7	199.5	521.9	341.5	56.5	77.8	334.4	36.4	20.9	95.7	43.3
3	1935	37.0	48.9	67.2	98.8	386.5	207.0	68.5	341.5	71.1	373.9	433.2	104.4
4	1936	107.1	70.1	264.2	353.1	386.5	280.1	246.3	66.0	205.3	46.6	36.9	65.4
5	1937	23.9	28.7	114.1	285.3	363.1	180.9	79.5	52.5	255.7	413.4	201.8	31.5
6	1938	16.9	14.3	22.5	17.0	208.5	238.3	140.9	57.3	255.7	127.8	84.9	125.3
7	1939	96.7	70.8	66.3	328.8	397.3	227.9	186.9	257.1	79.5	107.1	92.5	36.5
8	1940	21.0	16.2	54.1	159.2	289.4	294.0	230.1	54.1	16.9	269.6	96.2	30.9
9	1941	24.8	43.2	135.5	434.9	490.7	374.0	142.5	41.0	55.5	215.7	193.1	35.2
10	1942	17.4	11.5	73.9	99.9	166.6	102.6	68.5	111.3	288.8	382.9	203.5	66.3
11	1943	51.6	32.5	49.3	83.0	158.5	27.1	33.4	21.6	106.1	133.6	77.2	86.8
12	1944	30.4	17.7	27.1	150.1	85.6	53.8	190.5	110.0	45.6	393.7	177.4	100.5
13	1946	45.3	66.9	222.9	285.3	429.6	400.1	87.9	91.3	98.5	25.3	21.6	16.2
14	1947	9.5	11.0	98.9	172.2	235.5	92.5	104.1	68.1	288.8	127.1	81.4	55.4
15	1948	41.2	63.6	91.1	129.8	237.3	106.1	36.7	92.2	607.1	81.1	53.9	20.0
16	1949	19.4	11.7	10.8	16.4	235.5	127.2	23.5	32.5	48.0	33.3	99.2	46.7
17	1950	16.9	16.6	41.7	110.8	307.4	74.8	18.0	16.0	29.1	26.6	26.6	39.4
18	1951	42.8	117.7	138.2	254.0	555.5	337.5	93.3	285.8	80.9	127.4	440.1	28.8
19	1952	16.2	15.1	20.0	157.1	170.6	55.1	31.1	33.3	52.4	47.8	32.2	30.9
20	1953	18.0	17.4	19.6	112.7	56.8	240.1	148.1	24.6	276.6	373.9	76.7	24.3
21	1954	17.1	21.9	84.1	184.4	217.5	245.3	143.1	266.0	93.1	39.4	59.8	113.1
22	1955	96.4	78.3	64.4	124.9	59.1	179.2	78.4	32.7	26.3	133.2	49.9	28.6
23	1956	23.7	13.0	151.0	431.4	242.7	182.7	271.4	41.2	332.3	204.9	67.1	33.3
24	1957	12.0	31.0	157.1	126.8	212.1	1657.8	75.7	25.0	14.3	14.2	248.8	77.7
25	1958	33.3	101.8	38.1	194.8	267.8	128.0	208.5	165.4	14.4	291.2	144.6	102.6
26	1959	43.9	39.3	131.2	254.0	244.5	99.3	57.9	44.8	32.2	212.1	120.4	163.8
27	1960	61.3	48.5	130.7	220.9	361.3	175.7	113.6	130.0	835.0	388.3	108.9	110.6
28	1961	39.7	41.1	76.0	271.4	107.1	180.9	58.2	50.7	32.2	147.2	175.7	67.6
29	1962	67.9	41.1	49.1	143.7	122.4	116.0	53.7	39.5	34.1	61.7	405.3	10.4
30	1963	28.9	14.0	75.9	332.3	228.3	267.9	174.2	143.1	201.8	119.0	735.8	62.4
31	1964	34.3	26.6	54.5	382.7	123.1	200.1	39.9	18.2	8.4	13.8	43.5	58.2
32	1965	19.1	15.1	26.4	36.9	128.2	116.2	95.3	208.5	511.4	176.0	31.5	16.0

Tabella E.9: Serie storica dei deflussi mensili [mm] estratte dalla Pubblicazione 17. (5/37 Sesia a Campertogno)

8		Gen	Feb	Mar	Apr	Mag	Giu	Lug	Ago	Set	Ott	Nov	Dic
1	1925	18.6	17.2	20.6	82.8	201.3	270.9	176.1	105.7	104.3	53.6	28.3	17.6
2	1926	19.8	24.1	39.2	107.8	349.2	232.9	229.6	92.5	50.7	36.2	176.6	33.0
3	1927	20.9	15.5	33.7	118.0	261.1	266.4	201.3	141.1	108.4	42.8	33.8	44.8
4	1928	17.8	21.7	27.5	155.2	206.0	353.1	174.6	91.5	58.3	154.9	173.5	28.3
5	1929	21.2	15.5	26.4	63.3	198.2	257.2	140.0	121.6	82.5	68.3	33.9	26.4
6	1930	17.9	16.2	38.4	122.4	237.5	423.1	232.8	110.4	140.5	51.4	45.1	38.1
7	1931	15.1	13.1	32.9	82.6	281.5	243.5	135.6	121.9	67.3	48.9	60.7	33.0
8	1932	17.0	14.1	17.0	38.4	223.3	259.4	280.0	139.5	130.9	65.0	35.6	37.9
9	1933	19.0	15.9	22.8	81.4	127.4	146.6	138.9	99.7	140.6	84.0	70.6	35.1
10	1934	27.1	33.5	50.5	197.9	523.7	317.3	210.7	155.9	74.0	33.0	35.6	35.5
11	1935	21.4	20.0	30.2	58.4	176.1	365.3	160.4	188.7	83.3	182.4	137.4	43.9
12	1936	38.1	25.3	66.1	164.4	331.9	398.8	338.1	171.4	176.6	47.3	24.7	21.4
13	1937	19.0	20.2	26.6	106.4	363.3	350.1	182.4	105.2	155.2	193.4	101.1	26.3
14	1938	15.1	11.9	30.2	46.6	131.6	310.5	188.7	129.9	191.8	93.4	54.2	44.2
15	1939	19.0	16.8	26.3	131.5	209.2	333.3	223.3	297.3	114.8	48.6	47.5	21.4
16	1940	15.4	12.4	19.5	69.6	235.9	290.7	248.5	113.1	61.2	180.9	41.4	25.6
17	1941	23.6	19.9	34.6	132.9	196.6	432.3	289.4	99.1	80.1	147.7	76.6	24.5
18	1942	14.6	10.8	18.6	51.3	177.7	184.2	132.7	113.7	126.8	147.4	102.0	29.3
19	1943	25.2	12.8	23.7	84.8	165.1	107.6	82.9	98.1	123.3	73.1	34.2	28.3
20	1944	20.1	17.0	15.7	80.7	118.0	96.8	160.4	112.5	78.4	132.1	60.9	36.2
21	1945	16.8	16.8	41.8	93.3	158.8	144.6	99.9	109.5	75.0	127.4	115.2	17.8
22	1946	11.6	15.2	65.3	194.8	264.2	322.7	303.5	169.9	96.8	26.3	11.4	9.4
23	1947	9.0	8.1	11.8	93.5	198.2	143.8	116.4	100.7	150.7	55.8	44.1	20.6
24	1948	17.9	15.9	17.8	85.8	210.7	164.4	66.8	72.8	385.1	43.1	32.0	15.7
25	1949	11.5	9.9	9.9	58.4	297.3	305.9	146.3	96.7	100.5	59.8	24.4	18.9
26	1950	16.0	12.4	16.7	84.8	297.3	235.9	136.8	134.6	79.6	20.8	11.3	9.4

Tabella E.9: Serie storica dei deflussi mensili [mm] estratte dalla Pubblicazione 17. (6/37
Sesia a Ponte Aranco)

9		Gen	Feb	Mar	Apr	Mag	Giu	Lug	Ago	Set	Ott	Nov	Dic
1	1927	28.1	20.5	81.7	151.0	238.6	240.6	141.8	96.3	100.0	40.5	83.5	95.2
2	1928	28.2	24.2	51.6	425.2	250.1	198.8	75.9	40.9	42.9	279.4	265.5	31.6
3	1929	15.3	9.6	27.2	123.8	244.3	138.0	69.4	69.8	35.7	116.0	46.2	52.0
4	1930	47.4	42.8	76.7	221.9	294.8	325.6	166.5	64.4	155.9	47.4	125.7	71.7
5	1931	22.4	22.7	50.9	73.8	265.1	103.3	57.4	67.1	56.7	53.6	129.0	40.1
6	1932	22.3	16.5	23.7	106.3	284.0	259.9	226.2	69.0	145.5	93.6	54.1	102.1
7	1933	28.5	23.1	32.6	86.9	104.1	239.1	67.1	38.1	284.9	96.0	153.7	48.9
8	1934	39.7	43.2	107.5	310.3	412.4	173.0	110.6	226.2	69.0	31.2	177.5	86.3
9	1935	36.9	32.3	45.9	82.4	261.3	196.2	70.1	220.8	88.8	260.5	293.5	78.2
10	1936	72.5	45.9	176.5	272.6	346.5	317.4	258.2	71.3	152.5	40.5	36.8	47.4
11	1937	36.6	34.2	89.0	170.8	298.3	221.2	84.4	54.7	198.8	320.3	141.0	29.9
12	1938	21.0	16.2	25.0	29.2	75.5	237.6	121.4	68.6	197.3	116.0	56.7	74.4
13	1939	51.6	48.7	55.9	260.7	339.1	261.4	204.6	284.8	93.2	102.1	80.2	37.4
14	1940	24.8	18.1	38.9	141.7	305.6	344.2	263.2	76.3	45.1	309.8	64.1	29.5
15	1941	30.1	35.2	90.2	348.3	370.0	417.7	185.4	48.9	44.0	190.0	136.5	29.0
16	1942	20.0	16.4	54.3	83.9	173.8	118.6	82.9	184.5	182.7	312.9	189.8	35.1
17	1943	21.5	15.7	25.6	86.2	159.9	60.8	63.6	48.9	113.7	104.8	58.6	71.7
18	1944	35.6	24.2	26.6	134.3	90.2	66.4	235.9	90.9	49.6	347.6	94.0	28.7
19	1945	18.5	16.7	47.0	86.5	120.2	90.9	52.4	150.3	88.8	375.4	302.8	48.9
20	1946	29.7	41.1	161.9	260.7	443.2	334.5	160.7	109.4	71.2	31.6	18.0	11.8
21	1947	8.7	9.5	61.3	147.7	306.4	126.8	76.7	73.2	280.1	110.2	71.2	39.3
22	1948	23.8	52.2	83.2	201.8	416.2	172.3	52.8	85.6	376.7	67.1	55.9	26.2
23	1949	17.0	15.3	16.4	42.9	439.3	162.6	55.9	59.3	50.7	45.1	61.5	40.1
24	1950	22.5	22.3	69.8	177.5	284.8	135.8	59.7	73.2	60.8	47.8	31.3	35.6

Tabella E.9: Serie storica dei deflussi mensili [mm] estratte dalla Pubblicazione 17 ed integrate con i dati degli annali. (7/37 Dora Baltea a Tavagnasco)

10		Gen	Feb	Mar	Apr	Mag	Giu	Lug	Ago	Set	Ott	Nov	Dic
1	1936	52.6	33.9	55.5	100.1	204.5	277.0	327.4	165.7	144.7	63.1	34.1	29.8
2	1937	31.4	27.3	30.9	52.2	187.6	337.2	191.6	129.4	97.8	101.1	72.1	41.9
3	1938	30.8	25.4	30.6	29.8	46.9	184.6	147.1	105.9	100.9	70.3	34.0	26.4
4	1939	31.8	28.1	29.8	56.4	98.6	205.8	183.5	143.1	75.7	56.6	48.9	35.9
5	1940	28.9	23.1	28.5	37.0	114.8	177.6	194.8	124.5	82.9	99.4	54.1	35.9
6	1941	28.2	25.3	29.9	55.2	86.5	266.8	262.7	120.5	75.6	88.1	59.1	36.4
7	1942	26.4	21.6	26.1	33.3	84.1	133.0	121.3	108.3	94.7	88.9	77.8	38.1
8	1943	30.6	25.9	27.4	42.2	95.4	115.8	108.3	122.1	118.9	60.0	40.7	38.6
9	1944	32.0	23.1	19.6	35.0	60.7	82.1	98.6	104.3	72.3	72.7	52.6	42.1
10	1945	33.3	29.1	35.5	52.7	122.1	156.5	135.0	101.1	68.2	65.0	95.4	44.9
11	1946	39.1	36.7	50.2	93.1	162.5	248.0	252.2	150.4	90.8	48.3	32.9	26.2
12	1947	22.3	17.7	20.8	45.8	138.2	135.4	116.4	93.0	91.5	62.1	46.3	40.4
13	1948	37.4	33.8	38.0	66.2	181.9	182.3	106.7	118.0	187.0	66.9	43.5	34.7
14	1949	26.8	23.2	22.3	30.0	156.8	190.9	124.5	109.9	88.4	49.1	28.9	25.0
15	1950	20.3	18.0	21.3	23.2	107.5	144.7	114.8	88.9	65.4	38.8	31.1	30.3
16	1951	23.8	22.6	27.0	46.2	129.4	267.6	207.8	143.9	71.8	48.8	82.1	40.3
17	1952	29.8	22.1	26.7	48.1	112.4	173.7	127.7	88.1	50.7	38.7	32.0	29.5
18	1953	22.1	17.2	21.2	34.1	91.4	111.1	137.4	92.2	67.2	105.9	55.3	36.1
19	1954	19.9	17.2	24.3	37.8	74.1	119.7	80.2	153.6	86.1	42.7	27.9	26.0
20	1955	30.9	27.1	27.7	55.4	103.5	189.3	157.6	88.1	58.8	32.7	21.0	20.1
21	1956	17.9	14.6	17.1	25.7	80.8	93.9	119.7	105.1	109.5	53.4	27.7	20.5
22	1957	18.8	17.0	24.5	33.7	68.6	291.0	152.8	88.9	44.4	29.8	23.4	19.5
23	1958	17.0	17.6	17.5	21.7	125.3	139.3	127.7	112.4	66.6	47.2	34.7	27.7
24	1959	25.2	23.5	28.3	44.2	110.8	186.2	147.1	79.3	53.7	39.8	30.1	33.5
25	1960	27.2	24.4	30.2	53.0	172.2	237.1	134.2	102.7	101.7	113.2	61.8	40.9
26	1961	33.6	28.4	34.1	65.2	88.9	169.0	144.7	101.9	66.3	62.2	37.9	35.5
27	1962	30.5	26.9	27.0	39.7	89.7	139.3	96.2	85.7	58.4	39.9	66.7	35.5
28	1963	22.0	20.9	22.6	40.0	84.9	179.9	151.2	102.7	64.1	50.0	52.0	38.4
29	1964	32.3	24.2	25.9	50.9	114.8	157.3	124.5	78.7	53.7	35.5	26.2	26.1
30	1965	25.9	22.9	24.1	22.1	42.7	91.5	93.8	90.5	90.0	64.8	33.6	33.3
31	1966	30.4	31.3	34.0	43.5	117.2	166.6	127.7	89.7	55.9	102.7	51.8	36.2
32	1967	30.9	27.8	36.9	32.0	72.0	112.7	142.3	102.7	53.2	41.5	30.4	28.4
33	1968	26.3	23.7	28.1	37.2	80.8	121.3	114.8	75.7	62.7	49.2	90.8	42.8
34	1969	35.0	29.3	32.5	39.1	157.6	152.6	167.3	141.5	74.6	45.9	30.8	29.1
35	1970	28.8	26.4	26.0	33.0	66.2	181.5	177.1	114.8	76.8	66.2	36.8	28.7
36	1971	27.6	26.2	39.9	59.5	125.3	142.4	133.4	110.8	59.9	38.1	34.8	32.0
37	1972	28.9	31.4	46.7	65.0	88.1	194.0	184.3	116.4	59.5	40.3	38.4	30.9
38	1973	29.8	26.1	25.0	22.1	72.0	134.6	134.2	94.6	79.0	50.5	35.1	32.3
39	1974	28.9	30.2	40.0	52.7	94.6	157.3	126.9	86.5	57.2	33.7	30.1	27.7
40	1975	25.1	21.6	26.5	48.8	129.4	151.0	169.8	104.3	99.4	65.7	50.9	38.0
41	1976	31.1	25.5	27.9	34.4	77.6	95.4	86.5	64.4	61.8	131.8	94.7	52.1
42	1977	50.2	40.9	53.9	71.0	233.6	255.1	271.6	172.2	151.0	192.4	75.1	55.9
43	1978	57.9	45.3	62.0	63.7	139.1	298.9	260.3	194.0	90.0	62.5	44.4	41.4
44	1979	38.2	32.6	43.1	39.9	103.5	218.3	144.7	114.0	70.0	106.7	61.9	42.3
45	1980	34.7	34.8	36.9	39.4	86.5	177.6	171.4	164.9	71.8	49.8	29.7	24.3
46	1981	23.3	18.7	31.0	83.7	91.4	183.1	151.2	110.8	110.3	85.7	40.1	33.6
47	1982	28.1	23.7	28.4	38.6	92.2	143.2	135.0	126.9	86.8	62.6	43.3	39.3
48	1983	31.3	26.7	31.2	49.8	132.6	202.6	211.0	113.2	79.0	38.8	31.5	27.1
49	1984	22.4	20.0	24.3	32.9	78.8	167.4	147.9	90.5	58.9	51.3	34.8	30.6
50	1985	22.6	25.6	28.1	39.7	105.1	158.8	156.8	93.8	58.4	36.3	22.3	18.3

Tabella E.9: Serie storica dei deflussi mensili [mm] estratte dalla Pubblicazione 17 ed integrate con i dati degli annali. (8/37 Orco a Ponte Canavese)

11		Gen	Feb	Mar	Apr	Mag	Giu	Lug	Ago	Set	Ott	Nov	Dic
1	1928	18.4	13.8	25.9	166.4	191.9	309.2	127.2	66.9	56.7	134.6	155.0	24.7
2	1929	15.4	9.0	15.6	52.1	170.6	244.1	108.5	80.7	44.1	72.9	26.8	15.5
3	1930	17.1	15.8	38.3	120.1	240.9	395.7	196.2	62.9	110.1	34.8	48.3	44.7
4	1931	18.5	14.7	35.3	50.0	184.5	164.3	61.6	73.4	45.4	23.6	43.3	27.0
5	1932	18.6	14.3	18.1	38.1	148.0	173.9	255.7	82.0	127.3	82.9	40.5	45.6
6	1933	22.4	17.9	18.7	72.3	94.2	79.0	65.1	49.1	154.2	86.4	63.0	35.4
7	1934	28.2	30.5	54.7	218.0	427.6	260.9	154.5	122.0	59.2	33.5	47.5	39.5
8	1935	27.8	26.3	30.2	53.8	140.6	225.6	109.0	178.4	68.9	139.8	111.3	49.5
9	1936	50.8	36.4	86.8	142.0	260.9	300.4	242.2	101.6	113.0	40.6	24.4	29.8
10	1937	23.6	22.6	30.0	89.9	276.1	284.0	138.0	82.9	88.2	163.7	115.5	34.8
11	1938	26.5	23.6	28.6	36.3	76.4	247.9	149.8	99.8	194.9	115.5	59.2	53.4
12	1939	36.5	28.0	30.2	108.8	181.9	257.5	166.3	183.2	76.0	54.7	41.7	34.3
13	1940	29.0	20.7	20.5	44.1	179.7	234.0	193.2	73.8	40.5	187.1	41.8	30.4
14	1941	31.5	29.9	44.7	134.9	149.3	474.7	287.8	59.9	52.9	216.2	132.3	42.2
15	1942	31.8	22.8	32.3	72.7	125.9	110.5	83.8	69.9	102.5	191.4	124.8	34.6
16	1943	41.5	23.6	20.7	63.4	103.8	66.8	58.6	67.7	138.6	76.0	64.7	43.8
17	1948	33.6	29.8	33.7	126.0	269.1	149.1	53.4	62.1	255.4	41.0	39.4	33.9
18	1949	32.3	22.3	15.8	36.0	308.6	218.9	91.6	58.2	84.9	55.6	36.3	36.3
19	1950	26.3	19.8	43.0	38.4	135.0	110.9	58.2	48.2	64.7	37.2	26.9	25.1
20	1951	30.6	34.9	31.6	91.2	255.3	164.7	187.5	148.0	76.9	92.9	182.7	57.3
21	1952	39.5	30.4	29.2	67.2	169.7	136.5	67.3	65.1	50.4	41.7	35.5	30.3
22	1953	29.6	27.4	28.6	58.0	108.5	258.8	172.8	61.6	88.6	330.4	88.6	40.9
23	1954	42.5	35.5	63.8	124.8	138.5	149.1	97.7	98.5	79.4	39.5	29.2	32.2
24	1955	39.6	41.6	43.8	74.8	76.8	152.5	82.0	45.6	44.1	44.7	39.7	34.7
25	1956	35.2	32.3	37.9	69.3	115.9	89.9	116.3	41.7	155.9	66.4	42.4	35.2
26	1957	37.4	23.3	34.6	76.0	150.2	402.0	147.6	62.5	30.1	25.5	35.5	37.2
27	1958	29.3	30.5	30.1	40.5	122.4	100.4	80.7	67.7	36.6	46.9	66.4	58.6
28	1959	40.9	41.6	56.9	94.5	192.7	159.2	110.3	72.9	50.4	69.5	46.6	68.6
29	1960	37.4	33.7	59.9	120.6	263.9	243.7	126.8	105.5	184.8	283.9	92.8	77.3
30	1961	51.2	49.0	70.3	126.4	122.9	128.1	101.1	49.1	50.4	133.3	62.6	59.0
31	1962	42.4	36.8	35.7	79.8	112.0	115.9	60.3	40.2	24.3	50.4	209.2	43.3
32	1963	29.8	26.5	38.6	101.7	145.0	218.5	138.5	115.5	88.6	62.1	95.4	46.9
33	1964	35.9	30.1	38.9	171.0	167.1	165.1	63.8	42.1	39.8	39.9	40.6	36.4
34	1965	36.8	32.8	35.2	37.7	66.4	87.8	57.7	108.5	168.0	89.9	54.2	46.0
35	1966	38.5	38.2	40.9	69.7	95.9	81.5	66.4	51.2	51.3	313.4	95.4	48.2
36	1967	44.3	33.9	43.4	40.5	73.4	74.8	59.9	58.2	55.0	36.0	34.7	32.1
37	1968	32.2	29.7	34.7	55.0	121.5	106.7	77.3	70.3	79.8	41.0	192.8	55.6
38	1969	46.9	45.1	54.7	92.4	214.9	209.2	144.6	79.0	85.7	38.9	30.5	29.1
39	1970	30.7	24.5	38.9	49.6	86.0	117.6	70.8	63.8	32.5	96.8	33.9	28.4
40	1971	33.6	38.9	79.9	123.1	309.9	241.6	120.7	79.9	39.5	31.3	45.4	37.2
41	1972	35.8	58.0	138.0	181.1	186.7	274.7	258.3	169.3	117.2	64.7	45.0	39.5
42	1973	46.9	34.2	30.3	35.3	127.2	105.9	102.4	58.2	108.0	80.7	44.5	43.8
43	1974	53.4	56.9	101.1	121.4	176.7	179.0	124.6	82.0	46.6	42.4	42.0	41.7
44	1975	40.9	36.0	40.0	81.5	174.9	129.0	107.2	71.2	100.4	53.0	93.3	50.8

Tabella E.9: Serie storica dei deflussi mensili [mm] estratte dalla Pubblicazione 17 ed integrate con i dati degli annali. (9/37 Stura di Lanzo a Lanzo)

12		Gen	Feb	Mar	Apr	Mag	Giu	Lug	Ago	Set	Ott	Nov	Dic
1	1930	34.1	23.2	66.3	181.3	266.0	341.6	192.4	93.0	112.7	63.0	67.2	64.4
2	1931	27.0	19.5	32.0	50.3	230.6	167.9	87.9	78.7	67.7	45.0	80.2	41.2
3	1932	26.0	19.4	33.7	65.0	159.7	179.5	252.2	101.7	146.5	82.8	74.4	81.9
4	1933	34.7	27.2	35.4	52.6	81.5	79.3	72.3	54.3	166.6	93.4	69.9	38.2
5	1934	36.0	42.0	82.8	204.9	399.0	246.3	134.8	97.1	61.5	37.0	63.7	43.6
6	1935	26.9	26.6	31.8	55.2	136.7	188.4	104.5	105.4	76.6	133.5	133.2	64.9
7	1936	67.2	42.8	125.6	168.8	306.0	310.4	221.4	91.1	117.1	58.9	34.2	44.2
8	1937	27.4	29.1	46.5	115.3	266.9	283.2	145.9	96.2	109.1	187.3	156.3	45.6
9	1938	30.9	24.4	43.8	42.6	85.6	233.4	117.4	92.0	214.2	121.5	71.7	59.8
10	1939	36.6	27.0	29.6	101.1	171.7	214.2	123.3	113.7	74.8	52.5	40.6	28.8
11	1940	28.7	21.3	46.5	68.6	226.9	242.7	190.5	82.4	38.3	148.6	53.4	33.0
12	1941	27.3	27.8	62.1	142.5	162.5	286.8	199.3	81.0	64.6	191.9	109.6	39.1
13	1942	28.1	24.9	56.1	86.8	148.2	132.7	84.2	60.3	65.5	109.1	92.6	33.4
14	1943	29.1	30.7	34.0	62.8	127.9	69.0	52.5	64.0	78.4	125.2	74.8	62.6
15	1946	32.0	36.4	118.7	195.1	287.6	260.5	217.2	113.7	77.5	37.4	28.3	23.7
16	1947	19.0	15.7	38.5	84.2	253.6	129.2	89.3	72.7	216.4	97.6	73.9	46.9
17	1948	36.7	35.0	42.0	139.4	320.8	182.6	78.7	70.4	209.8	57.5	40.4	27.1
18	1949	24.4	21.9	20.7	34.8	370.0	225.8	86.5	54.3	78.8	52.0	36.0	28.3
19	1950	23.2	17.5	29.6	52.6	125.6	103.8	56.6	52.0	46.8	28.1	23.6	21.9
20	1951	26.3	36.0	46.9	96.2	268.8	292.6	154.6	123.8	65.5	102.6	237.8	49.7
21	1952	30.4	23.3	24.4	78.4	162.2	122.0	80.5	63.5	38.2	30.6	24.1	22.6
22	1953	21.3	21.4	32.5	77.5	108.1	289.0	127.0	60.3	76.2	307.9	95.3	46.9
23	1954	36.4	32.1	81.5	127.4	158.3	187.1	90.7	93.9	64.6	34.5	27.1	28.9
24	1955	54.3	50.3	45.0	74.8	84.7	152.8	105.4	57.1	45.9	45.7	35.0	29.3
25	1956	24.3	18.8	50.6	102.4	143.6	110.9	121.0	58.0	148.8	64.4	49.0	26.7
26	1957	25.4	22.9	46.0	85.1	127.0	463.2	117.4	60.3	28.7	24.1	40.8	27.5
27	1958	23.6	27.4	25.0	67.7	148.2	115.3	93.0	71.8	51.2	59.8	110.4	61.2
28	1959	34.1	34.5	70.0	113.6	212.2	222.2	118.7	116.0	65.9	78.2	53.4	79.6
29	1960	41.5	37.3	70.0	134.1	264.2	243.6	112.8	70.9	128.3	283.0	88.6	94.8
30	1961	43.5	41.5	58.4	155.0	127.0	205.8	107.2	58.9	49.0	148.2	82.8	56.6
31	1962	39.1	29.4	37.0	100.2	121.0	160.8	70.0	50.6	35.3	55.2	267.2	41.1
32	1963	31.6	20.7	46.9	127.8	159.7	275.2	149.1	86.1	98.0	69.5	92.6	47.4
33	1964	25.5	21.1	39.8	138.1	163.8	259.2	107.7	49.7	39.4	53.4	43.5	32.2
34	1965	20.8	17.0	22.6	27.7	51.1	138.5	65.8	101.7	219.1	121.5	50.3	34.5
35	1966	26.4	47.4	40.9	88.2	134.4	132.3	79.6	54.8	57.9	392.1	99.8	34.1
36	1967	25.7	22.0	31.3	37.1	70.4	106.4	110.4	73.2	34.0	25.8	23.9	20.2
37	1968	18.9	18.7	24.1	45.9	146.3	193.7	96.6	87.0	95.3	37.0	217.8	45.8
38	1969	25.4	19.7	44.0	96.2	342.4	277.0	129.8	65.8	122.5	29.7	20.9	18.1
39	1970	17.9	16.9	22.8	27.7	75.5	153.2	62.1	40.4	32.3	84.2	23.7	21.0
40	1971	20.0	22.1	71.8	98.9	213.1	201.3	87.0	48.3	28.5	21.7	39.3	23.1
41	1972	25.7	49.5	116.4	166.1	194.2	389.2	202.0	170.3	118.5	64.0	32.8	24.3
42	1973	31.4	20.7	24.7	31.6	111.8	162.6	104.9	49.7	83.3	84.2	27.3	41.3
43	1975	17.4	17.2	33.7	73.0	226.9	135.8	109.5	51.5	122.9	60.3	77.5	31.9
44	1976	24.6	27.7	30.2	65.9	179.9	101.5	67.2	72.3	68.1	370.5	143.4	35.9
45	1977	26.8	26.9	102.6	122.9	584.5	302.8	283.0	244.8	122.0	265.5	44.5	26.0
46	1978	50.6	21.2	51.5	72.6	250.8	122.0	131.2	47.9	17.9	33.6	18.8	17.3
47	1979	16.8	20.8	51.5	33.5	89.3	136.3	61.7	55.2	41.1	240.2	61.9	26.1
48	1980	26.3	32.3	51.1	67.7	104.9	176.8	91.6	70.9	41.5	39.5	28.1	22.9
49	1981	19.9	16.5	108.1	203.5	220.4	175.9	110.9	51.5	92.2	60.7	26.9	23.4

Tabella E.9: Serie storica dei deflussi mensili [mm] estratte dalla Pubblicazione 17. (10/37
Chisone a Soucheres Basses)

13		Gen	Feb	Mar	Apr	Mag	Giu	Lug	Ago	Set	Ott	Nov	Dic
1	1961	39.7	36.1	55.5	109.8	166.4	200.8	123.5	52.3	32.4	82.6	35.1	34.9
2	1962	31.4	24.0	26.3	72.5	181.2	191.4	102.0	44.9	28.5	27.2	51.5	30.0
3	1963	23.4	17.3	16.3	53.9	266.4	250.3	158.9	60.9	97.4	66.6	47.6	47.7
4	1964	32.3	20.1	21.7	43.2	212.7	172.9	104.9	44.0	32.9	30.9	28.8	24.3
5	1965	19.7	18.1	19.2	34.3	78.6	136.9	80.6	43.7	44.8	47.5	29.0	14.6
6	1966	20.3	21.7	24.6	52.3	236.1	172.9	67.2	36.9	36.8	157.8	59.8	38.6
7	1967	27.4	24.8	28.0	32.4	70.3	93.8	88.3	55.7	32.1	22.0	17.4	16.0
8	1968	15.1	13.4	14.0	23.5	90.6	159.9	85.8	38.3	43.2	33.7	46.8	33.4
9	1969	24.0	17.3	18.6	44.3	249.5	177.9	136.6	62.6	31.0	24.3	16.9	15.1
10	1970	15.1	13.7	15.1	23.2	88.0	162.9	63.5	31.4	21.9	25.7	19.1	15.7

Tabella E.9: Serie storica dei deflussi mensili [mm] estratte dalla Pubblicazione 17. (11/37
Chisone a S.Martino)

14		Gen	Feb	Mar	Apr	Mag	Giu	Lug	Ago	Set	Ott	Nov	Dic
1	1937	18.0	19.7	23.6	70.6	206.9	201.1	68.3	34.3	43.3	113.6	122.0	36.0
2	1938	24.1	19.3	31.3	36.6	67.0	122.4	52.6	25.5	89.4	87.3	38.8	33.8
3	1939	25.5	19.9	20.7	61.2	121.9	147.0	63.7	46.6	41.9	30.6	26.2	20.0
4	1940	12.7	15.2	22.2	34.3	161.6	154.2	108.1	30.2	21.3	49.4	31.8	18.4
5	1941	19.9	22.8	42.3	101.9	125.6	232.8	132.1	33.7	30.5	173.2	72.4	35.1
6	1942	20.7	13.8	37.3	76.9	139.0	96.1	39.6	21.8	23.1	26.8	38.3	19.1
7	1943	15.9	15.3	28.1	60.8	103.4	54.5	22.8	15.5	17.7	60.0	51.8	50.3
8	1944	34.0	22.6	22.1	88.5	92.4	67.9	40.4	31.1	31.5	96.1	64.4	34.8
9	1945	25.7	18.4	24.8	45.6	59.6	50.9	22.6	20.2	17.6	95.1	180.1	31.3
10	1946	23.4	32.3	97.0	153.3	260.5	229.7	159.3	60.0	44.1	24.5	18.6	15.4
11	1947	13.7	13.1	18.9	43.1	189.3	73.3	29.0	28.2	107.3	97.4	62.6	41.5
12	1948	31.4	29.4	29.0	93.8	335.3	149.3	54.5	36.5	101.0	41.5	35.0	21.7
13	1949	21.7	16.9	12.6	26.9	320.5	156.0	38.7	16.9	25.8	26.5	22.7	22.3
14	1950	20.2	14.0	16.8	30.4	79.9	63.0	20.8	19.2	18.4	18.2	16.2	14.8
15	1951	14.4	17.4	32.0	55.4	150.1	179.7	80.4	47.1	30.7	68.8	104.1	42.4
16	1952	24.4	18.7	20.9	48.3	118.7	84.9	38.0	27.1	23.5	23.3	22.3	19.5
17	1953	16.8	15.0	20.3	50.1	95.1	170.3	95.6	35.4	49.2	219.4	103.7	42.1
18	1954	27.2	22.2	49.0	102.3	149.6	135.4	56.8	37.4	30.0	19.9	17.4	16.0
19	1955	25.4	23.5	28.0	50.1	66.5	84.9	40.3	22.0	21.3	18.8	20.3	17.3
20	1956	14.6	11.9	24.4	61.2	110.4	82.7	49.4	25.6	47.8	35.3	37.7	23.0
21	1957	16.8	13.8	20.7	62.6	121.0	389.7	79.4	28.0	16.5	14.9	19.7	15.8
22	1958	15.0	14.7	15.7	38.2	98.4	68.8	44.7	21.7	20.9	23.1	68.8	39.4
23	1959	24.0	27.7	60.0	94.7	241.5	179.7	82.2	63.7	56.3	58.6	44.0	66.0
24	1960	37.9	33.3	64.2	123.8	223.5	160.9	69.3	39.7	52.7	138.5	72.8	87.7
25	1961	35.4	37.8	52.2	106.8	118.2	132.3	68.8	33.4	22.0	70.2	42.8	39.4
26	1962	28.7	21.4	24.1	58.5	104.4	100.1	41.5	23.4	16.9	31.2	117.5	29.9
27	1963	21.4	18.6	32.5	128.7	172.7	237.3	117.3	64.7	79.5	55.4	59.9	42.2
28	1964	26.9	18.5	28.2	122.4	149.2	121.6	59.6	34.3	27.3	39.9	52.3	31.2
29	1965	22.8	15.5	19.8	28.8	59.1	73.3	38.6	26.7	66.6	58.6	36.5	22.3
30	1966	15.9	19.4	30.2	43.3	95.1	62.6	29.3	23.7	32.1	178.7	51.8	30.1
31	1967	22.4	16.6	19.3	20.4	39.8	45.6	28.1	16.9	18.9	15.0	15.4	11.5
32	1968	12.1	9.0	17.5	28.3	91.4	138.5	40.8	36.9	42.6	27.9	109.5	56.3
33	1969	29.1	11.4	27.6	76.4	319.1	328.9	88.7	41.7	38.7	24.2	13.9	14.3
34	1970	13.7	12.1	15.7	20.9	71.1	87.1	42.8	23.5	16.6	30.6	17.3	15.8

Tabella E.9: Serie storica dei deflussi mensili [mm] estratte dalla Pubblicazione 17. (12/37 Chisone a Fenestrelle)

15		Gen	Feb	Mar	Apr	Mag	Giu	Lug	Ago	Set	Ott	Nov	Dic
1	1927	31.2	24.6	26.1	44.2	150.5	137.7	59.0	32.2	30.2	24.6	18.9	17.5
2	1928	16.8	15.0	17.8	48.6	130.7	212.8	91.4	32.4	30.2	38.6	50.3	33.6
3	1929	32.7	19.4	24.8	30.2	86.6	159.2	47.3	36.0	26.1	21.5	17.8	16.6
4	1930	14.5	11.9	13.0	35.0	100.4	181.0	57.1	26.0	43.1	28.2	20.3	18.9
5	1931	17.1	12.4	15.2	24.0	64.8	84.3	39.6	31.9	34.3	25.3	21.6	18.4
6	1932	17.8	12.4	13.0	17.4	86.6	106.2	135.0	47.8	43.1	42.8	24.5	20.6
7	1933	19.0	18.8	18.7	39.2	79.8	63.7	61.6	31.0	37.5	62.3	40.5	33.4
8	1934	26.7	22.8	30.1	87.5	306.4	232.9	123.3	54.9	35.0	26.7	19.3	18.7
9	1935	17.0	15.0	16.8	18.3	55.9	142.4	68.0	41.2	34.0	42.8	42.7	36.7
10	1936	34.3	24.9	34.1	79.1	263.2	253.0	202.6	73.4	54.5	35.0	25.1	20.1
11	1937	17.0	15.3	17.5	33.5	221.6	274.8	87.1	45.7	42.1	63.2	73.2	41.7
12	1938	24.1	22.2	34.1	53.4	56.6	160.5	83.8	34.3	55.8	82.6	39.5	28.4
13	1939	23.4	20.3	21.3	46.1	73.4	162.2	90.9	50.2	45.1	33.9	26.3	20.1
14	1940	19.4	15.8	18.9	24.1	109.8	132.7	115.8	43.1	26.5	33.4	27.0	21.5
15	1941	19.0	15.8	21.3	42.9	91.9	189.3	122.4	42.6	27.1	79.3	40.9	28.6
16	1942	19.2	15.2	23.9	34.7	115.0	130.2	54.2	27.0	23.6	20.1	21.8	14.2
17	1943	14.4	11.3	16.1	43.7	109.2	82.3	35.0	22.2	21.9	39.3	38.2	23.0
18	1946	27.7	23.9	31.2	121.8	160.5	182.6	219.9	143.9	94.0	41.0	20.6	18.9
19	1947	16.6	12.4	15.8	29.0	99.6	56.8	33.4	32.7	58.0	93.7	59.1	42.8
20	1948	31.0	31.3	43.3	69.0	233.7	181.0	76.5	43.5	70.0	38.6	26.6	17.8
21	1949	18.7	15.5	14.0	29.2	174.9	196.0	73.2	28.4	30.5	28.7	21.3	18.4
22	1950	13.9	10.5	13.2	15.1	63.2	74.9	24.6	19.6	17.4	15.6	14.4	12.8
23	1951	11.3	9.5	14.4	36.9	107.2	181.0	108.6	50.7	31.5	37.6	38.4	31.0

Tabella E.9: Serie storica dei deflussi mensili [mm] estratte dalla Pubblicazione 17. (13/37 Dora Riparia a Oulx)

16		Gen	Feb	Mar	Apr	Mag	Giu	Lug	Ago	Set	Ott	Nov	Dic
1	1927	31.4	24.3	29.5	60.7	156.4	158.2	65.5	40.1	37.6	30.1	26.3	26.4
2	1928	26.1	23.5	25.2	55.2	117.5	261.1	89.4	35.7	49.8	77.8	64.8	36.9
3	1929	24.4	19.2	23.6	33.2	95.2	136.5	40.9	32.3	22.0	20.9	20.1	20.0
4	1930	18.9	22.0	29.8	74.2	169.6	314.5	128.8	50.8	41.2	33.1	30.2	24.4
5	1931	22.0	17.1	25.4	38.5	83.4	75.8	32.4	33.4	36.7	31.9	30.4	26.4
6	1932	23.6	16.2	21.4	23.2	117.5	127.6	122.6	53.2	39.1	32.1	22.5	21.7
7	1933	18.8	19.3	18.1	50.4	89.0	59.3	69.5	31.2	30.0	46.4	28.2	23.6
8	1934	19.9	17.4	29.4	97.7	243.2	187.9	93.2	50.5	35.7	28.8	22.8	24.4
9	1935	19.4	18.2	24.8	38.7	66.0	141.4	56.3	45.4	42.5	56.4	48.3	41.8
10	1936	40.2	30.7	42.8	98.9	229.9	264.0	215.6	83.3	57.0	40.0	31.7	26.7
11	1937	22.7	24.1	27.0	58.6	172.7	239.3	91.3	55.5	53.9	67.1	49.1	32.7
12	1938	24.9	19.1	37.0	58.4	53.3	139.4	73.1	31.7	49.7	51.7	32.6	26.6
13	1939	25.6	20.9	23.1	62.6	69.2	134.5	92.0	57.0	46.2	45.7	39.5	28.4
14	1940	23.3	21.0	29.9	42.4	97.8	106.8	110.4	46.3	31.1	36.5	32.8	27.2
15	1941	24.0	20.6	33.6	72.2	105.3	216.6	126.7	48.8	30.6	43.4	27.9	22.8
16	1942	20.4	16.2	22.8	41.3	95.9	91.3	43.4	24.0	26.3	23.5	27.0	16.8
17	1943	17.5	15.8	22.8	61.9	107.3	75.4	38.8	24.6	33.2	41.6	27.9	19.5
18	1944	20.2	18.8	20.7	57.5	83.1	73.2	45.7	33.8	38.9	46.9	40.0	31.5
19	1945	19.7	16.6	30.2	56.9	113.4	96.5	48.7	42.9	29.1	32.4	49.1	23.2
20	1946	20.6	18.9	35.1	93.0	128.8	206.7	128.8	61.8	56.4	34.4	23.8	20.3
21	1947	20.5	17.4	20.2	78.2	104.2	78.4	36.2	30.6	42.2	52.6	34.7	29.3
22	1948	29.2	26.0	49.5	81.1	257.5	178.0	81.4	48.5	57.3	36.0	30.9	22.8
23	1949	19.9	17.4	18.8	46.0	147.2	120.7	47.8	25.9	24.5	22.6	18.9	19.1
24	1950	17.2	14.8	19.5	25.3	86.7	86.2	27.9	24.8	24.1	23.2	22.5	19.3
25	1951	18.2	16.2	27.3	75.1	153.3	229.4	144.1	54.4	32.7	35.1	38.5	31.5
26	1952	26.7	22.0	26.6	70.7	139.0	139.4	55.7	32.5	26.8	32.9	27.5	25.8
27	1953	21.9	19.4	26.0	53.9	121.6	140.4	84.0	37.6	49.2	115.5	67.5	36.4
28	1954	27.2	19.8	27.4	56.0	120.6	160.2	71.3	52.8	41.2	29.6	22.4	22.1
29	1955	30.7	25.9	33.6	81.0	129.8	155.3	78.3	38.4	29.7	26.5	24.1	20.3
30	1956	20.0	19.7	19.8	31.3	109.3	88.1	19.2	30.4	18.5	32.4	24.4	18.7

Tabella E.9: Serie storica dei deflussi mensili [mm] estratte dalla Pubblicazione 17. (14/37 Dora Riparia a S.Antonino)

17		Gen	Feb	Mar	Apr	Mag	Giu	Lug	Ago	Set	Ott	Nov	Dic
1	1927	36.5	27.5	32.7	45.5	101.7	102.1	57.2	42.4	42.3	35.8	32.9	32.5
2	1928	31.9	26.3	29.9	41.6	96.1	142.2	74.9	38.1	39.1	60.6	93.2	41.1
3	1929	35.5	29.1	33.0	38.8	67.0	97.0	35.3	33.5	27.7	28.9	27.7	26.1
4	1930	30.2	30.9	38.1	64.3	110.7	167.4	86.4	39.9	36.4	37.6	29.2	24.8
5	1931	22.2	20.3	26.8	28.9	50.1	44.8	28.1	35.5	38.3	34.5	33.4	31.2
6	1932	28.9	26.5	30.2	28.7	65.7	73.0	87.7	40.4	42.5	39.9	34.6	35.3
7	1933	30.7	27.5	30.2	37.8	50.3	35.4	37.6	22.3	39.1	49.1	37.8	32.7
8	1934	29.4	30.2	38.6	83.3	237.7	162.2	73.9	47.0	38.6	36.0	34.4	33.7
9	1935	29.1	24.7	24.7	28.9	47.0	99.9	50.1	39.9	35.1	46.3	44.0	48.8
10	1936	48.6	37.4	49.3	79.9	179.4	202.3	168.9	70.3	52.9	44.0	38.8	40.6
11	1937	33.0	28.6	29.4	46.0	147.5	194.2	76.2	44.5	44.3	55.2	65.5	41.1
12	1938	41.7	36.9	45.2	43.3	40.9	75.4	53.4	34.0	53.9	55.7	41.6	37.1
13	1939	33.2	29.8	32.5	50.9	59.5	105.9	59.5	41.9	39.3	40.9	39.3	36.5
14	1940	30.7	23.5	28.4	36.9	79.0	98.7	87.7	42.4	34.6	45.0	37.6	35.5
15	1941	30.4	28.9	35.3	54.7	77.2	157.8	108.1	42.7	36.6	70.0	46.7	36.8
16	1942	30.4	25.2	30.9	40.3	73.3	58.6	35.0	22.5	30.2	30.9	40.8	30.2
17	1943	30.9	22.6	25.8	43.8	67.5	44.8	27.3	23.0	31.4	34.8	29.2	31.2
18	1944	30.2	28.9	24.6	40.6	45.0	34.1	30.4	26.3	28.9	46.8	42.0	33.5
19	1945	25.5	26.8	28.6	40.3	55.5	47.7	31.7	26.6	22.3	29.6	49.5	23.3
20	1946	20.8	19.1	35.0	54.7	98.4	132.6	83.6	48.3	43.5	37.3	32.9	31.7
21	1947	25.8	19.5	24.2	42.5	90.2	56.1	31.4	27.9	53.9	56.0	44.0	34.8
22	1948	36.0	37.4	40.4	47.2	152.8	126.1	53.2	55.5	71.5	42.9	35.4	30.2
23	1949	37.6	31.4	30.2	32.9	133.9	103.6	38.3	23.4	26.5	26.8	26.7	26.3
24	1950	27.6	24.0	28.6	27.2	46.8	54.2	22.4	19.7	24.7	24.9	24.0	26.1
25	1951	23.3	24.5	31.7	42.5	97.9	155.1	118.6	65.2	46.0	38.1	54.7	38.3
26	1952	30.7	27.0	30.9	41.3	80.8	78.9	46.5	33.7	34.4	41.9	34.1	32.7
27	1953	30.9	28.6	35.0	44.5	76.4	120.0	88.9	33.2	42.8	155.6	84.8	46.5

Tabella E.9: Serie storica dei deflussi mensili [mm] estratte dalla Pubblicazione 17 ed integrate con i dati degli annali. (15/37 Po a Crissolo)

18		Gen	Feb	Mar	Apr	Mag	Giu	Lug	Ago	Set	Ott	Nov	Dic
1	1935	36.5	25.0	27.7	52.3	126.3	245.1	146.7	122.6	96.1	171.5	110.2	81.0
2	1936	70.8	48.1	46.7	84.8	292.7	469.0	395.6	179.5	137.7	81.7	54.4	46.7
3	1937	40.9	34.9	35.0	55.8	208.7	254.3	133.6	85.4	113.0	133.6	106.6	62.8
4	1938	46.0	38.2	43.1	57.2	86.8	229.5	119.0	71.5	149.7	104.4	65.0	55.5
5	1939	57.7	42.8	44.5	72.0	109.5	350.3	191.2	159.8	130.7	102.2	86.9	56.9
6	1940	50.4	40.2	41.6	67.8	213.8	313.6	198.5	94.9	54.4	83.9	62.9	42.3
7	1941	29.2	25.7	43.8	65.7	108.0	247.2	191.2	92.0	55.1	159.8	71.3	43.1
8	1942	31.4	27.0	28.5	43.1	141.6	160.3	108.0	66.4	52.3	48.2	57.2	32.1
9	1943	32.8	29.7	32.8	75.6	159.8	105.2	65.0	59.1	70.6	156.2	72.0	57.7
10	1944	57.7	46.8	46.0	62.9	113.9	122.9	94.9	86.8	93.9	88.3	77.7	76.6
11	1945	57.7	44.8	49.6	64.3	105.8	98.2	75.2	73.0	60.7	161.3	225.3	45.2
12	1946	40.1	38.9	35.8	131.4	259.8	432.9	351.0	151.8	120.8	65.7	43.8	43.1
13	1947	30.7	25.7	32.8	77.0	162.7	150.4	79.5	112.4	411.8	229.2	144.1	97.8
14	1948	61.3	44.2	52.5	77.7	579.5	271.2	127.0	98.5	175.9	73.7	59.3	51.8
15	1949	43.1	34.3	35.8	54.4	247.4	342.5	151.8	86.1	69.9	66.4	39.6	41.6
16	1950	40.1	32.3	34.3	38.8	140.9	149.0	81.0	75.9	62.2	56.9	46.6	39.4
17	1951	22.6	15.2	21.2	53.7	183.2	312.9	232.1	133.6	63.6	146.7	814.3	77.4
18	1952	32.8	11.9	12.4	62.9	186.8	209.8	129.9	97.1	70.6	57.7	48.7	46.0
19	1953	44.5	48.1	51.8	89.7	184.6	347.5	172.2	113.1	113.7	329.9	163.1	121.9
20	1954	110.9	94.3	104.4	104.5	191.9	309.3	193.4	165.7	87.6	61.3	44.5	40.1
21	1955	35.0	31.6	40.1	80.5	108.0	150.4	102.9	77.4	63.6	41.6	38.8	40.1
22	1956	39.4	31.6	35.0	53.7	172.2	149.0	160.6	83.2	117.9	80.3	53.7	54.7
23	1957	48.2	29.0	34.3	57.2	131.4	479.6	154.7	69.3	49.4	40.9	45.9	45.2
24	1958	43.8	41.5	46.7	51.6	182.5	139.1	131.4	86.1	69.2	87.6	86.9	66.4
25	1959	56.2	53.4	79.5	101.7	306.5	368.7	216.0	147.4	145.5	129.2	98.2	92.0
26	1960	70.8	62.6	69.3	120.1	345.9	354.5	213.8	132.1	160.3	169.3	103.1	82.5
27	1961	63.5	49.4	80.3	135.6	198.5	290.3	193.4	105.1	66.4	181.0	57.2	62.0
28	1962	56.2	41.5	42.3	75.6	152.5	182.9	87.6	68.6	51.6	54.0	68.5	56.2
29	1963	45.2	37.6	43.8	101.7	250.3	370.1	229.9	150.3	206.2	100.7	110.2	63.5
30	1964	51.8	45.5	50.4	80.5	252.5	228.8	133.6	90.5	72.0	75.9	62.9	53.3
31	1965	43.8	37.6	43.8	68.5	121.9	140.5	115.3	84.7	73.5	86.8	54.4	43.8
32	1966	37.2	31.0	42.3	89.7	186.1	178.0	110.9	98.5	94.6	362.0	109.5	78.1
33	1967	52.5	40.2	41.6	49.4	78.1	122.9	98.5	69.3	47.3	41.6	41.7	36.5
34	1968	34.3	31.0	40.9	60.0	181.7	233.8	121.9	100.7	120.8	70.8	110.2	59.8
35	1969	41.6	37.6	41.6	73.5	356.9	297.3	196.3	124.8	87.6	65.0	45.9	41.6
36	1970	36.5	31.0	45.2	65.7	107.3	188.6	108.0	74.4	54.4	82.5	51.6	45.2
37	1971	41.6	37.6	43.1	89.0	267.1	305.8	200.7	99.3	60.0	50.4	46.6	38.0
38	1972	41.6	50.8	123.3	154.0	210.2	466.1	294.8	129.9	178.7	129.9	64.3	40.1
39	1973	35.0	31.0	47.4	61.4	226.2	276.9	156.2	100.0	137.7	132.8	65.0	37.2

Tabella E.9: Serie storica dei deflussi mensili [mm] estratte dalla Pubblicazione 17 ed integrate con i dati degli annuali. (16/37 Grana a Monterosso)

20		Gen	Feb	Mar	Apr	Mag	Giu	Lug	Ago	Set	Ott	Nov	Dic
1	1934	34.9	42.2	94.3	269.4	407.0	134.9	50.9	37.8	29.7	25.5	31.5	35.4
2	1935	25.7	25.4	42.3	82.1	188.0	79.0	37.6	35.2	27.4	95.8	110.8	62.0
3	1936	57.2	46.7	125.5	222.9	412.3	259.2	100.8	39.4	33.5	34.9	26.4	23.9
4	1937	21.0	26.6	49.6	143.3	228.2	158.3	58.8	32.0	87.9	142.6	108.0	47.8
5	1938	32.0	24.9	43.9	44.0	123.4	106.0	41.0	26.5	70.4	65.1	34.3	37.0
6	1939	31.5	28.0	41.5	122.7	123.2	153.2	43.9	37.0	55.4	42.0	39.1	26.3
7	1940	23.9	23.0	40.2	56.9	169.4	99.9	57.0	28.4	20.8	33.3	36.1	28.6
8	1941	25.5	33.4	78.8	188.6	199.0	198.2	97.9	36.0	26.9	123.2	69.4	37.0
9	1942	22.8	17.1	57.8	129.1	147.8	68.6	33.6	24.2	25.2	29.4	42.7	21.0
10	1943	20.0	19.9	75.6	178.9	164.4	42.4	21.8	18.6	18.6	79.0	46.0	54.6
11	1944	38.9	29.2	41.0	148.9	100.8	43.2	27.3	33.6	28.5	142.3	95.5	33.1
12	1945	22.6	15.2	33.9	77.3	55.1	29.5	16.0	16.8	15.5	90.3	287.2	54.1
13	1946	43.1	55.7	144.4	246.0	296.7	158.6	90.1	32.8	25.9	17.3	18.0	16.0
14	1947	14.7	14.9	53.8	112.8	149.7	59.5	22.6	37.3	103.2	145.2	79.8	44.6
15	1948	52.3	52.9	74.0	160.1	417.5	81.6	28.4	24.4	59.5	35.2	50.3	24.2
16	1949	21.3	14.9	18.9	64.8	367.6	103.4	38.1	21.3	20.1	24.4	22.4	21.3
17	1950	17.3	17.6	46.2	97.3	172.8	71.9	24.2	19.7	15.5	15.2	16.8	14.4
18	1951	18.1	25.9	64.5	124.5	183.8	119.4	55.9	28.1	21.1	100.8	164.7	54.1
19	1952	26.3	15.9	20.2	101.1	124.2	65.1	27.8	20.5	14.7	20.5	16.8	17.6
20	1953	18.4	20.2	39.9	103.9	128.1	136.0	52.0	25.2	51.3	205.9	69.6	29.7
21	1954	18.4	13.5	49.1	80.6	139.2	80.3	47.3	22.1	13.2	10.8	9.7	10.5
22	1955	21.8	23.5	47.5	84.9	60.7	32.3	28.4	16.0	23.6	25.7	32.0	20.2
23	1956	9.2	11.9	32.6	119.4	123.9	58.4	45.2	22.6	29.0	26.0	41.4	30.2
24	1957	24.4	22.1	47.5	117.1	192.0	243.4	59.1	25.2	19.3	20.0	29.0	23.1
25	1958	23.9	40.1	36.0	101.1	158.3	64.8	44.1	26.3	23.1	34.4	99.4	58.8
26	1959	42.3	22.5	127.4	168.2	320.4	186.8	69.1	41.5	80.0	120.3	95.8	113.4
27	1960	53.0	48.1	106.6	292.2	315.1	171.0	54.1	25.5	71.4	145.5	110.0	80.1
28	1961	44.6	46.5	73.5	134.4	121.6	91.7	36.0	19.4	13.2	55.9	37.4	50.7
29	1962	41.0	22.5	34.7	126.3	130.2	78.8	33.6	23.6	20.3	26.3	97.6	31.0
30	1963	24.7	21.3	55.9	217.3	234.5	167.0	59.3	30.5	90.0	46.7	156.3	60.4
31	1964	30.5	23.5	64.6	184.7	140.2	81.1	44.1	26.3	22.9	42.0	57.2	36.0
32	1965	28.4	22.3	41.0	68.6	92.4	68.9	27.8	24.2	22.6	32.0	24.1	23.1
33	1966	22.1	23.0	52.3	110.3	123.7	46.5	26.0	30.7	62.0	194.8	88.2	39.4
34	1967	27.3	26.1	45.2	53.1	54.6	47.0	29.1	24.7	23.1	22.6	23.1	21.8
35	1968	21.3	19.4	25.5	63.0	133.7	123.0	45.2	35.2	36.1	29.1	48.3	32.6
36	1969	23.1	19.4	57.2	143.6	254.7	143.6	78.8	52.3	35.6	20.0	15.8	15.5
37	1970	15.0	14.9	35.4	71.4	135.2	85.4	33.9	23.1	22.6	28.9	21.1	18.9
38	1971	16.5	19.9	41.2	209.9	255.2	155.5	47.5	21.8	18.3	16.3	25.7	16.0
39	1972	18.9	26.3	148.6	213.2	228.5	202.3	85.3	39.9	89.4	123.4	42.9	26.5
40	1973	24.9	25.4	41.0	89.4	241.3	152.7	54.9	45.4	82.6	117.6	49.6	28.1
41	1975	15.2	15.9	36.5	136.2	262.6	198.2	53.8	37.0	63.3	50.9	65.8	40.7

Tabella E.9: Serie storica dei deflussi mensili [mm] estratte dalla Pubblicazione 17. (17/37
Stura di Demonte a Pianche)

21		Gen	Feb	Mar	Apr	Mag	Giu	Lug	Ago	Set	Ott	Nov	Dic
1	1933	37.0	33.8	43.5	86.5	124.3	103.4	94.0	50.2	61.3	112.0	49.1	39.5
2	1934	38.0	42.5	59.9	160.4	374.4	283.5	140.3	78.9	54.7	40.0	33.1	40.2
3	1935	30.9	27.8	39.7	73.9	131.4	232.0	132.1	76.9	66.2	125.5	83.5	64.8
4	1936	60.2	50.3	60.7	125.2	297.4	408.1	325.6	121.0	71.5	60.1	43.0	34.8
5	1937	30.9	29.8	31.8	95.9	278.2	259.2	109.8	70.7	98.5	118.8	96.8	60.7
6	1938	41.6	33.4	43.7	57.3	85.5	167.5	91.5	62.0	83.9	79.0	50.1	42.6
7	1939	39.8	35.8	40.1	101.8	119.4	213.4	136.6	77.1	60.6	59.0	53.4	35.1
8	1940	29.4	26.3	40.4	60.4	138.2	164.7	135.7	75.6	44.4	47.5	55.3	40.5
9	1941	33.3	30.3	50.2	106.4	147.4	254.9	186.5	94.1	50.3	72.7	47.1	35.7
10	1942	30.6	26.9	37.7	67.0	114.1	101.2	63.9	46.2	45.4	53.4	72.6	40.1
11	1943	37.0	33.5	47.4	113.0	180.5	114.3	59.2	40.7	59.9	73.7	53.4	41.9
12	1944	40.4	35.8	42.0	81.5	106.5	88.8	60.7	43.1	42.2	68.8	65.0	46.2
13	1945	36.6	32.1	41.7	68.2	93.5	72.6	48.5	36.4	34.9	82.9	111.3	42.9
14	1946	39.5	37.4	54.8	122.7	187.9	203.4	158.3	66.7	48.4	40.0	36.5	36.1
15	1947	35.4	31.8	44.5	104.4	236.8	96.2	61.4	51.8	57.4	68.5	55.8	47.6
16	1948	46.6	41.0	61.9	89.4	412.9	209.1	97.7	64.4	68.0	47.1	44.7	33.1
17	1949	29.9	22.9	28.7	66.4	152.4	111.1	55.8	37.3	34.8	36.1	29.5	26.9
18	1950	21.3	19.4	35.2	46.5	124.2	111.4	51.3	39.1	25.3	24.0	28.9	28.3
19	1951	17.6	23.0	48.1	90.1	153.9	126.6	52.4	63.0	45.7	47.1	106.7	53.4
20	1952	37.1	28.5	34.6	124.0	187.9	167.5	92.2	49.6	36.2	67.5	48.8	39.4
21	1953	28.0	22.2	34.8	65.2	100.2	129.2	72.2	40.8	44.0	126.1	87.2	47.1
22	1954	37.6	30.3	40.0	55.7	126.8	133.5	89.5	76.2	55.7	36.3	27.4	26.0
23	1955	37.0	27.3	48.4	83.3	138.1	144.6	74.4	38.8	31.9	33.0	40.5	28.0

Tabella E.9: Serie storica dei deflussi mensili [mm] estratte dalla Pubblicazione 17. (18/37
Rio Bagni a Bagni di Vinadio)

22		Gen	Feb	Mar	Apr	Mag	Giu	Lug	Ago	Set	Ott	Nov	Dic
1	1934	35.9	34.4	37.7	152.0	526.3	509.3	193.0	110.8	60.5	45.8	43.1	46.2
2	1935	40.6	36.3	44.9	101.9	312.8	496.9	242.6	139.5	76.2	151.0	66.7	51.3
3	1936	45.4	37.9	44.5	80.3	470.6	554.8	293.1	172.9	112.6	62.9	48.9	37.7
4	1937	32.5	31.7	38.9	102.3	272.1	313.4	181.4	99.7	149.1	153.6	107.2	59.5
5	1938	42.4	34.0	42.4	50.9	88.6	218.6	110.4	66.7	151.5	101.0	56.3	44.1
6	1939	47.1	39.0	39.4	127.1	144.6	286.5	207.5	100.5	78.3	87.3	76.6	41.9
7	1940	32.9	31.3	48.8	77.0	199.4	257.1	179.3	70.2	43.5	71.9	88.2	44.9
8	1941	33.4	29.0	45.8	103.5	170.3	298.5	258.4	105.7	54.7	84.7	71.6	46.2
9	1942	32.5	25.9	43.2	83.2	162.6	147.4	73.6	57.3	70.4	94.1	112.2	44.5
10	1943	36.8	35.2	50.9	186.7	273.8	177.2	80.0	53.9	87.0	121.1	62.9	44.9
11	1947	26.1	24.3	83.4	126.7	231.5	172.7	81.3	71.5	82.8	97.1	67.5	48.3
12	1948	47.1	42.1	79.2	159.0	479.2	368.5	112.1	63.3	75.8	40.2	39.7	25.7
13	1949	24.0	20.5	25.2	99.0	184.0	172.7	75.3	37.2	29.0	38.5	29.4	29.1
14	1950	27.4	23.6	41.1	57.6	206.2	204.5	72.7	50.5	34.4	30.8	60.5	39.8
15	1951	31.7	27.8	53.1	84.1	190.2	360.6	232.8	99.3	43.1	71.5	157.8	60.3
16	1952	34.7	24.3	40.6	117.2	267.8	273.7	98.8	44.9	36.9	88.1	40.6	37.7
17	1953	25.2	22.0	30.4	67.9	132.6	137.9	85.6	48.3	72.9	286.2	93.6	44.9
18	1954	29.1	19.7	27.0	50.5	154.9	225.7	108.2	74.0	52.6	40.2	29.4	31.2
19	1955	38.5	23.2	44.5	77.8	237.0	238.1	129.2	41.5	36.0	49.2	84.9	48.3
20	1956	37.7	22.4	24.8	79.1	279.8	237.7	219.1	61.6	88.2	41.9	35.2	30.0

Tabella E.9: Serie storica dei deflussi mensili [mm] estratte dalla Pubblicazione 17. (19/37 Vermenagna a Limone)

23		Gen	Feb	Mar	Apr	Mag	Giu	Lug	Ago	Set	Ott	Nov	Dic
1	1941	36.1	41.9	99.7	214.3	376.0	354.4	80.5	39.8	31.7	58.1	114.2	51.5
2	1942	36.1	25.4	47.8	160.0	191.0	161.3	46.8	35.1	32.6	64.2	53.5	26.2
3	1943	23.9	23.7	52.9	222.5	236.0	59.8	32.3	23.9	26.3	174.7	91.1	61.3
4	1944	49.6	32.1	59.0	216.2	148.9	76.1	49.2	37.0	38.5	216.3	88.4	34.2
5	1945	26.2	30.0	44.0	102.0	60.9	33.5	17.3	17.3	16.3	65.1	137.8	38.4
6	1946	25.8	31.7	64.2	273.2	305.3	144.1	90.8	37.9	32.2	24.8	29.9	28.1
7	1947	21.5	21.6	120.8	196.2	187.8	79.3	47.3	42.6	94.7	190.6	125.1	51.5
8	1948	55.3	51.2	96.5	160.4	487.0	146.4	87.1	55.7	142.7	63.2	85.2	40.7
9	1949	35.1	32.1	36.5	99.7	266.0	82.5	43.1	27.2	23.6	28.6	46.2	40.7
10	1950	33.7	34.3	82.4	162.2	446.2	131.4	42.6	34.2	28.1	26.2	46.7	37.9
11	1951	33.7	32.6	99.3	206.6	408.3	229.3	44.5	49.2	45.8	171.4	634.4	61.8
12	1952	43.1	33.8	40.7	141.4	131.6	44.9	32.8	34.2	32.2	43.1	33.1	37.9
13	1953	32.8	32.1	52.4	147.7	135.3	170.8	54.8	43.1	63.9	278.6	74.8	42.6
14	1954	42.6	32.1	59.5	121.9	244.4	115.1	74.5	82.4	61.6	55.7	57.1	202.3
15	1955	73.5	63.0	102.5	260.6	209.8	122.8	86.6	73.0	90.6	140.0	72.5	59.9
16	1956	48.2	40.2	55.7	199.4	329.6	121.9	52.0	42.6	51.2	54.3	58.9	52.9

Tabella E.9: Serie storica dei deflussi mensili [mm] estratte dalla Pubblicazione 17. (20/37 Rio del Piz a Pietraporzio)

24		Gen	Feb	Mar	Apr	Mag	Giu	Lug	Ago	Set	Ott	Nov	Dic
1	1934	38.3	27.6	33.2	97.5	367.3	496.2	276.8	119.9	74.1	43.4	32.1	28.1
2	1935	25.5	19.6	21.7	51.8	127.5	306.1	218.1	126.3	88.9	177.3	83.9	53.6
3	1936	38.3	30.0	29.3	85.2	283.1	439.4	369.9	197.7	111.1	61.2	38.3	31.9
4	1937	25.5	19.6	21.7	61.7	253.8	397.4	210.4	117.3	175.3	183.7	122.2	54.8
5	1938	37.0	28.8	31.9	38.3	199.0	291.3	187.5	84.2	154.3	144.1	56.8	42.1
6	1939	31.9	33.4	40.8	90.1	123.7	371.5	320.1	132.6	96.3	96.9	72.8	48.5
7	1940	34.4	19.6	24.2	39.5	151.8	249.3	205.3	90.6	50.6	52.3	60.5	42.1
8	1941	29.3	21.9	25.5	65.4	167.1	409.8	375.0	163.3	60.5	116.1	59.2	38.3
9	1942	26.8	20.7	25.5	61.7	126.3	190.1	99.5	61.2	64.2	91.8	108.6	42.1
10	1943	30.6	21.9	26.8	92.6	230.9	211.1	93.1	56.1	112.3	107.1	67.9	44.6
11	1944	35.7	27.6	29.3	56.8	145.4	181.4	116.1	59.9	56.8	66.3	55.5	44.6
12	1945	30.6	25.3	31.9	56.8	142.8	114.8	80.4	49.7	51.8	48.5	162.9	61.2
13	1946	44.6	34.6	39.5	119.7	225.8	339.4	335.4	165.8	85.2	59.9	45.7	38.3
14	1947	29.3	24.2	37.0	91.3	234.7	206.1	121.2	85.5	104.9	123.7	74.1	51.0
15	1948	45.9	33.4	51.0	100.0	331.6	318.4	164.5	107.1	98.7	58.7	50.6	44.6
16	1949	29.3	21.9	25.5	21.0	178.6	222.2	109.7	108.4	85.2	113.5	82.7	53.6
17	1950	42.1	34.6	48.5	75.3	218.1	249.3	108.4	127.5	67.9	81.6	54.3	51.0
18	1951	37.0	28.8	48.5	122.2	239.8	369.1	238.5	123.7	59.2	57.4	98.7	54.8
19	1952	37.0	26.5	29.3	118.5	262.7	393.7	213.0	90.6	64.2	108.4	75.3	52.3
20	1953	37.0	27.6	30.6	55.5	144.1	191.3	147.9	94.4	104.9	315.0	148.1	67.6
21	1954	43.4	30.0	31.9	51.8	149.2	288.8	164.5	126.3	83.9	62.5	55.5	52.3
22	1955	51.0	44.9	59.9	102.4	183.7	222.2	160.7	89.3	58.0	52.3	51.8	49.7
23	1956	47.2	41.5	44.6	50.6	135.2	176.5	172.2	82.9	95.0	65.0	49.4	47.2

Tabella E.9: Serie storica dei deflussi mensili [mm] estratte dalla Pubblicazione 17. (21/37 Stura di Demonte a Gaiola)

25		Gen	Feb	Mar	Apr	Mag	Giu	Lug	Ago	Set	Ott	Nov	Dic
1	1935	37.8	34.8	46.7	75.6	153.5	220.9	121.5	85.8	63.6	128.7	107.5	80.5
2	1936	73.4	59.4	95.3	173.0	359.8	369.0	284.5	117.2	79.8	62.0	46.6	39.3
3	1937	33.6	33.0	43.8	96.4	216.8	222.3	102.0	63.4	115.8	143.5	109.3	64.8
4	1938	45.3	37.2	46.9	48.0	97.7	166.0	77.2	52.9	99.2	74.3	50.7	46.8
5	1939	47.7	41.3	52.4	107.9	122.5	223.2	126.8	80.1	76.6	69.6	63.2	44.5
6	1940	35.1	31.3	45.4	60.0	123.4	131.9	96.7	73.9	43.8	54.3	60.4	43.8
7	1941	35.3	33.6	62.4	130.5	173.0	284.1	186.8	76.7	48.4	93.9	67.3	51.9
8	1942	39.4	31.0	46.6	78.9	139.6	119.0	60.5	47.4	54.4	67.7	78.9	42.3
9	1943	34.7	29.5	54.3	139.7	185.4	108.8	55.8	41.2	58.1	100.1	63.2	54.3
10	1944	45.5	36.5	44.2	92.7	114.9	94.5	57.7	54.3	47.0	102.9	92.7	55.8
11	1958	26.2	35.0	33.8	61.8	194.4	134.2	82.0	33.3	27.6	53.4	52.6	47.7
12	1959	30.0	26.8	72.4	110.2	243.1	222.8	108.2	92.5	79.8	97.2	80.7	72.4
13	1960	50.0	43.9	69.1	163.3	302.2	261.5	121.1	81.0	113.5	185.4	126.8	82.9
14	1961	50.5	43.5	61.5	101.9	131.5	156.4	80.1	45.8	35.7	83.4	48.4	47.7
15	1962	48.1	31.1	37.6	86.2	159.2	132.4	69.1	38.4	33.3	41.8	55.8	35.2
16	1963	30.0	23.8	34.4	90.4	212.6	184.5	103.9	65.8	82.1	60.0	162.8	58.6
17	1964	38.6	28.2	33.5	87.2	175.4	143.4	58.1	35.6	29.5	35.3	30.5	26.6
18	1965	24.2	20.8	25.8	39.8	64.3	55.3	31.1	30.3	29.1	60.5	31.5	27.2

Tabella E.9: Serie storica dei deflussi mensili [mm] estratte dalla Pubblicazione 17. (22/37 Gesso di Entracque ad Entracque)

27		Gen	Feb	Mar	Apr	Mag	Giu	Lug	Ago	Set	Ott	Nov	Dic
1	1952	24.9	20.8	49.1	176.7	226.9	206.4	104.9	68.6	55.8	80.2	52.3	56.3
2	1953	33.1	30.4	46.9	105.5	182.5	193.2	99.3	75.2	141.5	411.1	102.4	60.4
3	1954	40.1	25.1	72.2	145.3	238.8	246.0	134.1	88.4	48.2	40.3	32.7	52.2
4	1955	52.9	39.8	97.9	164.8	223.5	222.9	129.3	65.2	80.7	114.5	112.4	53.4
5	1956	30.4	20.6	35.5	138.7	278.1	211.3	139.7	60.9	142.8	50.7	58.1	36.7
6	1957	29.0	31.3	63.5	180.0	252.5	700.0	160.0	79.2	39.0	36.5	64.2	42.3
7	1958	34.1	72.1	52.7	131.7	331.0	189.9	149.4	69.8	50.5	127.1	87.3	65.5
8	1959	41.8	45.3	128.1	189.9	467.4	346.7	216.7	155.4	186.6	218.4	132.4	104.1
9	1961	47.4	45.5	70.6	136.4	189.4	211.3	123.0	63.3	38.5	96.9	40.1	54.9
10	1962	63.6	29.1	41.3	123.8	186.0	208.0	99.1	60.4	47.1	70.8	111.1	52.9
11	1963	33.6	28.0	53.7	157.5	259.3	284.0	197.9	103.4	110.9	90.8	241.0	87.2
12	1964	45.7	30.7	61.8	191.5	351.4	277.4	126.1	67.7	51.5	45.5	70.8	39.6

Tabella E.9: Serie storica dei deflussi mensili [mm] estratte dalla Pubblicazione 17 ed integrate con i dati degli annali. (23/37 Tanaro a Montecastello)

28		Gen	Feb	Mar	Apr	Mag	Giu	Lug	Ago	Set	Ott	Nov	Dic
1	1923	31.7	50.0	41.9	74.3	51.7	25.1	13.0	4.8	11.6	11.1	36.7	42.6
2	1924	19.1	25.5	34.2	54.9	34.5	29.0	13.5	6.2	6.3	40.6	25.2	53.3
3	1925	15.9	56.7	70.4	71.1	57.4	46.4	50.3	12.7	11.4	25.6	27.3	17.6
4	1926	17.4	49.4	24.7	56.2	117.1	42.5	31.8	12.7	11.3	23.1	196.1	66.8
5	1927	48.3	31.8	73.1	42.2	57.0	34.4	8.6	3.9	5.3	8.8	23.9	62.7
6	1928	43.3	36.7	93.6	111.0	93.2	64.9	21.2	6.1	16.3	70.8	115.2	30.9
7	1929	28.4	22.4	51.7	33.4	55.3	30.0	7.1	27.1	12.5	42.9	30.7	46.6
8	1930	47.0	40.9	119.4	91.5	93.6	75.0	25.3	9.3	17.6	16.4	14.5	19.5
9	1931	17.9	13.0	25.9	22.8	70.1	14.5	4.5	4.6	6.5	21.4	64.9	25.5
10	1932	20.9	18.6	46.3	51.3	85.5	47.7	71.1	9.9	15.0	27.7	22.1	73.8
11	1933	22.8	42.7	54.7	39.9	35.2	29.4	13.4	4.6	27.0	29.8	102.3	38.2
12	1934	40.6	43.3	136.2	131.1	156.3	84.4	32.8	28.7	19.2	13.0	133.1	66.1
13	1935	31.7	38.5	44.3	38.0	75.1	53.9	22.0	59.4	18.7	85.9	120.8	82.5
14	1936	110.7	82.7	181.8	139.9	177.8	128.9	56.0	21.4	36.7	26.5	35.7	36.6
15	1937	22.3	53.6	105.7	91.5	73.8	54.5	21.7	14.4	56.5	99.3	106.5	29.1
16	1938	23.2	18.8	19.5	10.1	46.6	25.6	8.9	8.6	63.9	42.9	36.4	55.0
17	1939	74.1	30.0	43.9	40.6	77.8	63.6	15.9	15.0	29.4	22.1	31.8	22.8
18	1940	14.6	24.8	24.6	23.0	81.5	58.4	21.4	7.5	8.7	25.0	42.8	18.8
19	1941	25.5	72.1	107.0	150.3	105.7	104.5	40.9	12.1	11.1	40.9	71.1	24.1
20	1942	15.4	18.2	71.4	65.6	74.8	29.5	10.7	7.7	14.5	45.3	35.1	30.1
21	1943	23.3	29.8	48.3	61.7	84.9	14.7	7.7	7.0	10.8	46.0	48.0	72.5
22	1944	24.1	17.7	24.9	39.6	26.7	12.9	12.7	12.2	10.3	92.6	44.8	20.8
23	1945	13.4	29.5	25.9	24.2	22.4	16.0	3.6	13.3	4.8	18.9	75.6	63.1
24	1946	19.3	43.6	164.0	66.9	85.5	42.5	20.9	6.7	10.1	7.8	13.4	12.0
25	1947	8.7	15.8	70.4	49.3	36.2	13.2	7.6	6.8	30.6	88.9	48.0	56.0
26	1948	67.8	65.7	36.2	58.8	210.6	44.8	14.2	14.6	99.7	27.0	32.0	14.9
27	1949	33.2	17.5	20.0	27.1	135.8	34.4	11.0	5.5	6.3	10.6	32.4	18.9
28	1950	15.8	35.4	37.2	87.3	79.2	21.5	3.7	16.0	4.3	10.5	6.2	19.6
29	1953	16.9	19.1	22.3	37.0	39.9	65.6	19.1	12.6	21.0	110.7	39.0	46.3
30	1954	34.2	37.3	76.5	37.3	97.3	43.2	22.9	11.7	10.7	4.3	28.9	108.3
31	1955	74.1	63.0	49.6	34.7	22.5	20.0	12.2	11.5	16.3	27.6	22.1	19.9
32	1956	21.9	13.1	119.7	98.4	49.6	27.2	13.5	3.9	35.7	19.5	49.3	23.2
33	1957	20.2	36.7	34.9	122.1	122.8	112.6	22.1	5.8	4.7	10.8	61.0	74.5
34	1958	27.7	33.3	25.3	89.6	49.3	24.3	13.7	3.7	5.1	31.9	98.7	93.6
35	1959	32.0	27.5	90.6	91.5	125.8	57.1	18.9	21.3	27.0	92.6	82.1	177.8
36	1960	62.7	64.2	106.0	121.1	89.9	59.4	28.0	13.8	37.0	157.0	109.4	125.1
37	1961	50.3	33.6	28.9	49.3	36.2	28.7	8.8	4.3	3.7	26.5	73.0	31.8
38	1962	30.1	17.2	37.6	75.0	49.0	31.3	10.6	3.6	3.5	14.8	120.1	26.2
39	1963	29.7	18.3	80.8	141.2	76.5	57.5	23.4	16.9	46.7	28.1	91.5	40.3
40	1964	22.3	34.8	106.7	103.2	51.3	33.1	16.1	6.9	6.8	15.2	20.1	24.8
41	1965	18.3	16.5	30.4	20.6	16.3	20.1	3.5	6.0	8.1	59.0	16.0	11.4
42	1966	7.3	77.6	38.6	42.2	33.4	8.5	4.8	5.3	12.7	93.9	74.3	39.9
43	1967	29.3	44.8	35.2	14.5	19.4	5.3	3.9	6.1	5.4	24.7	10.7	18.8
44	1968	6.8	28.1	27.5	31.7	41.9	40.9	10.0	10.6	30.8	12.8	158.7	61.4
45	1969	27.5	36.1	93.2	96.1	106.7	43.8	22.4	14.3	22.3	15.5	15.1	11.4
46	1970	24.6	32.4	51.3	37.7	47.6	33.8	11.7	3.3	3.0	17.4	30.3	16.3
47	1971	22.9	37.6	117.1	95.4	97.6	62.6	25.2	9.7	10.3	12.5	33.1	19.4
48	1972	42.3	161.5	202.6	89.6	80.8	80.8	36.6	18.7	45.1	52.3	29.9	29.9
49	1973	56.4	41.5	37.6	38.6	52.7	50.3	14.8	8.4	31.6	39.6	14.4	47.3
50	1974	53.7	143.9	130.5	114.6	108.0	60.1	27.0	15.1	17.9	18.0	20.7	15.0
51	1975	32.1	32.7	80.8	56.5	103.0	62.6	19.8	17.4	36.4	31.2	74.0	57.7
52	1976	27.1	50.6	41.3	42.5	56.4	29.1	16.3	15.8	60.4	185.2	139.6	47.6
53	1977	71.4	72.4	119.4	61.4	136.9	64.3	37.9	48.3	37.0	130.1	36.4	49.3
54	1980	29.1	50.3	68.8	34.4	57.4	49.3	13.8	8.6	5.7	35.2	25.0	17.7
55	1981	10.9	7.4	7.8	90.2	37.9	26.9	28.3	19.6	33.8	26.6	18.5	15.6
56	1982	27.2	27.2	36.2	26.4	34.9	19.2	15.4	13.6	23.6	38.6	91.5	82.5
57	1984	20.2	19.5	47.3	53.9	185.2	82.1	23.0	28.5	30.2	42.3	36.0	39.2
58	1985	23.2	34.8	115.1	39.9	95.6	32.8	14.4	10.1	7.6	7.3	9.3	8.7

Tabella E.9: Serie storica dei deflussi mensili [mm] estratte dalla Pubblicazione 17. (24/37 Tanaro a Ponte Nava)

29		Gen	Feb	Mar	Apr	Mag	Giu	Lug	Ago	Set	Ott	Nov	Dic
1	1931	10.5	7.8	46.0	69.2	262.4	43.4	11.2	7.4	12.3	87.2	165.3	31.5
2	1932	23.5	20.8	63.9	76.5	300.4	169.2	148.9	28.1	46.4	33.1	15.6	99.0
3	1933	26.4	29.6	34.4	129.2	168.3	95.8	51.2	12.1	36.6	30.0	140.8	38.4
4	1934	29.3	41.8	110.4	243.4	361.9	211.9	64.6	49.9	24.2	12.1	164.1	113.7
5	1936	128.9	131.4	208.1	225.9	374.6	425.6	163.6	33.7	28.0	21.5	62.7	23.2
6	1937	18.1	68.7	140.8	157.1	296.8	152.5	50.3	25.3	149.4	249.7	117.7	47.2
7	1938	27.0	14.1	24.1	23.6	123.1	87.4	16.3	13.9	164.6	61.7	101.4	114.0
8	1939	106.6	43.8	55.6	130.7	193.6	259.2	59.9	56.5	65.9	46.9	100.5	25.0
9	1940	16.3	41.4	62.8	78.3	251.6	185.6	70.6	19.2	12.1	59.9	145.5	37.5
10	1941	23.3	46.7	136.3	239.9	295.0	446.6	134.8	20.6	43.1	95.7	213.7	34.0
11	1942	10.9	7.0	70.8	110.0	178.4	91.2	26.1	17.2	47.8	67.7	58.8	34.2
12	1943	20.8	30.2	82.7	194.4	226.2	51.1	16.1	8.3	18.7	60.4	28.5	114.4
13	1946	23.3	46.9	126.3	215.4	273.3	176.9	71.1	15.6	11.0	7.8	11.4	14.5
14	1947	12.3	17.2	137.9	144.1	132.8	38.7	20.1	14.7	62.3	147.7	91.1	82.9
15	1948	76.0	83.2	120.0	175.1	331.2	125.4	40.5	37.1	74.3	19.4	36.4	20.6
16	1949	29.1	22.4	35.8	73.0	193.6	146.4	31.3	12.7	9.1	17.9	71.6	34.2
17	1950	28.4	43.6	85.8	94.2	255.2	108.4	30.8	23.5	22.1	13.4	58.8	36.7
18	1951	25.7	78.3	160.5	148.3	267.8	227.7	94.5	24.4	14.2	48.0	367.8	51.4
19	1952	43.6	28.9	41.4	178.6	151.7	36.6	14.3	11.8	6.5	51.2	23.6	28.1
20	1953	14.8	16.7	21.5	47.8	81.4	129.1	42.5	24.8	33.8	136.6	34.5	45.8
21	1954	16.6	13.2	55.7	65.9	182.8	94.7	40.2	23.0	11.0	12.3	63.0	138.4
22	1955	62.4	59.3	83.8	123.3	150.8	70.8	35.8	29.9	38.9	73.1	62.0	52.7
23	1956	38.4	22.4	98.3	155.0	238.9	97.0	27.9	12.5	37.5	10.1	20.1	10.3
24	1957	9.4	22.4	56.8	73.9	111.7	203.2	49.8	18.3	10.0	19.2	72.2	72.4
25	1958	16.1	57.4	25.2	79.7	253.4	95.1	25.9	9.2	7.7	49.9	88.4	78.0
26	1959	42.7	43.6	121.3	147.8	276.9	171.8	49.0	33.5	32.8	193.6	134.2	123.2
27	1960	83.2	71.3	125.1	190.9	363.8	250.4	85.8	32.4	110.3	284.1	142.9	88.3
28	1962	70.8	25.5	61.9	149.7	181.0	126.8	46.9	14.8	8.1	29.9	296.0	35.1
29	1963	42.3	33.0	91.2	161.5	197.3	172.3	46.7	43.8	36.1	35.3	245.2	66.8
30	1964	29.3	34.5	101.2	234.7	244.3	76.0	31.1	20.8	21.9	22.8	26.1	28.6
31	1965	31.1	21.9	53.4	54.5	110.8	65.0	24.4	36.4	66.9	199.1	82.8	53.9
32	1966	43.4	82.4	71.1	172.7	167.9	58.7	22.8	27.5	35.0	110.9	151.8	63.5
33	1967	30.0	46.4	91.0	65.5	87.0	66.0	26.8	14.3	18.2	12.7	77.1	34.7
34	1968	24.4	54.6	62.6	113.0	188.2	93.5	38.0	29.0	81.4	27.1	345.0	102.2

Tabella E.9: Serie storica dei deflussi mensili [mm] estratte dalla Pubblicazione 17. (25/37 Tanaro a Nucetto)

30		Gen	Feb	Mar	Apr	Mag	Giu	Lug	Ago	Set	Ott	Nov	Dic
1	1933	27.9	34.1	127.1	96.8	108.6	94.7	47.5	10.6	43.4	35.0	227.4	66.4
2	1934	61.5	71.0	226.4	299.3	302.1	121.0	54.4	40.9	29.1	12.6	288.2	167.1
3	1935	38.1	42.6	58.1	74.6	182.1	117.5	31.2	30.3	18.5	155.7	223.9	180.0
4	1936	144.3	126.4	283.6	231.6	250.7	242.6	74.3	19.6	21.5	19.1	62.2	35.9
5	1937	24.5	76.8	169.3	143.1	165.7	93.3	39.9	18.1	99.5	219.3	132.0	44.7
6	1938	31.0	18.6	22.9	19.8	101.4	56.7	14.6	14.6	125.8	54.6	79.5	107.9
7	1939	125.0	49.8	75.7	107.1	163.6	158.3	34.6	33.6	41.7	31.2	101.6	23.1
8	1940	18.9	39.0	58.6	62.0	197.1	157.6	50.6	18.4	14.6	46.7	113.4	44.9
9	1941	43.4	80.6	200.7	293.8	209.3	245.4	89.3	21.1	96.1	97.9	247.4	40.3
10	1942	21.0	19.4	74.3	89.9	131.4	60.5	21.2	19.3	35.8	68.1	41.5	49.8
11	1943	27.6	37.7	108.6	127.2	143.6	25.0	12.2	8.7	12.4	47.8	36.1	159.3
12	1944	32.7	20.1	35.9	89.2	71.3	34.4	40.1	14.4	15.1	218.6	108.5	25.1
13	1947	16.8	23.9	126.4	116.8	83.6	24.4	13.9	14.4	72.6	117.8	89.9	58.8
14	1948	85.0	87.7	86.4	126.5	245.7	68.4	21.2	21.6	105.1	27.3	37.4	20.0
15	1949	59.9	21.1	30.2	56.9	232.1	68.2	15.4	8.1	7.8	8.1	70.5	38.3
16	1950	29.9	51.5	105.0	104.4	151.4	54.9	20.1	15.6	14.9	15.7	41.3	27.8
17	1951	33.0	120.0	157.8	111.3	184.3	111.3	32.1	12.3	10.9	28.6	414.0	43.4
18	1952	22.8	16.4	25.4	134.1	133.6	31.0	16.1	16.8	13.3	38.1	25.9	33.1
19	1953	18.2	19.0	30.9	45.7	64.7	122.3	27.2	15.6	29.1	122.1	37.0	58.4
20	1954	27.2	21.1	91.4	61.6	162.8	64.6	35.4	21.4	13.7	12.7	65.0	166.4
21	1955	56.3	70.3	80.0	76.0	67.6	36.8	18.2	17.7	25.3	67.9	42.0	39.6
22	1956	35.2	26.1	94.3	137.5	163.6	70.5	24.6	12.7	43.1	24.6	75.3	39.5
23	1957	28.6	61.3	99.3	138.2	157.1	176.9	39.4	14.6	12.0	15.8	118.9	125.7
24	1958	44.4	86.4	50.1	109.9	135.0	53.2	31.4	13.7	15.3	42.1	158.3	115.0
25	1959	51.1	42.1	139.3	147.9	230.7	105.1	32.9	27.1	28.9	144.3	114.0	165.7
26	1960	85.7	74.8	148.6	197.7	204.3	101.6	35.4	22.6	70.5	275.0	154.8	90.0
27	1961	36.1	27.4	35.0	65.9	56.5	52.0	16.7	10.1	8.2	18.9	80.2	51.4
28	1962	49.9	19.8	55.5	151.4	104.3	68.8	25.5	11.4	10.0	23.5	257.1	26.4
29	1963	29.1	19.7	84.3	195.5	157.8	103.0	32.4	23.5	26.8	24.1	118.2	52.9
30	1964	23.9	34.6	151.4	170.7	117.1	43.3	18.2	13.7	13.6	18.1	22.5	25.2
31	1965	18.9	16.1	49.4	40.8	57.9	40.7	16.1	26.0	48.5	195.7	43.8	26.5

Tabella E.9: Serie storica dei deflussi mensili [mm] estratte dalla Pubblicazione 17 ed integrate con i dati degli annali. (26/37 Tanaro a Farigliano)

31		Gen	Feb	Mar	Apr	Mag	Giu	Lug	Ago	Set	Ott	Nov	Dic
1	1942	26.0	27.8	120.5	124.8	123.4	48.9	23.4	28.3	35.6	54.6	38.3	32.7
2	1944	49.3	33.9	50.2	105.1	65.5	26.4	25.2	38.7	22.0	168.6	84.8	31.7
3	1945	20.2	41.8	57.2	58.8	33.4	16.6	11.3	21.1	23.7	52.1	116.7	33.1
4	1946	31.1	64.9	204.1	149.0	143.1	74.4	33.8	14.7	15.0	14.8	23.5	23.6
5	1947	16.9	17.5	99.8	88.0	72.7	17.4	9.6	14.7	76.8	148.2	88.9	76.4
6	1948	88.9	94.7	91.0	124.5	320.3	64.7	25.0	25.5	127.2	45.2	55.2	23.6
7	1949	32.0	25.0	36.1	54.8	212.9	62.5	15.9	10.4	13.3	20.9	48.5	31.7
8	1950	29.2	42.0	92.4	130.5	171.2	44.4	11.2	12.2	13.4	18.1	31.0	28.3
9	1951	44.7	123.5	136.6	127.9	183.0	100.3	39.1	20.8	19.9	78.1	282.7	48.0
10	1952	31.3	22.6	29.0	100.5	103.1	26.4	20.4	18.3	18.9	36.1	24.9	31.3
11	1953	20.2	26.5	54.9	85.5	81.5	120.1	26.9	26.4	58.1	205.9	69.8	70.4
12	1954	47.9	45.3	151.5	98.6	170.5	90.6	58.6	35.4	25.4	22.3	36.6	111.6
13	1955	73.6	81.7	96.8	96.6	68.1	46.0	22.3	31.7	45.6	55.8	47.7	41.2
14	1956	36.8	25.4	144.3	177.1	121.8	44.8	18.5	8.6	31.2	25.5	70.3	28.7
15	1957	24.5	47.4	70.6	173.7	184.8	162.8	23.1	12.1	12.4	19.5	81.7	79.7
16	1958	45.9	73.0	46.1	126.2	126.2	48.5	36.6	12.0	18.6	47.3	189.0	100.0
17	1959	54.2	52.3	149.8	150.9	239.3	102.9	28.0	34.7	57.6	125.8	106.4	181.3
18	1960	69.9	79.2	163.1	250.3	195.3	96.7	36.8	19.7	66.2	205.9	126.0	134.6
19	1961	47.9	40.4	42.2	78.2	63.4	38.8	10.4	7.5	6.5	30.8	59.4	48.2
20	1962	44.5	24.6	53.5	135.2	94.3	66.1	26.4	13.3	12.5	44.2	243.5	39.8
21	1963	30.8	19.7	110.3	201.0	173.0	97.4	32.6	25.9	46.8	39.6	99.5	58.6
22	1964	32.9	42.9	148.0	166.6	99.6	56.5	29.4	15.3	18.1	31.1	40.5	37.8
23	1965	29.9	26.7	51.7	47.7	49.8	42.6	14.3	18.8	22.1	86.1	26.9	28.2
24	1966	20.2	82.0	73.6	95.2	73.0	25.2	18.8	24.8	47.3	122.0	117.5	48.9
25	1967	31.0	32.7	77.6	47.9	40.7	47.5	16.1	20.8	25.5	20.2	40.9	26.7
26	1968	20.8	30.4	48.0	75.4	96.4	96.1	20.6	29.6	42.4	25.9	206.1	80.2
27	1969	43.1	41.5	159.3	156.8	212.9	63.4	35.7	30.6	42.4	24.3	23.5	20.6
28	1970	37.3	44.8	91.0	79.7	103.7	52.1	17.2	11.0	10.0	19.0	53.3	25.7
29	1976	29.9	59.9	75.5	82.6	129.7	39.0	16.4	17.4	88.0	248.1	167.2	48.2
30	1977	51.2	70.7	141.3	94.3	248.1	80.7	32.4	53.8	45.8	56.1	26.1	38.4
31	1980	35.2	32.1	106.5	81.6	133.6	80.0	32.0	21.1	43.4	25.3	22.7	29.6
32	1981	21.8	18.3	38.5	142.9	48.7	49.9	64.8	34.8	72.9	45.6	36.6	27.8
33	1982	38.7	57.2	56.5	71.0	70.7	39.2	29.9	31.5	44.1	53.1	159.2	133.4
34	1983	44.0	33.4	95.4	121.8	123.9	104.1	38.9	54.2	42.1	38.9	36.6	41.5
35	1984	42.2	31.0	83.6	112.6	264.0	139.0	34.5	66.3	63.2	57.4	57.4	74.3
36	1985	42.6	43.7	118.6	79.2	136.0	50.6	18.3	13.7	16.3	20.4	23.0	22.0

Tabella E.9: Serie storica dei deflussi mensili [mm] estratte dalla Pubblicazione 17. (27/37 Corsaglia a Molline)

32		Gen	Feb	Mar	Apr	Mag	Giù	Lug	Ago	Set	Ott	Nov	Dic
1	1931	23.6	19.1	39.9	92.6	170.4	48.3	21.2	19.1	23.1	48.1	82.0	49.0
2	1932	30.0	24.1	42.7	122.7	243.0	133.0	117.7	42.7	52.4	53.9	54.2	81.4
3	1933	37.8	45.1	80.8	219.7	212.2	109.8	66.6	24.5	37.8	41.2	87.6	51.4
4	1934	42.7	58.8	136.5	415.9	659.8	244.3	83.8	73.5	44.2	21.2	112.8	71.4
5	1935	32.1	36.6	69.9	137.7	301.1	212.0	56.0	38.4	21.7	162.8	181.9	82.3
6	1936	84.4	58.2	169.2	286.4	432.8	345.6	145.0	37.8	39.8	47.2	49.8	33.3
7	1937	25.7	36.9	81.7	167.8	287.5	155.5	56.3	30.6	145.6	197.3	106.3	38.4
8	1938	26.3	20.2	38.7	41.0	191.6	85.5	26.3	32.4	147.6	77.5	68.2	69.3
9	1939	54.2	42.6	52.7	172.2	217.6	301.7	25.7	42.1	56.2	41.8	72.9	32.7
10	1940	21.2	26.0	58.4	77.9	207.3	140.9	68.1	24.5	18.5	80.5	89.3	38.7
11	1941	29.1	32.3	94.4	231.1	273.9	316.3	112.6	30.6	43.6	90.5	132.4	36.0
12	1942	24.2	18.9	82.0	177.2	257.9	105.7	42.4	31.5	49.5	78.7	65.6	26.3
13	1943	22.4	29.2	123.8	266.5	240.0	46.0	21.5	17.9	19.0	124.4	57.7	62.6
14	1944	39.3	30.1	53.6	215.9	158.0	57.4	51.1	30.6	26.9	183.4	99.9	29.4
15	1945	20.6	24.3	48.1	113.6	71.4	29.0	15.4	15.4	15.2	67.8	118.0	22.4
16	1946	20.0	34.7	121.7	278.2	278.1	135.3	88.4	26.0	19.6	15.1	19.6	18.5
17	1947	16.3	43.2	126.5	187.7	143.5	37.8	18.8	21.5	119.2	215.5	106.6	39.0
18	1948	46.0	50.6	105.3	183.6	429.8	95.5	27.8	22.4	115.7	54.2	74.1	19.4
19	1949	14.8	13.1	20.9	84.9	268.1	97.8	39.6	12.1	10.3	17.6	44.5	34.5
20	1950	21.8	33.3	87.2	89.9	288.4	98.1	17.9	10.9	7.3	9.1	29.9	13.6
21	1951	17.6	54.4	123.5	193.3	272.1	201.5	56.3	15.1	10.0	86.9	377.8	44.2
22	1952	19.7	11.2	19.4	123.3	116.2	35.1	16.0	15.4	10.3	38.4	17.3	23.0
23	1953	16.0	19.1	52.1	139.4	145.9	153.2	30.3	20.3	46.6	216.7	72.6	54.2
24	1954	31.5	19.7	95.0	128.3	266.6	132.7	80.5	36.0	16.7	10.6	11.7	101.1
25	1955	46.9	43.2	89.3	181.9	189.5	83.5	32.7	57.2	67.4	67.8	51.0	28.4
26	1956	18.8	11.8	61.7	211.2	274.5	123.9	33.9	9.1	39.2	16.9	43.1	17.9
27	1957	13.9	20.0	89.9	196.2	272.7	289.1	49.3	14.8	14.9	18.5	95.2	40.3
28	1958	36.6	83.9	65.1	170.5	335.9	109.2	48.7	16.6	14.6	71.1	137.9	67.2
29	1959	30.6	34.7	158.9	224.6	384.4	235.5	49.0	37.2	64.4	155.9	97.5	99.9

Tabella E.9: Serie storica dei deflussi mensili [mm] estratte dalla Pubblicazione 17. (28/37 Scrvia a Serravalle)

33		Gen	Feb	Mar	Apr	Mag	Giu	Lug	Ago	Set	Ott	Nov	Dic
1	1931	39.8	32.4	86.8	41.6	135.9	112.7	7.1	11.1	21.4	73.0	215.1	68.2
2	1932	30.5	26.8	118.2	115.7	135.5	61.7	71.3	16.8	20.6	30.5	11.1	164.2
3	1933	36.3	77.6	179.3	21.8	20.4	48.0	8.4	8.0	9.4	43.8	250.2	42.9
4	1934	58.4	26.8	164.7	123.8	64.6	38.1	19.5	16.4	18.4	14.2	317.5	173.5
5	1935	39.4	141.2	92.5	67.7	106.3	63.8	19.5	70.4	18.4	108.5	227.9	204.5
6	1936	256.3	151.9	198.8	129.0	108.5	81.8	15.5	7.2	10.8	9.2	53.1	15.9
7	1937	48.3	149.2	368.3	102.4	60.7	26.3	10.3	9.3	63.0	214.7	140.5	92.1
8	1938	27.7	12.8	9.1	5.1	21.5	13.1	5.0	9.4	75.0	43.9	75.4	71.3
9	1939	302.4	138.0	110.7	37.6	84.6	22.2	13.9	18.9	137.5	81.5	96.4	49.1
10	1940	16.6	50.0	54.5	28.1	95.6	146.5	53.1	19.7	18.4	44.3	200.1	4.9
11	1941	31.9	108.0	126.2	125.5	86.3	54.0	12.8	8.6	7.2	8.3	33.0	11.1
12	1942	11.8	11.0	71.7	57.8	66.4	12.7	6.8	5.2	63.8	74.4	102.8	135.5
13	1943	81.0	142.0	67.3	31.5	156.7	36.5	22.7	14.6	22.4	38.3	45.0	204.5
14	1942	24.8	27.3	31.7	71.1	89.0	9.1	5.1	8.0	22.8	119.5	80.5	89.9
15	1953	34.8	21.5	15.6	36.3	13.6	19.5	4.6	1.9	185.9	278.5	57.0	95.6
16	1954	57.6	68.4	123.5	37.8	149.2	62.6	18.0	21.9	10.4	16.3	85.3	168.7
17	1955	150.1	106.0	82.8	21.2	7.9	6.3	5.0	3.0	3.6	14.7	21.6	83.2
18	1956	137.7	8.6	144.3	138.8	63.8	21.5	17.4	8.1	15.1	6.8	22.9	8.9
19	1957	27.6	82.8	50.5	80.1	111.1	41.6	22.6	4.3	5.0	9.2	125.5	106.7
20	1958	11.6	64.0	59.3	165.8	22.0	18.1	5.9	4.1	3.9	67.3	50.6	178.4
21	1959	57.6	26.3	63.8	77.5	70.8	33.2	16.6	8.4	14.1	123.5	178.2	279.8
22	1960	228.0	188.7	190.4	71.5	21.0	27.9	22.2	15.8	34.7	247.5	331.6	204.1
23	1961	119.1	62.8	48.7	38.5	49.3	11.3	4.9	5.3	23.3	149.1	87.2	
24	1962	113.3	27.1	146.1	169.7	54.9	34.1	3.3	1.2	1.2	5.1	50.6	14.9
25	1963	77.0	11.8	166.5	172.2	33.2	32.0	11.7	13.0	115.7	28.4	314.9	91.6

Tabella E.9: Serie storica dei deflussi mensili [mm] estratte dalla Pubblicazione 17. (29/37 Erro a Sassello)

35		Gen	Feb	Mar	Apr	Mag	Giu	Lug	Ago	Set	Ott	Nov	Dic
1	1945	24.3	54.9	46.9	37.0	22.0	13.0	5.9	12.6	6.8	23.2	81.8	268.4
2	1946	103.2	114.2	263.9	85.3	117.2	45.9	20.1	15.1	14.3	10.3	21.1	22.9
3	1947	20.6	23.7	270.9	80.7	30.4	13.8	7.0	6.7	54.3	174.9	65.3	153.5
4	1948	118.6	164.6	52.2	127.2	261.7	44.3	31.2	35.4	99.1	148.4	59.7	64.4
5	1949	141.7	64.5	99.0	62.1	125.8	42.4	26.5	19.0	18.4	27.9	96.9	68.4
6	1950	31.5	102.3	83.4	169.6	47.4	13.2	8.1	7.5	15.7	16.2	51.0	52.5
7	1951	130.0	267.1	155.1	52.1	131.1	16.2	7.5	5.9	9.2	82.3	442.8	28.7
8	1952	14.0	17.4	10.0	69.7	97.7	10.3	5.6	8.6	9.2	24.6	25.7	30.1
9	1953	29.9	49.6	25.1	23.5	26.2	52.1	11.7	3.9	15.4	153.5	42.1	127.8
10	1954	91.8	52.4	94.6	45.6	126.4	18.9	13.1	5.6	7.8	11.4	68.0	190.0
11	1955	181.6	159.3	100.4	42.9	20.4	14.0	12.3	6.4	8.6	34.9	28.4	54.1
12	1956	70.9	39.8	304.1	170.4	44.1	24.6	23.7	12.0	84.0	20.6	99.4	25.7
13	1957	61.1	113.1	76.2	171.7	161.8	62.1	28.7	22.6	21.9	31.8	185.2	202.6
14	1958	70.3	83.4	69.8	221.4	44.9	28.1	15.6	12.3	11.6	50.8	197.4	234.9
15	1959	52.5	48.4	199.5	173.6	123.3	21.9	19.8	10.0	31.9	161.0	168.5	254.2
16	1960	171.9	141.6	204.5	104.8	30.4	21.9	12.3	8.1	16.2	227.7	128.3	146.8

Tabella E.9: Serie storica dei deflussi mensili [mm] estratte dalla Pubblicazione 17. (30/37 Bormida a Cassine)

36		Gen	Feb	Mar	Apr	Mag	Giu	Lug	Ago	Set	Ott	Nov	Dic
1	1947	4.8	16.2	117.2	54.9	16.0	7.3	2.7	7.4	33.2	89.6	48.4	93.7
2	1948	93.9	99.7	31.2	64.8	159.7	22.5	8.7	14.7	61.3	20.4	21.0	9.8
3	1949	51.8	18.8	39.4	28.5	109.8	18.4	49.1	3.3	2.8	3.1	24.3	18.6
4	1950	18.8	55.1	76.8	137.6	39.2	8.6	4.9	3.5	4.5	4.5	13.1	26.4
5	1951	63.6	228.4	103.5	39.3	80.0	13.1	8.1	3.9	3.3	37.0	513.9	29.1
6	1952	5.5	4.6	5.1	52.8	80.7	5.2	2.8	3.2	2.6	2.8	2.7	3.9
7	1953	5.4	9.3	7.2	7.4	11.0	45.3	5.2	3.0	12.2	89.6	18.5	66.8
8	1954	60.3	50.1	95.2	22.5	74.8	14.2	12.9	5.7	5.1	5.1	30.9	162.2
9	1955	99.5	142.9	67.7	30.1	11.1	8.4	7.7	5.5	4.3	19.1	11.2	16.1
10	1956	20.0	13.1	227.6	116.1	25.6	11.5	4.9	3.6	62.7	14.8	69.9	15.1
11	1957	19.1	51.2	34.7	136.0	112.9	40.9	12.9	7.1	3.8	5.2	79.2	129.3
12	1958	29.1	27.1	25.5	136.0	22.0	10.5	5.0	4.5	4.4	14.5	112.4	137.1

Tabella E.9: Serie storica dei deflussi mensili [mm] estratte dalla Pubblicazione 17. (31/37 Borbera a Baracche)

37		Gen	Feb	Mar	Apr	Mag	Giu	Lug	Ago	Set	Ott	Nov	Dic
1	1938	37.9	18.1	13.8	9.0	27.6	16.3	7.8	16.8	56.5	29.0	57.0	49.6
2	1939	198.9	143.7	151.2	44.8	109.4	31.7	8.8	15.9	101.8	45.2	47.5	30.1
3	1940	23.9	41.3	47.5	47.9	82.2	65.2	26.1	8.5	6.5	17.9	178.4	14.5
4	1941	51.8	126.9	205.5	107.4	71.5	62.0	26.3	15.4	9.9	8.8	25.3	16.6
5	1942	13.9	11.0	73.3	53.4	76.4	18.5	11.7	9.9	37.9	33.0	84.8	66.4
6	1943	136.6	95.1	52.8	38.1	124.5	21.3	13.7	10.2	12.7	19.1	20.4	139.2
7	1950	131.7	350.9	105.4	130.9	48.7	20.4	14.6	13.3	9.0	8.9	60.7	84.6
8	1951	156.5	256.3	295.7	114.3	96.8	32.5	22.3	12.2	16.7	26.3	349.0	87.6
9	1952	49.7	34.0	24.4	77.2	50.7	9.9	5.7	6.1	13.1	44.2	42.9	46.0
10	1953	26.0	22.9	19.0	28.2	20.0	21.0	8.8	5.8	105.7	389.8	78.4	139.2
11	1954	61.7	39.9	69.5	37.1	95.5	25.5	10.1	9.4	7.6	8.8	34.0	133.9
12	1955	112.0	96.9	68.9	37.2	24.7	15.1	13.0	11.3	15.1	14.7	21.3	32.1
13	1956	68.4	14.4	50.5	22.6	22.3	14.9	16.2	11.0	8.9	9.7	23.4	24.4
14	1957	32.5	119.8	118.5	86.0	86.7	79.3	19.1	8.6	7.2	8.4	67.4	133.9
15	1958	25.5	42.9	19.1	146.3	24.8	15.8	9.3	7.2	6.9	77.8	56.2	221.4
16	1959	92.2	20.7	37.5	69.0	36.6	18.6	20.3	7.2	11.5	140.5	308.0	413.7
17	1960	285.1	168.9	108.9	75.1	45.6	27.5	18.2	11.9	47.2	204.2	528.7	384.5
18	1961	153.8	92.6	69.2	114.8	71.1	54.4	20.7	9.5	9.0	14.5	165.5	108.2

Tabella E.9: Serie storica dei deflussi mensili [mm] estratte dalla Pubblicazione 17. (32/37 Dora Baltea ad Aosta)

41		Gen	Feb	Mar	Apr	Mag	Giu	Lug	Ago	Set	Ott	Nov	Dic
1	1935	20.4	17.2	17.3	27.3	61.1	253.6	208.2	130.4	84.7	59.0	41.8	27.4
2	1936	30.9	25.8	33.8	59.0	152.8	277.5	349.4	165.9	122.4	44.5	25.2	20.5
3	1937	15.6	17.2	19.5	33.5	160.1	338.1	225.6	155.8	85.1	63.5	43.2	27.8
4	1938	20.1	17.9	28.7	27.9	31.6	180.3	167.4	132.5	81.3	62.6	30.6	19.9
5	1939	21.7	15.4	19.4	30.7	55.0	173.3	177.6	147.0	86.5	57.2	39.4	24.9
6	1940	21.8	17.4	27.5	33.2	95.9	166.2	196.5	140.9	83.4	74.7	41.6	27.2
7	1941	21.8	16.2	29.0	49.0	60.1	207.1	254.7	118.9	75.5	46.3	30.9	22.1
8	1942	18.3	13.7	18.8	27.5	68.6	155.0	132.2	114.6	97.5	48.2	40.9	20.2
9	1943	14.8	13.0	16.7	30.0	87.8	162.0	129.7	136.4	93.0	40.6	23.9	16.4
10	1948	24.9	20.6	29.3	41.0	114.6	167.6	126.9	151.4	110.0	50.5	31.0	23.1
11	1949	19.4	16.3	18.3	34.8	66.1	118.2	112.5	109.2	90.3	40.5	23.0	28.7
12	1950	17.9	15.9	20.2	20.7	91.6	177.5	167.4	138.7	89.3	38.7	32.4	24.7
13	1951	22.3	19.7	24.5	36.6	106.1	262.0	251.8	173.2	102.1	43.5	40.4	29.7
14	1952	24.0	19.1	25.2	44.5	109.9	178.9	190.7	145.6	56.5	48.5	39.0	36.5
15	1953	27.1	18.0	24.0	29.2	65.2	112.8	142.1	104.1	76.6	72.1	41.3	29.3
16	1954	20.2	20.9	22.1	29.3	54.7	146.5	90.3	113.8	77.9	44.7	33.8	30.6
17	1955	31.6	25.2	28.5	45.2	107.4	225.4	202.3	105.5	66.5	37.4	27.0	25.0

Tabella E.9: Serie storica dei deflussi mensili [mm] estratte dalla Pubblicazione 17. (33/37 Lys a Gressoney)

42		Gen	Feb	Mar	Apr	Mag	Giu	Lug	Ago	Set	Ott	Nov	Dic
1	1926	50.0	36.3	73.3	89.8	187.1	294.7	375.4	241.8	118.4	41.4	58.1	40.2
2	1927	39.6	43.5	45.8	52.4	172.4	289.0	230.0	171.8	88.1	44.9	44.9	52.3
3	1928	48.5	31.8	26.9	60.4	163.2	386.2	310.4	243.0	122.7	88.4	77.2	53.8
4	1929	63.9	60.9	35.5	48.3	140.1	306.1	263.1	228.8	191.4	69.2	36.9	39.9
5	1930	51.1	49.1	42.0	75.0	150.2	389.1	272.6	182.1	136.8	65.6	37.8	35.5
6	1931	20.7	33.6	16.6	59.2	169.7	284.4	215.2	186.5	82.1	60.6	29.2	47.3
7	1932	35.8	39.8	32.8	13.4	120.0	216.0	310.4	266.1	198.5	78.6	22.3	33.1
8	1933	45.8	35.0	47.9	66.4	105.2	130.5	221.4	212.3	149.9	84.5	29.5	29.6
9	1934	13.0	11.5	13.0	80.7	360.7	357.6	331.1	196.0	127.6	62.4	17.5	12.4
10	1935	10.3	7.2	10.1	30.6	93.7	343.3	278.2	225.9	142.5	114.1	58.9	27.2
11	1936	17.1	22.2	25.4	62.7	243.3	391.9	481.9	270.8	207.4	64.4	38.3	22.5
12	1937	34.6	17.9	24.5	41.5	264.0	369.1	289.7	209.3	150.8	133.0	64.7	40.5
13	1938	38.4	33.9	30.4	51.2	63.6	273.2	223.5	197.5	139.0	97.9	46.6	29.3
14	1939	26.0	17.6	18.0	54.9	100.5	326.1	273.2	225.3	128.7	63.3	50.1	35.8
15	1940	26.0	19.5	17.1	36.9	155.2	218.9	273.8	194.8	109.6	89.0	37.5	23.9
16	1941	24.5	16.6	34.9	48.6	99.6	329.0	381.4	198.7	163.1	108.8	40.3	30.4
17	1942	20.1	15.2	11.8	32.3	121.2	196.3	202.5	151.1	131.9	188.6	73.5	45.2
18	1948	51.4	47.5	59.7	92.4	222.9	272.1	181.8	186.0	196.5	55.6	35.8	32.8
19	1949	30.2	23.8	18.6	34.9	108.2	155.3	183.6	166.7	104.7	29.9	21.5	16.3
20	1950	21.6	21.6	28.4	34.6	196.0	389.1	227.9	168.8	115.3	64.4	26.3	31.6
21	1951	30.4	25.6	31.0	64.4	80.7	314.7	252.8	166.1	129.0	50.8	53.2	31.0
22	1952	51.1	34.7	44.6	61.5	145.4	251.2	184.8	125.6	60.7	33.1	25.5	23.4
23	1953	20.7	16.8	26.9	48.6	148.4	180.0	204.9	126.5	97.6	175.9	52.1	28.4

Tabella E.9: Serie storica dei deflussi mensili [mm] estratte dalla Pubblicazione 17. (34/37 Rutor a Promise)

43		Gen	Feb	Mar	Apr	Mag	Giu	Lug	Ago	Set	Ott	Nov	Dic
1	1931	22.1	16.5	18.3	50.5	234.0	546.5	408.2	360.3	155.1	71.5	41.1	29.0
2	1932	17.7	12.6	11.8	13.5	111.3	317.0	477.1	468.5	314.4	100.6	38.5	56.5
3	1933	15.1	13.6	14.0	59.9	121.0	201.4	443.7	400.1	250.4	103.8	31.2	23.1
4	1934	19.9	13.6	16.7	52.0	316.2	338.3	401.2	270.5	165.0	46.8	26.0	25.3
5	1935	16.1	11.2	13.4	23.9	131.8	488.7	554.0	382.9	246.2	122.1	32.8	28.0
6	1936	36.0	20.9	19.4	29.1	250.6	499.7	699.2	408.8	289.9	65.1	30.2	22.1
7	1937	17.2	13.6	13.4	26.0	178.0	525.7	513.6	401.8	160.3	94.1	51.0	27.4
8	1938	16.7	13.6	26.4	52.0	97.9	378.4	366.8	322.2	117.1	88.7	25.5	16.1
9	1939	14.5	13.1	14.5	32.8	78.0	295.6	315.7	323.8	143.7	121.5	69.7	25.3
10	1940	16.7	12.6	19.4	40.6	178.6	393.5	401.8	390.5	197.3	103.3	46.3	24.7
11	1941	19.9	15.1	18.3	27.6	81.2	165.0	470.1	303.9	129.1	81.8	32.3	18.8
12	1942	17.2	13.6	16.7	37.0	171.6	322.7	416.3	365.2	251.9	65.6	51.0	31.7
13	1943	22.1	16.5	21.5	41.1	200.1	250.4	352.3	423.3	264.9	36.6	21.3	22.1
14	1949	21.5	19.9	17.7	25.0	121.0	280.0	352.3	364.6	260.2	77.4	36.4	26.9
15	1950	19.9	15.1	20.4	30.2	122.1	248.8	297.4	267.3	126.0	46.8	26.5	23.1
16	1951	24.2	21.4	21.0	59.3	144.7	322.7	363.0	289.4	184.3	45.2	27.6	18.3
17	1952	15.1	12.1	14.5	78.1	199.0	407.0	418.4	321.6	95.2	123.2	58.8	40.3
18	1953	20.4	15.5	18.3	39.6	193.6	267.5	387.8	269.5	145.7	136.1	46.3	19.4
19	1954	18.3	17.5	20.4	26.5	163.5	303.4	252.8	247.9	194.1	74.2	16.7	21.5
20	1955	17.2	14.6	16.7	47.4	158.7	373.7	491.0	323.2	172.8	30.7	14.1	13.4
21	1956	14.0	11.7	12.4	16.1	240.4	287.8	402.8	373.8	186.9	48.4	18.2	12.9
22	1957	12.9	13.6	19.4	36.4	89.8	370.6	358.2	284.5	160.8	44.6	18.7	15.6
23	1958	13.4	17.0	13.4	20.3	231.3	307.6	380.8	360.9	234.7	59.2	27.6	22.1
24	1959	16.7	14.1	20.4	46.3	172.1	351.3	392.1	286.1	177.5	55.4	22.9	22.1
25	1960	16.1	13.6	16.7	63.0	272.7	449.7	367.9	273.8	120.2	75.3	43.2	23.7
26	1961	17.7	14.6	19.4	53.1	158.7	368.5	400.7	281.8	193.6	78.5	28.6	25.3
27	1962	21.5	19.9	22.6	22.9	141.4	355.0	345.8	372.7	185.8	42.0	32.8	21.5
28	1964	21.5	16.0	22.6	22.4	178.6	270.1	277.5	210.3	134.8	75.3	36.4	27.4
29	1965	21.0	16.0	17.2	25.0	97.9	252.4	297.4	271.1	129.1	69.9	40.1	40.3
30	1966	33.9	24.3	23.1	53.6	211.9	422.1	379.7	296.3	133.8	88.7	37.5	37.1
31	1967	22.6	18.5	19.9	27.6	132.3	262.3	464.1	332.9	100.5	65.6	25.0	19.4

Tabella E.9: Serie storica dei deflussi mensili [mm] estratte dalla Pubblicazione 17. (35/37 Artanavaz a St.Oyen)

44		Gen	Feb	Mar	Apr	Mag	Giu	Lug	Ago	Set	Ott	Nov	Dic
1	1952	56.8	35.3	45.2	93.1	203.7	303.3	127.5	80.8	68.1	72.3	73.3	63.4
2	1953	47.9	33.9	51.8	74.4	163.9	191.1	177.0	79.2	59.1	89.3	74.4	34.8
3	1954	29.0	23.7	27.1	46.0	71.5	118.9	86.2	69.2	59.8	56.0	43.4	40.2
4	1955	39.8	34.2	33.6	56.1	137.6	300.3	211.4	73.0	59.5	46.4	38.5	32.1
5	1956	32.1	26.2	29.8	33.3	141.5	186.6	167.4	83.9	104.0	68.8	50.1	45.2
6	1957	38.6	34.2	47.9	52.0	69.6	242.7	143.0	66.1	42.6	36.7	34.4	34.0
7	1958	33.6	38.4	36.7	37.4	185.5	239.8	174.7	75.8	53.9	61.8	50.9	48.3
8	1959	41.0	38.7	47.9	71.4	161.6	193.7	107.8	62.6	48.2	46.8	41.1	42.1
9	1960	35.6	31.4	38.3	75.2	223.0	294.4	212.2	122.5	110.3	137.2	80.0	47.2
10	1961	41.0	35.3	61.1	102.9	173.5	230.4	154.6	87.7	63.6	63.0	56.9	83.1
11	1962	53.3	28.3	29.0	53.5	169.3	280.1	178.6	81.9	60.6	56.8	62.8	52.6
12	1963	35.6	25.8	26.7	56.1	170.8	326.9	244.3	139.1	96.9	64.9	59.8	46.0
13	1964	34.4	26.9	27.8	52.7	145.7	187.8	91.2	52.2	53.1	50.6	46.0	44.8
14	1965	35.9	28.6	32.9	38.5	82.3	150.7	145.7	80.0	85.7	77.3	38.5	37.5
15	1966	29.0	30.0	45.6	62.1	205.6	282.8	186.7	91.2	45.6	52.2	47.9	39.0
16	1967	31.7	29.7	43.7	47.5	109.8	199.4	196.7	69.6	41.1	52.2	42.6	37.5
17	1968	28.6	24.1	29.8	64.7	117.5	172.8	143.0	87.0	117.1	47.2	88.6	60.7

Tabella E.9: Serie storica dei deflussi mensili [mm] estratte dalla Pubblicazione 17 ed integrate con i dati degli annali. (36/37 Evancon a Champoluc)

45		Gen	Feb	Mar	Apr	Mag	Giu	Lug	Ago	Set	Ott	Nov	Dic
1	1949	20.3	14.5	13.2	35.4	101.6	215.4	192.9	179.2	118.9	56.8	21.1	17.1
2	1950	14.7	10.9	13.7	22.9	127.3	244.7	217.1	175.2	97.3	37.1	26.5	8.9
3	1951	11.6	14.5	15.3	32.1	100.5	333.5	331.5	213.9	134.7	66.6	50.4	30.3
4	1952	20.5	16.6	17.6	43.5	124.2	242.1	201.5	140.5	64.7	43.1	28.8	20.5
5	1953	13.2	10.2	16.3	30.6	93.7	145.4	196.0	142.6	118.9	131.3	76.6	43.4
6	1954	26.0	15.2	13.9	22.4	72.4	205.2	129.2	133.7	100.8	50.5	29.3	22.1
7	1955	19.5	16.2	16.6	41.8	130.2	262.3	205.0	109.7	71.5	30.5	24.7	17.1
8	1956	15.3	13.3	16.0	23.2	92.3	137.5	175.5	127.1	122.2	71.0	29.5	21.3
9	1957	19.2	16.9	21.3	33.4	78.9	369.2	245.5	184.2	87.6	44.7	19.6	12.4
10	1958	10.5	10.2	10.8	13.0	142.3	182.8	183.1	171.5	134.9	52.1	35.9	27.4
11	1959	20.3	16.2	20.3	43.8	117.3	328.5	228.1	134.4	83.5	42.9	27.0	20.0
12	1960	16.6	14.0	16.6	47.1	197.1	341.2	170.0	147.3	111.0	98.7	58.3	33.9
13	1961	24.7	18.3	30.5	59.3	101.0	213.1	211.3	151.8	111.3	57.1	31.8	20.8
14	1962	17.9	10.9	10.3	21.4	106.3	229.2	155.5	180.8	104.9	46.6	35.6	20.8
15	1963	19.2	17.1	17.6	31.1	115.5	237.8	240.7	163.9	96.2	71.6	42.8	24.7
16	1964	19.5	13.8	12.1	24.7	145.0	186.4	190.5	136.8	102.4	50.5	31.8	19.7
17	1965	16.8	13.3	13.2	16.3	44.2	100.3	118.1	133.7	112.3	82.1	35.6	23.4
18	1966	17.1	15.2	16.6	27.0	131.0	202.2	160.8	120.2	90.6	73.1	37.4	31.6
19	1967	20.3	18.8	17.9	27.2	87.6	169.3	203.9	153.9	77.1	63.7	36.2	22.6
20	1968	18.9	13.1	16.8	42.8	73.9	138.5	141.8	87.6	71.3	51.3	59.8	30.8
21	1969	26.0	17.6	18.7	25.7	153.7	203.9	229.4	141.0	73.1	66.3	31.8	22.4
22	1970	20.8	19.5	14.7	18.1	70.2	228.1	170.5	126.8	103.9	56.8	24.4	18.9
23	1971	14.5	12.8	13.4	32.8	96.0	173.6	227.3	180.5	95.2	61.0	30.0	24.2
24	1972	20.5	18.5	40.3	45.8	87.1	223.6	236.8	132.1	60.9	46.3	29.5	23.9
25	1973	22.9	21.2	22.9	23.2	75.0	127.8	132.1	104.7	69.0	34.5	21.6	18.9
26	1974	18.7	17.1	23.4	32.6	80.2	177.5	144.4	117.3	69.5	34.7	26.0	21.8
27	1975	20.8	17.6	22.1	38.7	80.5	152.5	204.4	124.4	97.8	78.4	36.4	41.3
28	1976	38.9	34.2	25.8	32.6	124.2	197.1	191.3	110.0	73.8	96.3	58.8	46.3
29	1977	33.7	23.8	32.6	64.9	165.0	287.7	365.7	153.4	87.8	132.9	62.9	42.1
30	1978	37.6	31.1	29.2	29.8	101.3	346.3	394.7	246.8	132.4	70.5	42.3	23.7

Tabella E.9: Serie storica dei deflussi mensili [mm] estratte dalla Pubblicazione 17 ed integrate con i dati degli annali. (37/37 Ayasse a Champorcher)

46		Gen	Feb	Mar	Apr	Mag	Giu	Lug	Ago	Set	Ott	Nov	Dic
1	1950	10.2	8.0	10.2	20.3	292.6	210.1	80.0	75.5	84.8	49.5	21.5	9.5
2	1951	10.8	10.3	13.3	58.4	203.1	494.4	302.7	168.8	85.4	48.9	76.8	55.2
3	1952	25.4	13.2	19.7	78.0	231.7	305.9	144.1	60.9	68.8	41.3	37.5	35.5
4	1953	12.7	10.3	17.1	41.2	153.6	305.9	199.9	58.4	67.6	312.9	97.0	68.5
5	1954	19.7	10.9	20.3	46.7	174.5	361.2	157.4	151.1	87.2	57.1	54.1	17.8
6	1955	17.1	13.8	21.6	76.2	237.4	336.0	171.4	66.6	24.0	10.8	12.3	11.4
7	1956	8.9	5.2	7.6	23.3	187.9	267.8	269.1	85.0	209.4	87.6	25.2	19.7
8	1957	7.6	6.9	12.7	40.5	143.4	590.3	231.7	97.1	39.3	26.7	22.1	15.9
9	1958	14.6	17.2	15.9	27.0	298.9	275.2	217.7	236.1	112.4	123.8	65.1	64.7
10	1959	24.8	17.8	31.1	83.5	290.7	474.8	192.9	85.0	54.7	33.0	29.5	25.4
11	1960	20.3	16.6	20.9	71.9	406.2	500.0	280.5	217.7	212.5	223.4	82.9	49.5
12	1961	41.3	57.3	64.7	141.9	230.4	417.7	319.9	131.4	74.3	156.8	52.2	57.1
13	1962	24.8	57.9	30.5	47.9	240.5	310.2	128.2	57.1	38.1	30.5	88.4	29.8
14	1963	16.5	10.3	57.8	68.8	246.3	451.5	337.7	232.9	152.9	62.2	54.7	26.0
15	1964	22.8	11.5	24.1	70.0	317.3	402.3	133.9	48.2	38.7	34.9	15.4	11.4
16	1965	9.5	9.7	11.4	9.8	93.9	159.7	113.6	160.6	237.1	126.9	30.7	27.3
17	1966	20.3	9.7	18.4	36.2	229.8	270.9	151.1	57.1	31.9	246.3	67.6	46.3
18	1967	32.4	29.8	30.5	34.2	158.7	223.6	178.3	78.7	30.7	41.9	27.6	17.8
19	1968	10.8	8.0	14.6	27.0	170.1	253.1	169.5	126.3	115.5	50.1	141.9	31.1
20	1969	18.4	24.1	20.3	39.3	318.0	409.1	286.2	132.0	65.1	26.7	24.6	19.0
21	1970	16.5	20.6	28.6	42.4	152.3	253.7	92.7	55.2	51.6	116.8	25.8	20.9
22	1971	13.3	13.2	20.9	46.7	256.4	320.0	228.5	81.2	39.9	25.4	13.5	12.7
23	1972	10.8	10.9	51.4	88.4	204.4	551.0	533.8	223.4	103.8	76.8	35.6	15.9
24	1973	5.1	9.7	3.8	4.3	158.7	178.1	195.5	73.6	82.9	80.6	21.5	15.9

Tabella E.10: Mese, bimestre, trimestre, ..., semestre critici per irrigazioni umettanti per le 47 sezioni del SIMN.

	1 mese	2 mesi	3 mesi	4 mesi	5 mesi	6 mesi
1	LUG	LUG-AGO	GIU-AGO	GIU-SET	MAG-SET	APR-SET
2	LUG	LUG-AGO	LUG-SET	GIU-SET	MAG-SET	APR-SET
3	LUG	LUG-AGO	GIU-AGO	GIU-SET	MAG-SET	APR-SET
4	LUG	LUG-AGO	LUG-SET	GIU-SET	MAG-SET	APR-SET
5	LUG	LUG-AGO	GIU-AGO	GIU-SET	MAG-SET	APR-SET
6	LUG	LUG-AGO	LUG-SET	GIU-SET	MAG-SET	APR-SET
7	LUG	LUG-AGO	LUG-SET	GIU-SET	MAG-SET	APR-SET
8	LUG	LUG-AGO	LUG-SET	GIU-SET	GIU-OTT	LUG-DIC
9	LUG	LUG-AGO	LUG-SET	GIU-SET	GIU-OTT	GIU-NOV
10	LUG	LUG-AGO	LUG-SET	GIU-SET	MAG-SET	APR-SET
11	LUG	LUG-AGO	LUG-SET	GIU-SET	MAG-SET	APR-SET
12	LUG	LUG-AGO	LUG-SET	GIU-SET	MAG-SET	APR-SET
13	LUG	LUG-AGO	LUG-SET	GIU-SET	LUG-NOV	LUG-DIC
14	LUG	LUG-AGO	LUG-SET	GIU-SET	GIU-OTT	GIU-NOV
15	LUG	LUG-AGO	LUG-SET	LUG-OTT	LUG-NOV	LUG-DIC
16	LUG	LUG-AGO	LUG-SET	GIU-SET	LUG-NOV	LUG-DIC
17	LUG	LUG-AGO	LUG-SET	GIU-SET	MAG-SET	APR-SET
18	LUG	LUG-AGO	LUG-SET	GIU-SET	MAG-SET	APR-SET
19	LUG	LUG-AGO	LUG-SET	GIU-SET	MAG-SET	APR-SET
20	LUG	LUG-AGO	LUG-SET	GIU-SET	GIU-OTT	GIU-NOV
21	LUG	LUG-AGO	LUG-SET	GIU-SET	GIU-OTT	GIU-NOV
22	LUG	LUG-AGO	LUG-SET	GIU-SET	LUG-NOV	LUG-DIC
23	LUG	LUG-AGO	LUG-SET	GIU-SET	GIU-OTT	GIU-NOV
24	LUG	LUG-AGO	LUG-SET	GIU-SET	MAG-SET	APR-SET
25	LUG	LUG-AGO	LUG-SET	GIU-SET	GIU-OTT	APR-SET
26	LUG	LUG-AGO	LUG-SET	GIU-SET	GIU-OTT	GIU-NOV
27	LUG	LUG-AGO	LUG-SET	GIU-SET	GIU-OTT	GIU-NOV
28	LUG	LUG-AGO	LUG-SET	GIU-SET	MAG-SET	MAG-OTT
29	LUG	LUG-AGO	LUG-SET	GIU-SET	GIU-OTT	GIU-NOV
30	LUG	LUG-AGO	LUG-SET	GIU-SET	GIU-OTT	MAG-OTT
31	LUG	LUG-AGO	GIU-AGO	GIU-SET	GIU-OTT	MAG-OTT
32	LUG	LUG-AGO	LUG-SET	GIU-SET	GIU-OTT	GIU-NOV
33	LUG	LUG-AGO	GIU-AGO	GIU-SET	MAG-SET	APR-SET
34	LUG	LUG-AGO	GIU-AGO	GIU-SET	MAG-SET	MAG-OTT
35	LUG	LUG-AGO	GIU-AGO	GIU-SET	MAG-SET	APR-SET
36	LUG	LUG-AGO	GIU-AGO	GIU-SET	MAG-SET	MAG-OTT
37	LUG	LUG-AGO	GIU-AGO	GIU-SET	MAG-SET	APR-SET
38	LUG	LUG-AGO	GIU-AGO	GIU-SET	MAG-SET	APR-SET
39	LUG	LUG-AGO	LUG-SET	GIU-SET	MAG-SET	APR-SET
40	LUG	LUG-AGO	LUG-SET	LUG-OTT	LUG-NOV	LUG-DIC
41	LUG	LUG-AGO	LUG-SET	GIU-SET	MAG-SET	APR-SET
42	LUG	LUG-AGO	LUG-SET	GIU-SET	MAG-SET	APR-SET
43	LUG	LUG-AGO	LUG-SET	GIU-SET	APR-AGO	APR-SET
44	LUG	LUG-AGO	LUG-SET	GIU-SET	LUG-NOV	APR-SET
45	LUG	LUG-AGO	LUG-SET	GIU-SET	MAG-SET	APR-SET
46	LUG	LUG-AGO	LUG-SET	LUG-OTT	LUG-NOV	LUG-DIC
47	LUG	LUG-AGO	LUG-SET	LUG-OTT	LUG-NOV	LUG-DIC

Tabella E.11: Mese, bimestre, trimestre, ..., semestre critici per irrigazioni a sommersione per le 47 sezioni del SIMN.

	1 mese	2 mesi	3 mesi	4 mesi	5 mesi	6 mesi
1	APR	APR-MAG	APR-GIU	APR-LUG	APR-AGO	MAR-AGO
2	APR	APR-MAG	APR-GIU	APR-LUG	APR-AGO	MAR-AGO
3	APR	APR-MAG	APR-GIU	APR-LUG	APR-AGO	MAR-AGO
4	APR	APR-MAG	APR-GIU	APR-LUG	APR-AGO	MAR-AGO
5	APR	LUG-AGO	GIU-AGO	APR-LUG	APR-AGO	MAR-AGO
6	APR	LUG-AGO	GIU-AGO	APR-LUG	APR-AGO	MAR-AGO
7	APR	LUG-AGO	GIU-AGO	APR-LUG	APR-AGO	MAR-AGO
8	APR	APR-MAG	APR-GIU	APR-LUG	APR-AGO	MAR-AGO
9	APR	LUG-AGO	GIU-AGO	APR-LUG	APR-AGO	MAR-AGO
10	APR	APR-MAG	APR-GIU	APR-LUG	APR-AGO	MAR-AGO
11	APR	APR-MAG	APR-GIU	APR-LUG	APR-AGO	MAR-AGO
12	APR	APR-MAG	APR-GIU	APR-LUG	APR-AGO	MAR-AGO
13	APR	LUG-AGO	MAR-MAG	APR-LUG	APR-AGO	MAR-AGO
14	APR	LUG-AGO	GIU-AGO	APR-LUG	APR-AGO	MAR-AGO
15	APR	APR-MAG	MAR-MAG	APR-LUG	APR-AGO	MAR-AGO
16	APR	APR-MAG	APR-GIU	APR-LUG	APR-AGO	MAR-AGO
17	APR	APR-MAG	APR-GIU	APR-LUG	APR-AGO	MAR-AGO
18	APR	APR-MAG	APR-GIU	APR-LUG	APR-AGO	MAR-AGO
19	APR	LUG-AGO	GIU-AGO	APR-LUG	APR-AGO	APR-SET
20	AGO	LUG-AGO	GIU-AGO	MAG-AGO	APR-AGO	APR-SET
21	APR	APR-MAG	APR-GIU	APR-LUG	APR-AGO	MAR-AGO
22	APR	APR-MAG	MAR-MAG	APR-LUG	APR-AGO	MAR-AGO
23	LUG	LUG-AGO	GIU-AGO	MAG-AGO	APR-AGO	APR-SET
24	APR	APR-MAG	MAR-MAG	APR-LUG	APR-AGO	MAR-AGO
25	APR	LUG-AGO	GIU-AGO	APR-LUG	APR-AGO	MAR-AGO
26	APR	LUG-AGO	GIU-AGO	APR-LUG	APR-AGO	MAR-AGO
27	APR	LUG-AGO	GIU-AGO	APR-LUG	APR-AGO	MAR-AGO
28	LUG	LUG-AGO	GIU-AGO	MAG-AGO	APR-AGO	APR-SET
29	AGO	LUG-AGO	GIU-AGO	MAG-AGO	APR-AGO	APR-SET
30	LUG	LUG-AGO	GIU-AGO	MAG-AGO	APR-AGO	APR-SET
31	LUG	LUG-AGO	GIU-AGO	MAG-AGO	APR-AGO	APR-SET
32	AGO	LUG-AGO	GIU-AGO	MAG-AGO	APR-AGO	APR-SET
33	LUG	LUG-AGO	GIU-AGO	APR-LUG	APR-AGO	APR-SET
34	LUG	LUG-AGO	GIU-AGO	MAG-AGO	APR-AGO	APR-SET
35	LUG	GIU-LUG	GIU-AGO	MAG-AGO	APR-AGO	APR-SET
36	LUG	GIU-LUG	GIU-AGO	MAG-AGO	APR-AGO	APR-SET
37	APR	GIU-LUG	GIU-AGO	APR-LUG	APR-AGO	APR-SET
38	LUG	LUG-AGO	GIU-AGO	MAG-AGO	APR-AGO	APR-SET
39	APR	APR-MAG	APR-GIU	MAR-GIU	APR-AGO	MAR-AGO
40	APR	APR-MAG	MAR-MAG	FEB-MAG	GEN-MAG	DIC-MAG
41	APR	APR-MAG	APR-GIU	FEB-MAG	APR-AGO	MAR-AGO
42	APR	APR-MAG	APR-GIU	APR-LUG	APR-AGO	MAR-AGO
43	APR	APR-MAG	MAR-MAG	FEB-MAG	GEN-MAG	DIC-MAG
44	APR	APR-MAG	APR-GIU	APR-LUG	APR-AGO	MAR-AGO
45	APR	APR-MAG	MAR-MAG	FEB-MAG	APR-AGO	MAR-AGO
46	APR	APR-MAG	MAR-MAG	FEB-MAG	APR-AGO	MAR-AGO
47	APR	APR-MAG	MAR-MAG	FEB-MAG	GEN-MAG	DIC-MAG

Appendice F

Figure fuori testo

F	Figure fuori testo	F1
F.1	Regionalizzazione del deflusso annuo	F3
F.2	Regionalizzazione dei regimi idrologici	F29
F.3	Regionalizzazione dei deflussi nei periodi critici dell'anno	F129
F.4	Curve di possibilità di regolazione	F287
F.5	Applicazione dell'analisi agli invasi in progetto	F315

F.1 Regionalizzazione del deflusso annuo

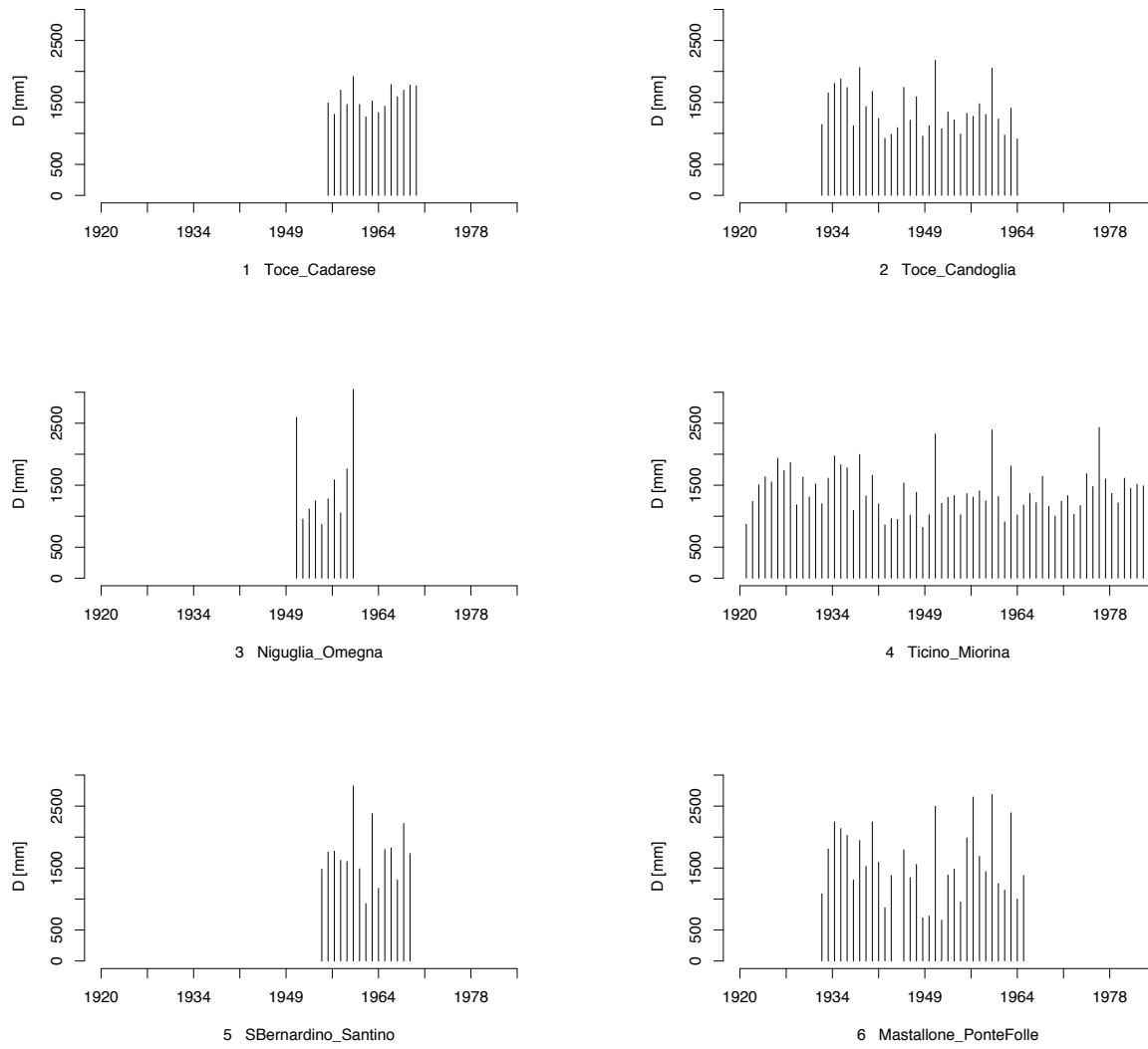


Figura F.1: Serie storiche dei deflussi annui alle sezioni considerate nello studio. (1/8)

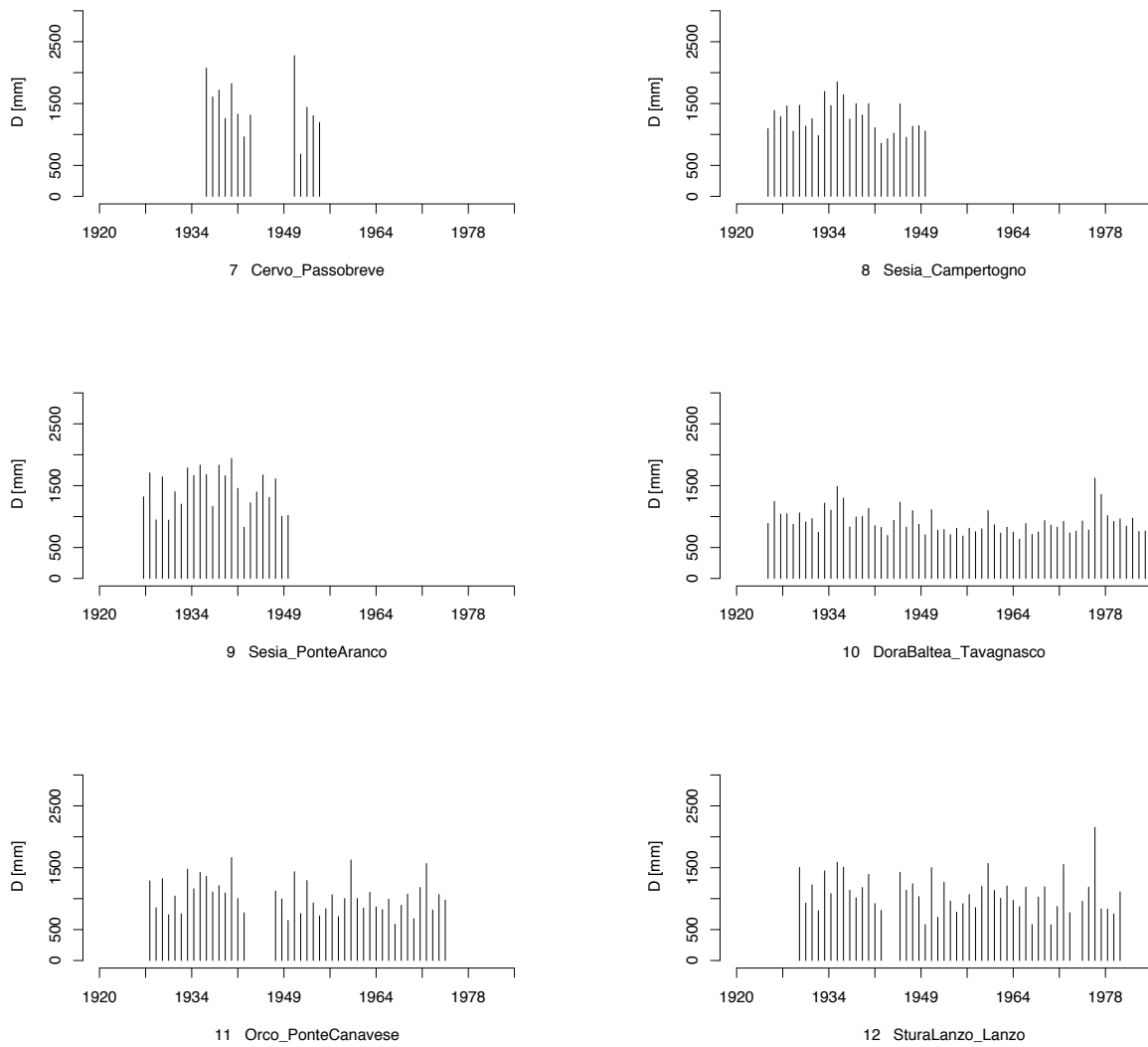


Figura F.1: Serie storiche dei deflussi annui alle sezioni considerate nello studio. (2/8)

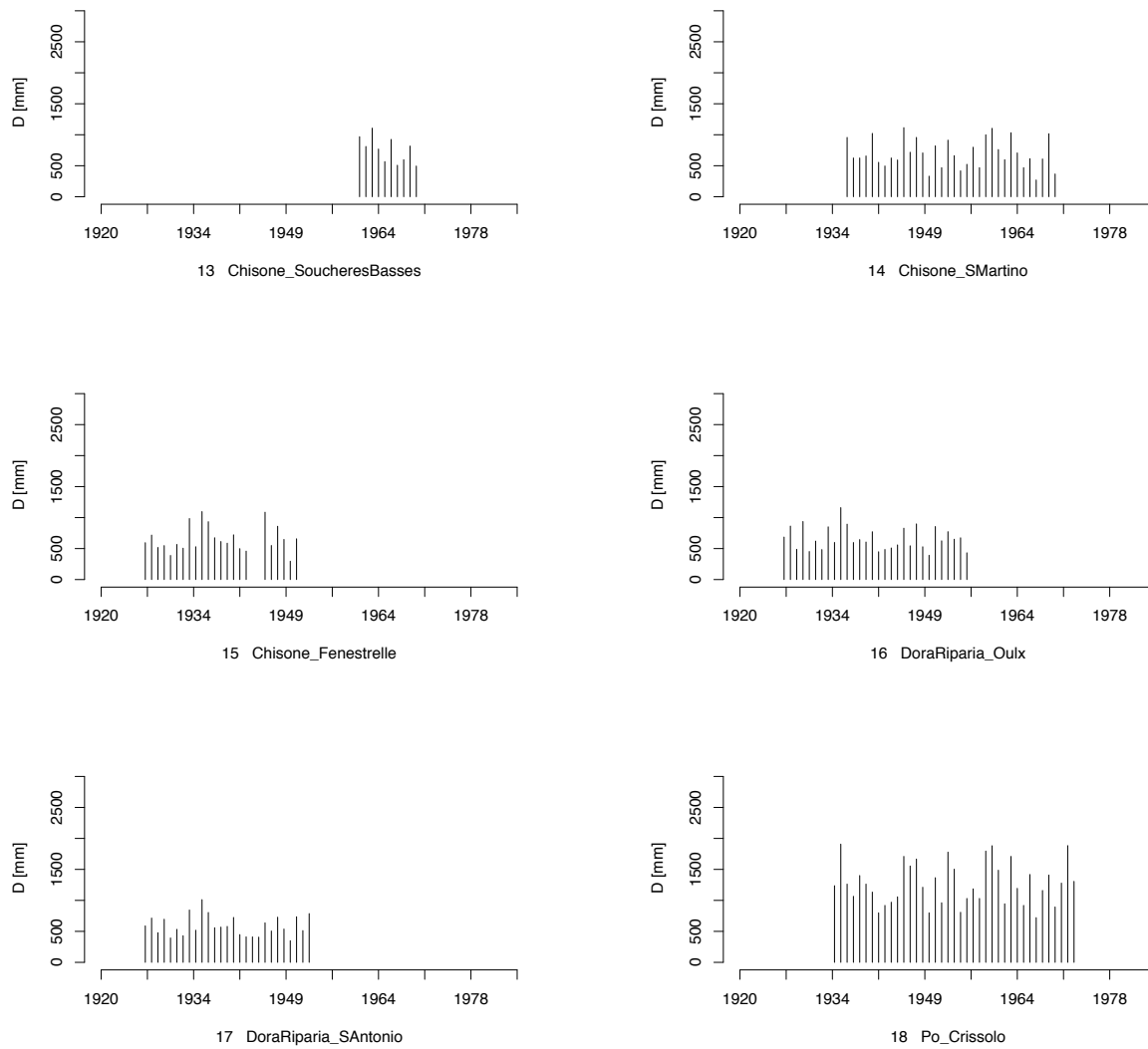


Figura F.1: Serie storiche dei deflussi annui alle sezioni considerate nello studio. (3/8)

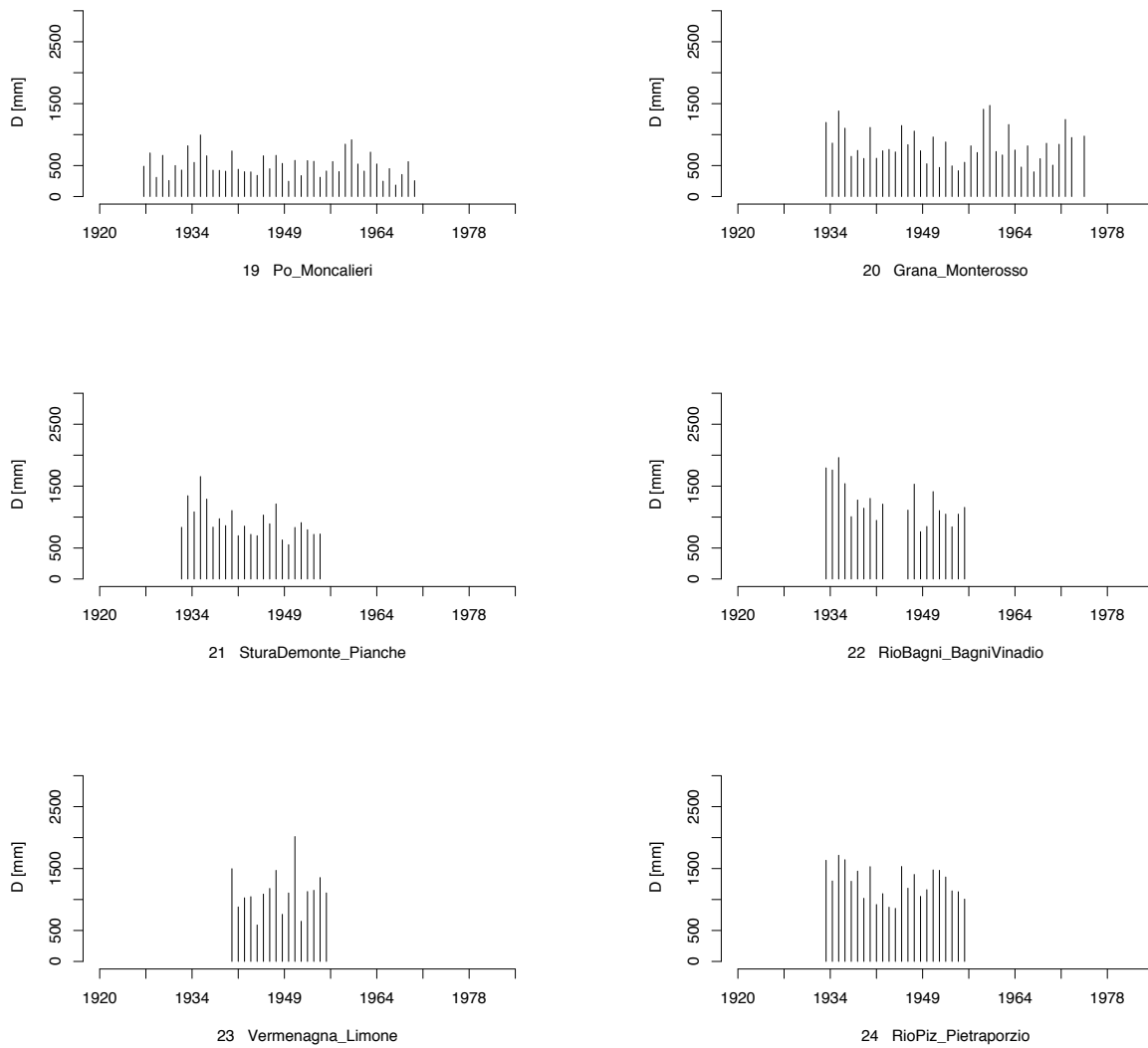


Figura F.1: Serie storiche dei deflussi annui alle sezioni considerate nello studio. (4/8)

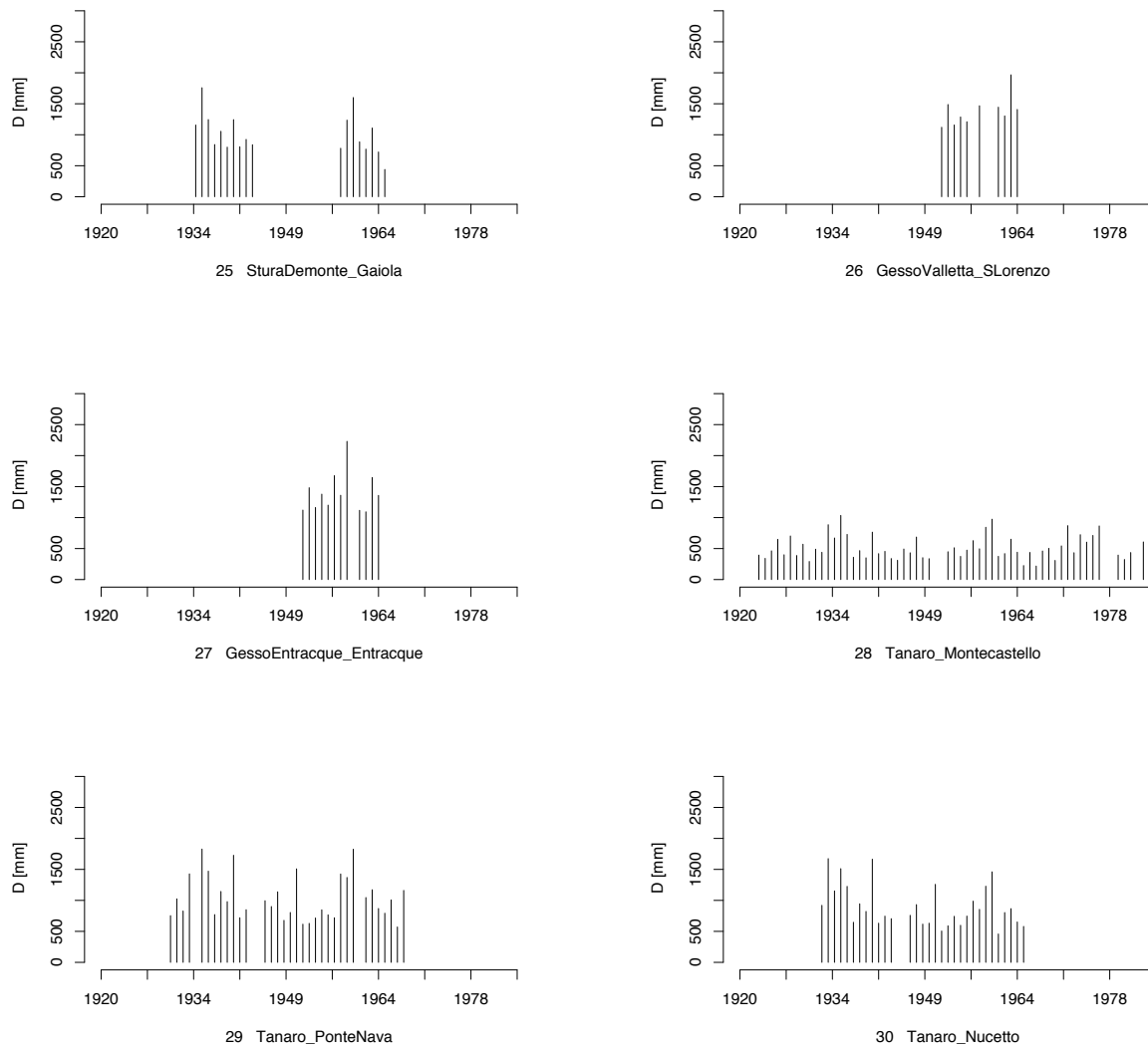


Figura F.1: Serie storiche dei deflussi annui alle sezioni considerate nello studio. (5/8)

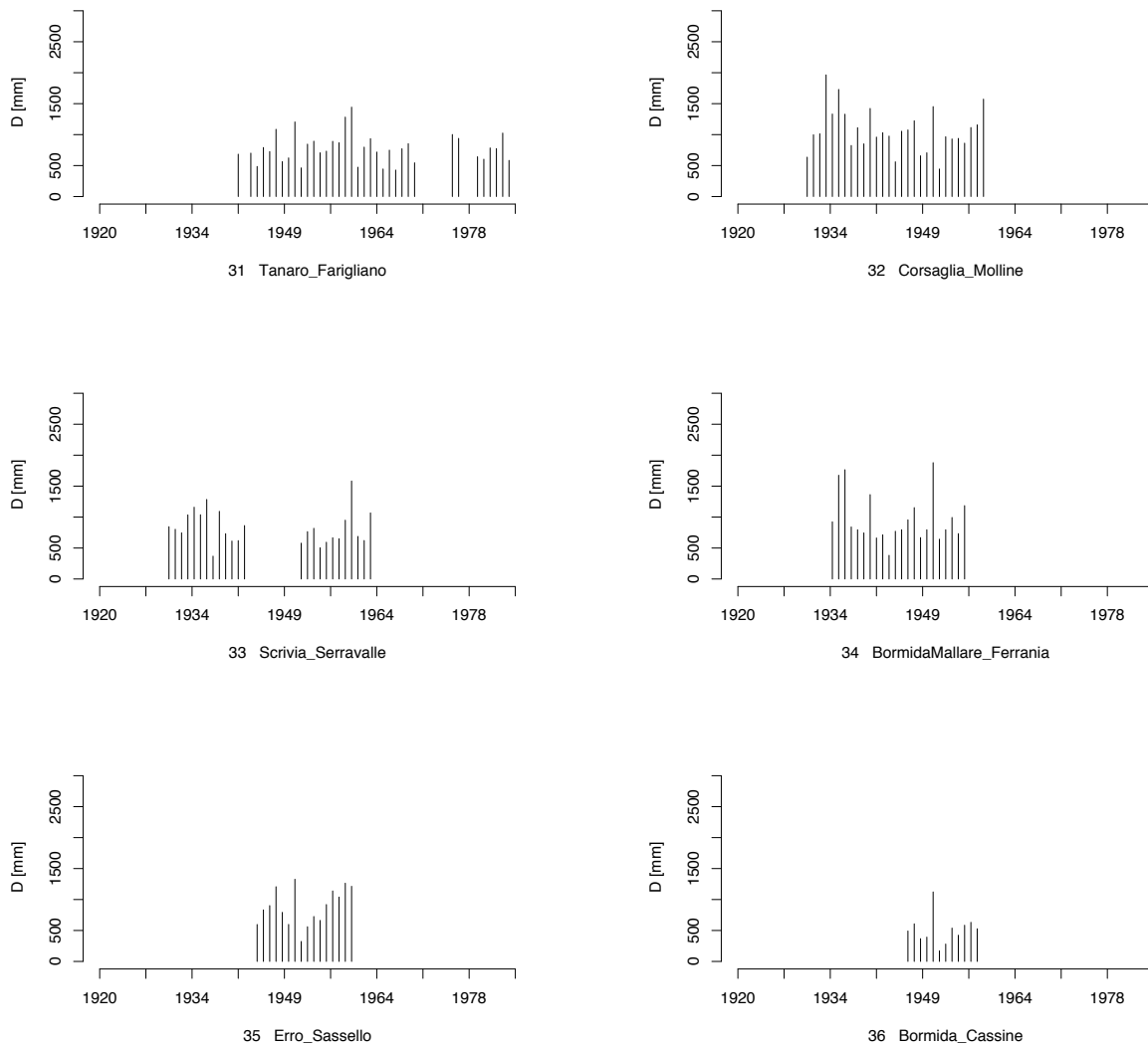


Figura F.1: Serie storiche dei deflussi annui alle sezioni considerate nello studio. (6/8)

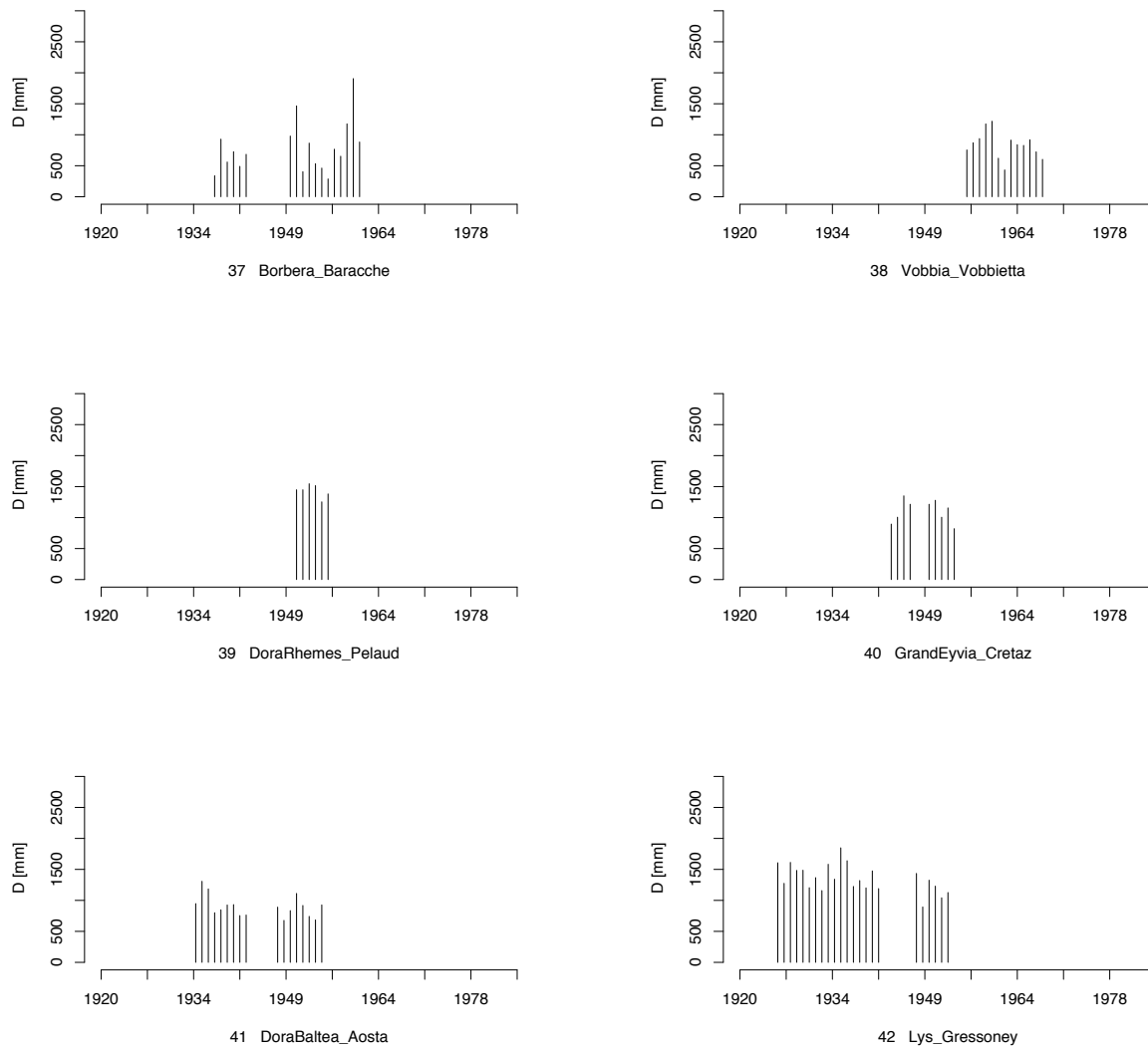


Figura F.1: Serie storiche dei deflussi annui alle sezioni considerate nello studio. (7/8)

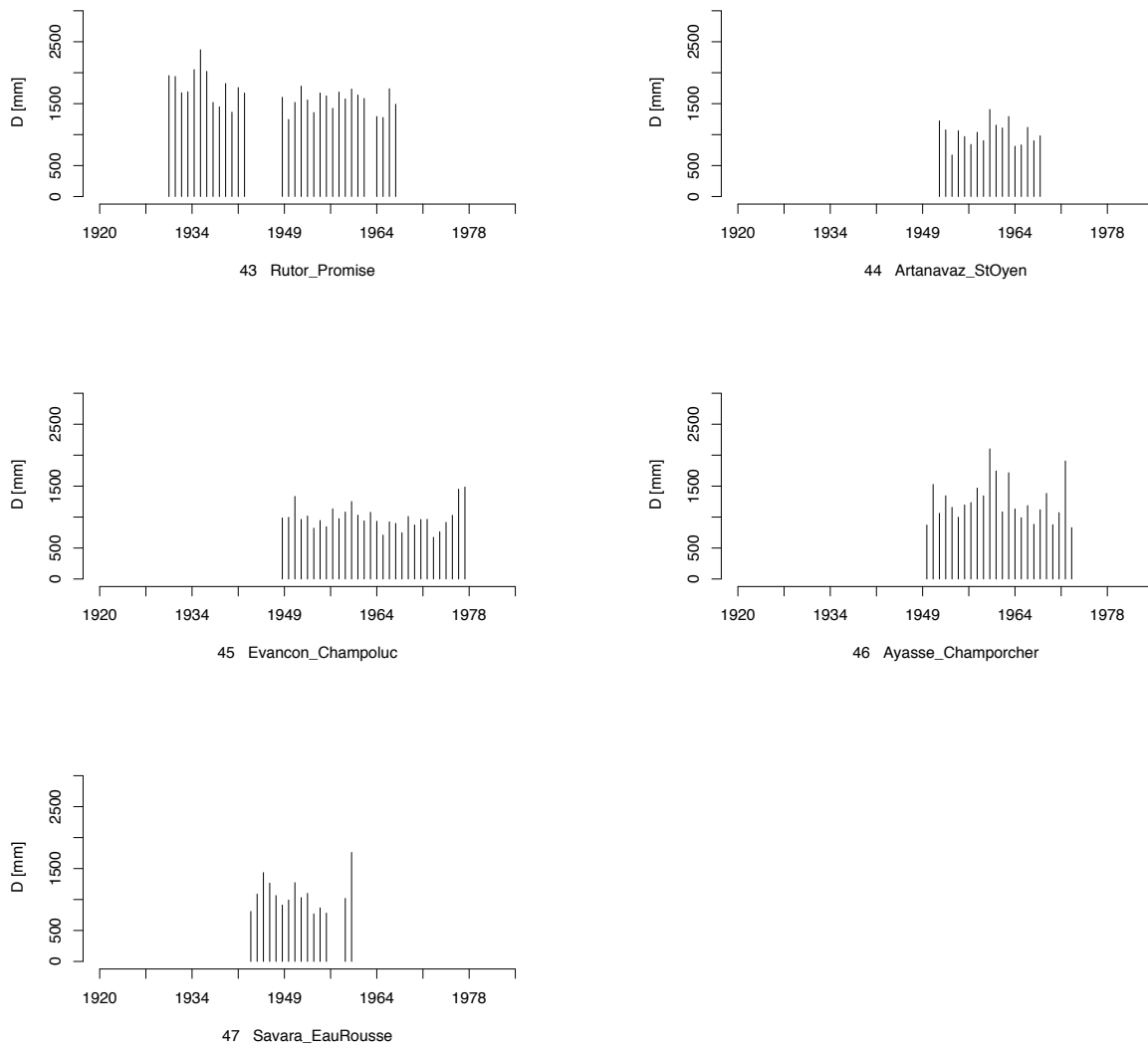


Figura F.1: Serie storiche dei deflussi annui alle sezioni considerate nello studio. (8/8)

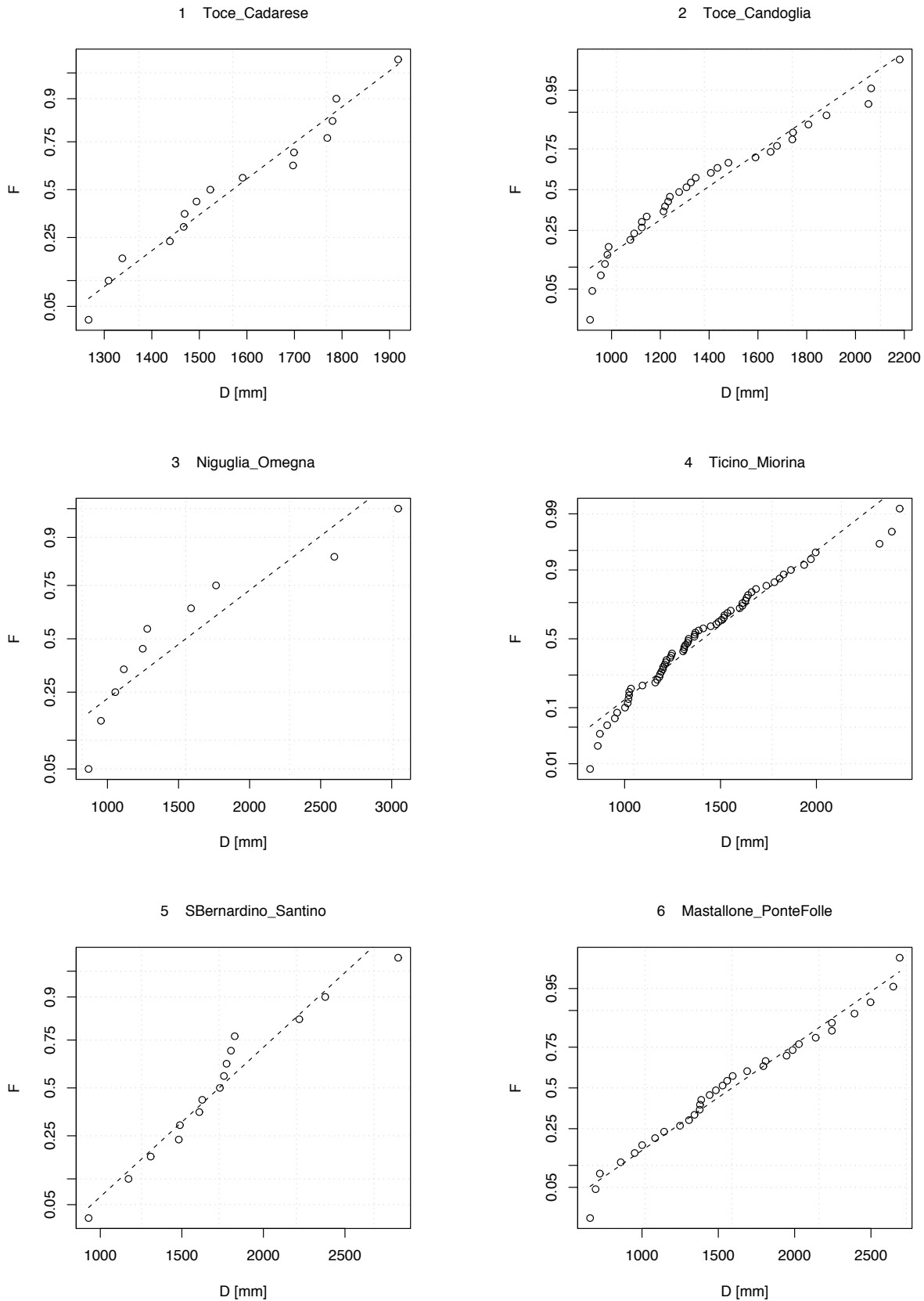


Figura F.2: Rappresentazione in carta probabilistica normale delle Serie storiche dei deflussi annuali alle sezioni considerate nello studio. (1/8)

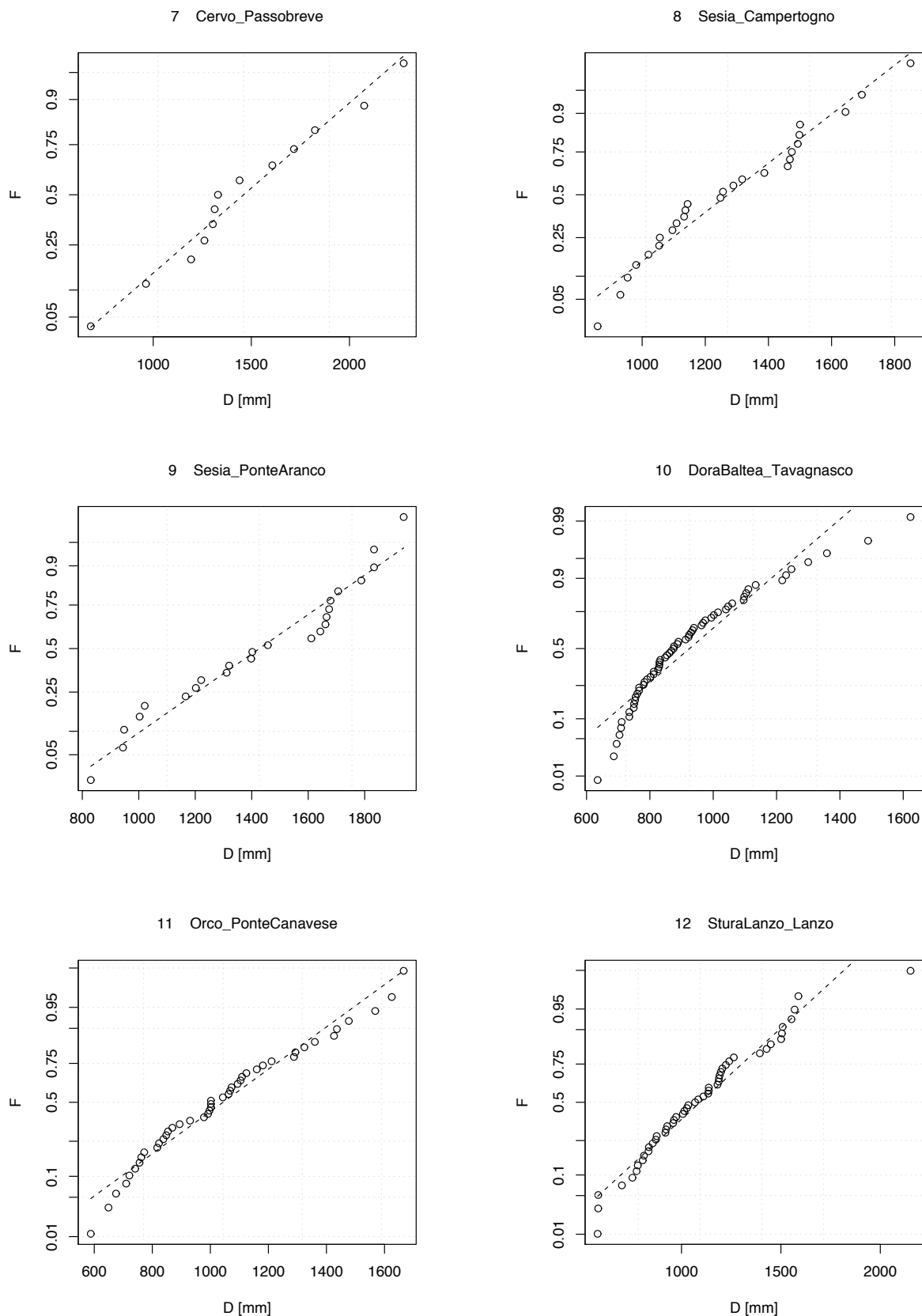


Figura F.2: Rappresentazione in carta probabilistica normale delle Serie storiche dei deflussi annui alle sezioni considerate nello studio. (2/8)

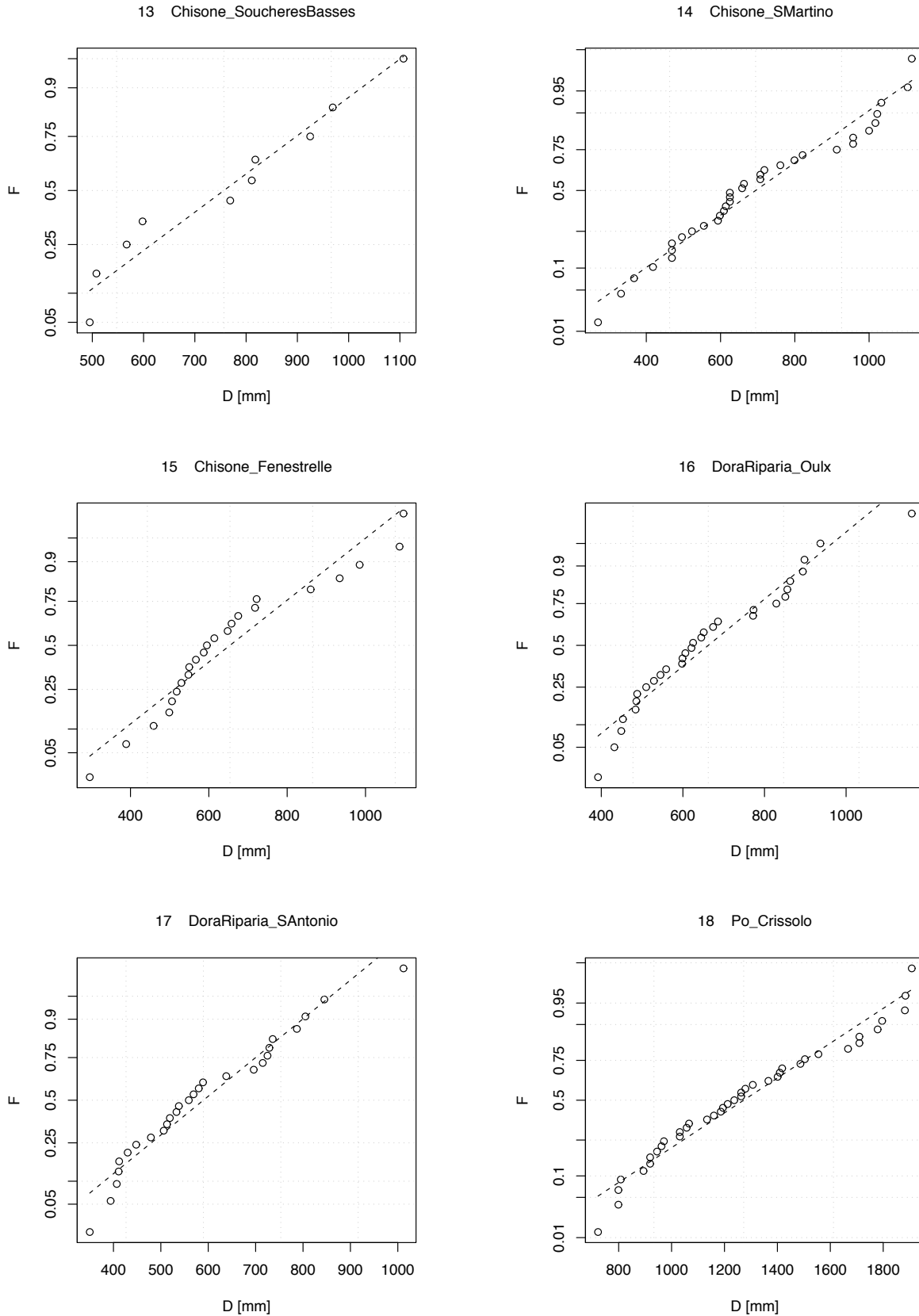


Figura F.2: Rappresentazione in carta probabilistica normale delle Serie storiche dei deflussi annui alle sezioni considerate nello studio. (3/8)

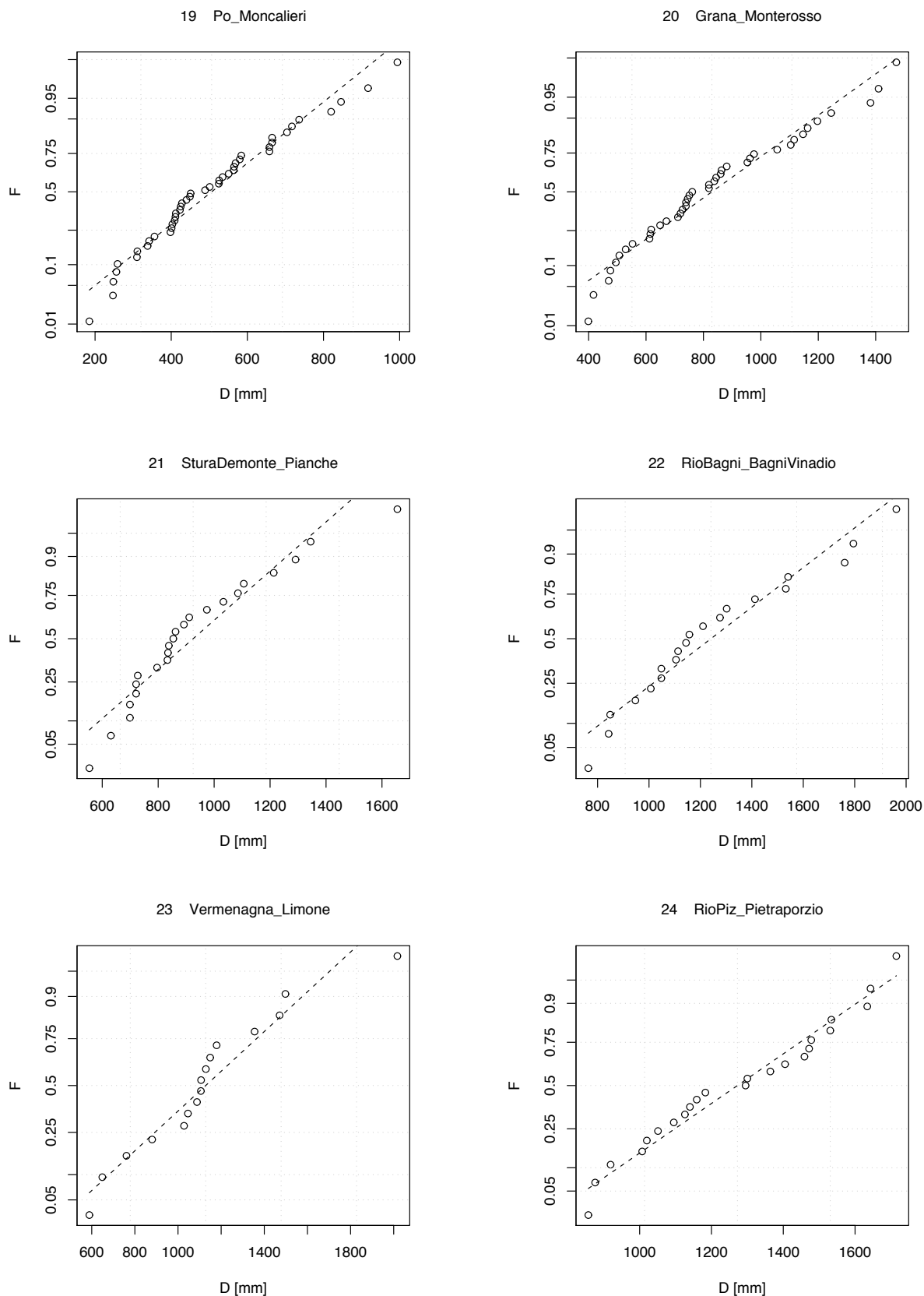


Figura F.2: Rappresentazione in carta probabilistica normale delle Serie storiche dei deflussi annui alle sezioni considerate nello studio. (4/8)

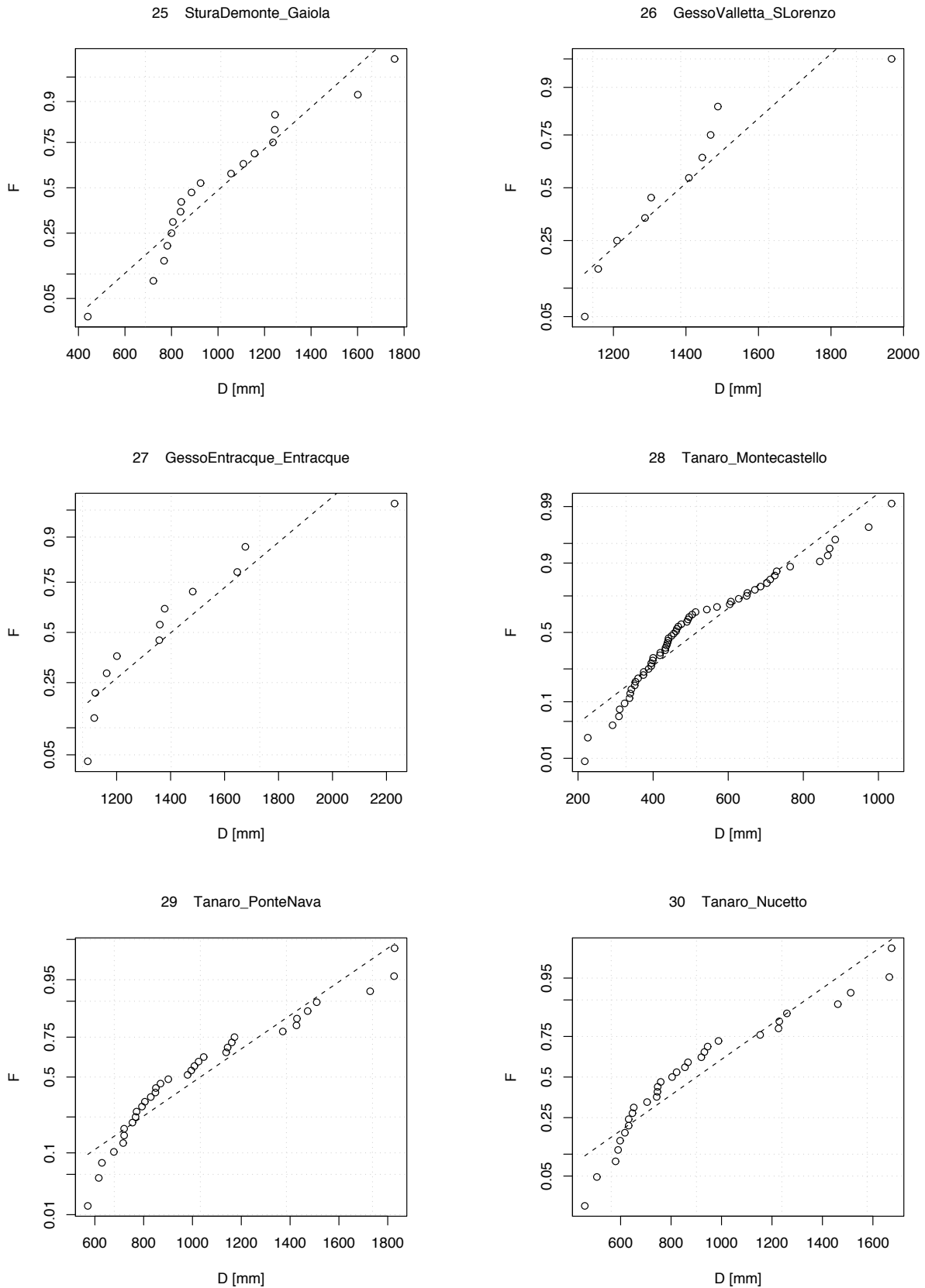


Figura F.2: Rappresentazione in carta probabilistica normale delle Serie storiche dei deflussi annuali alle sezioni considerate nello studio. (5/8)

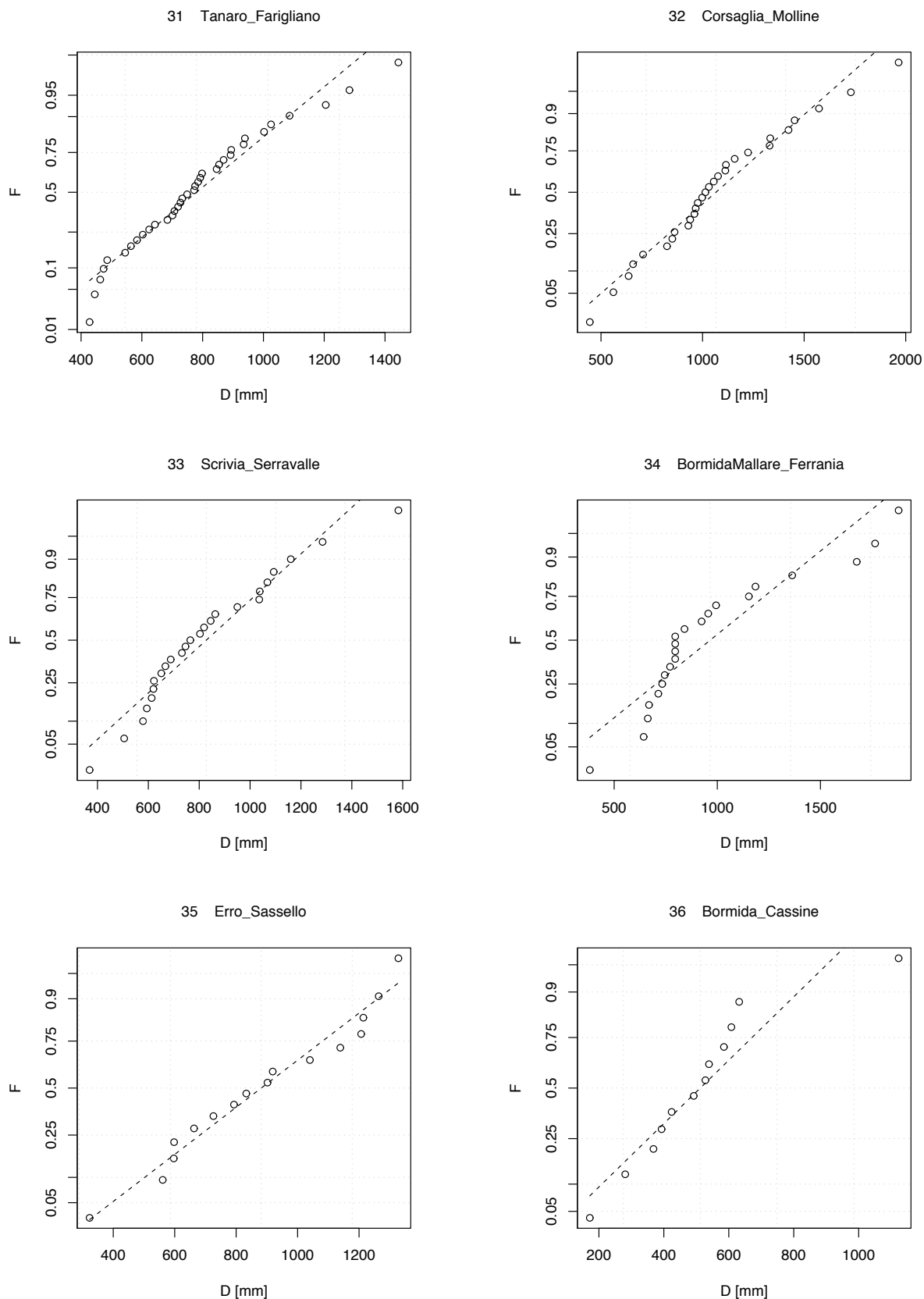


Figura F.2: Rappresentazione in carta probabilistica normale delle Serie storiche dei deflussi annui alle sezioni considerate nello studio. (6/8)

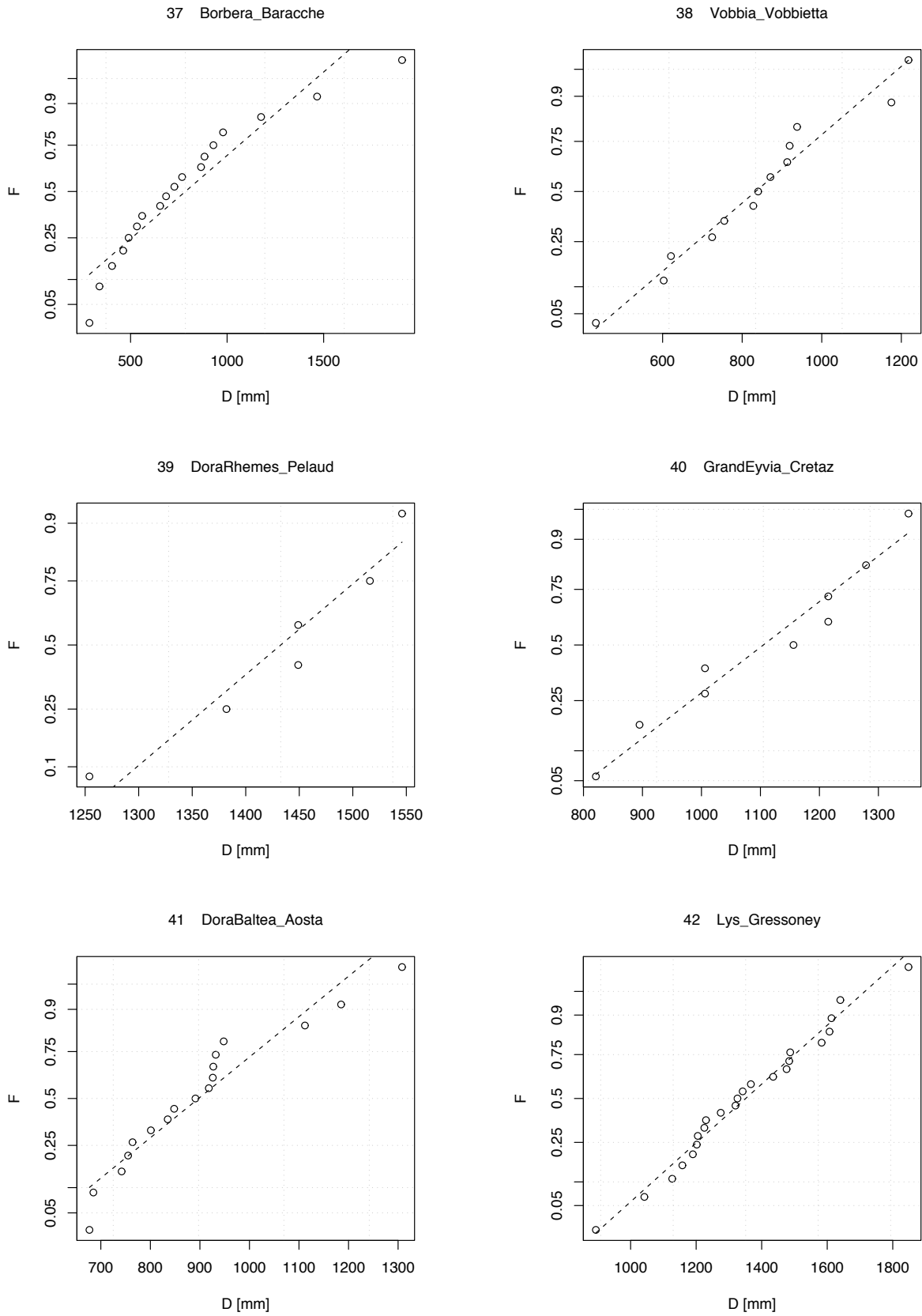


Figura F.2: Rappresentazione in carta probabilistica normale delle Serie storiche dei deflussi annui alle sezioni considerate nello studio. (7/8)

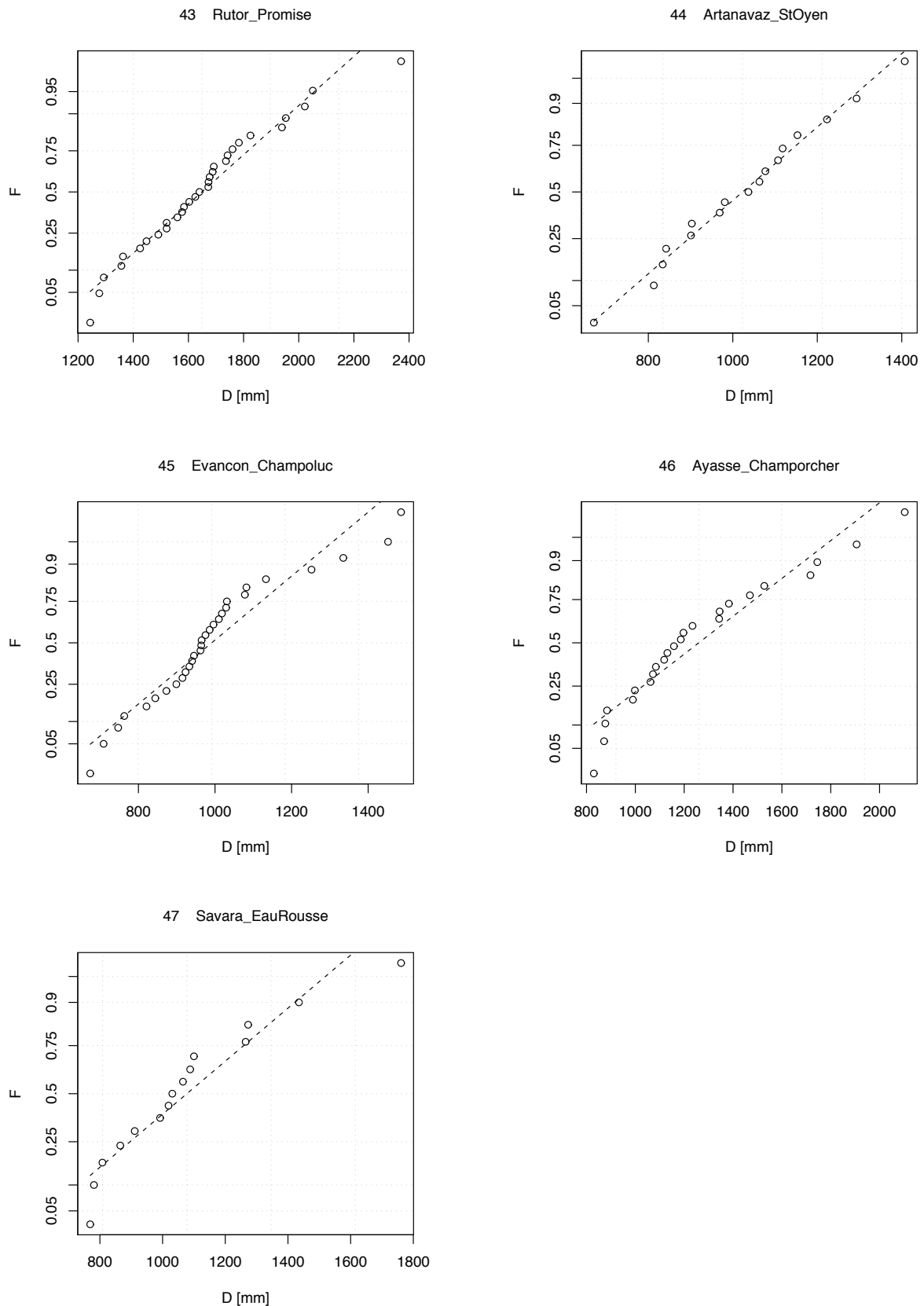


Figura F.2: Rappresentazione in carta probabilistica normale delle Serie storiche dei deflussi annui alle sezioni considerate nello studio. (8/8)

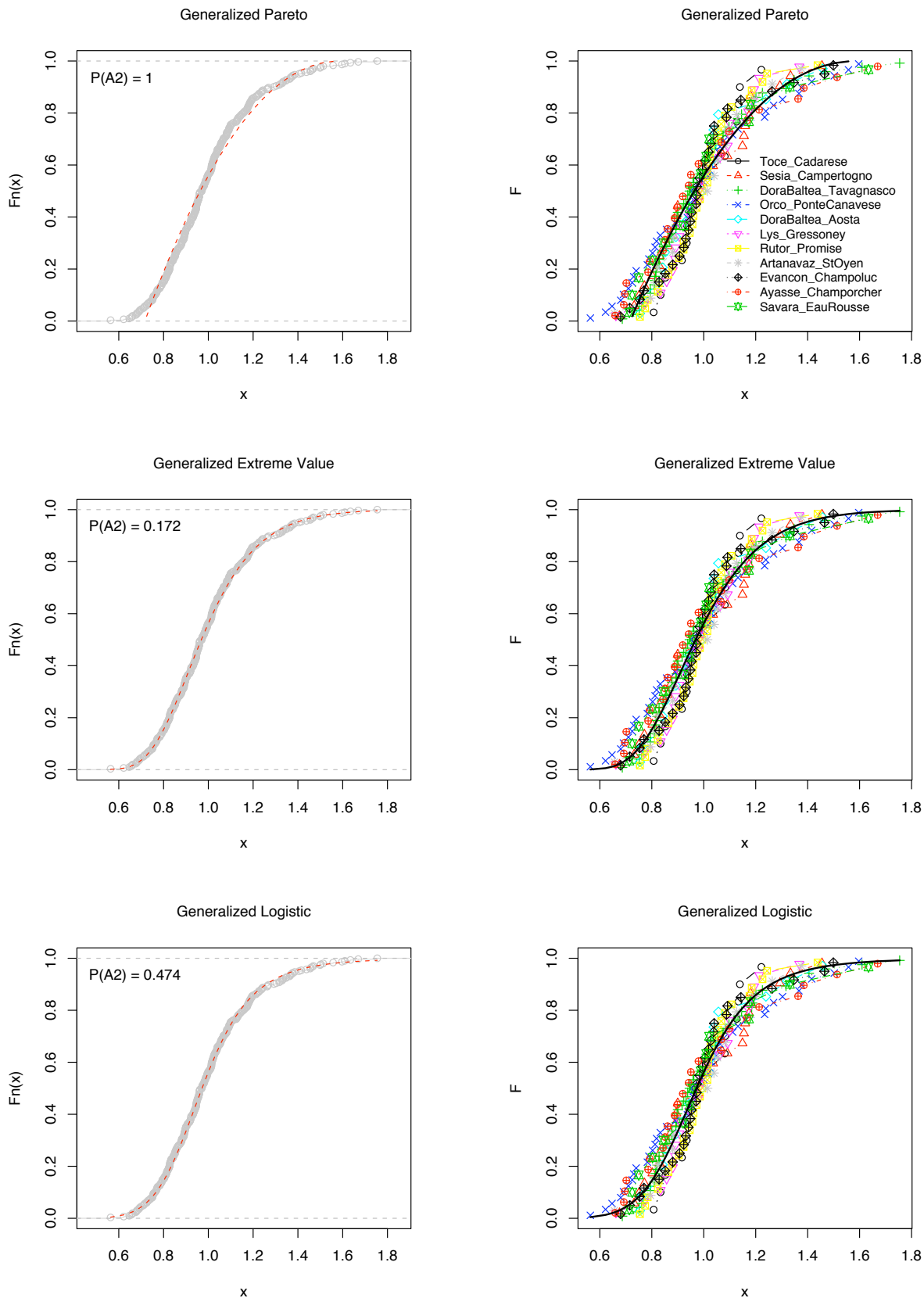


Figura F.3: Selezione della distribuzione di probabilità per la variabile deflusso annuo (regione 1). (1/8)

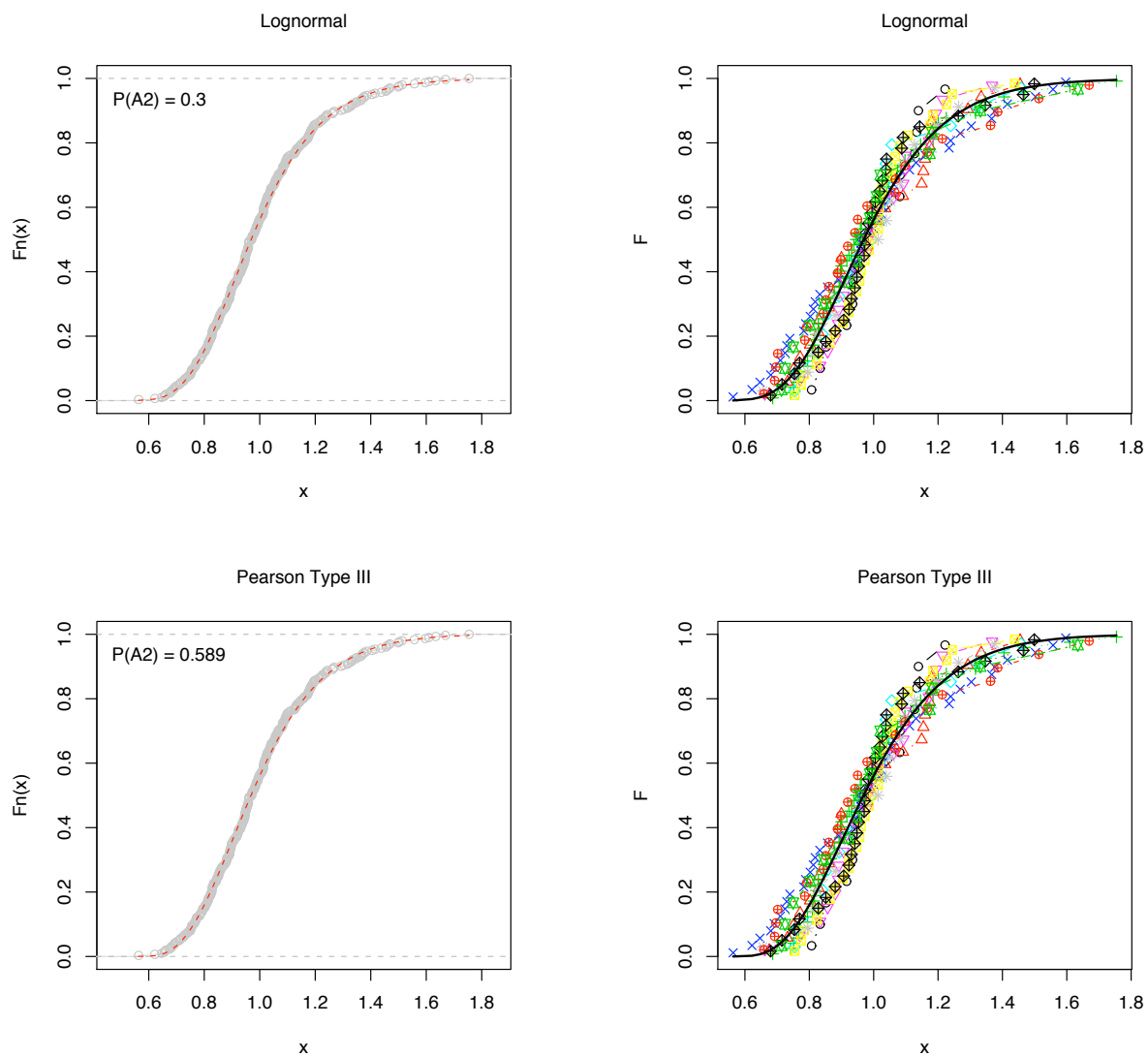


Figura F.3: Selezione della distribuzione di probabilità per la variabile deflusso annuo (regione 1). (2/8)

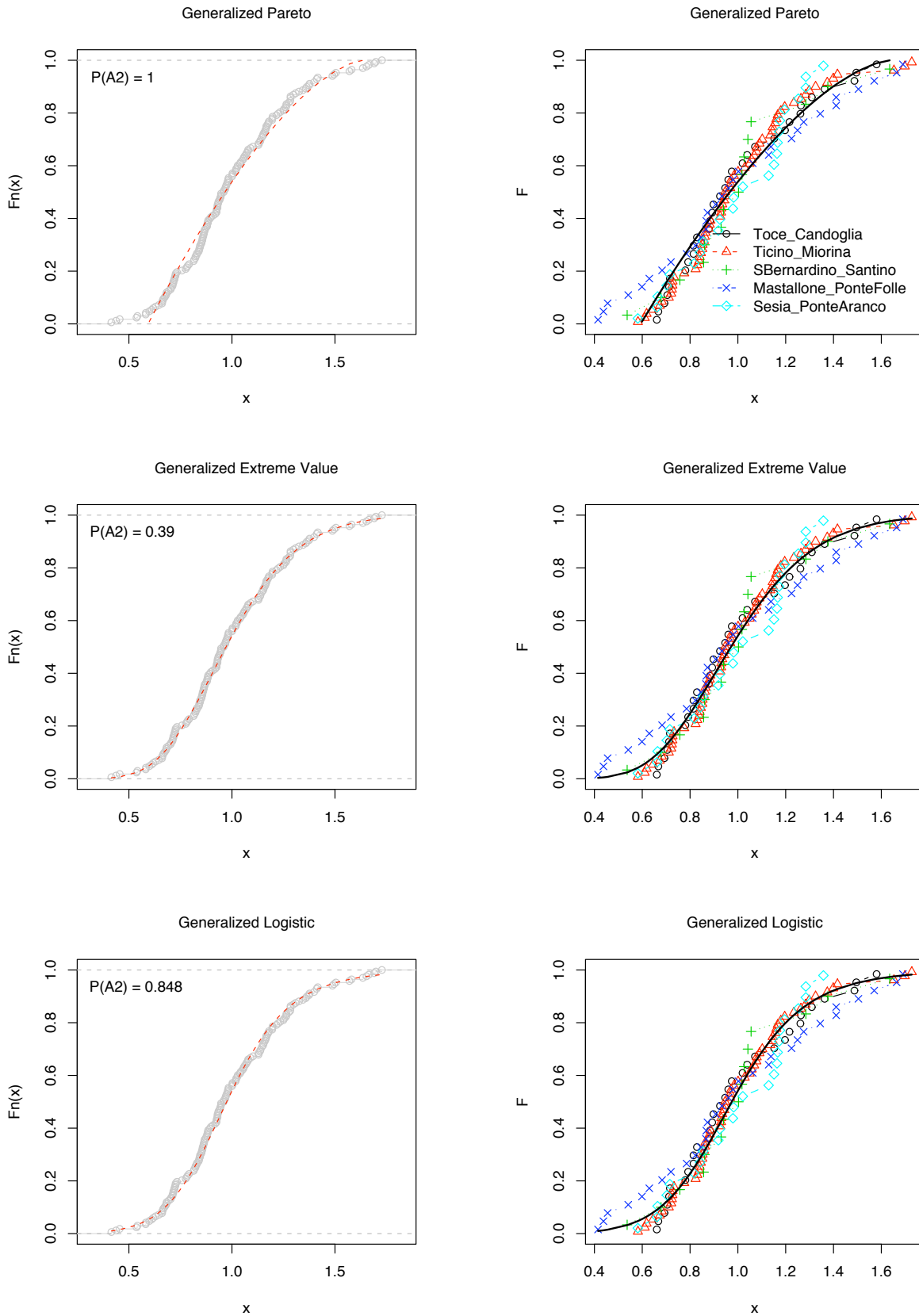


Figura F.3: Selezione della distribuzione di probabilità per la variabile deflusso annuo (regione 2). (3/8)

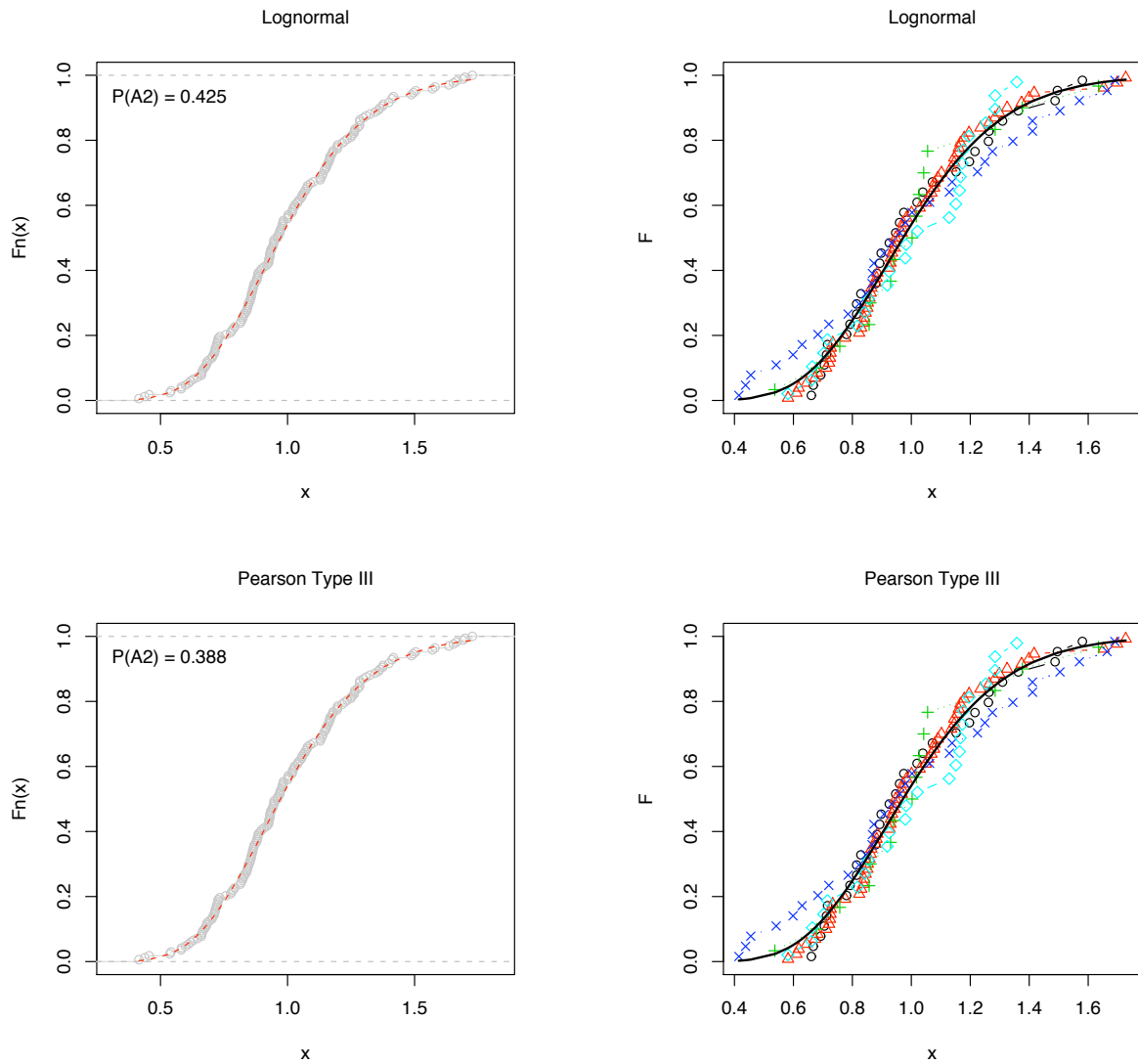


Figura F.3: Selezione della distribuzione di probabilità per la variabile deflusso annuo (regione 2). (4/8)

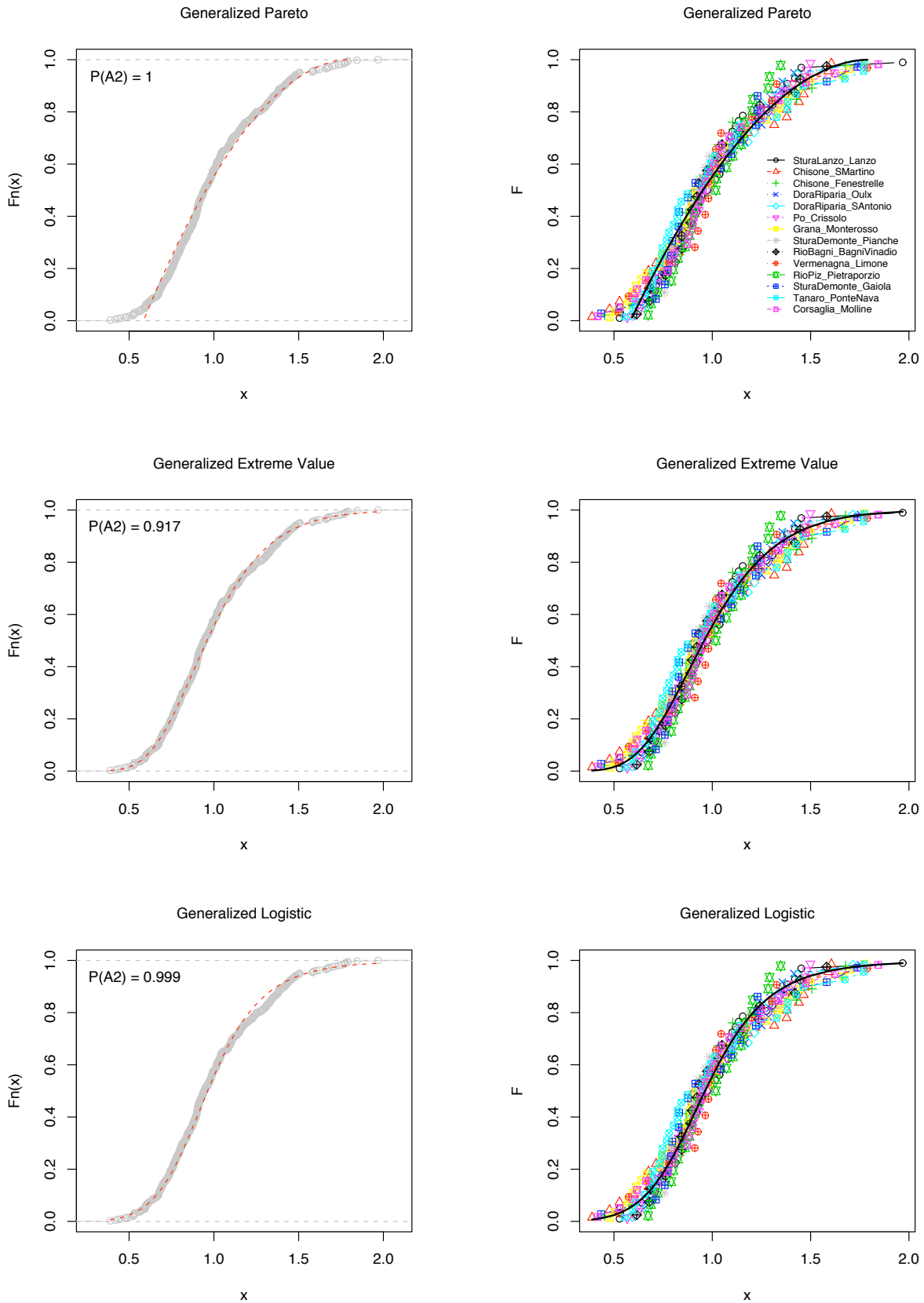


Figura F.3: Selezione della distribuzione di probabilità per la variabile deflusso annuo (regione 3). (5/8)

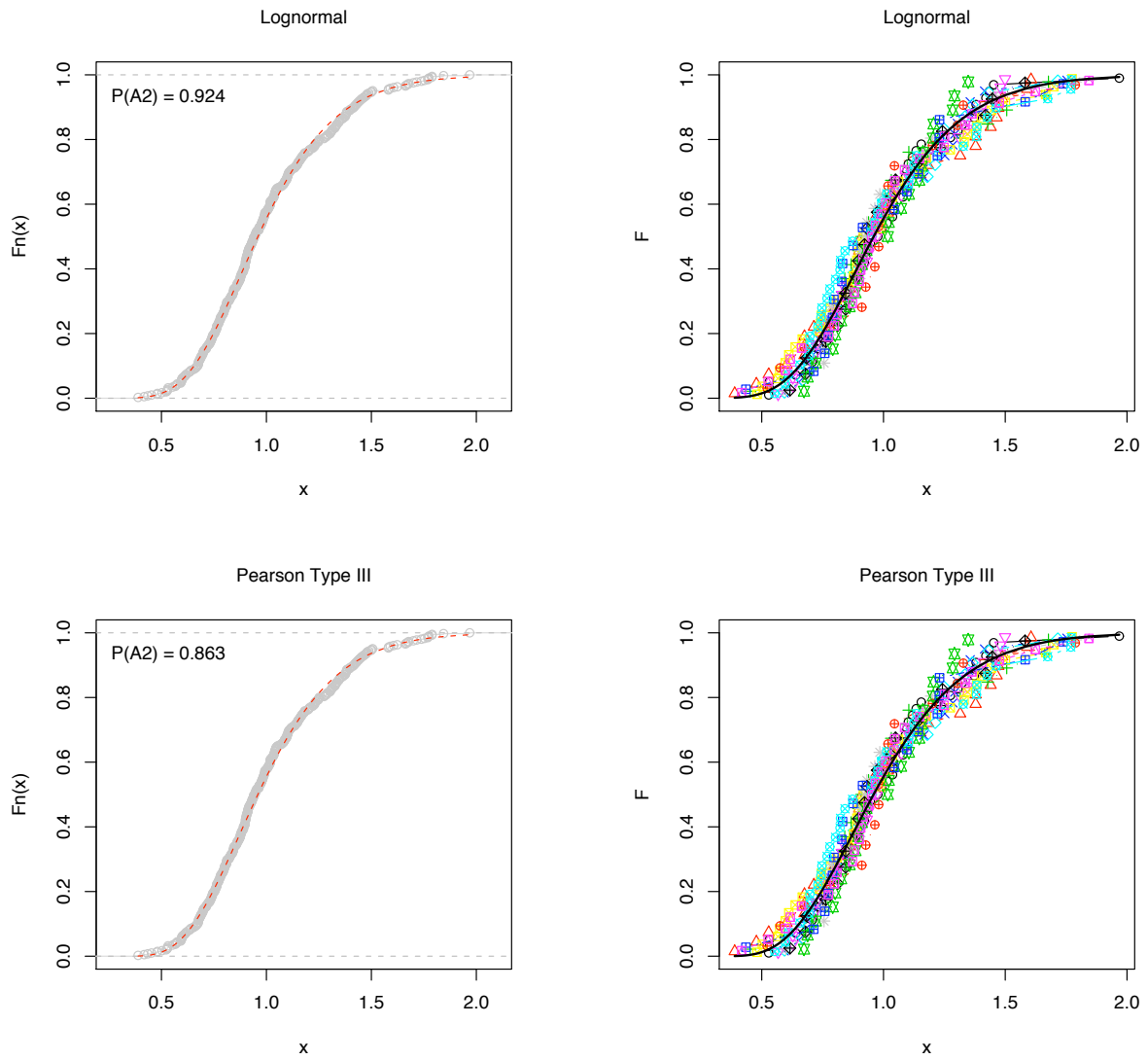


Figura F.3: Selezione della distribuzione di probabilità per la variabile deflusso annuo (regione 3). (6/8)

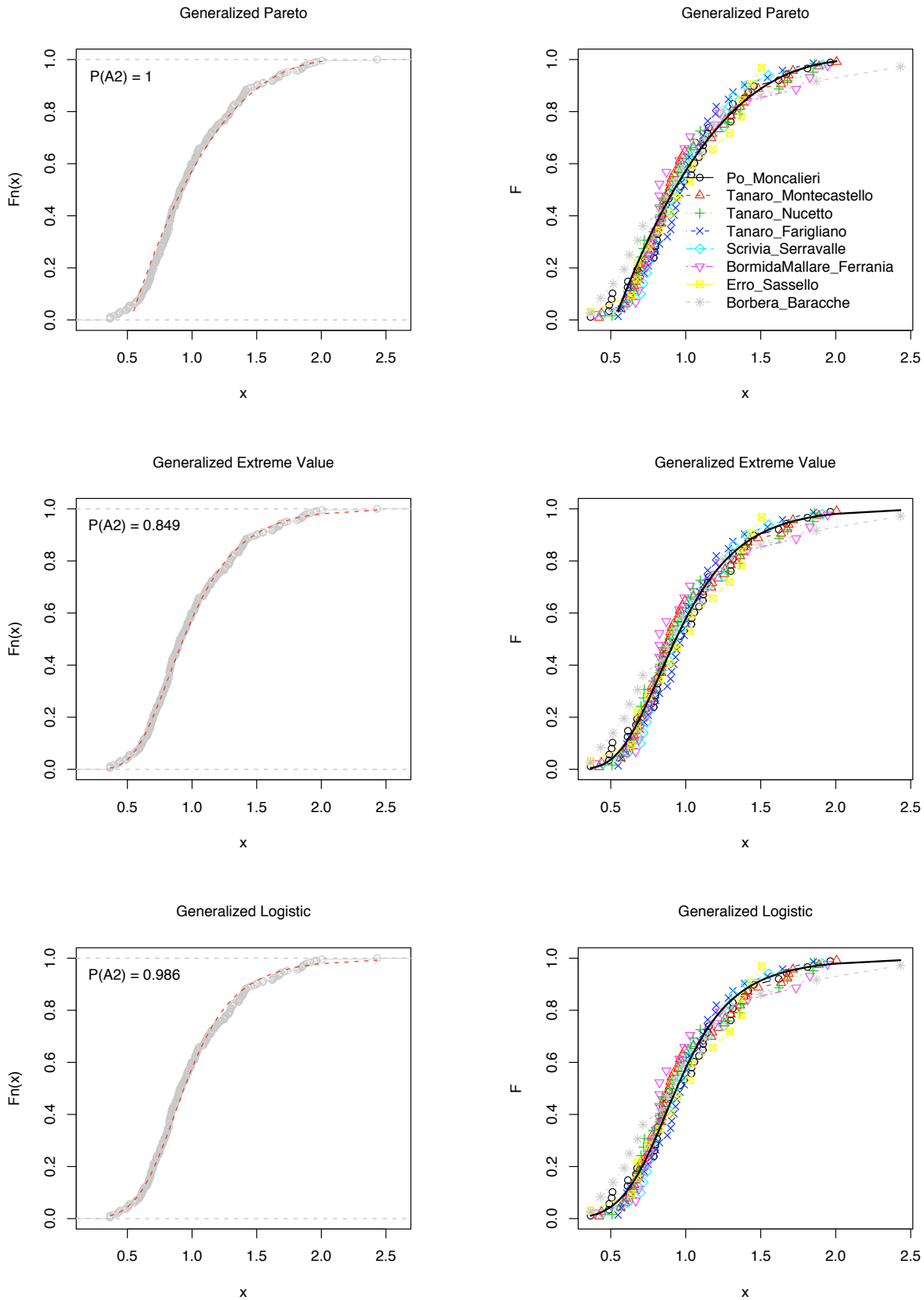


Figura F.3: Selezione della distribuzione di probabilità per la variabile deflusso annuo (regione 4). (7/8)

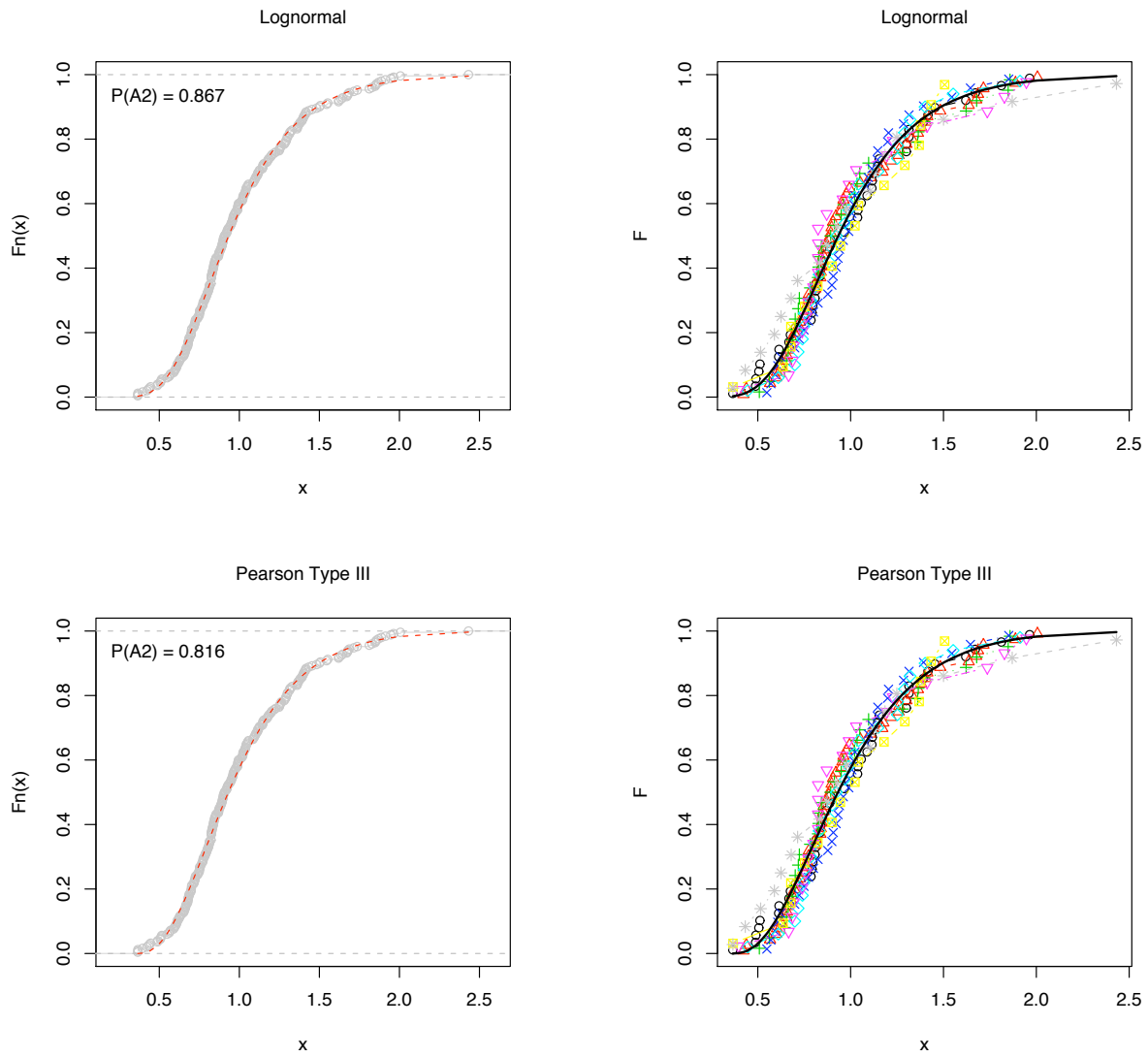


Figura F.3: Selezione della distribuzione di probabilità per la variabile deflusso annuo (regione 4). (8/8)

F.2 Regionalizzazione dei regimi idrologici

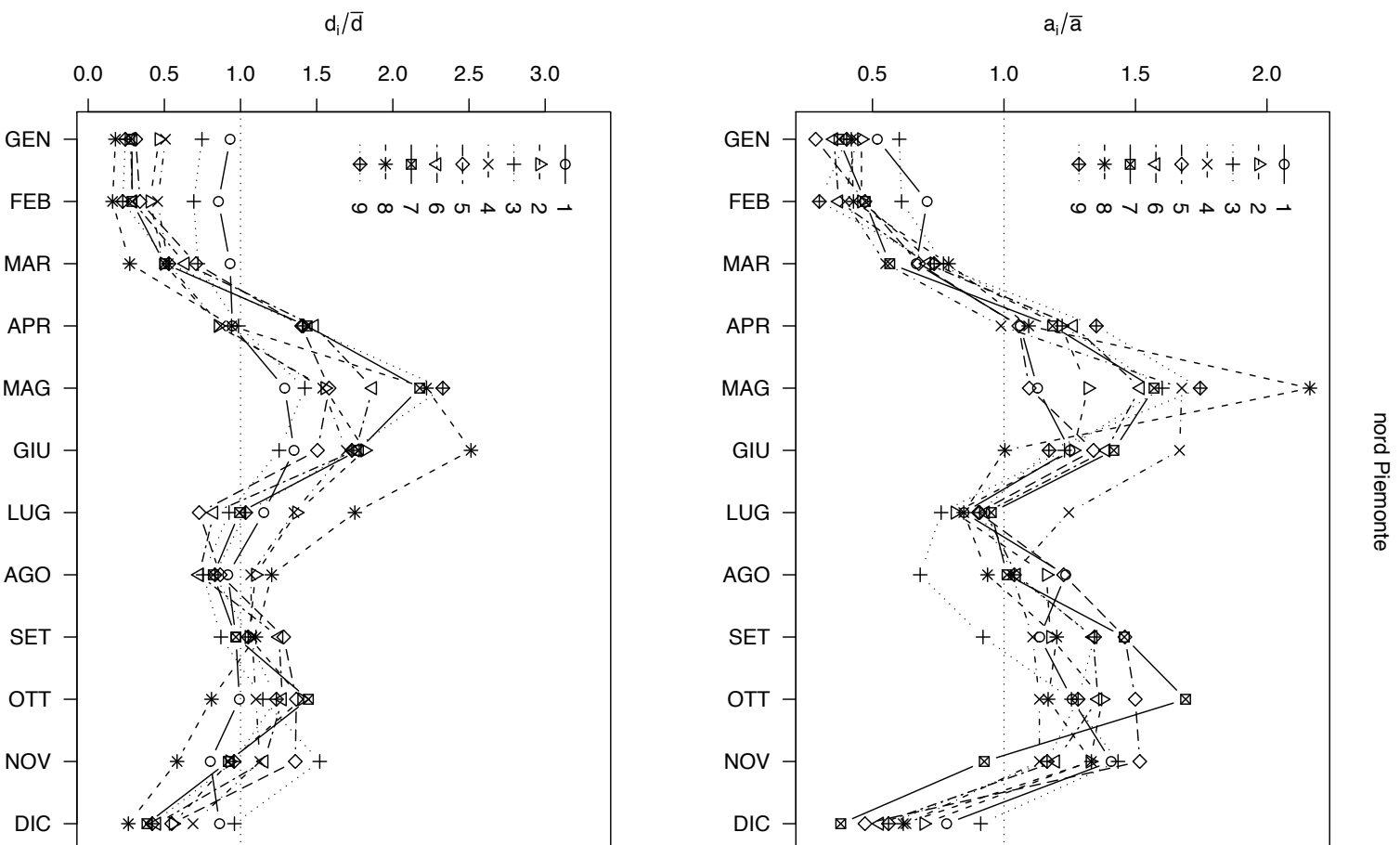


Figura F.4: Regimi pluviometrici (a_i/\bar{a}) e idrometrici (d_i/\bar{d}) adimensionalizzati e sovrapposti per diverse zone geografiche. (1/5)

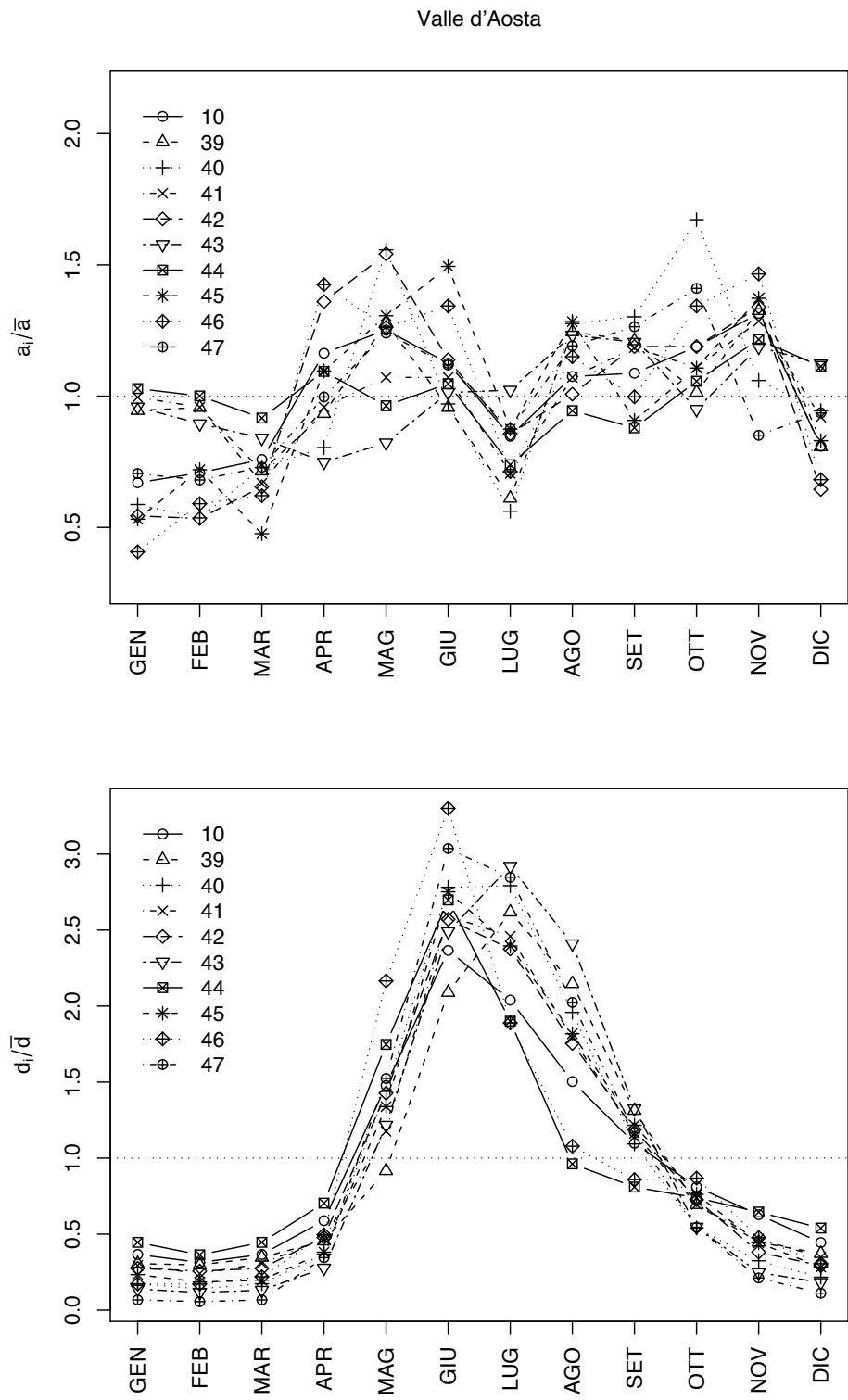


Figura F.4: Regimi pluviometrici (a_i/\bar{a}) e idrometrici (d_i/\bar{d}) adimensionalizzati e sovrapposti per diverse zone geografiche. (2/5)

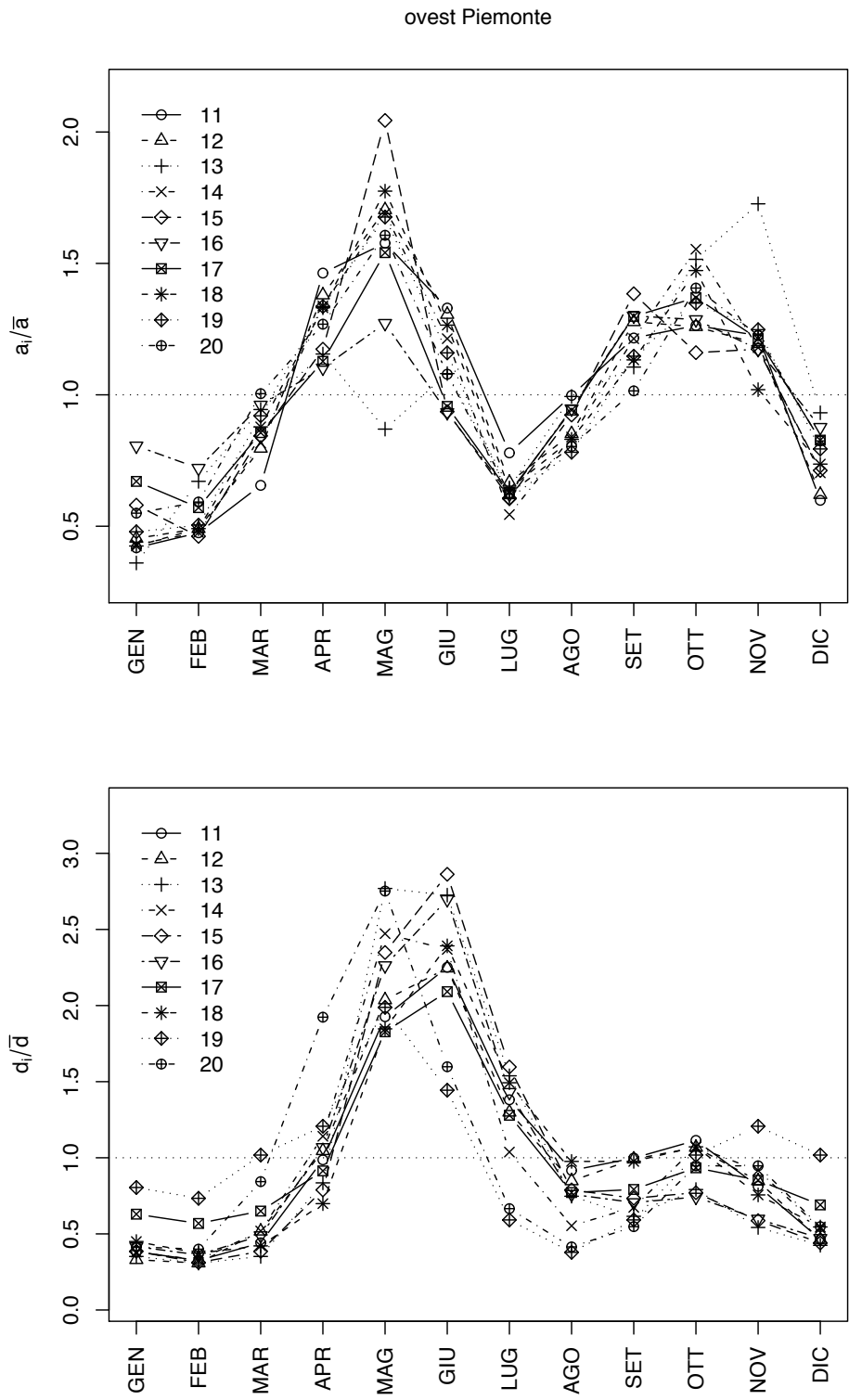


Figura F.4: Regimi pluviometrici (a_i/\bar{a}) e idrometrici (d_i/\bar{d}) adimensionalizzati e sovrapposti per diverse zone geografiche. (3/5)

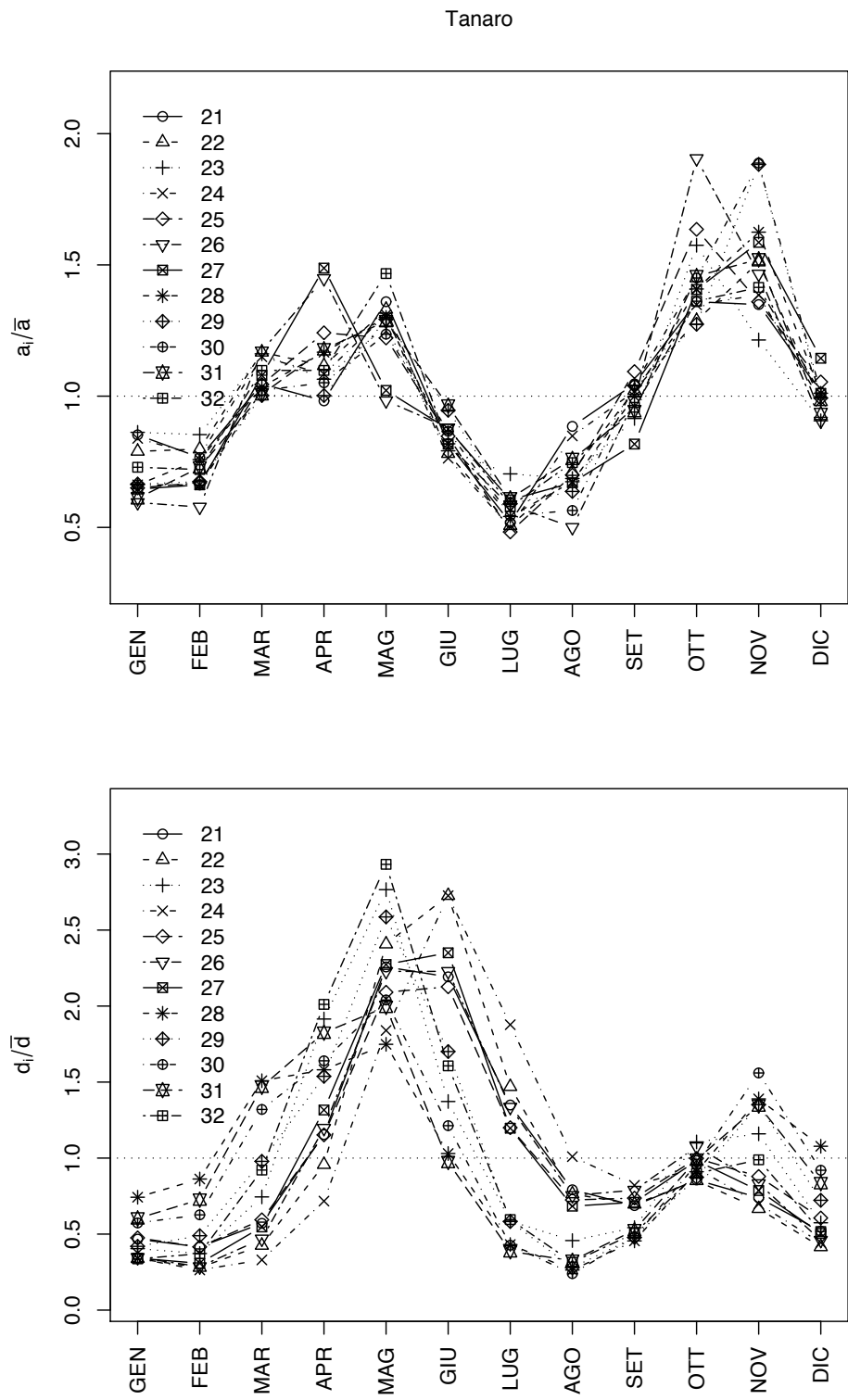


Figura F.4: Regimi pluviometrici (a_i/\bar{a}) e idrometrici (d_i/\bar{d}) adimensionalizzati e sovrapposti per diverse zone geografiche. (4/5)

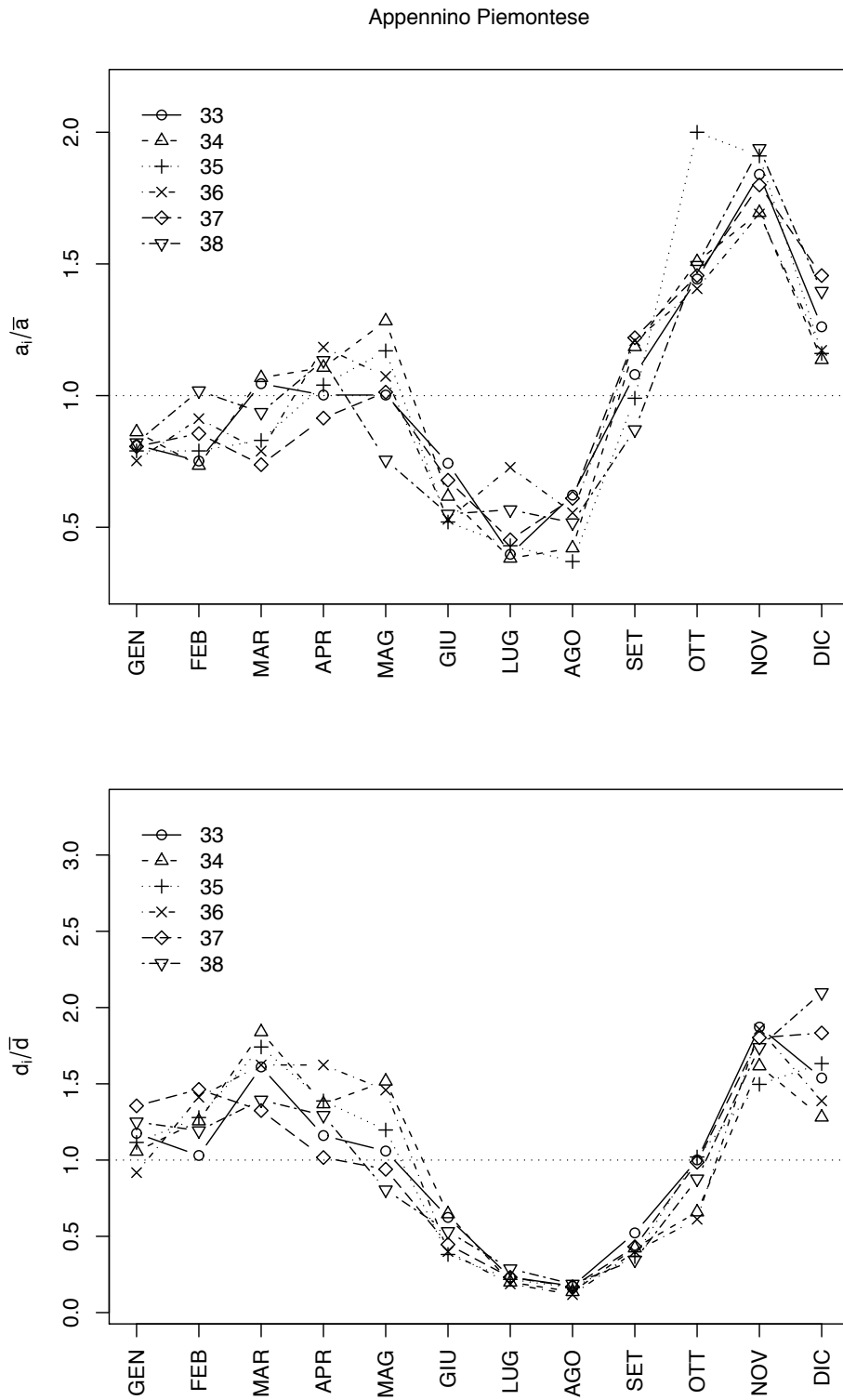
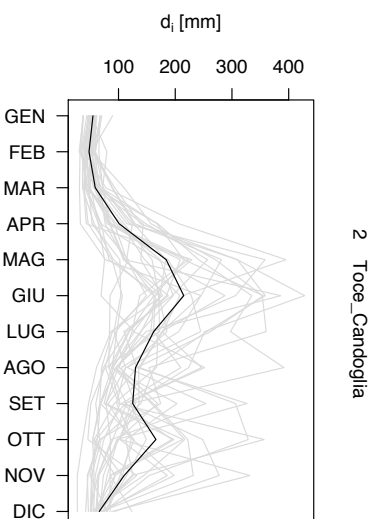
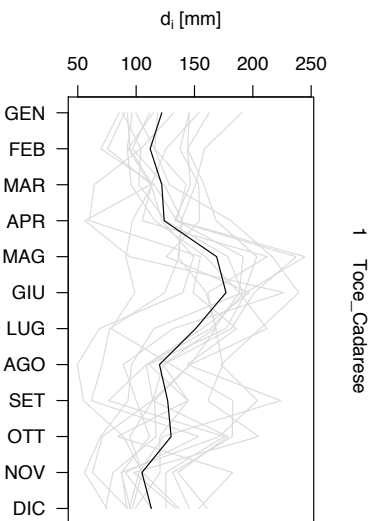
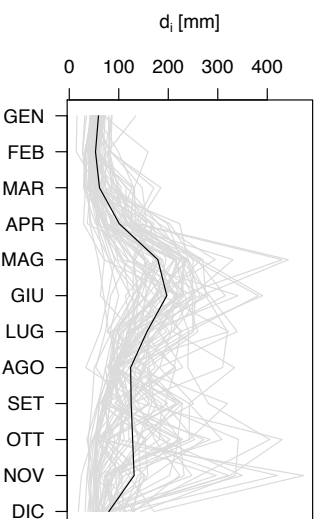


Figura F.4: Regimi pluviometrici (a_i/\bar{a}) e idrometrici (d_i/\bar{d}) adimensionalizzati e sovrapposti per diverse zone geografiche. (5/5)



4 Toino_Miorina



6 Mastallone_PonteFolle

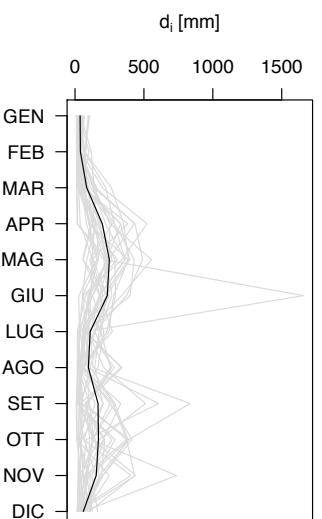


Figura F.5: Regime idrometrico medio e serie dei mensili per i bacini considerati nello studio. (1/8)

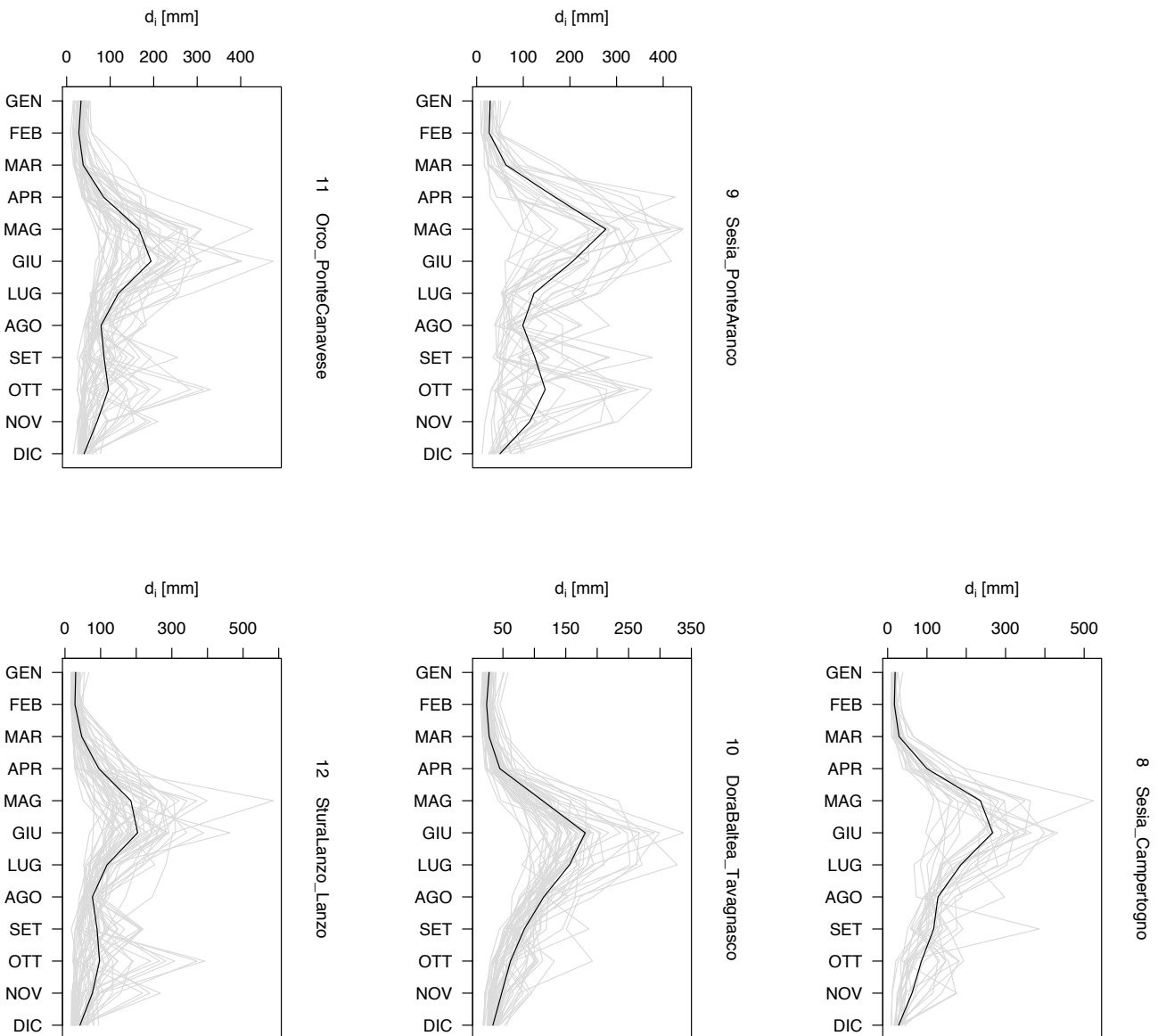


Figura F.5: Regime idrometrico medio e serie dei mensili per i bacini considerati nello studio. (2/8)

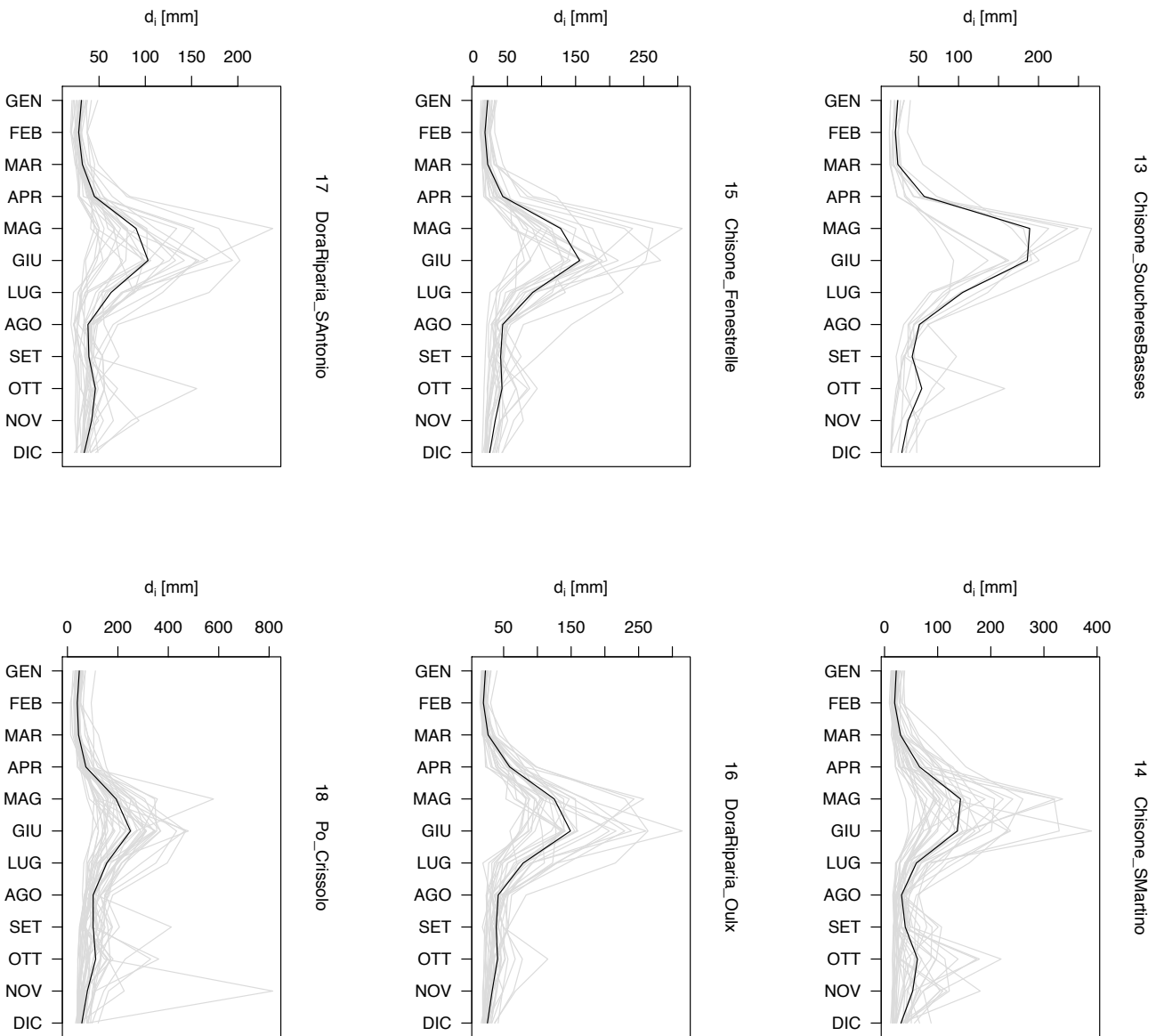


Figura F.5: Regime idrometrico medio e serie dei mensili per i bacini considerati nello studio. (3/8)

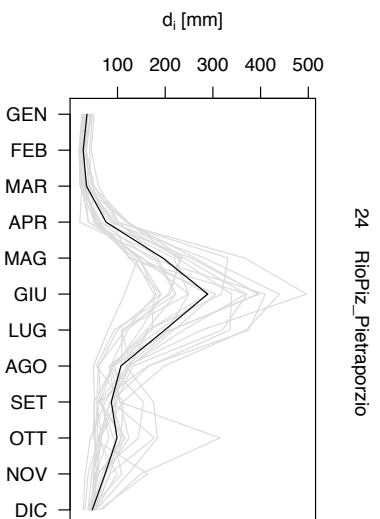
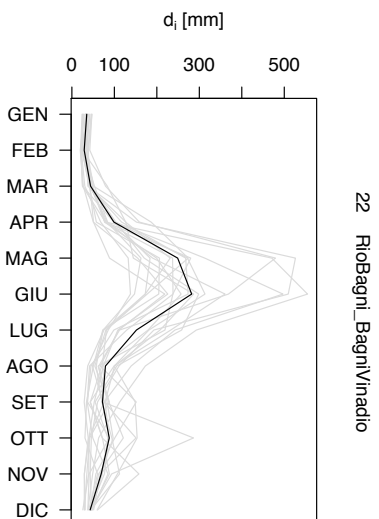
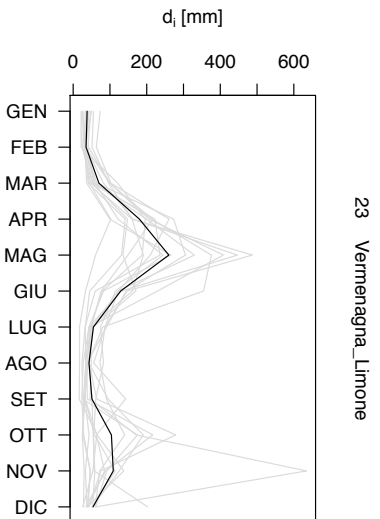
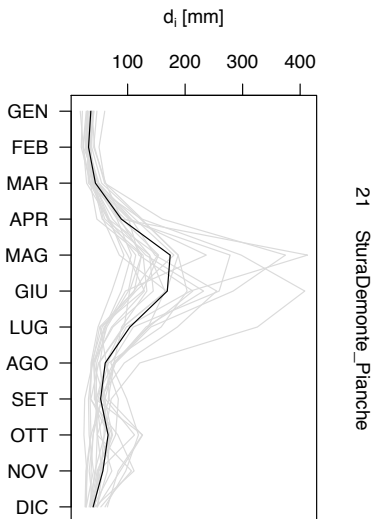
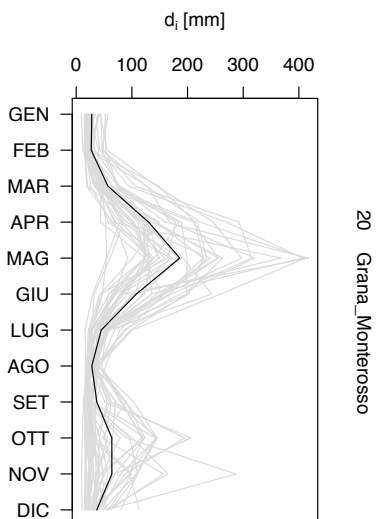


Figura F.5: Regime idrometrico medio e serie dei mensili per i bacini considerati nello studio. (4/8)

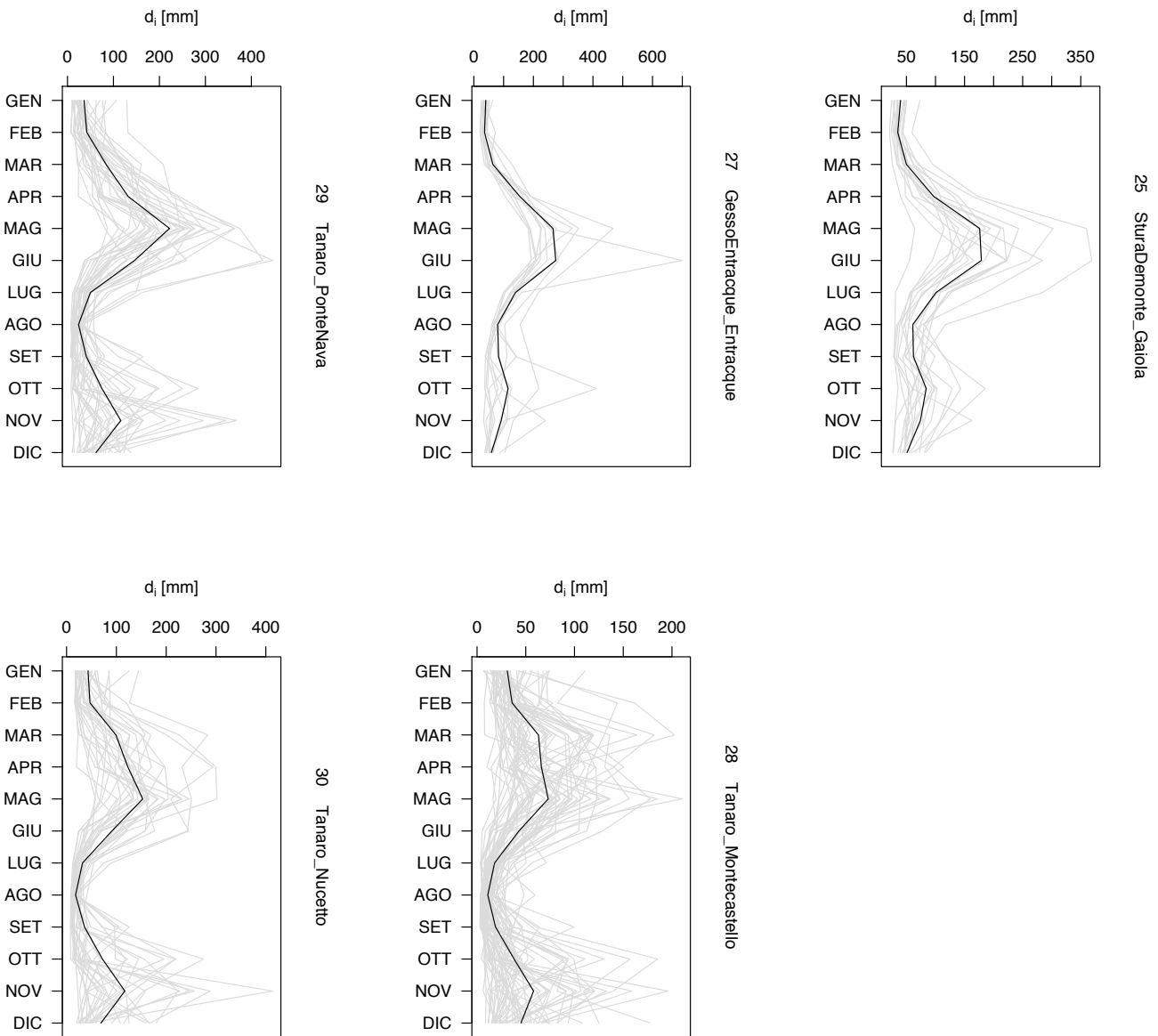


Figura F.5: Regime idrometrico medio e serie dei mensili per i bacini considerati nello studio. (5/8)

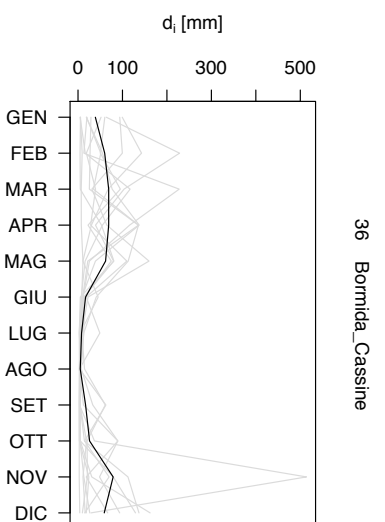
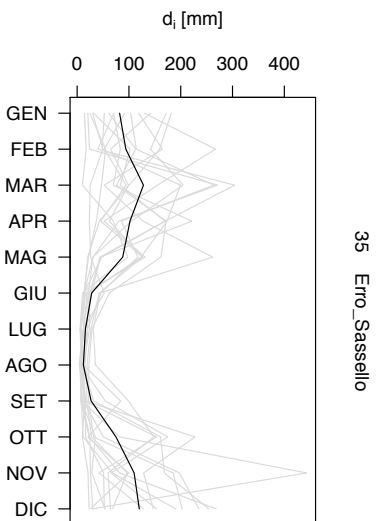
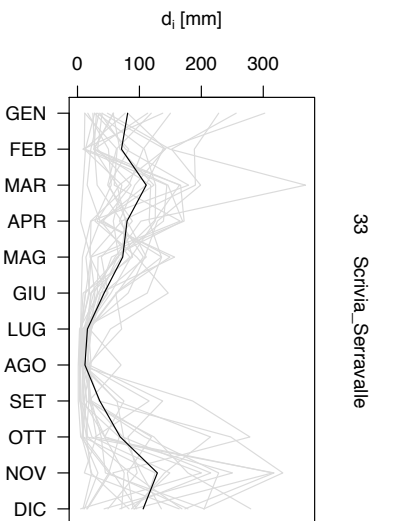
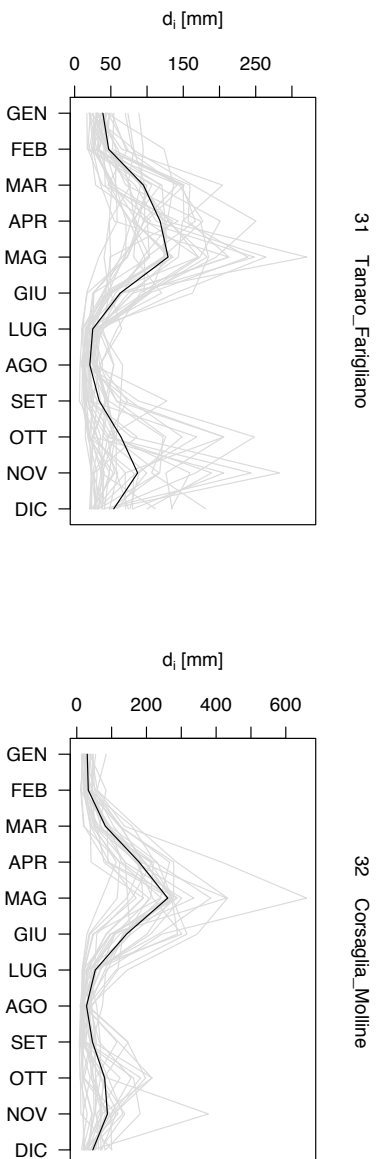


Figura F.5: Regime idrometrico medio e serie dei mensili per i bacini considerati nello studio. (6/8)

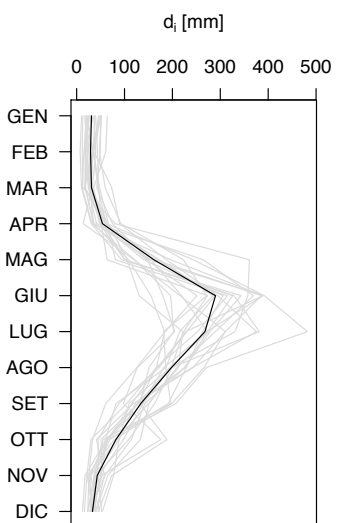
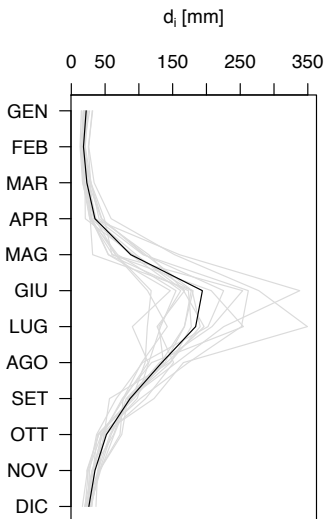
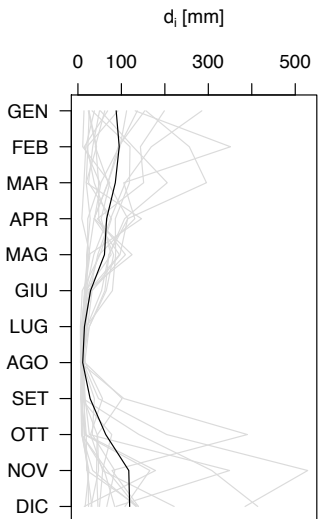


Figura F.5: Regime idrometrico medio e serie dei mensili per i bacini considerati nello studio. (7/8)

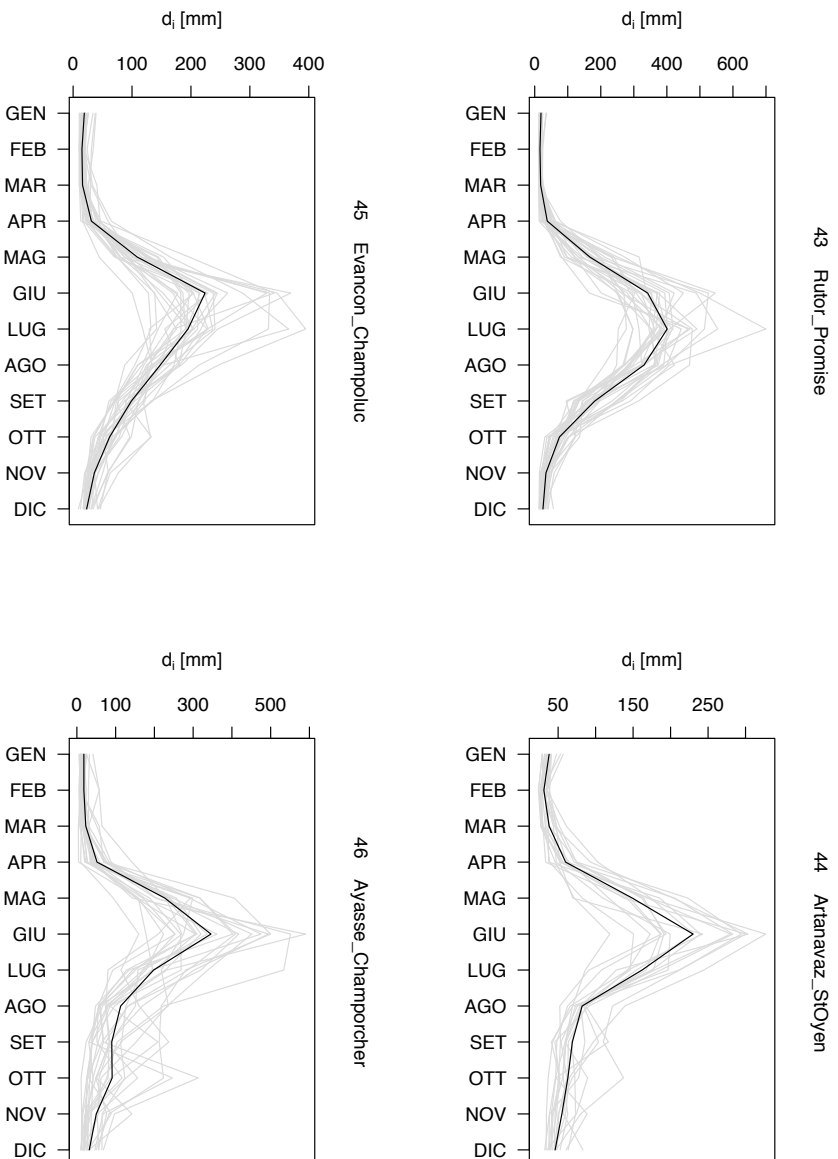


Figura F.5: Regime idrometrico medio e serie dei mensili per i bacini considerati nello studio. (8/8)

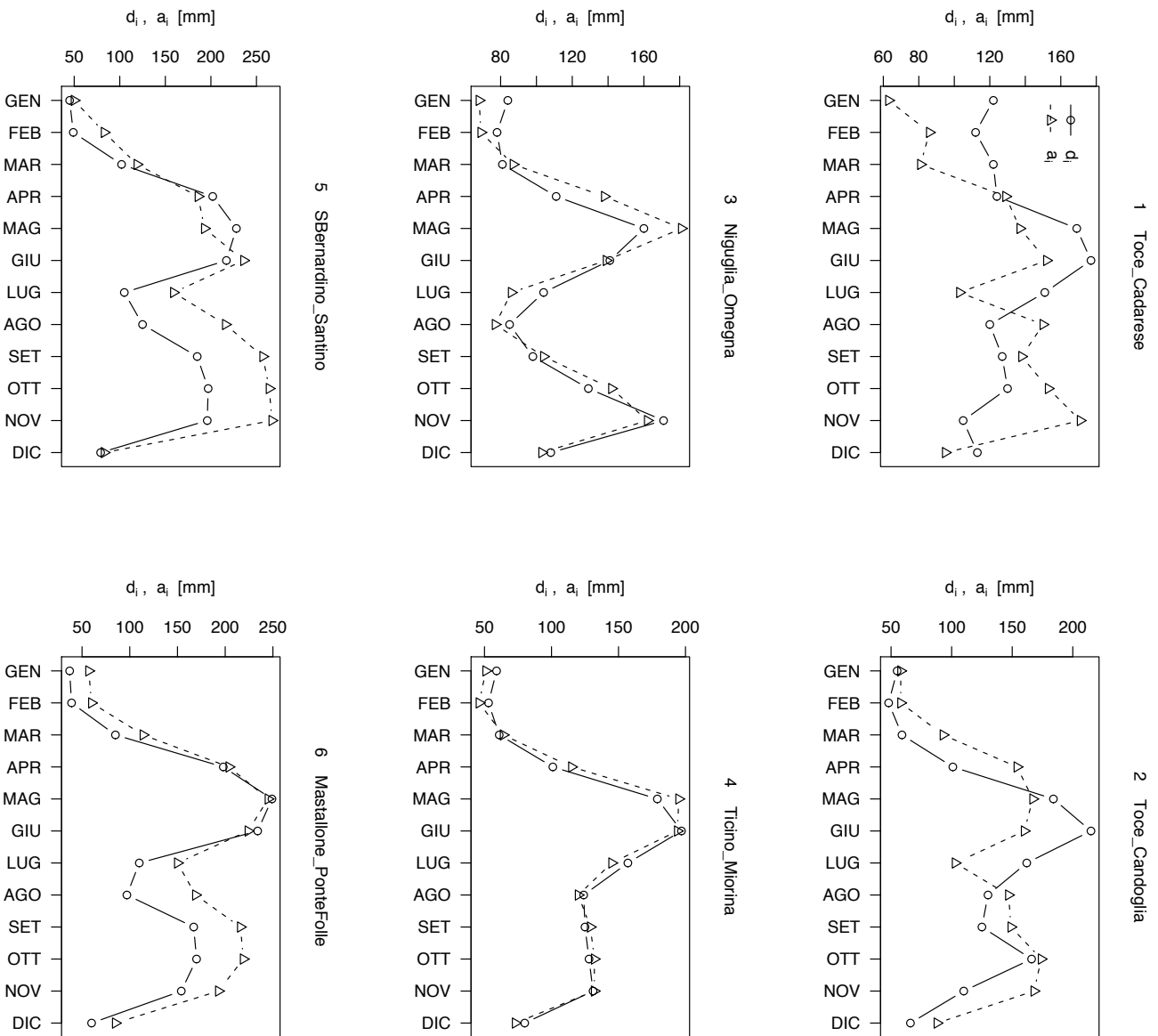
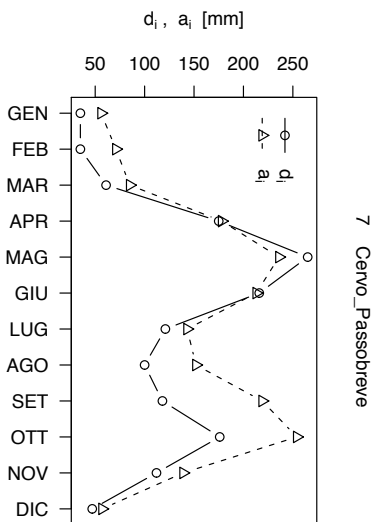
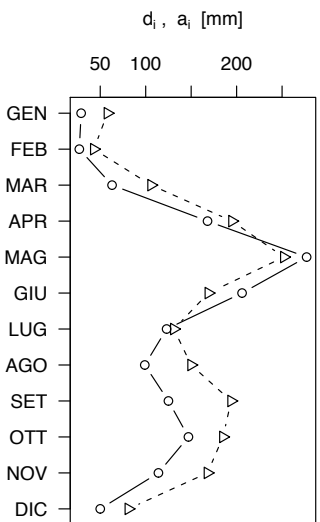


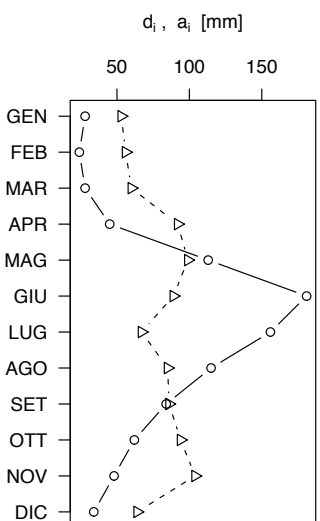
Figura F.6: Regime idrometrico e pluviometrico per i bacini considerati nello studio; d_i sono i deflussi medi mensili di Tabella F.2, a_i sono gli afflussi medi mensili di Tabella F.3. (1/8)



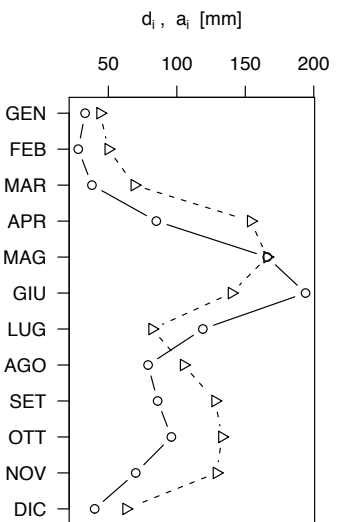
9 Sesia_PonteAranco



10 Dorabattea_Tavagnasco



11 Orto_PonteCanavese



12 Sturalanzo_Lanzo

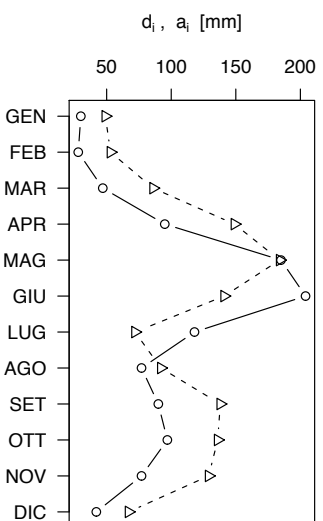


Figura F.6: Regime idrometrico e pluviometrico per i bacini considerati nello studio; d_i sono i deflussi medi mensili di Tabella E.2, a_i sono gli afflussi medi mensili di Tabella E.3. (2/8)

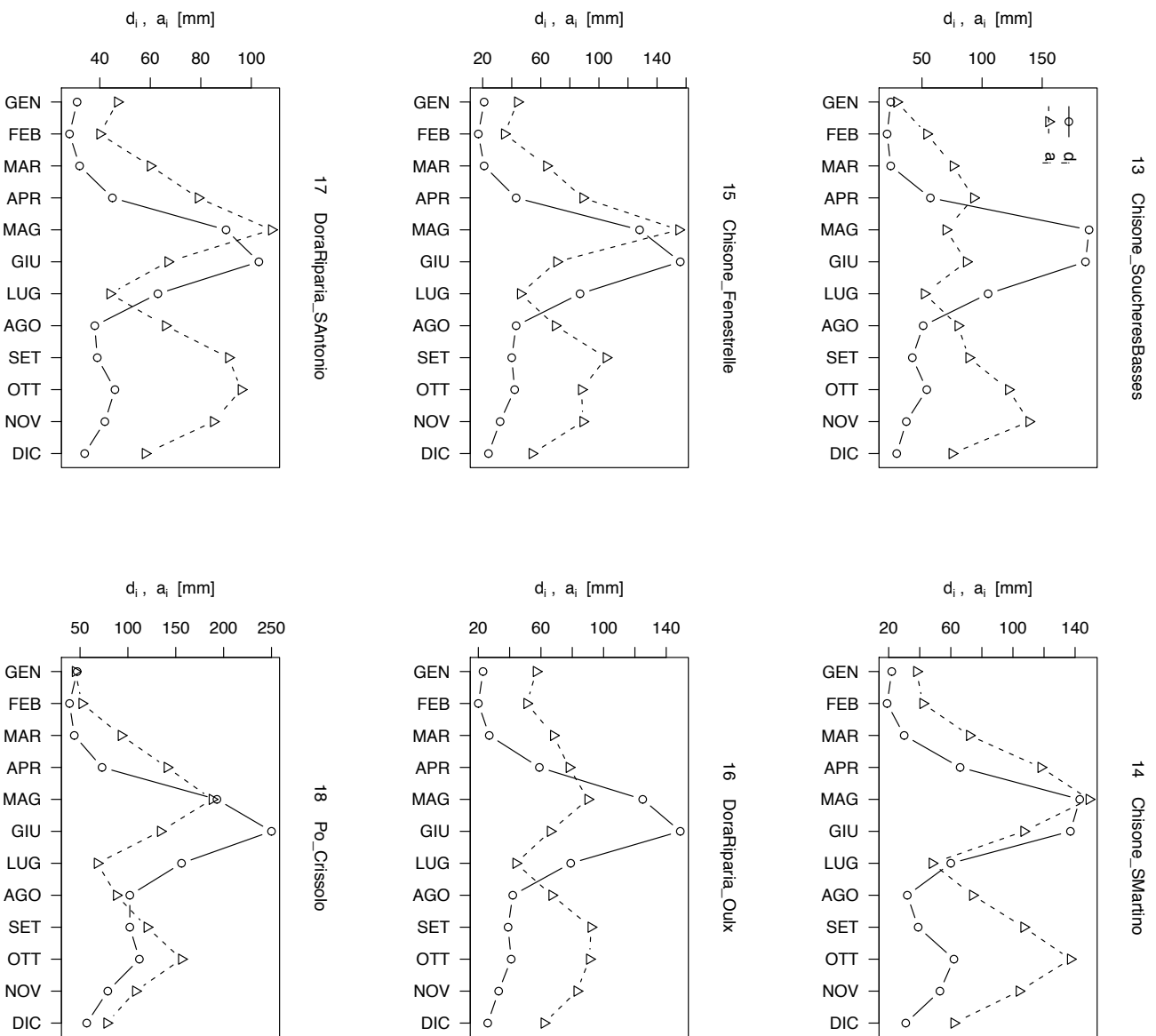
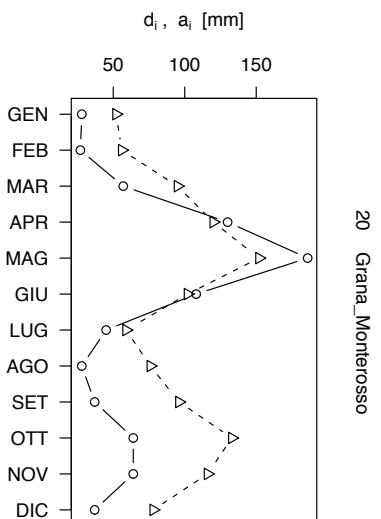
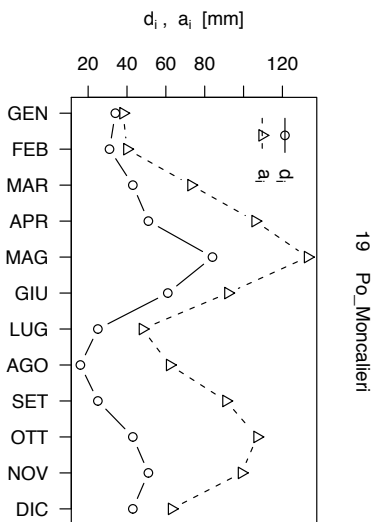
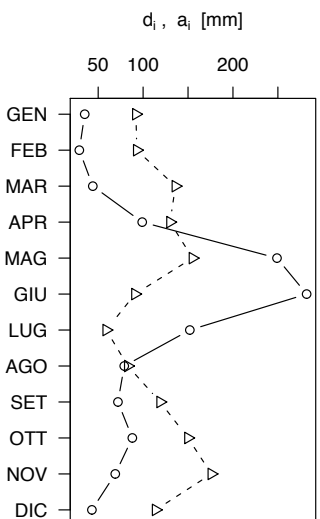
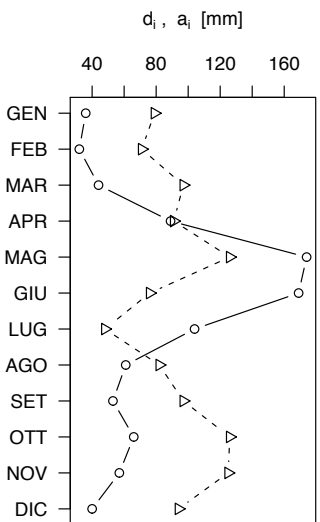


Figura F.6: Regime idrometrico e pluviometrico per i bacini considerati nello studio; d_i sono i deflussi medi mensili di Tabella F.2, a_i sono gli afflussi medi mensili di Tabella F.3. (3/8)



21 SturaDemonte_Pianche

22 RioBagni_BegnVinadio



23 Vermenagna_Limone

24 RioPiz_Pietrapozzio

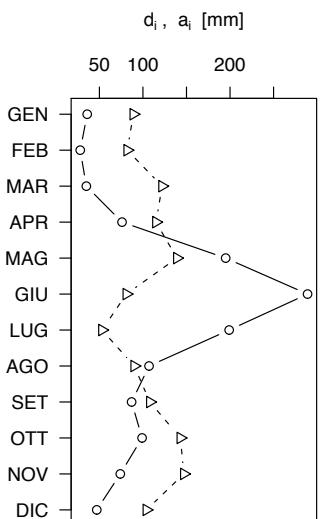
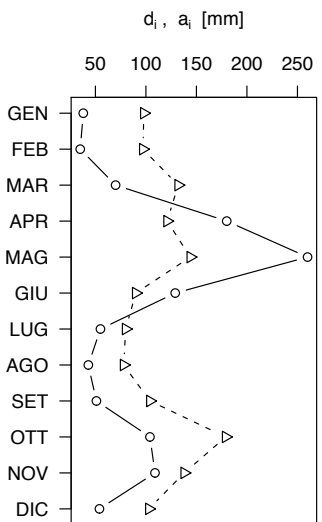
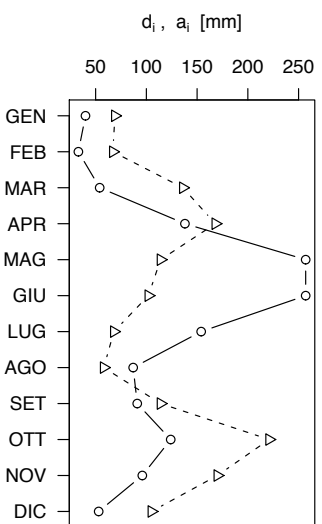
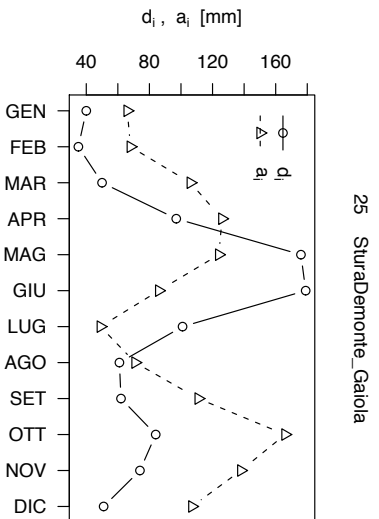
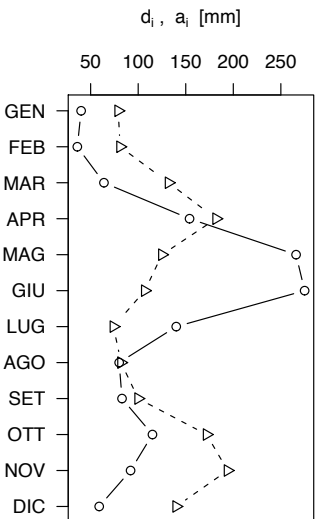


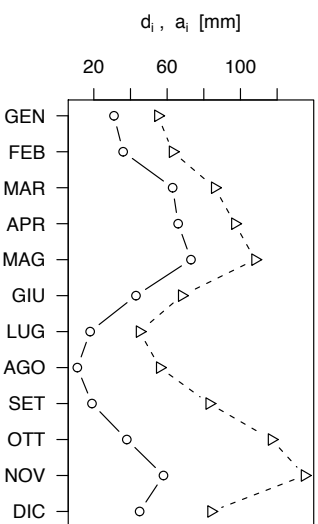
Figura F.6: Regime idrometrico e pluviometrico per i bacini considerati nello studio; d_i sono i deflussi medi mensili di Tabella E.2, a_i sono gli afflussi medi mensili di Tabella E.3. (4/8)



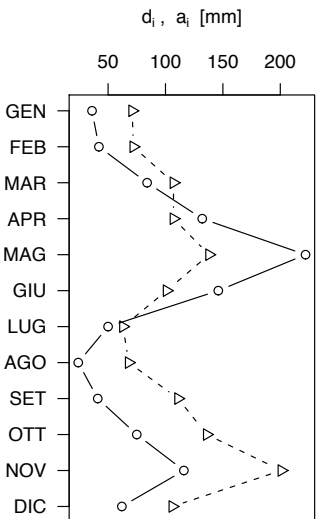
27 GessoEntracque_Entracque



28 Tanaro_Montecastello



29 Tanaro_PonteNava



30 Tanaro_Nucetto

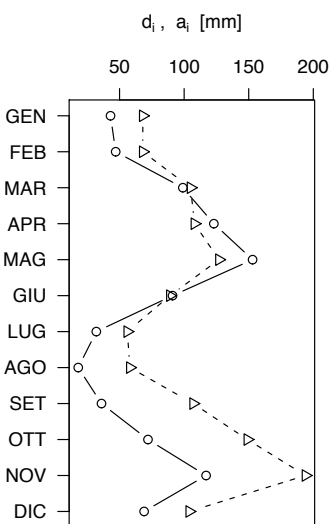


Figura F.6: Regime idrometrico e pluviometrico per i bacini considerati nello studio; d_i sono i deflussi medi mensili di Tabella F.2, a_i sono gli afflussi medi mensili di Tabella F.3. (5/8)

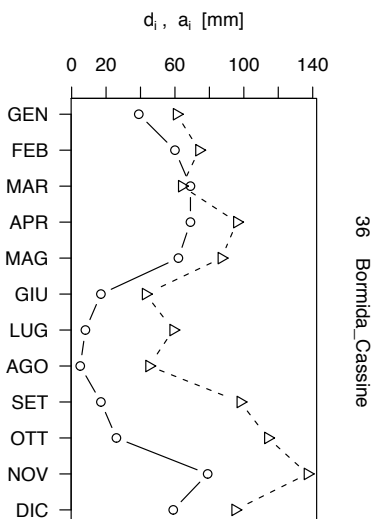
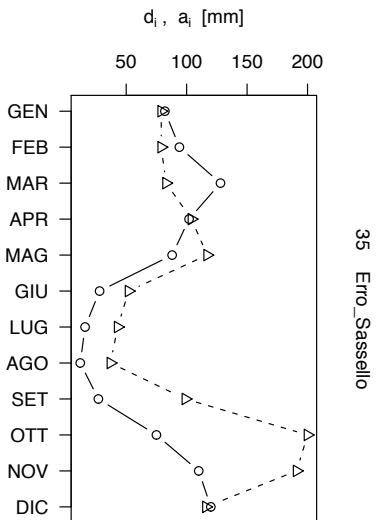
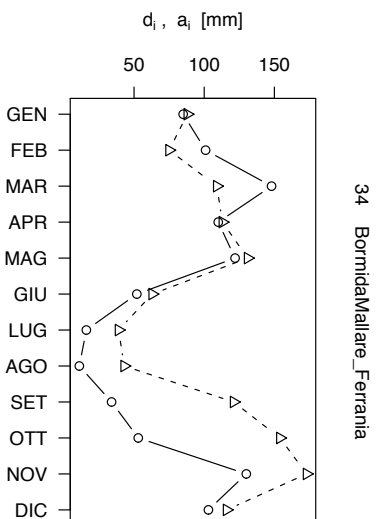
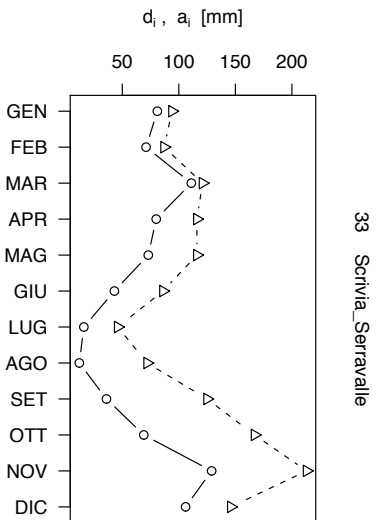
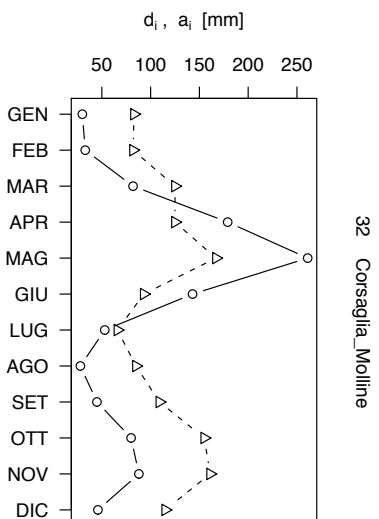
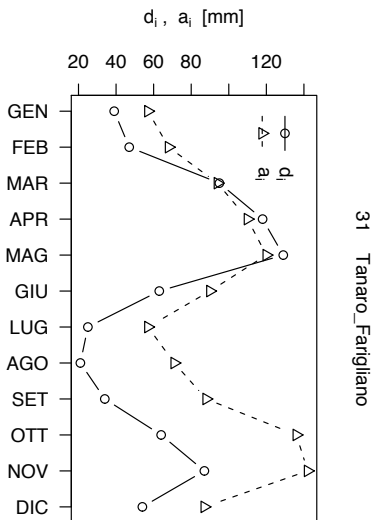
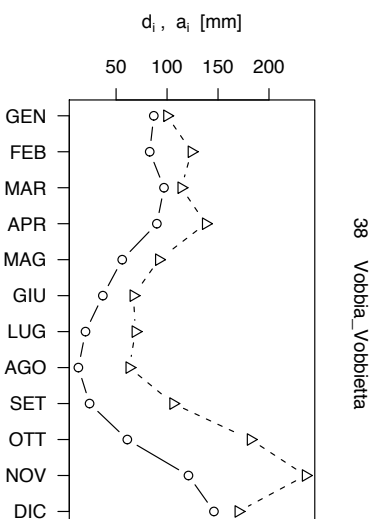
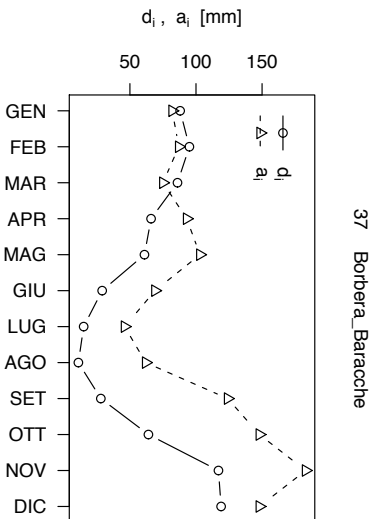
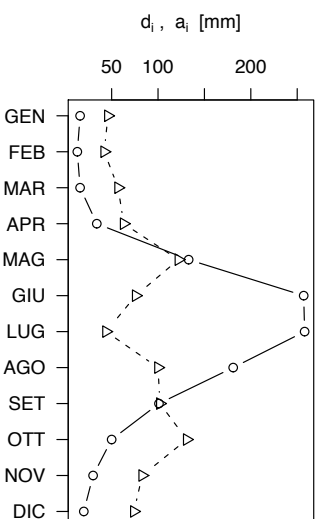
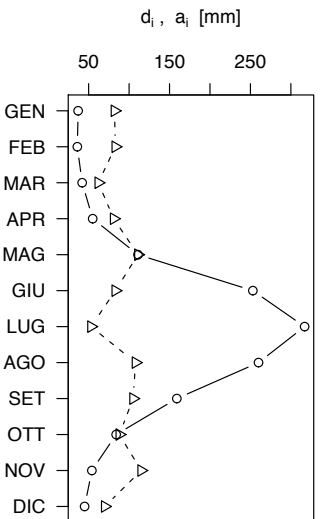


Figura F.6: Regime idrometrico e pluviometrico per i bacini considerati nello studio: d_i sono i deflussi medi mensili di Tabella E.2, a_i sono gli afflussi medi mensili di Tabella E.3. (6/8)



39 DorRhemes_Pelaud

40 GrandEywa_Cretaz



41 DorBallea_Aostia

42 Lys_Gressoney

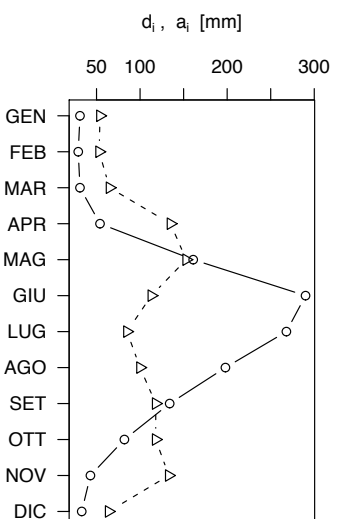
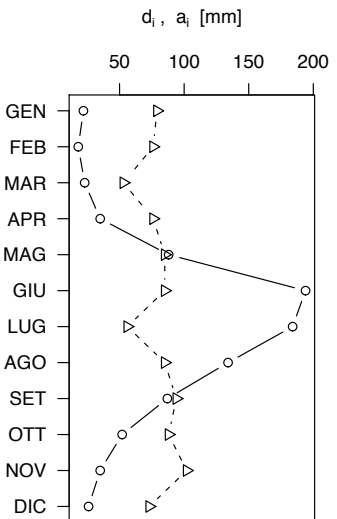
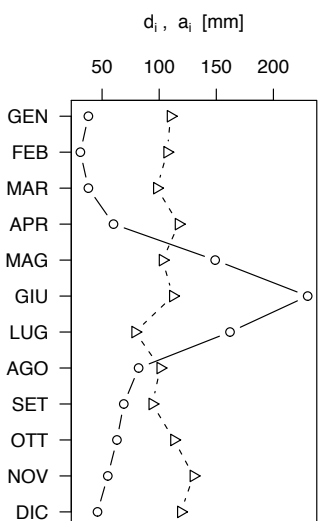
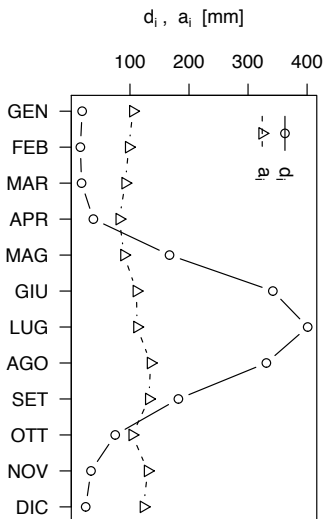
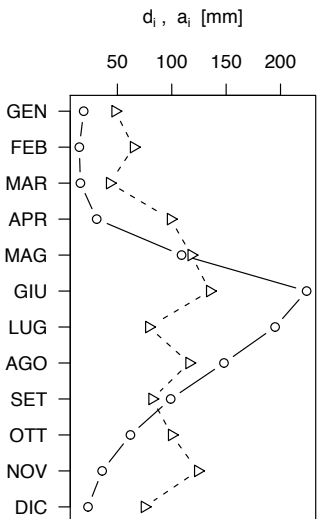


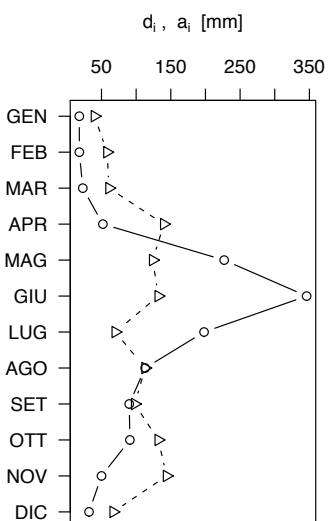
Figura F.6: Regime idrometrico e pluviometrico per i bacini considerati nello studio; d_i sono i deflussi medi mensili di Tabella F.2, a_i sono gli afflussi medi mensili di Tabella F.3. (7/8)



45 Evancon_Champoluc



46 Ayasse_Champorcher



47 Savara_EauRousse

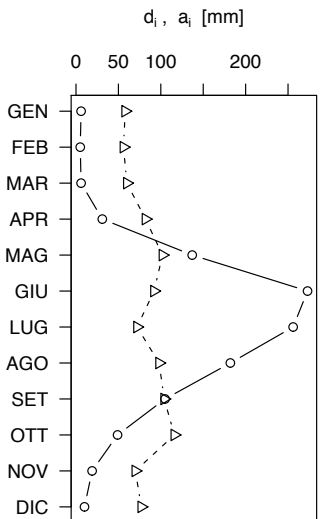


Figura F.6: Regime idrometrico e pluviometrico per i bacini considerati nello studio; d_i sono i deflussi medi mensili di Tabella E.2, a_i sono gli afflussi medi mensili di Tabella E.3. (8/8)

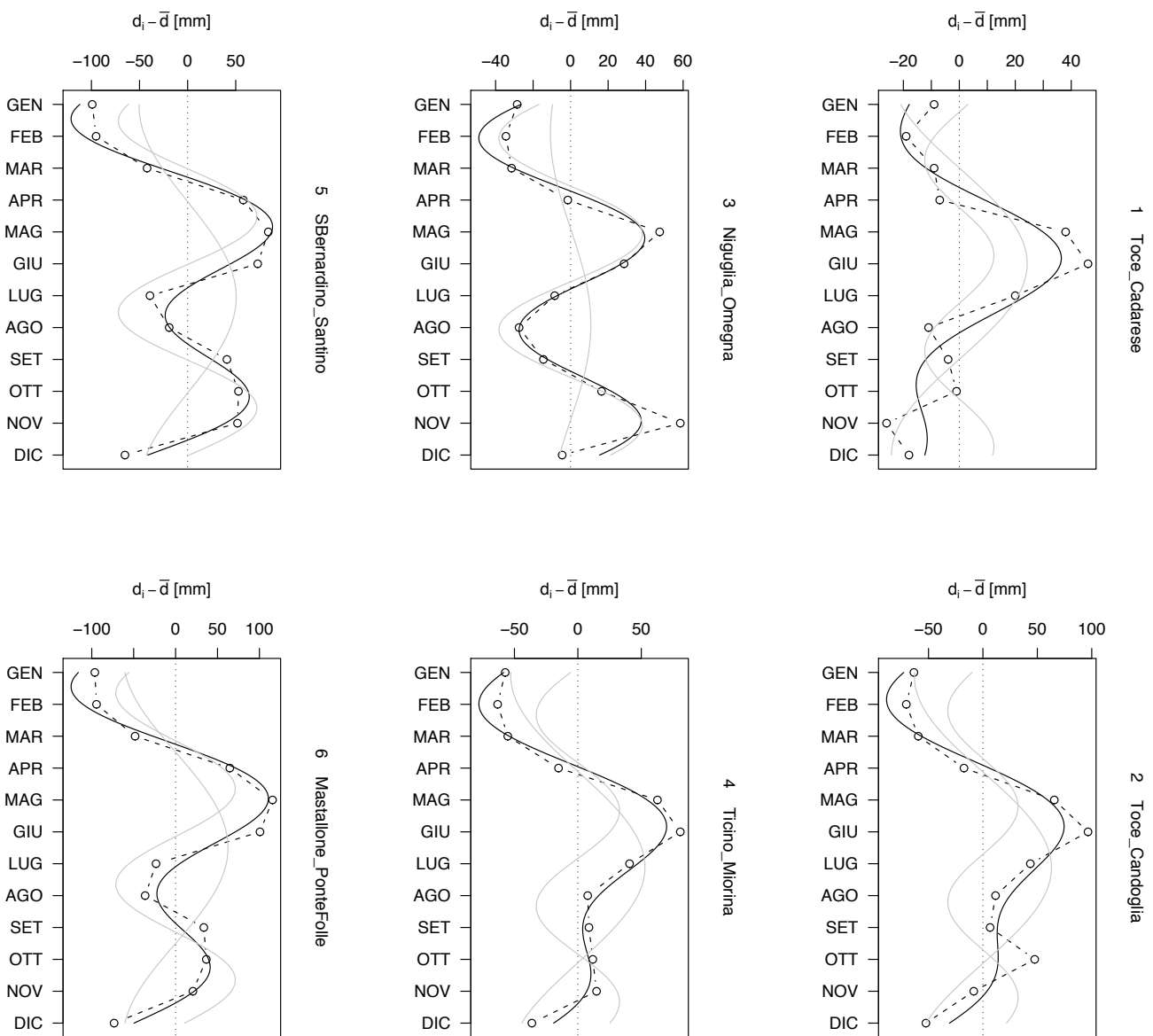


Figura F.7: Regime idrometrico adimensionalizzato ($d_i - \bar{d}$) e Serie di Fourier a 2 armoniche per i bacini considerati nello studio; le 2 componenti armoniche sono rappresentate in grigio. (1/8)

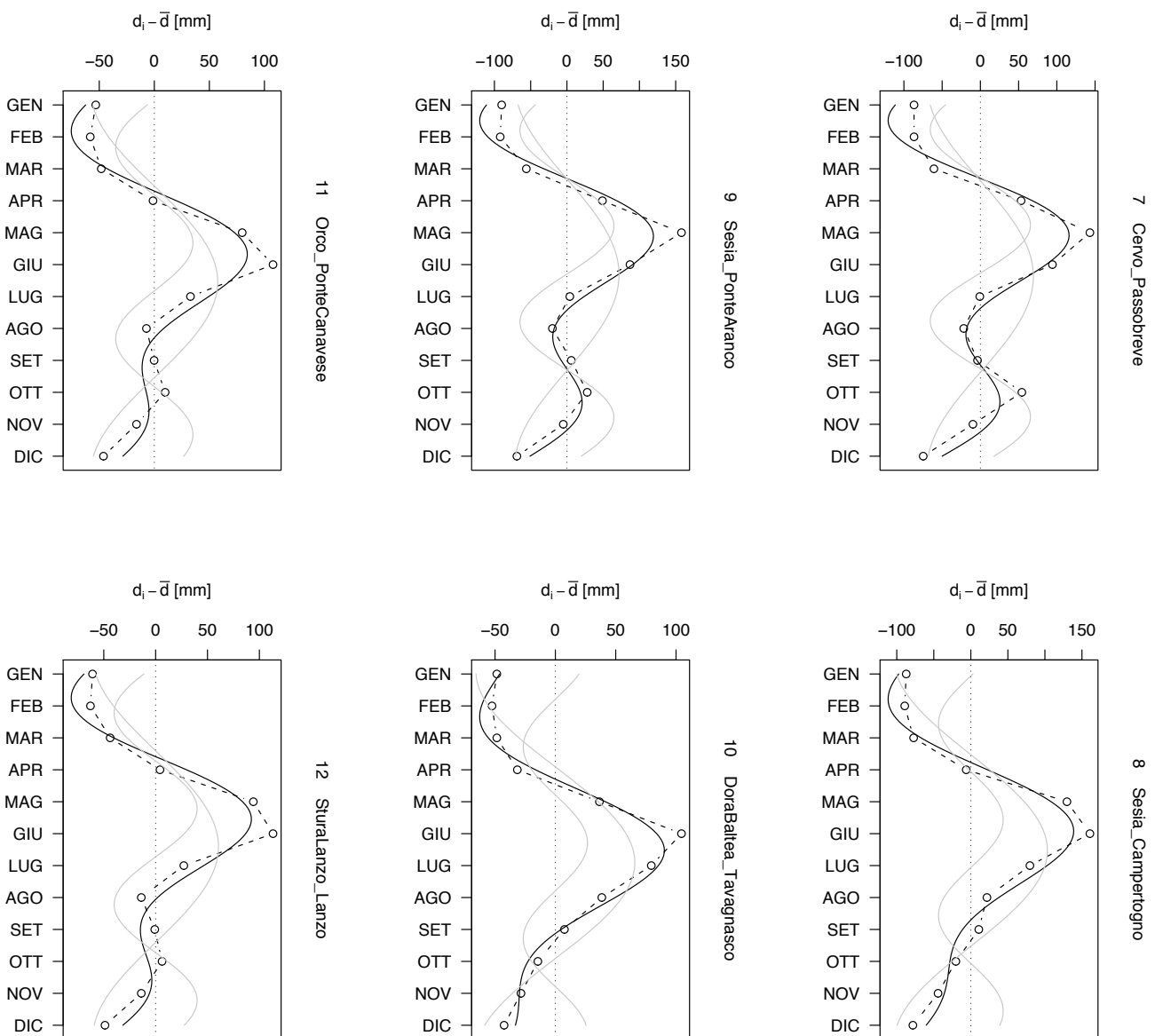


Figura F.7: Regime idrometrico adimensionalizzato ($d_i - \bar{d}$) e Serie di Fourier a 2 armoniche per i bacini considerati nello studio; le 2 componenti armoniche sono rappresentate in grigio. (2/8)

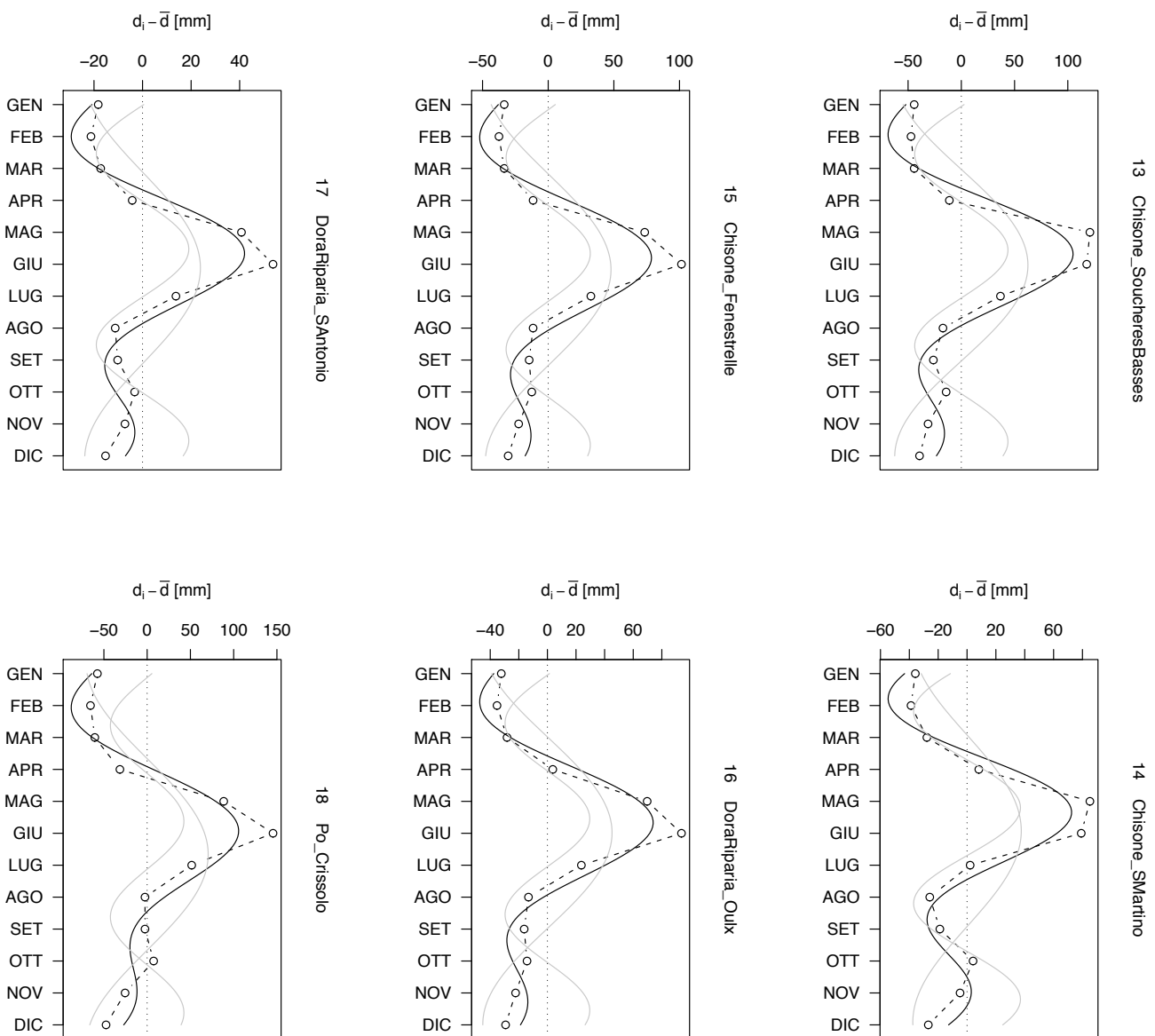


Figura F.7: Regime idrometrico adimensionalizzato ($d_i - \bar{d}$) e Serie di Fourier a 2 armoniche per i bacini considerati nello studio; le 2 componenti armoniche sono rappresentate in grigio. (3/8)

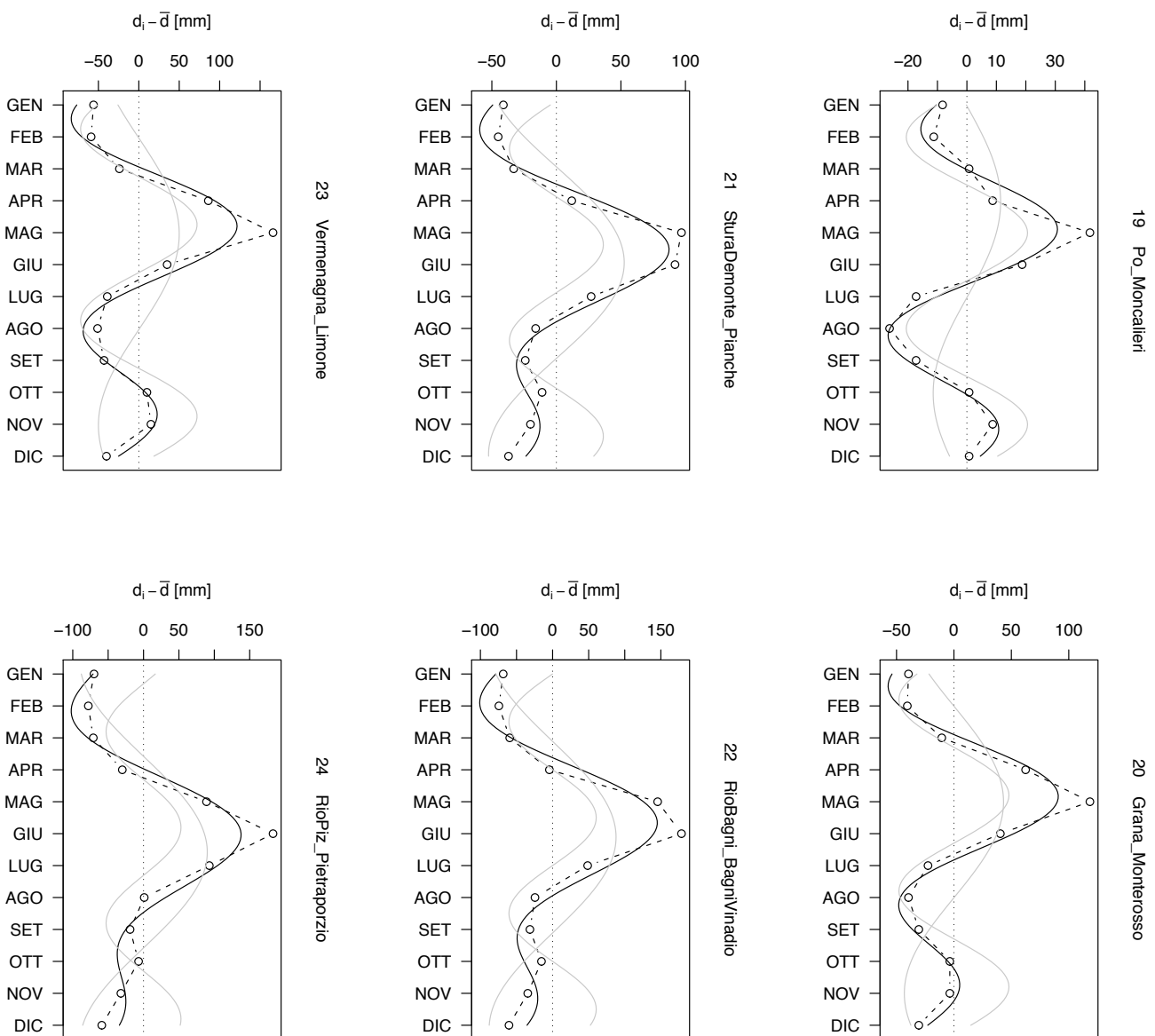


Figura F.7: Regime idrometrico adimensionalizzato ($d_i - \bar{d}$) e Serie di Fourier a 2 armoniche per i bacini considerati nello studio; le 2 componenti armoniche sono rappresentate in grigio. (4/8)

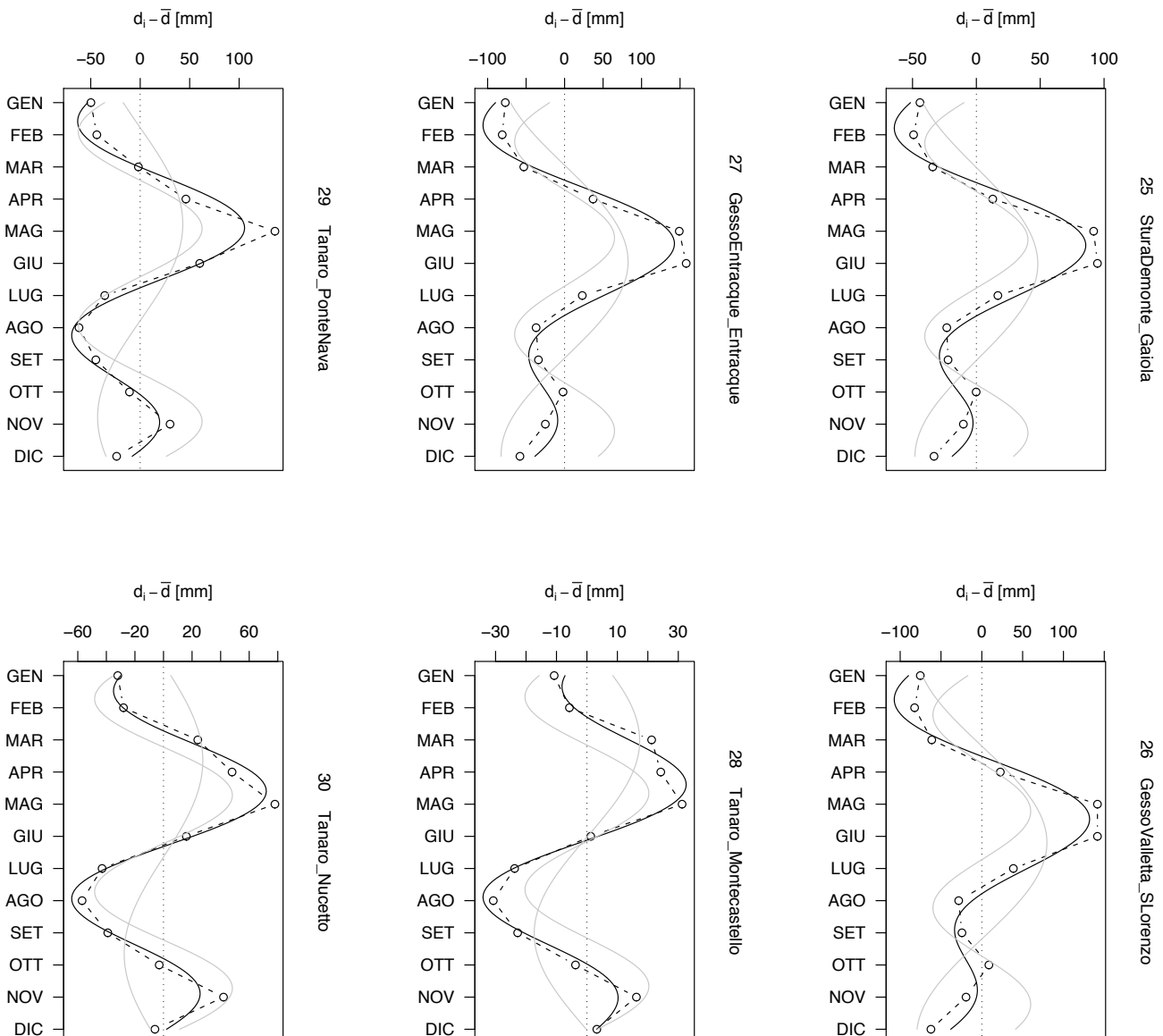


Figura F.7: Regime idrometrico adimensionalizzato ($d_i - \bar{d}$) e Serie di Fourier a 2 armoniche per i bacini considerati nello studio; le 2 componenti armoniche sono rappresentate in grigio. (5/8)

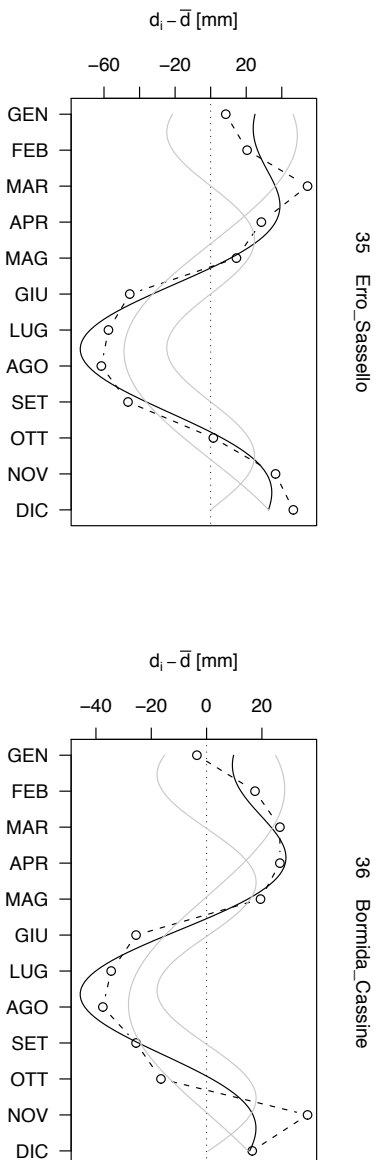
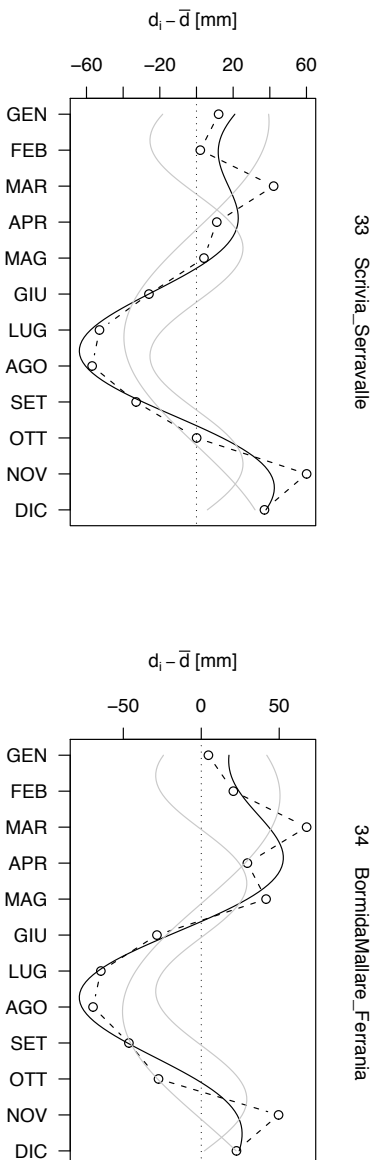
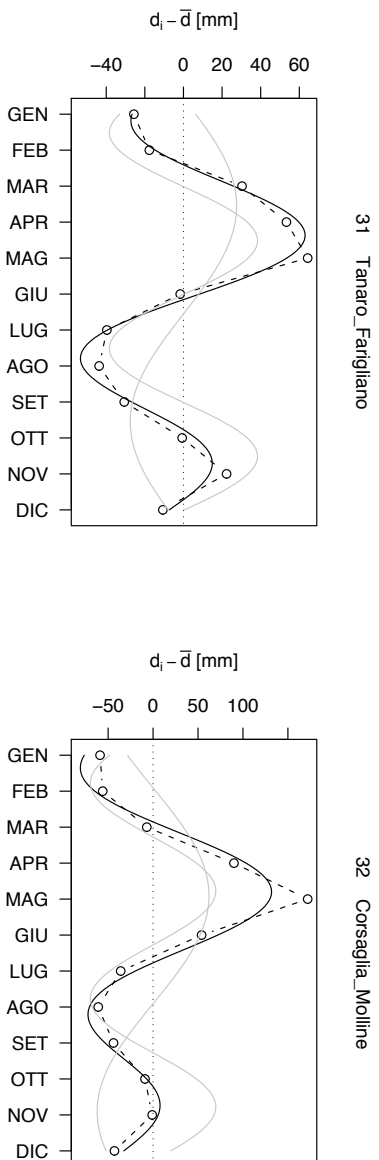


Figura F.7: Regime idrometrico adimensionalizzato ($d_i - \bar{d}$) e Serie di Fourier a 2 armoniche per i bacini considerati nello studio; le 2 componenti armoniche sono rappresentate in grigio. (6/8)

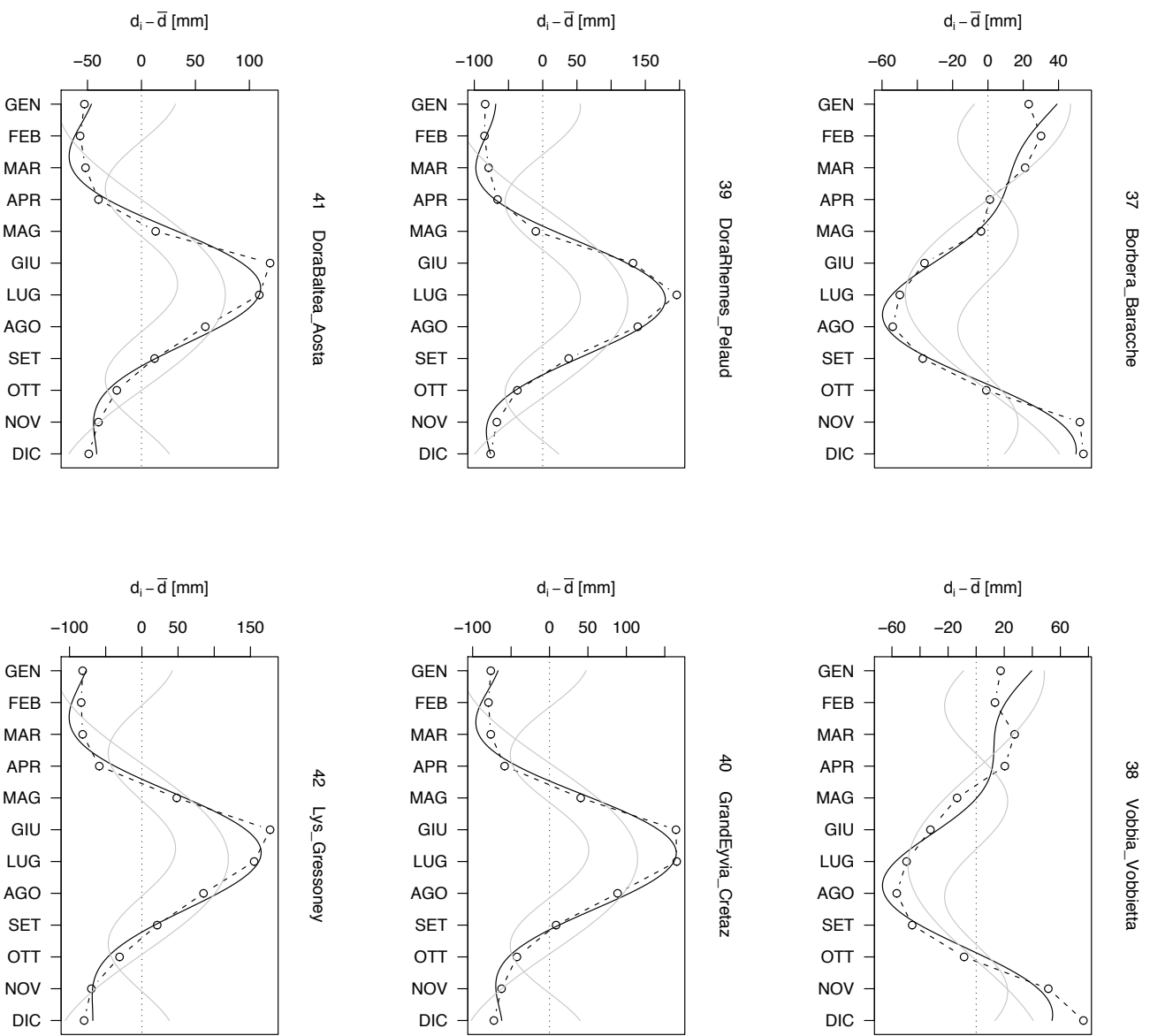


Figura F.7: Regime idrometrico adimensionalizzato ($d_i - \bar{d}$) e Serie di Fourier a 2 armoniche per i bacini considerati nello studio; le 2 componenti armoniche sono rappresentate in grigio. (7/8)

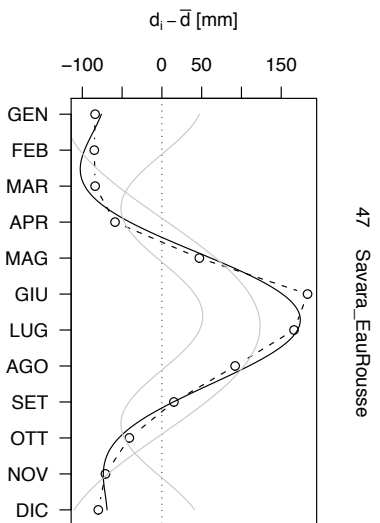
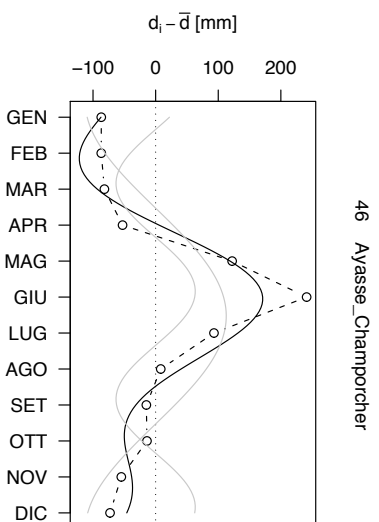
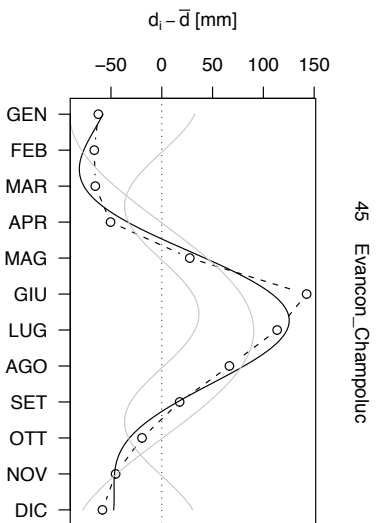
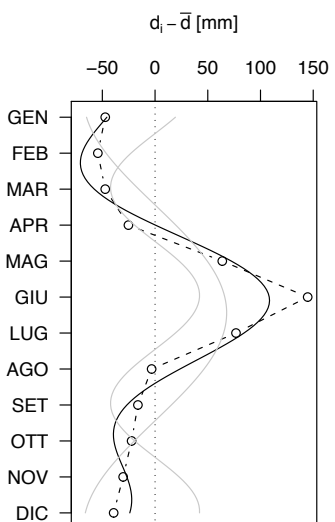
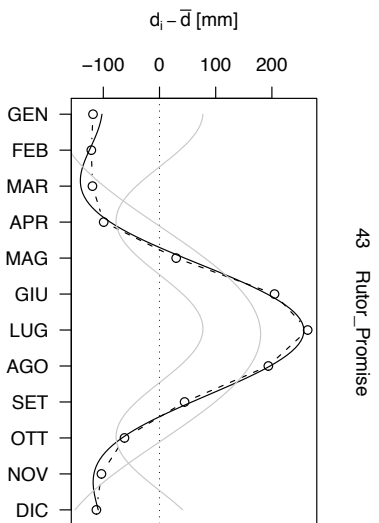


Figura F.7: Regime idrometrico adimensionalizzato ($d_i - \bar{d}$) e Serie di Fourier a 2 armoniche per i bacini considerati nello studio; le 2 componenti armoniche sono rappresentate in grigio. (8/8)

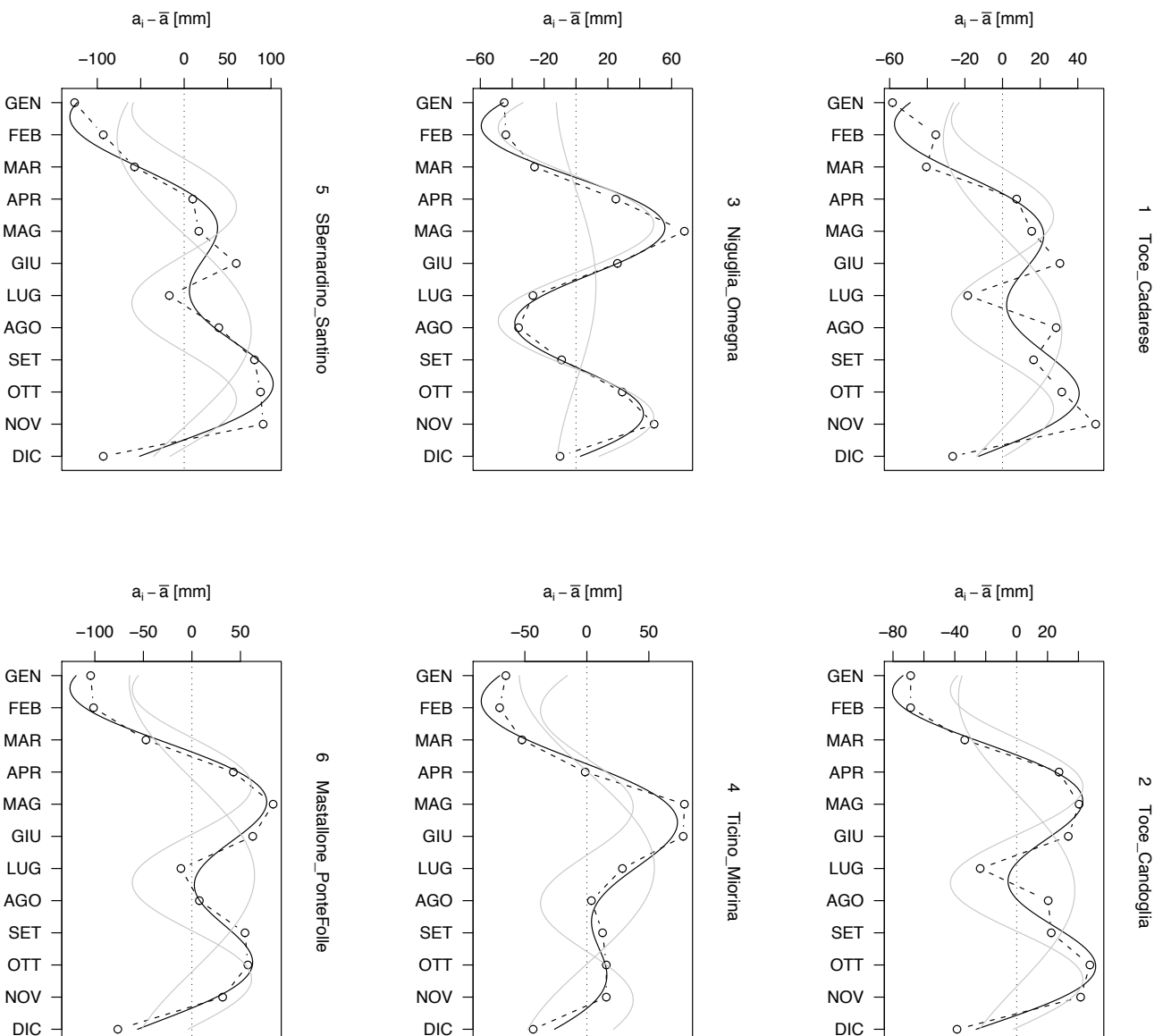


Figura F.8: Regime pluviometrico adimensionalizzato ($a_i - \bar{a}$) e Serie di Fourier a 2 armoniche per i bacini considerati nello studio; le 2 componenti armoniche sono rappresentate in grigio. (1/8)

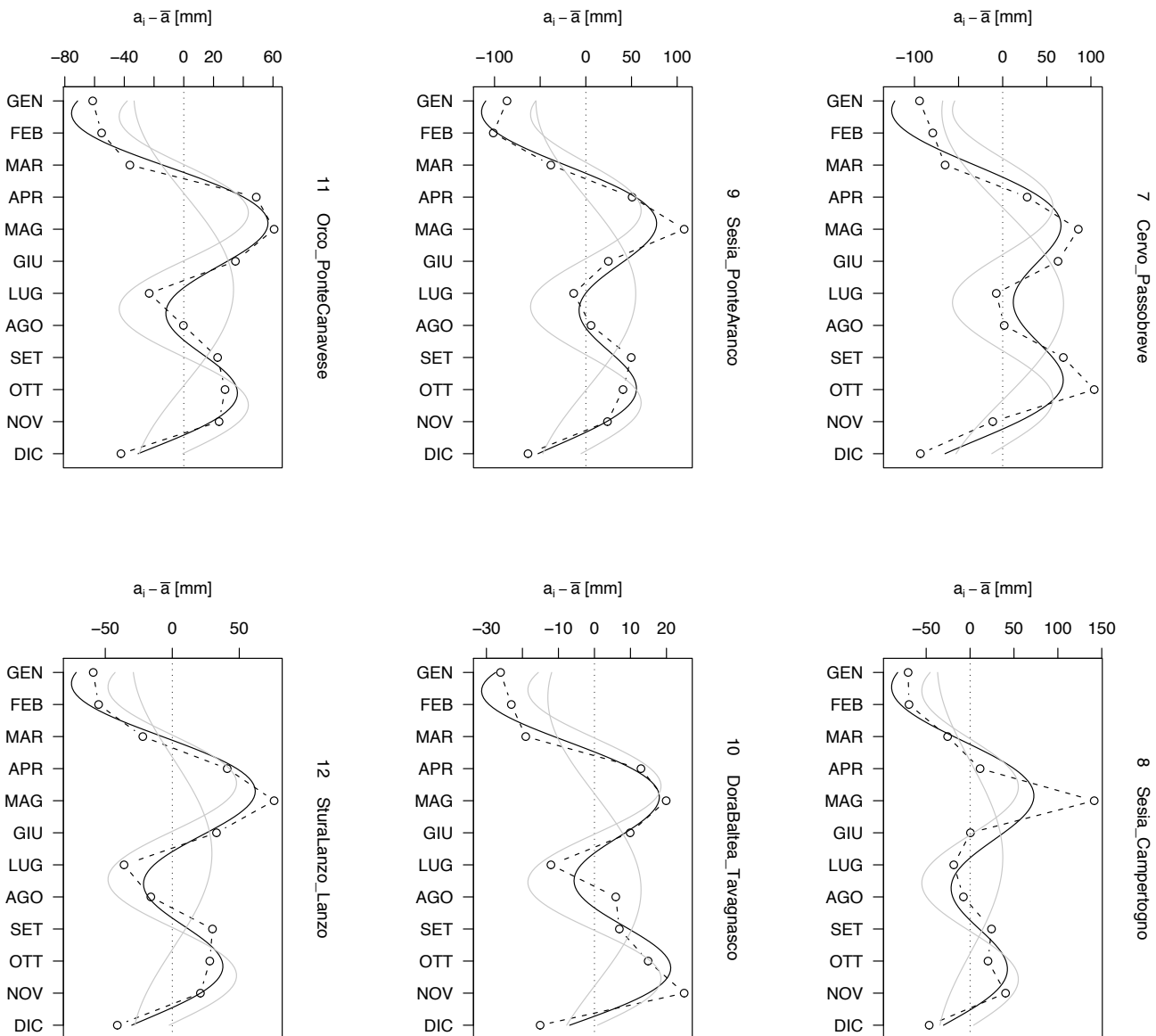


Figura F.8: Regime pluviometrico adimensionalizzato ($a_i - \bar{a}$) e Serie di Fourier a 2 armoniche per i bacini considerati nello studio; le 2 componenti armoniche sono rappresentate in grigio. (2/8)

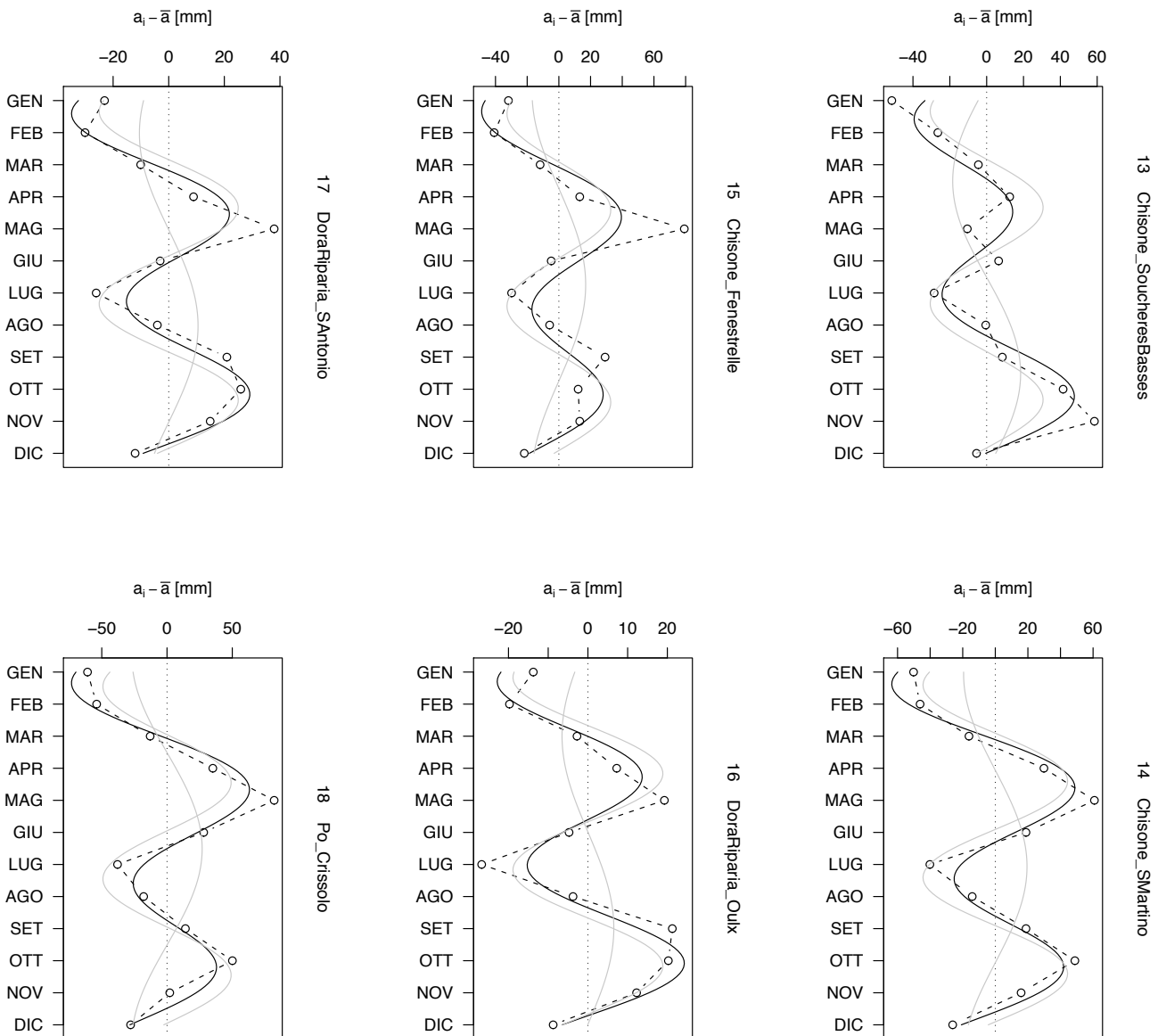


Figura F.8: Regime pluviometrico adimensionalizzato ($a_i - \bar{a}$) e Serie di Fourier a 2 armoniche per i bacini considerati nello studio; le 2 componenti armoniche sono rappresentate in grigio. (3/8)

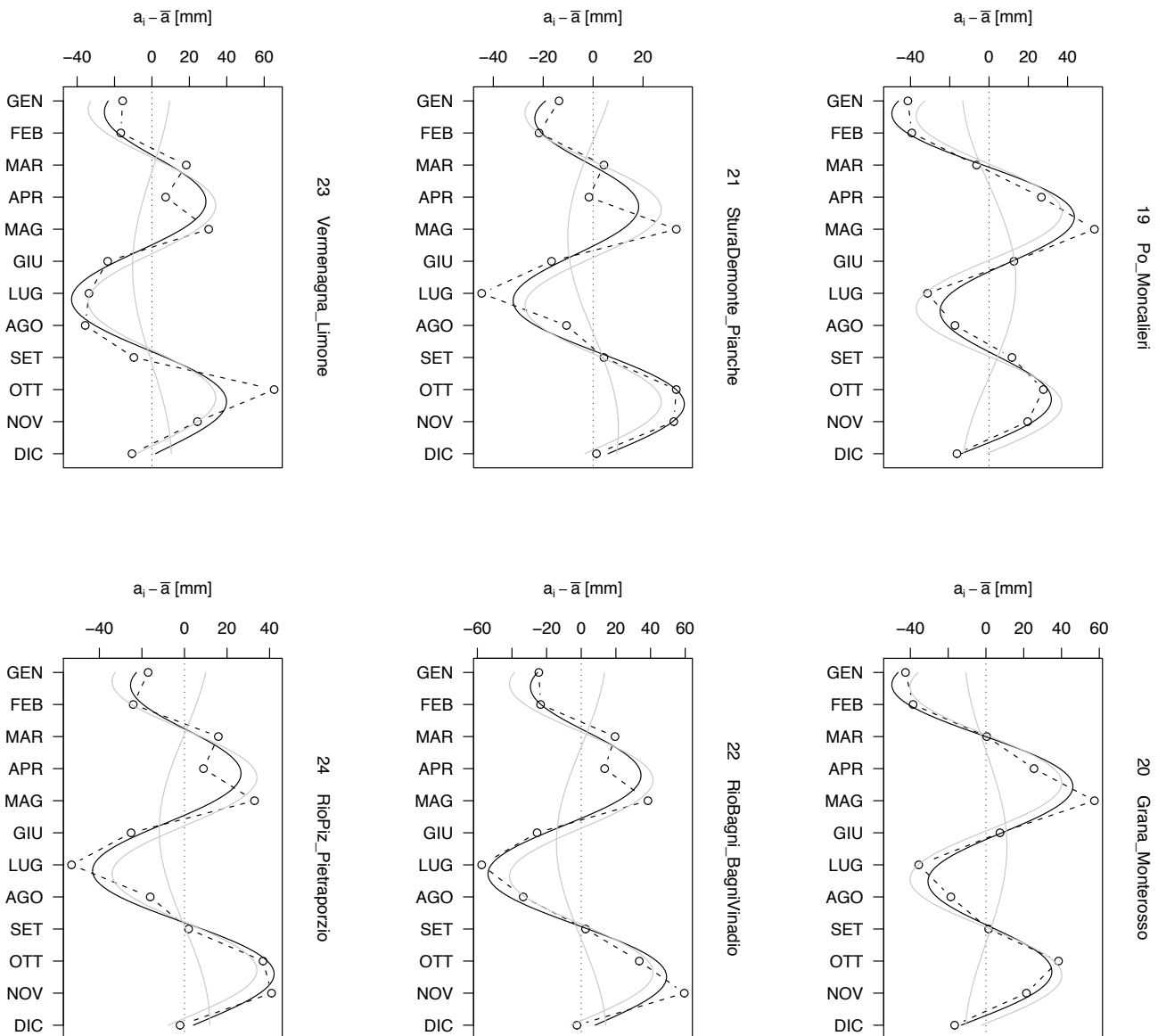


Figura F.8: Regime pluviometrico adimensionalizzato ($a_i - \bar{a}$) e Serie di Fourier a 2 armoniche per i bacini considerati nello studio; le 2 componenti armoniche sono rappresentate in grigio. (4/8)

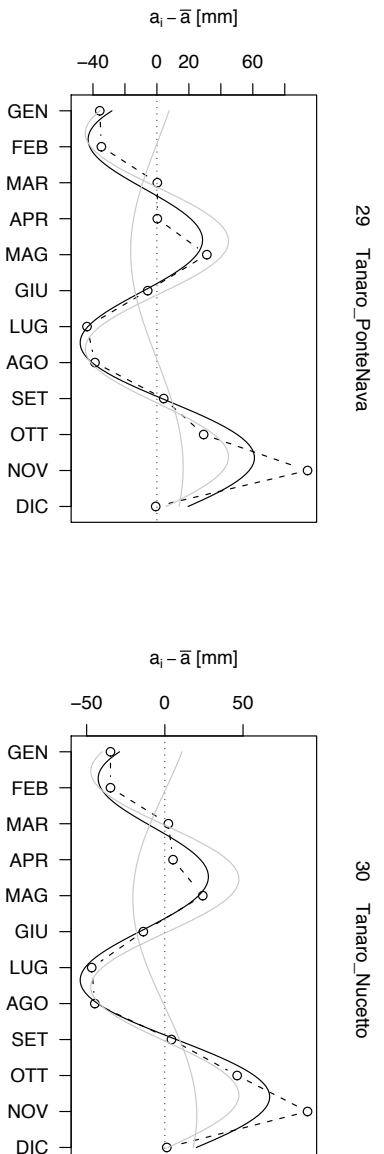
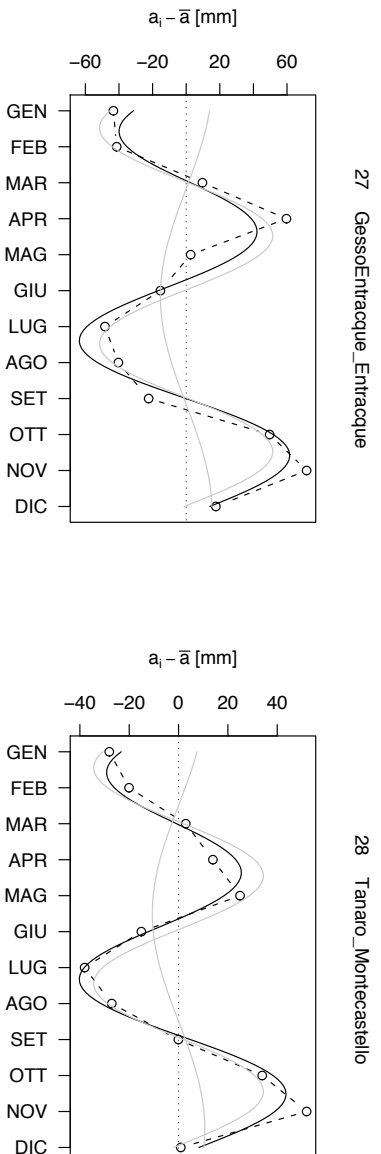
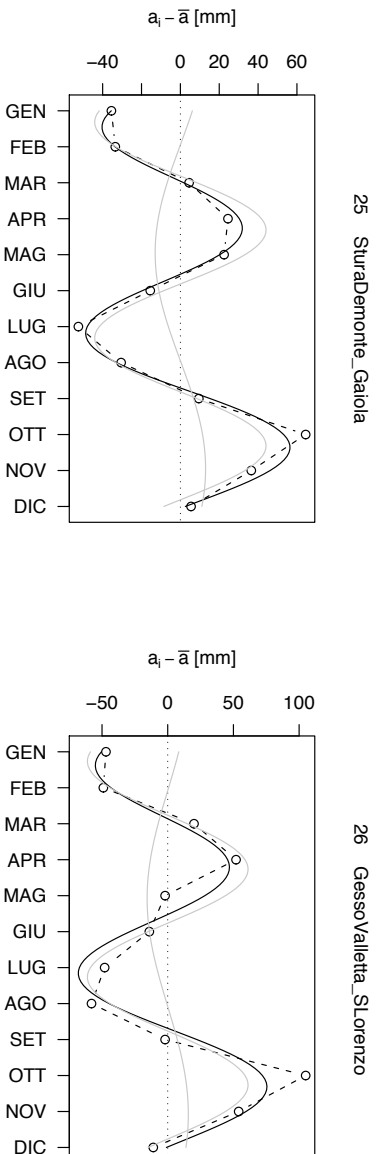


Figura F.8: Regime pluviometrico adimensionalizzato ($a_i - \bar{a}$) e Serie di Fourier a 2 armoniche per i bacini considerati nello studio; le 2 componenti armoniche sono rappresentate in grigio. (5/8)

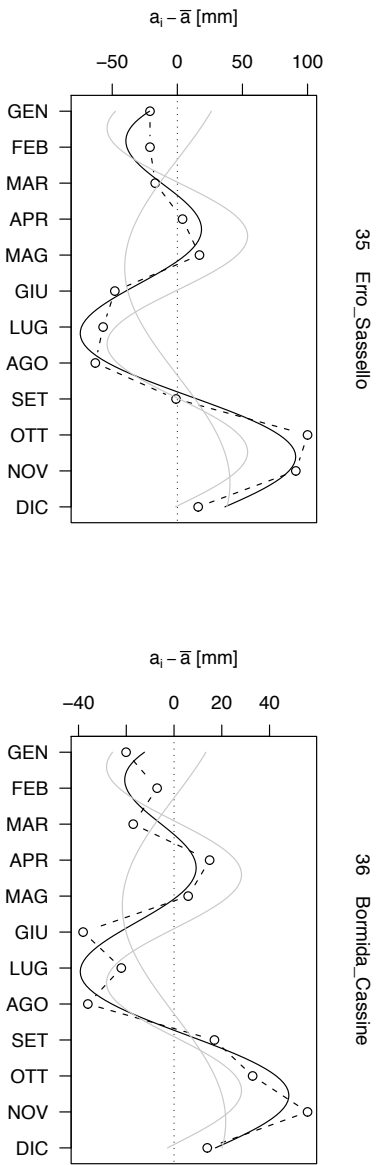
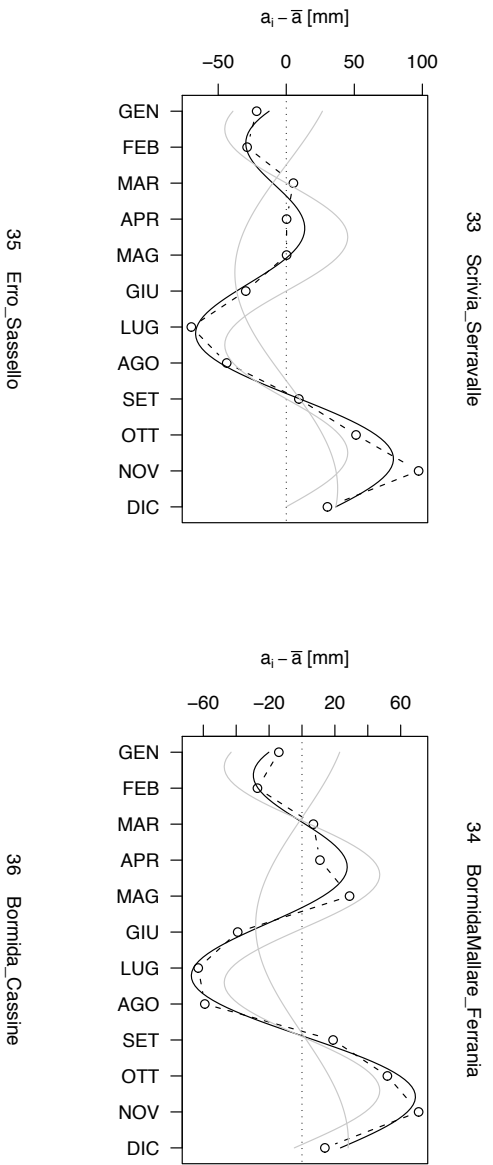
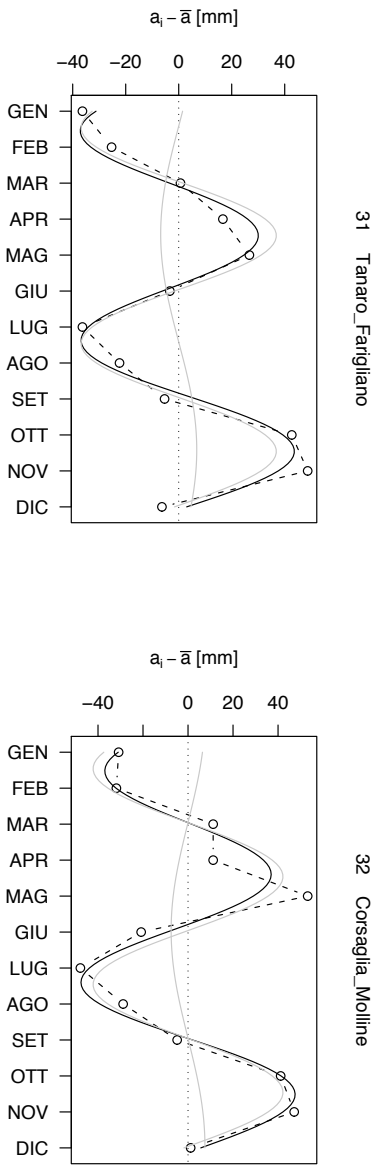
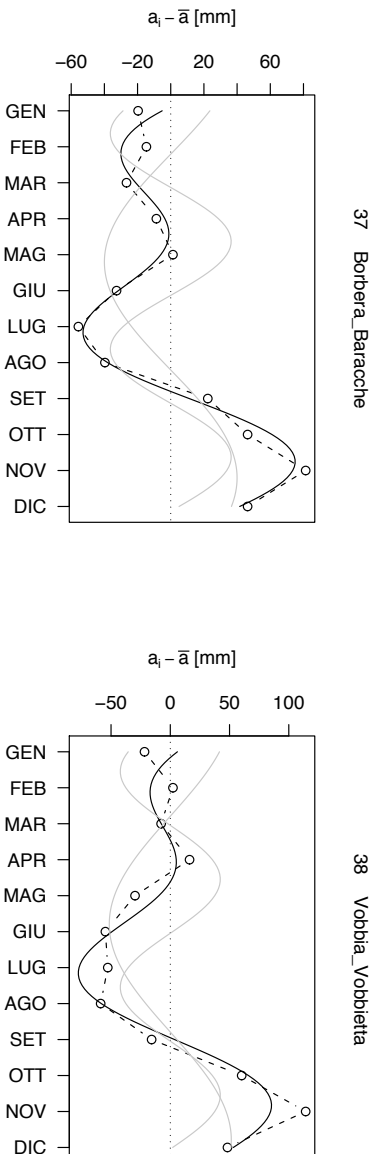
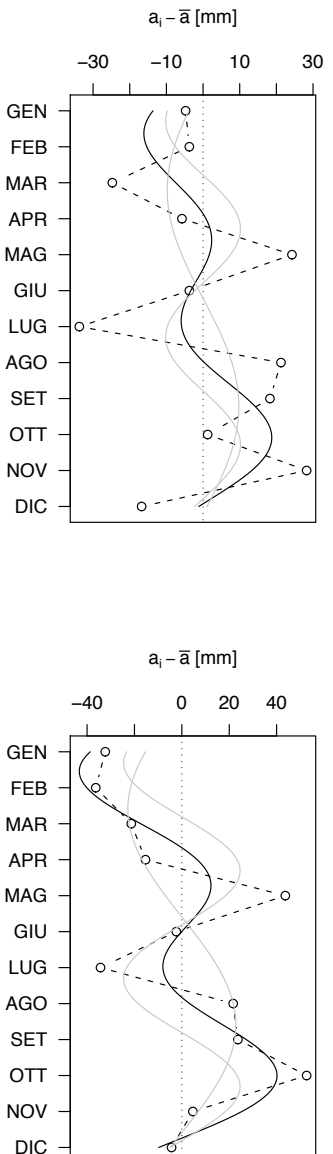


Figura F.8: Regime pluviometrico adimensionalizzato ($a_i - \bar{a}$) e Serie di Fourier a 2 armoniche per i bacini considerati nello studio; le 2 componenti armoniche sono rappresentate in grigio. (6/8)



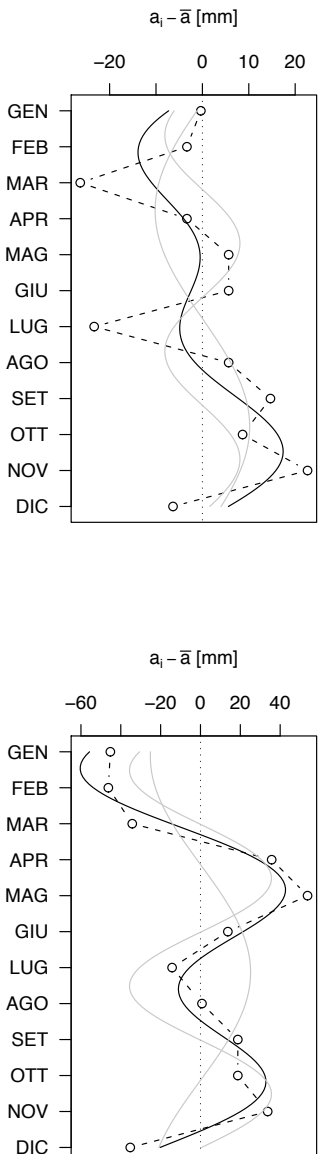
37 Borbera_Baracche

38 Vobbia_Vobbietta



39 DorRhemes_Pelaud

40 GrandEvia_Cretaz



41 DorBallea_Aostia

42 Lys_Gressoney

Figura F.8: Regime pluviometrico adimensionalizzato ($a_i - \bar{a}$) e Serie di Fourier a 2 armoniche per i bacini considerati nello studio; le 2 componenti armoniche sono rappresentate in grigio. (7/8)

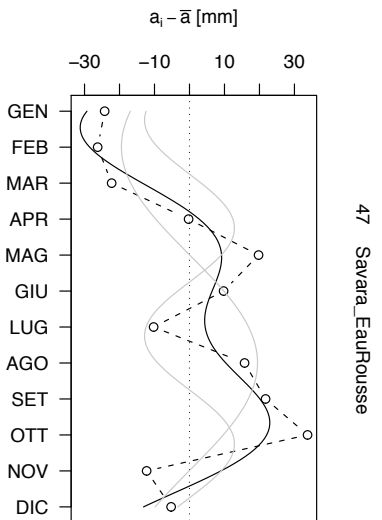
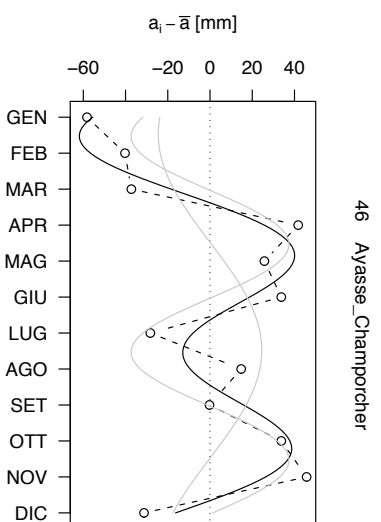
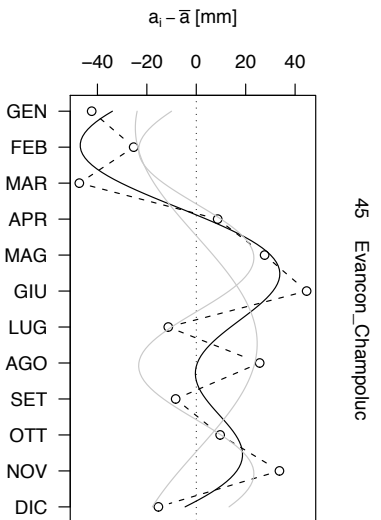
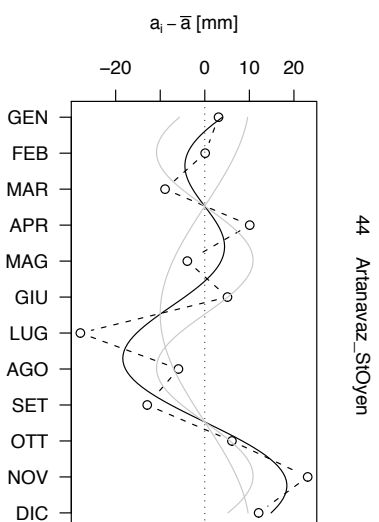
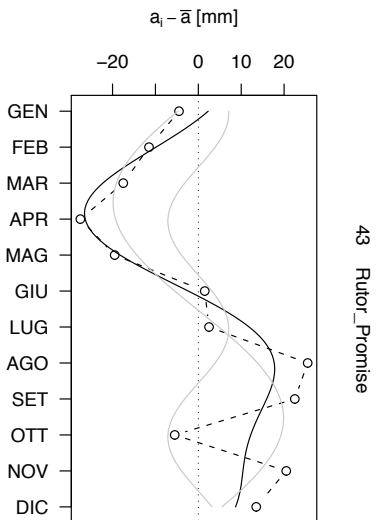


Figura F.8: Regime pluviometrico adimensionalizzato ($a_i - \bar{a}$) e Serie di Fourier a 2 armoniche per i bacini considerati nello studio; le 2 componenti armoniche sono rappresentate in grigio. (8/8)

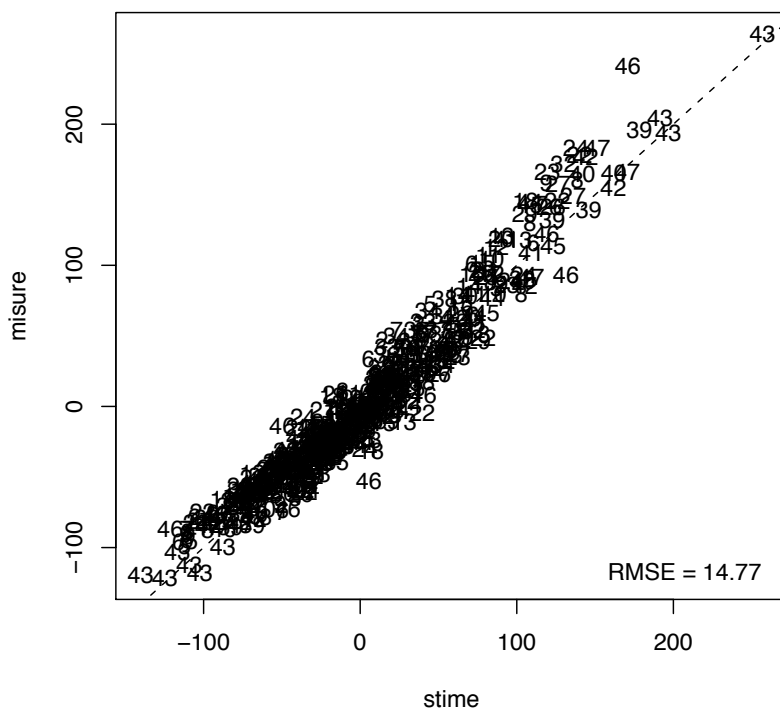
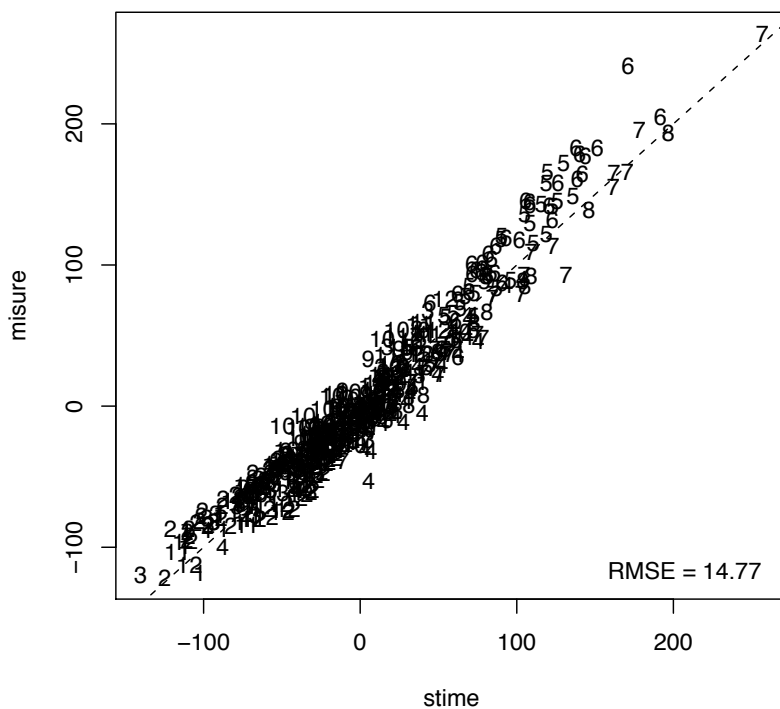


Figura F.9: Diagrammi diagnostici per le Serie di Fourier di Paragrafo 7.2.1. Nella figura in alto i numeri indicano i mesi dell'anno, in quella in basso il codice delle stazioni; in basso a destra è indicato l' $RMSE_{reg}$ medio.

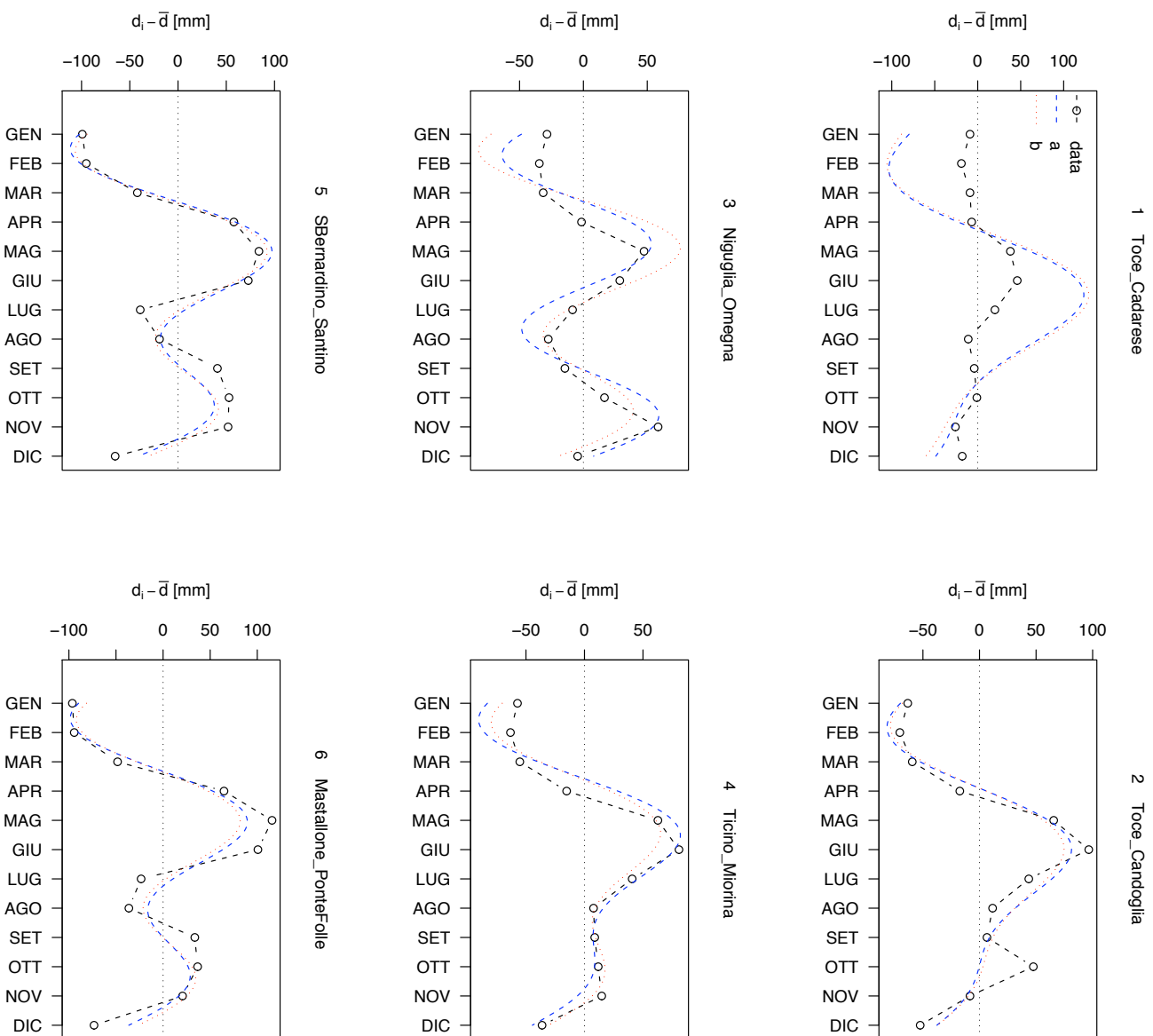


Figura F.10: Regimi idrometrici ottenuti per i 47 bacini considerati tramite il Modello 7.9 (a) ed il Modello 7.10 (b). (1/8)

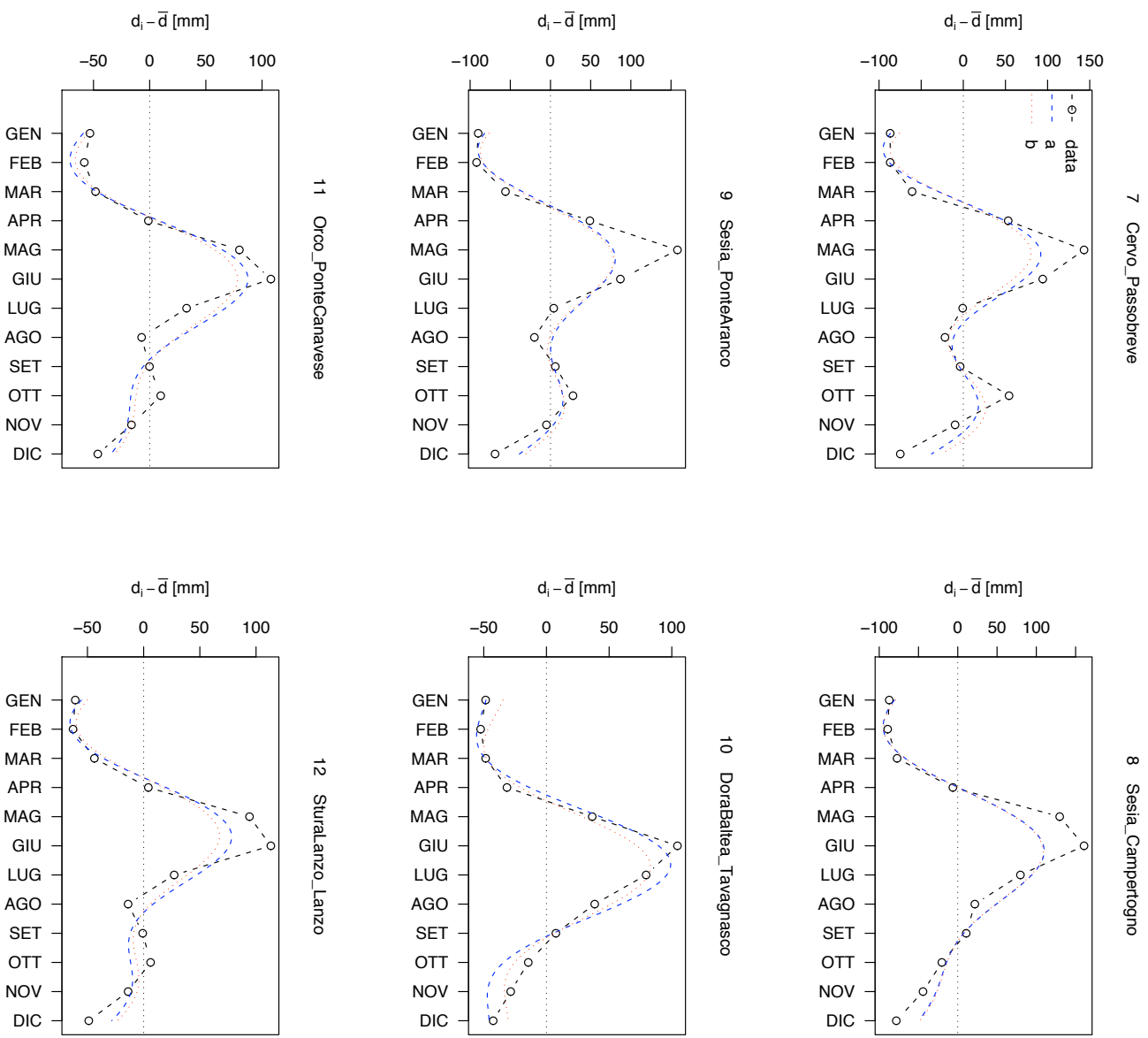


Figura F.10: Regimi idrometrici ottenuti per i 47 bacini considerati tramite il Modello 7.9 (a) ed il Modello 7.10 (b). (2/8)

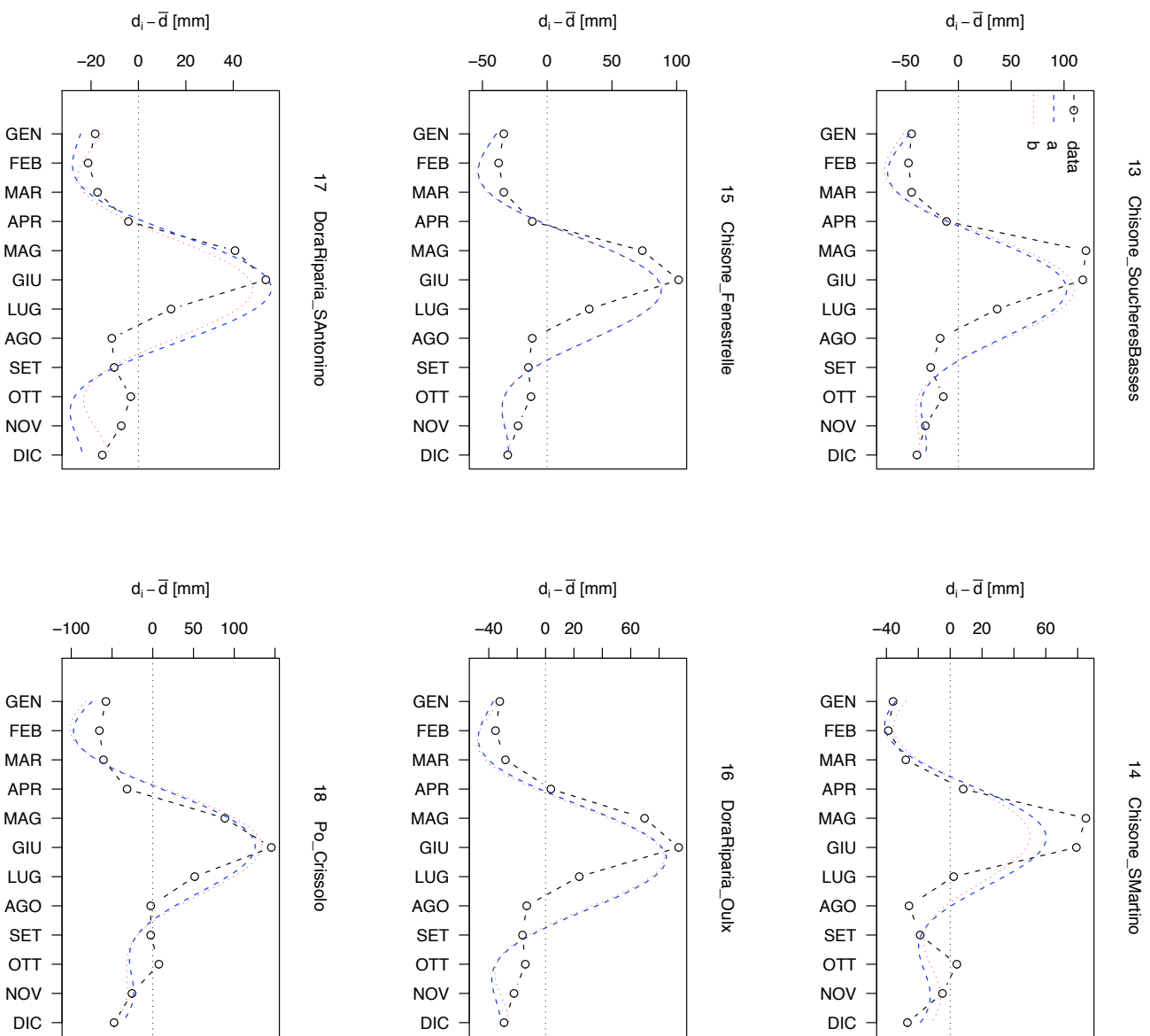


Figura F.10: Regimi idrometrici ottenuti per i 47 bacini considerati tramite il Modello 7.9 (a) ed il Modello 7.10 (b). (3/8)

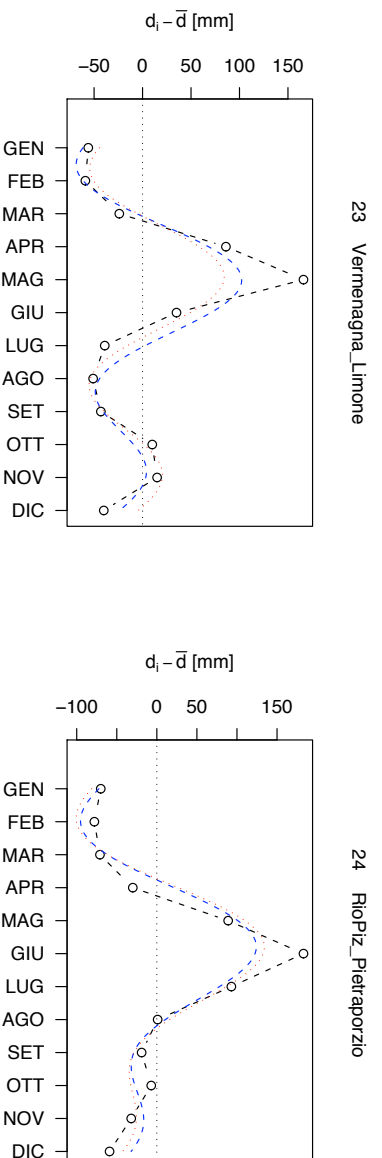
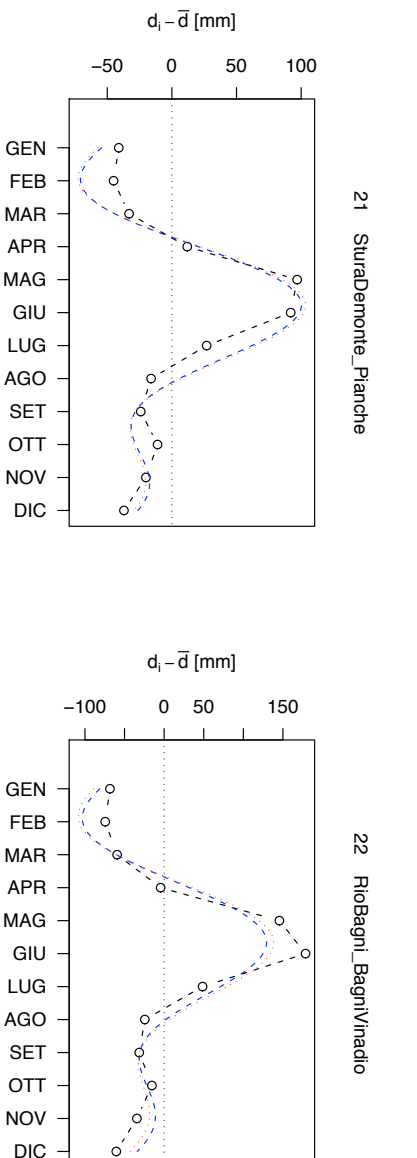
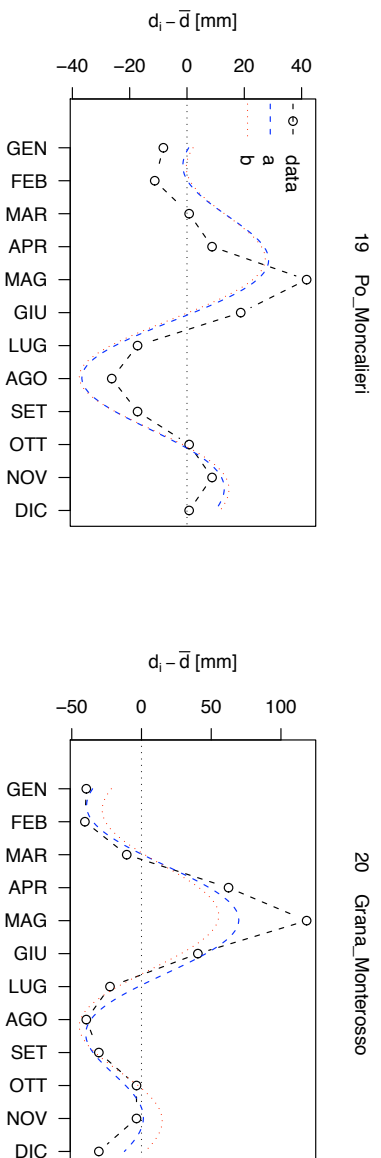


Figura F.10: Regimi idrometrici ottenuti per i 47 bacini considerati tramite il Modello 7.9 (a) ed il Modello 7.10 (b). (4/8)

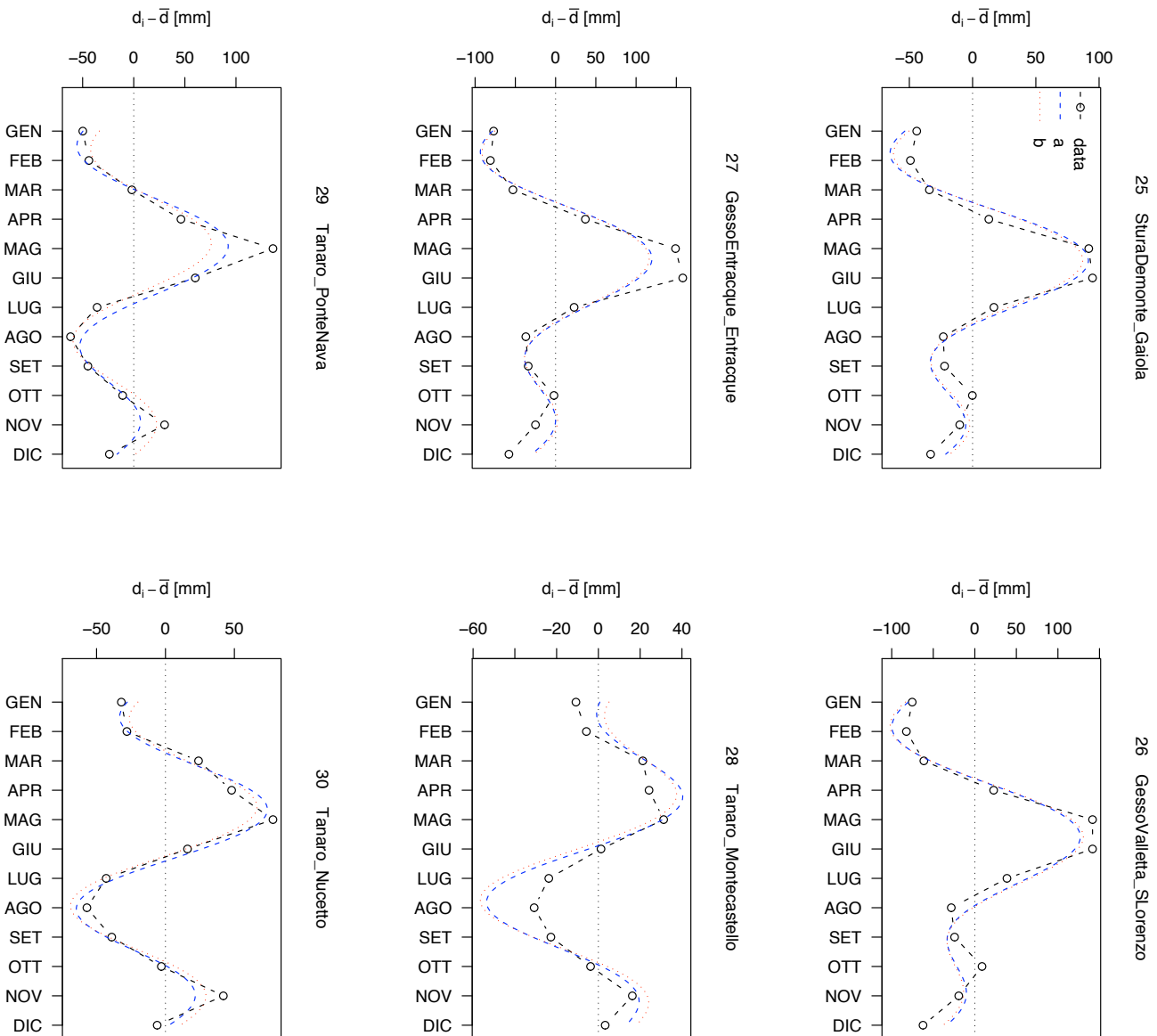


Figura F.10: Regimi idrometrici ottenuti per i 47 bacini considerati tramite il Modello 7.9 (a) ed il Modello 7.10 (b). (5/8)

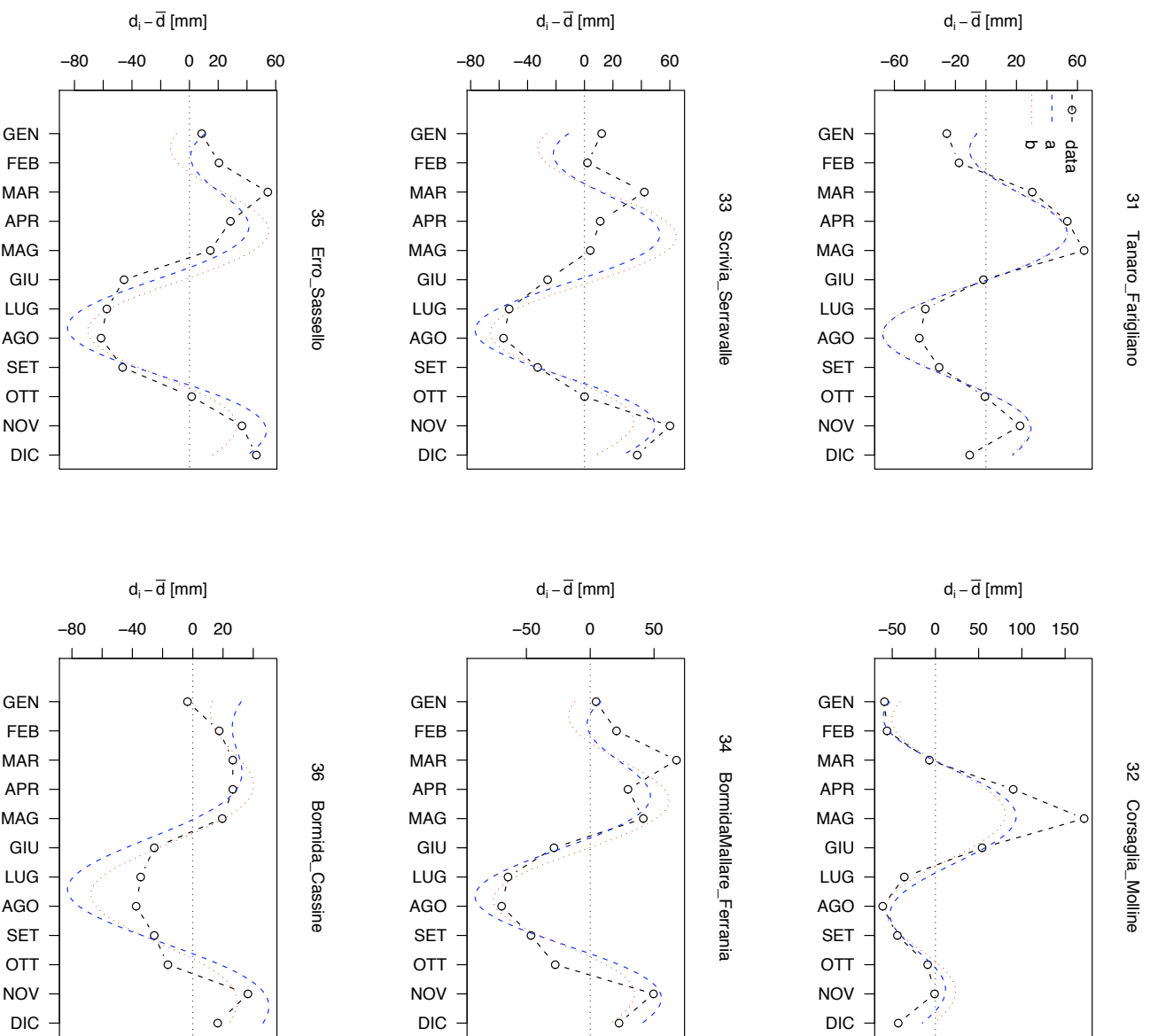


Figura F.10: Regimi idrometrici ottenuti per i 47 bacini considerati tramite il Modello 7.9 (a) ed il Modello 7.10 (b). (6/8)

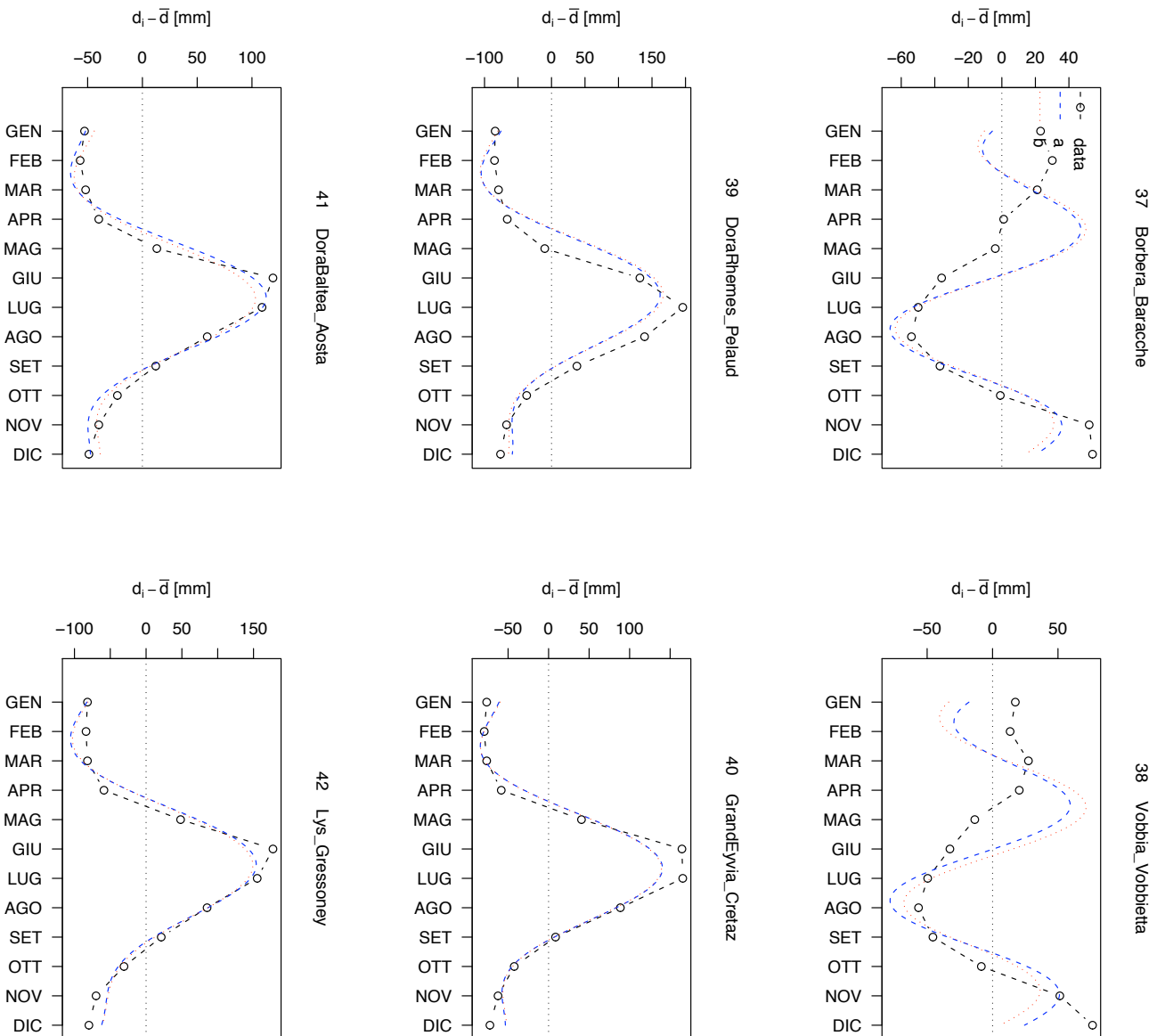


Figura F.10: Regimi idrometrici ottenuti per i 47 bacini considerati tramite il Modello 7.9 (a) ed il Modello 7.10 (b). (7/8)

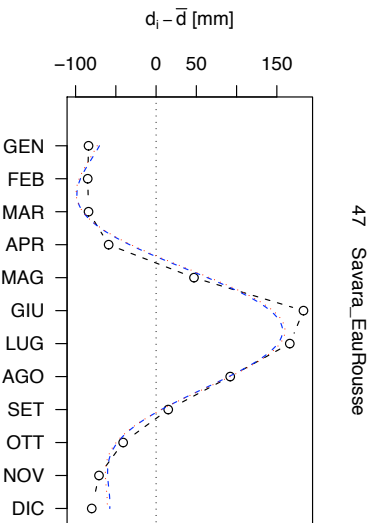
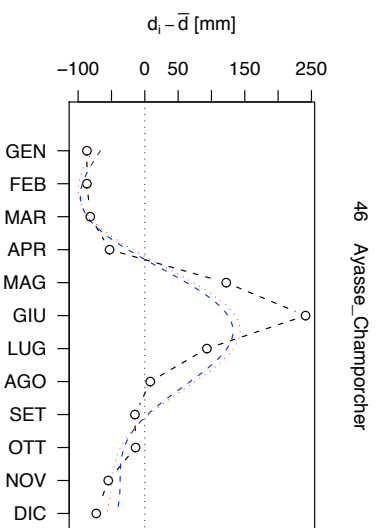
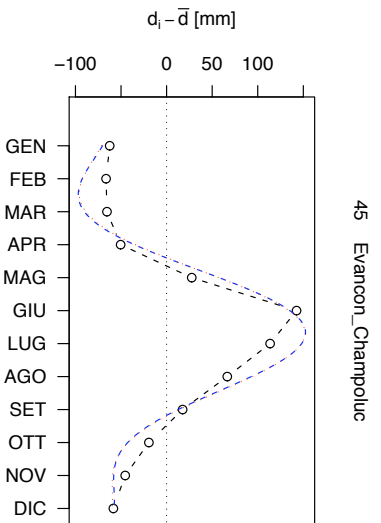
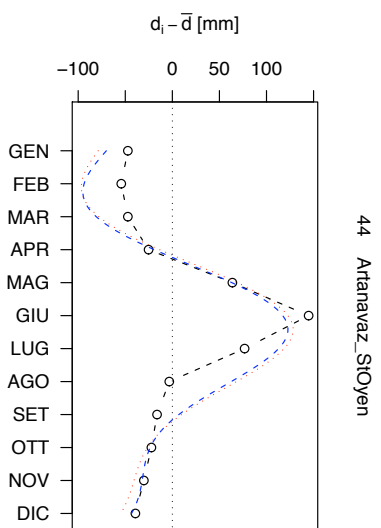
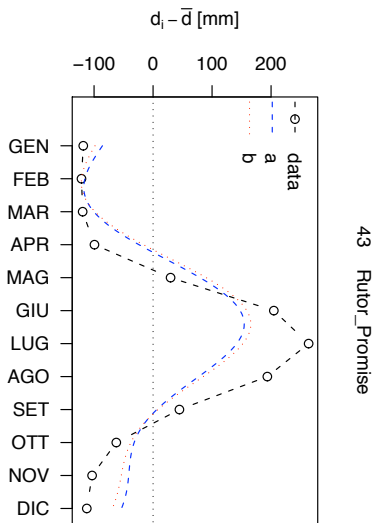


Figura F.10: Regimi idrometrici ottenuti per i 47 bacini considerati tramite il Modello 7.9 (a) ed il Modello 7.10 (b). (8/8)

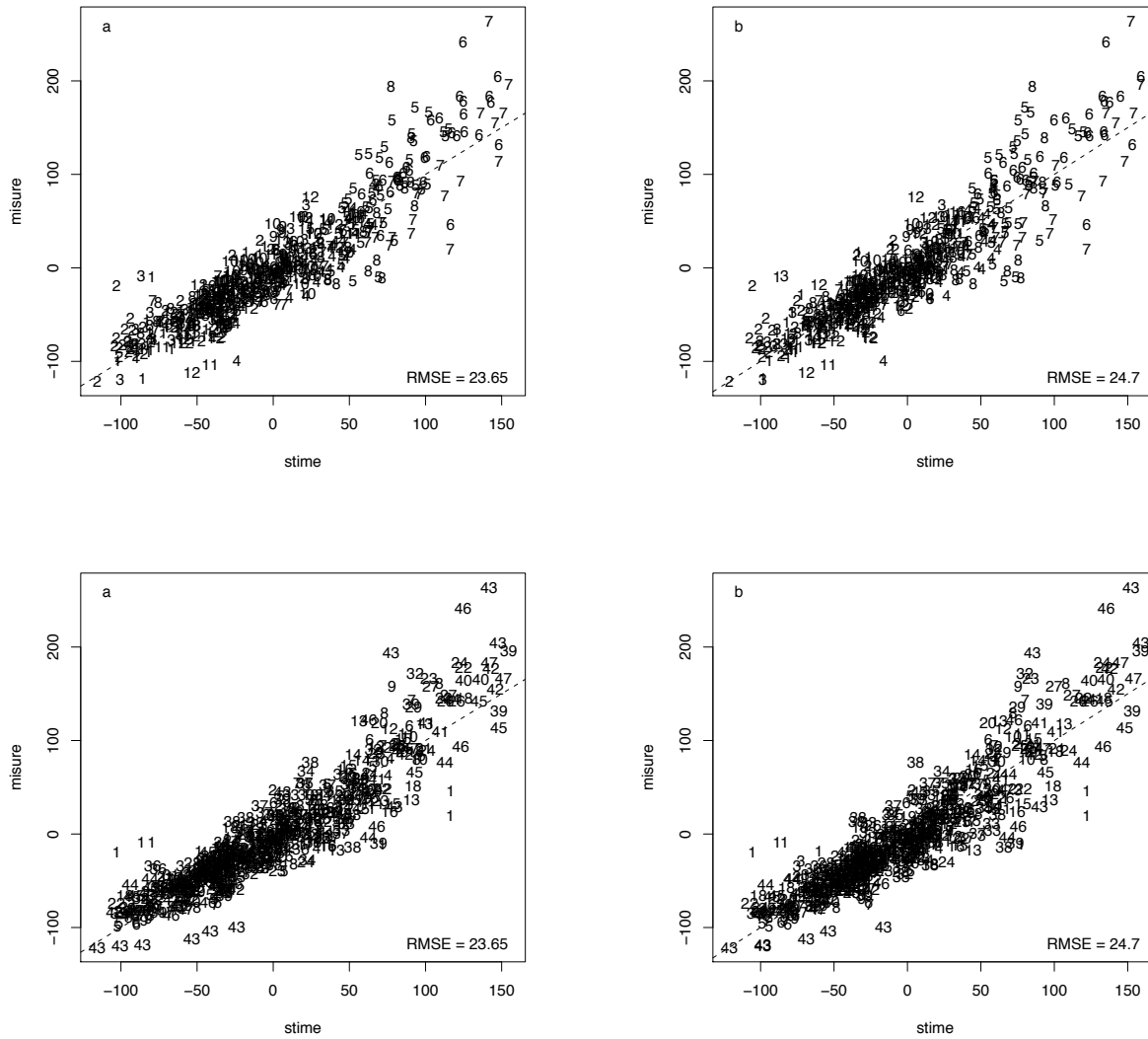


Figura F.11: Diagrammi diagnostici per i quattro modelli di Paragrafo 7.2.2. I numeri indicano i mesi dell'anno; in basso a destra è indicato l' $RMSE_{reg}$ medio di Tabella E.8.

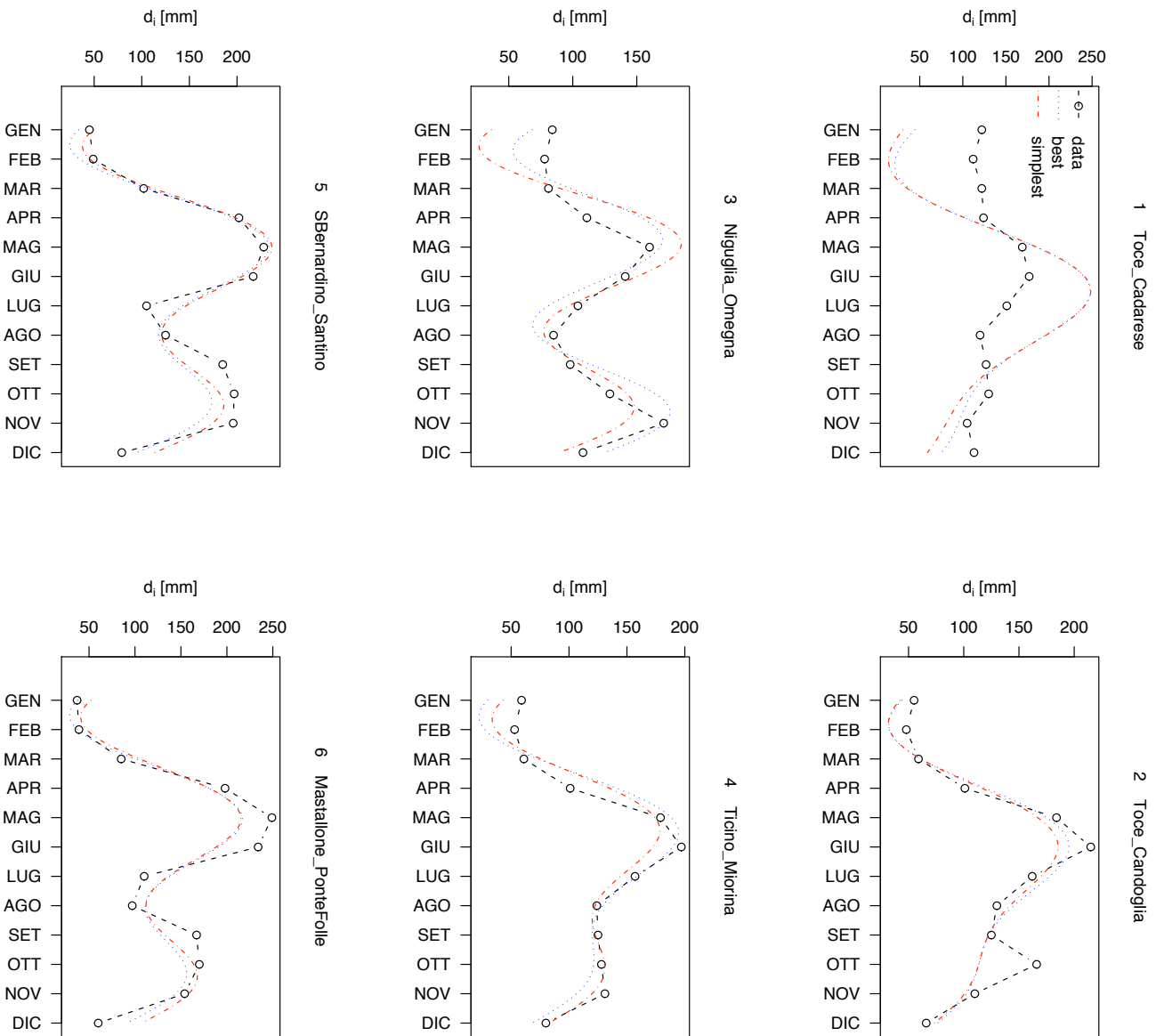


Figura F.12: Applicazione del modello per la stima del regime idrometrico più completo (Equazioni 6.7 e 7.9) e di quello più semplice (Equazioni 6.8 e 7.10) ai 47 bacini considerati. (1/8)

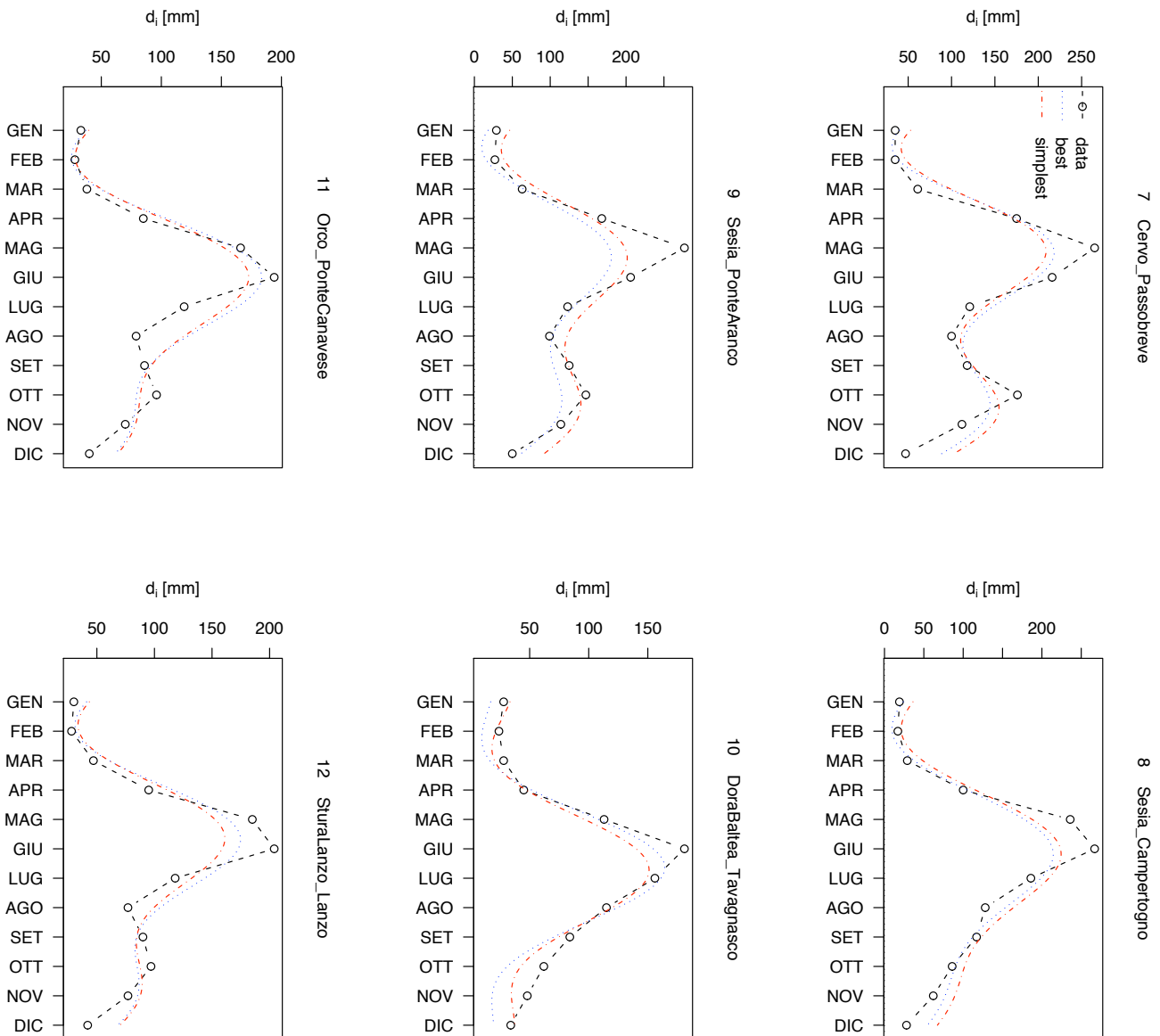


Figura F.12: Applicazione del modello per la stima del regime idrometrico più completo (Equazioni 6.7 e 7.9) e di quello più semplice (Equazioni 6.8 e 7.10) ai 47 bacini considerati. (2/8)

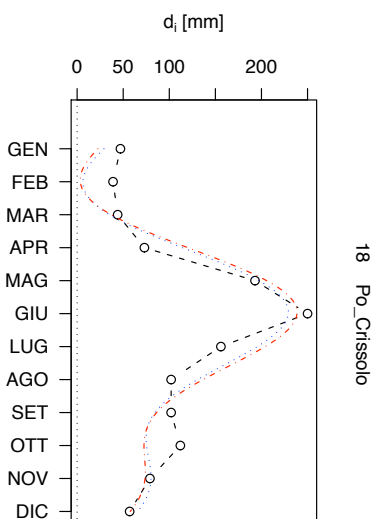
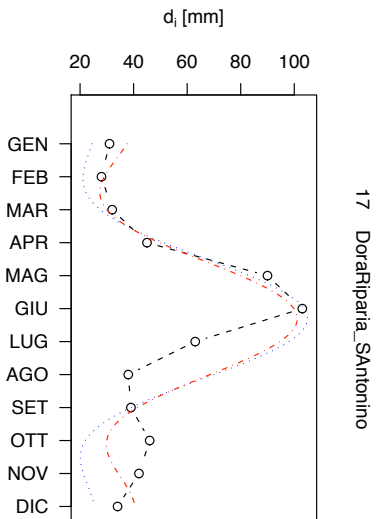
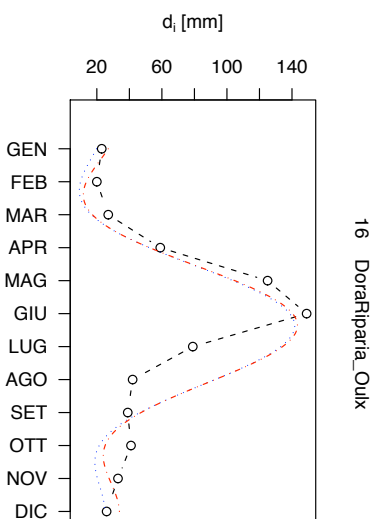
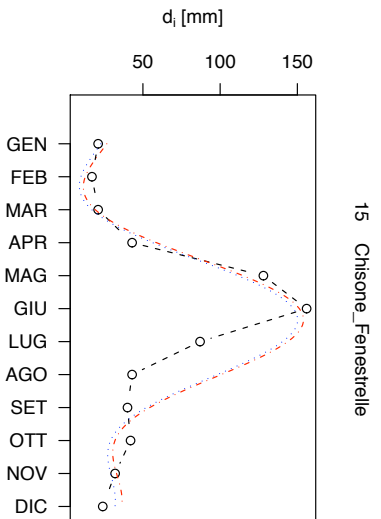
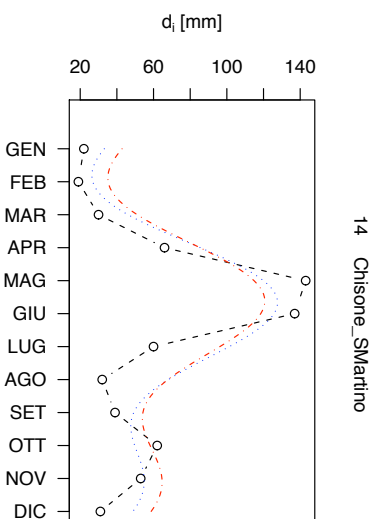
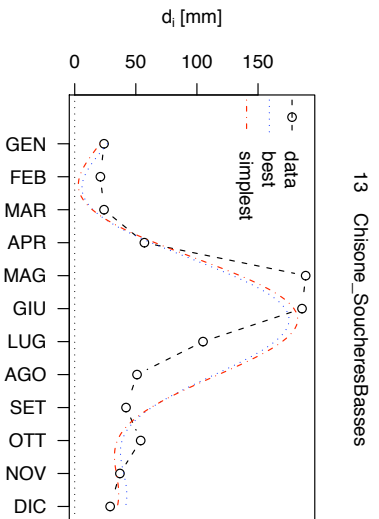


Figura F.12: Applicazione del modello per la stima del regime idrometrico più completo (Equazioni 6.7 e 7.9) e di quello più semplice (Equazioni 6.8 e 7.10) ai 47 bacini considerati. (3/8)

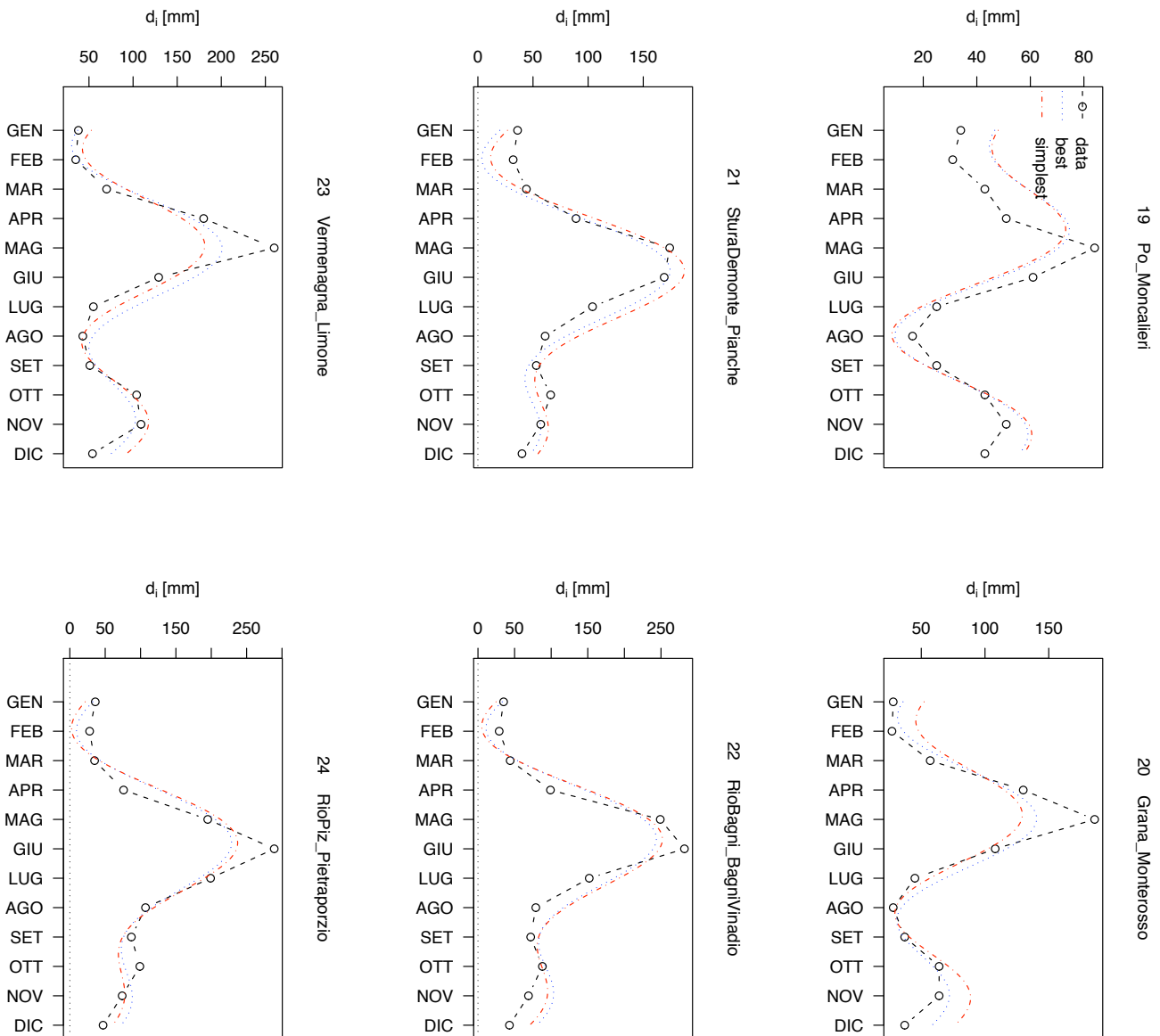


Figura F.12: Applicazione del modello per la stima del regime idrometrico più completo (Equazioni 6.7 e 7.9) e di quello più semplice (Equazioni 6.8 e 7.10) ai 47 bacini considerati. (4/8)

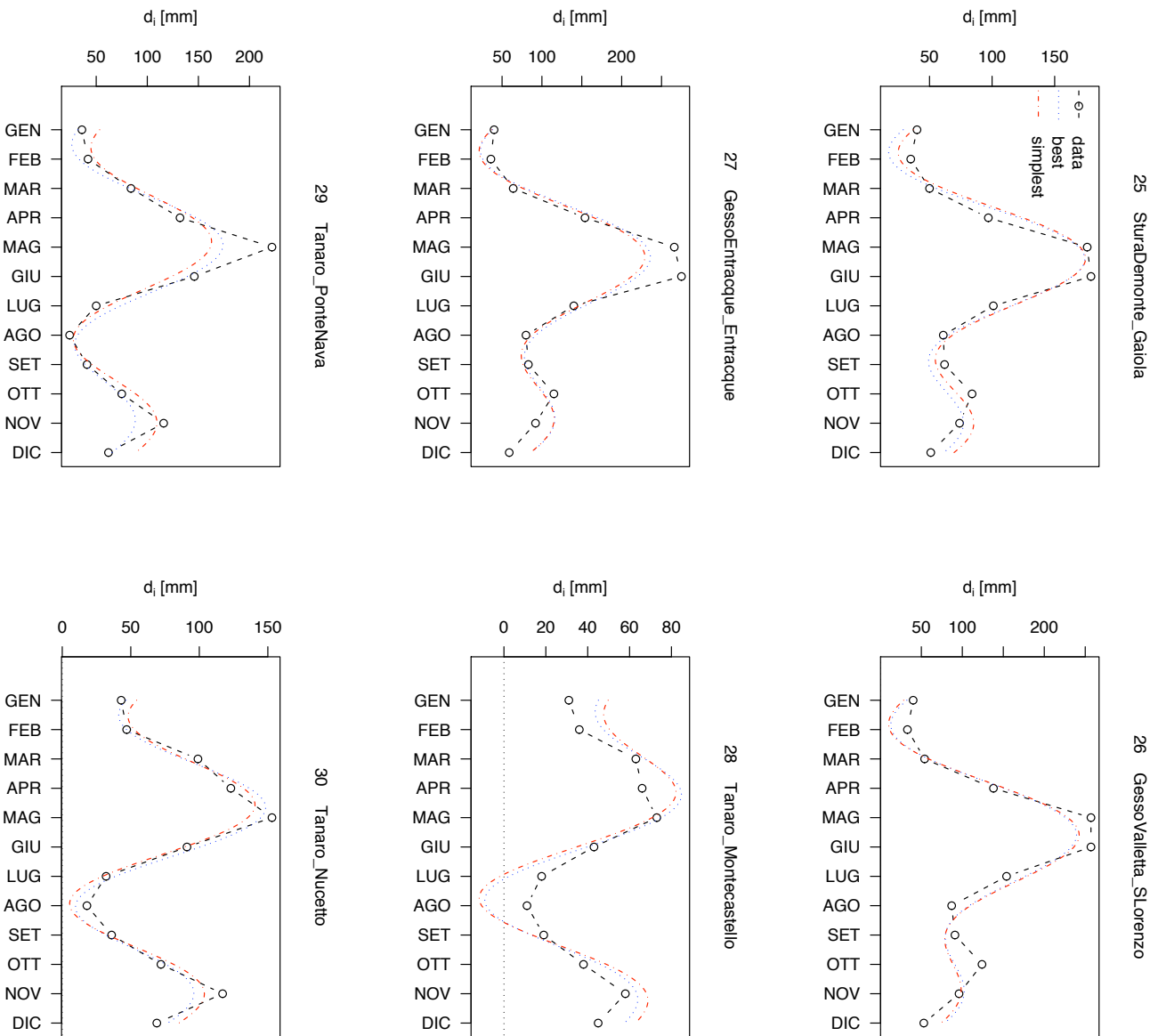


Figura F.12: Applicazione del modello per la stima del regime idrometrico più completo (Equazioni 6.7 e 7.9) e di quello più semplice (Equazioni 6.8 e 7.10) ai 47 bacini considerati. (5/8)

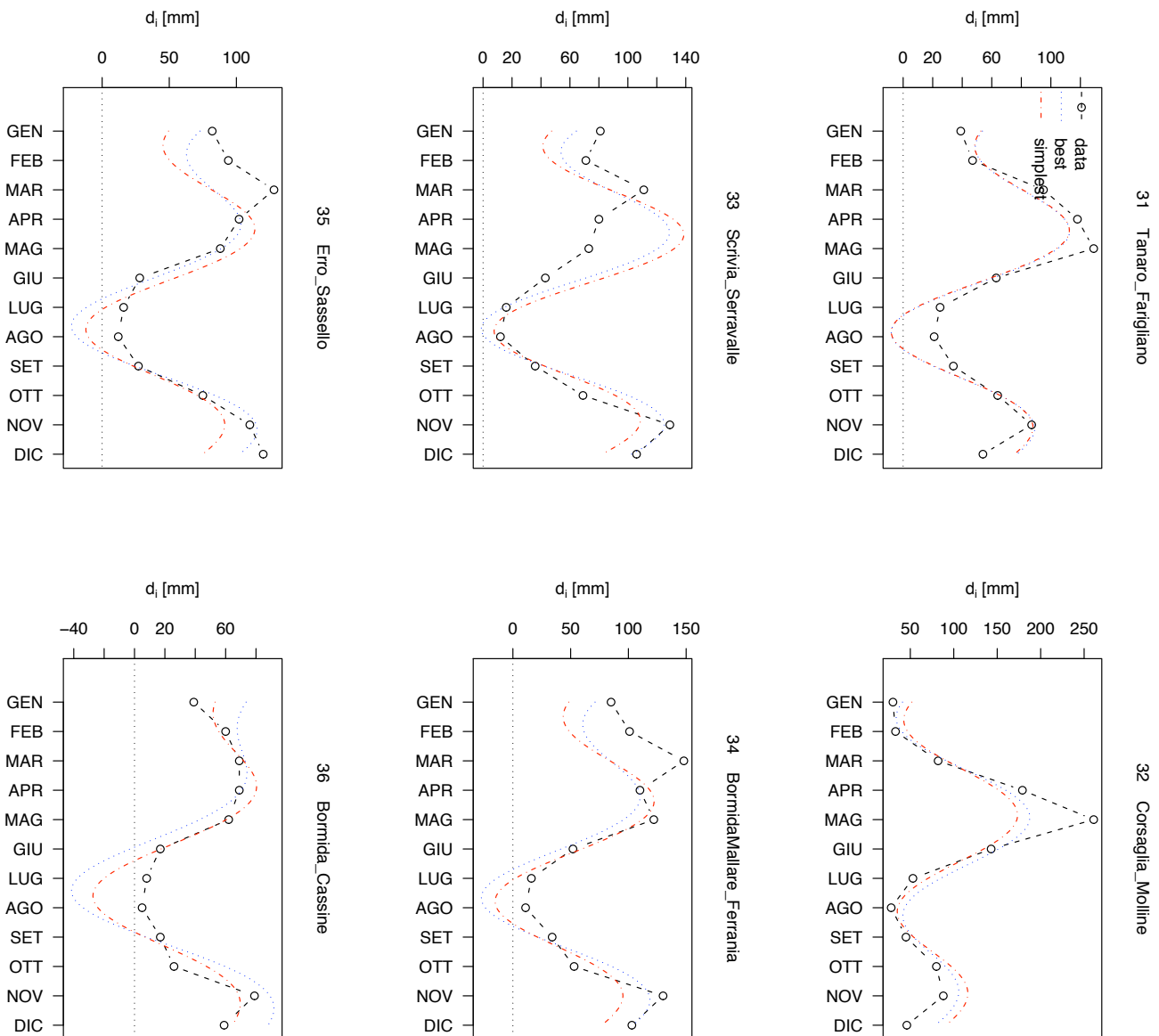


Figura F.12: Applicazione del modello per la stima del regime idrometrico più completo (Equazioni 6.7 e 7.9) e di quello più semplice (Equazioni 6.8 e 7.10) ai 47 bacini considerati. (6/8)

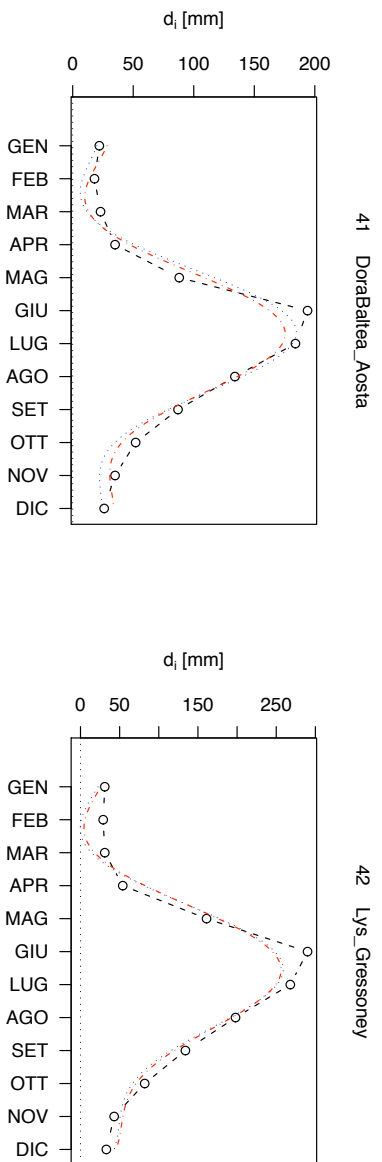
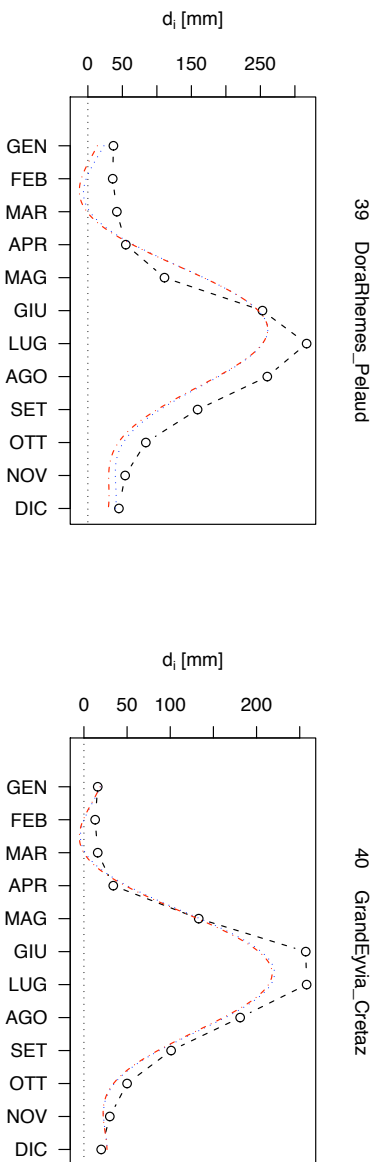
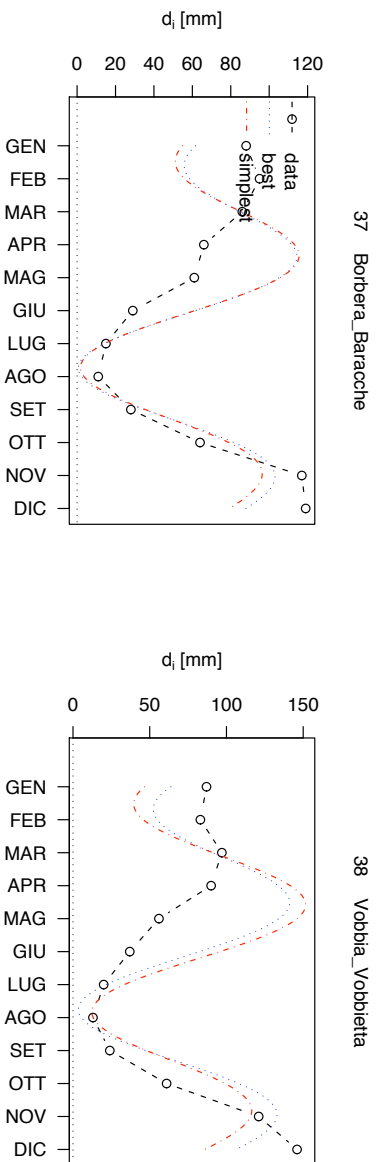


Figura F.12: Applicazione del modello per la stima del regime idrometrico più completo (Equazioni 6.7 e 7.9) e di quello più semplice (Equazioni 6.8 e 7.10) ai 47 bacini considerati. (7/8)

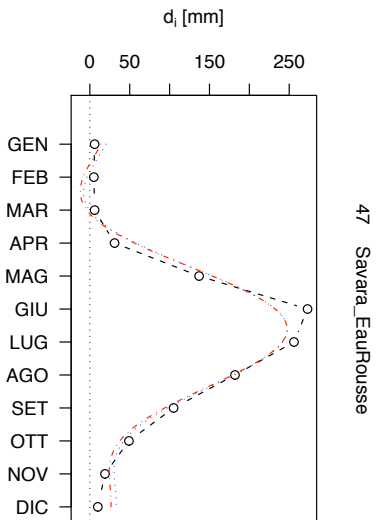
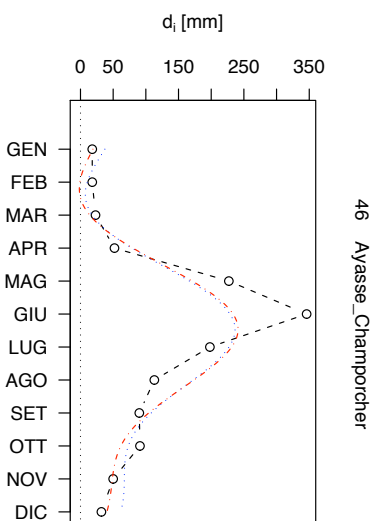
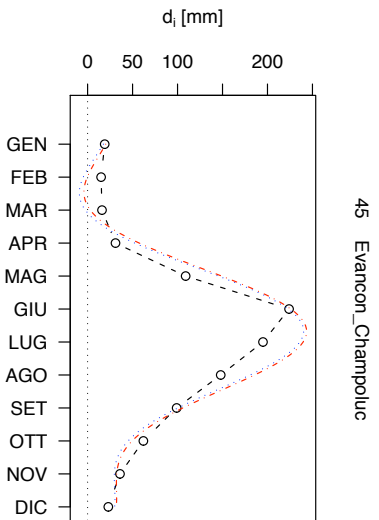
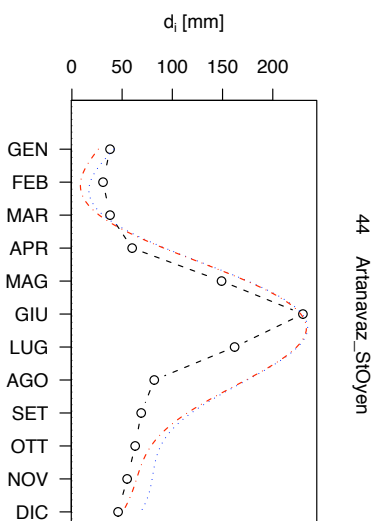
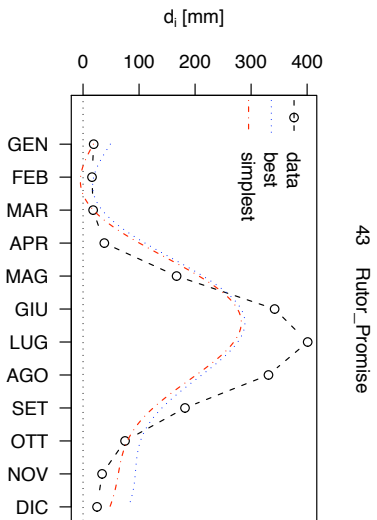


Figura F.12: Applicazione del modello per la stima del regime idrometrico più completo (Equazioni 6.7 e 7.9) e di quello più semplice (Equazioni 6.8 e 7.10) ai 47 bacini considerati. (8/8)

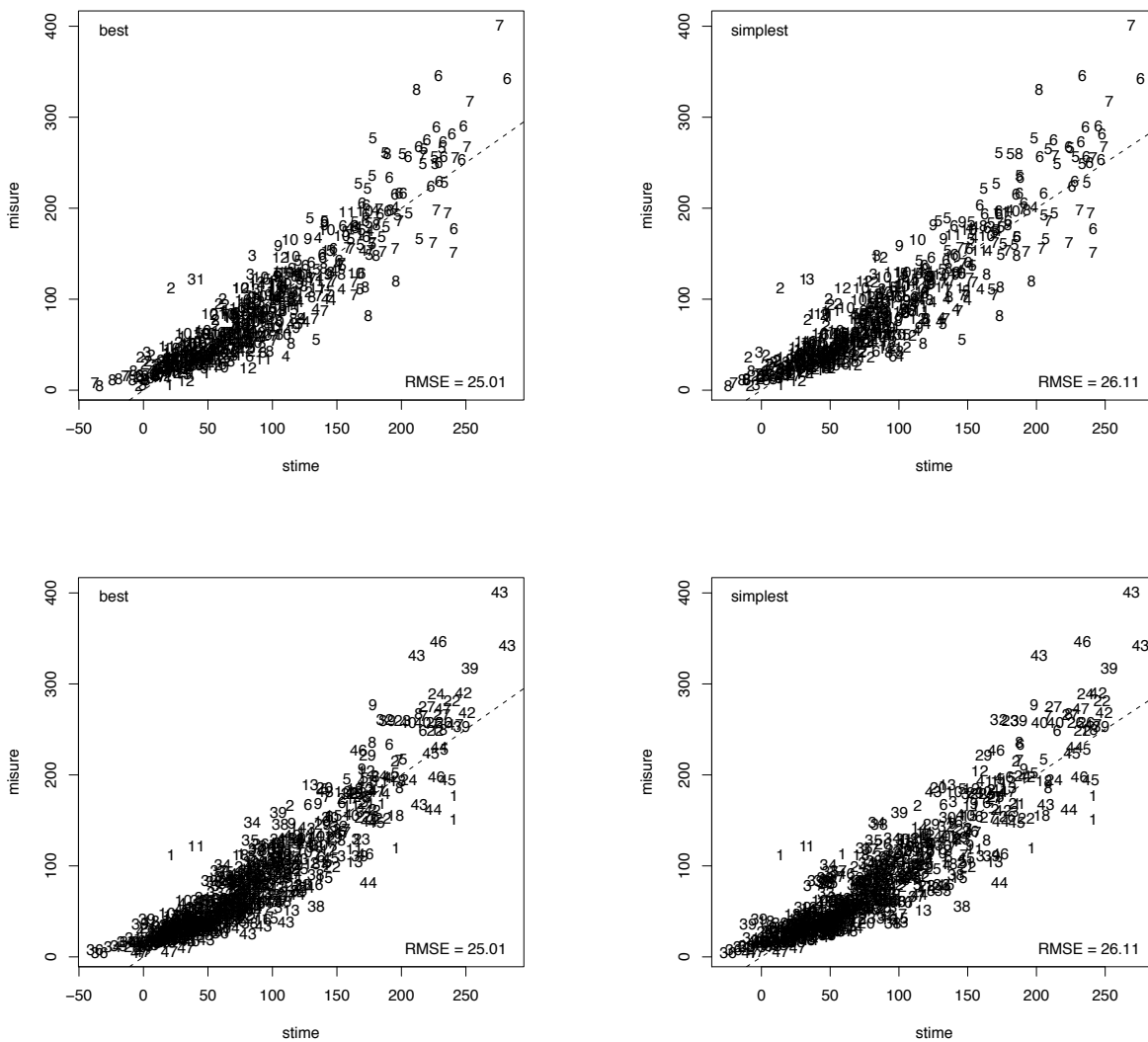


Figura F.13: Diagrammi diagnostici dell'applicazione del modello per la stima del regime idrometrico più completo (Equazioni 6.7 e 7.9) e di quello più semplice (Equazioni 6.8 e 7.10) ai 47 bacini considerati.

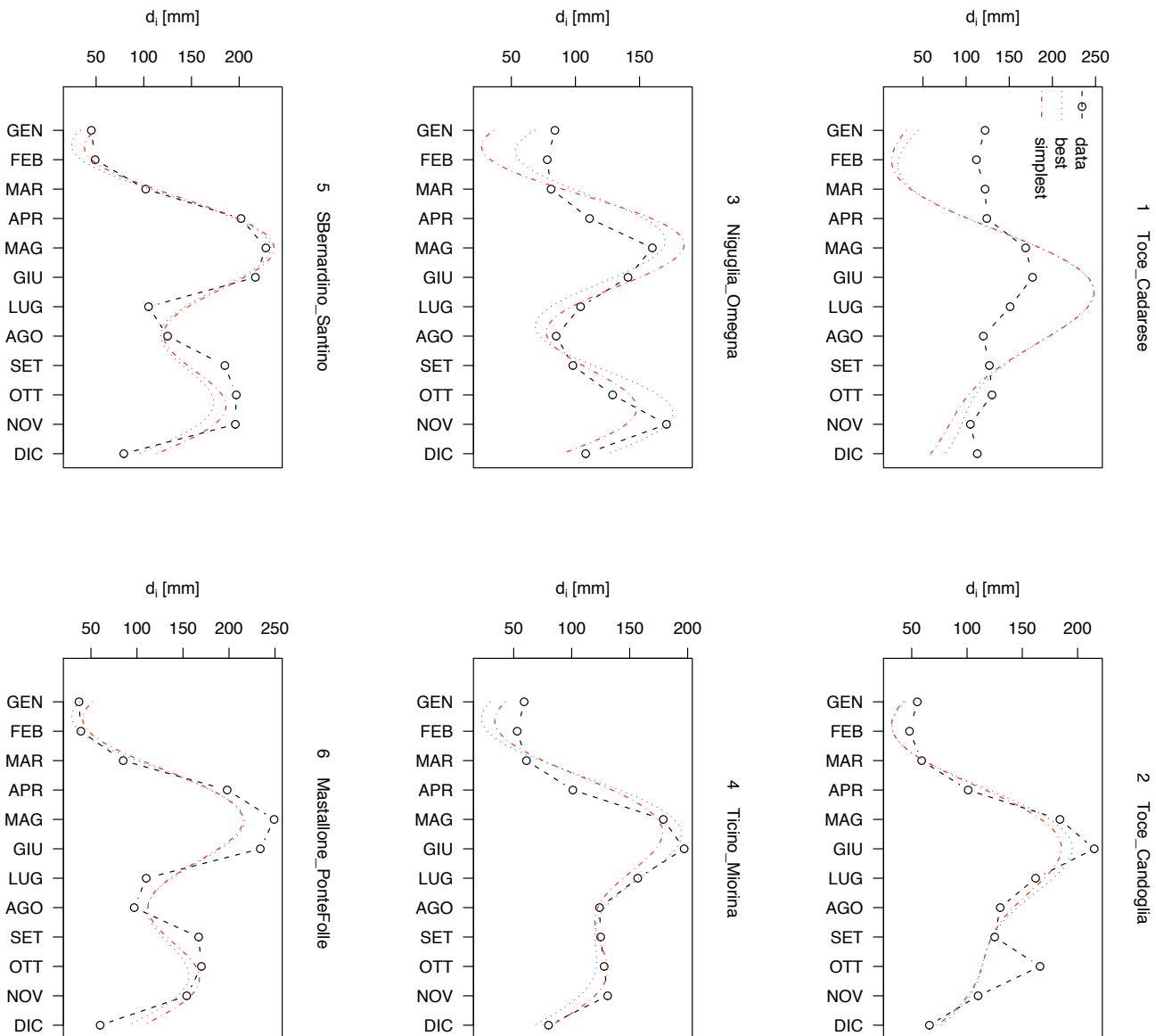
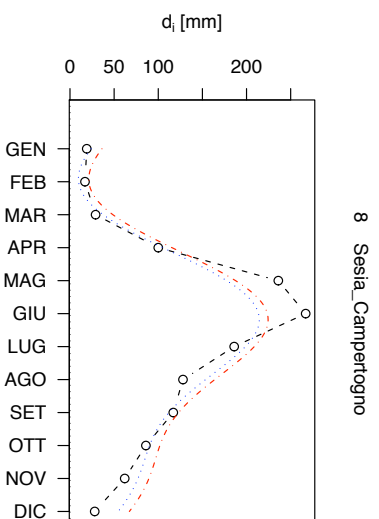
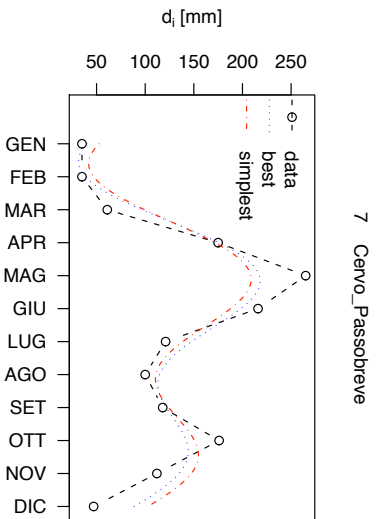
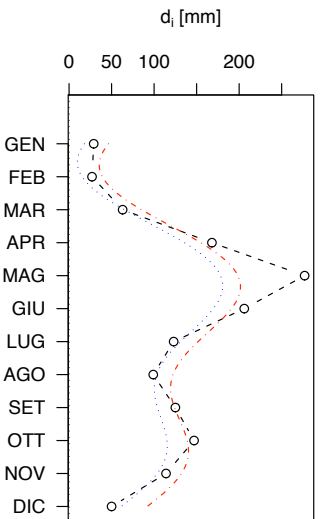


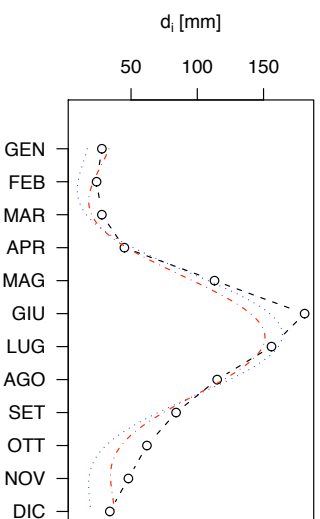
Figura F.14: Applicazione del modello per la stima del regime idrometrico più completo (Equazioni 6.7 e 7.9) e di quello più semplice (Equazioni 6.8 e 7.10) ai 47 bacini considerati; le stime negative si sono considerate nulle. (1/8)



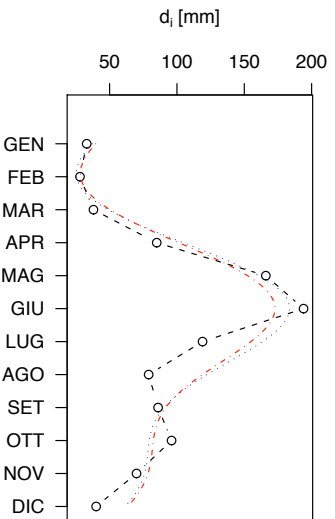
9 Sesia_PonteArancio



10 Doratoltea_Tavagnasco



11 Orco_PonteCanavese



12 Sturalanzo_Lanzo

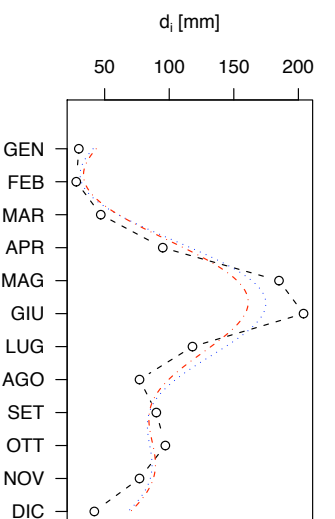


Figura F.14: Applicazione del modello per la stima del regime idrometrico più completo (Equazioni 6.7 e 7.9) e di quello più semplice (Equazioni 6.8 e 7.10) ai 47 bacini considerati; le stime negative si sono considerate nulle. (2/8)

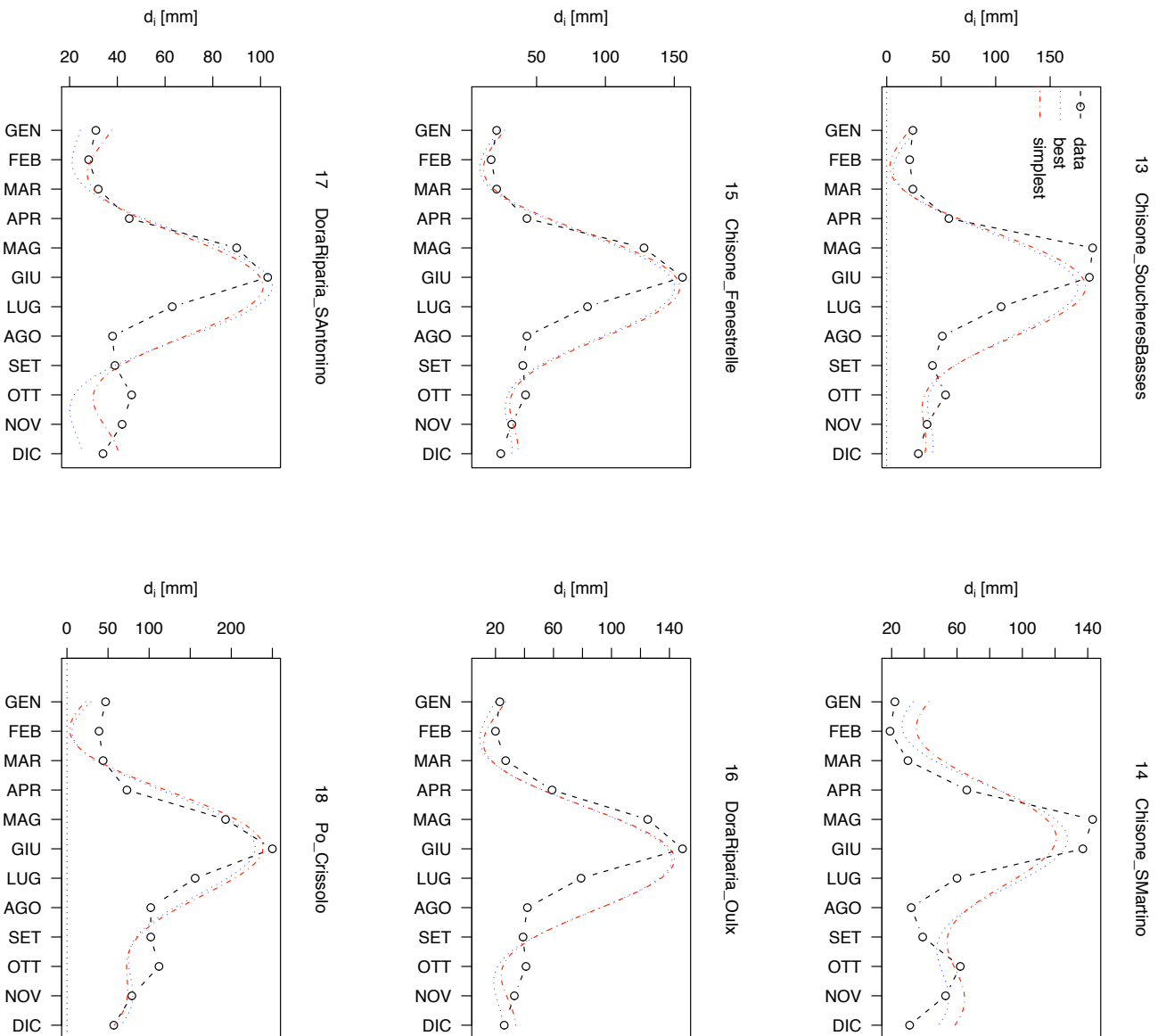


Figura F.14: Applicazione del modello per la stima del regime idrometrico più completo (Equazioni 6.7 e 7.9) e di quello più semplice (Equazioni 6.8 e 7.10) ai 47 bacini considerati; le stime negative si sono considerate nulle. (3/8)

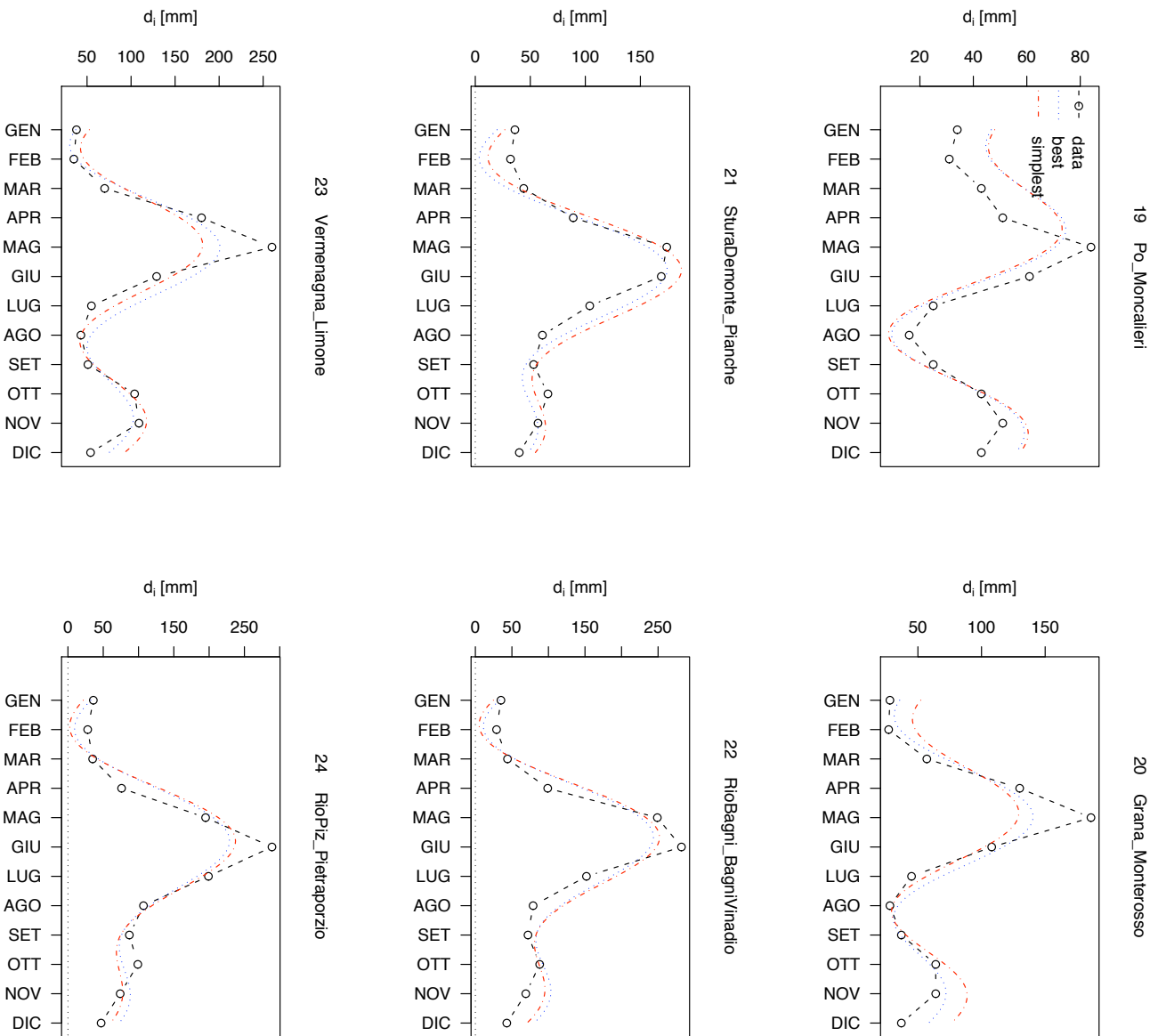


Figura F.14: Applicazione del modello per la stima del regime idrometrico più completo (Equazioni 6.7 e 7.9) e di quello più semplice (Equazioni 6.8 e 7.10) ai 47 bacini considerati; le stime negative si sono considerate nulle. (4/8)

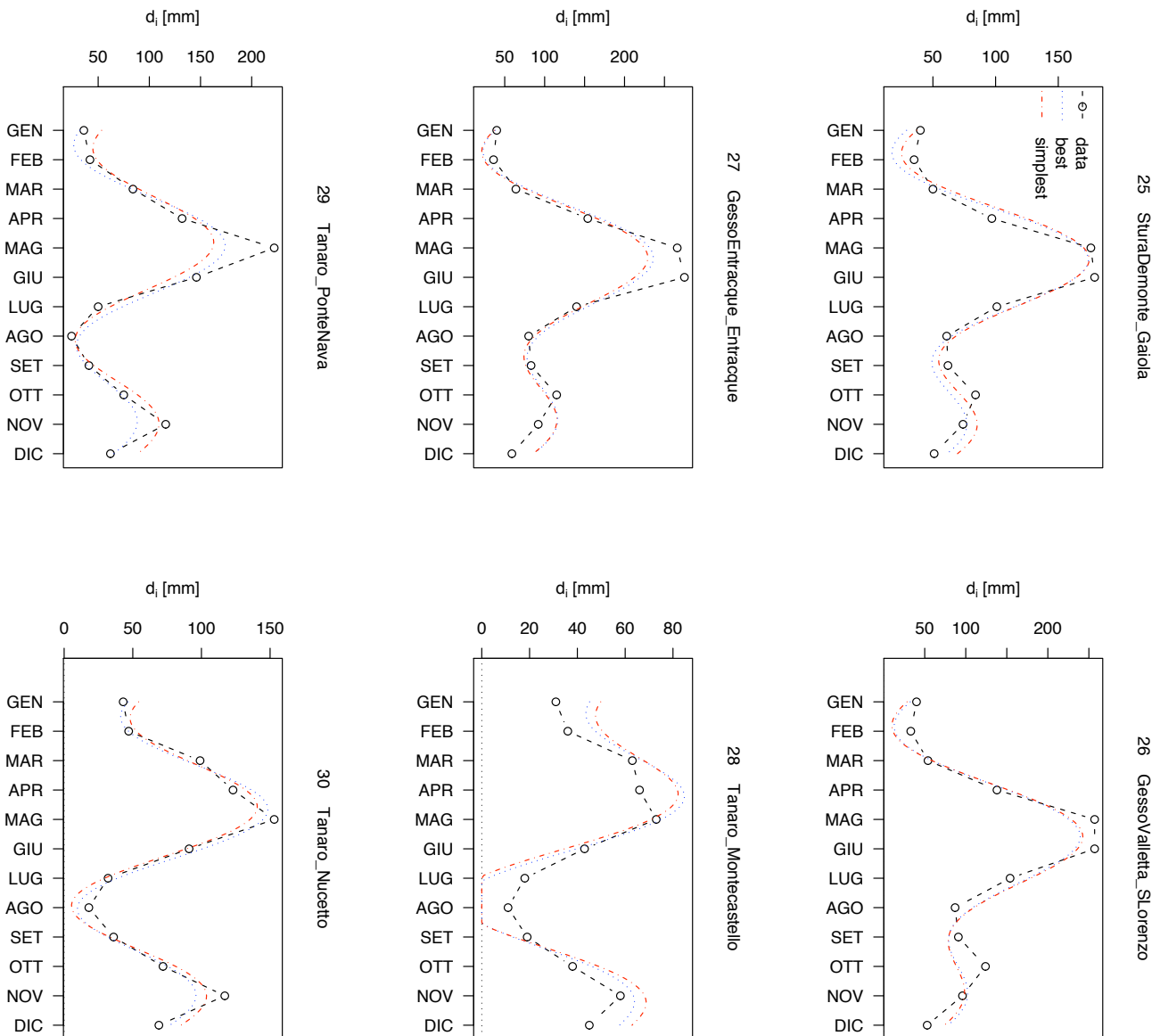


Figura F.14: Applicazione del modello per la stima del regime idrometrico più completo (Equazioni 6.7 e 7.9) e di quello più semplice (Equazioni 6.8 e 7.10) ai 47 bacini considerati; le stime negative si sono considerate nulle. (5/8)

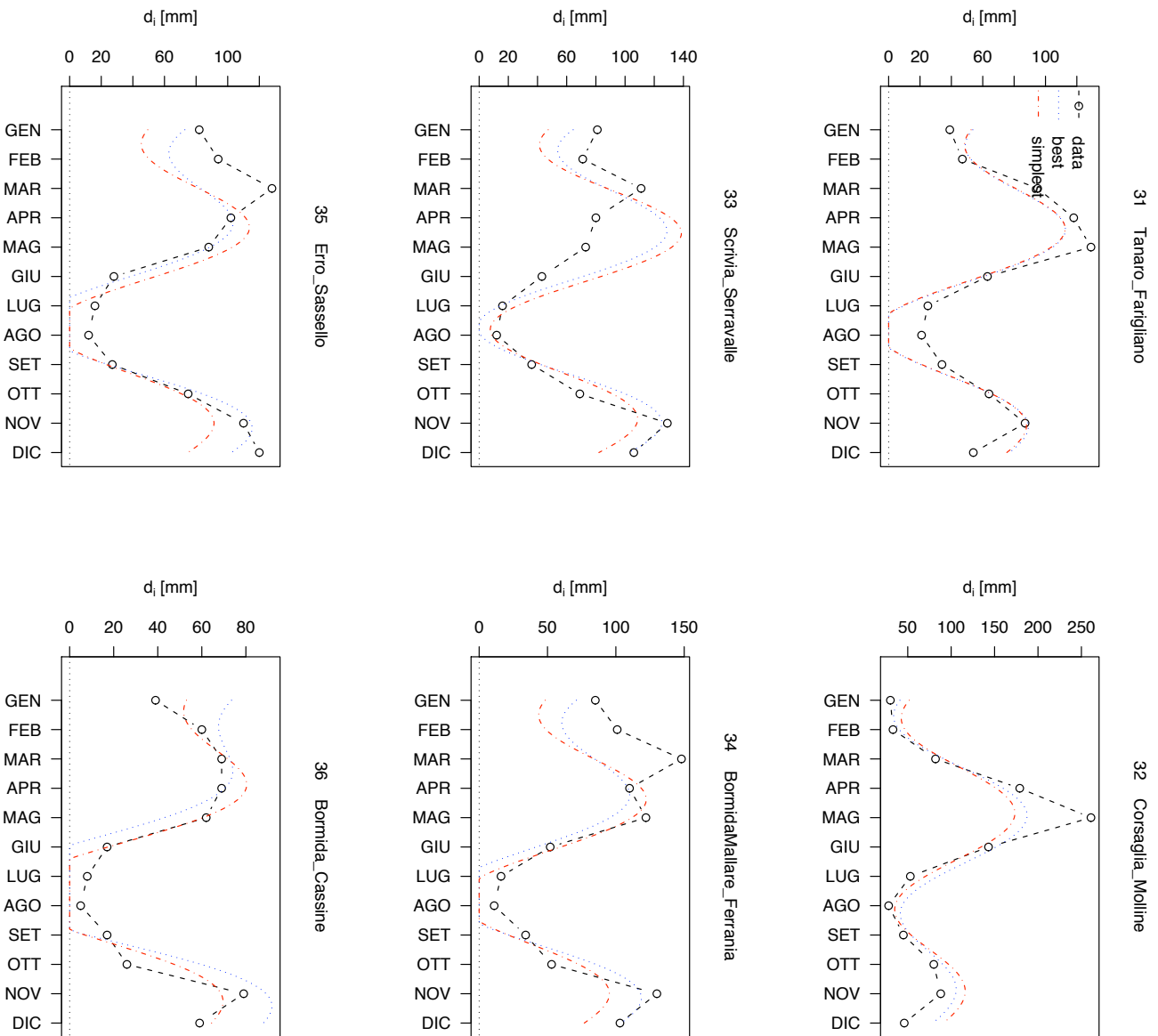


Figura F.14: Applicazione del modello per la stima del regime idrometrico più completo (Equazioni 6.7 e 7.9) e di quello più semplice (Equazioni 6.8 e 7.10) ai 47 bacini considerati; le stime negative si sono considerate nulle. (6/8)

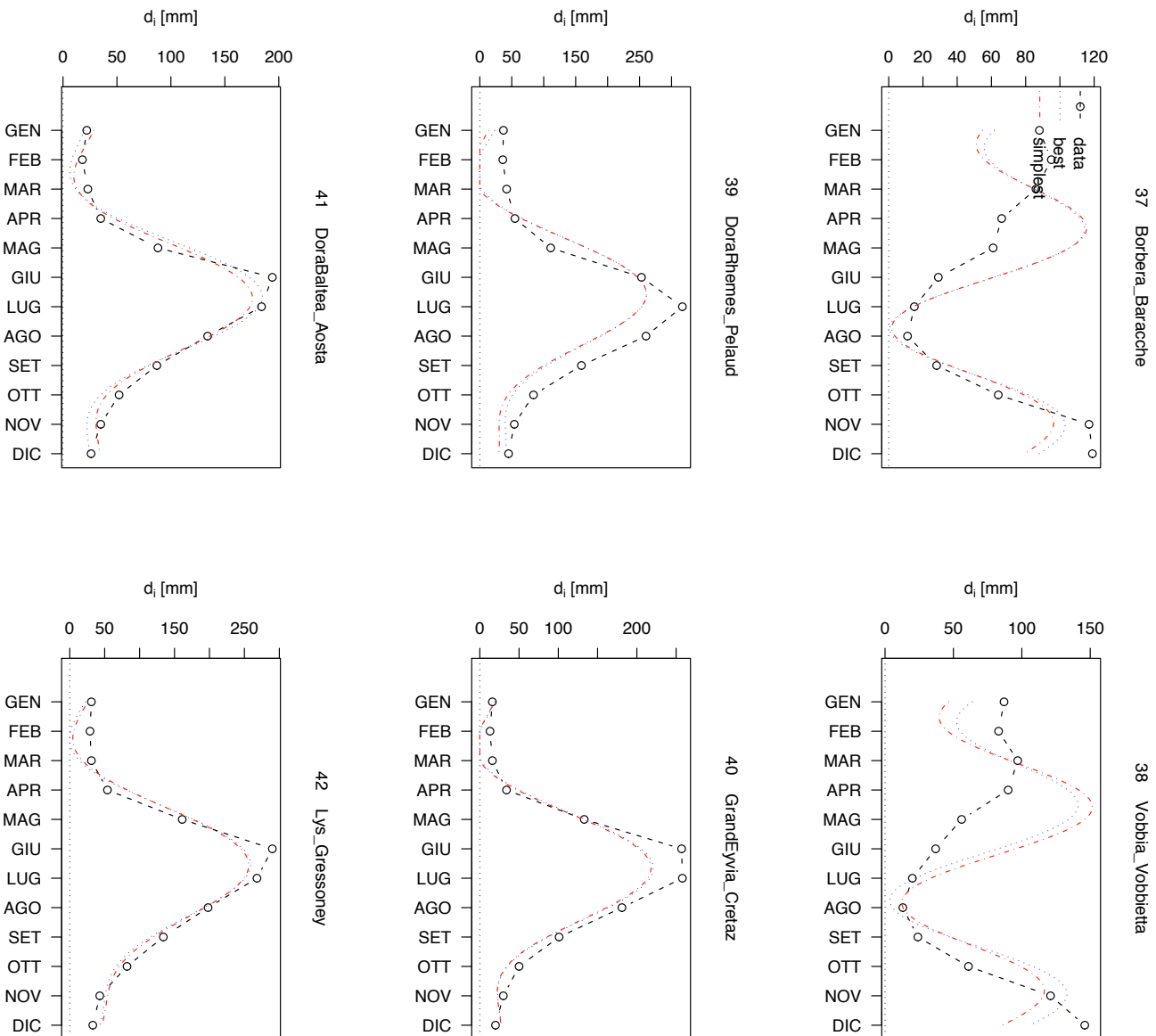


Figura F.14: Applicazione del modello per la stima del regime idrometrico più completo (Equazioni 6.7 e 7.9) e di quello più semplice (Equazioni 6.8 e 7.10) ai 47 bacini considerati; le stime negative si sono considerate nulle. (7/8)

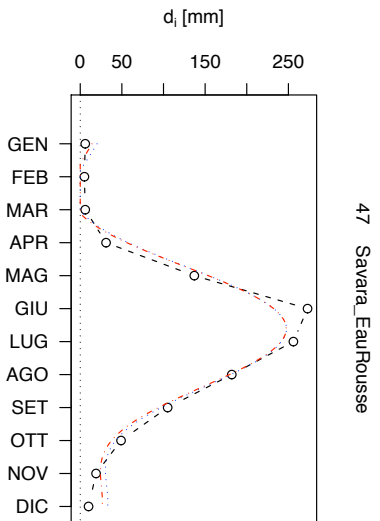
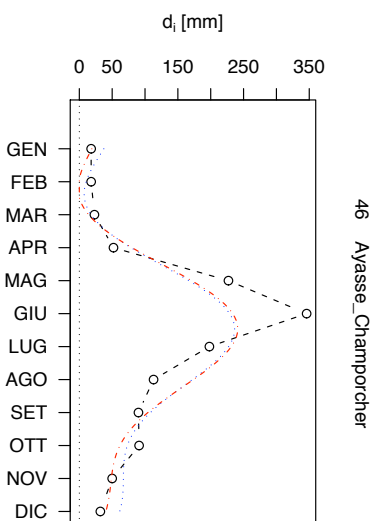
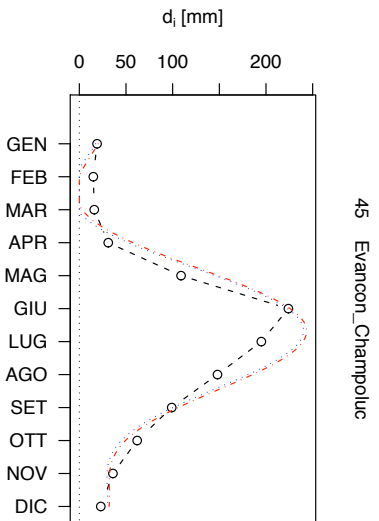
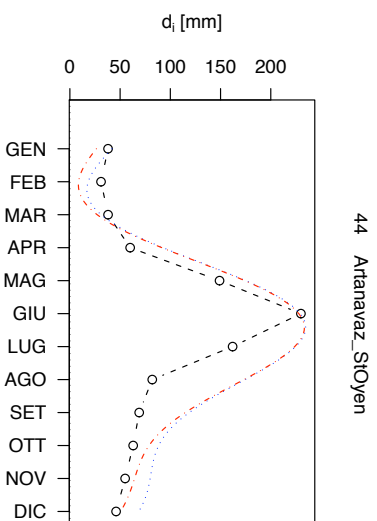
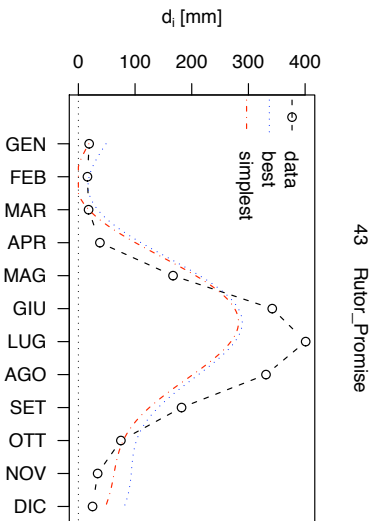


Figura F.14: Applicazione del modello per la stima del regime idrometrico più completo (Equazioni 6.7 e 7.9) e di quello più semplice (Equazioni 6.8 e 7.10) ai 47 bacini considerati; le stime negative si sono considerate nulle. (8/8)

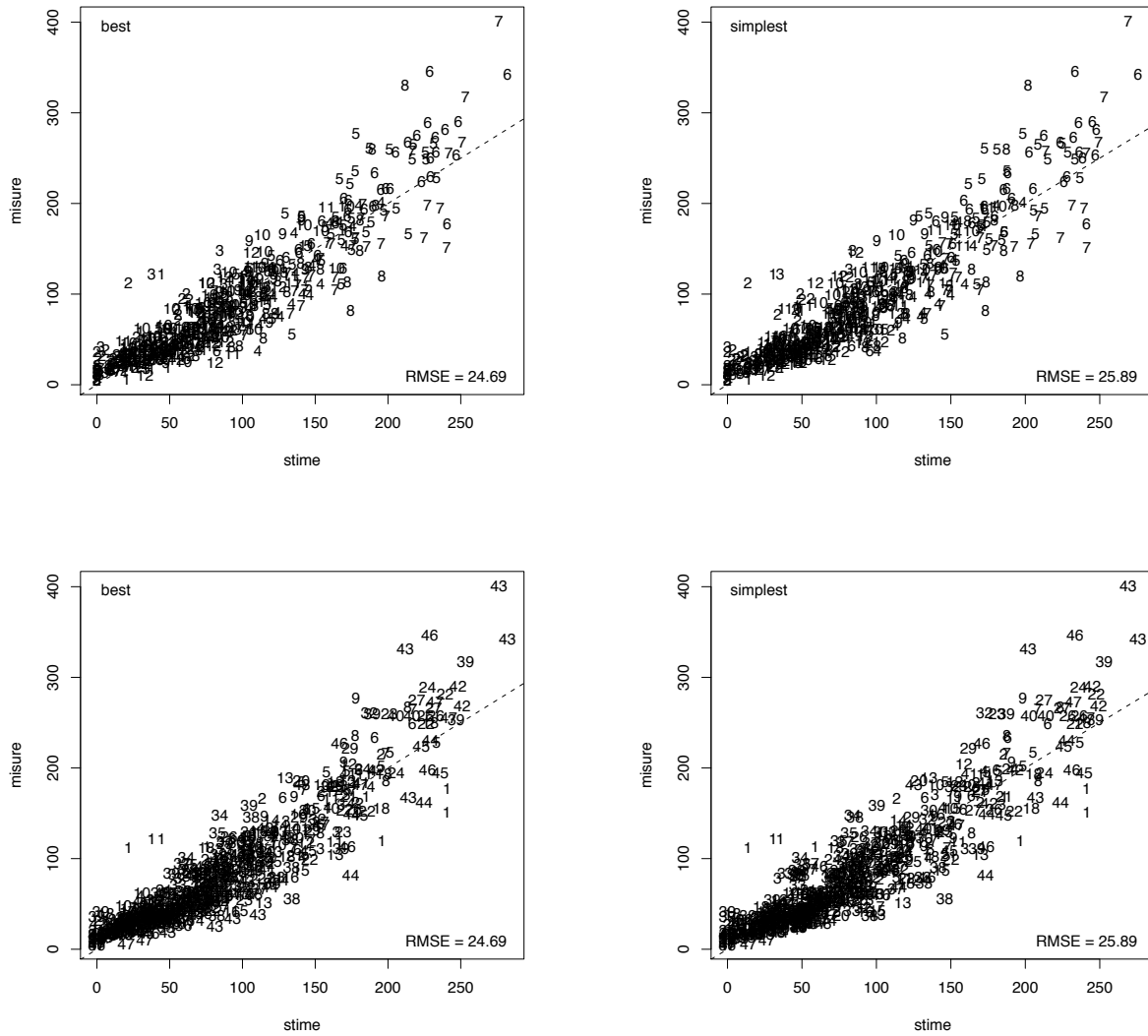


Figura F.15: Diagrammi diagnostici dell'applicazione del modello per la stima del regime idrometrico più completo (Equazioni 6.7 e 7.9) e di quello più semplice (Equazioni 6.8 e 7.10) ai 47 bacini considerati; le stime negative si sono considerate nulle.

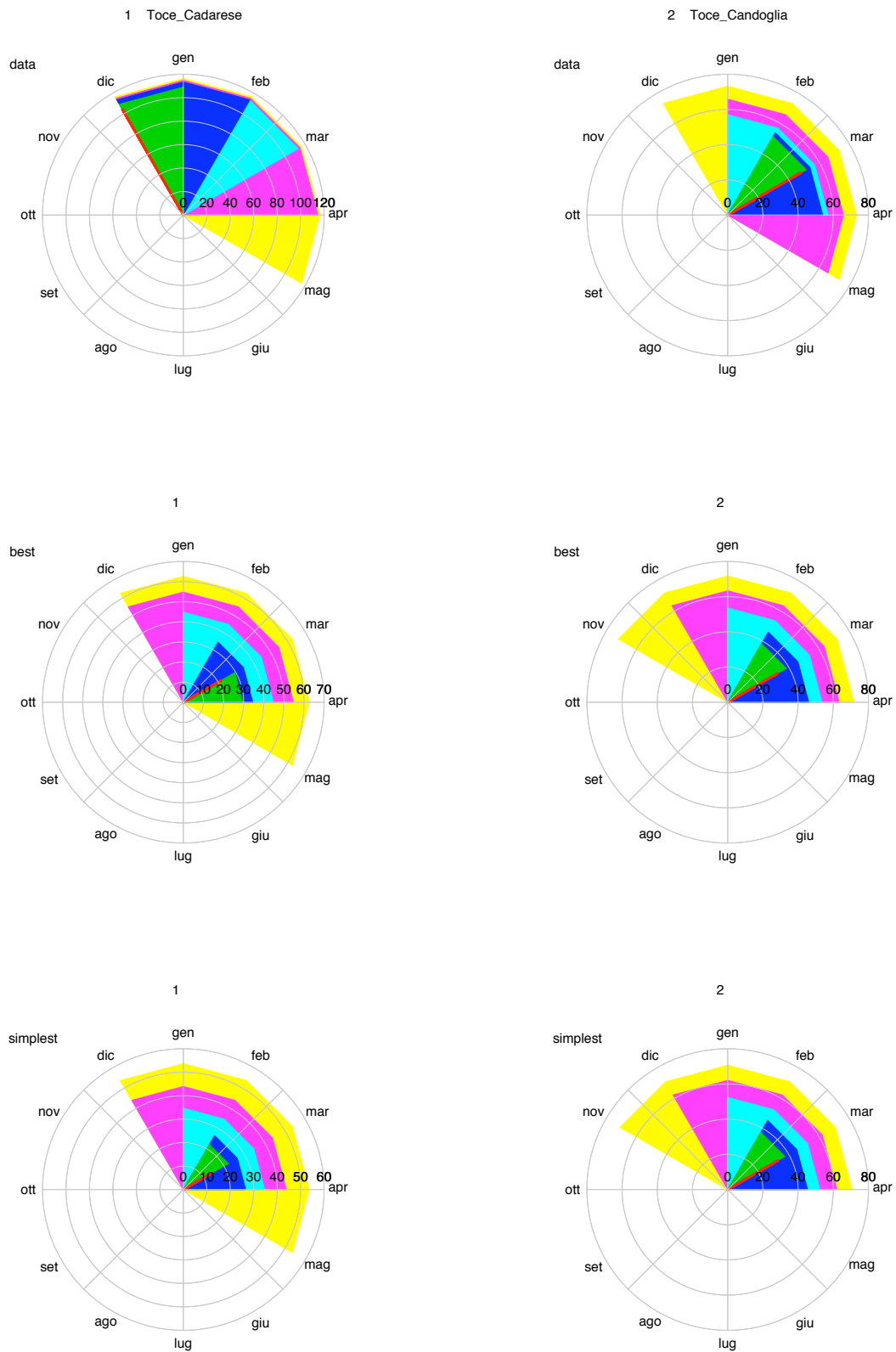


Figura F.16: Confronto nell'individuazione dei minimi mensili, bimestrali, ..., semestrali, tra il modello più completo (Equazioni 6.7 e 7.9) e quello più semplice (Equazioni 6.8 e 7.10). (1/24)

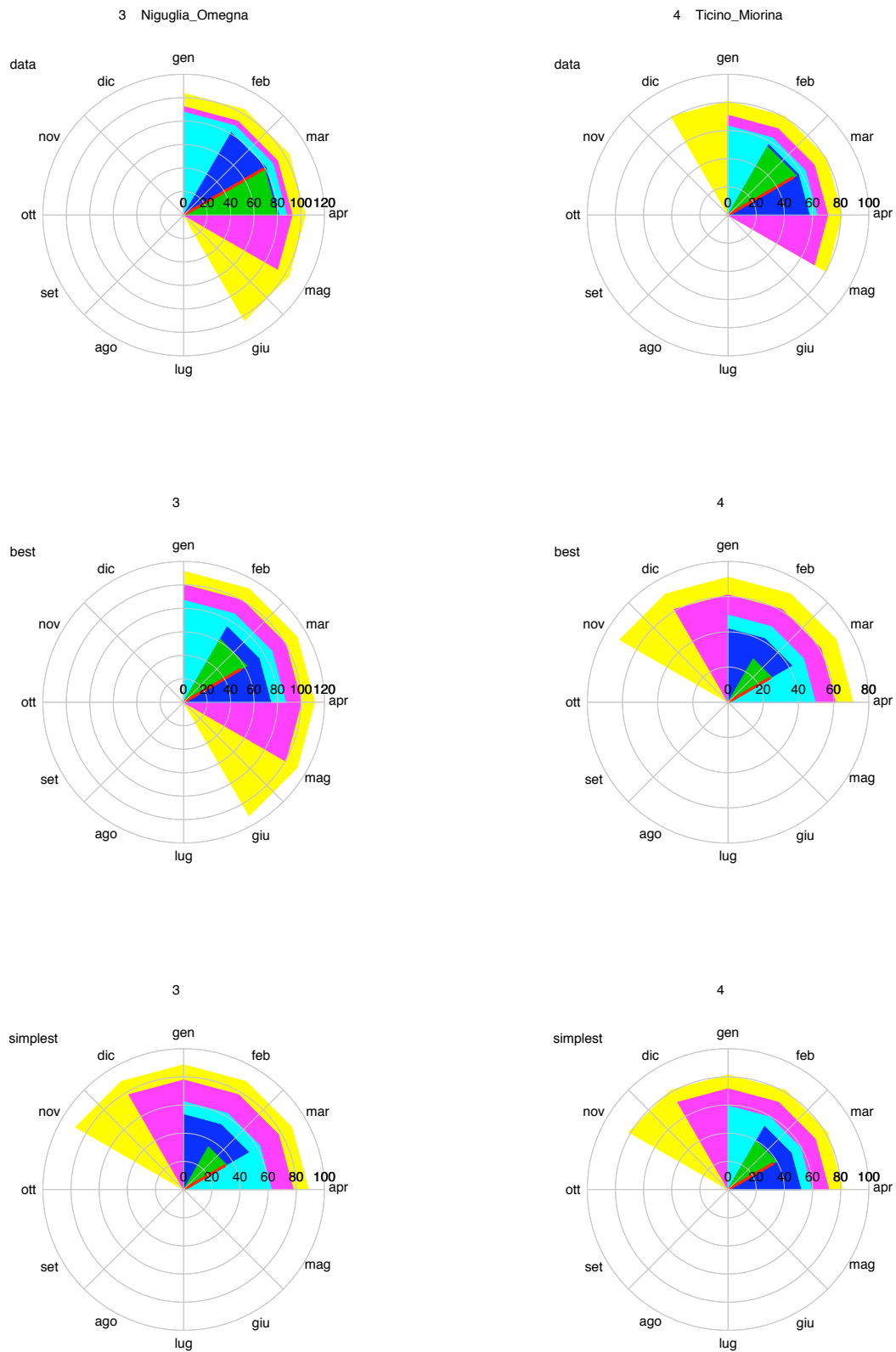


Figura F.16: Confronto nell'individuazione dei minimi mensili, bimestrali, ..., semestrali, tra il modello più completo (Equazioni 6.7 e 7.9) e quello più semplice (Equazioni 6.8 e 7.10). (2/24)

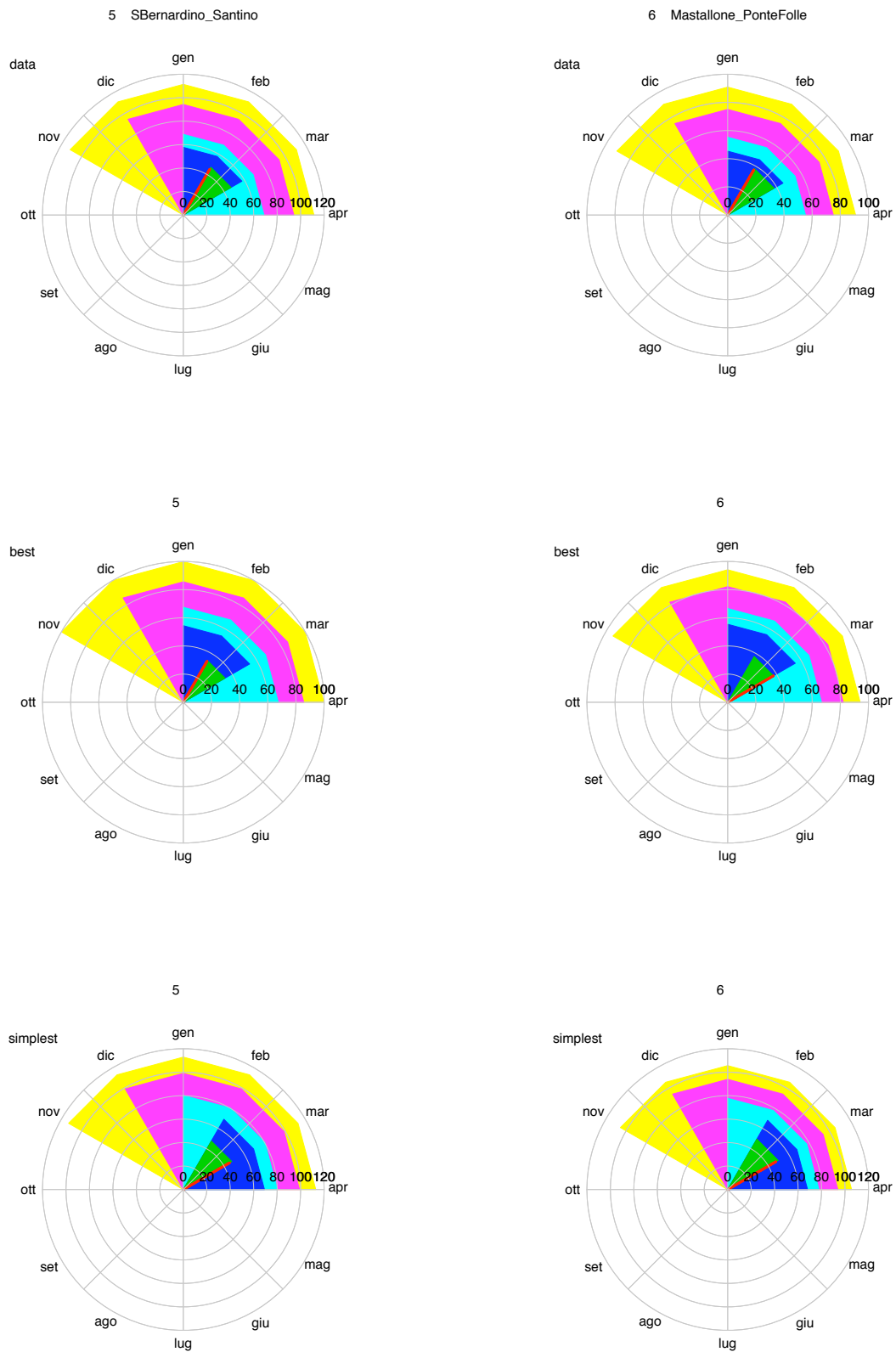


Figura F.16: Confronto nell'individuazione dei minimi mensili, bimestrali, ..., semestrali, tra il modello più completo (Equazioni 6.7 e 7.9) e quello più semplice (Equazioni 6.8 e 7.10). (3/24)

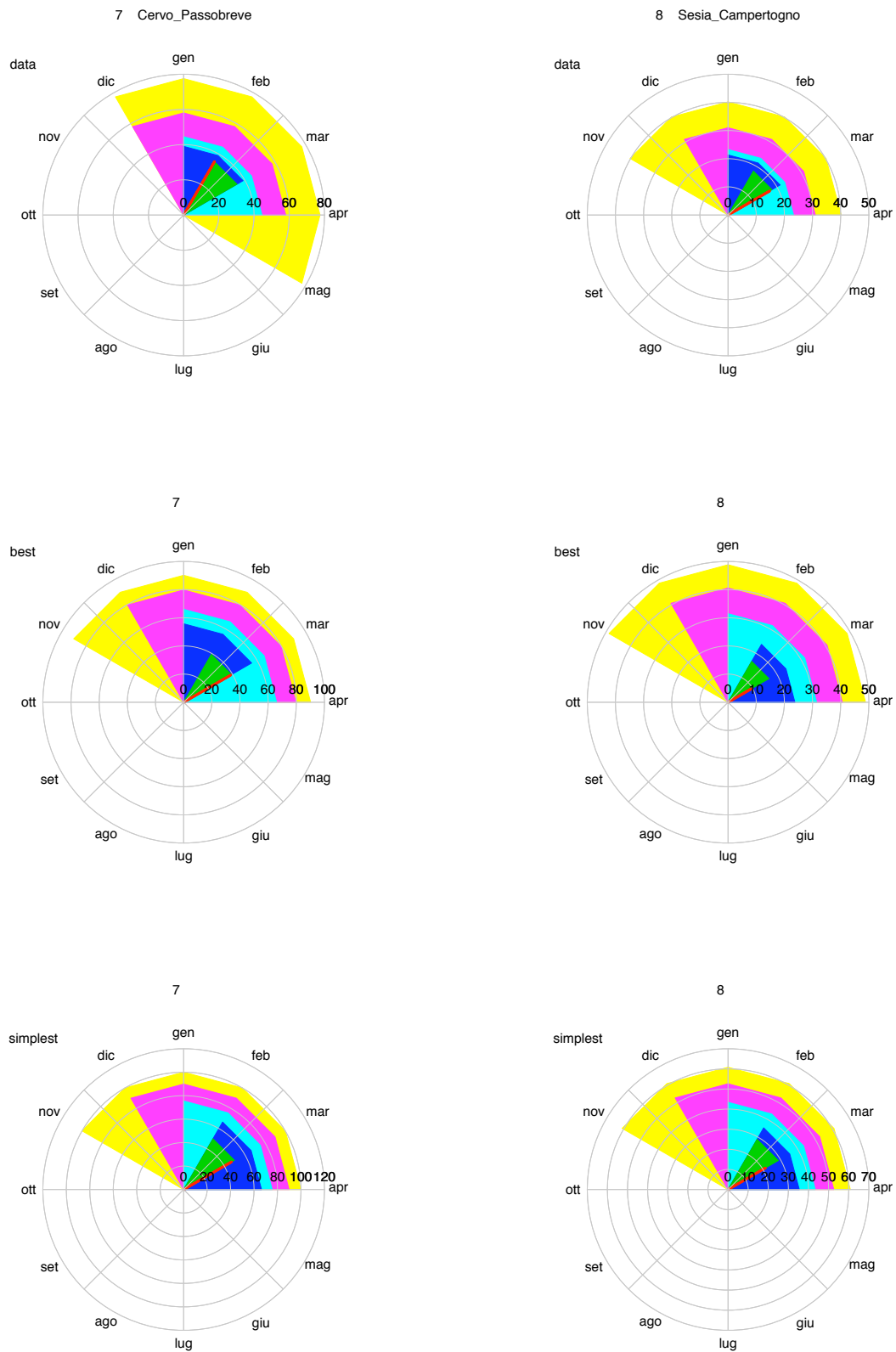


Figura F.16: Confronto nell'individuazione dei minimi mensili, bimestrali, ..., semestrali, tra il modello più completo (Equazioni 6.7 e 7.9) e quello più semplice (Equazioni 6.8 e 7.10). (4/24)

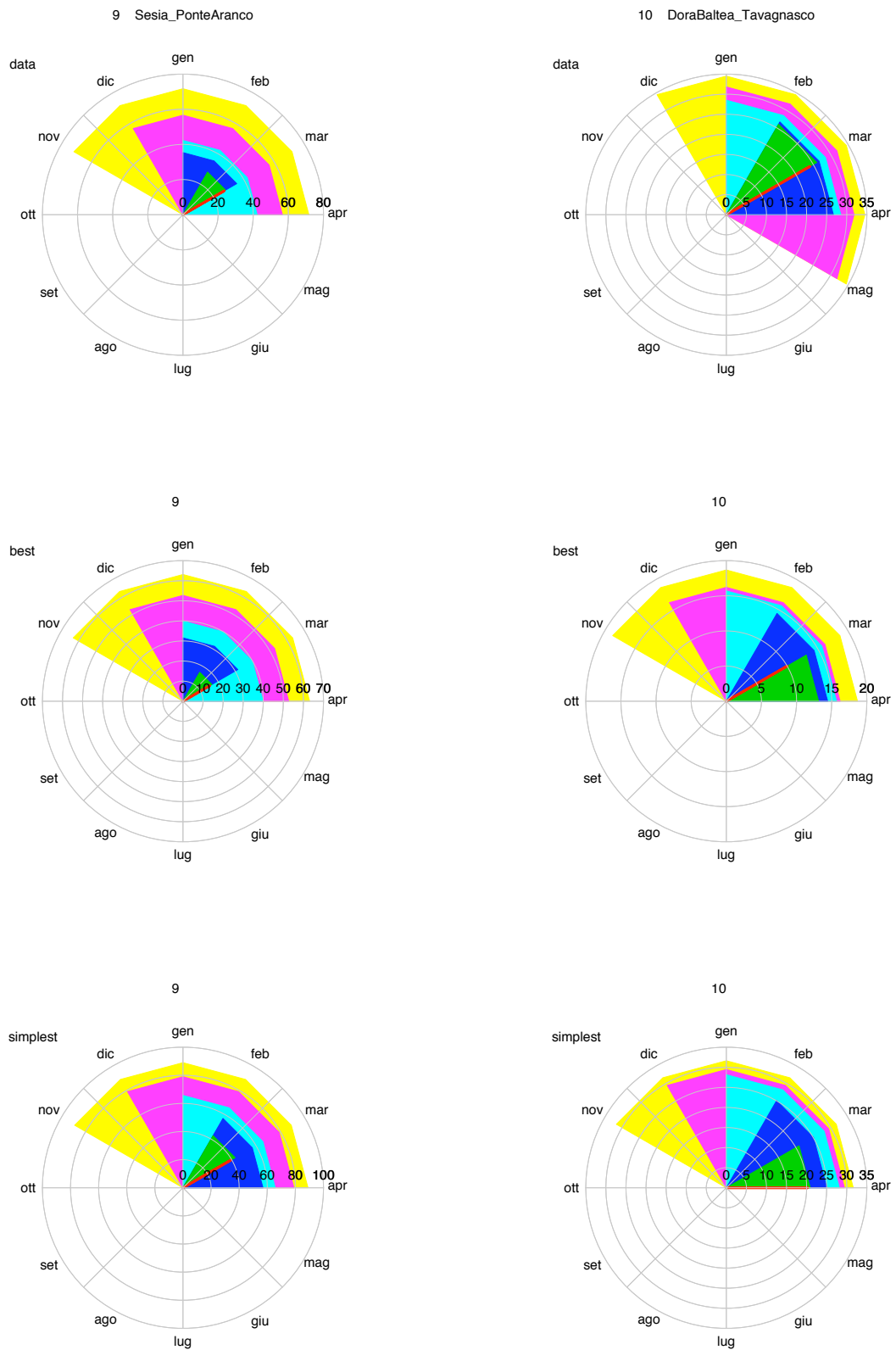


Figura F.16: Confronto nell'individuazione dei minimi mensili, bimestrali, ..., semestrali, tra il modello più completo (Equazioni 6.7 e 7.9) e quello più semplice (Equazioni 6.8 e 7.10). (5/24)

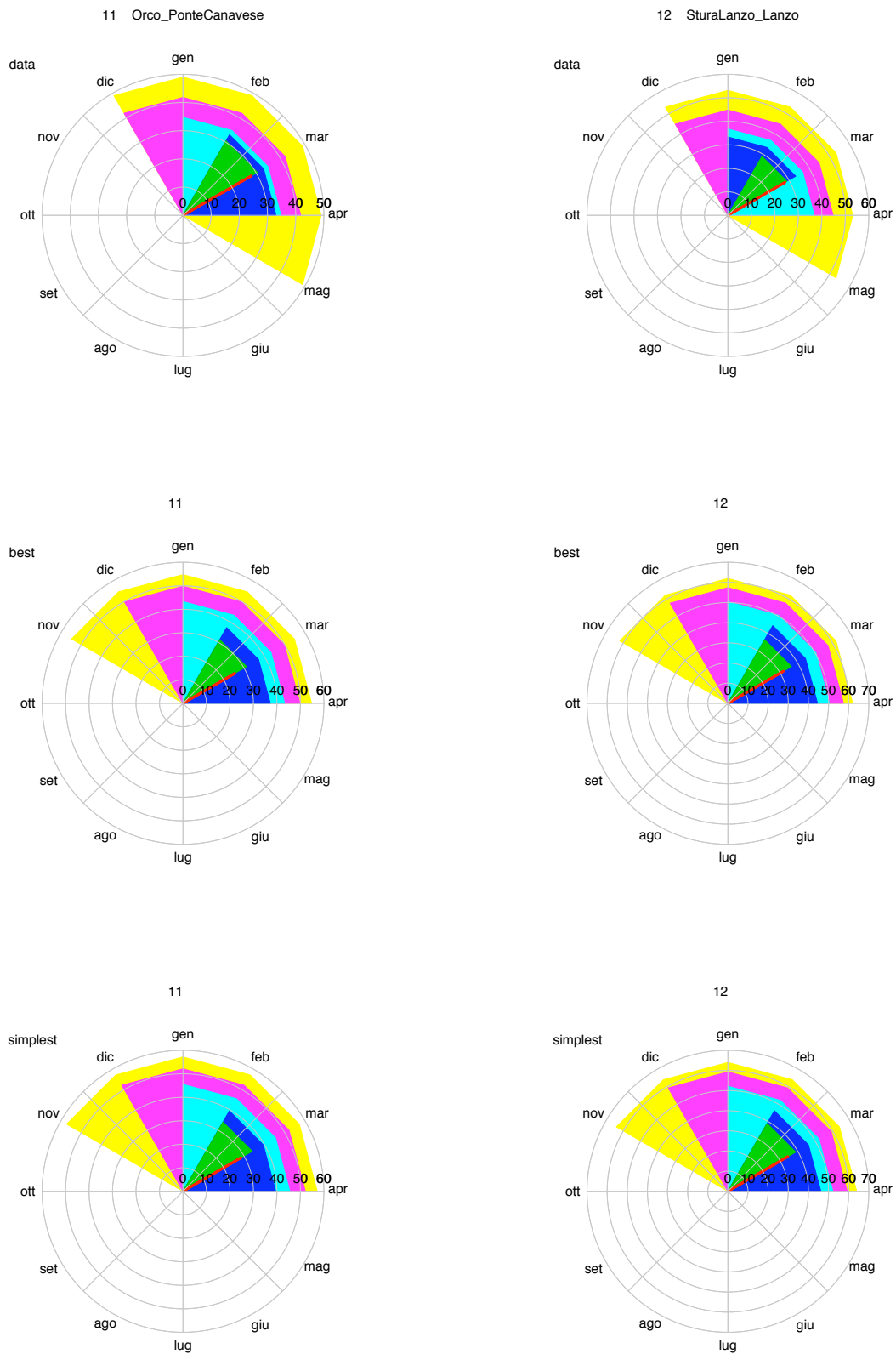


Figura F.16: Confronto nell'individuazione dei minimi mensili, bimestrali, ..., semestrali, tra il modello più completo (Equazioni 6.7 e 7.9) e quello più semplice (Equazioni 6.8 e 7.10). (6/24)

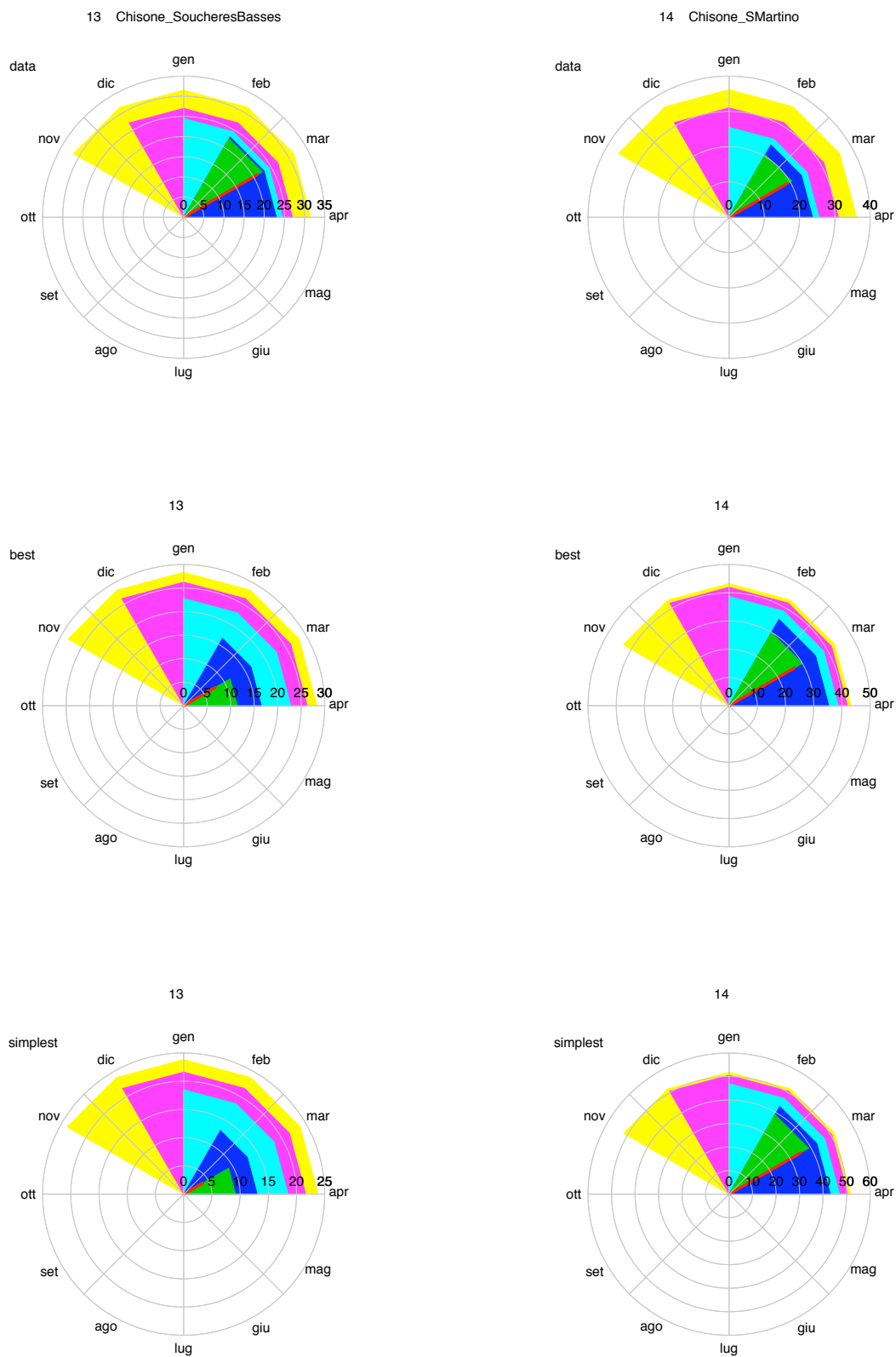


Figura F.16: Confronto nell'individuazione dei minimi mensili, bimestrali, ..., semestrali, tra il modello più completo (Equazioni 6.7 e 7.9) e quello più semplice (Equazioni 6.8 e 7.10). (7/24)

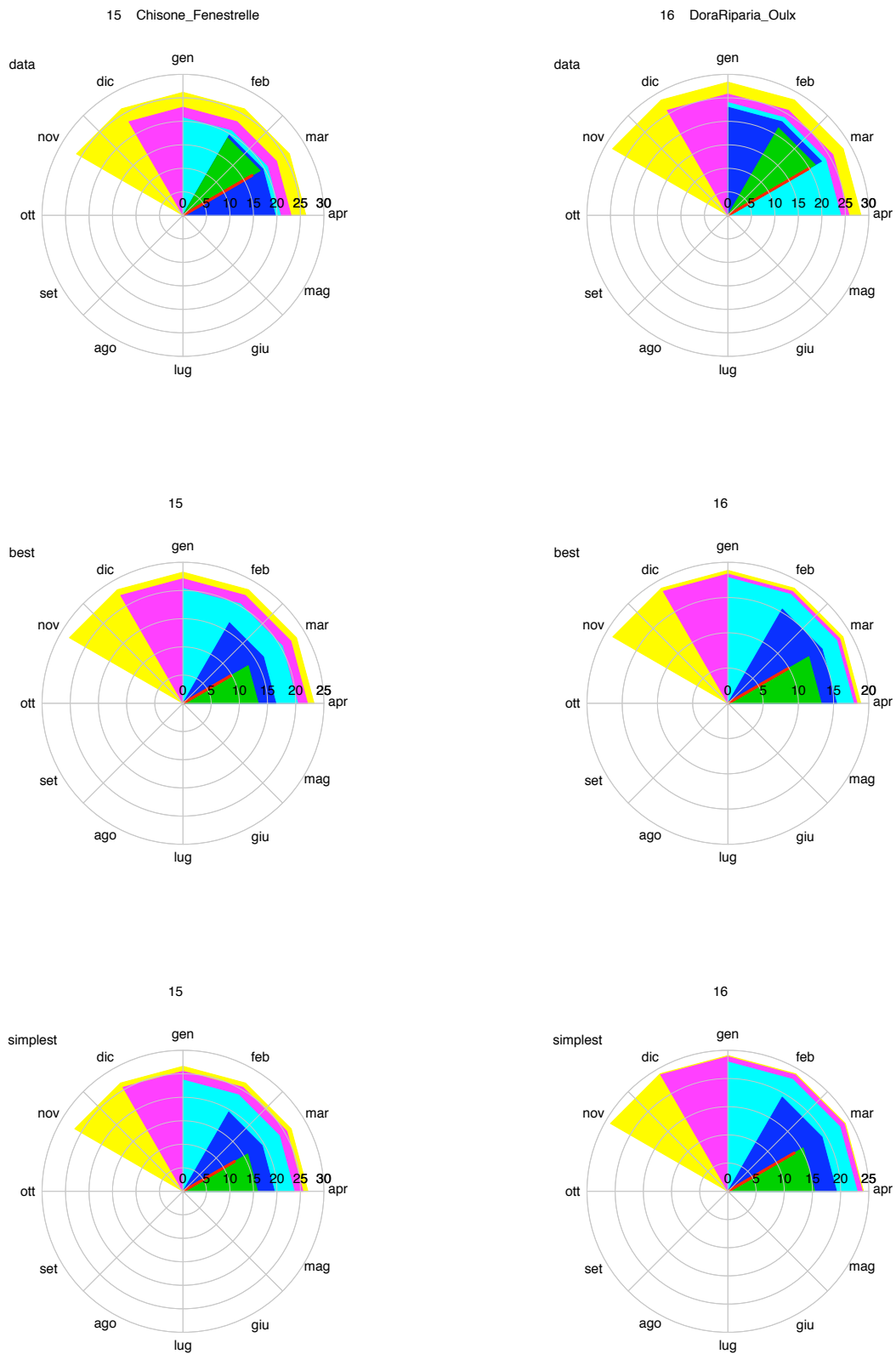


Figura F.16: Confronto nell'individuazione dei minimi mensili, bimestrali, ..., semestrali, tra il modello più completo (Equazioni 6.7 e 7.9) e quello più semplice (Equazioni 6.8 e 7.10). (8/24)

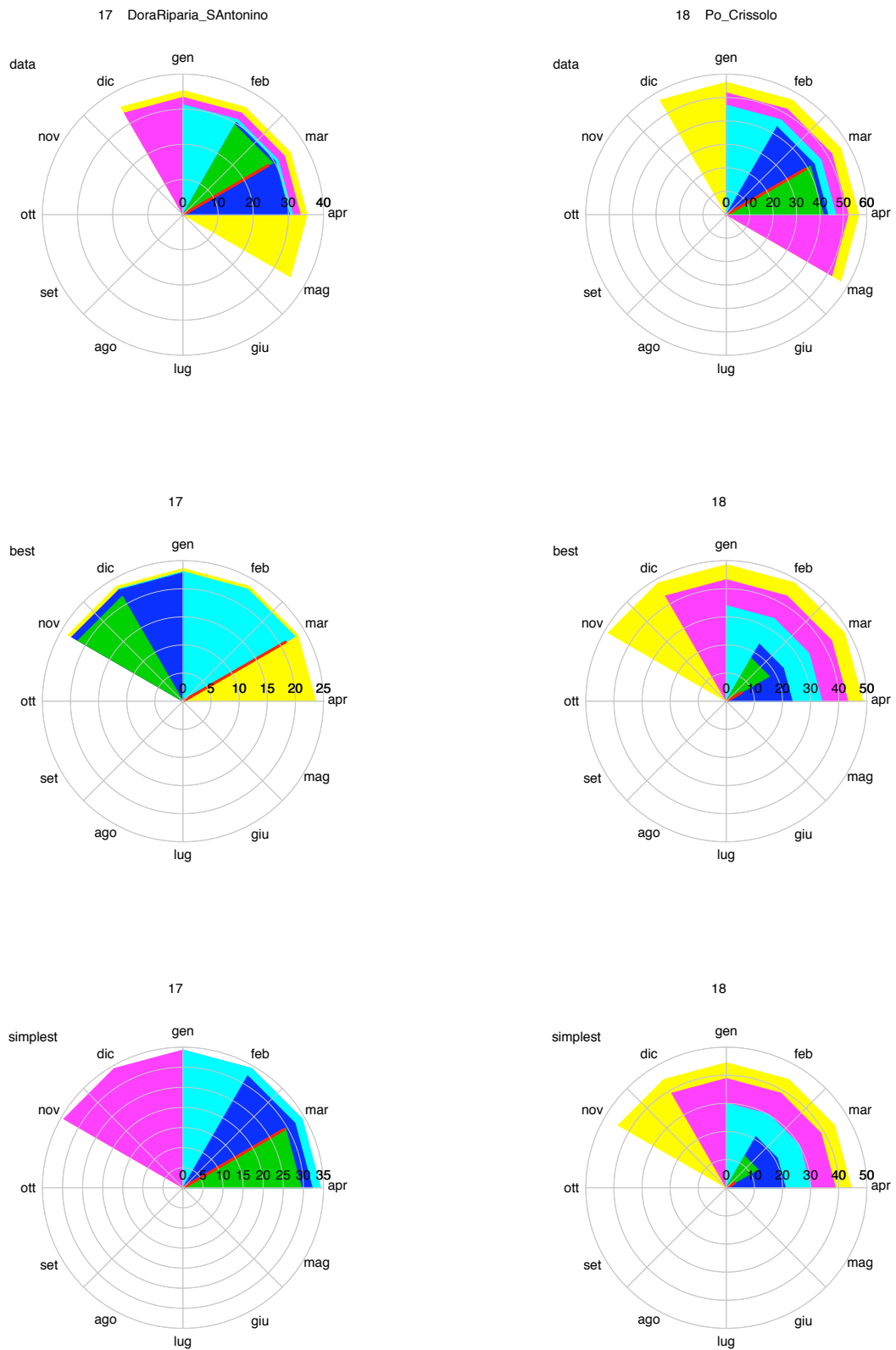


Figura F.16: Confronto nell'individuazione dei minimi mensili, bimestrali, ..., semestrali, tra il modello più completo (Equazioni 6.7 e 7.9) e quello più semplice (Equazioni 6.8 e 7.10). (9/24)

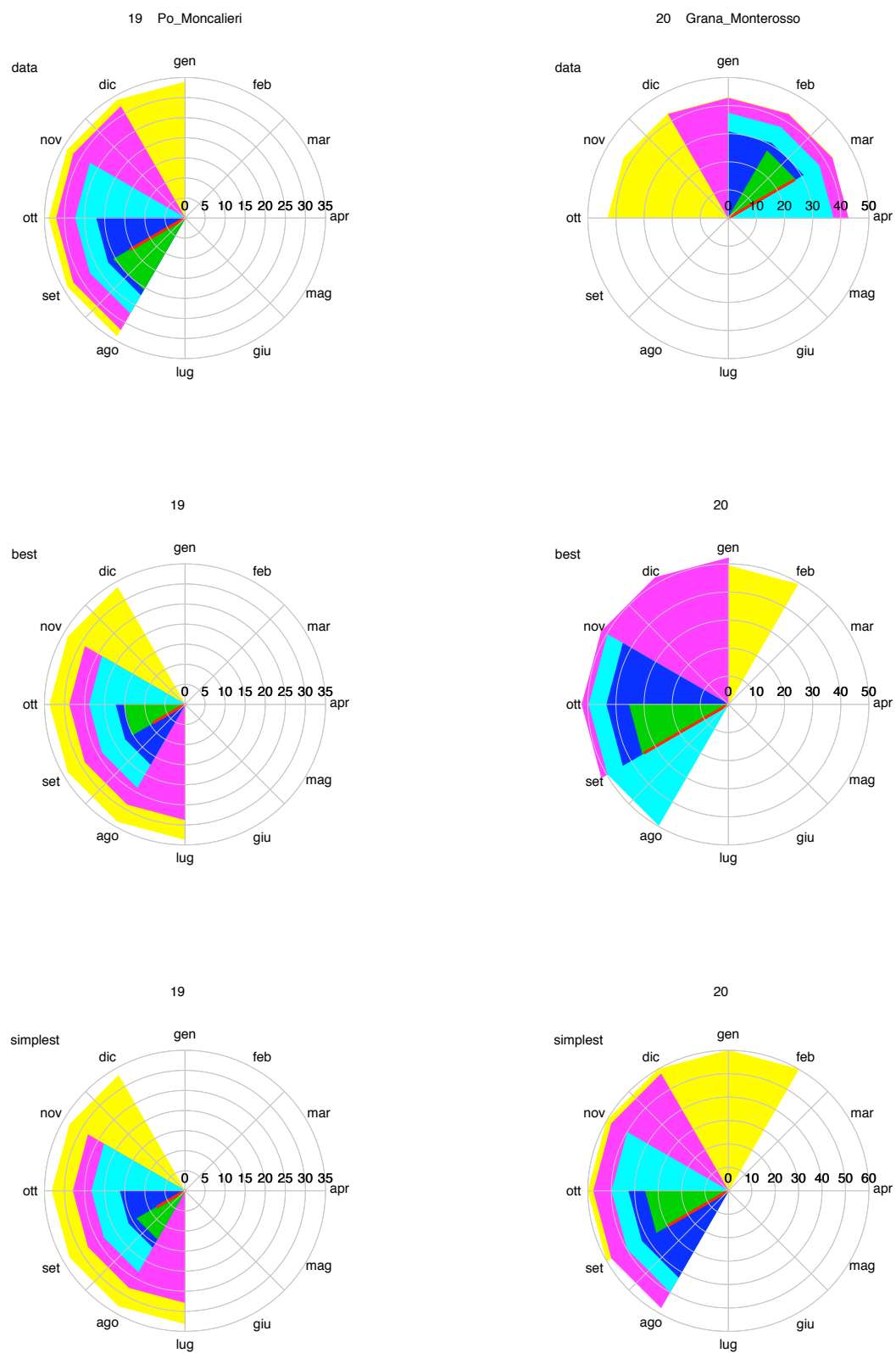


Figura F.16: Confronto nell'individuazione dei minimi mensili, bimestrali, ..., semestrali, tra il modello più completo (Equazioni 6.7 e 7.9) e quello più semplice (Equazioni 6.8 e 7.10). (10/24)

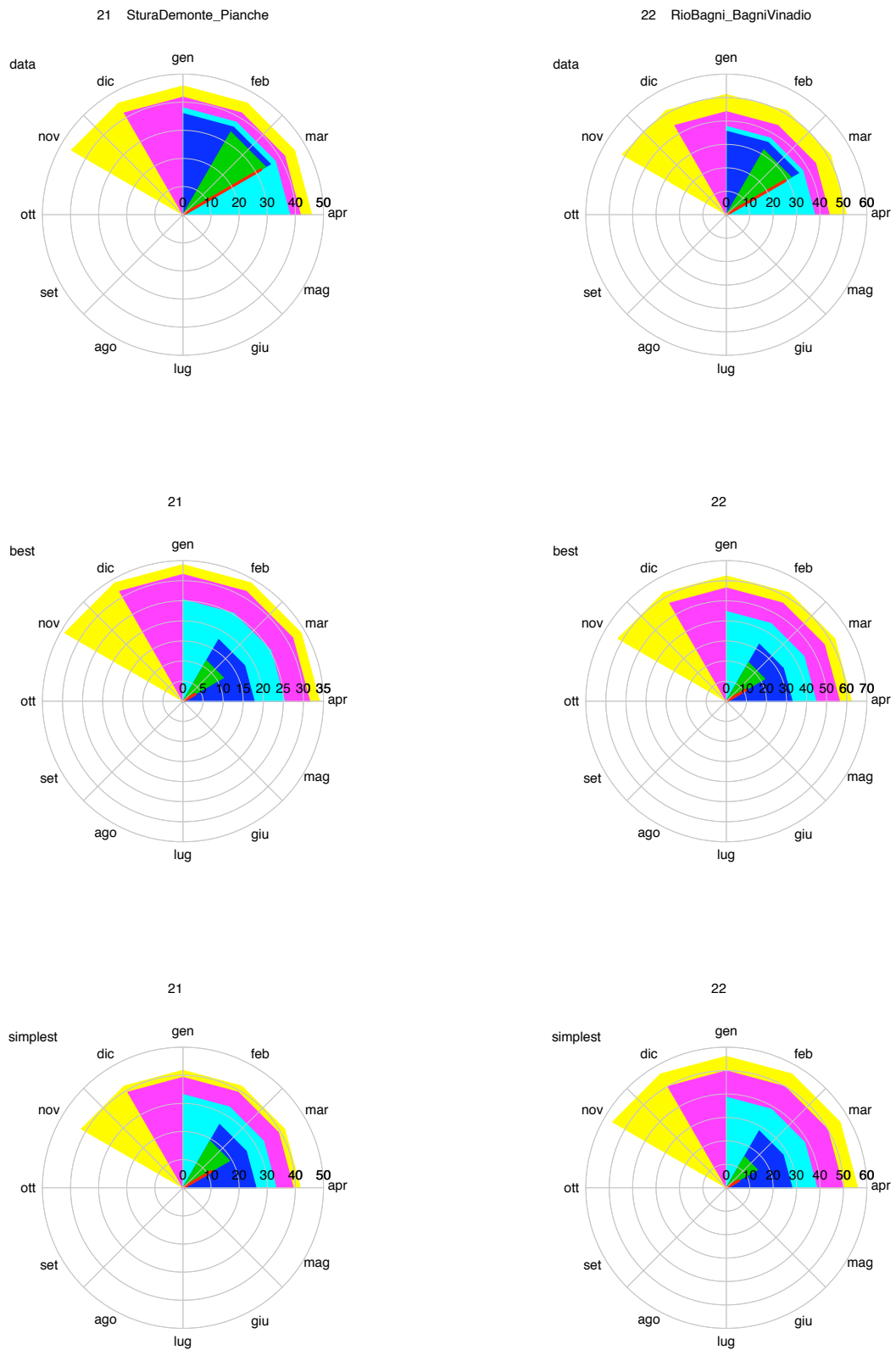


Figura F.16: Confronto nell'individuazione dei minimi mensili, bimestrali, ..., semestrali, tra il modello più completo (Equazioni 6.7 e 7.9) e quello più semplice (Equazioni 6.8 e 7.10). (11/24)

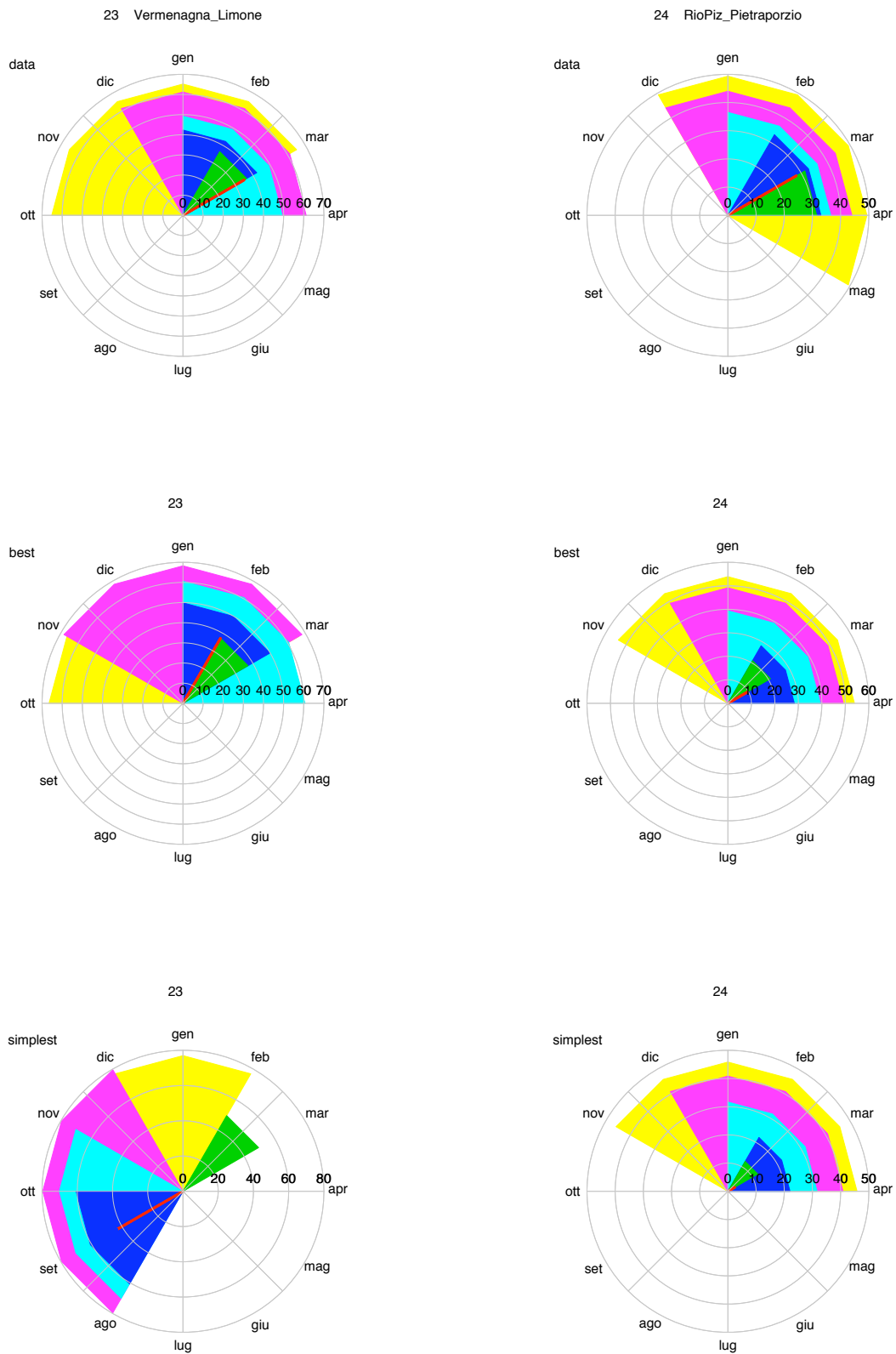


Figura F.16: Confronto nell'individuazione dei minimi mensili, bimestrali, ..., semestrali, tra il modello più completo (Equazioni 6.7 e 7.9) e quello più semplice (Equazioni 6.8 e 7.10). (12/24)

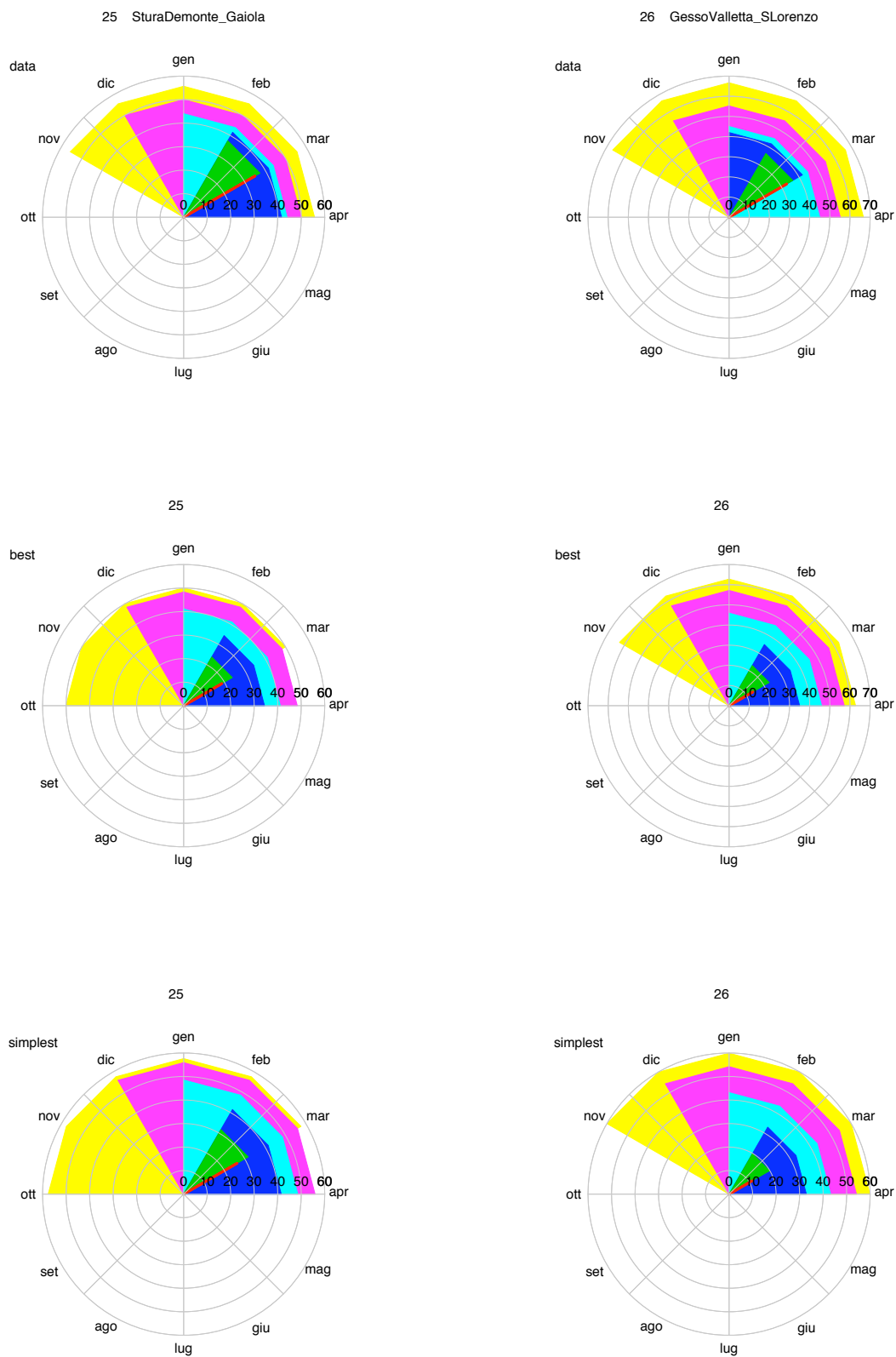


Figura F.16: Confronto nell'individuazione dei minimi mensili, bimestrali, ..., semestrali, tra il modello più completo (Equazioni 6.7 e 7.9) e quello più semplice (Equazioni 6.8 e 7.10). (13/24)

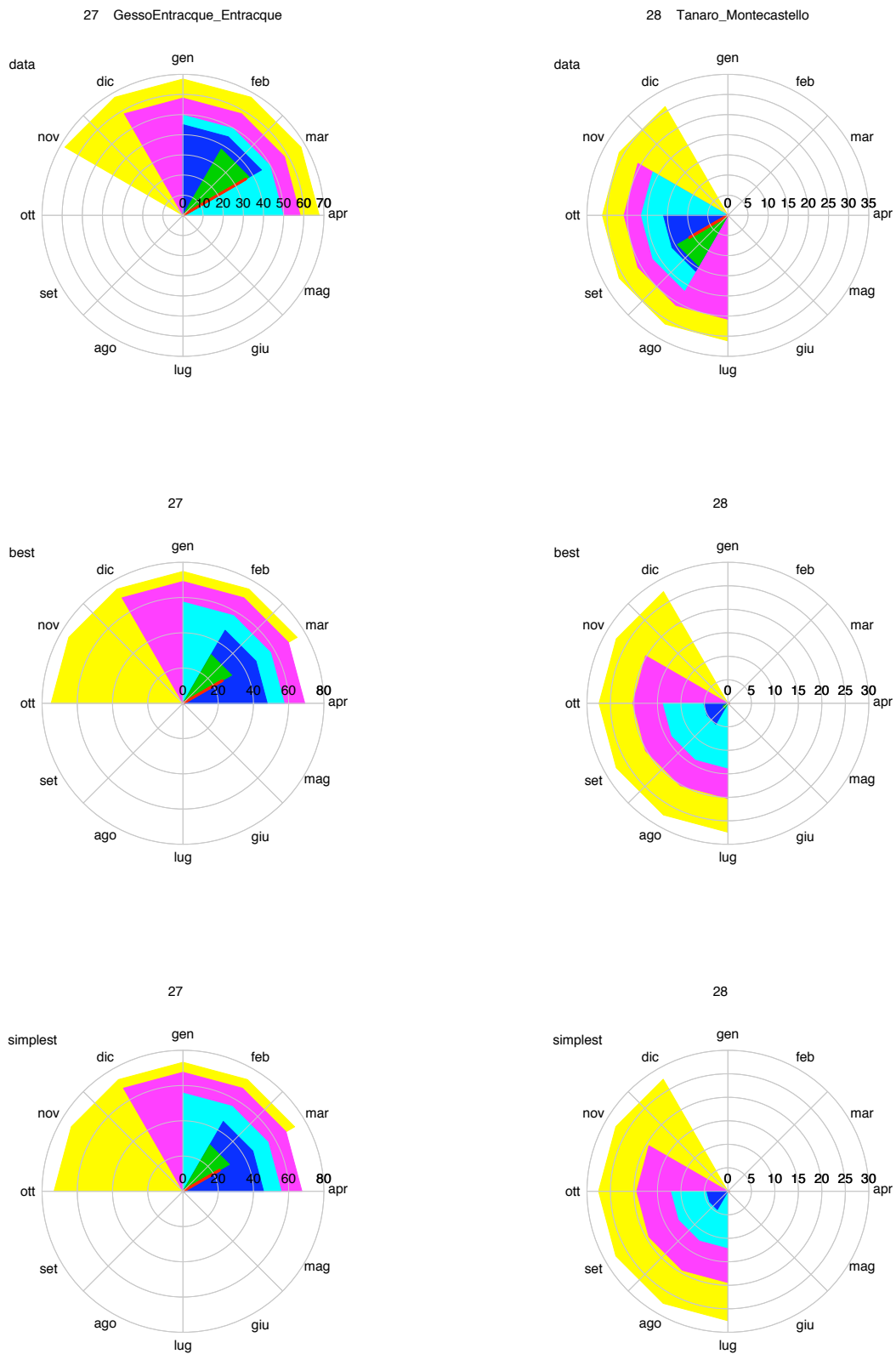


Figura F.16: Confronto nell'individuazione dei minimi mensili, bimestrali, ..., semestrali, tra il modello più completo (Equazioni 6.7 e 7.9) e quello più semplice (Equazioni 6.8 e 7.10). (14/24)

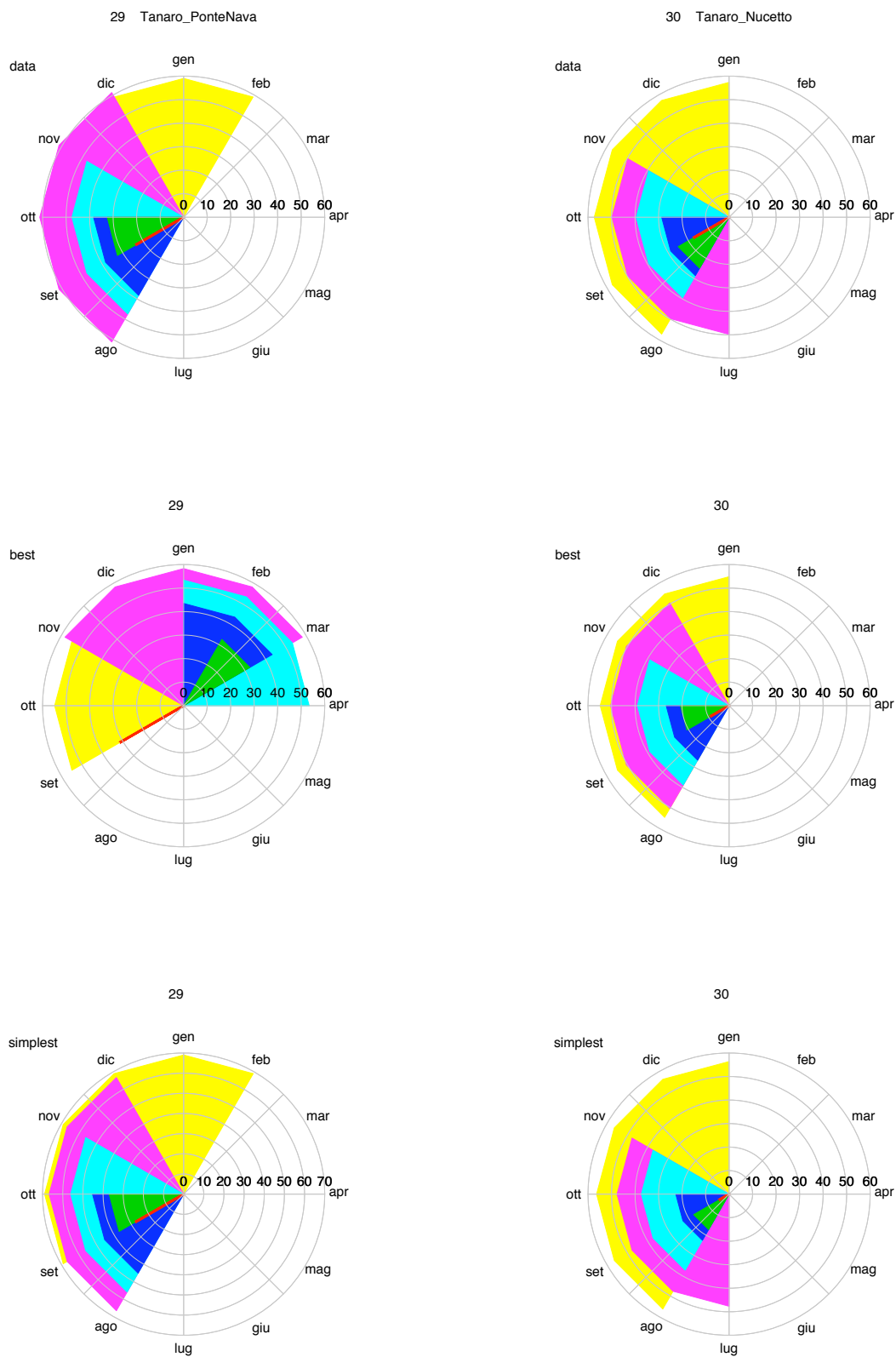


Figura F.16: Confronto nell'individuazione dei minimi mensili, bimestrali, ..., semestrali, tra il modello più completo (Equazioni 6.7 e 7.9) e quello più semplice (Equazioni 6.8 e 7.10). (15/24)

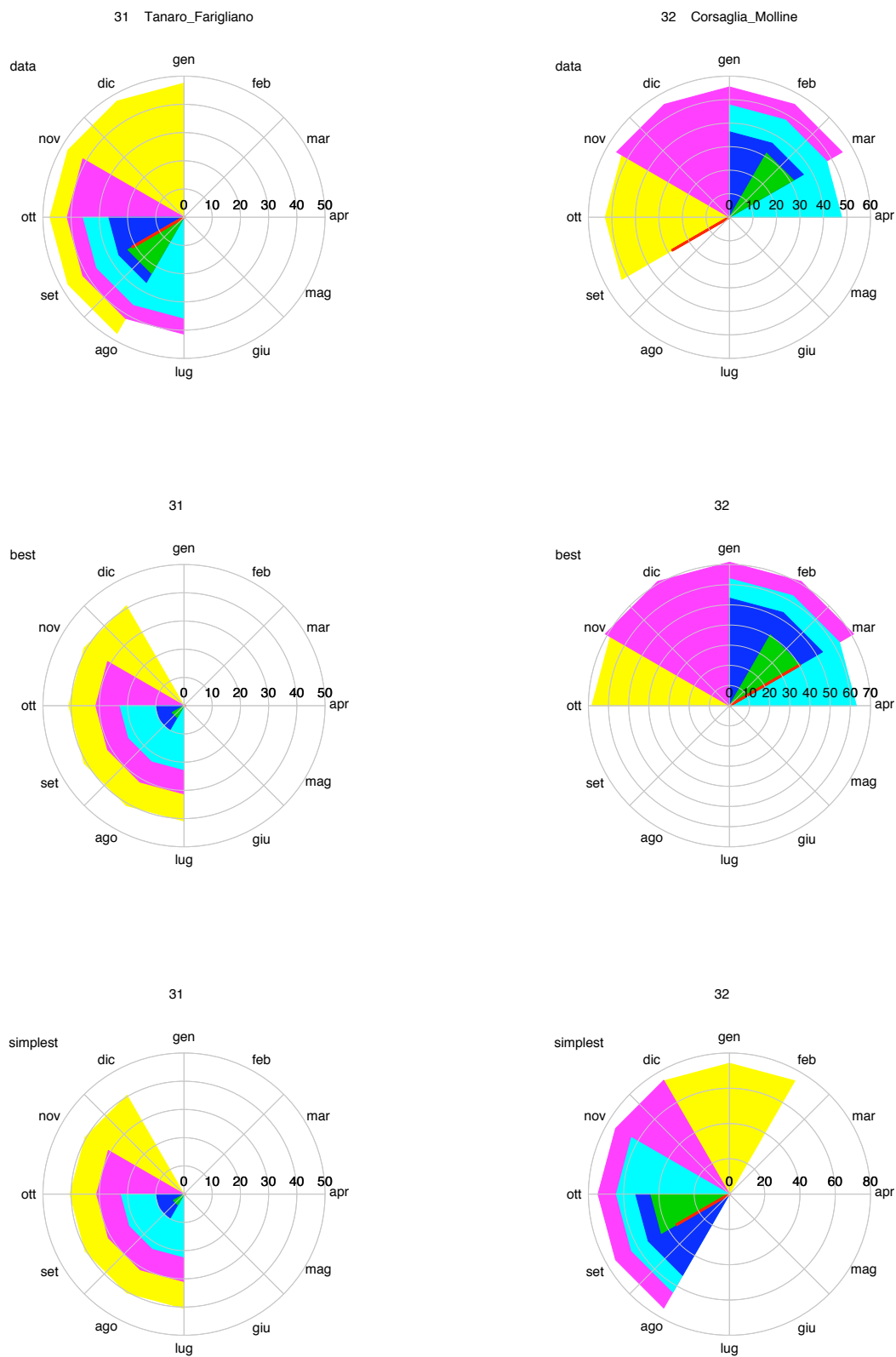


Figura F.16: Confronto nell'individuazione dei minimi mensili, bimestrali, ..., semestrali, tra il modello più completo (Equazioni 6.7 e 7.9) e quello più semplice (Equazioni 6.8 e 7.10). (16/24)

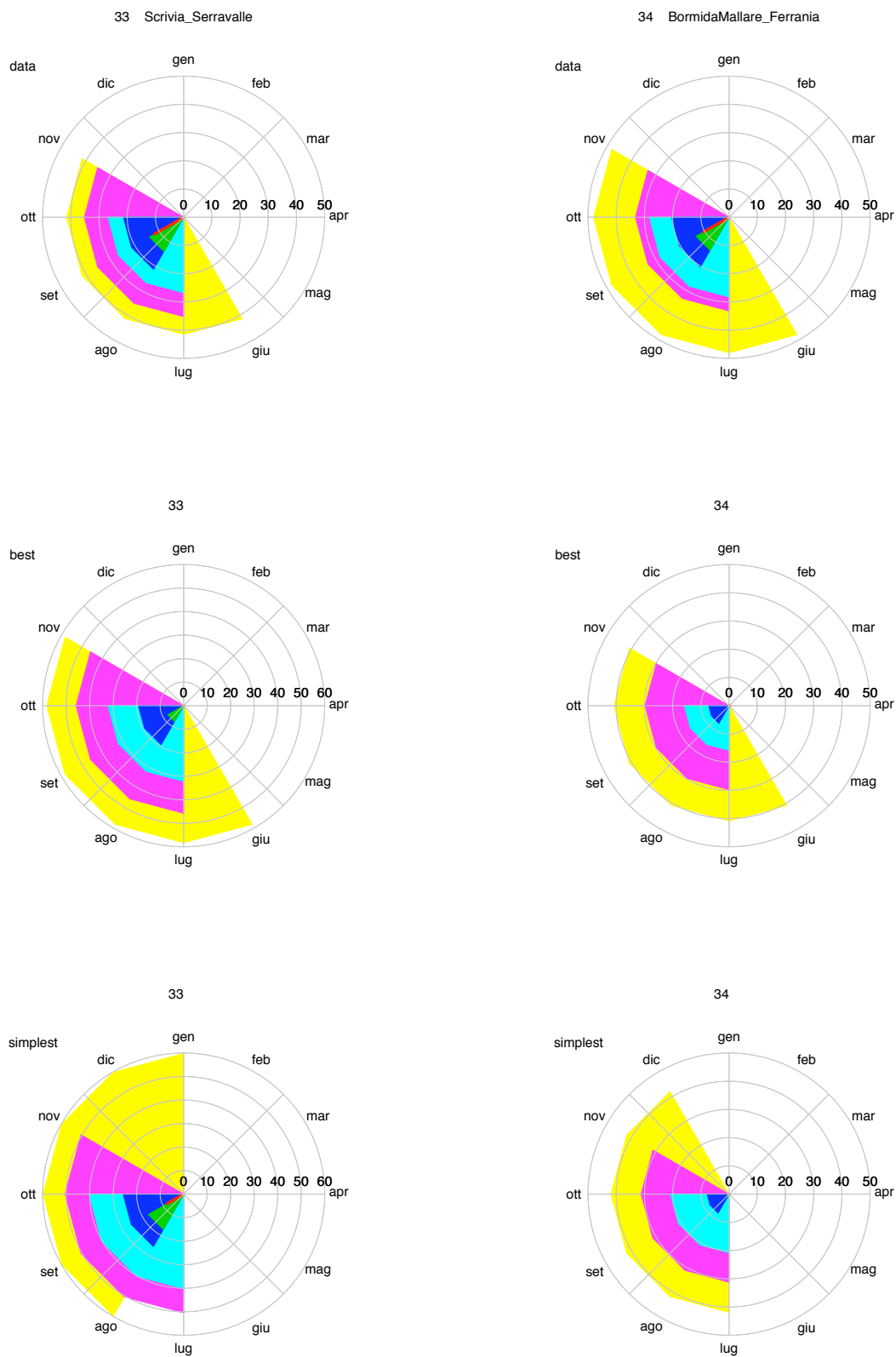


Figura F.16: Confronto nell'individuazione dei minimi mensili, bimestrali, ..., semestrali, tra il modello più completo (Equazioni 6.7 e 7.9) e quello più semplice (Equazioni 6.8 e 7.10). (17/24)

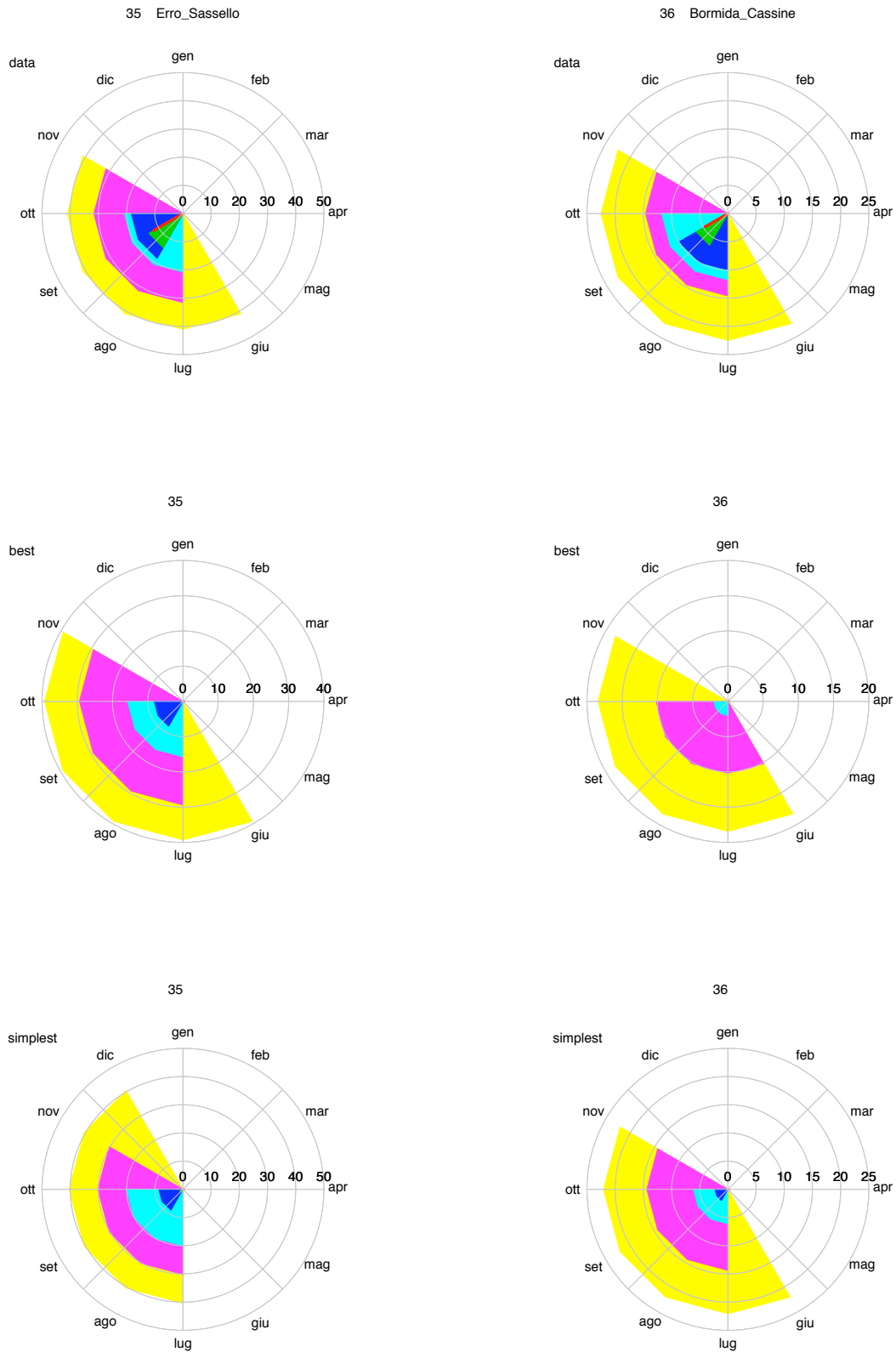


Figura F.16: Confronto nell'individuazione dei minimi mensili, bimestrali, ..., semestrali, tra il modello più completo (Equazioni 6.7 e 7.9) e quello più semplice (Equazioni 6.8 e 7.10). (18/24)

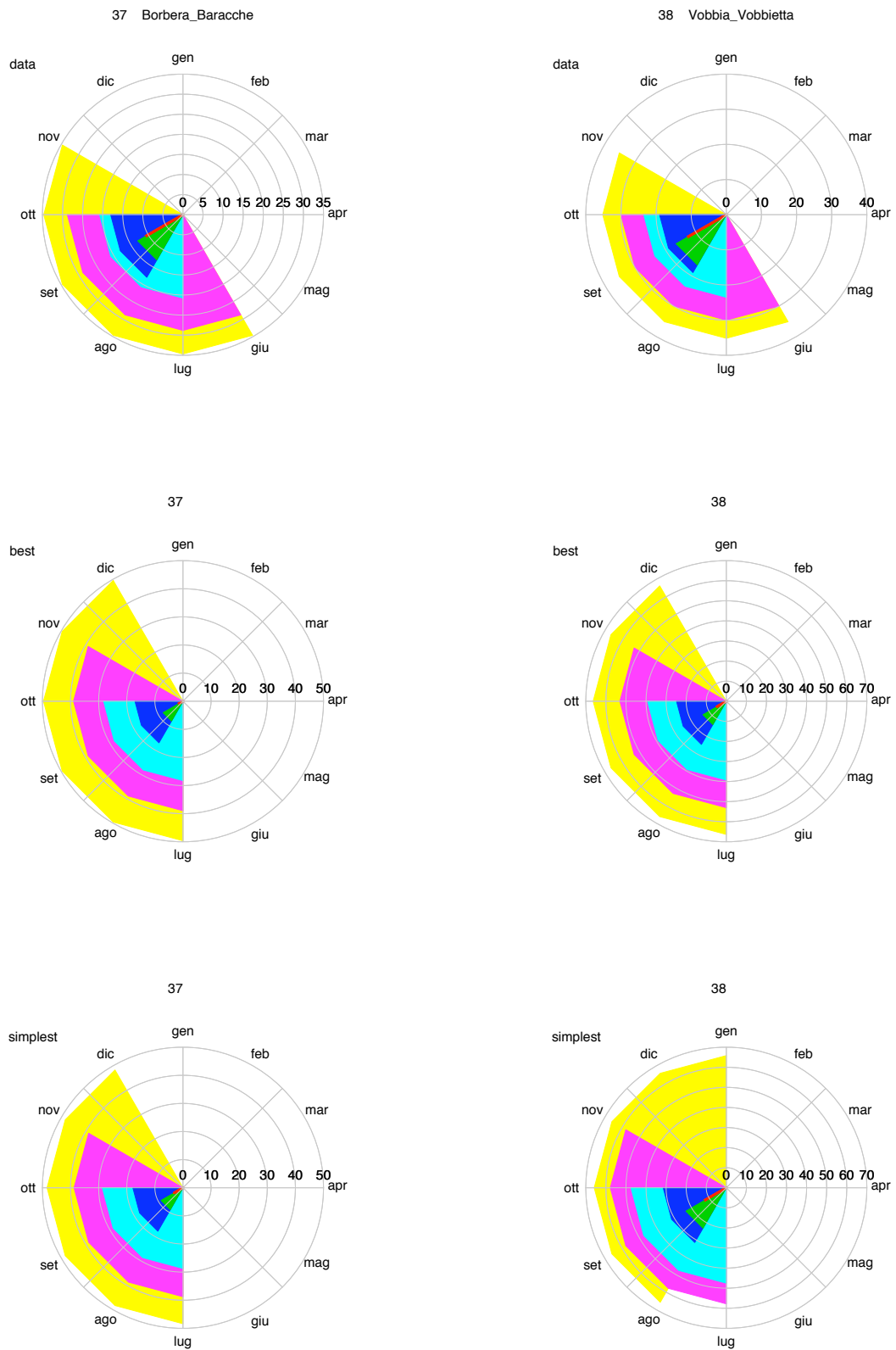


Figura F.16: Confronto nell'individuazione dei minimi mensili, bimestrali, ..., semestrali, tra il modello più completo (Equazioni 6.7 e 7.9) e quello più semplice (Equazioni 6.8 e 7.10). (19/24)

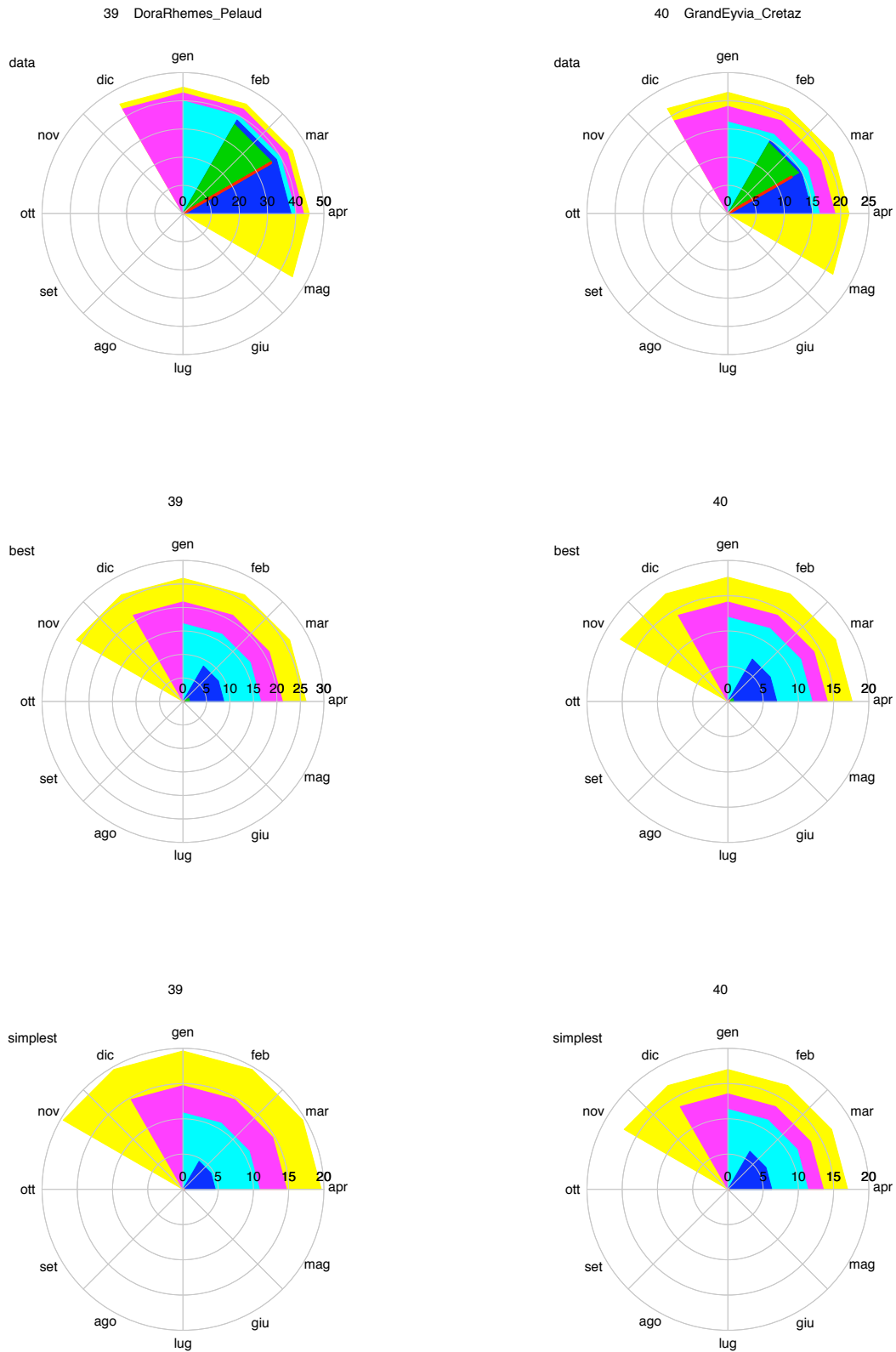


Figura F.16: Confronto nell'individuazione dei minimi mensili, bimestrali, ..., semestrali, tra il modello più completo (Equazioni 6.7 e 7.9) e quello più semplice (Equazioni 6.8 e 7.10). (20/24)

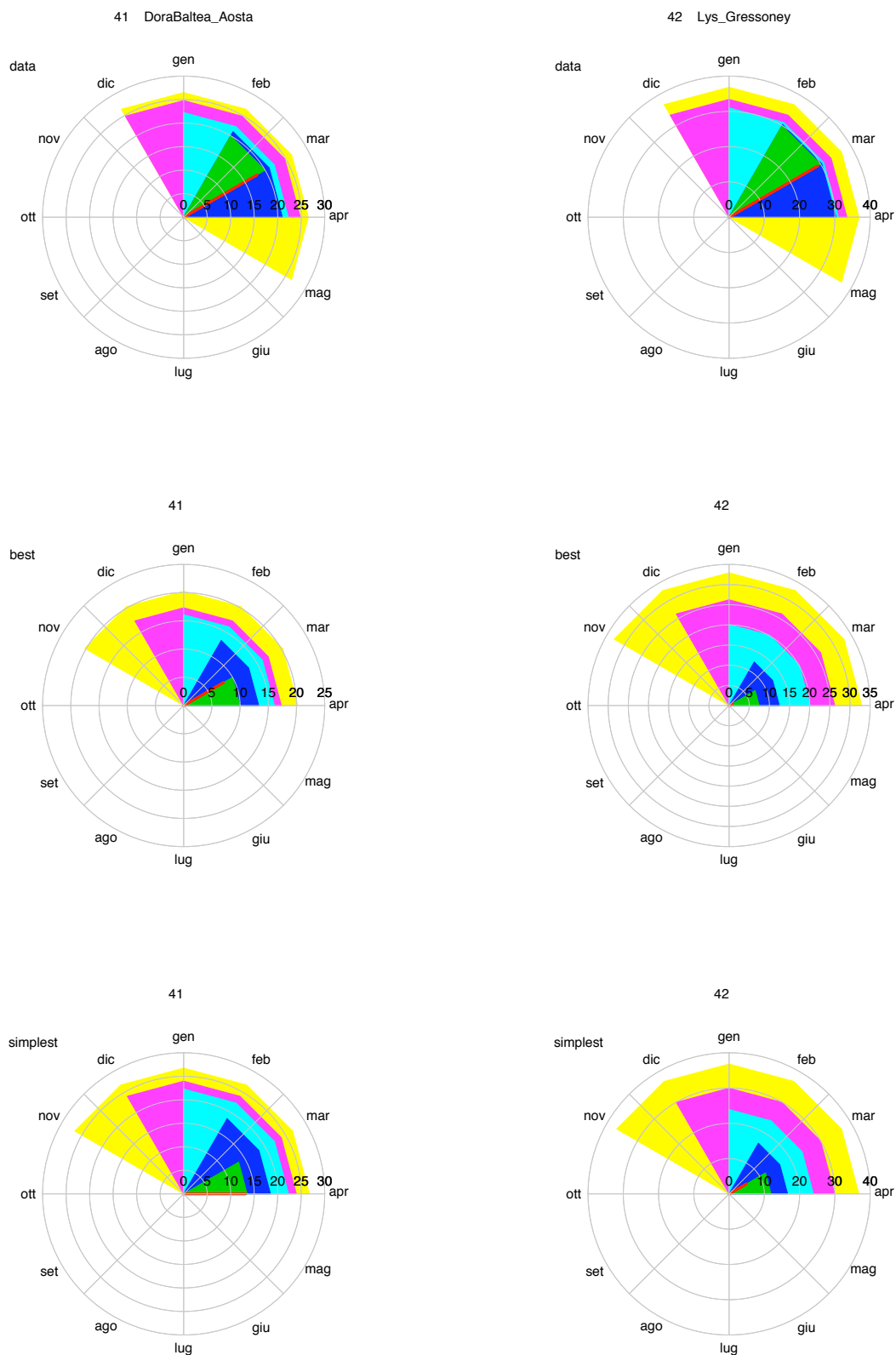


Figura F.16: Confronto nell'individuazione dei minimi mensili, bimestrali, ..., semestrali, tra il modello più completo (Equazioni 6.7 e 7.9) e quello più semplice (Equazioni 6.8 e 7.10). (21/24)

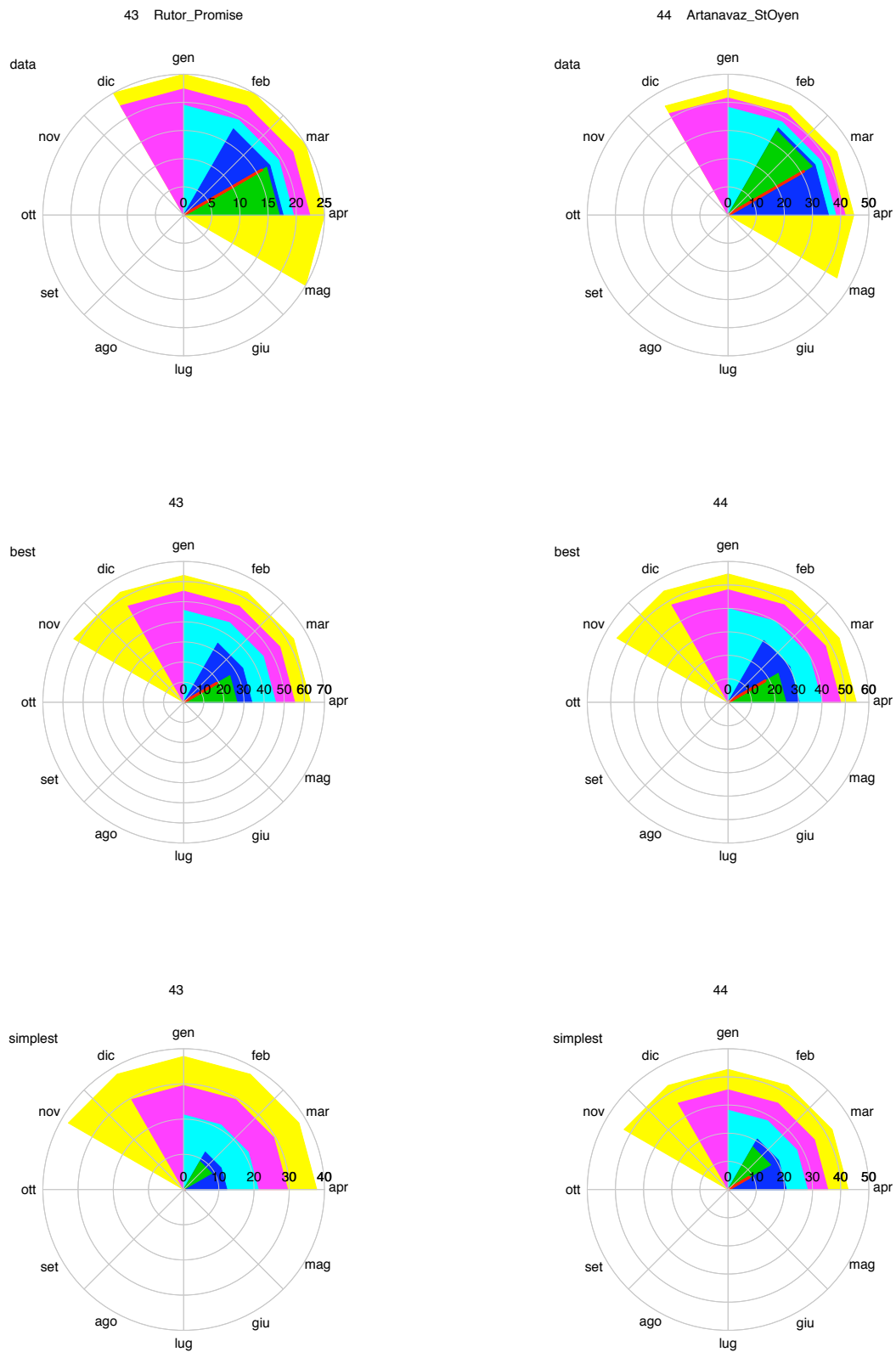


Figura F.16: Confronto nell'individuazione dei minimi mensili, bimestrali, ..., semestrali, tra il modello più completo (Equazioni 6.7 e 7.9) e quello più semplice (Equazioni 6.8 e 7.10). (22/24)

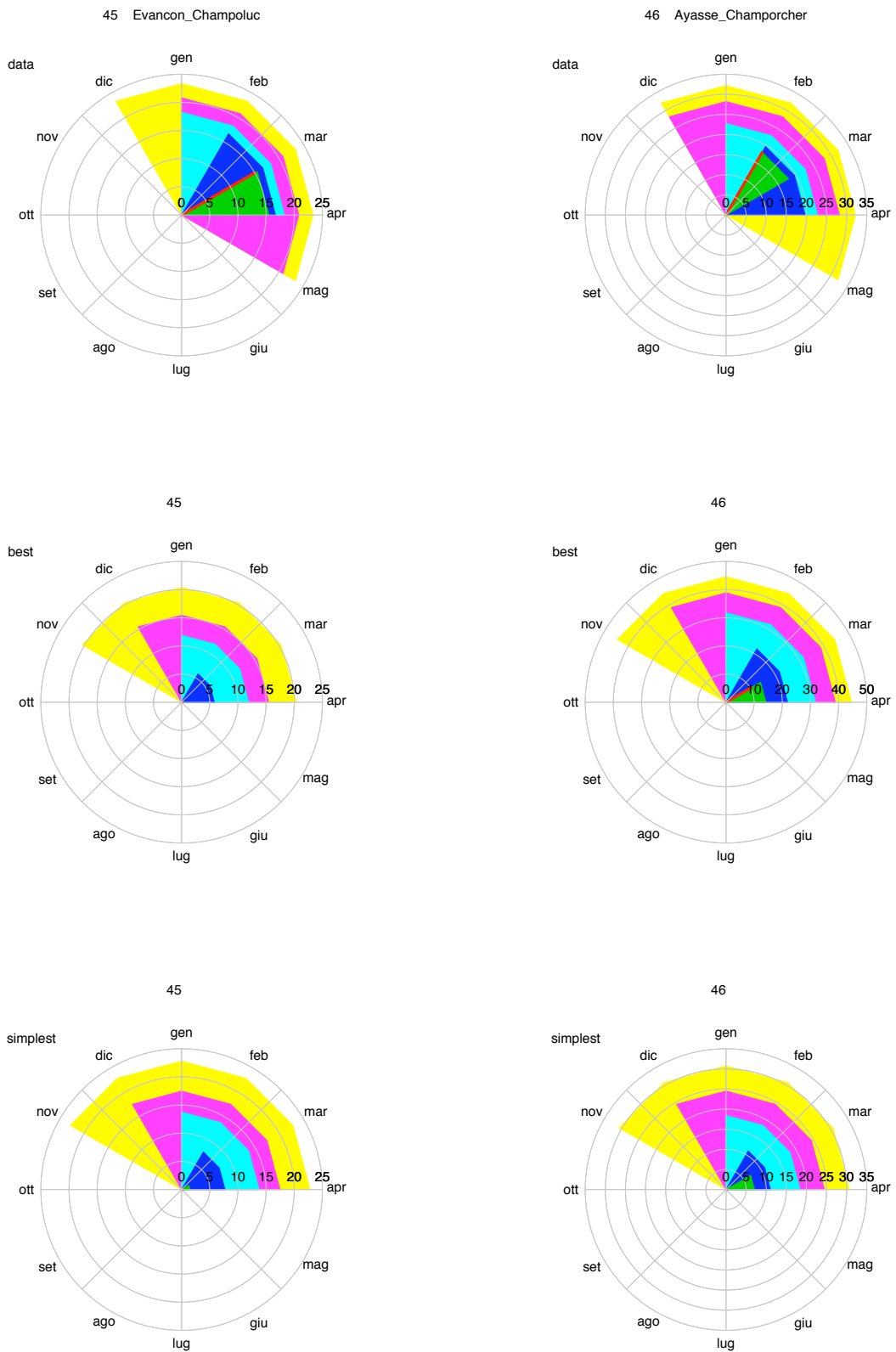


Figura F.16: Confronto nell'individuazione dei minimi mensili, bimestrali, ..., semestrali, tra il modello più completo (Equazioni 6.7 e 7.9) e quello più semplice (Equazioni 6.8 e 7.10). (23/24)

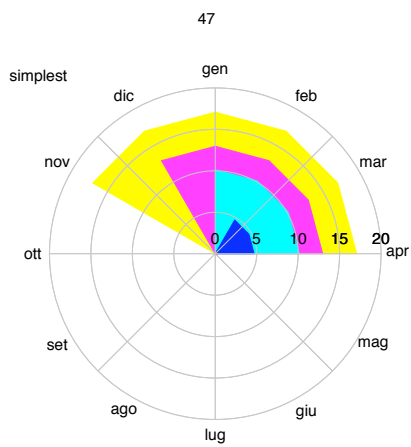
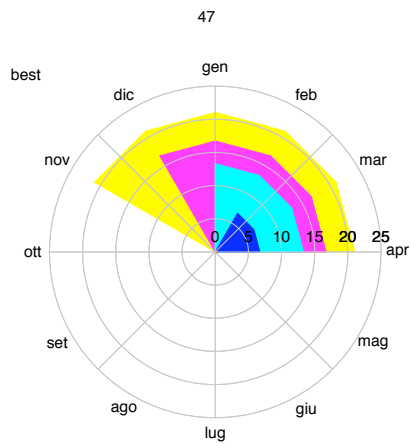
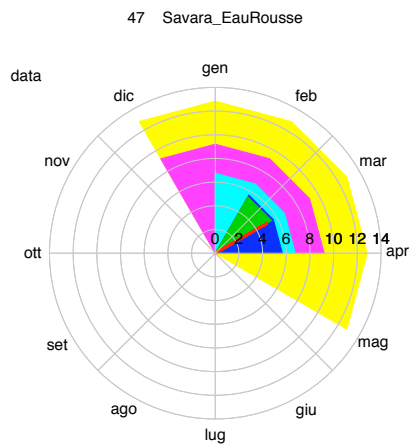


Figura F.16: Confronto nell'individuazione dei minimi mensili, bimestrali, ..., semestrali, tra il modello più completo (Equazioni 6.7 e 7.9) e quello più semplice (Equazioni 6.8 e 7.10). (24/24)

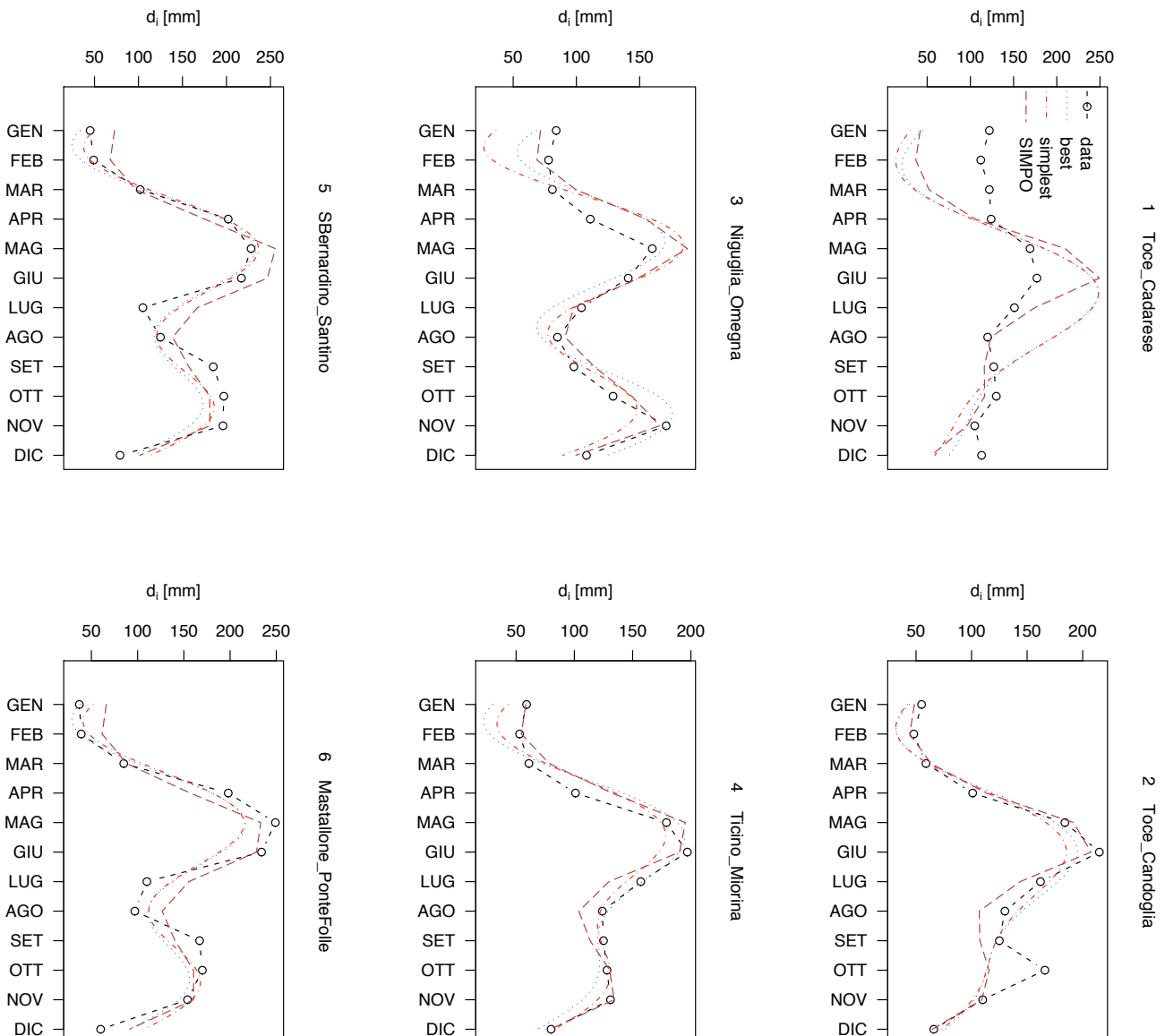


Figura F.17: Confronto tra il modello per la stima del regime idrometrico più completo (Equazioni 6.7 e 7.9), quello più semplice (Equazioni 6.8 e 7.10) e le formulazioni SIMPO (Equazioni 7.13 e 7.14), per i 47 bacini considerati. (1/8)

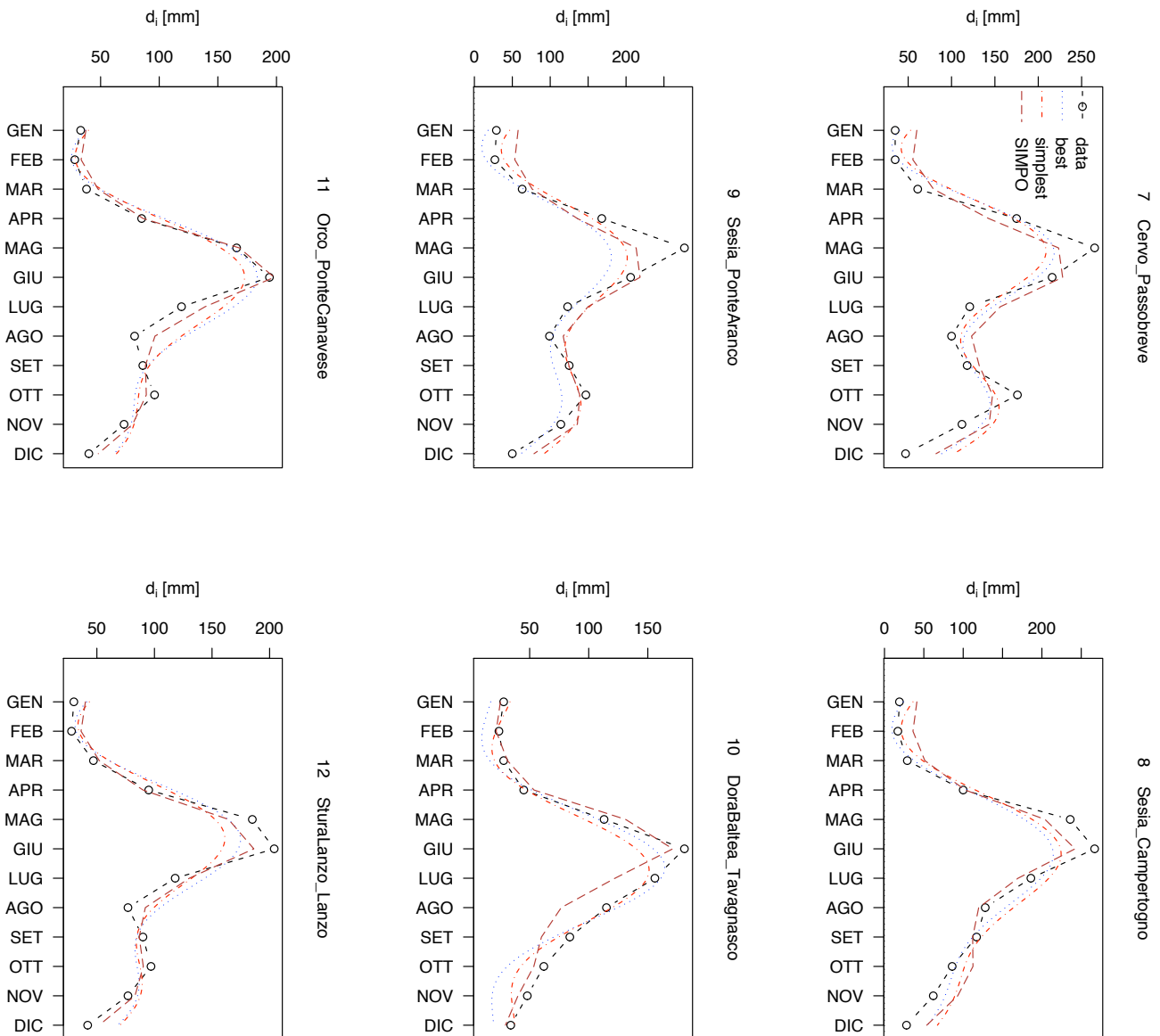


Figura F.17: Confronto tra il modello per la stima del regime idrometrico più completo (Equazioni 6.7 e 7.9), quello più semplice (Equazioni 6.8 e 7.10) e le formulazioni SIMPO (Equazioni 7.13 e 7.14), per i 47 bacini considerati. (2/8)

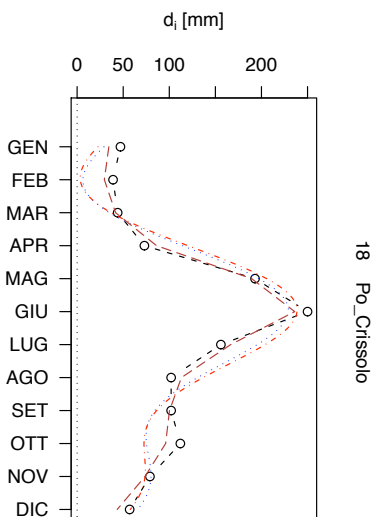
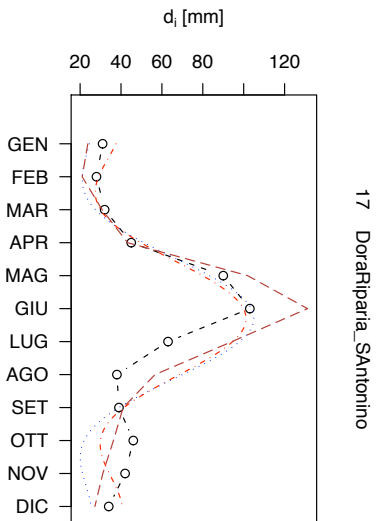
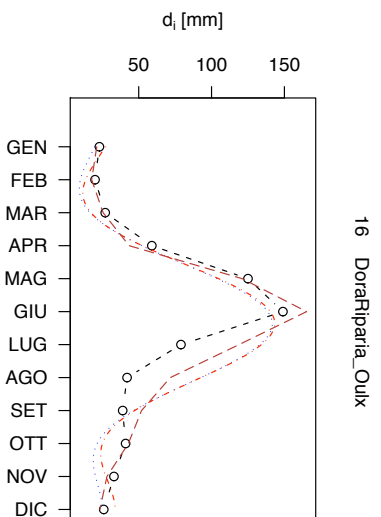
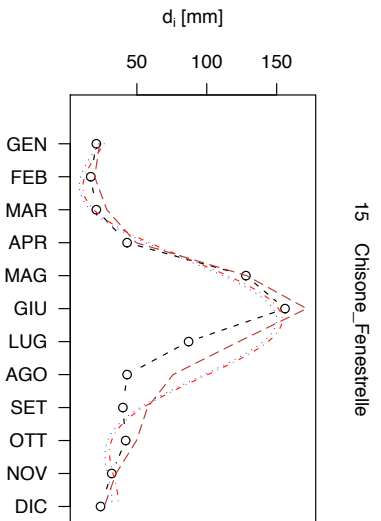
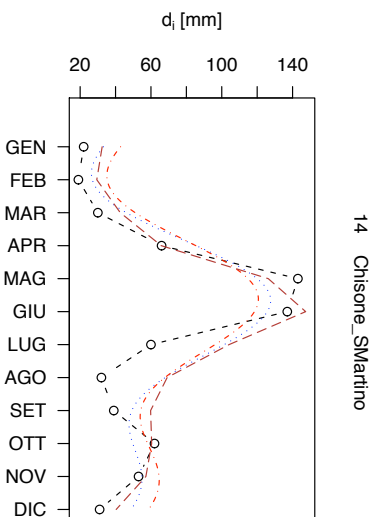
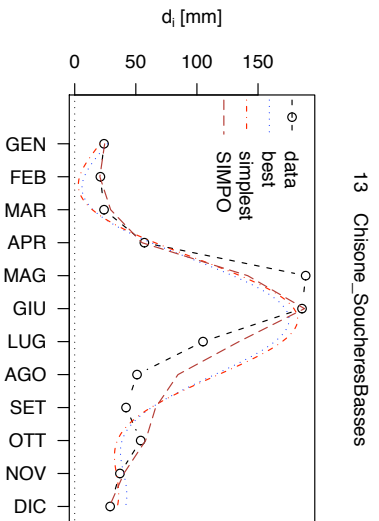


Figura F.17: Confronto tra il modello per la stima del regime idrometrico più completo (Equazioni 6.7 e 7.9), quello più semplice (Equazioni 6.8 e 7.10) e le formulazioni SIMPO (Equazioni 7.13 e 7.14), per i 47 bacini considerati. (3/8)

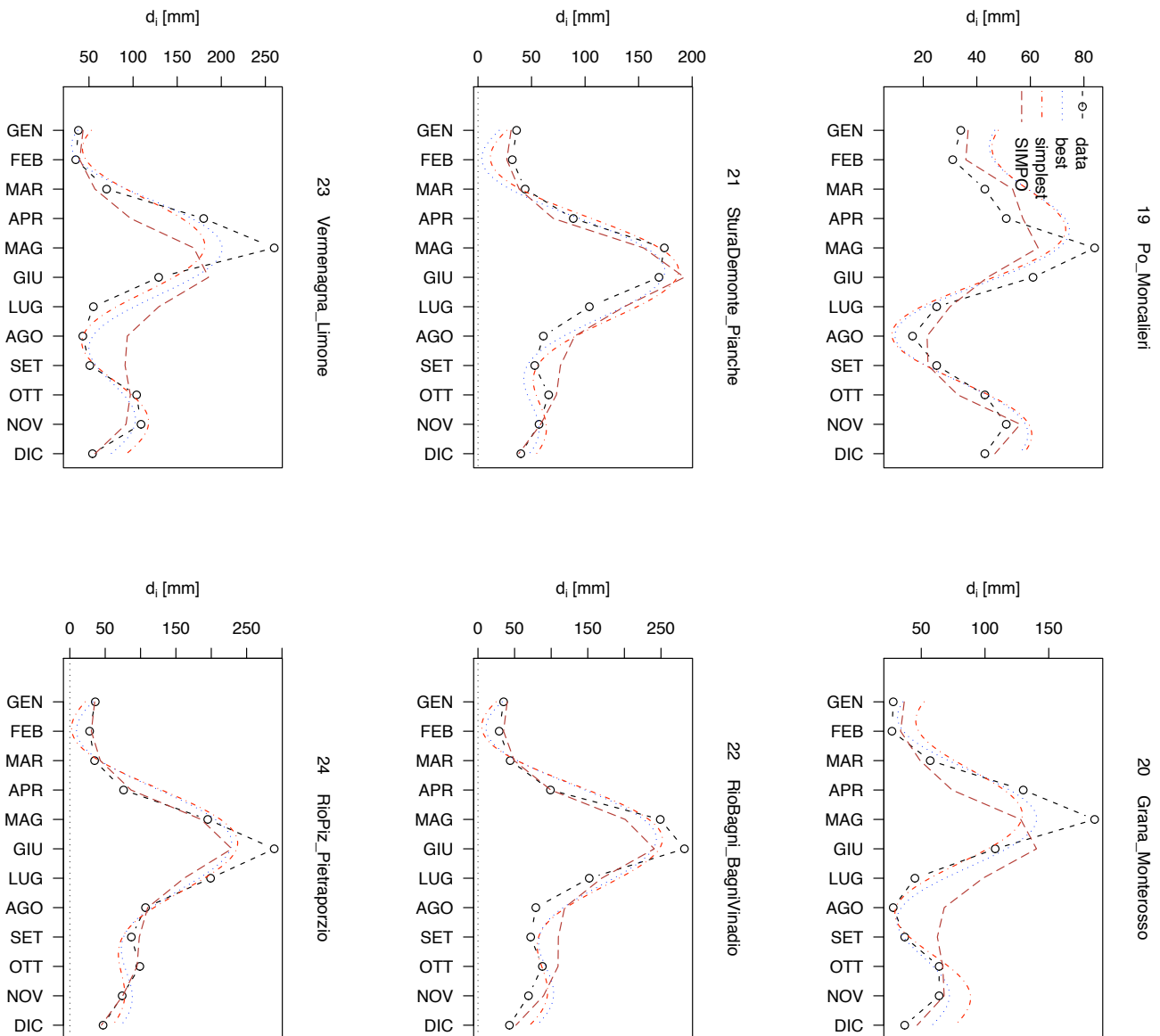


Figura F.17: Confronto tra il modello per la stima del regime idrometrico più completo (Equazioni 6.7 e 7.9), quello più semplice (Equazioni 6.8 e 7.10) e le formulazioni SIMPO (Equazioni 7.13 e 7.14), per i 47 bacini considerati. (4/8)

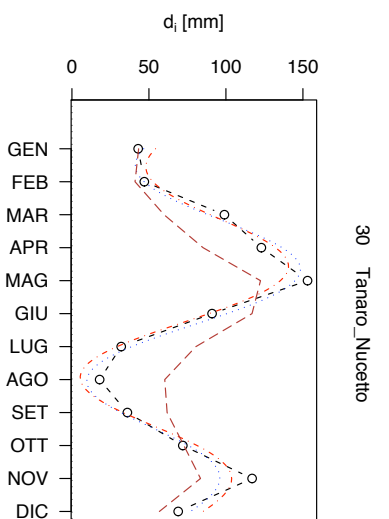
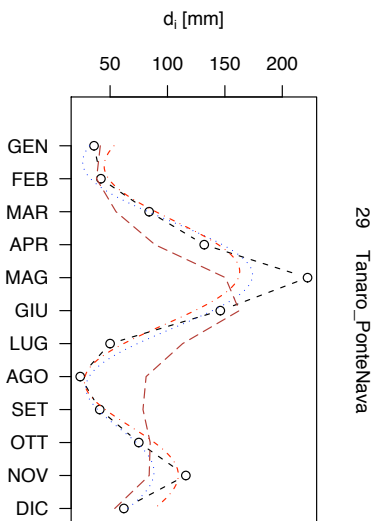
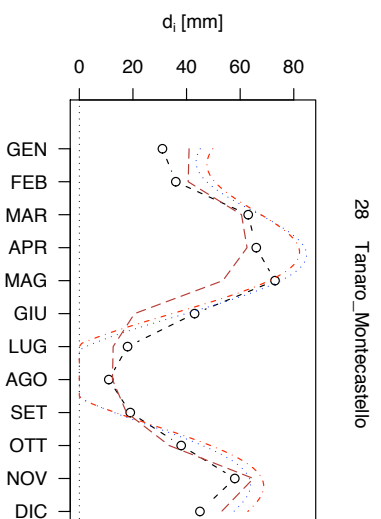
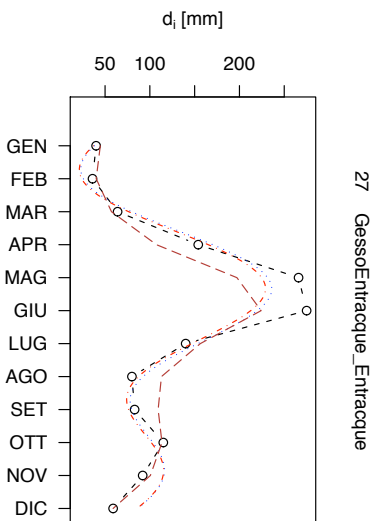
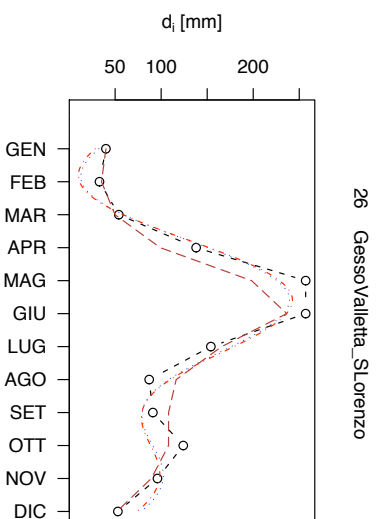
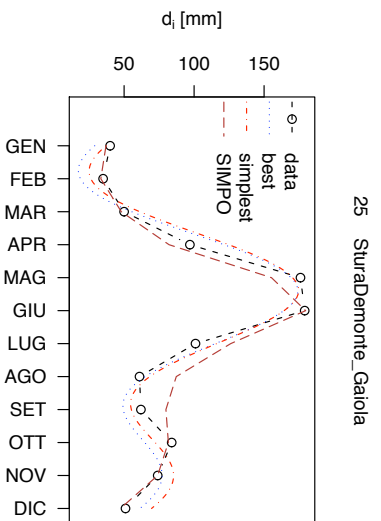


Figura F.17: Confronto tra il modello per la stima del regime idrometrico più completo (Equazioni 6.7 e 7.9), quello più semplice (Equazioni 6.8 e 7.10) e le formulazioni SIMPO (Equazioni 7.13 e 7.14), per i 47 bacini considerati. (5/8)

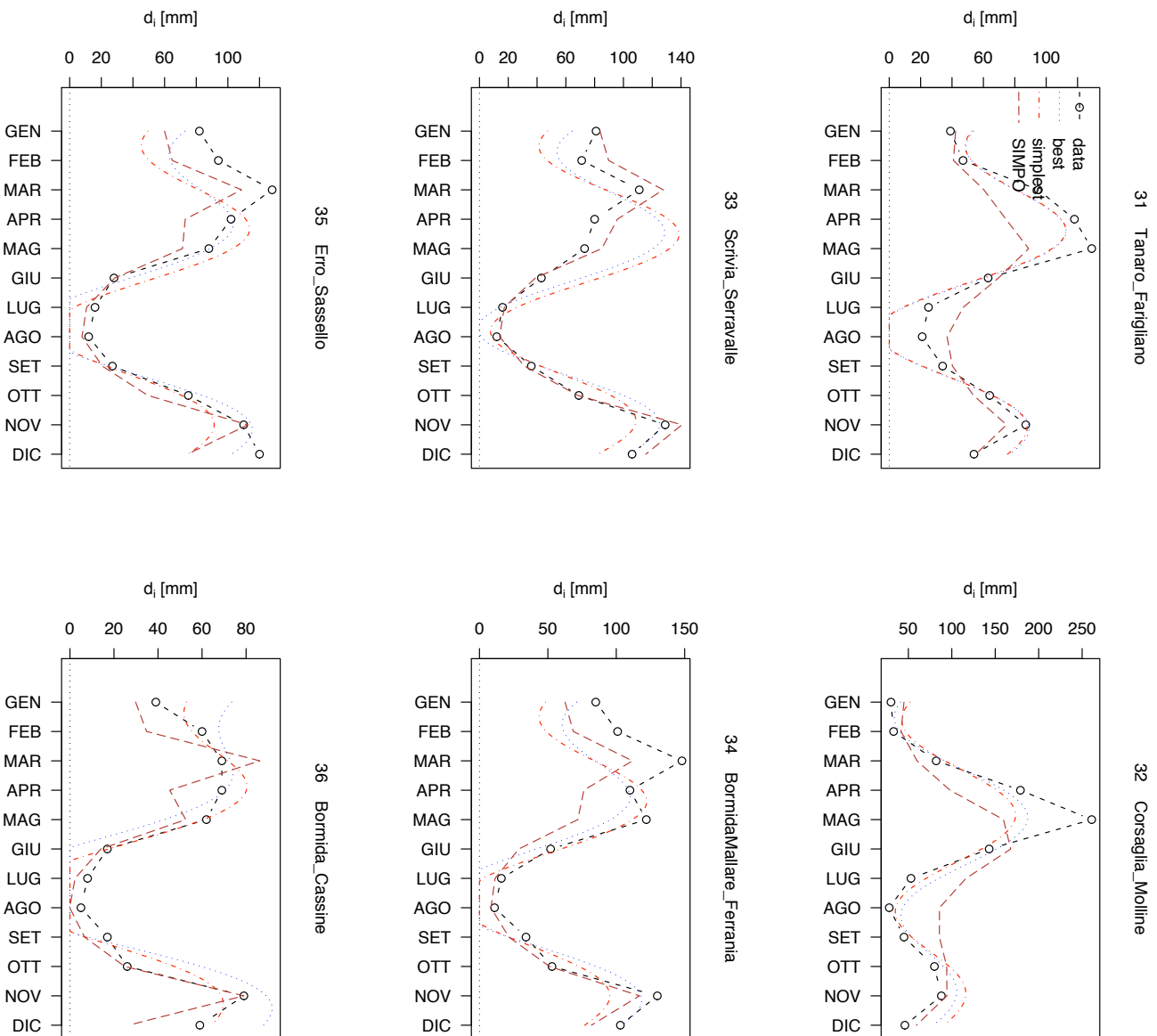


Figura F.17: Confronto tra il modello per la stima del regime idrometrico più completo (Equazioni 6.7 e 7.9), quello più semplice (Equazioni 6.8 e 7.10) e le formulazioni SIMPO (Equazioni 7.13 e 7.14), per i 47 bacini considerati. (6/8)

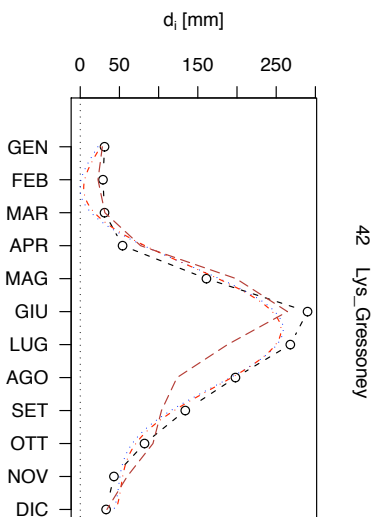
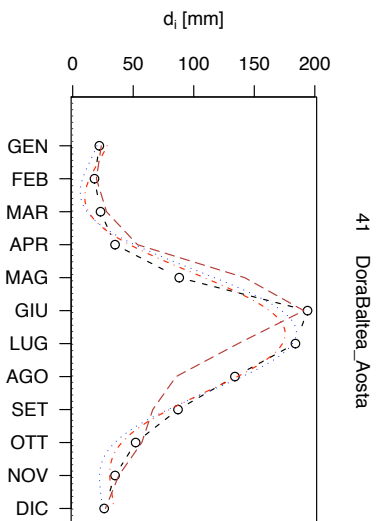
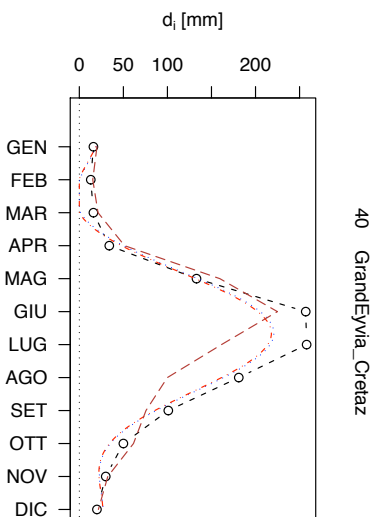
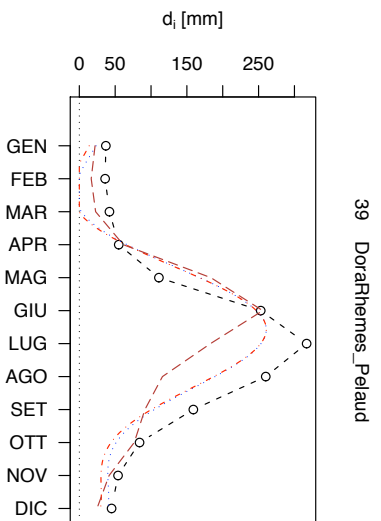
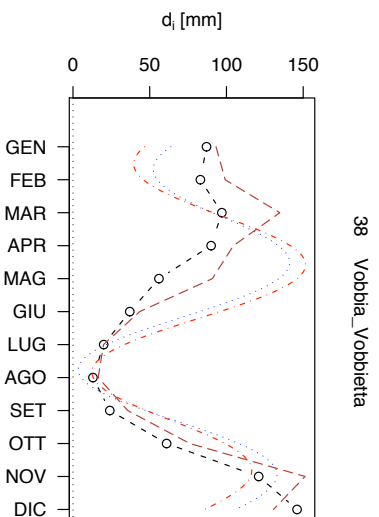
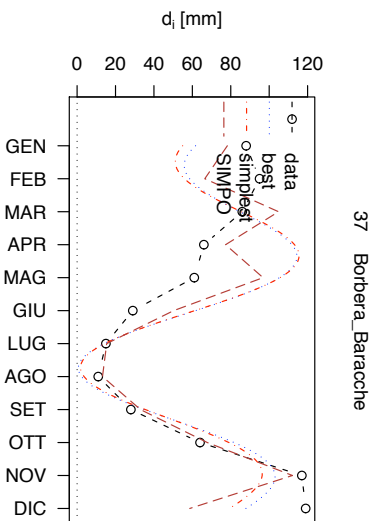


Figura F.17: Confronto tra il modello per la stima del regime idrometrico più completo (Equazioni 6.7 e 7.9), quello più semplice (Equazioni 6.8 e 7.10) e le formulazioni SIMPO (Equazioni 7.13 e 7.14), per i 47 bacini considerati. (7/8)

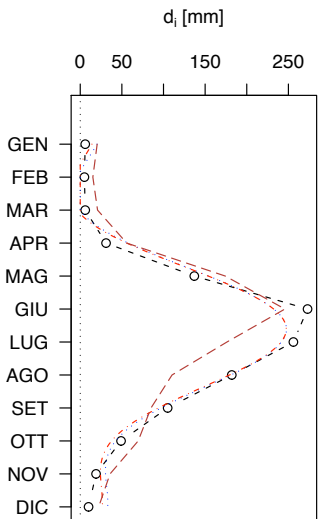
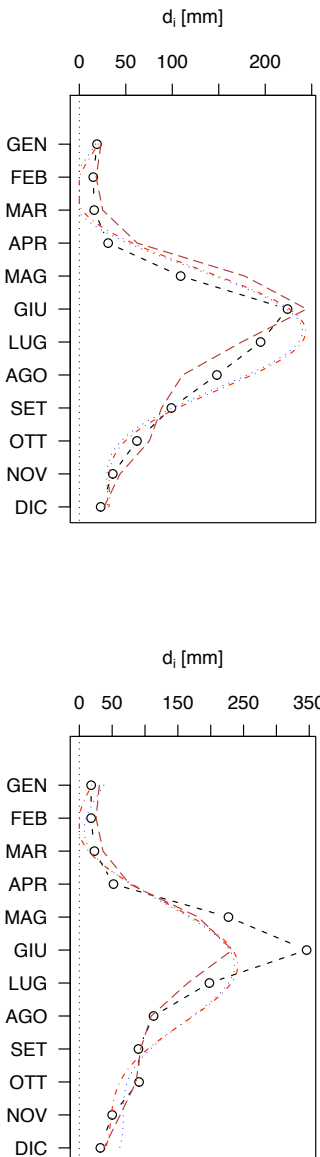
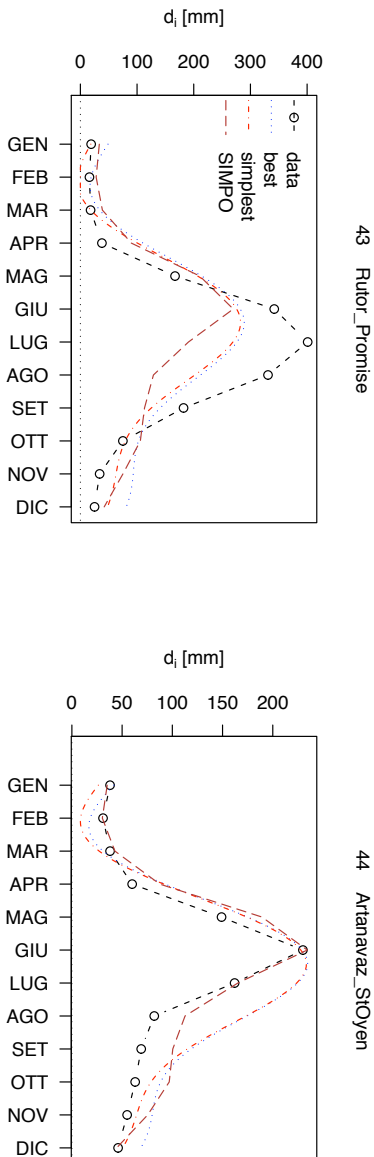


Figura F.17: Confronto tra il modello per la stima del regime idrometrico più completo (Equazioni 6.7 e 7.9), quello più semplice (Equazioni 6.8 e 7.10) e le formulazioni SIMPO (Equazioni 7.13 e 7.14), per i 47 bacini considerati. (8/8)

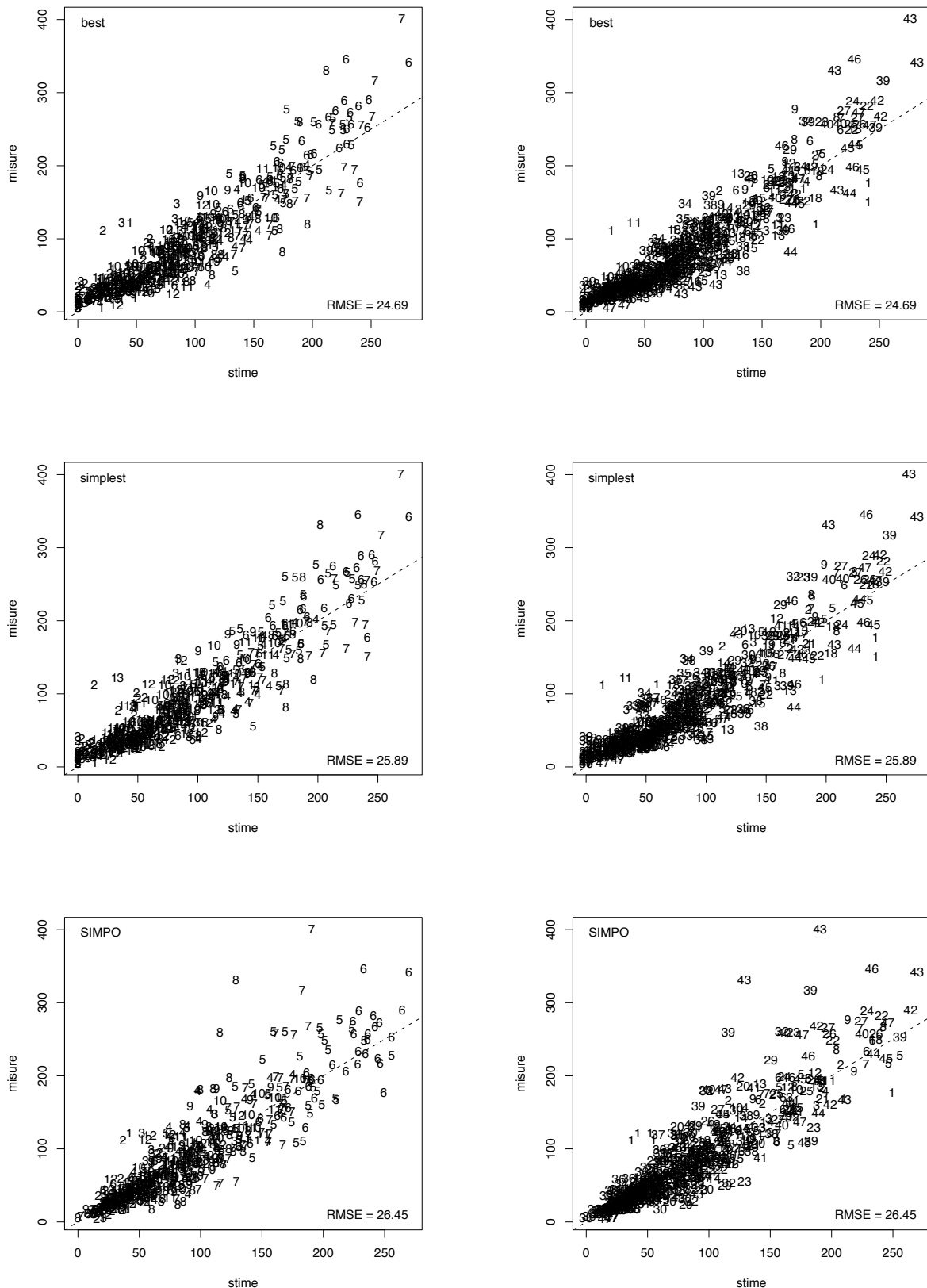


Figura F.18: Diagrammi diagnostici per i tre modelli per la stima del regime idrometrico: 1) modello più completo (Equazioni 6.7 e 7.9); 2) modello più semplice (Equazioni 6.8 e 7.10); 3) formulazioni SIMPO (Equazioni 7.13 e 7.14).

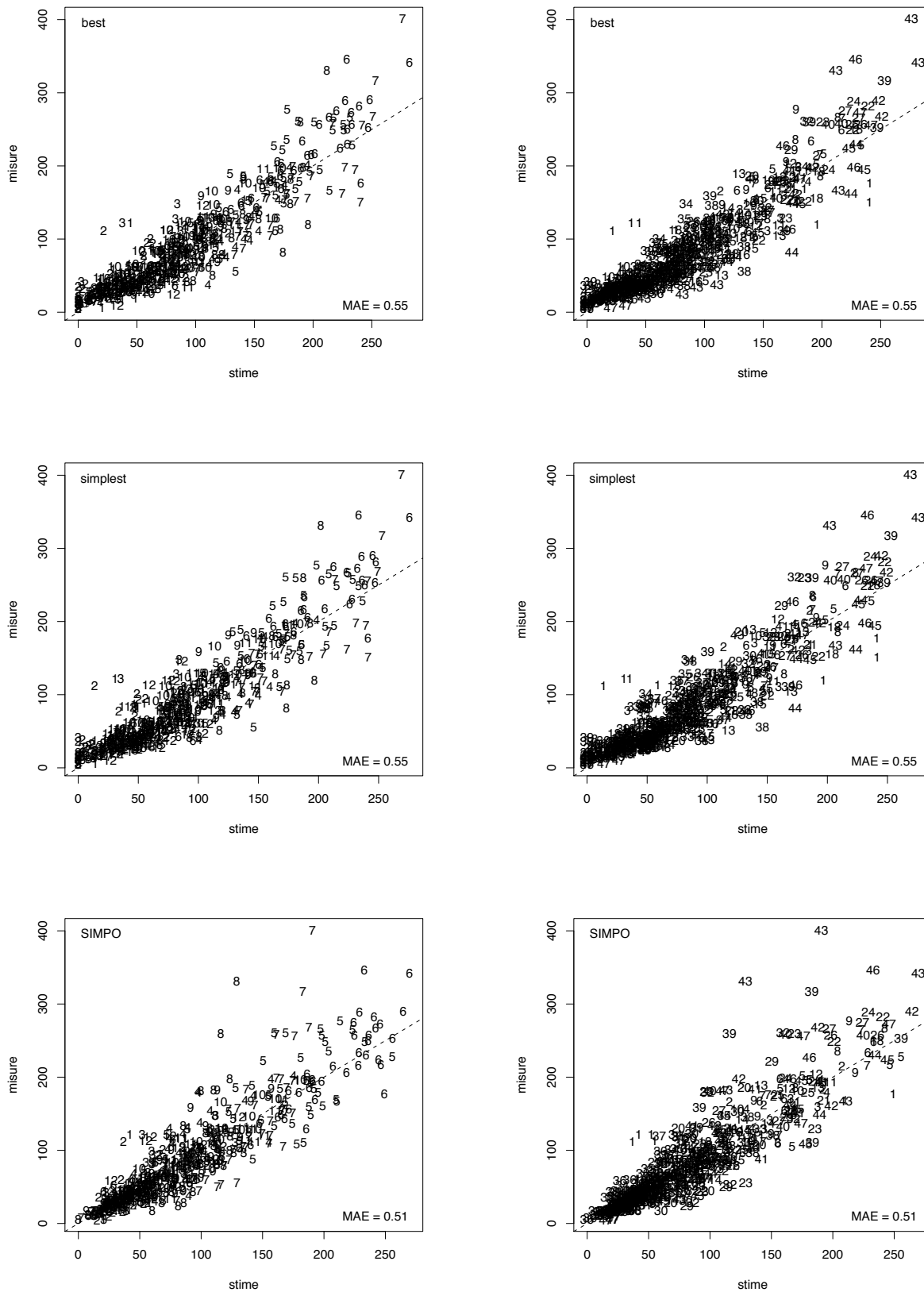


Figura F.19: Diagrammi diagnostici per i tre modelli per la stima del regime idrometrico: 1) modello più completo (Equazioni 6.7 e 7.9); 2) modello più semplice (Equazioni 6.8 e 7.10); 3) formulazioni SIMPO (Equazioni 7.13 e 7.14).

F.3 Regionalizzazione dei deflussi nei periodi critici dell'anno

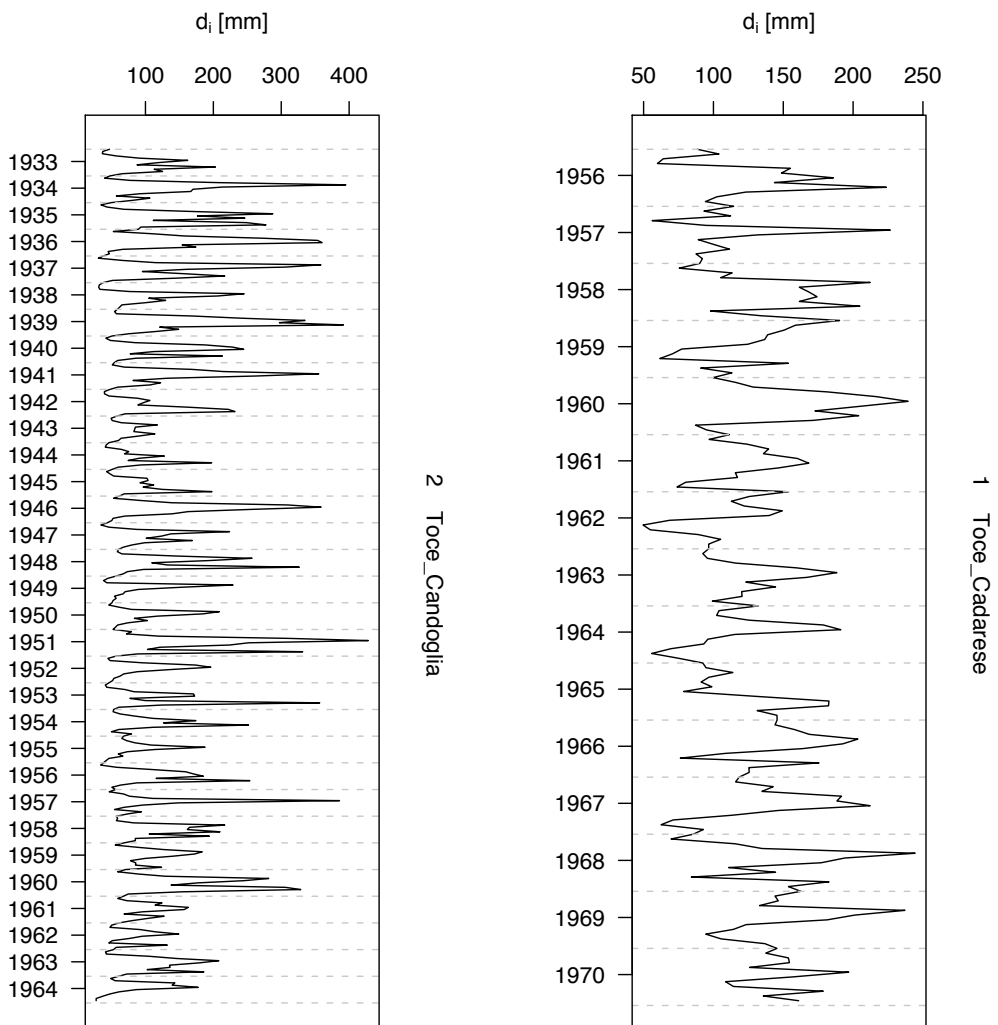


Figura F.20: Serie dei deflussi mensili per i bacini considerati nello studio. (1/16)

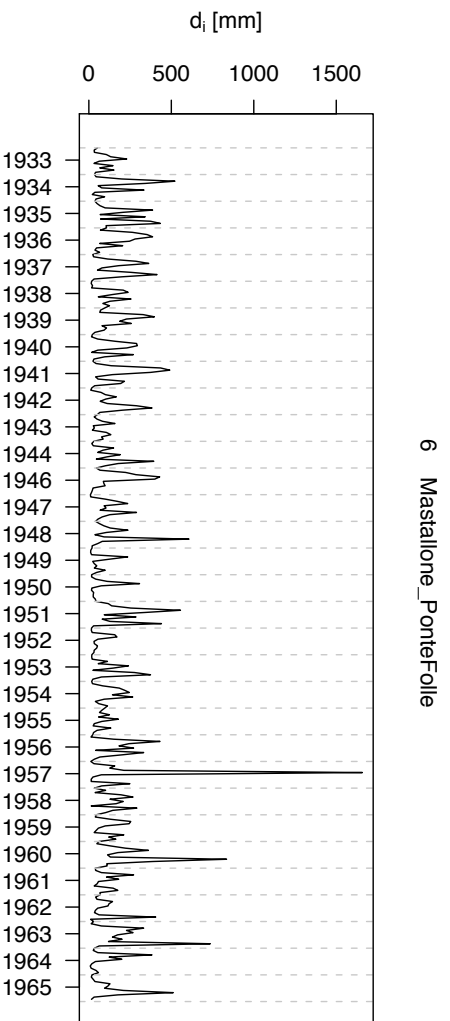
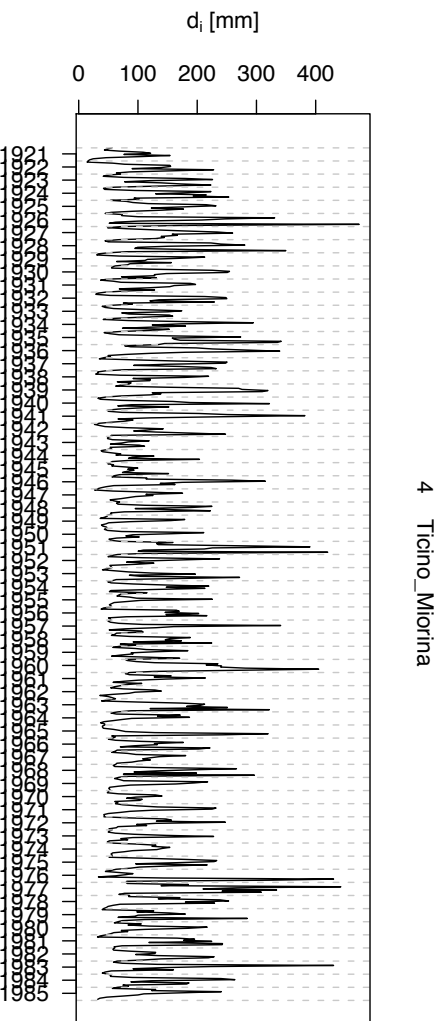


Figura F.20: Serie dei deflussi mensili per i bacini considerati nello studio. (2/16)

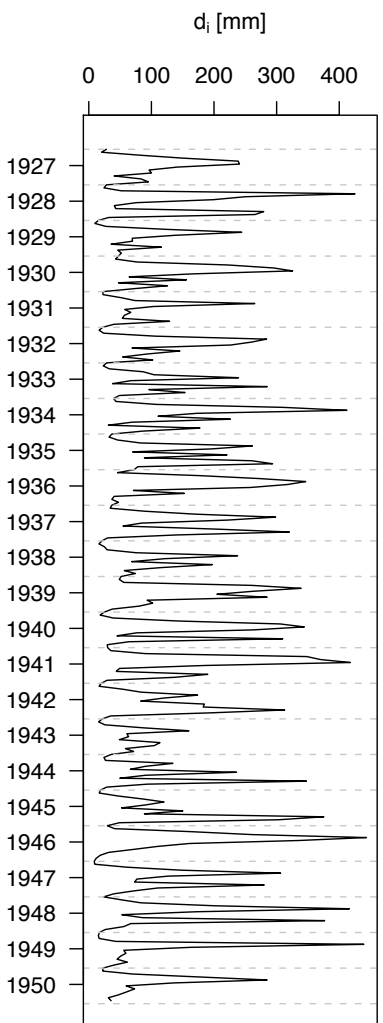
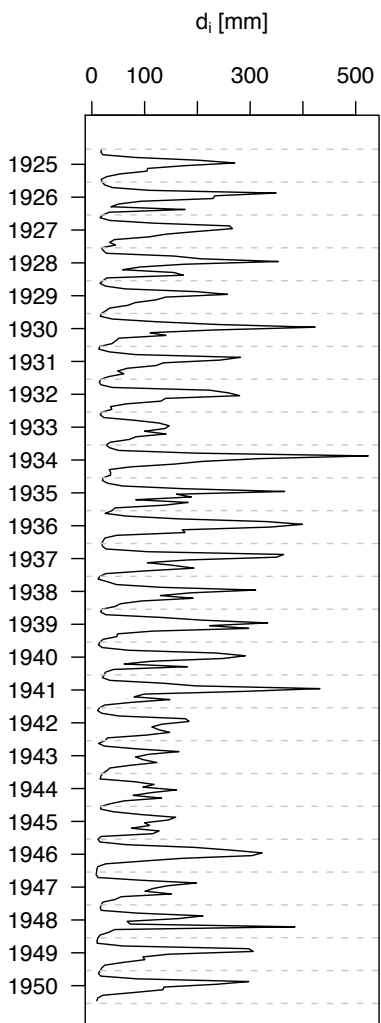
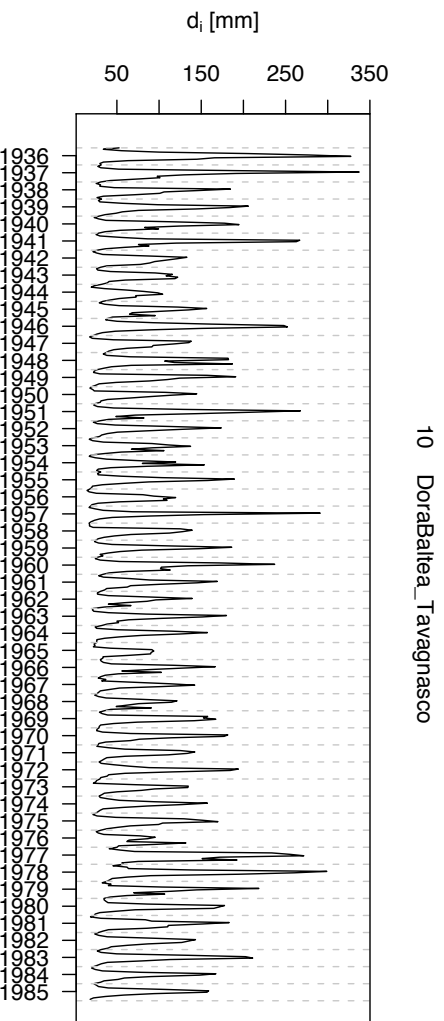
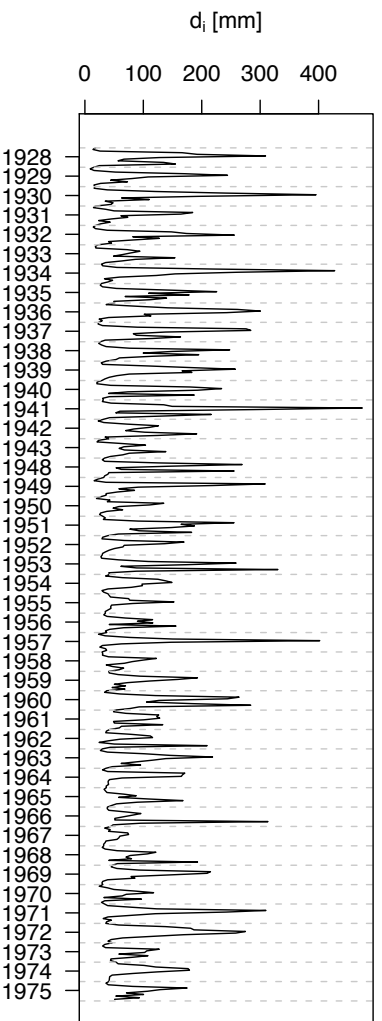


Figura F.20: Serie dei deflussi mensili per i bacini considerati nello studio. (3/16)



11 Orco_PonteCanavese



12 Sturalanzo_Lanzo

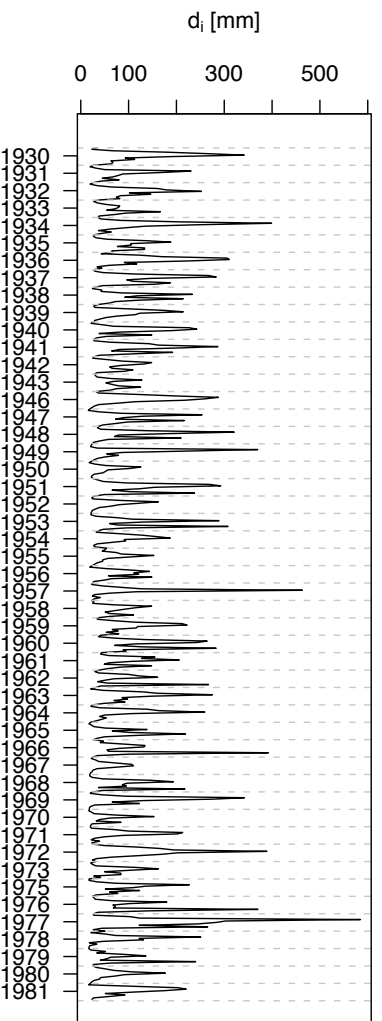


Figura F.20: Serie dei deflussi mensili per i bacini considerati nello studio. (4/16)

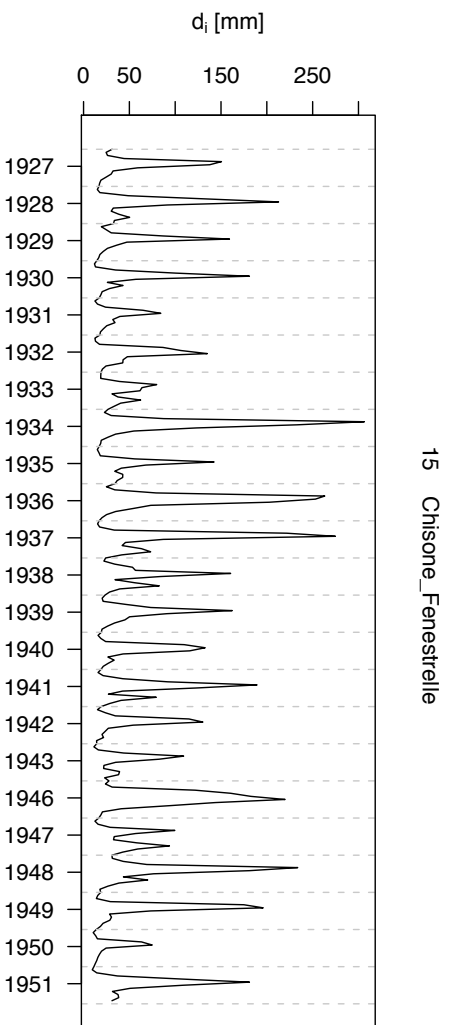
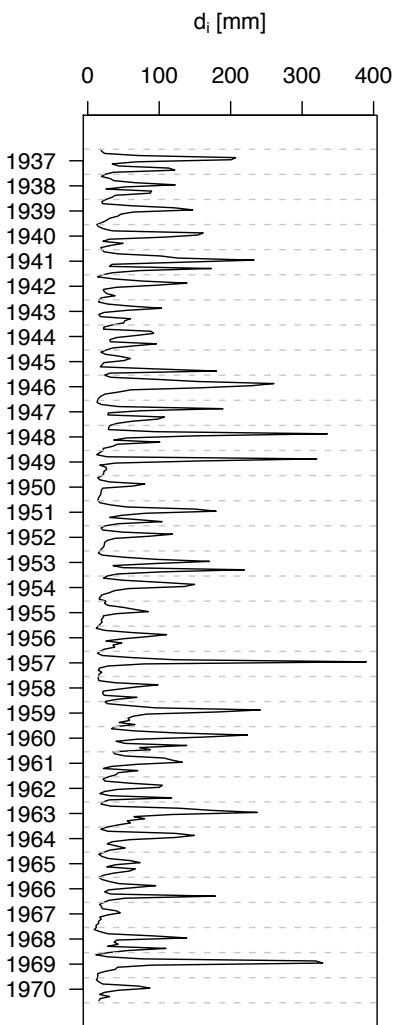
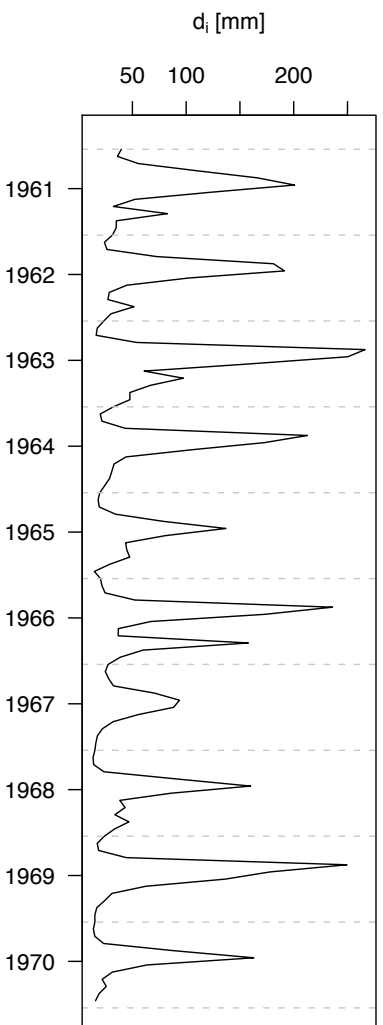


Figura F.20: Serie dei deflussi mensili per i bacini considerati nello studio. (5/16)

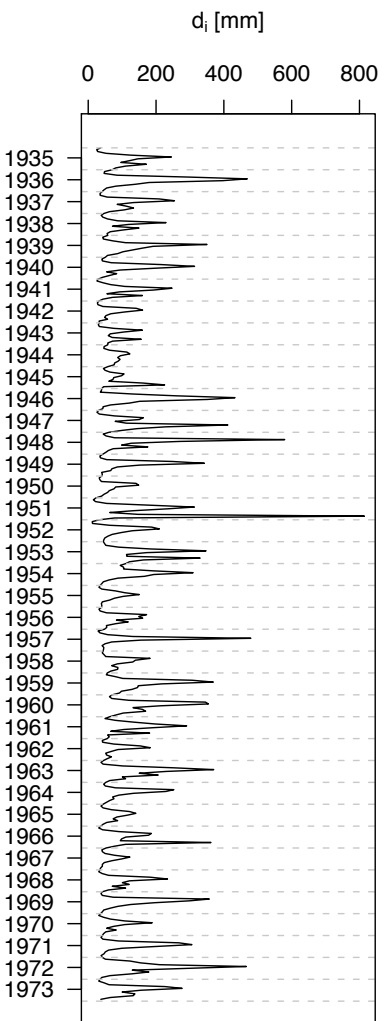
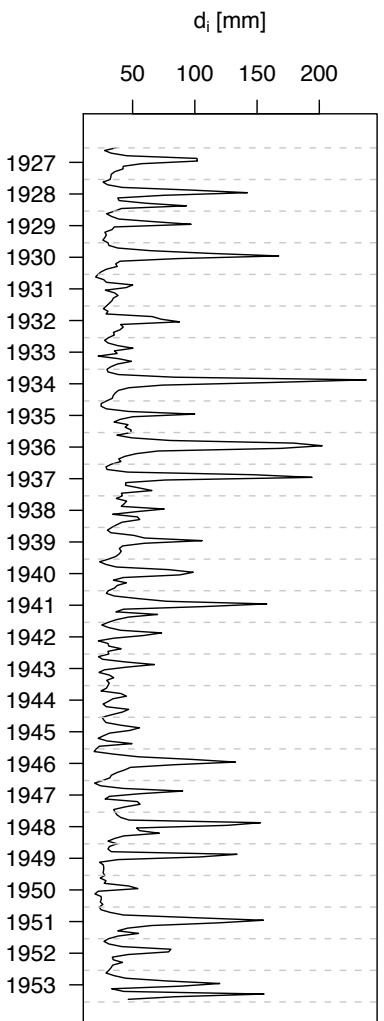
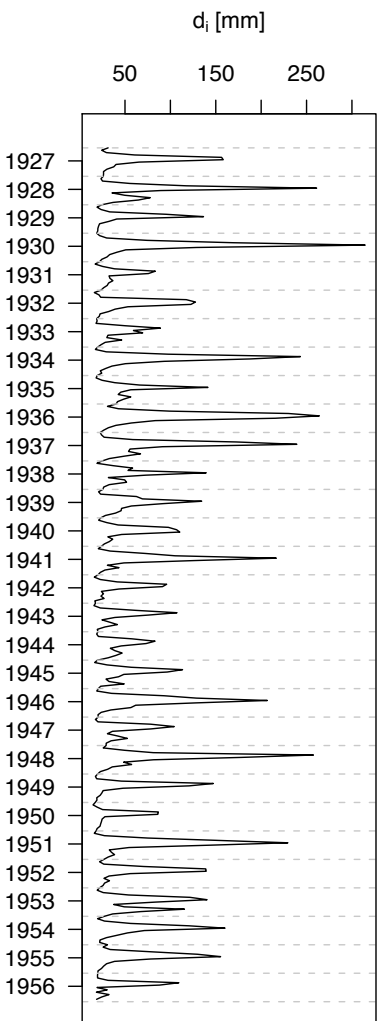
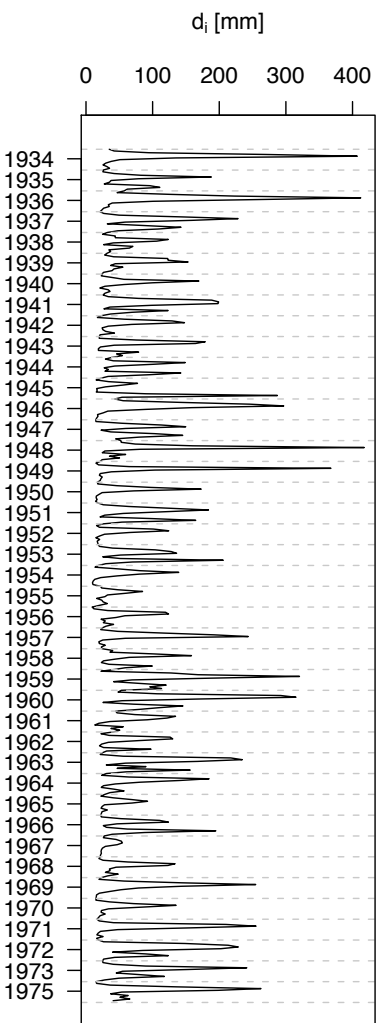
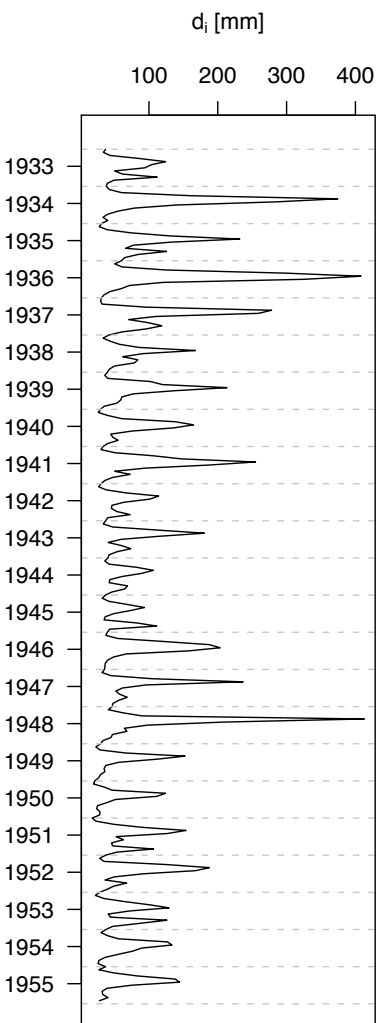


Figura F.20: Serie dei deflussi mensili per i bacini considerati nello studio. (6/16)



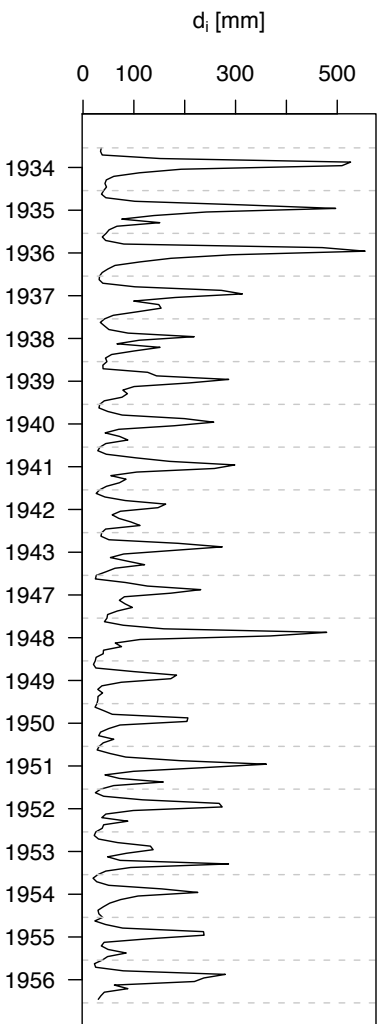
20 Grana_Monterosso



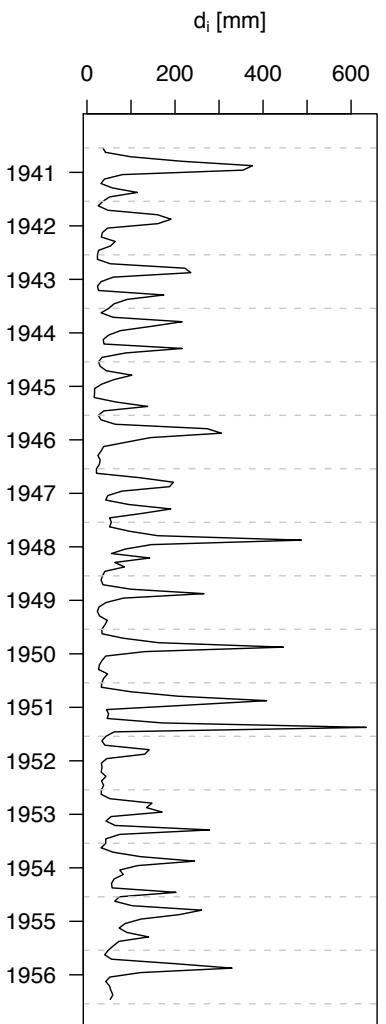
21 SturaDemonte_Pianche

Figura F.20: Serie dei deflussi mensili per i bacini considerati nello studio. (7/16)

22 RioBagni_BagniVinadio



23 Vermenagna_Limone



24 RioPiz_Pietrapozzio

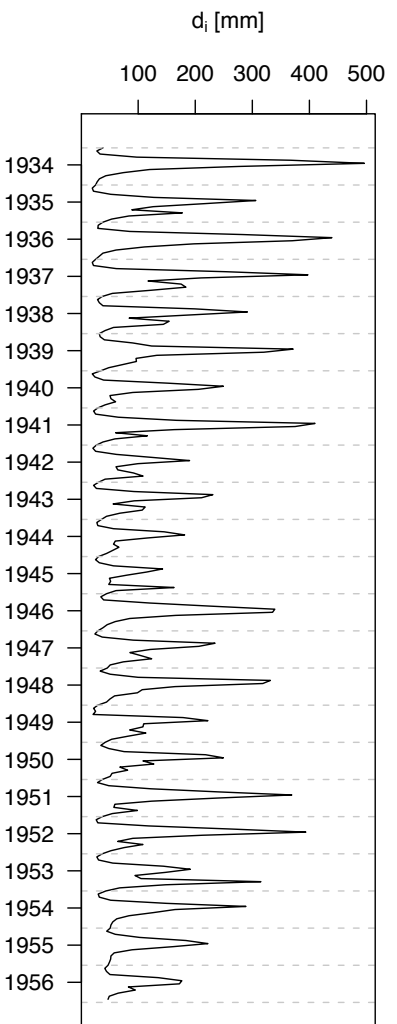


Figura F.20: Serie dei deflussi mensili per i bacini considerati nello studio. (8/16)

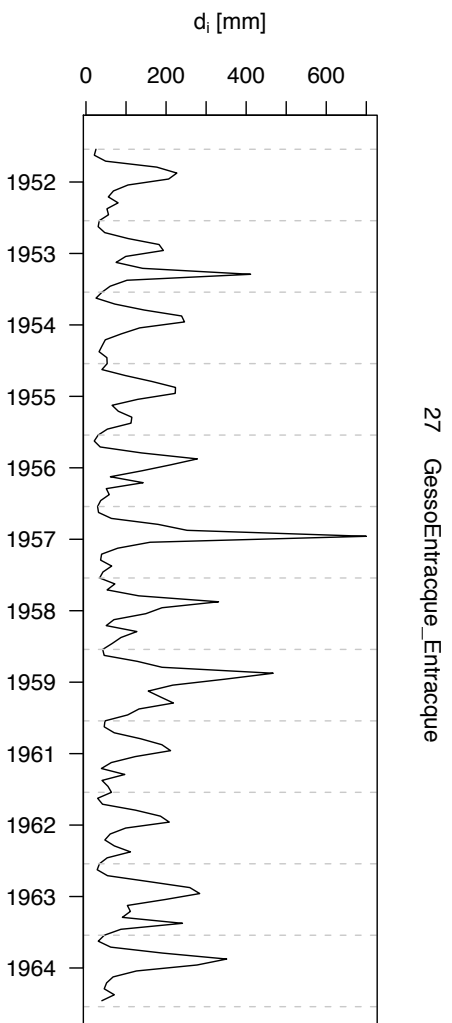
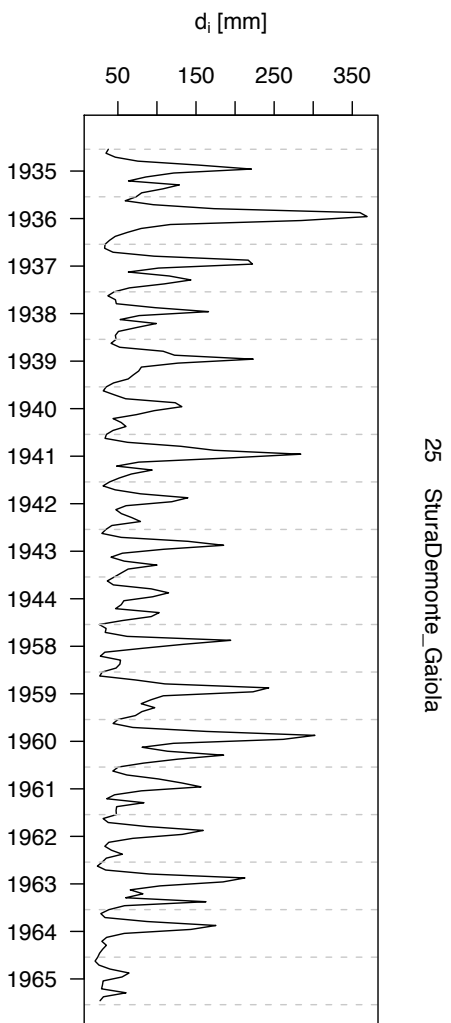
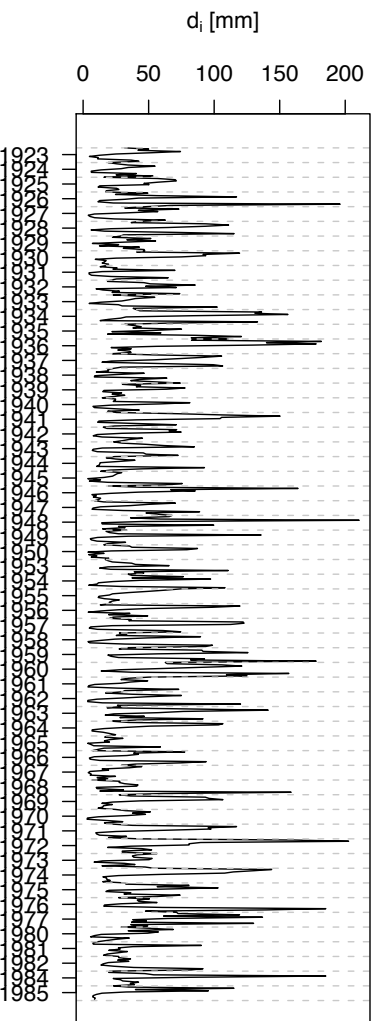
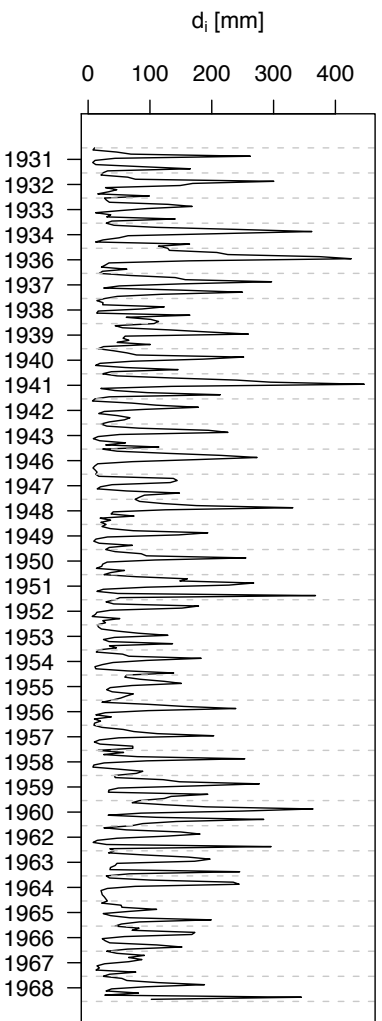


Figura F.20: Serie dei deflussi mensili per i bacini considerati nello studio. (9/16)

28 Tanaro_Montecastello



29 Tanaro_PonteNava



30 Tanaro_Nucetto

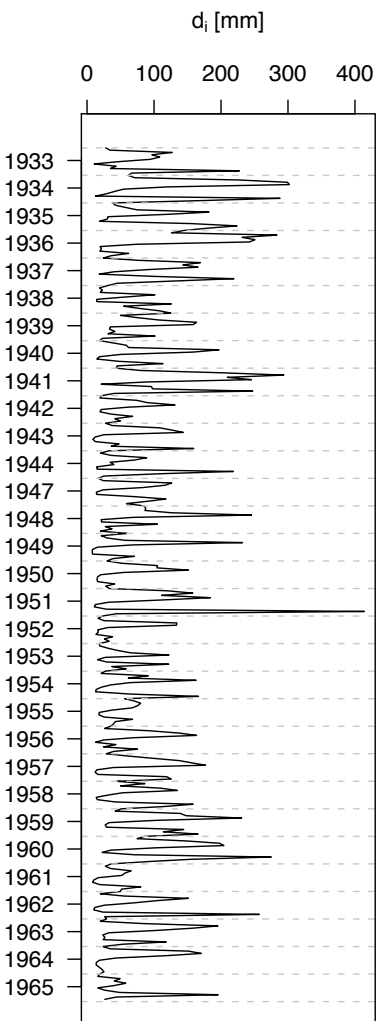


Figura F.20: Serie dei deflussi mensili per i bacini considerati nello studio. (10/16)

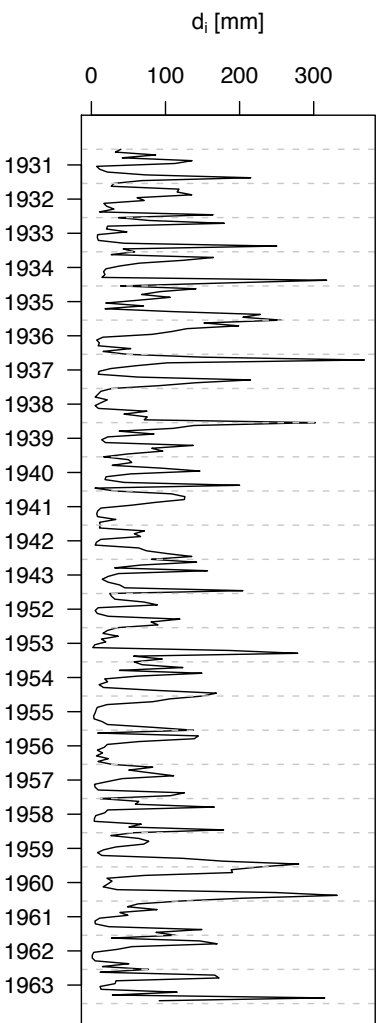
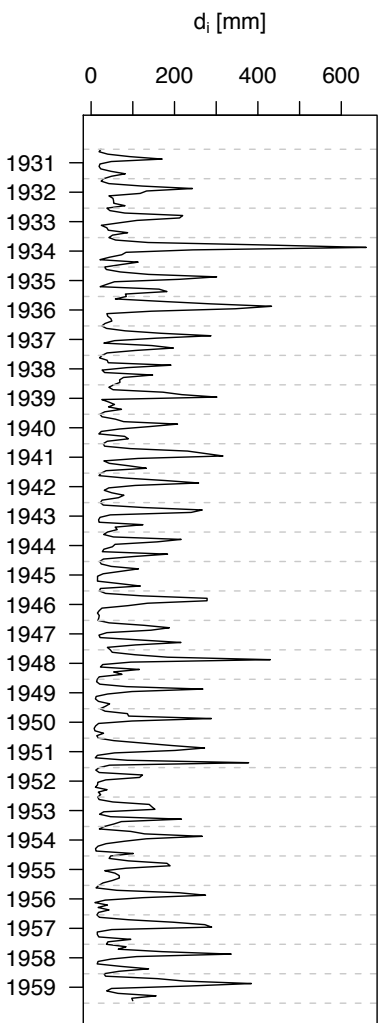
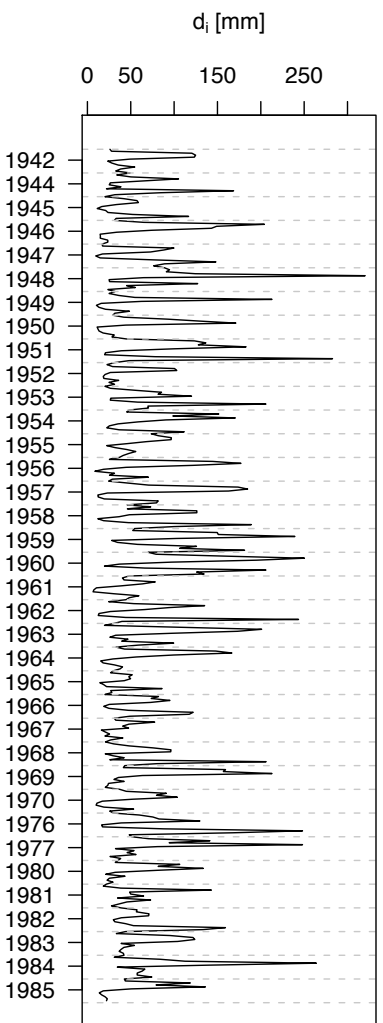


Figura F.20: Serie dei deflussi mensili per i bacini considerati nello studio. (11/16)

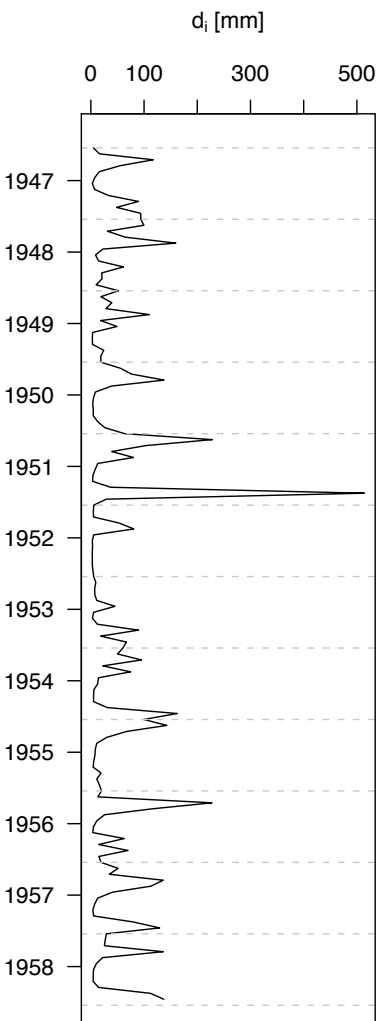
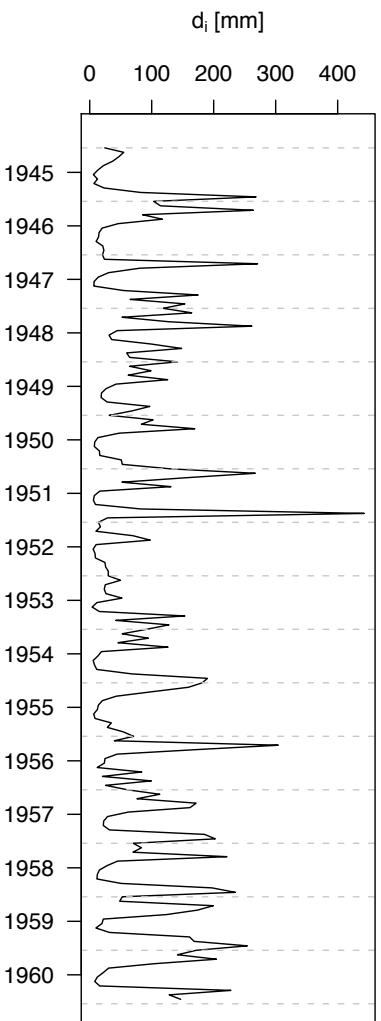


Figura F.20: Serie dei deflussi mensili per i bacini considerati nello studio. (12/16)

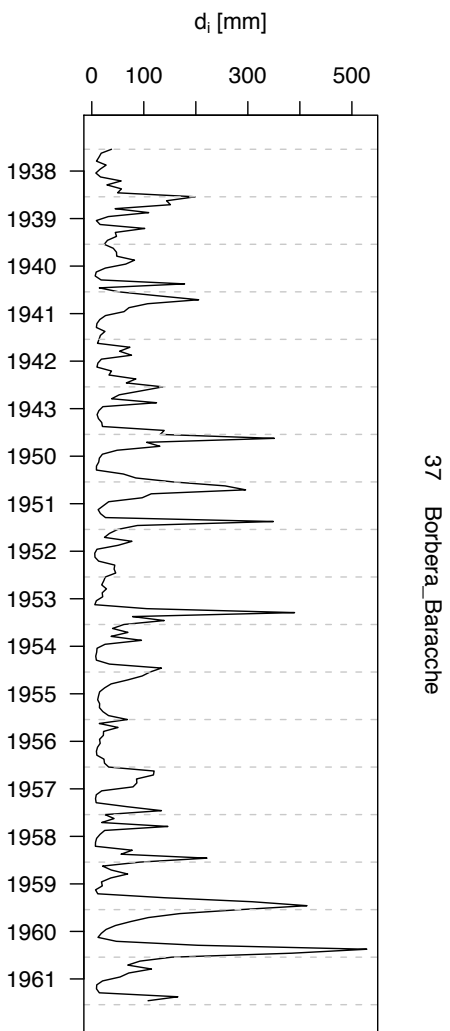


Figura F.20: Serie dei deflussi mensili per i bacini considerati nello studio. (13/16)

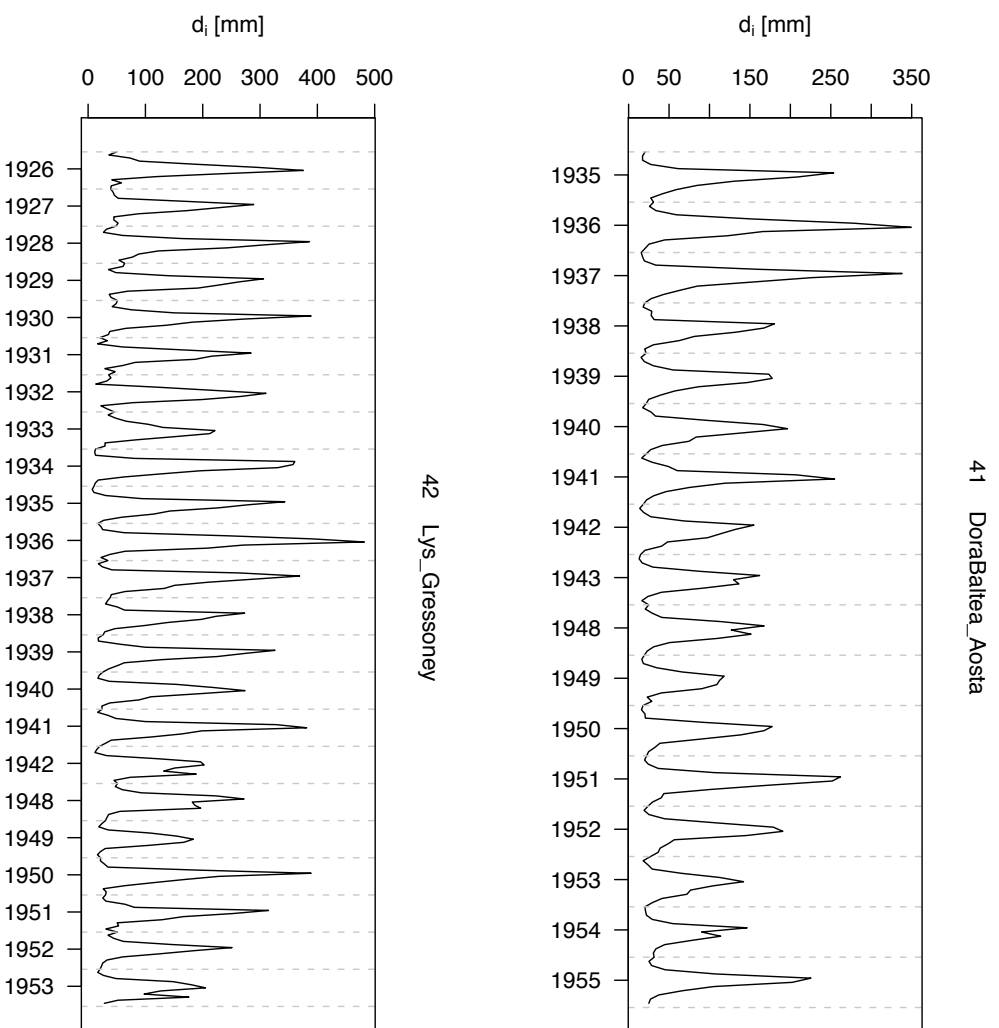


Figura F.20: Serie dei deflussi mensili per i bacini considerati nello studio. (14/16)

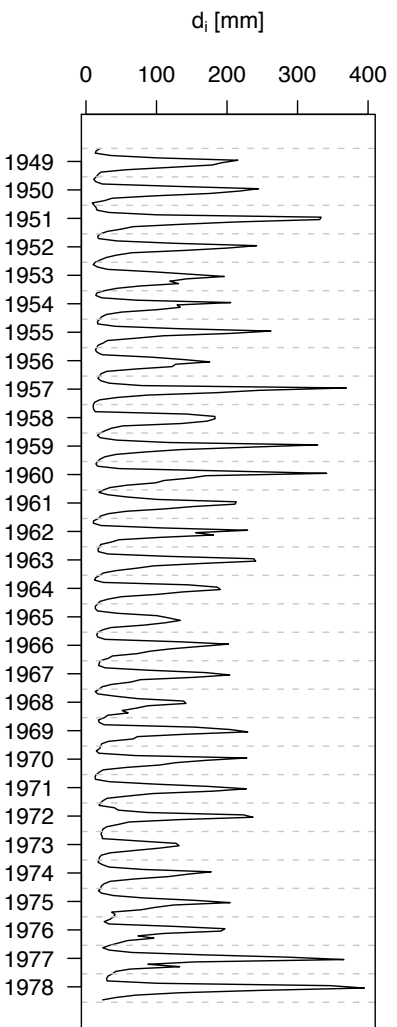
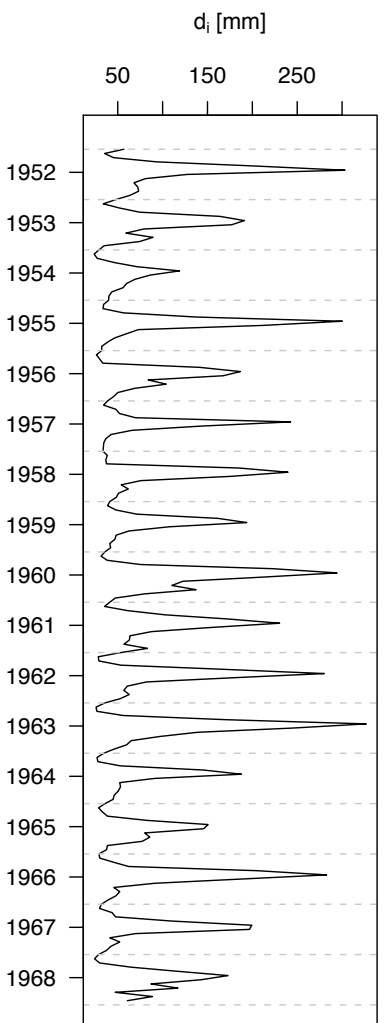
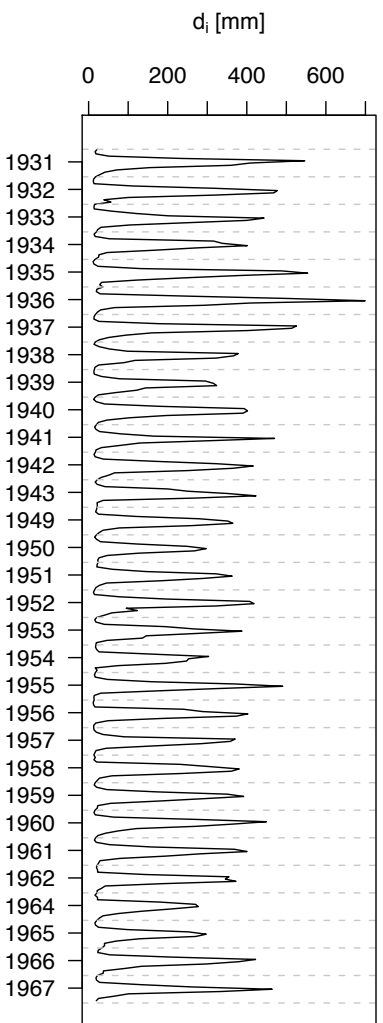


Figura F.20: Serie dei deflussi mensili per i bacini considerati nello studio. (15/16)

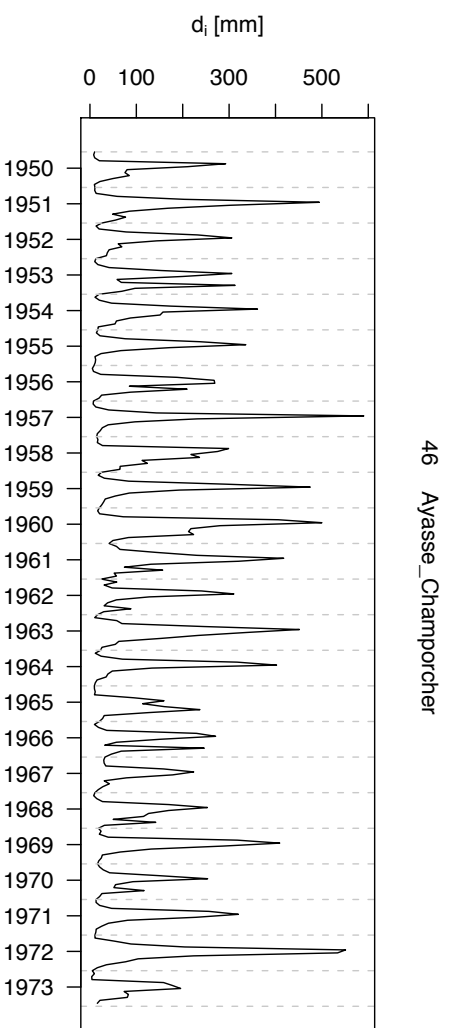


Figura F.20: Serie dei deflussi mensili per i bacini considerati nello studio. (16/16)

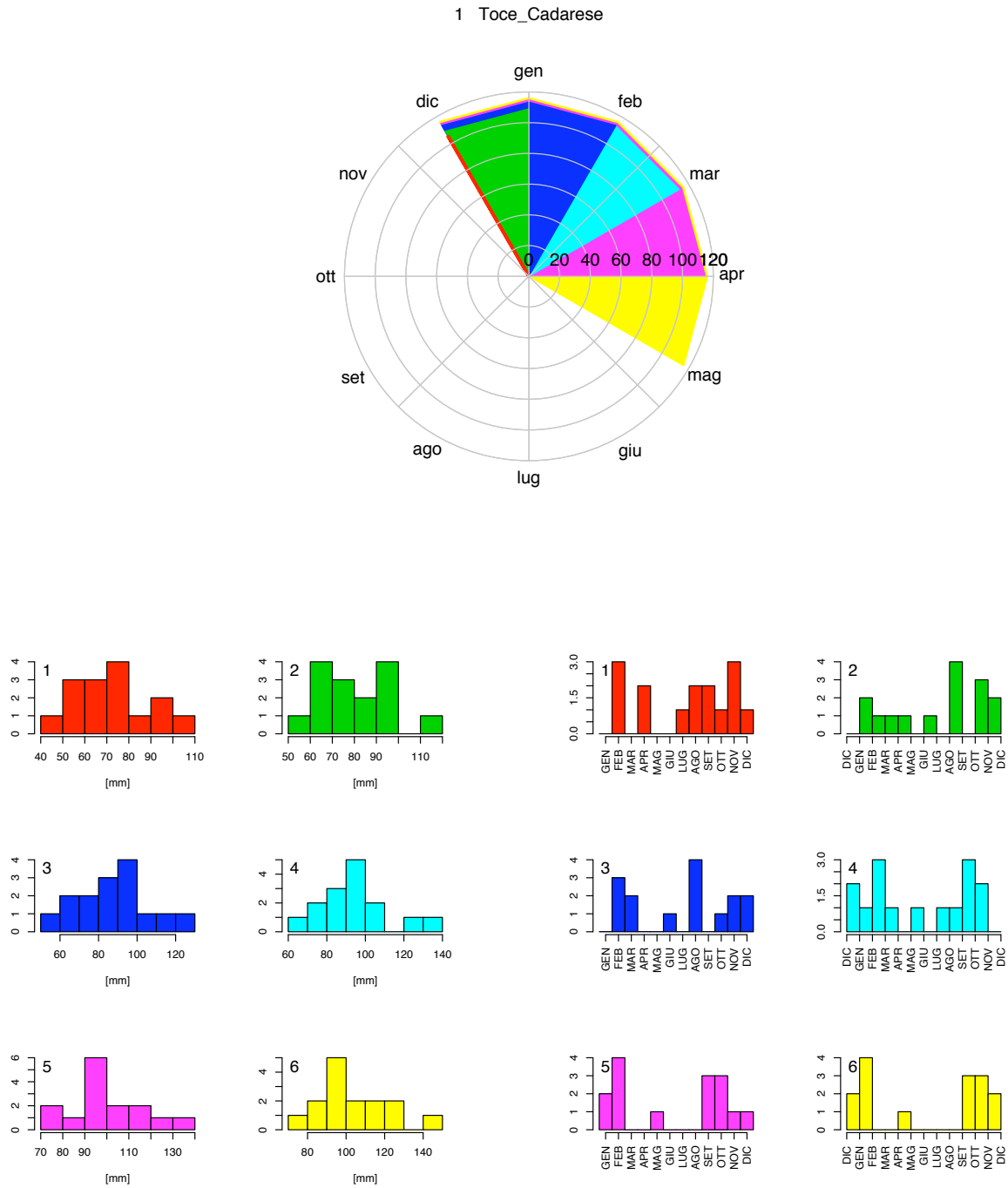


Figura F.21: Rappresentazione dei deflussi minimi per aggregazioni temporali da 1 a 6 mesi: le medie nel diagramma polare in alto; gli istogrammi di frequenza dell'entità dei minimi a sinistra; gli istogrammi di frequenza di accadimento a destra. (1/37 Toce a Cadarese)

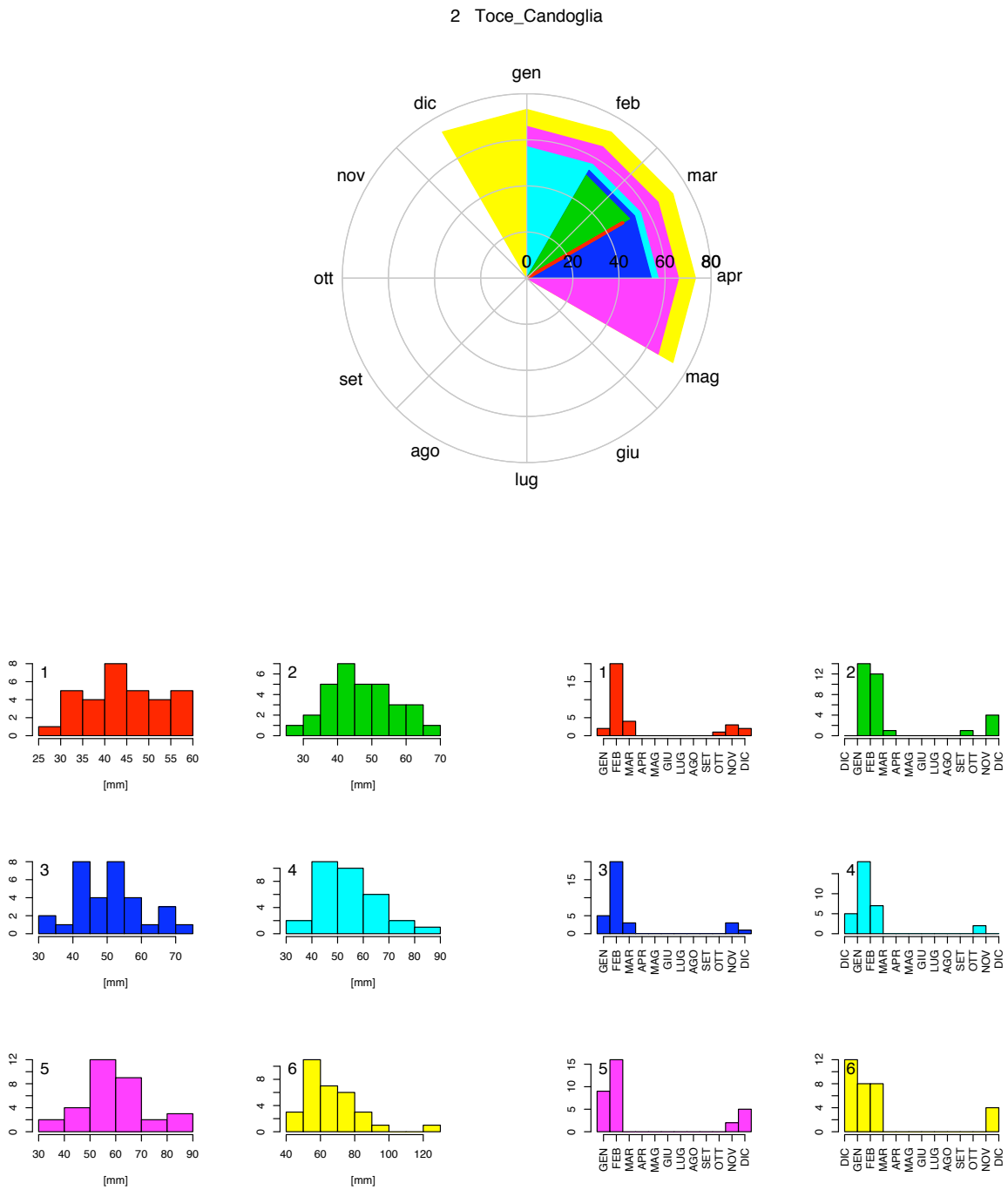


Figura F.21: Rappresentazione dei deflussi minimi per aggregazioni temporali da 1 a 6 mesi: le medie nel diagramma polare in alto; gli istogrammi di frequenza dell'entità dei minimi a sinistra; gli istogrammi di frequenza di accadimento a destra. (2/37 Toce a Candoglia)

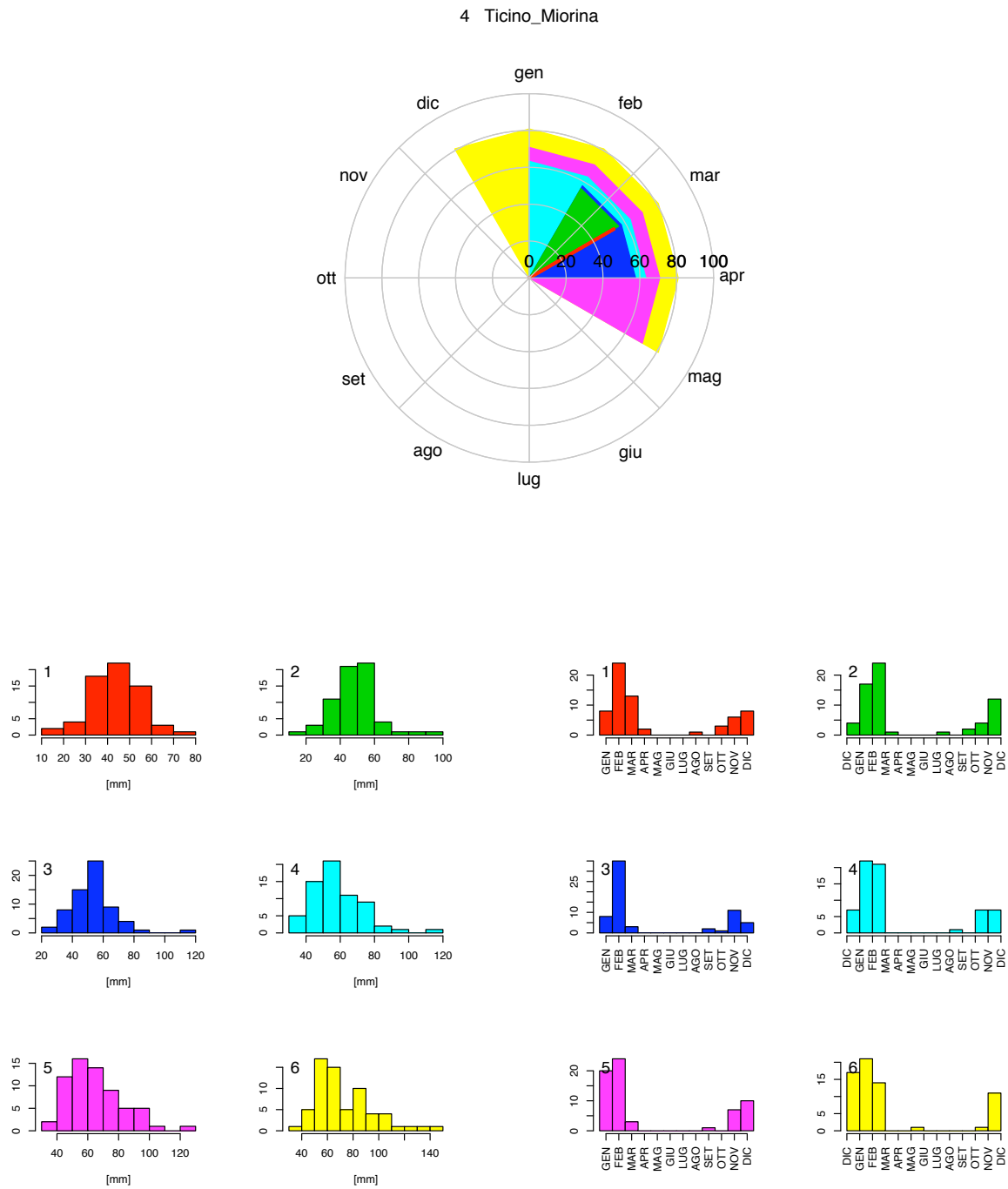


Figura F.21: Rappresentazione dei deflussi minimi per aggregazioni temporali da 1 a 6 mesi: le medie nel diagramma polare in alto; gli istogrammi di frequenza dell'entità dei minimi a sinistra; gli istogrammi di frequenza di accadimento a destra. (3/37 Ticino a Miorina)

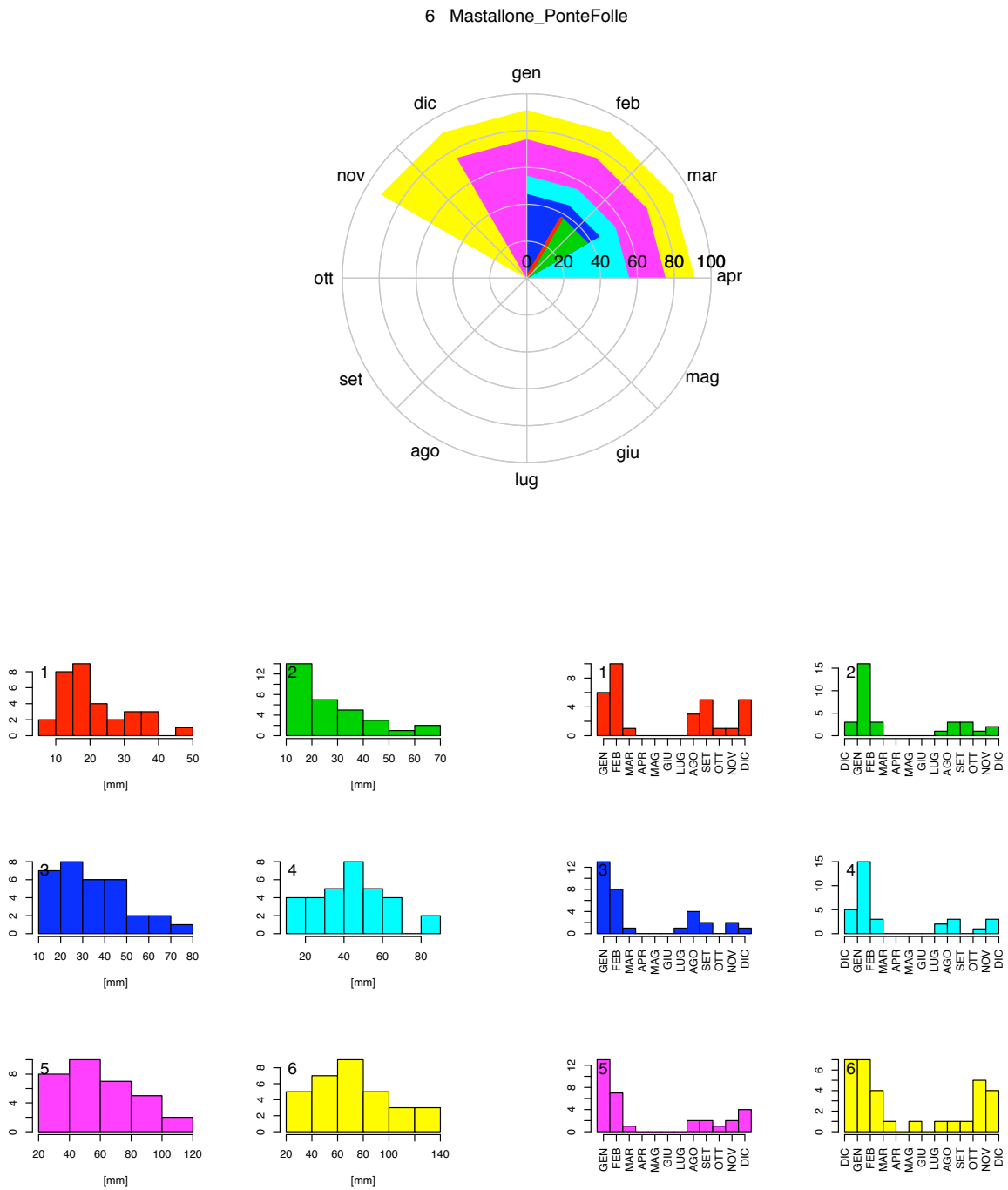


Figura F.21: Rappresentazione dei deflussi minimi per aggregazioni temporali da 1 a 6 mesi: le medie nel diagramma polare in alto; gli istogrammi di frequenza dell'entità dei minimi a sinistra; gli istogrammi di frequenza di accadimento a destra. (4/37 Mastallone a Ponte Folle)

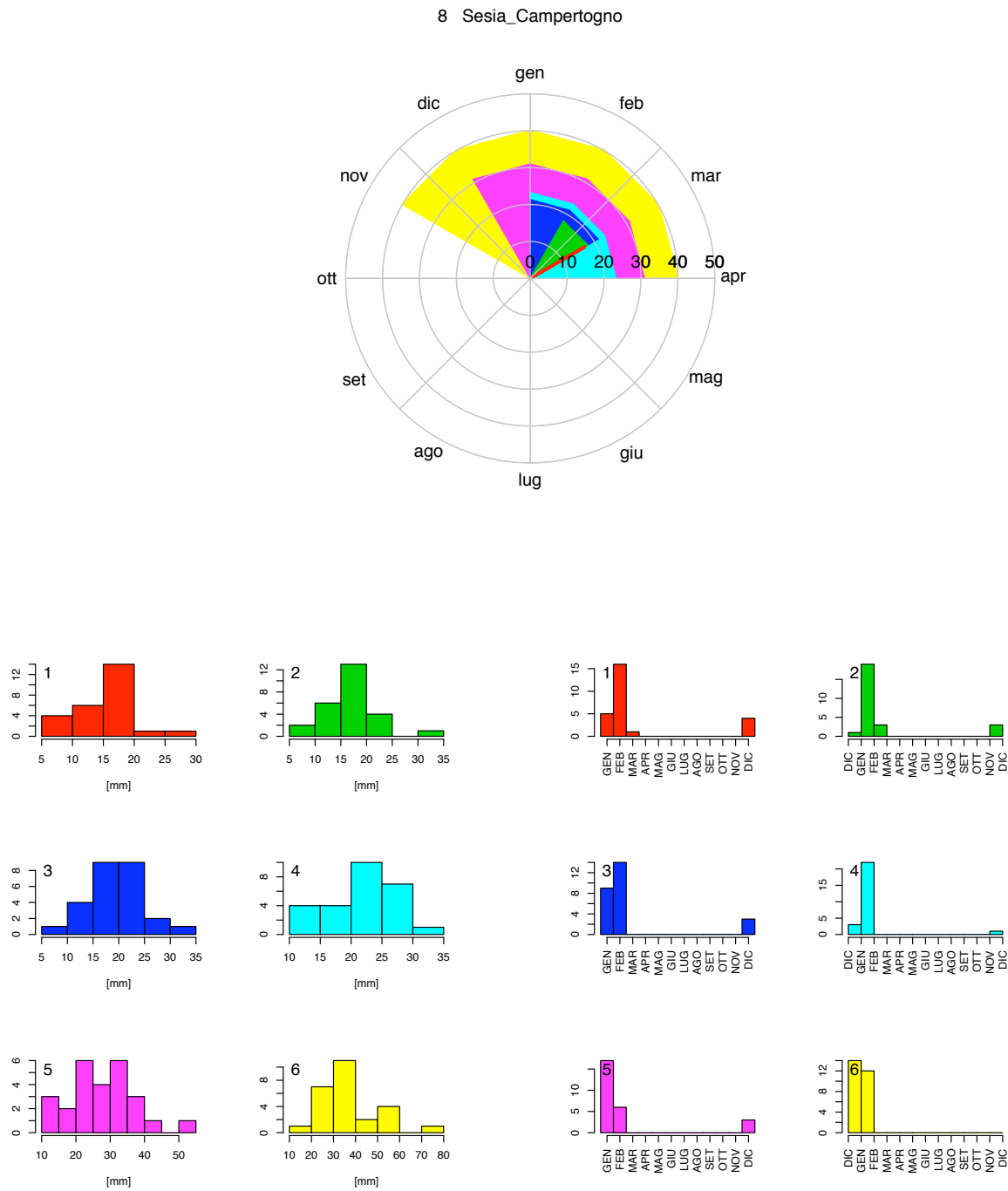


Figura F.21: Rappresentazione dei deflussi minimi per aggregazioni temporali da 1 a 6 mesi: le medie nel diagramma polare in alto; gli istogrammi di frequenza dell'entità dei minimi a sinistra; gli istogrammi di frequenza di accadimento a destra. (5/37 Sesia a Campertogno)

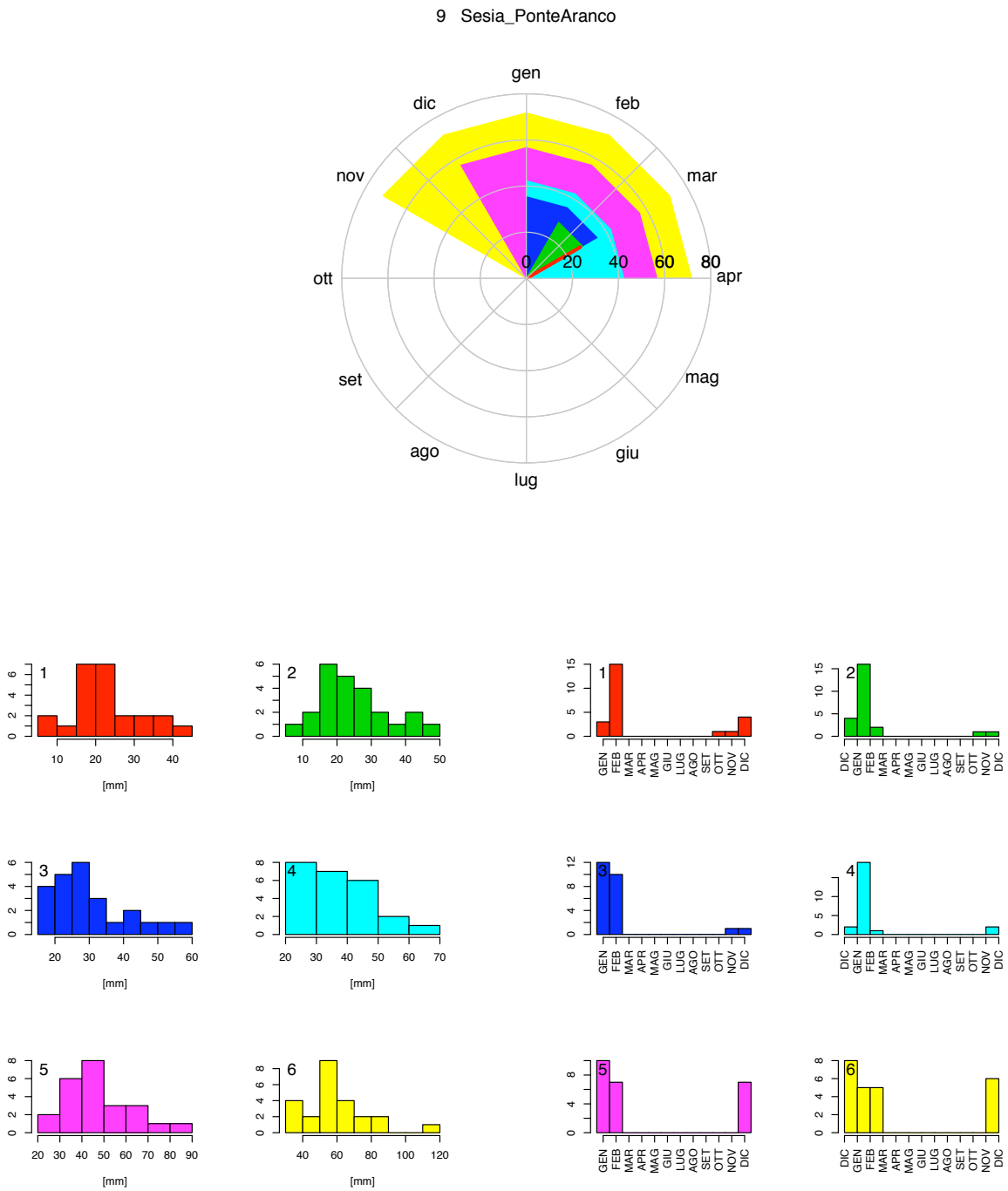


Figura F.21: Rappresentazione dei deflussi minimi per aggregazioni temporali da 1 a 6 mesi: le medie nel diagramma polare in alto; gli istogrammi di frequenza dell'entità dei minimi a sinistra; gli istogrammi di frequenza di accadimento a destra. (6/37 Sesia a Ponte Aranco)

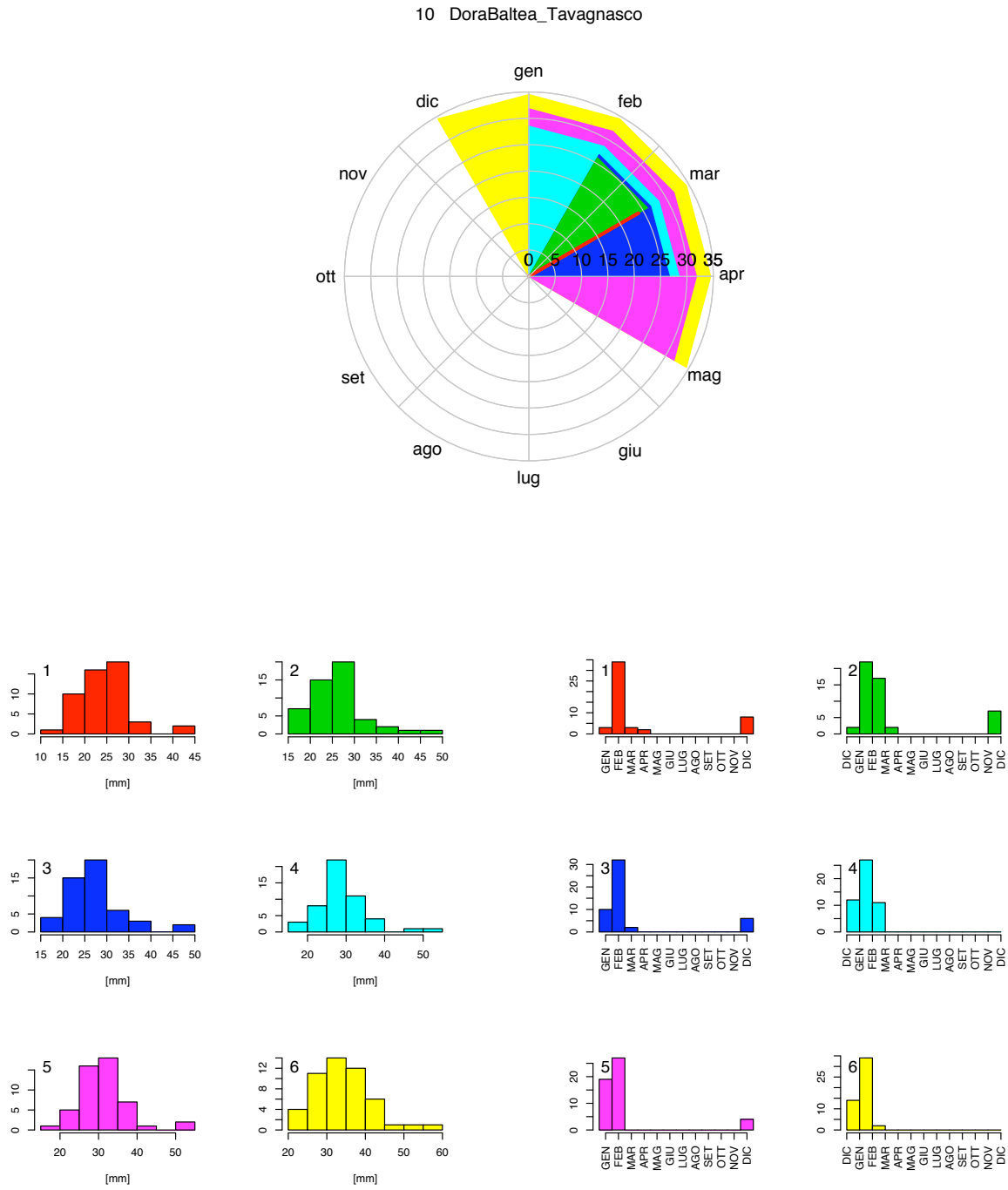


Figura F.21: Rappresentazione dei deflussi minimi per aggregazioni temporali da 1 a 6 mesi: le medie nel diagramma polare in alto; gli istogrammi di frequenza dell'entità dei minimi a sinistra; gli istogrammi di frequenza di accadimento a destra. (7/37 Dora Baltea a Tavagnasco)

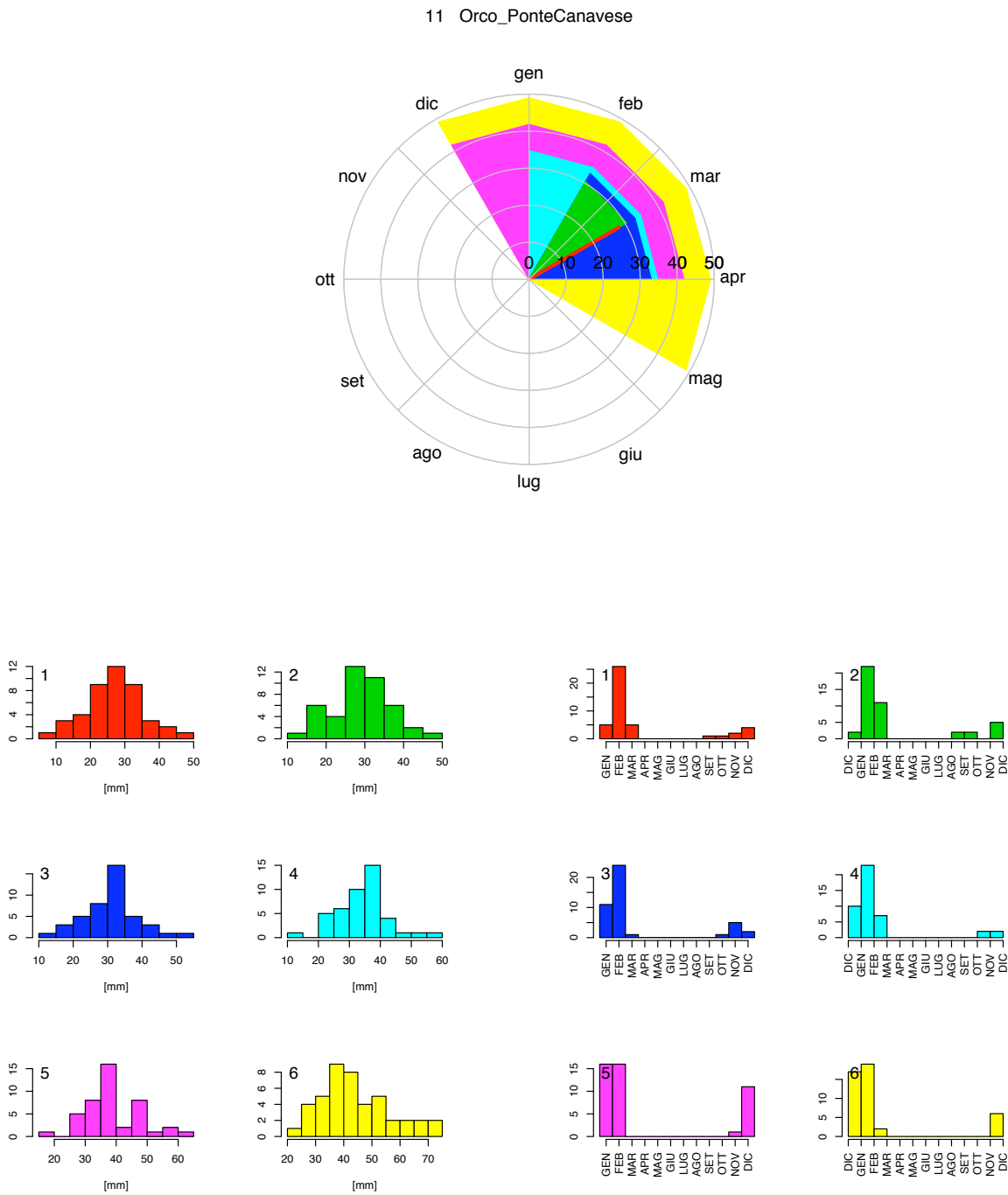


Figura F.21: Rappresentazione dei deflussi minimi per aggregazioni temporali da 1 a 6 mesi: le medie nel diagramma polare in alto; gli istogrammi di frequenza dell'entità dei minimi a sinistra; gli istogrammi di frequenza di accadimento a destra. (8/37 Orco a Ponte Canavese)

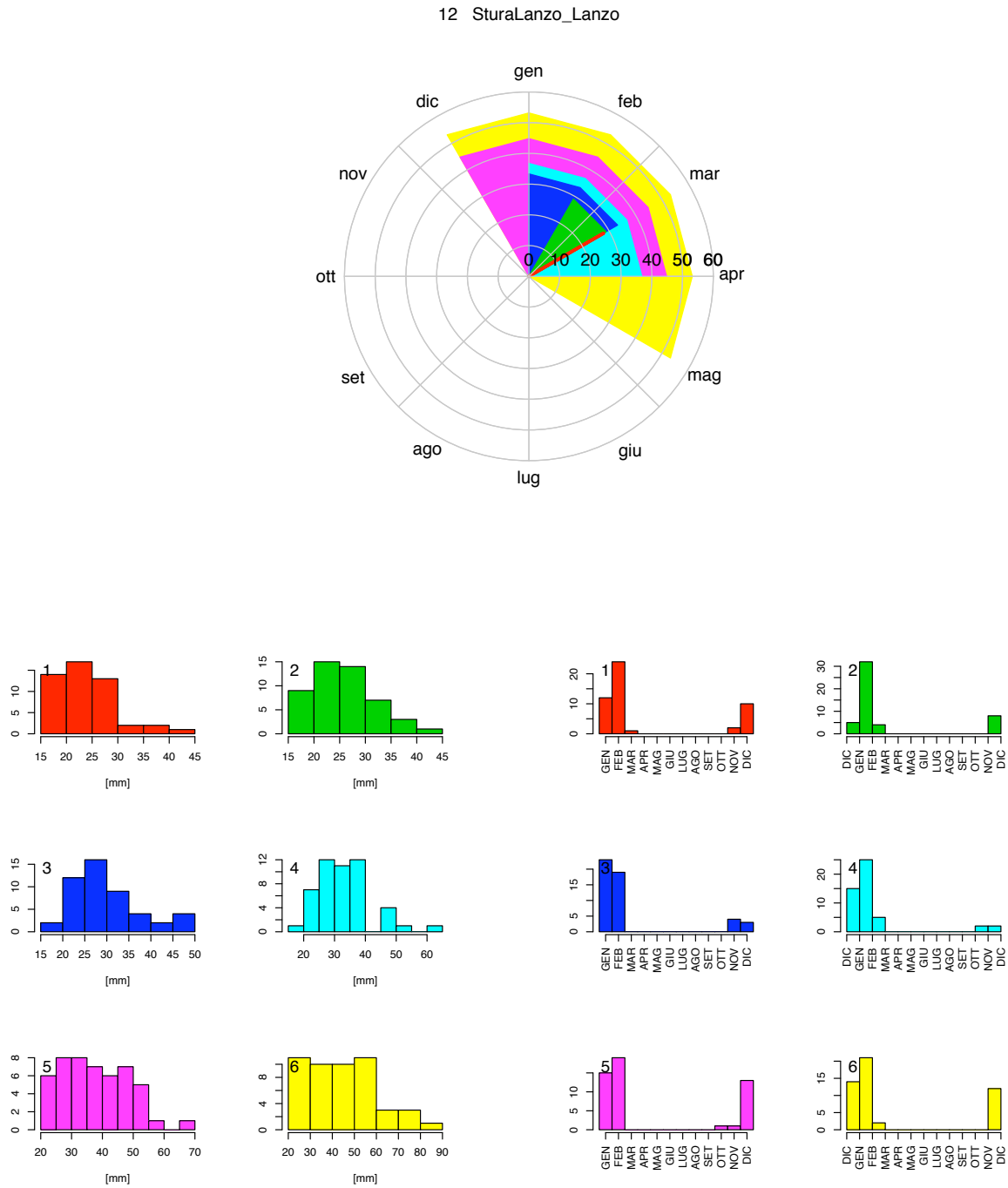


Figura F.21: Rappresentazione dei deflussi minimi per aggregazioni temporali da 1 a 6 mesi: le medie nel diagramma polare in alto; gli istogrammi di frequenza dell'entità dei minimi a sinistra; gli istogrammi di frequenza di accadimento a destra. (9/37 Stura di Lanzo a Lanzo)

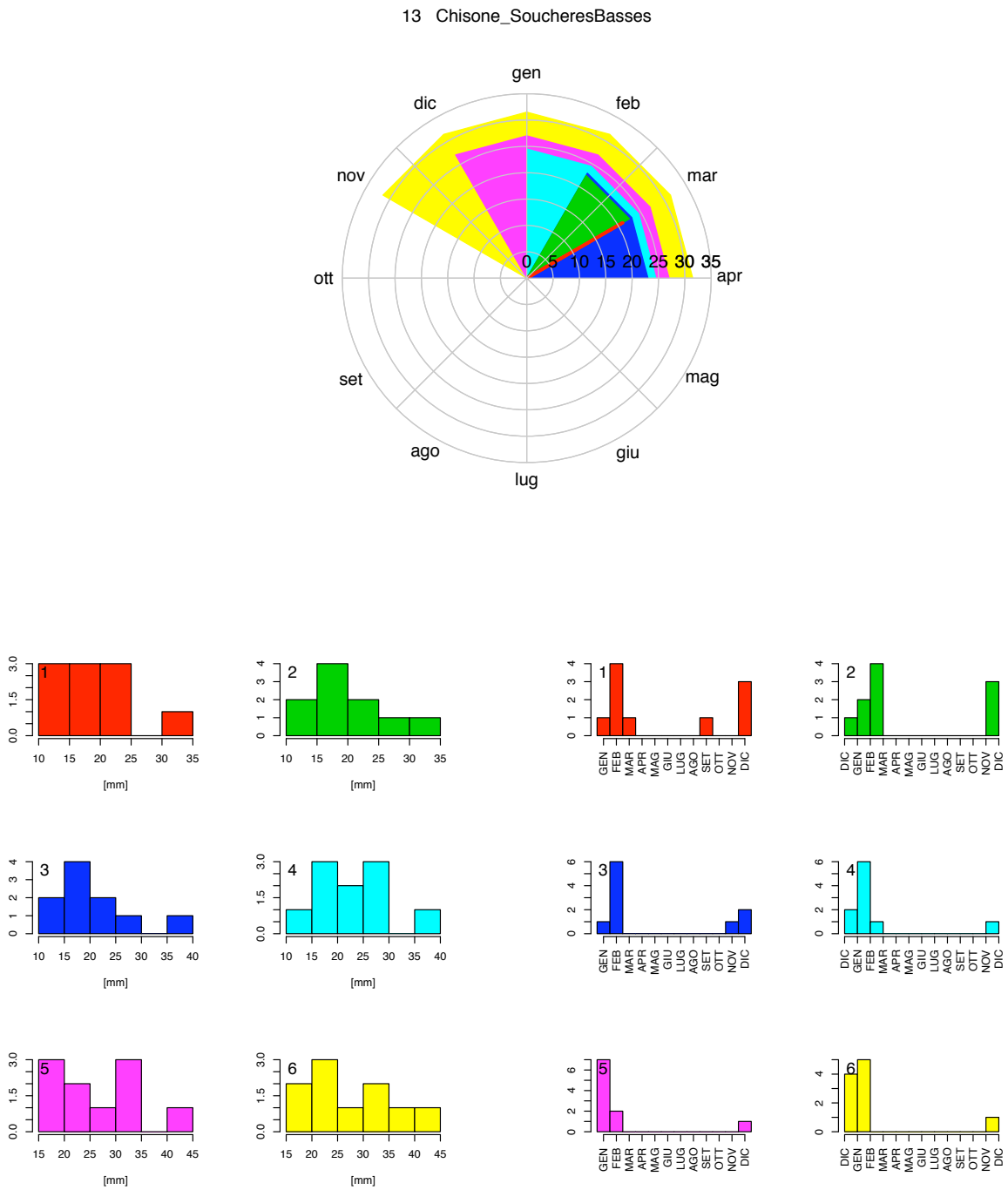


Figura F.21: Rappresentazione dei deflussi minimi per aggregazioni temporali da 1 a 6 mesi: le medie nel diagramma polare in alto; gli istogrammi di frequenza dell'entità dei minimi a sinistra; gli istogrammi di frequenza di accadimento a destra. (10/37 Chisone a Soucheres Basses)

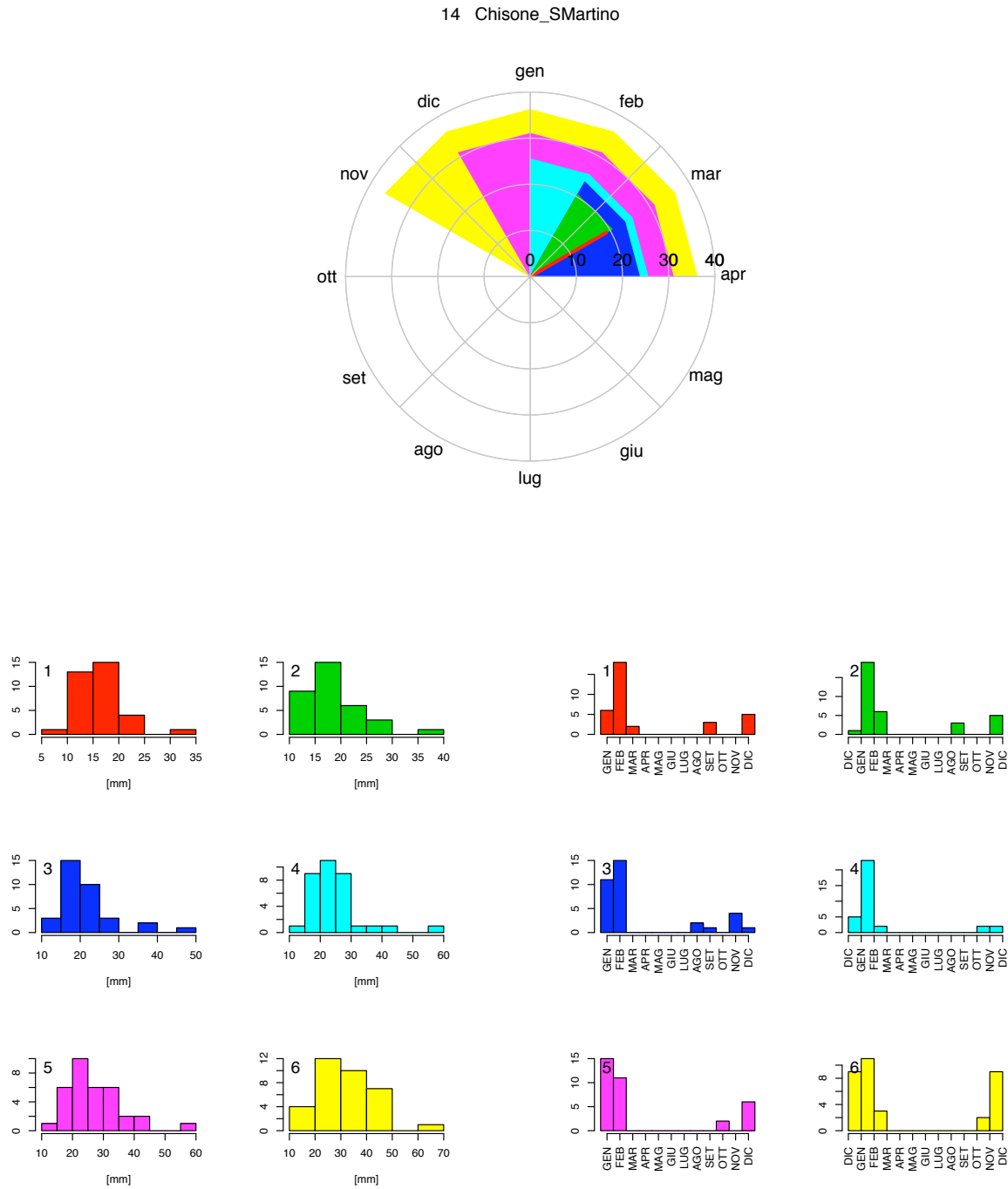


Figura F.21: Rappresentazione dei deflussi minimi per aggregazioni temporali da 1 a 6 mesi: le medie nel diagramma polare in alto; gli istogrammi di frequenza dell'entità dei minimi a sinistra; gli istogrammi di frequenza di accadimento a destra. (11/37 Chisone a San Martino)

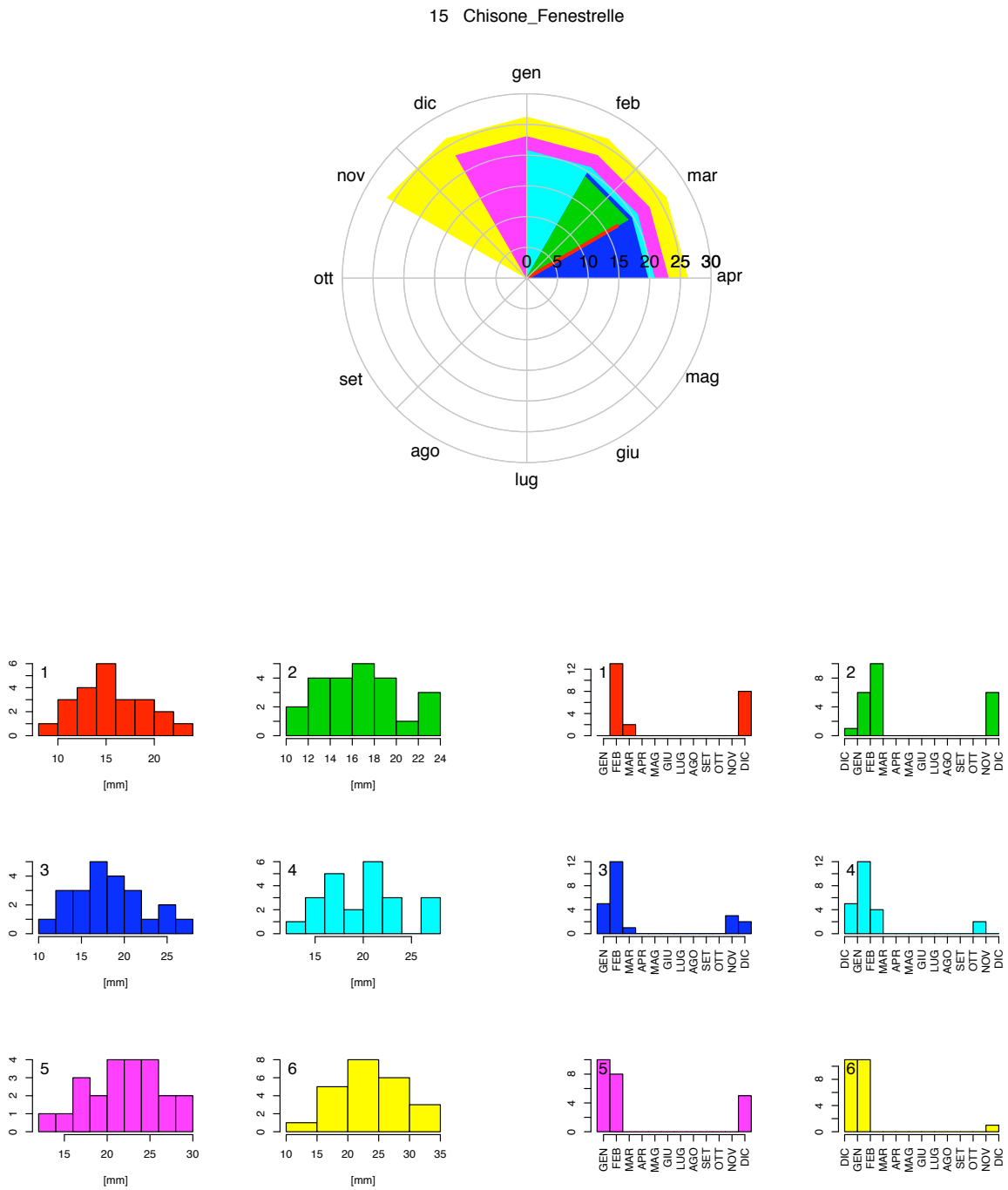


Figura F.21: Rappresentazione dei deflussi minimi per aggregazioni temporali da 1 a 6 mesi: le medie nel diagramma polare in alto; gli istogrammi di frequenza dell'entità dei minimi a sinistra; gli istogrammi di frequenza di accadimento a destra. (12/37 Chisone a Fenestrelle)

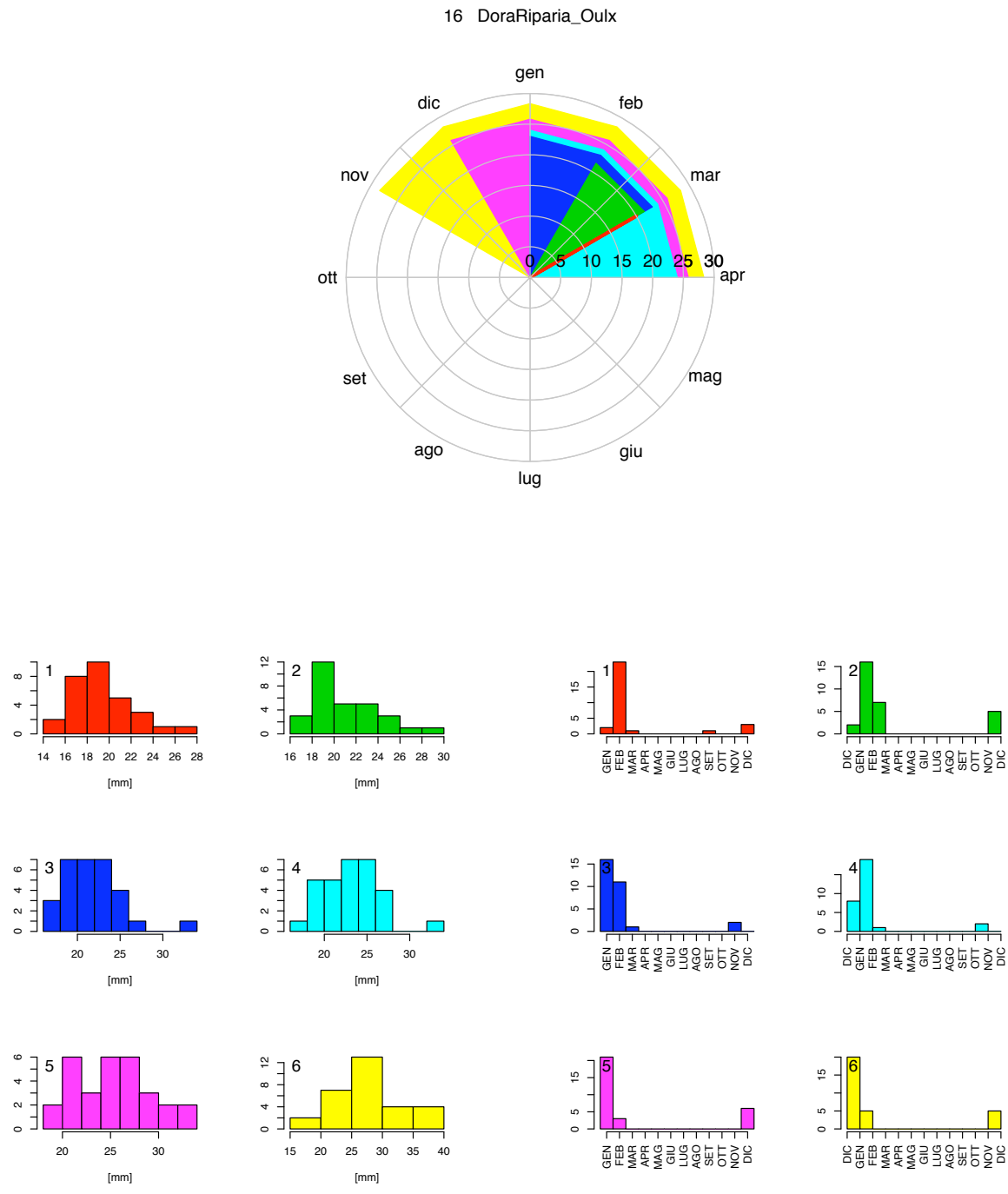


Figura F.21: Rappresentazione dei deflussi minimi per aggregazioni temporali da 1 a 6 mesi: le medie nel diagramma polare in alto; gli istogrammi di frequenza dell'entità dei minimi a sinistra; gli istogrammi di frequenza di accadimento a destra. (13/37 Dora Riparia a Oulx)

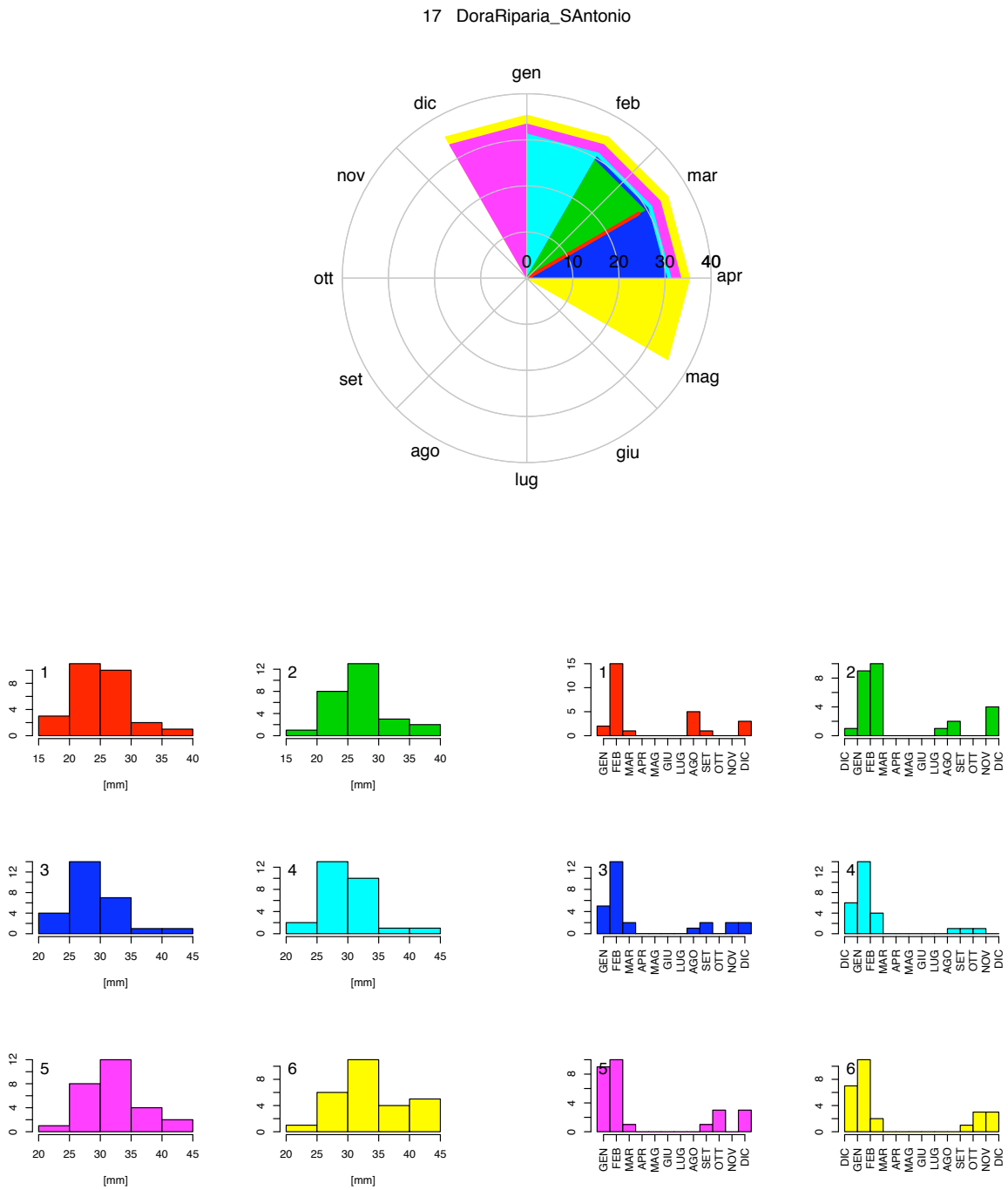


Figura F.21: Rappresentazione dei deflussi minimi per aggregazioni temporali da 1 a 6 mesi: le medie nel diagramma polare in alto; gli istogrammi di frequenza dell'entità dei minimi a sinistra; gli istogrammi di frequenza di accadimento a destra. (14/37 Dora Riparia a S. Antonino)

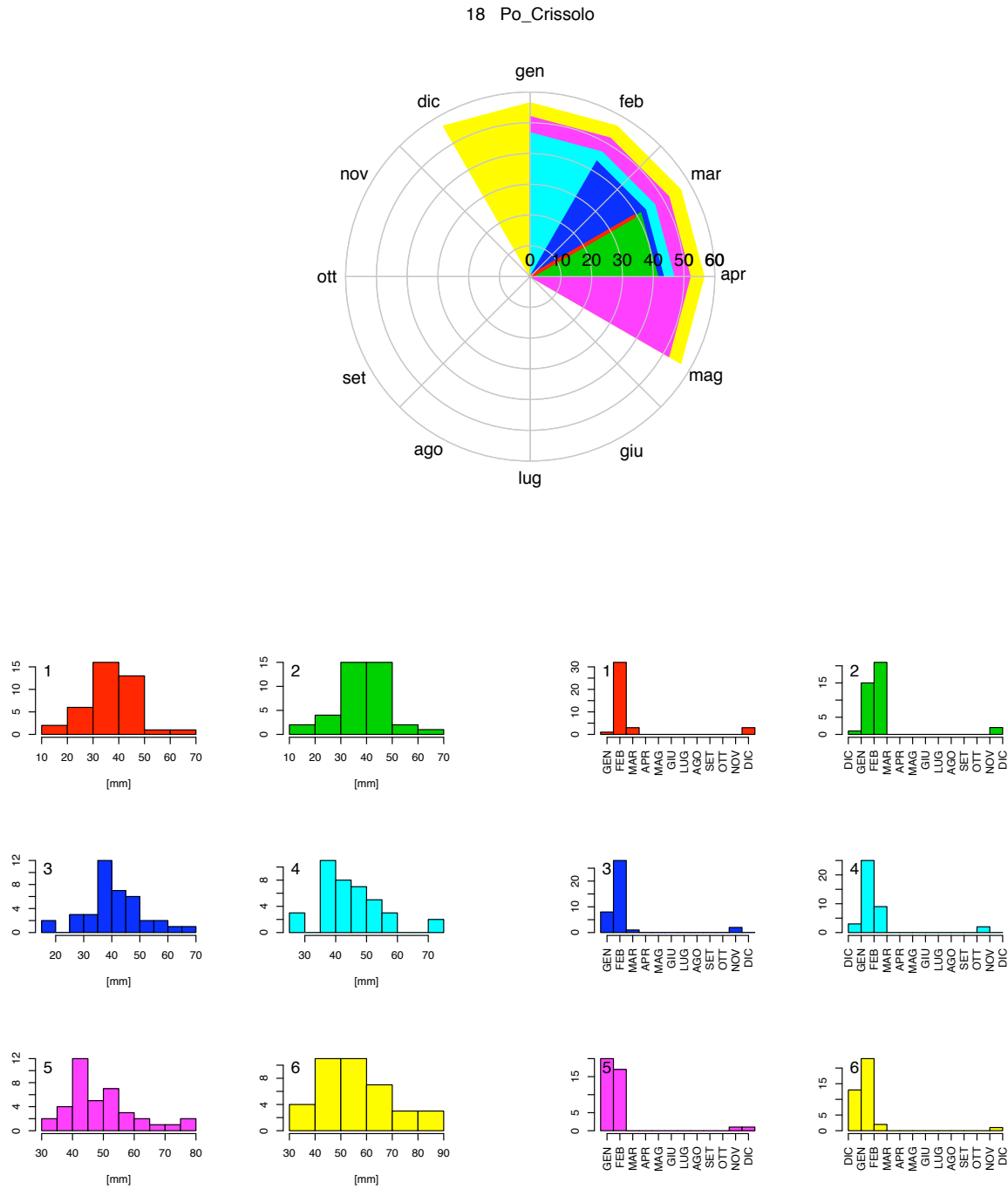


Figura F.21: Rappresentazione dei deflussi minimi per aggregazioni temporali da 1 a 6 mesi: le medie nel diagramma polare in alto; gli istogrammi di frequenza dell'entità dei minimi a sinistra; gli istogrammi di frequenza di accadimento a destra. (15/37 Po a Crissolo)

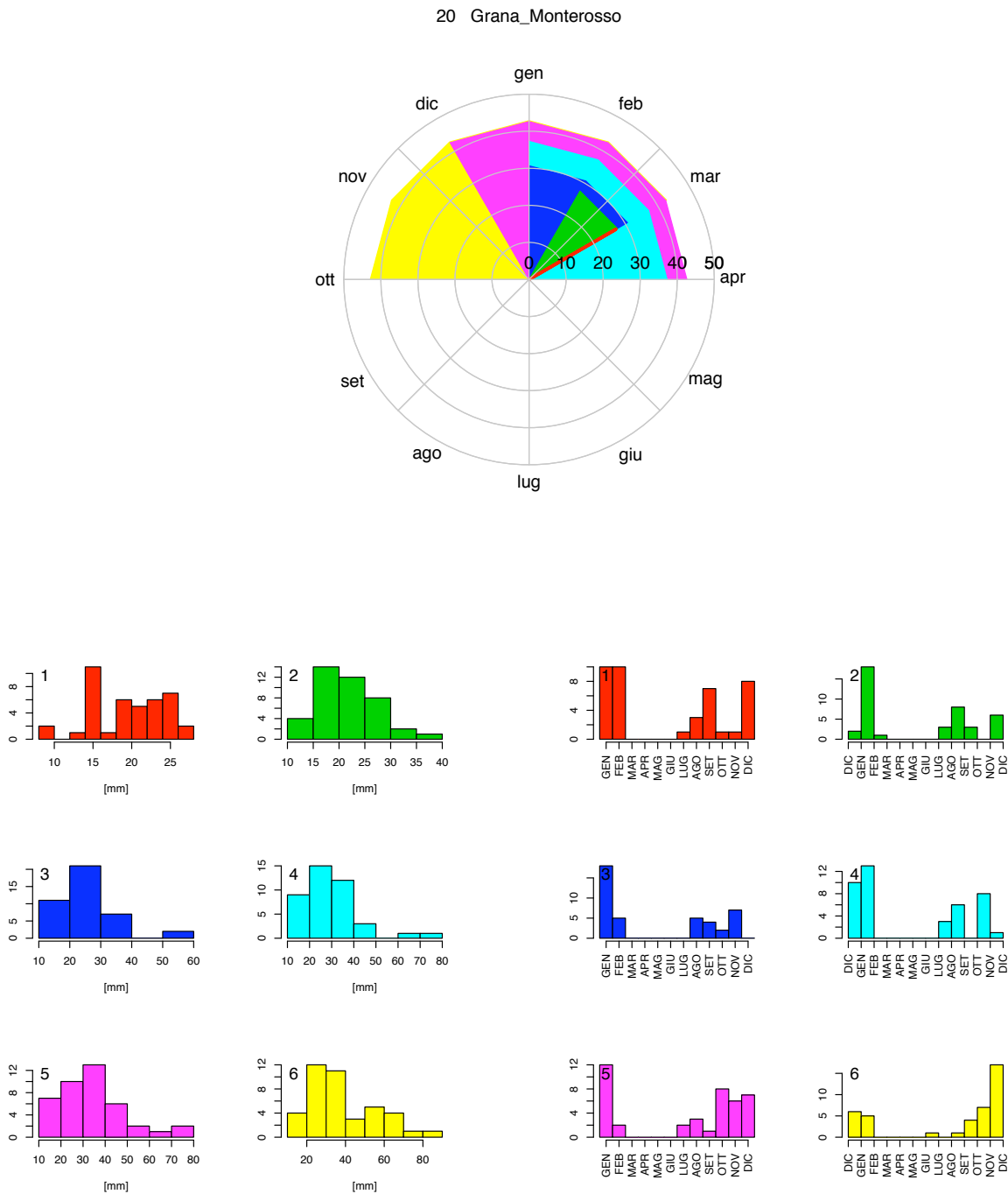


Figura F.21: Rappresentazione dei deflussi minimi per aggregazioni temporali da 1 a 6 mesi: le medie nel diagramma polare in alto; gli istogrammi di frequenza dell'entità dei minimi a sinistra; gli istogrammi di frequenza di accadimento a destra. (16/37 Grana a Monterosso)

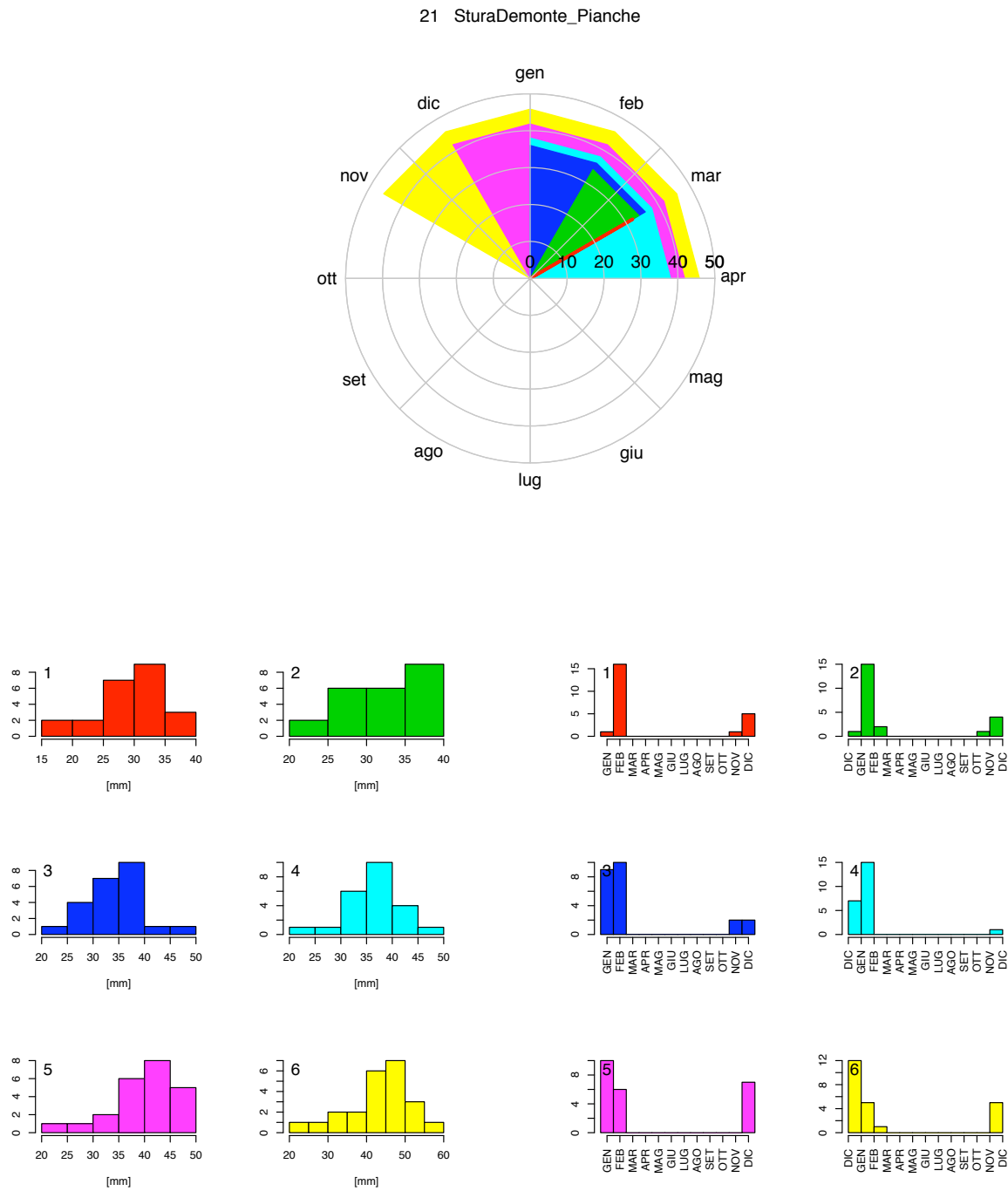


Figura F.21: Rappresentazione dei deflussi minimi per aggregazioni temporali da 1 a 6 mesi: le medie nel diagramma polare in alto; gli istogrammi di frequenza dell’entità dei minimi a sinistra; gli istogrammi di frequenza di accadimento a destra. (17/37 Stura di Demonte a Pianche)

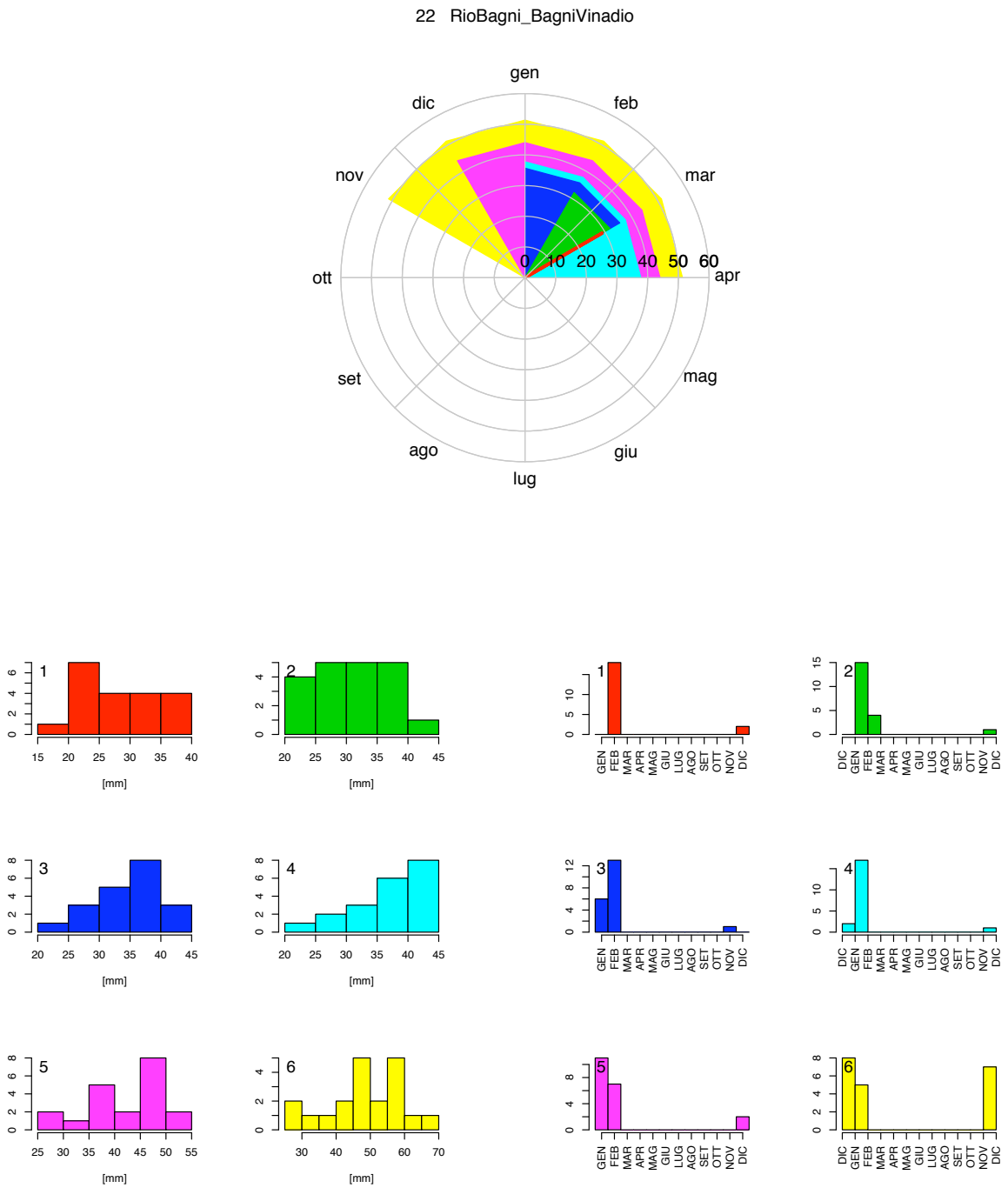


Figura F.21: Rappresentazione dei deflussi minimi per aggregazioni temporali da 1 a 6 mesi: le medie nel diagramma polare in alto; gli istogrammi di frequenza dell'entità dei minimi a sinistra; gli istogrammi di frequenza di accadimento a destra. (18/37 Rio Bagni a Bagni di Vinadio)

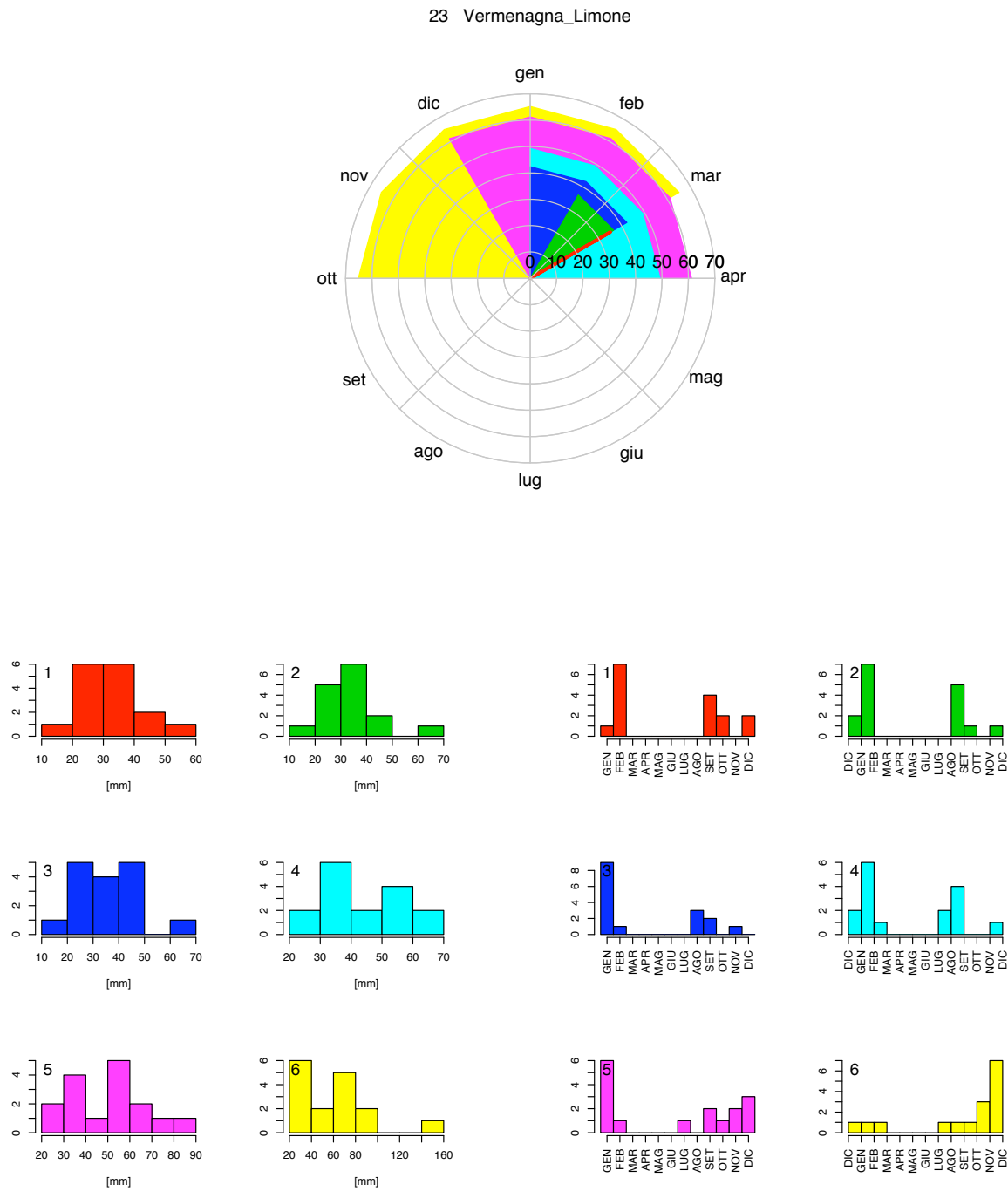


Figura F.21: Rappresentazione dei deflussi minimi per aggregazioni temporali da 1 a 6 mesi: le medie nel diagramma polare in alto; gli istogrammi di frequenza dell'entità dei minimi a sinistra; gli istogrammi di frequenza di accadimento a destra. (19/37 Vermenagna a Limone)

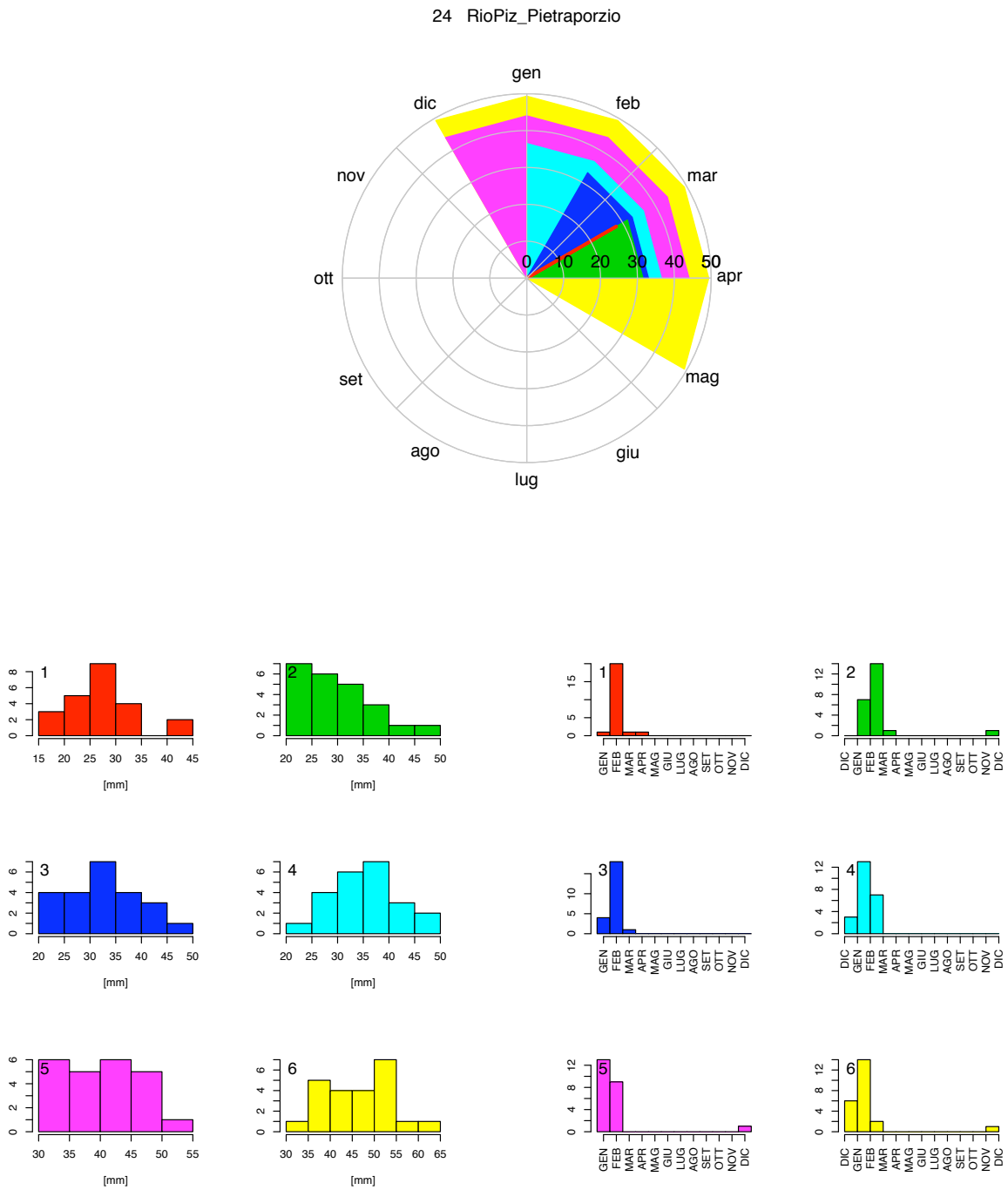


Figura F.21: Rappresentazione dei deflussi minimi per aggregazioni temporali da 1 a 6 mesi: le medie nel diagramma polare in alto; gli istogrammi di frequenza dell'entità dei minimi a sinistra; gli istogrammi di frequenza di accadimento a destra. (20/37 Rio Piz a Pietraporzio)

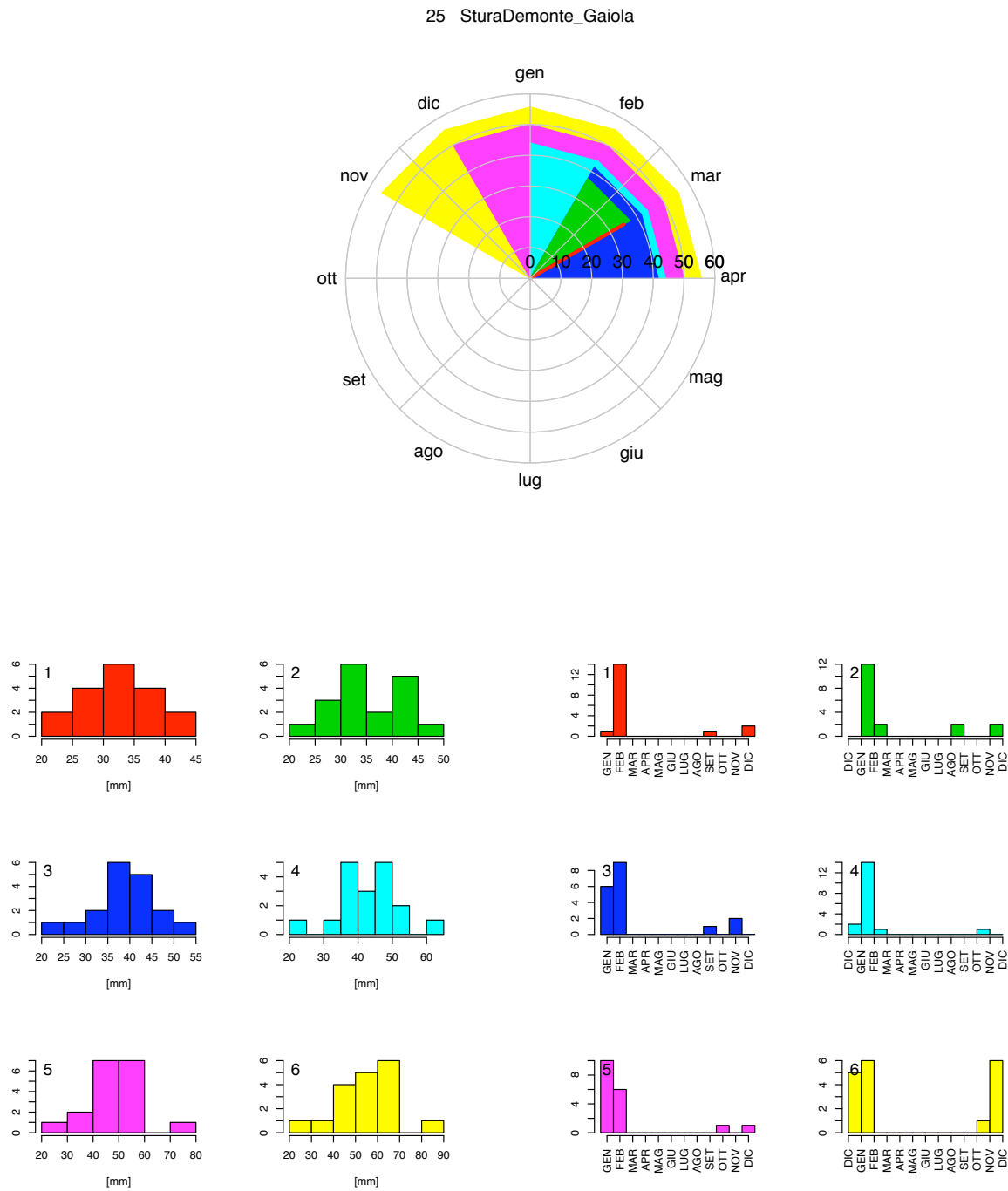


Figura F.21: Rappresentazione dei deflussi minimi per aggregazioni temporali da 1 a 6 mesi: le medie nel diagramma polare in alto; gli istogrammi di frequenza dell'entità dei minimi a sinistra; gli istogrammi di frequenza di accadimento a destra. (21/37 Stura di Demonte a Gaiola)

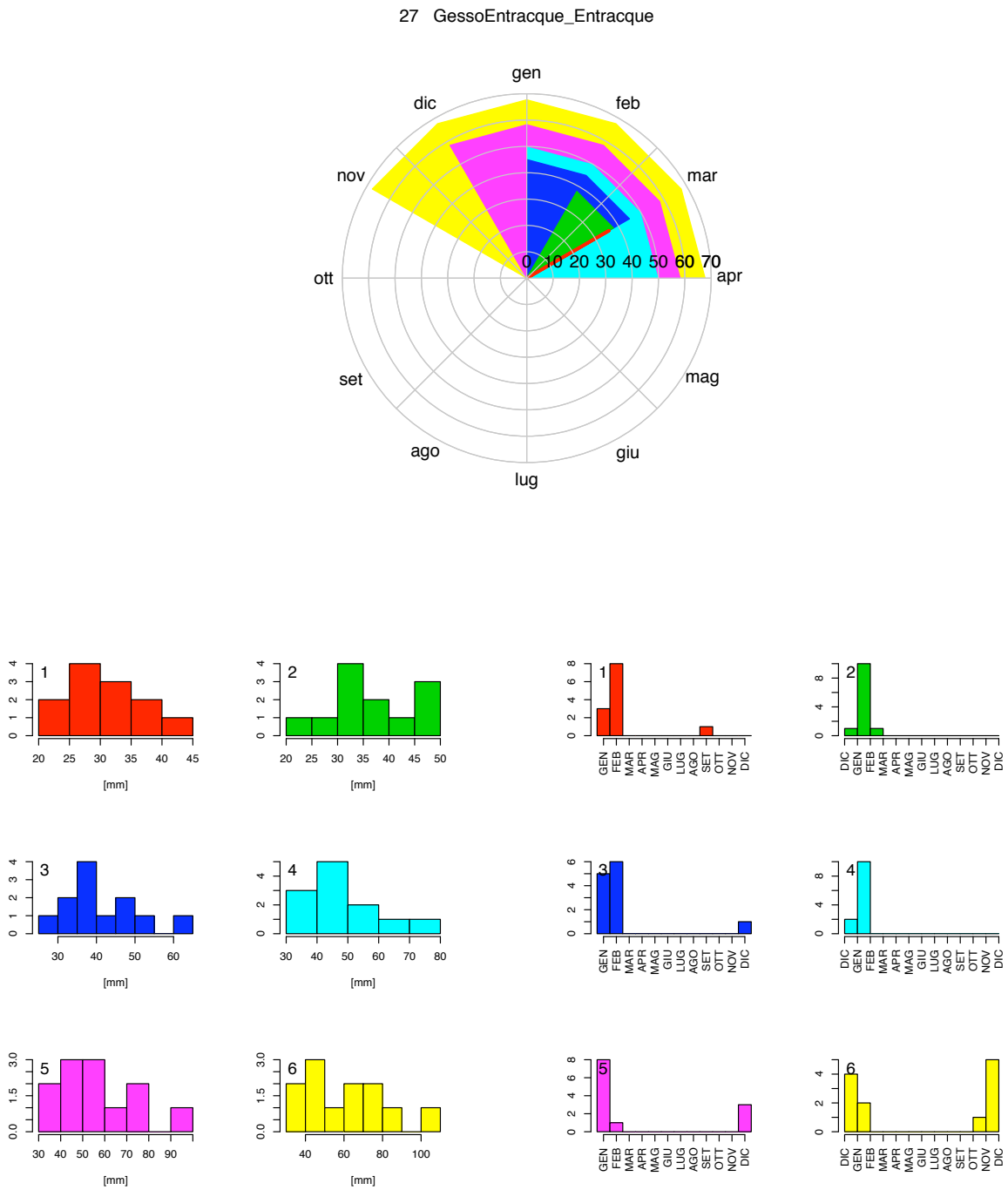


Figura F.21: Rappresentazione dei deflussi minimi per aggregazioni temporali da 1 a 6 mesi: le medie nel diagramma polare in alto; gli istogrammi di frequenza dell'entità dei minimi a sinistra; gli istogrammi di frequenza di accadimento a destra. (22/37 Gesso di Entracque ad Entracque)

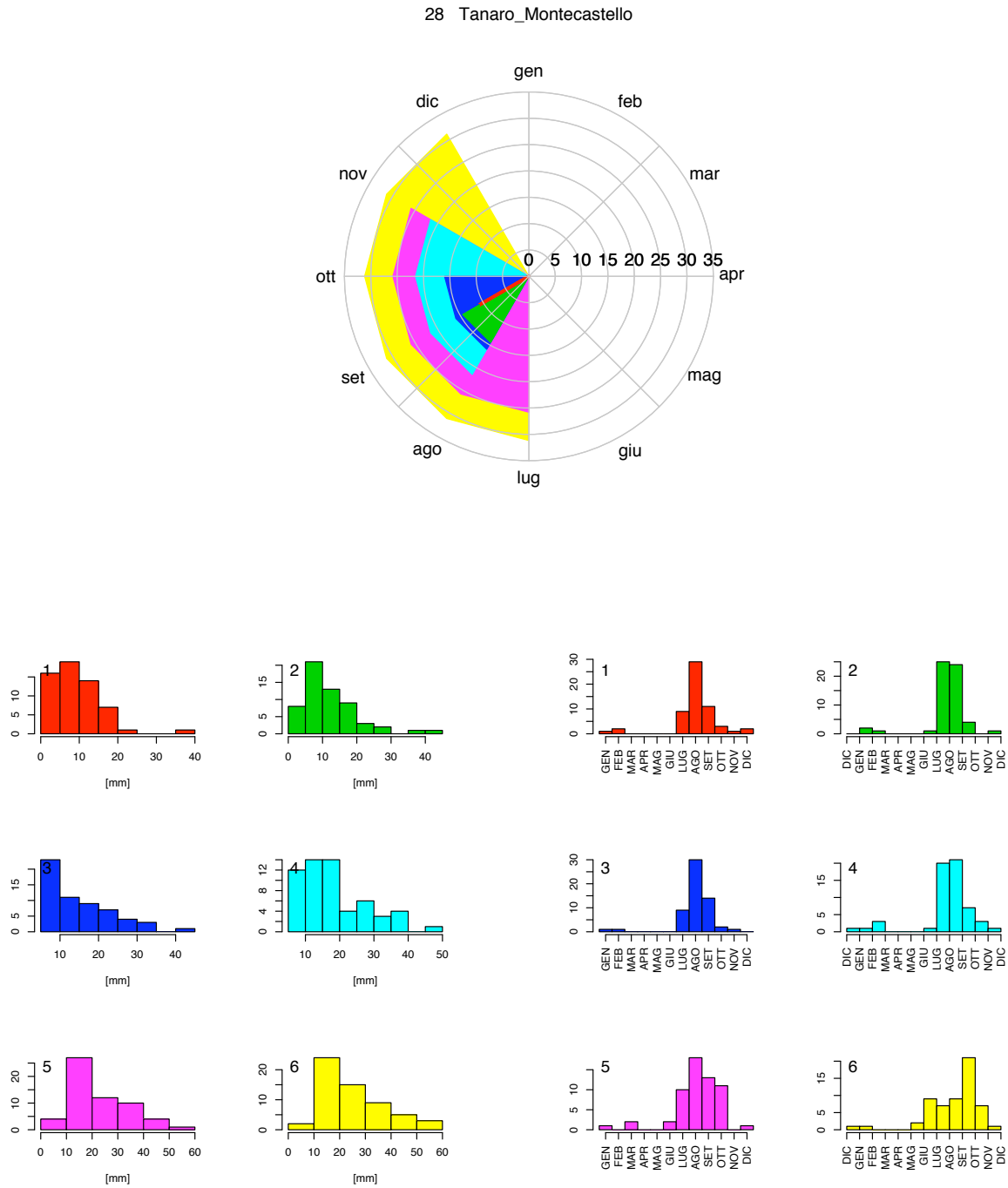


Figura F.21: Rappresentazione dei deflussi minimi per aggregazioni temporali da 1 a 6 mesi: le medie nel diagramma polare in alto; gli istogrammi di frequenza dell'entità dei minimi a sinistra; gli istogrammi di frequenza di accadimento a destra. (23/37 Tanaro a Montecastello)

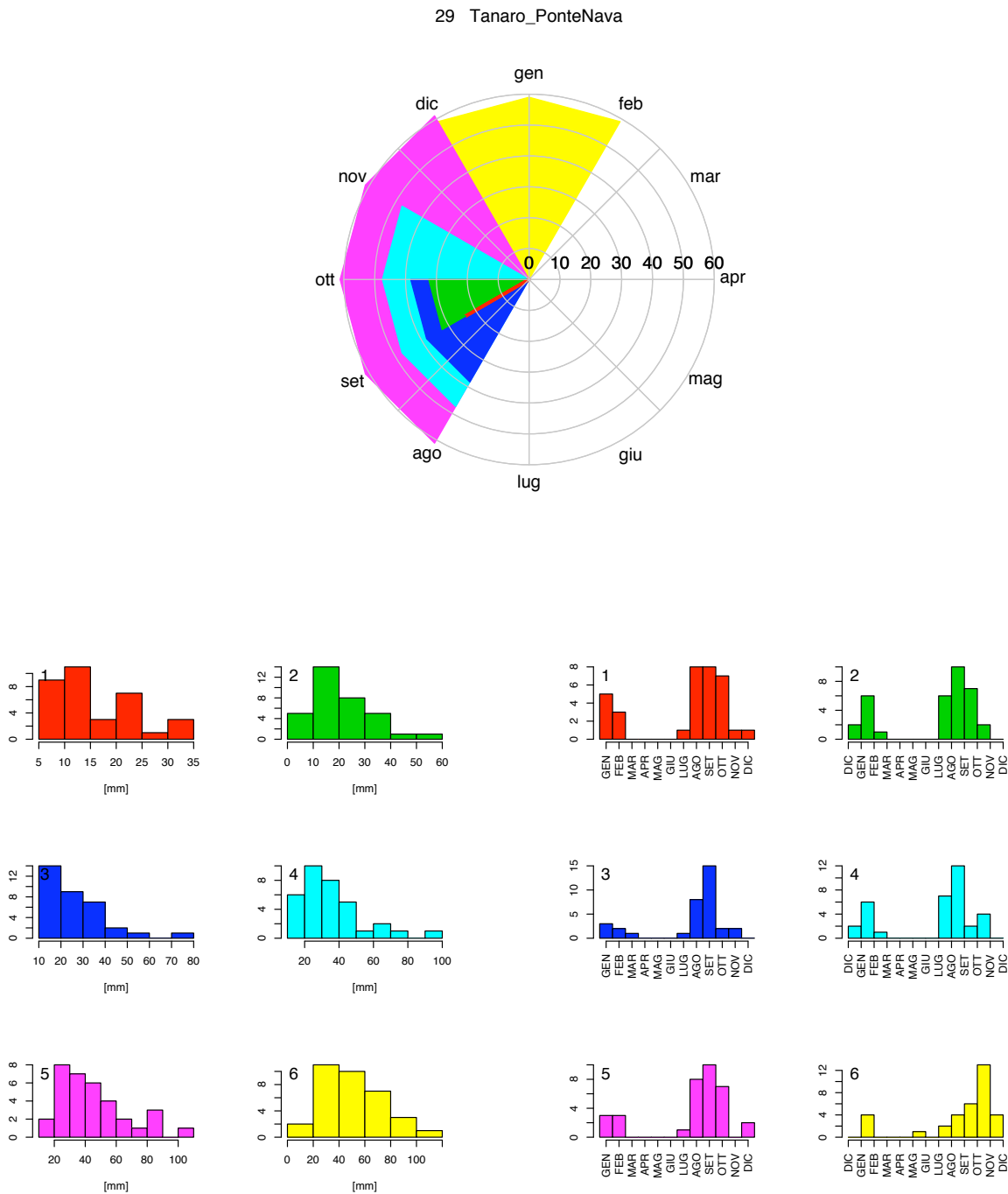


Figura F.21: Rappresentazione dei deflussi minimi per aggregazioni temporali da 1 a 6 mesi: le medie nel diagramma polare in alto; gli istogrammi di frequenza dell'entità dei minimi a sinistra; gli istogrammi di frequenza di accadimento a destra. (24/37 Tanaro a Ponte Nava)

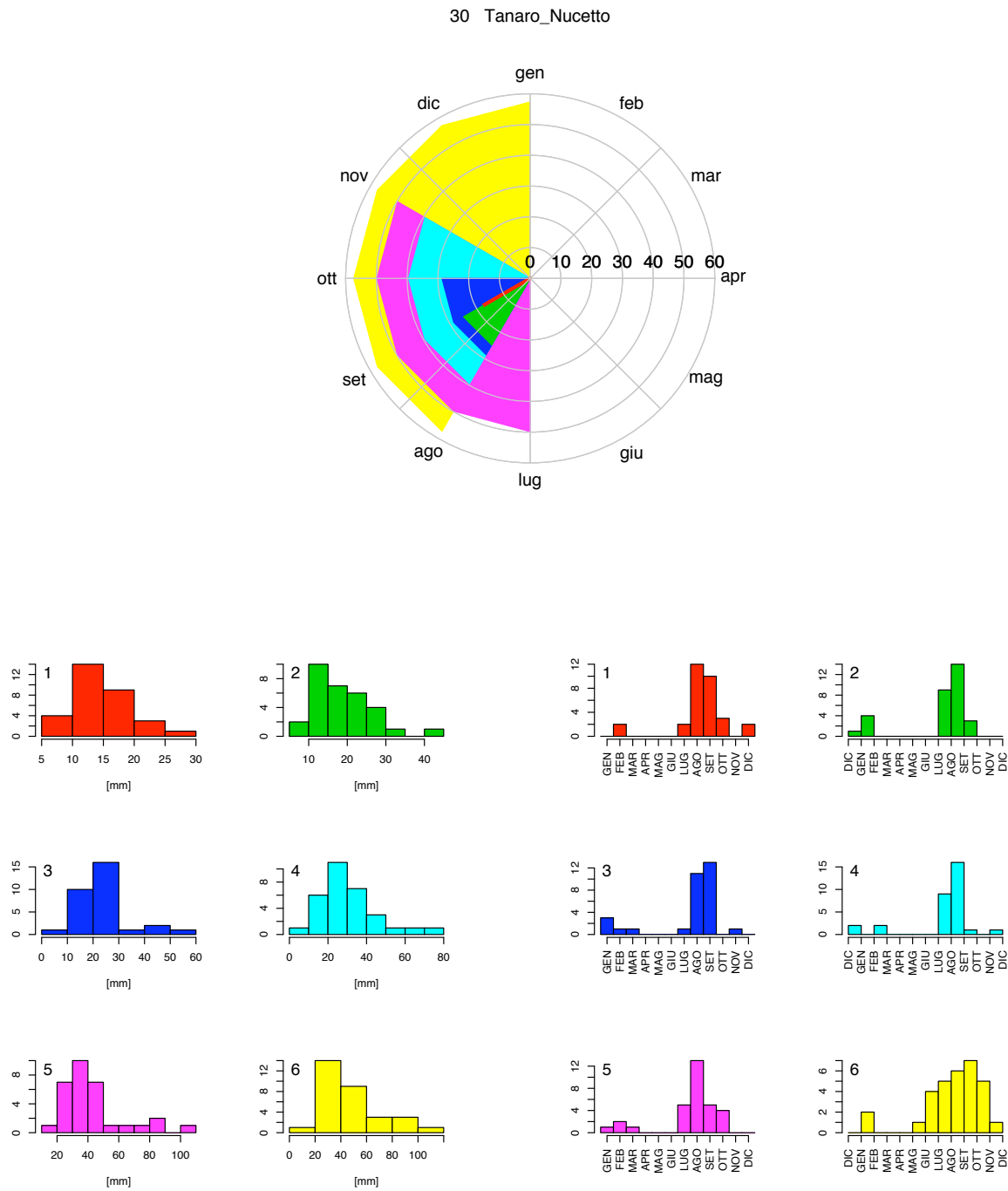


Figura F.21: Rappresentazione dei deflussi minimi per aggregazioni temporali da 1 a 6 mesi: le medie nel diagramma polare in alto; gli istogrammi di frequenza dell'entità dei minimi a sinistra; gli istogrammi di frequenza di accadimento a destra. (25/37 Tanaro a Nucetto)

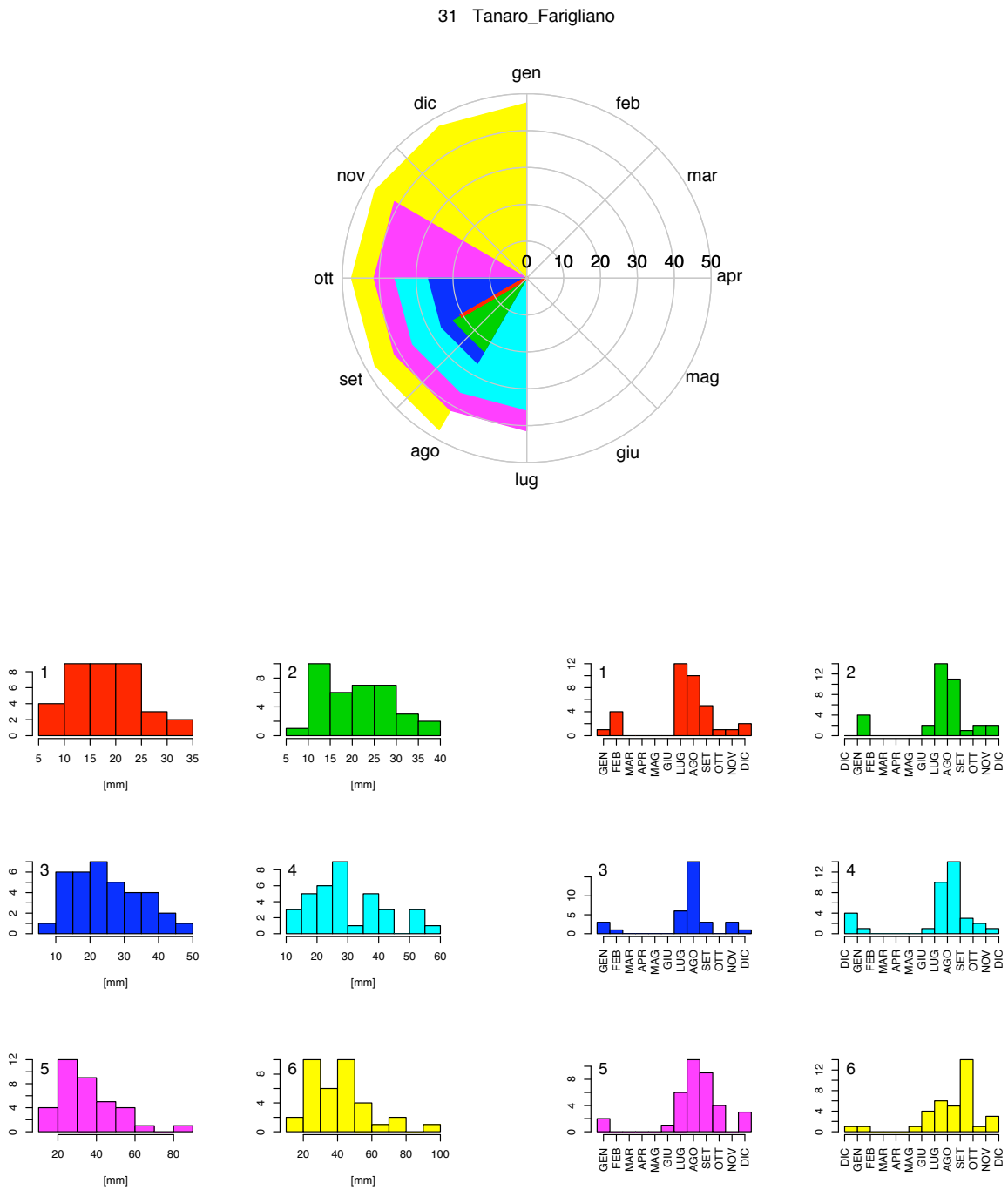


Figura F.21: Rappresentazione dei deflussi minimi per aggregazioni temporali da 1 a 6 mesi: le medie nel diagramma polare in alto; gli istogrammi di frequenza dell'entità dei minimi a sinistra; gli istogrammi di frequenza di accadimento a destra. (26/37 Tanaro a Farigliano)

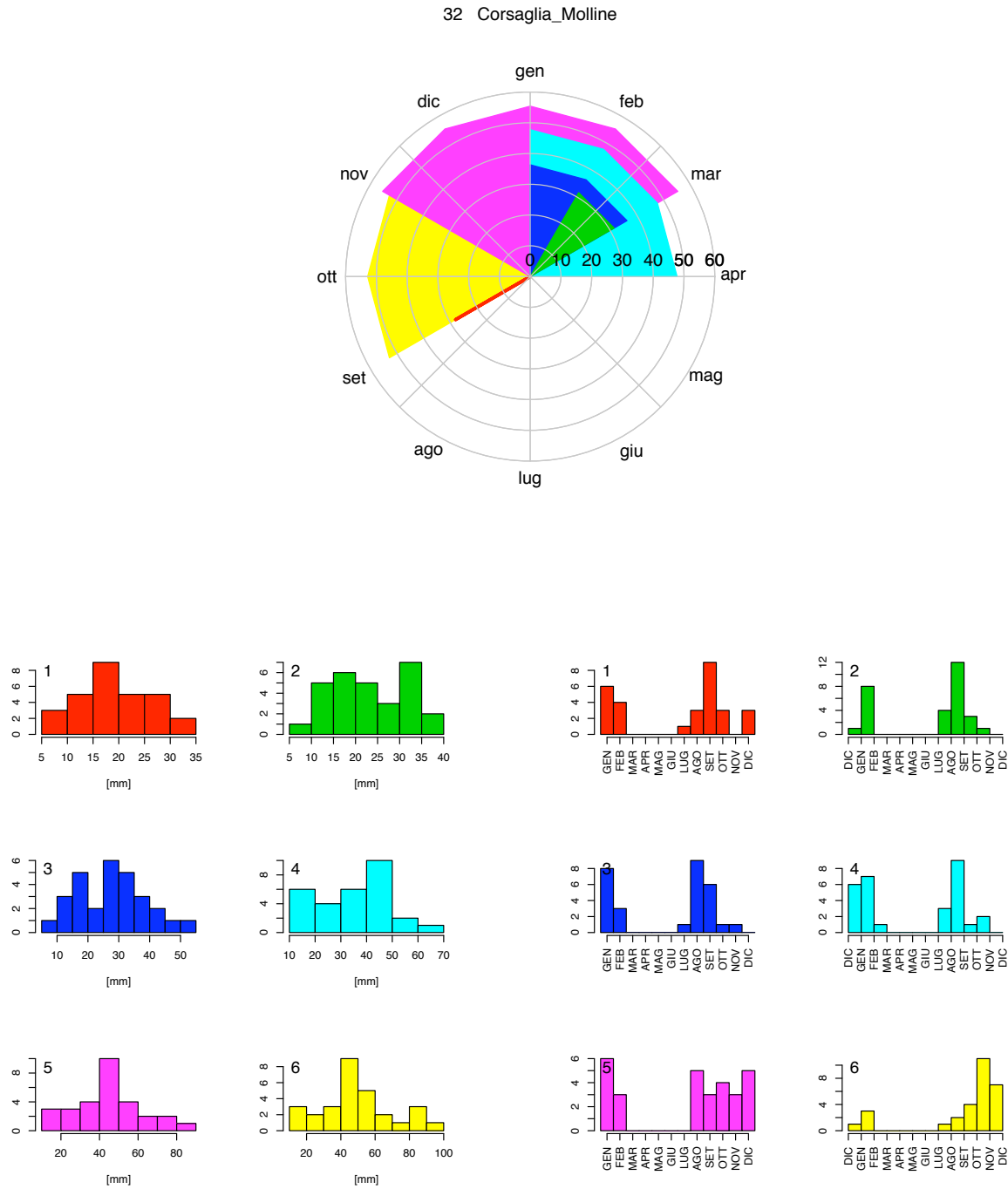


Figura F.21: Rappresentazione dei deflussi minimi per aggregazioni temporali da 1 a 6 mesi: le medie nel diagramma polare in alto; gli istogrammi di frequenza dell'entità dei minimi a sinistra; gli istogrammi di frequenza di accadimento a destra. (27/37 Corsaglia a Molline)

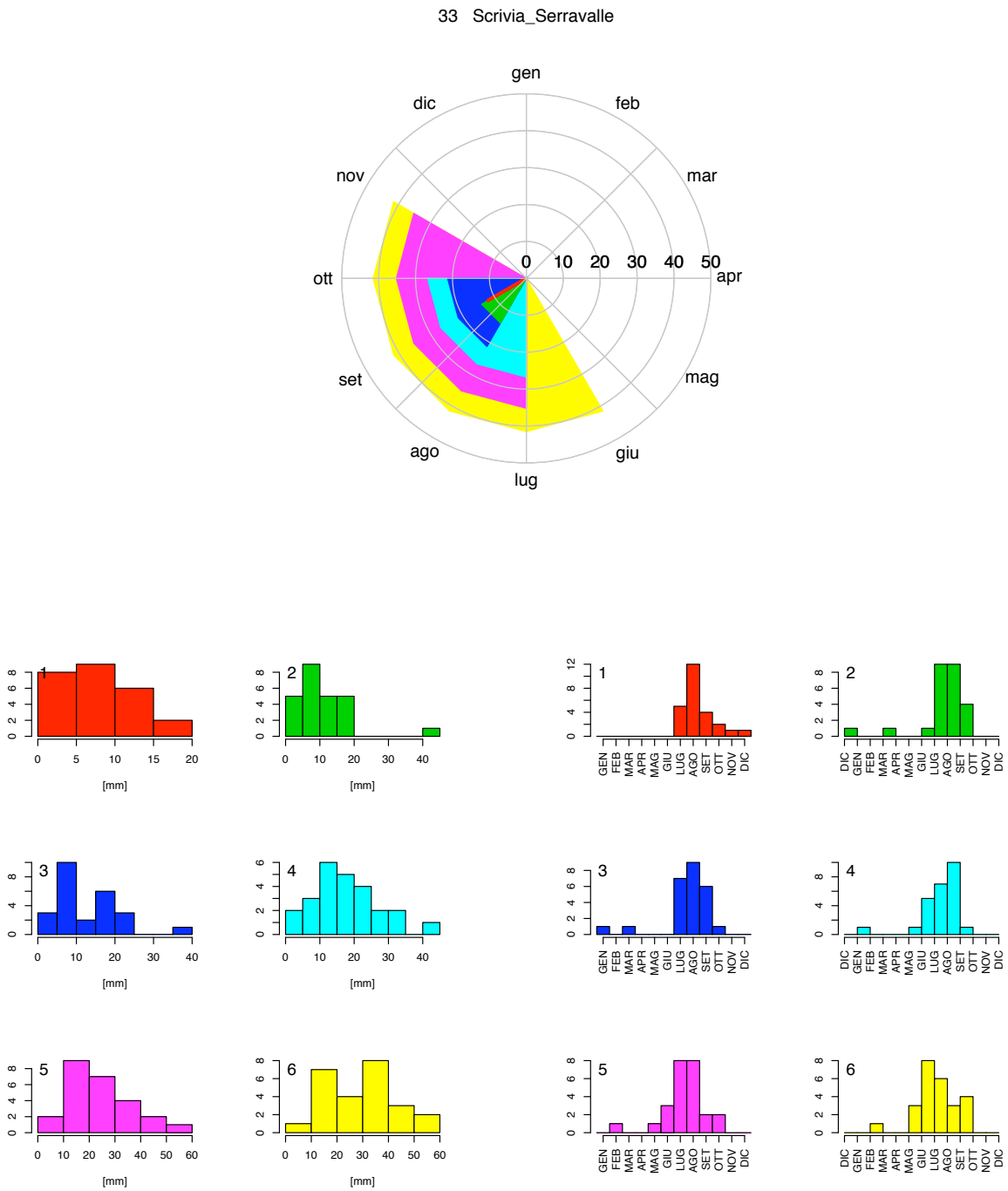


Figura F.21: Rappresentazione dei deflussi minimi per aggregazioni temporali da 1 a 6 mesi: le medie nel diagramma polare in alto; gli istogrammi di frequenza dell'entità dei minimi a sinistra; gli istogrammi di frequenza di accadimento a destra. (28/37 Scrvia a Serravalle)

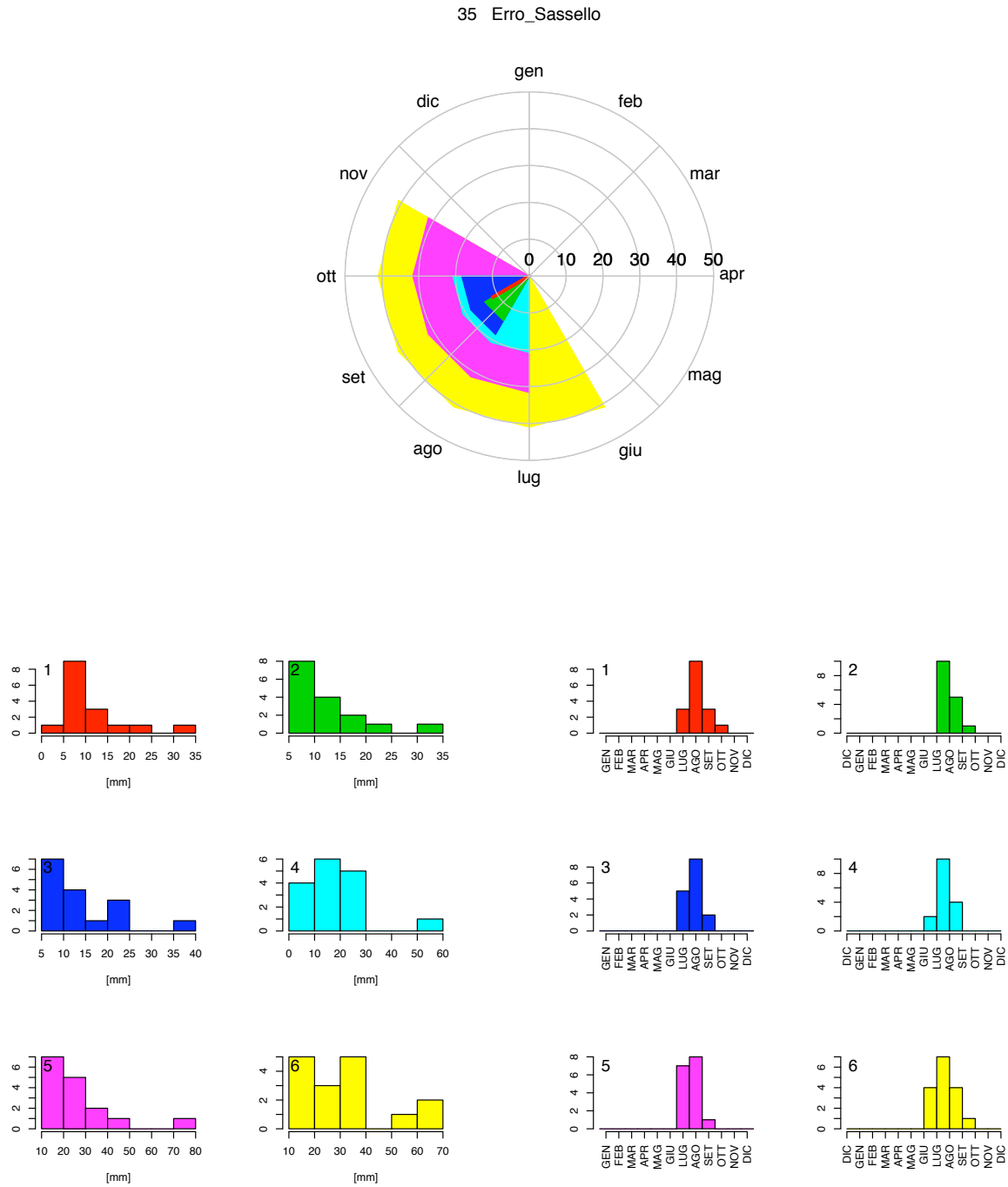


Figura F.21: Rappresentazione dei deflussi minimi per aggregazioni temporali da 1 a 6 mesi: le medie nel diagramma polare in alto; gli istogrammi di frequenza dell'entità dei minimi a sinistra; gli istogrammi di frequenza di accadimento a destra. (29/37 Erro a Sassello)

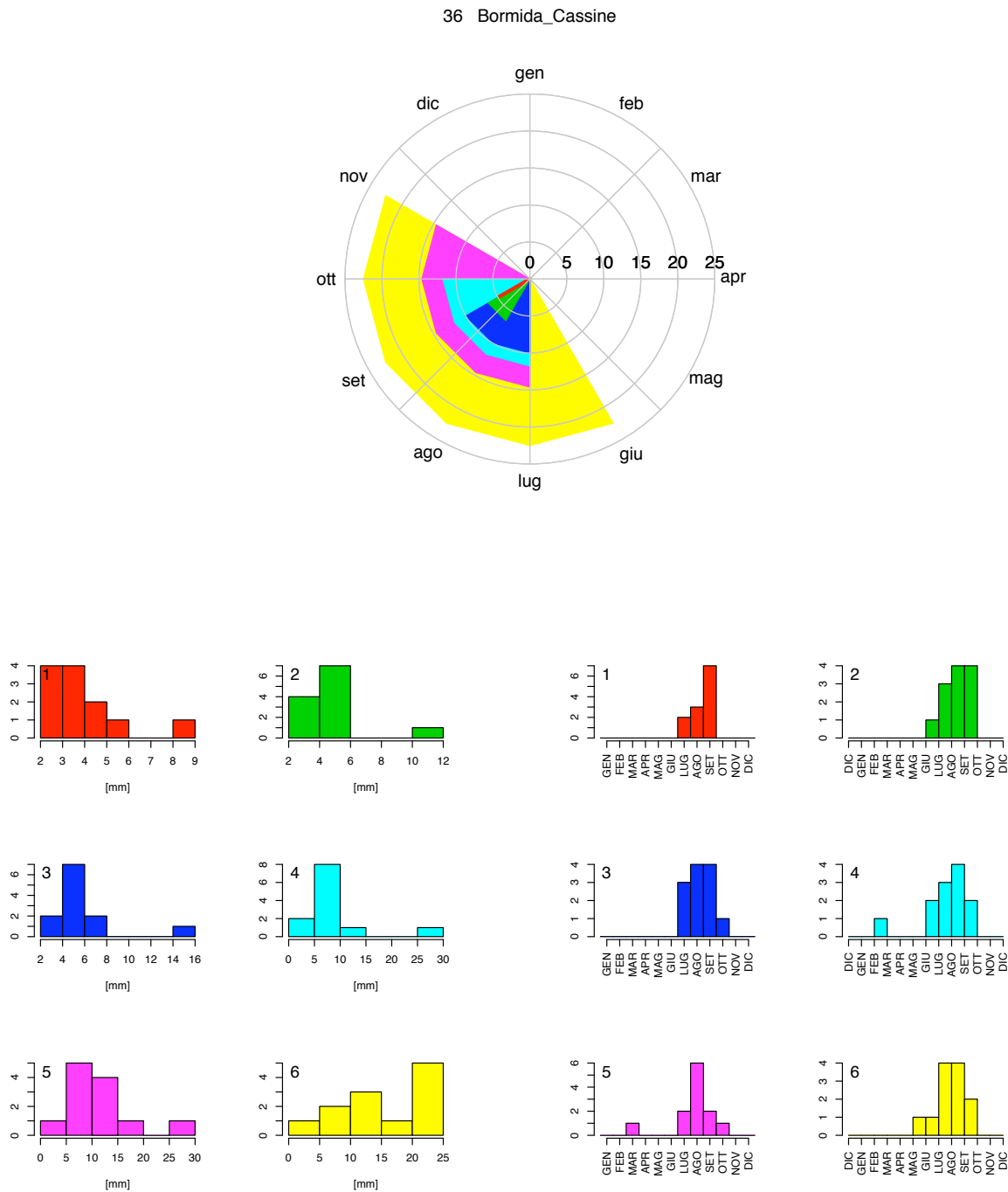


Figura F.21: Rappresentazione dei deflussi minimi per aggregazioni temporali da 1 a 6 mesi: le medie nel diagramma polare in alto; gli istogrammi di frequenza dell'entità dei minimi a sinistra; gli istogrammi di frequenza di accadimento a destra. (30/37 Bormida a Cassine)

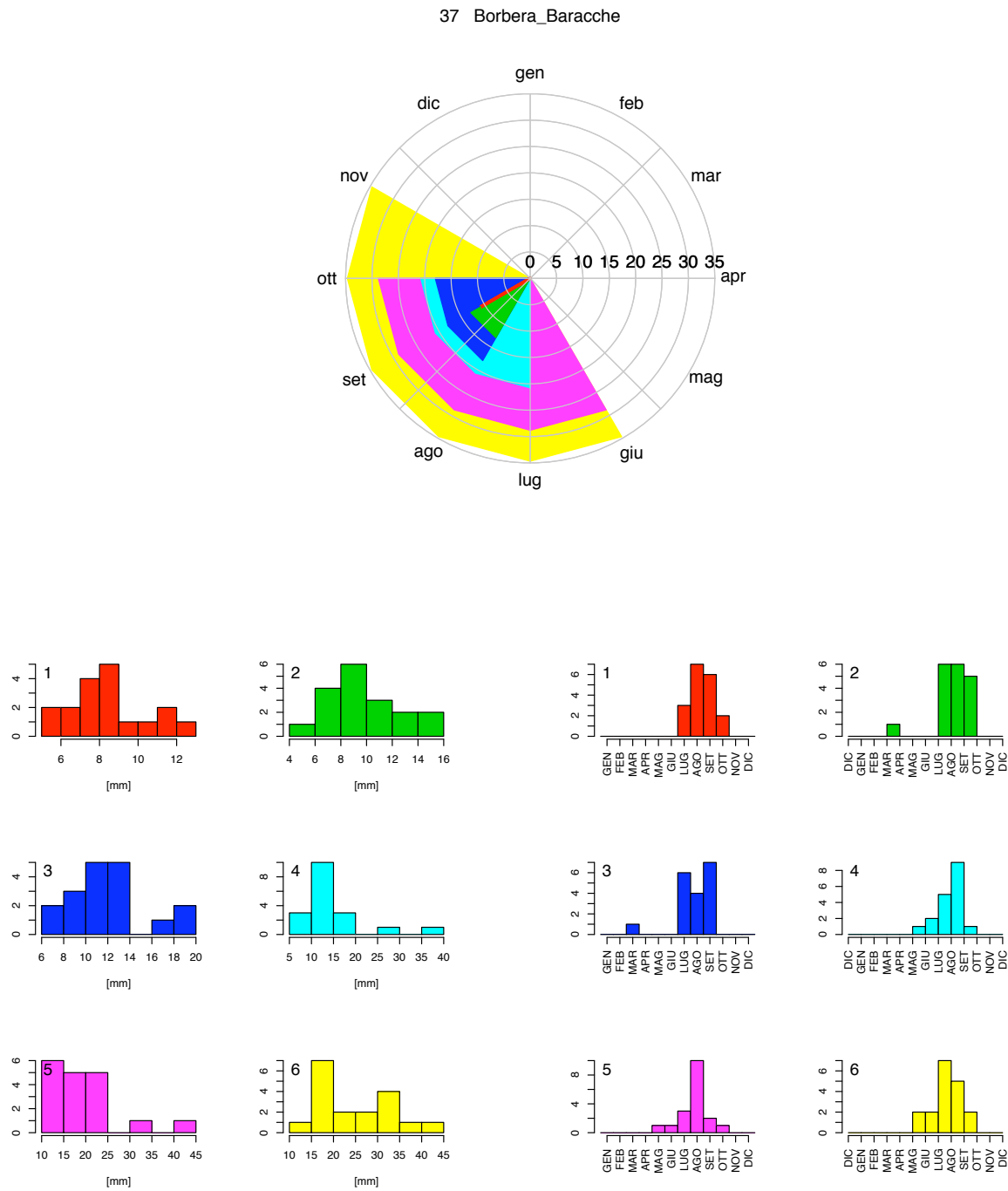


Figura F.21: Rappresentazione dei deflussi minimi per aggregazioni temporali da 1 a 6 mesi: le medie nel diagramma polare in alto; gli istogrammi di frequenza dell'entità dei minimi a sinistra; gli istogrammi di frequenza di accadimento a destra. (31/37 Borbera a Baracche)

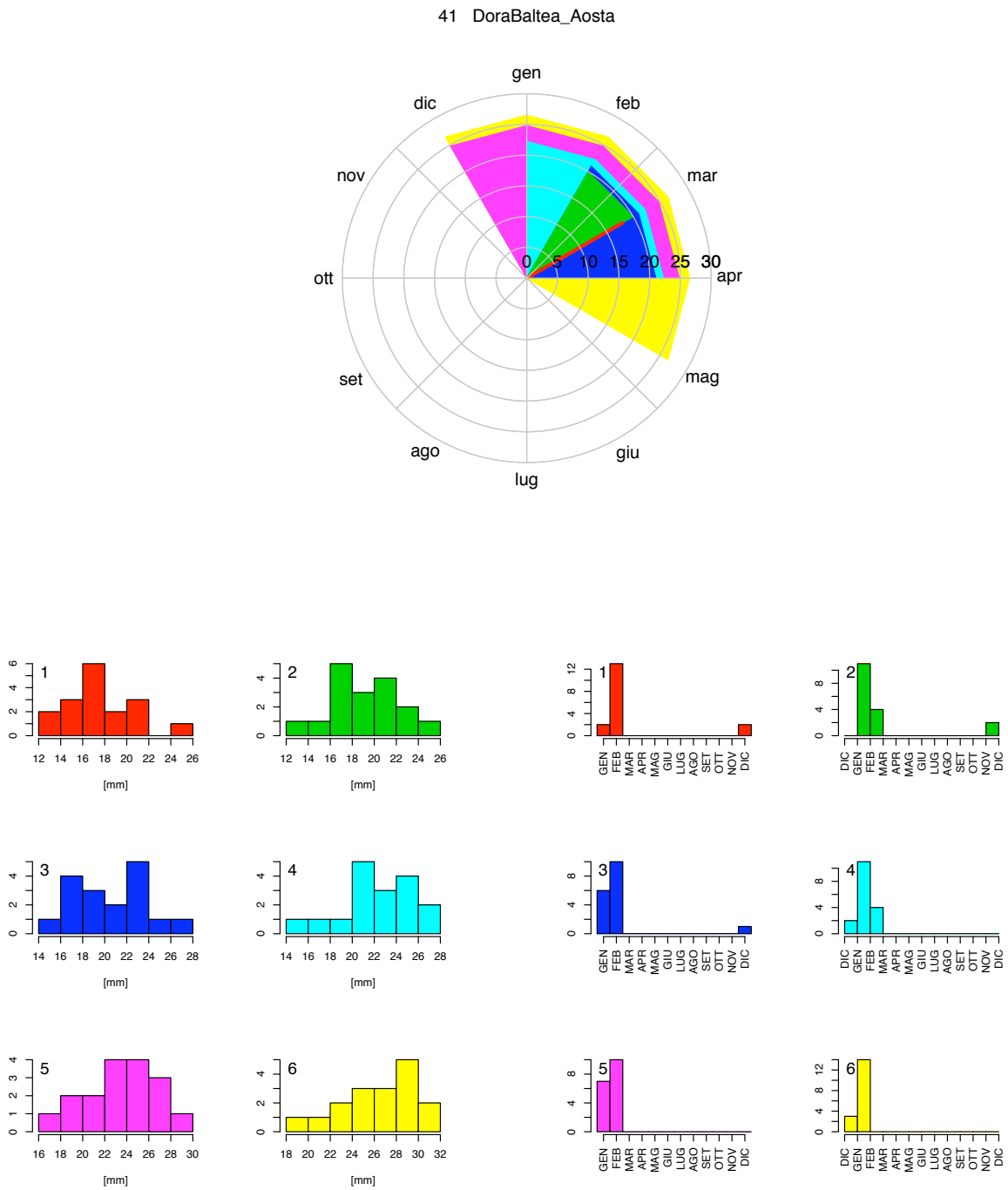


Figura F.21: Rappresentazione dei deflussi minimi per aggregazioni temporali da 1 a 6 mesi: le medie nel diagramma polare in alto; gli istogrammi di frequenza dell'entità dei minimi a sinistra; gli istogrammi di frequenza di accadimento a destra. (32/37 Dora Baltea ad Aosta)

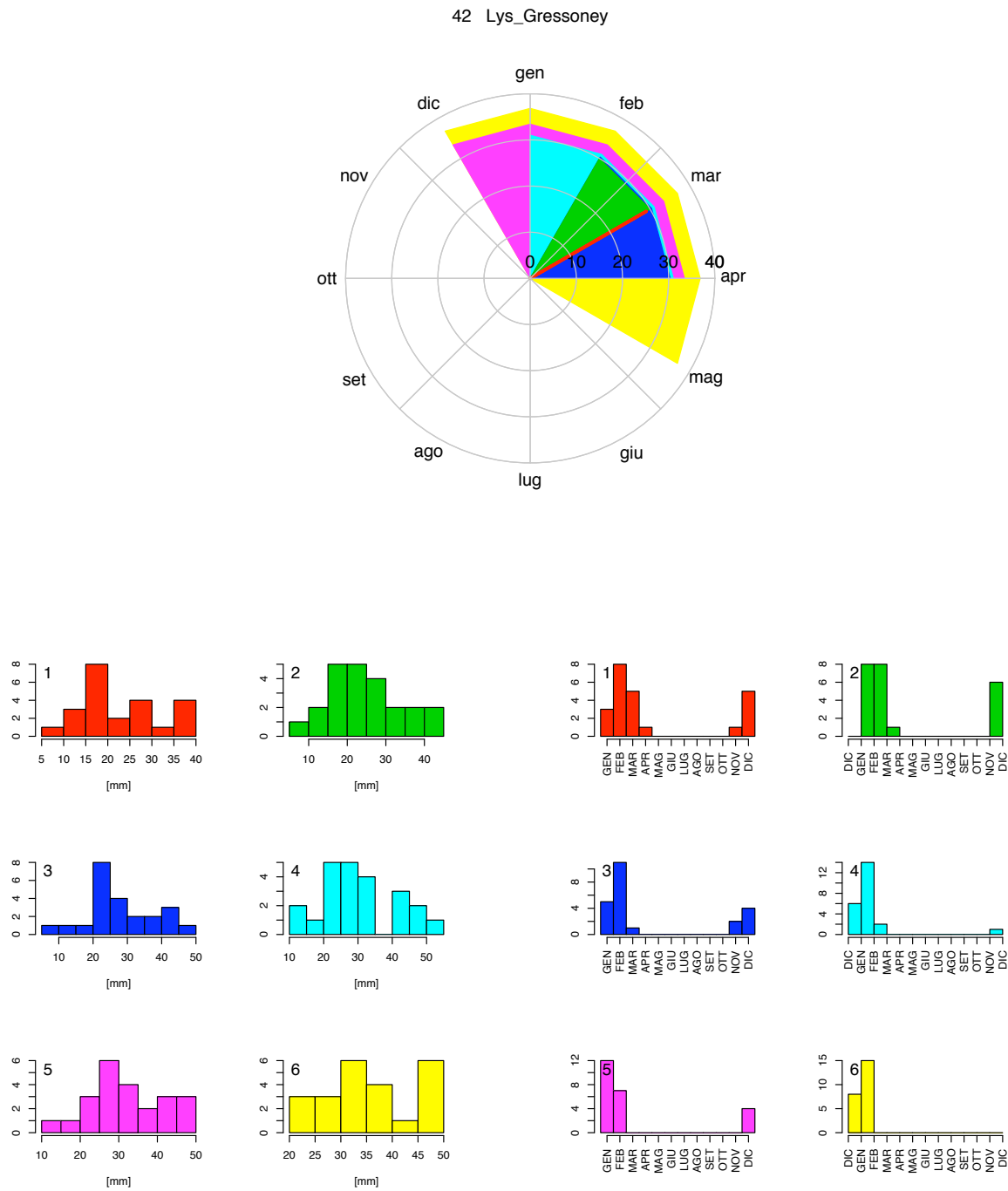


Figura F.21: Rappresentazione dei deflussi minimi per aggregazioni temporali da 1 a 6 mesi: le medie nel diagramma polare in alto; gli istogrammi di frequenza dell'entità dei minimi a sinistra; gli istogrammi di frequenza di accadimento a destra. (33/37 Lys a Gressoney)

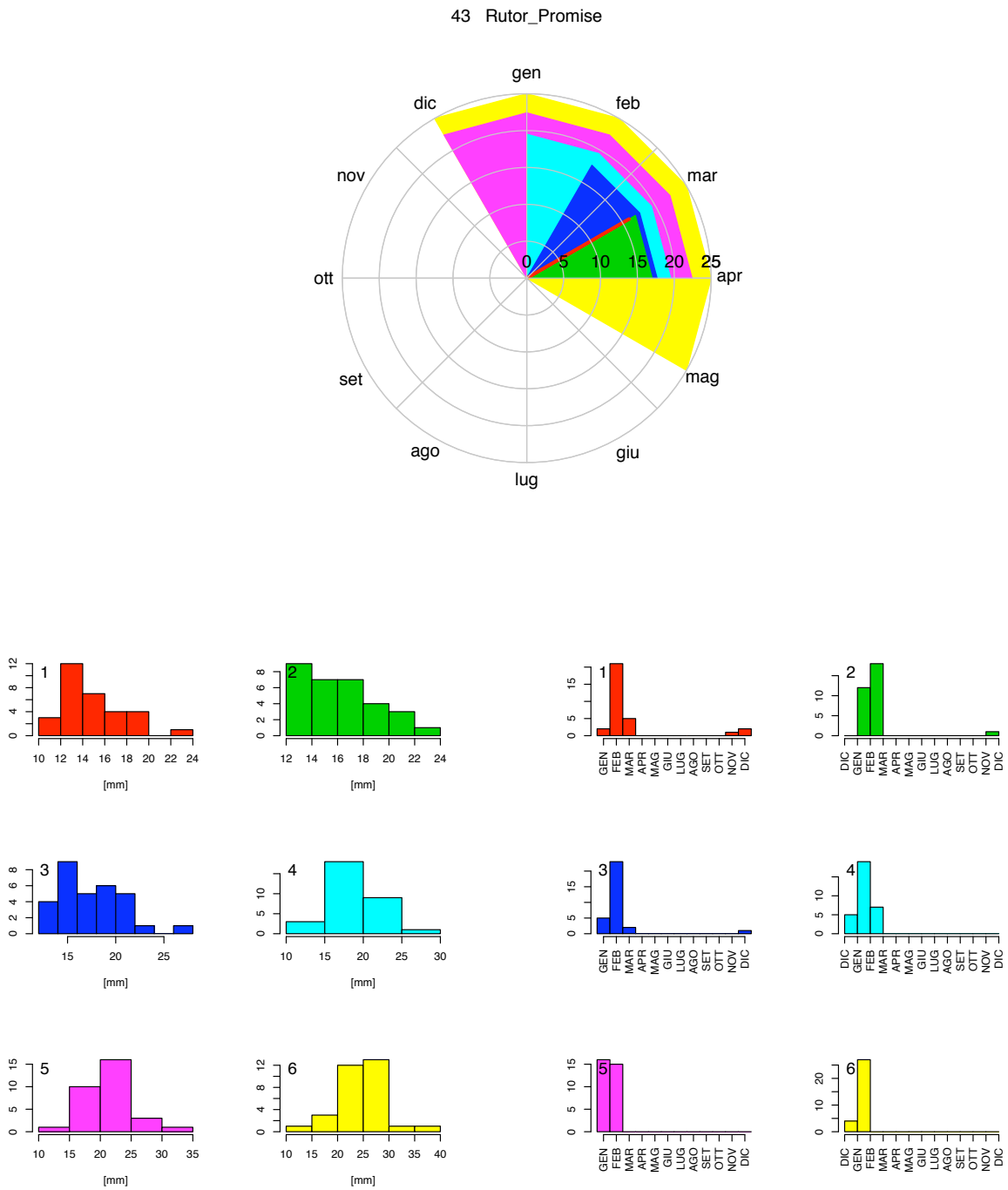


Figura F.21: Rappresentazione dei deflussi minimi per aggregazioni temporali da 1 a 6 mesi: le medie nel diagramma polare in alto; gli istogrammi di frequenza dell'entità dei minimi a sinistra; gli istogrammi di frequenza di accadimento a destra. (34/37 Rutor a Promise)

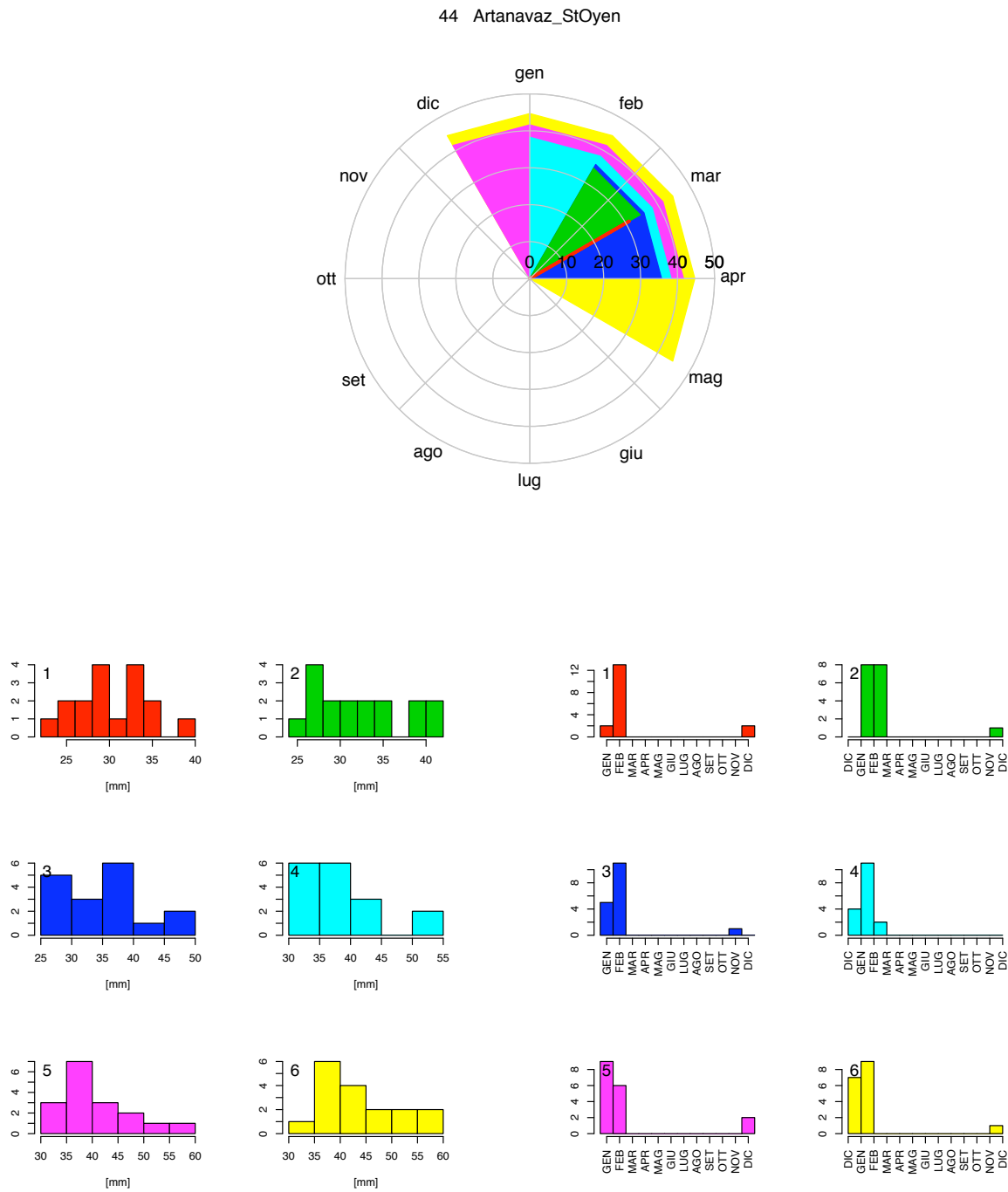


Figura F.21: Rappresentazione dei deflussi minimi per aggregazioni temporali da 1 a 6 mesi: le medie nel diagramma polare in alto; gli istogrammi di frequenza dell'entità dei minimi a sinistra; gli istogrammi di frequenza di accadimento a destra. (35/37 Artanavaz a St.Oyen)

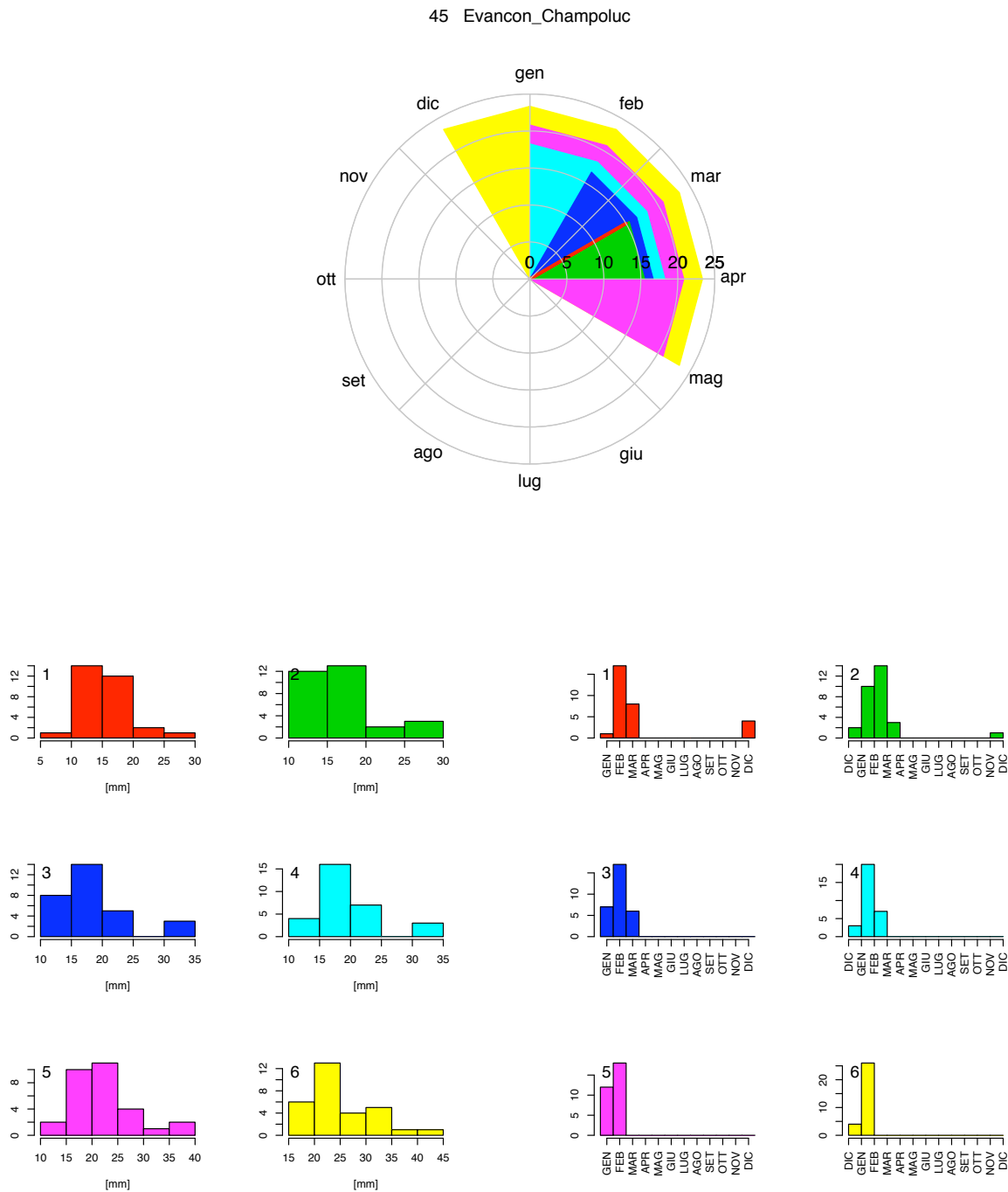


Figura F.21: Rappresentazione dei deflussi minimi per aggregazioni temporali da 1 a 6 mesi: le medie nel diagramma polare in alto; gli istogrammi di frequenza dell'entità dei minimi a sinistra; gli istogrammi di frequenza di accadimento a destra. (36/37 Evancon a Champoluc)

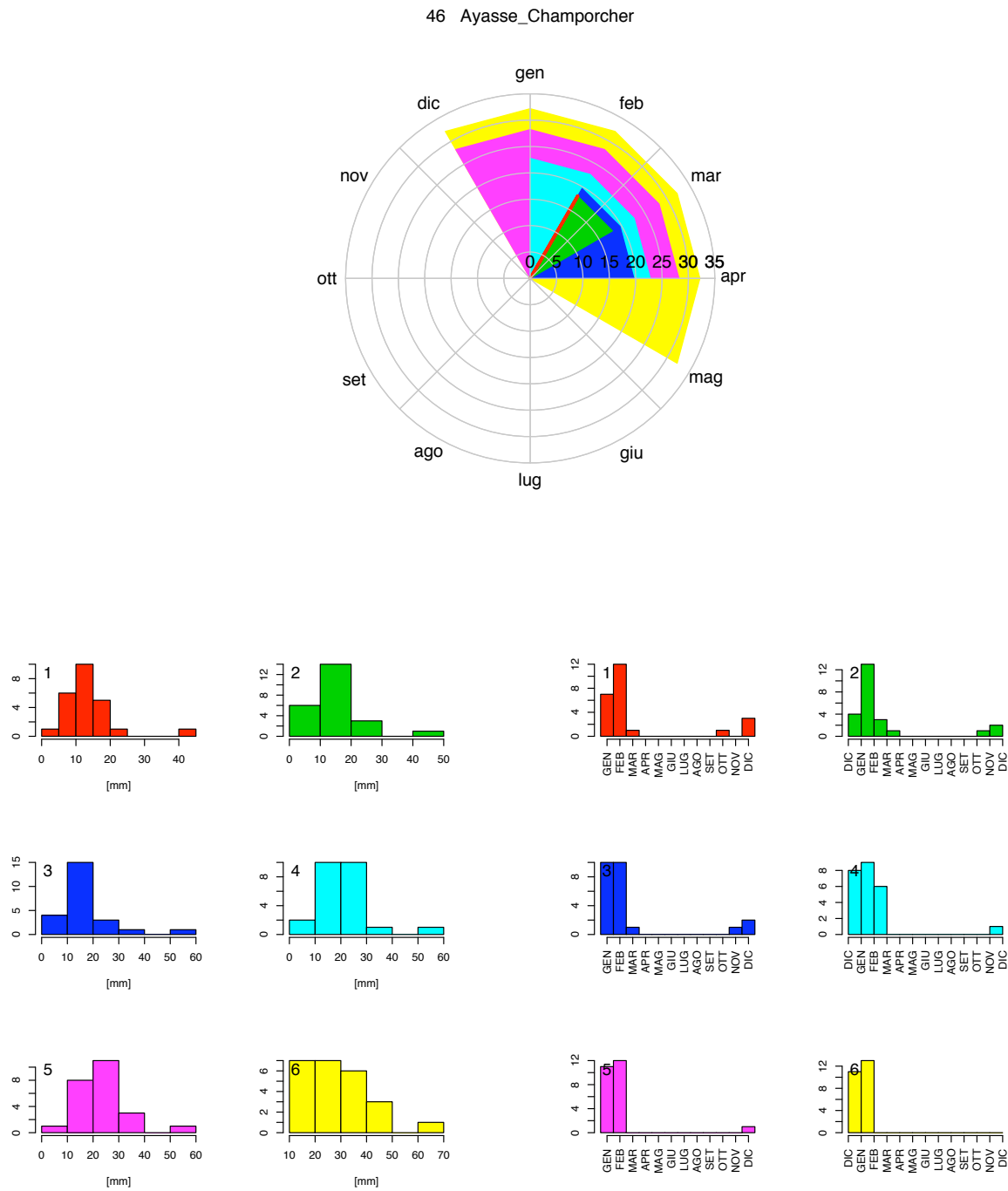


Figura F.21: Rappresentazione dei deflussi minimi per aggregazioni temporali da 1 a 6 mesi: le medie nel diagramma polare in alto; gli istogrammi di frequenza dell'entità dei minimi a sinistra; gli istogrammi di frequenza di accadimento a destra. (37/37 Ayasse a Champorcher)

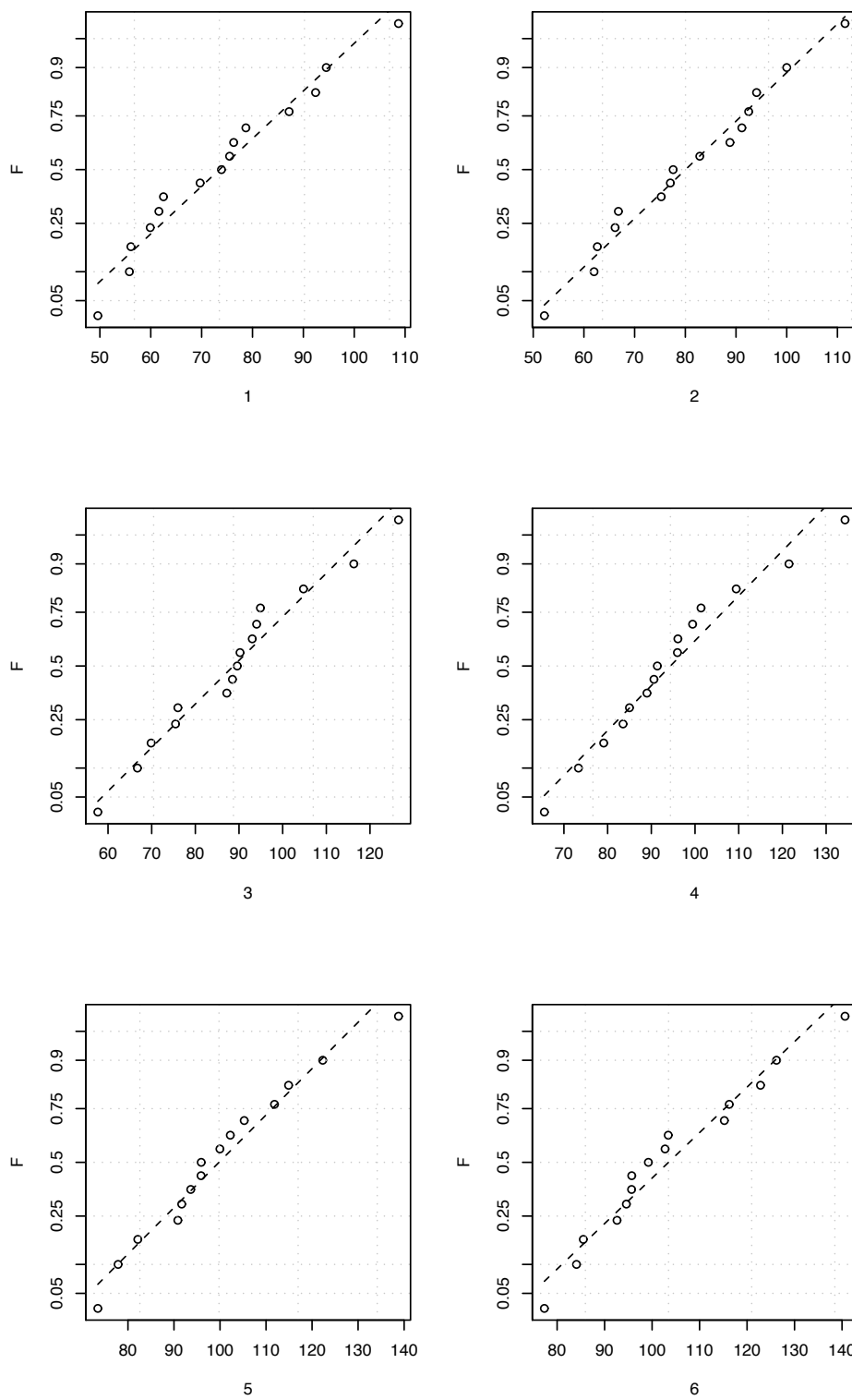


Figura F.22: Normal plot dei deflussi minimi mensili, bimestrali, ..., semestrali. (1/37 Toce a Cadarese)

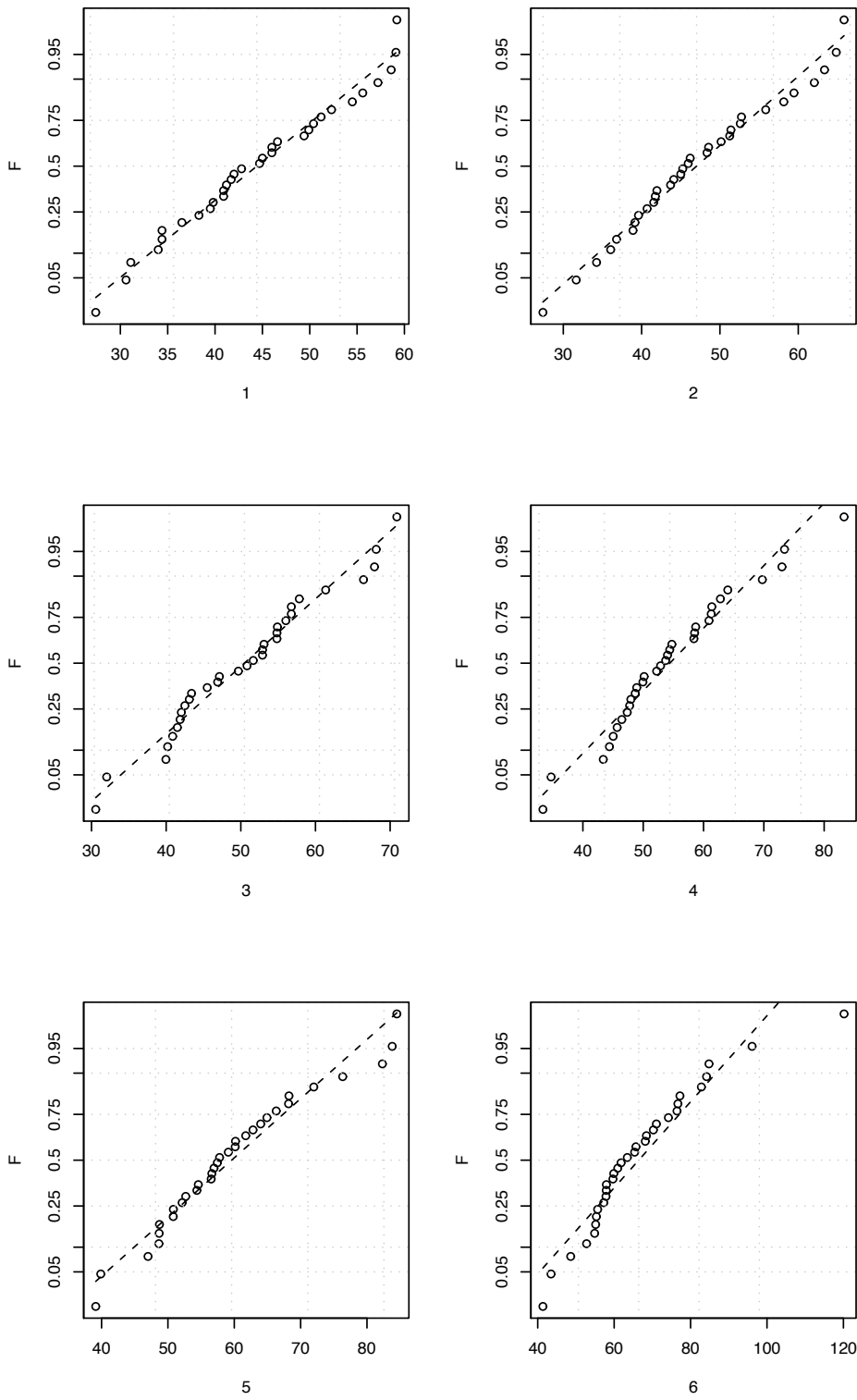


Figura F.22: Normal plot dei deflussi minimi mensili, bimestrali, ..., semestrali. (2/37 Toce a Candoglia)

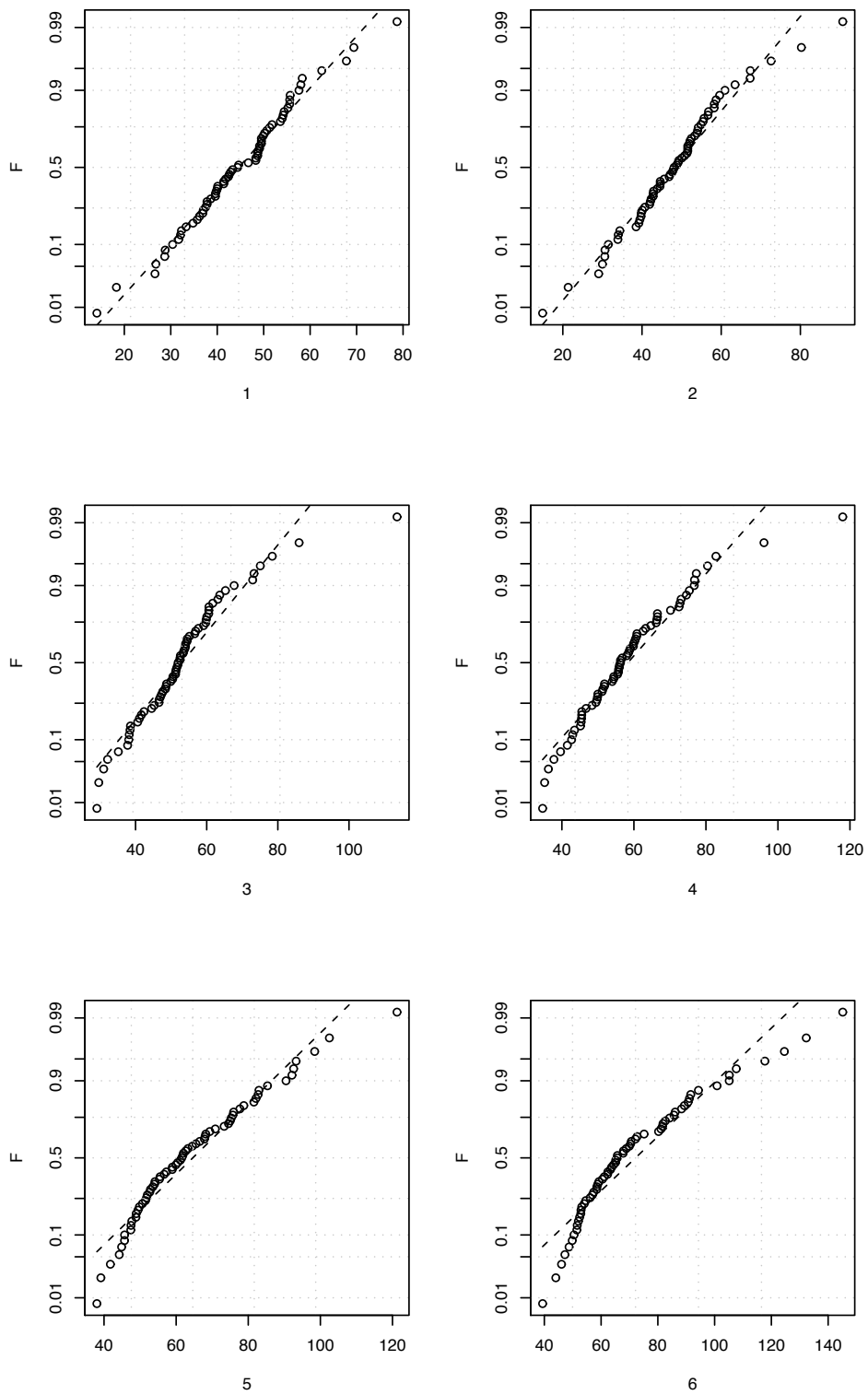


Figura F.22: Normal plot dei deflussi minimi mensili, bimestrali, ..., semestrali. (3/37 Ticino a Miorina)

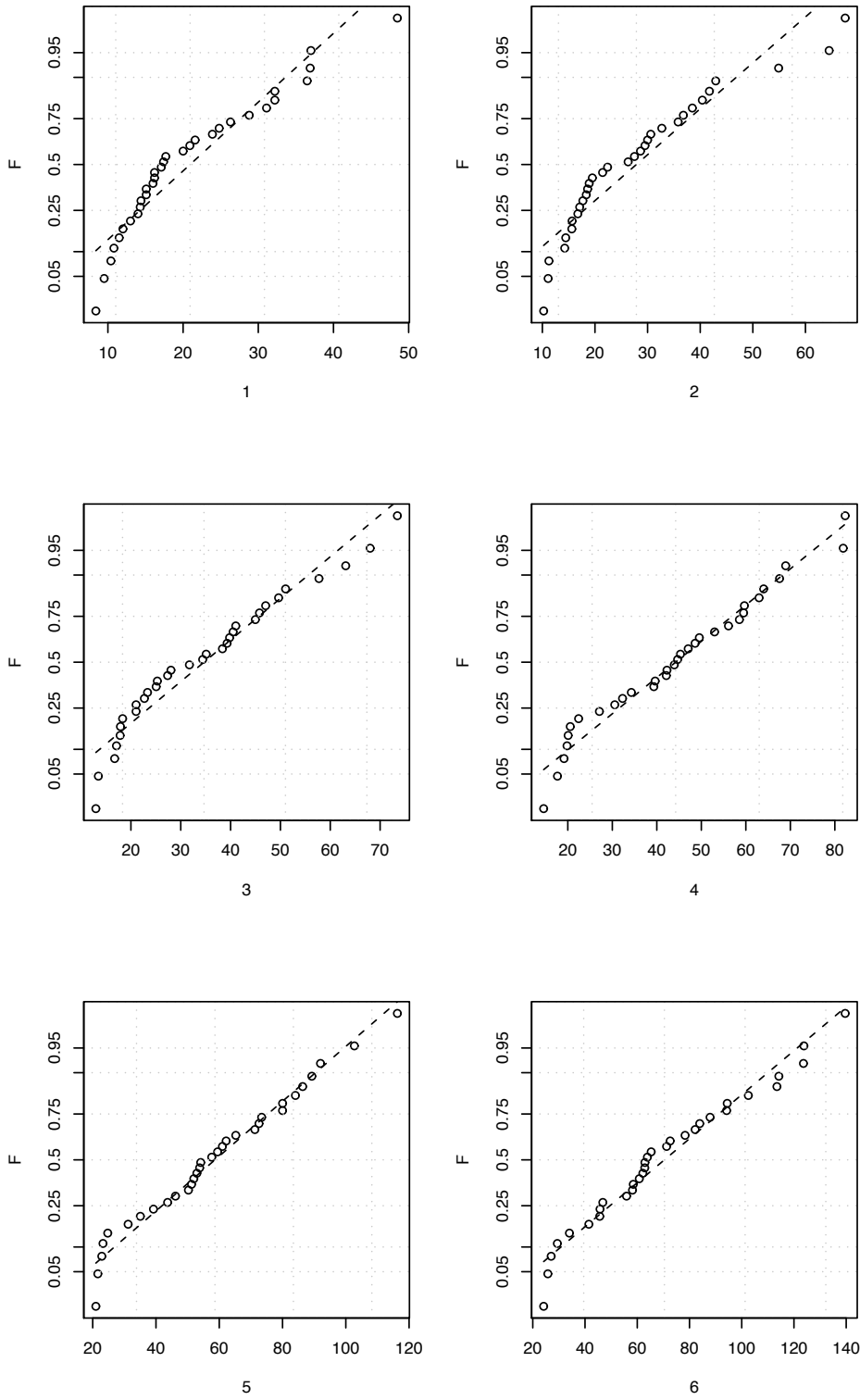


Figura F.22: Normal plot dei deflussi minimi mensili, bimestrali, ..., semestrali. (4/37 Mastallone a Ponte Folle)

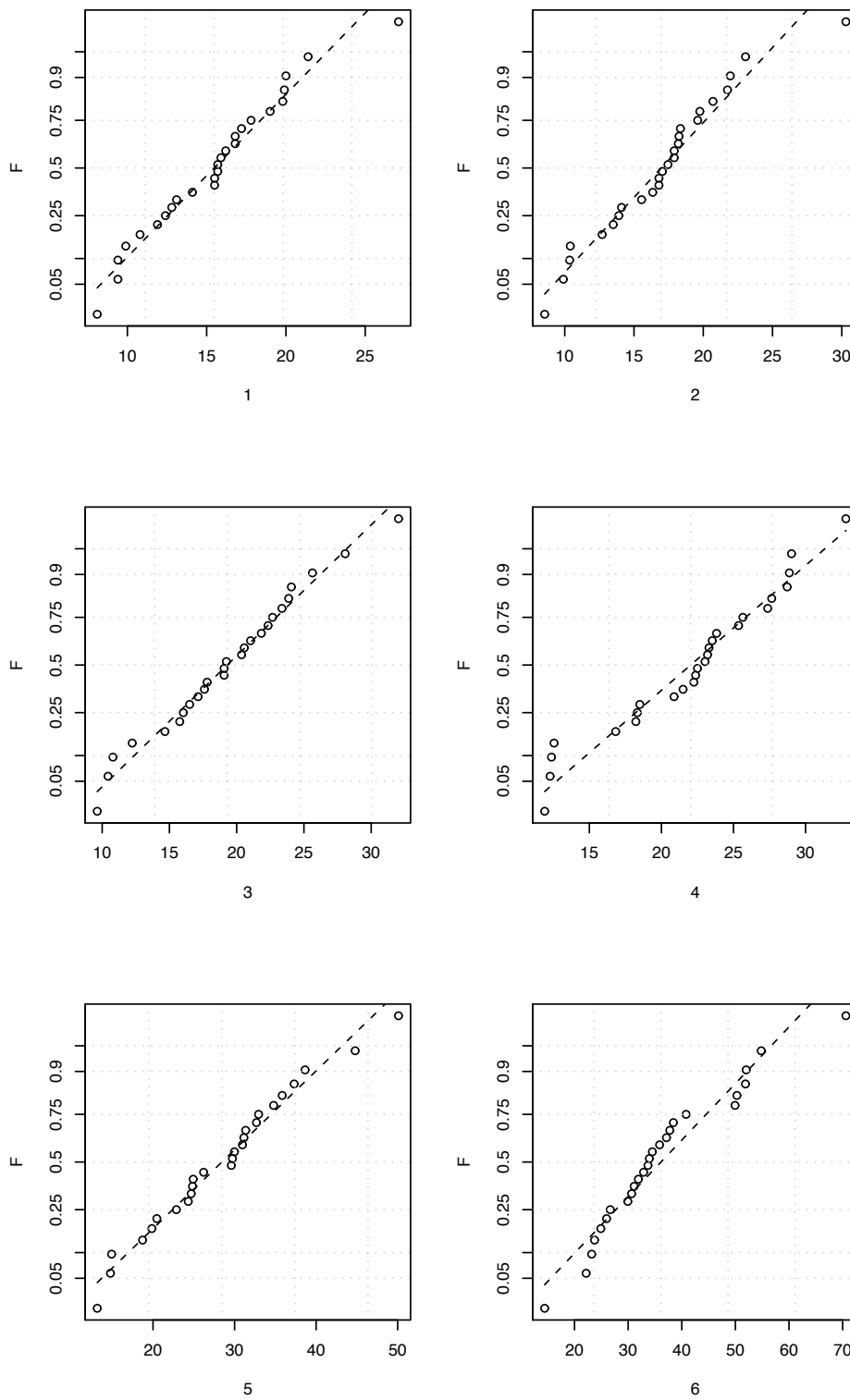


Figura F.22: Normal plot dei deflussi minimi mensili, bimestrali, ..., semestrali. (5/37 Sesia a Campertogno)

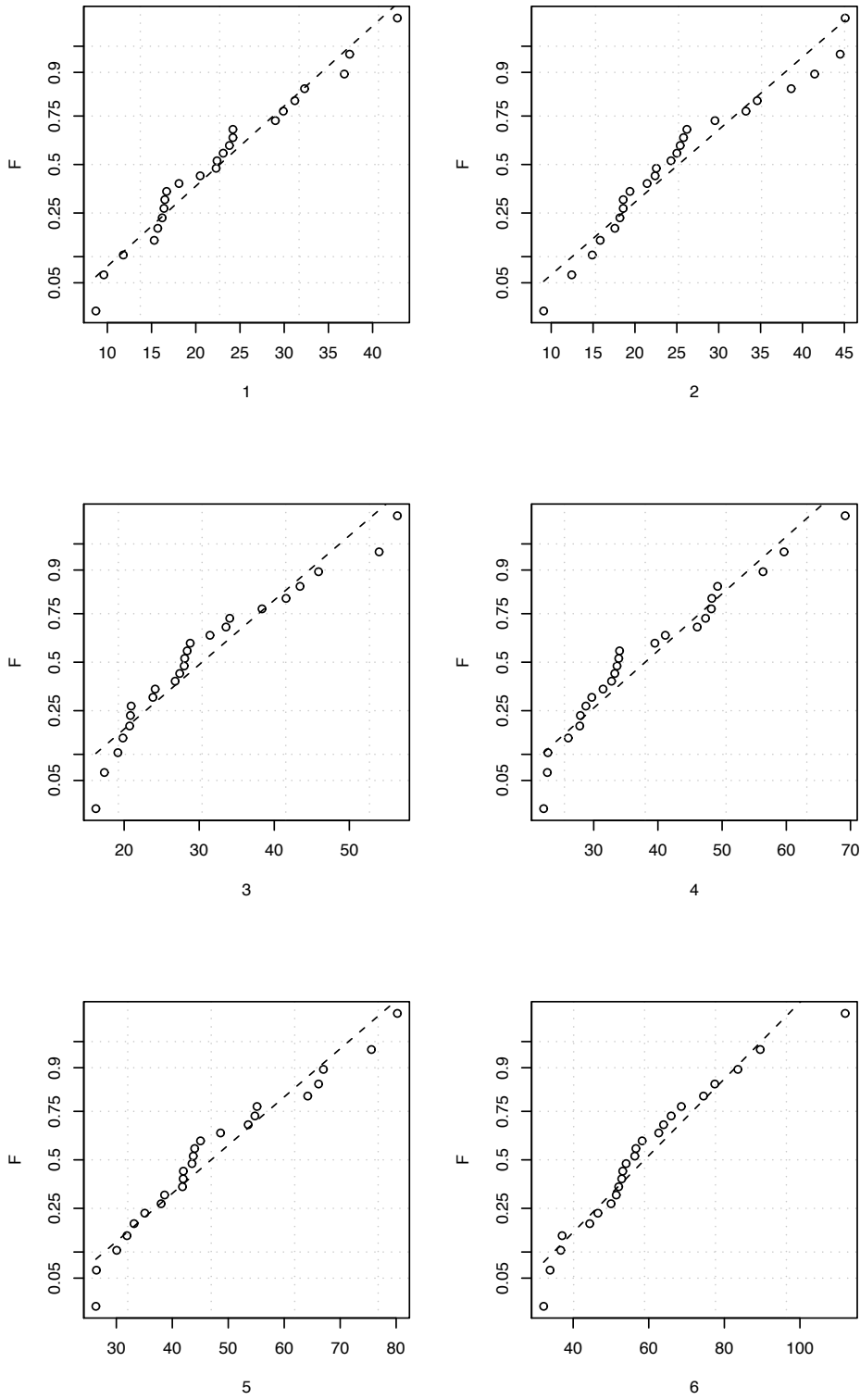


Figura F.22: Normal plot dei deflussi minimi mensili, bimestrali, ..., semestrali. (6/37 Sesia a Ponte Aranco)

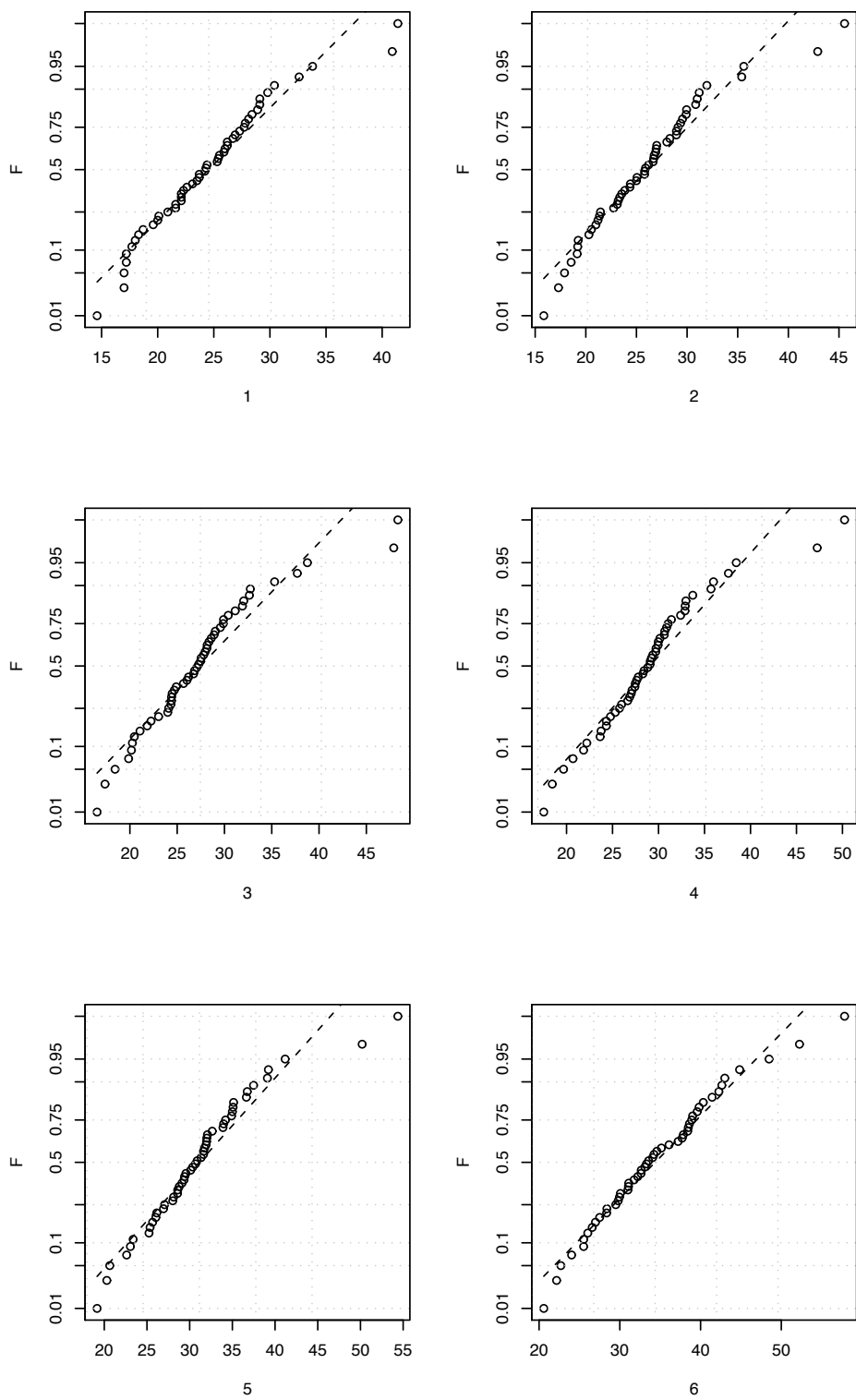


Figura F.22: Normal plot dei deflussi minimi mensili, bimestrali, ..., semestrali. (7/37 Dora Baltea a Tavagnasco)

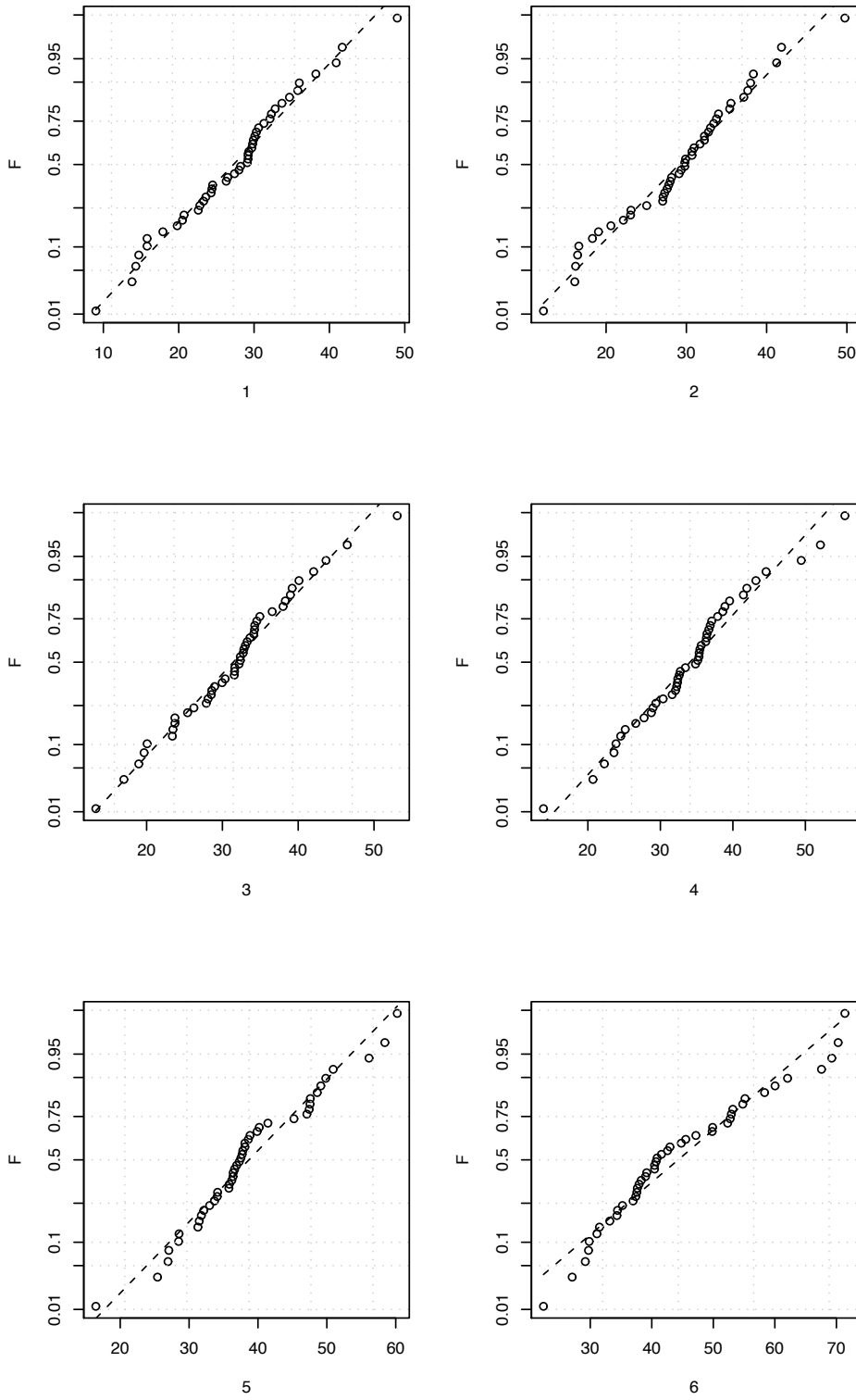


Figura F.22: Normal plot dei deflussi minimi mensili, bimestrali, ..., semestrali. (8/37 Orco a Ponte Canavese)

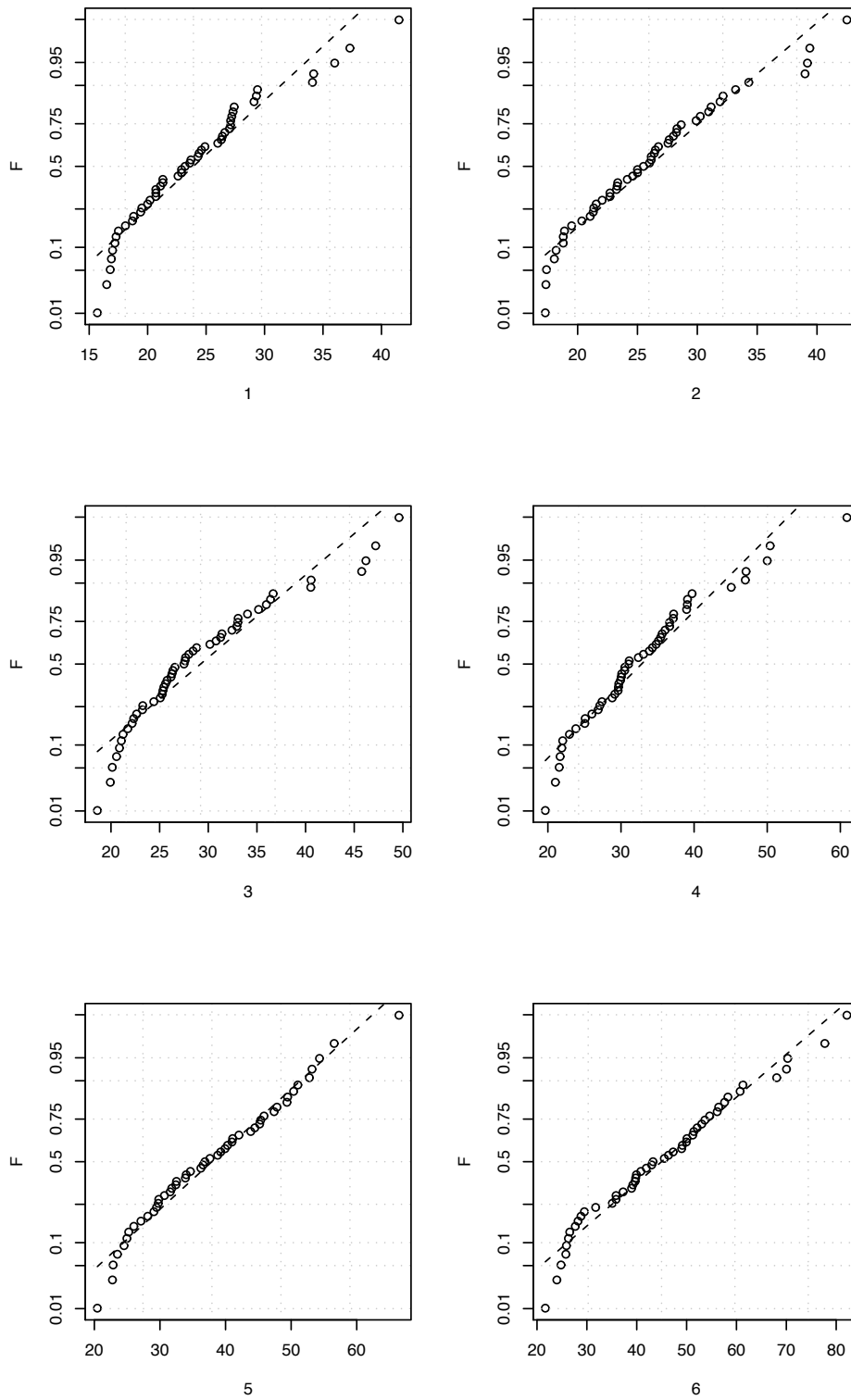


Figura F.22: Normal plot dei deflussi minimi mensili, bimestrali, ..., semestrali. (9/37 Stura di Lanzo a Lanzo)

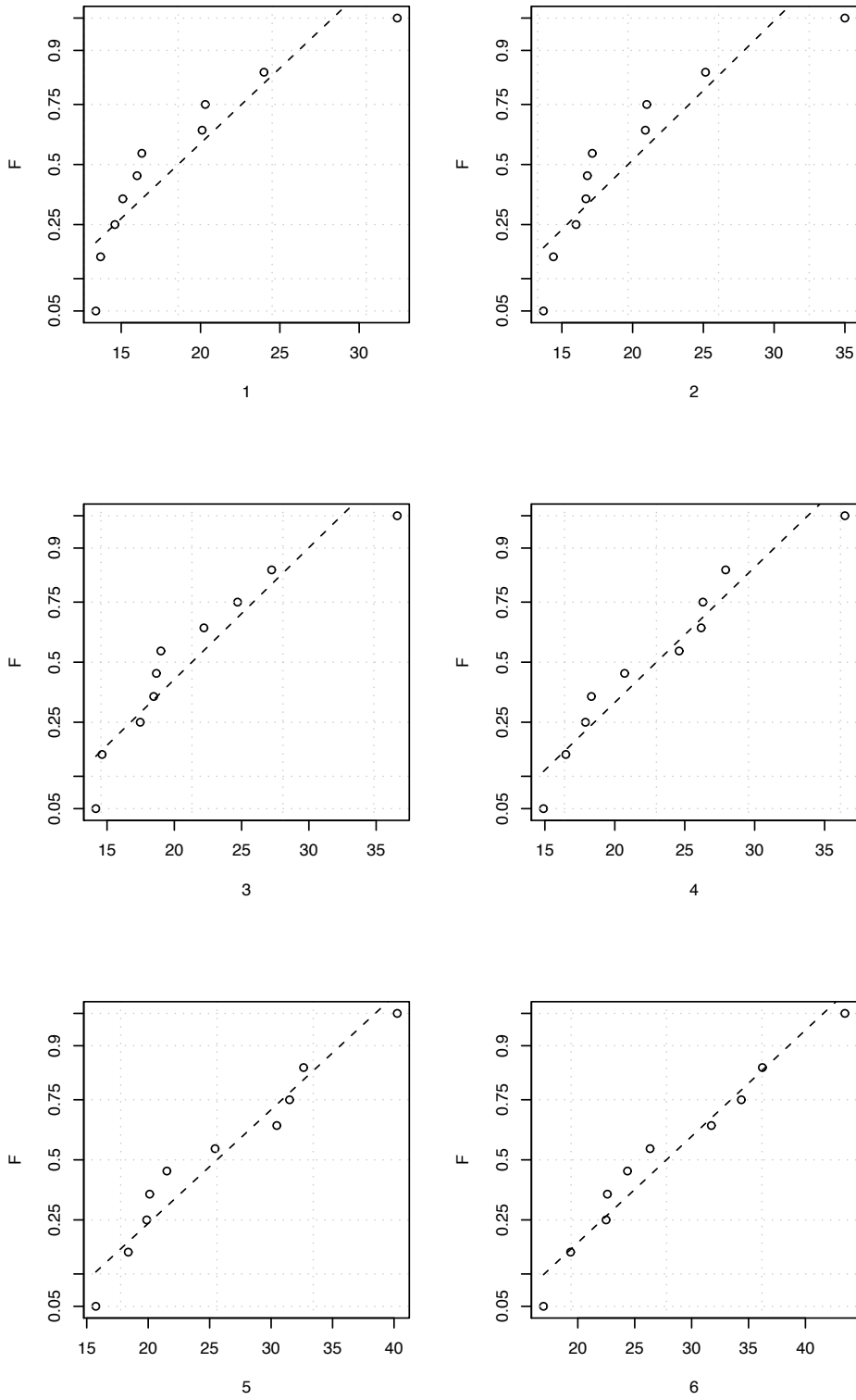


Figura F.22: Normal plot dei deflussi minimi mensili, bimestrali, ..., semestrali. (10/37 Chisone a Soucheres Basses)

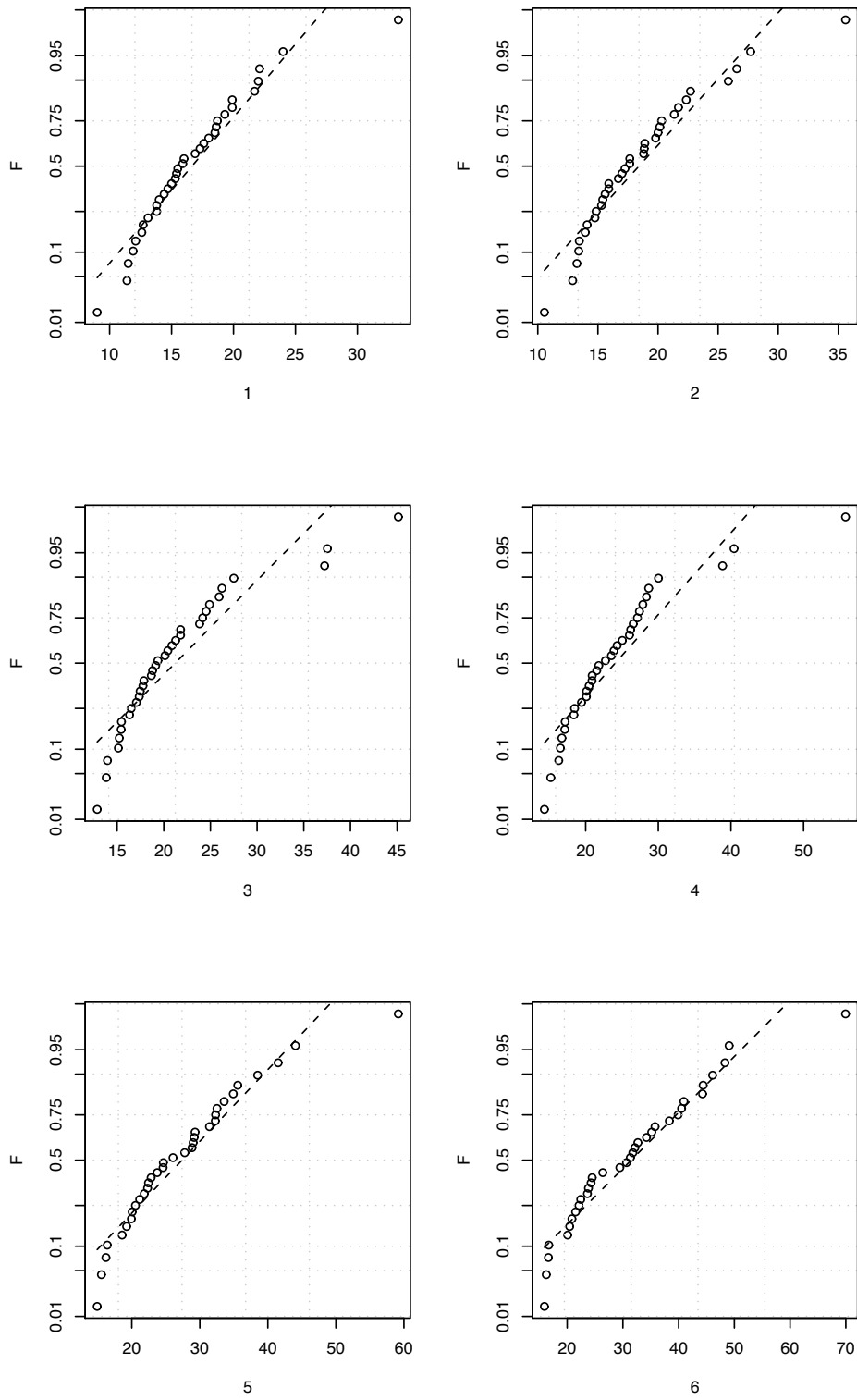


Figura F.22: Normal plot dei deflussi minimi mensili, bimestrali, ..., semestrali. (11/37 Chisone a San Martino)

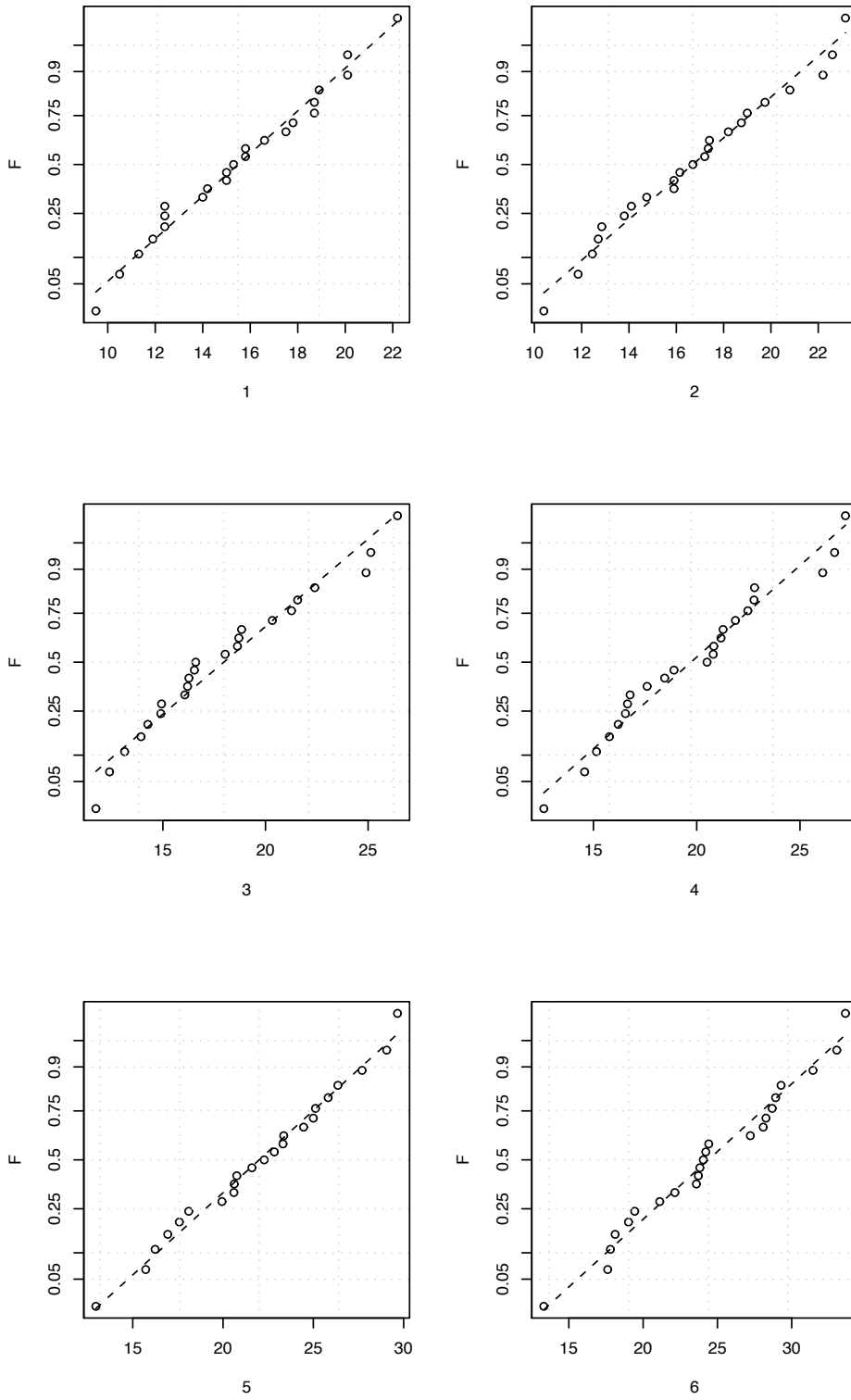


Figura F.22: Normal plot dei deflussi minimi mensili, bimestrali, ..., semestrali. (12/37 Chisone a Fenestrelle)

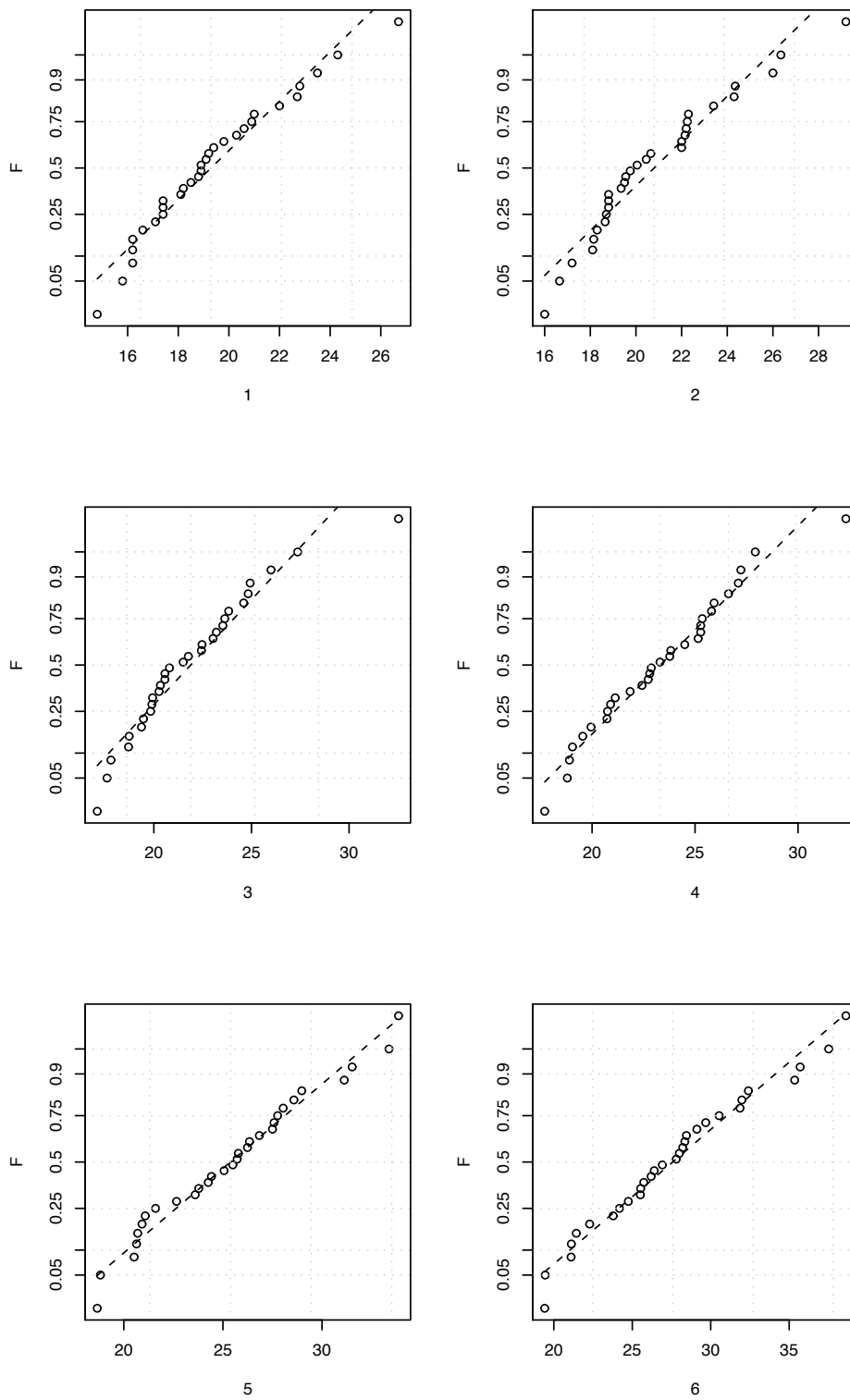


Figura F.22: Normal plot dei deflussi minimi mensili, bimestrali, ..., semestrali. (13/37 Dora Riparia a Oulx)

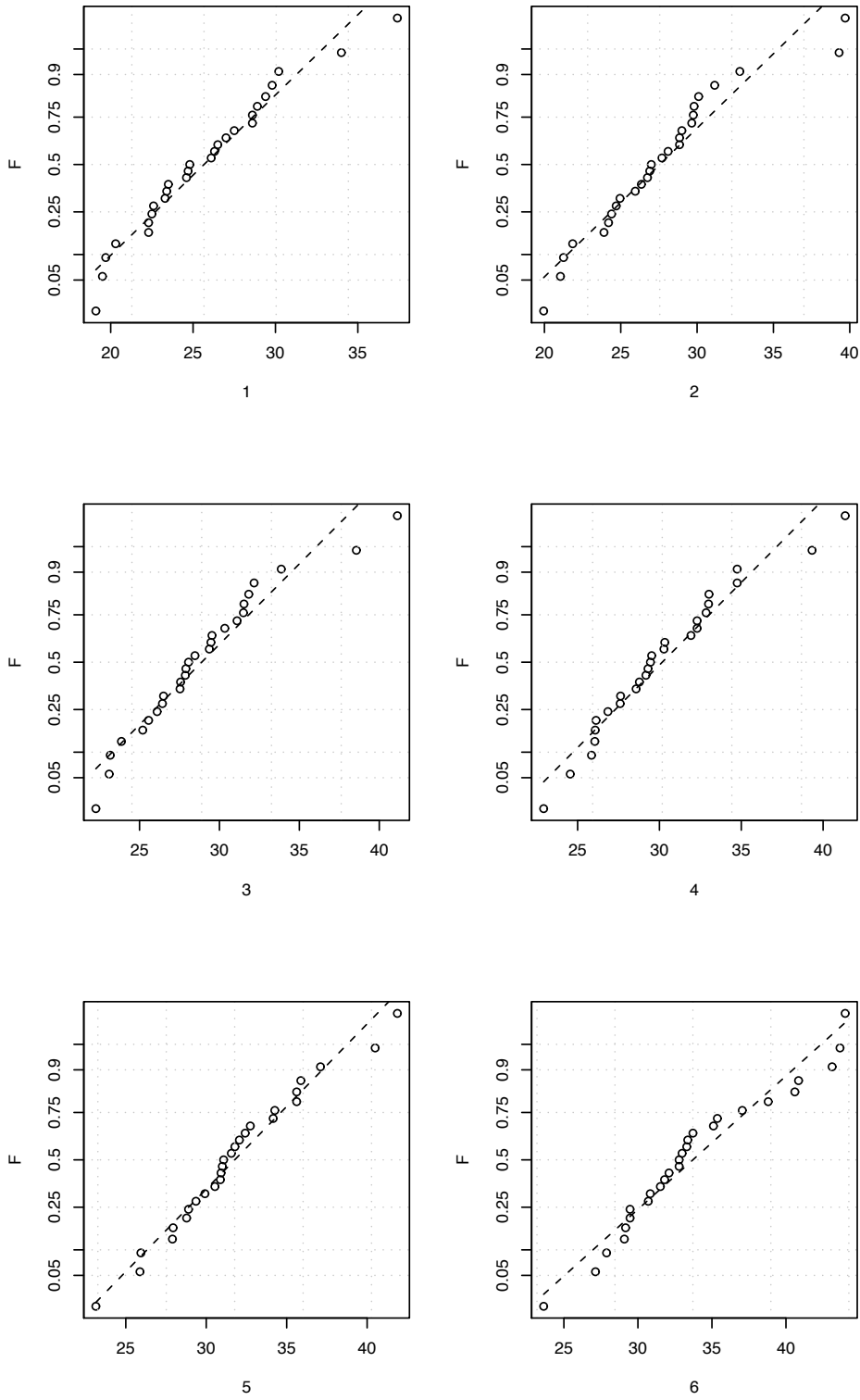


Figura F.22: Normal plot dei deflussi minimi mensili, bimestrali, ..., semestrali. (14/37 Dora Riparia a S.Antonino)

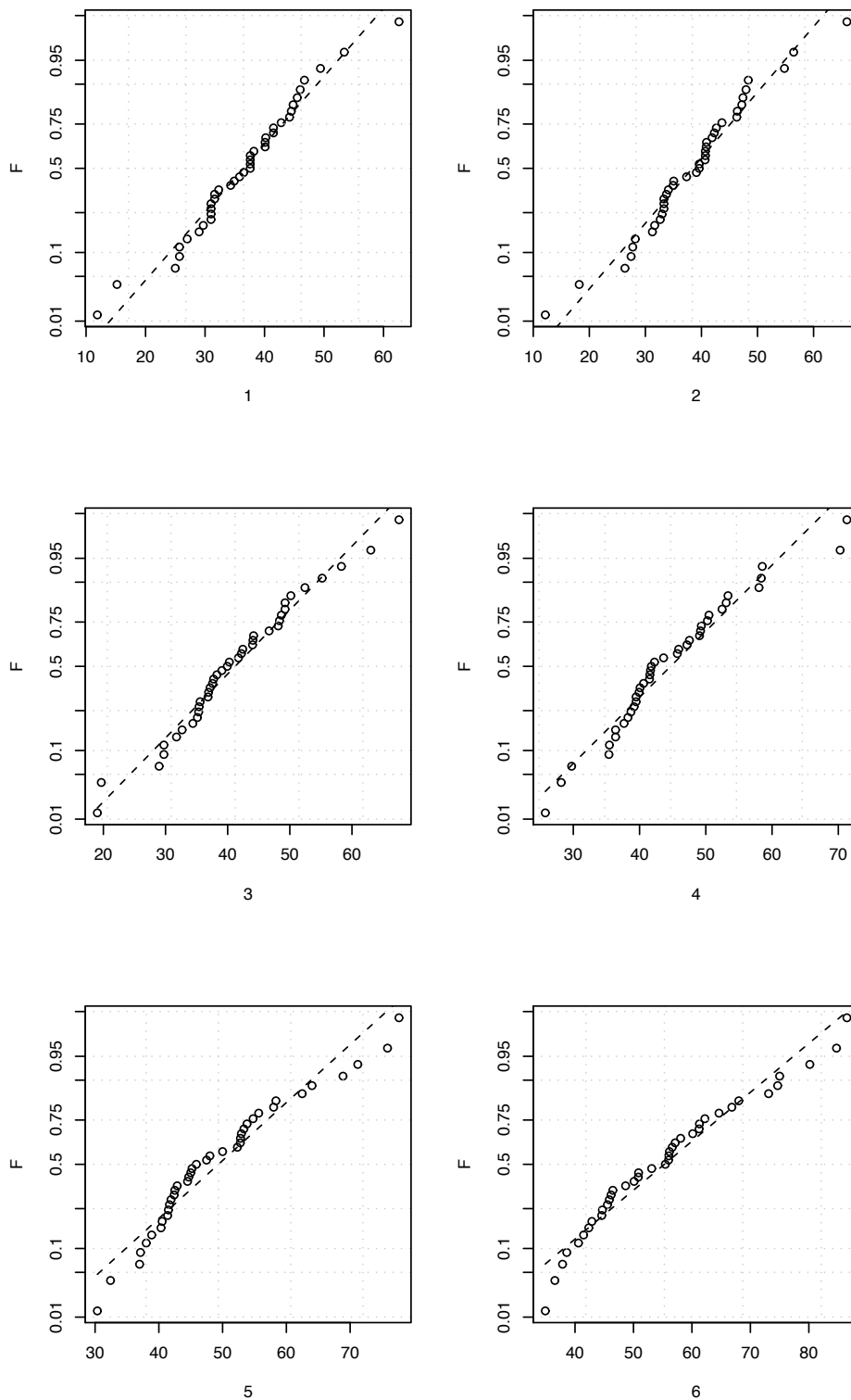


Figura F.22: Normal plot dei deflussi minimi mensili, bimestrali, ..., semestrali. (15/37 Po a Crissolo)

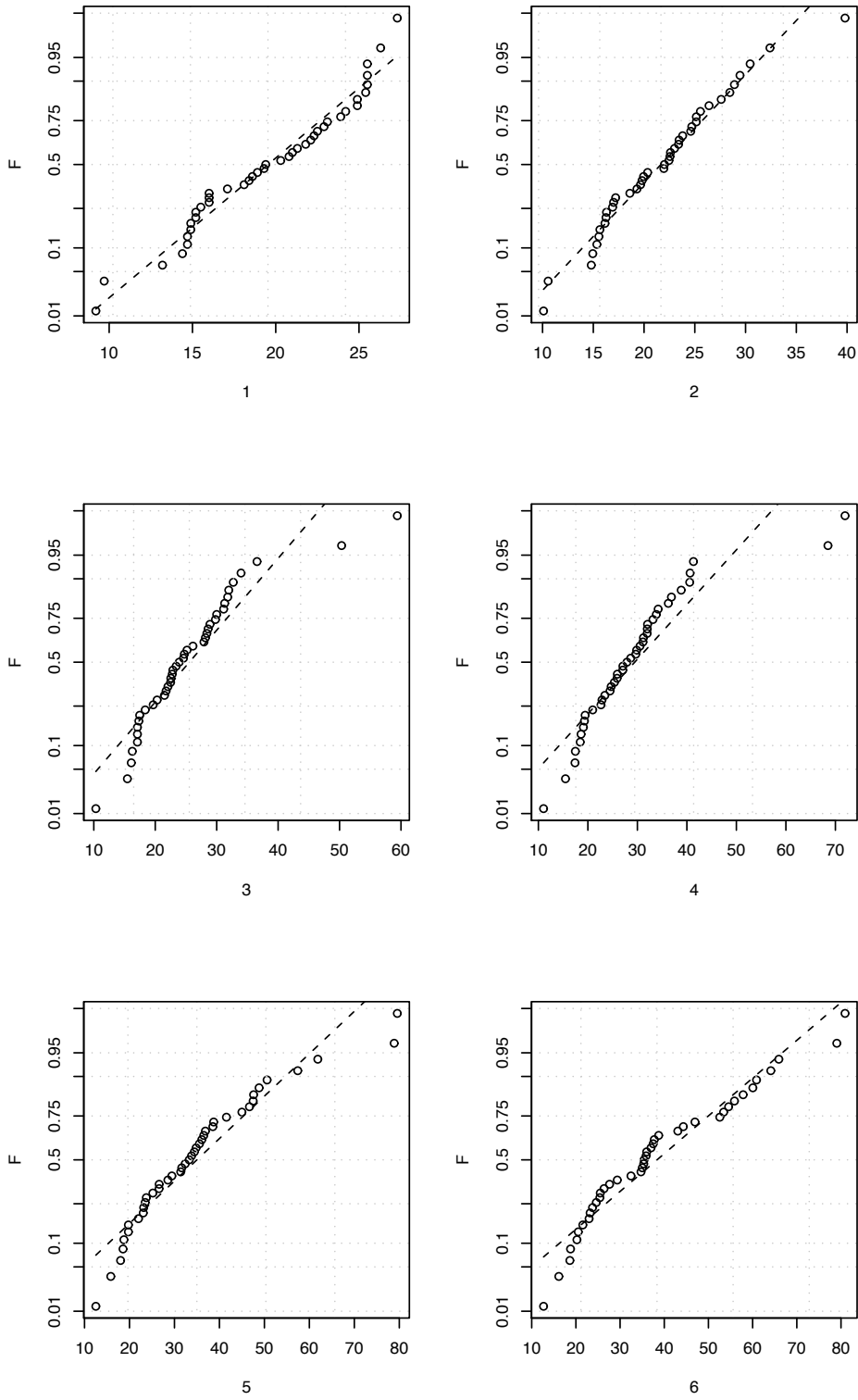


Figura F.22: Normal plot dei deflussi minimi mensili, bimestrali, ..., semestrali. (16/37 Grana a Monterosso)

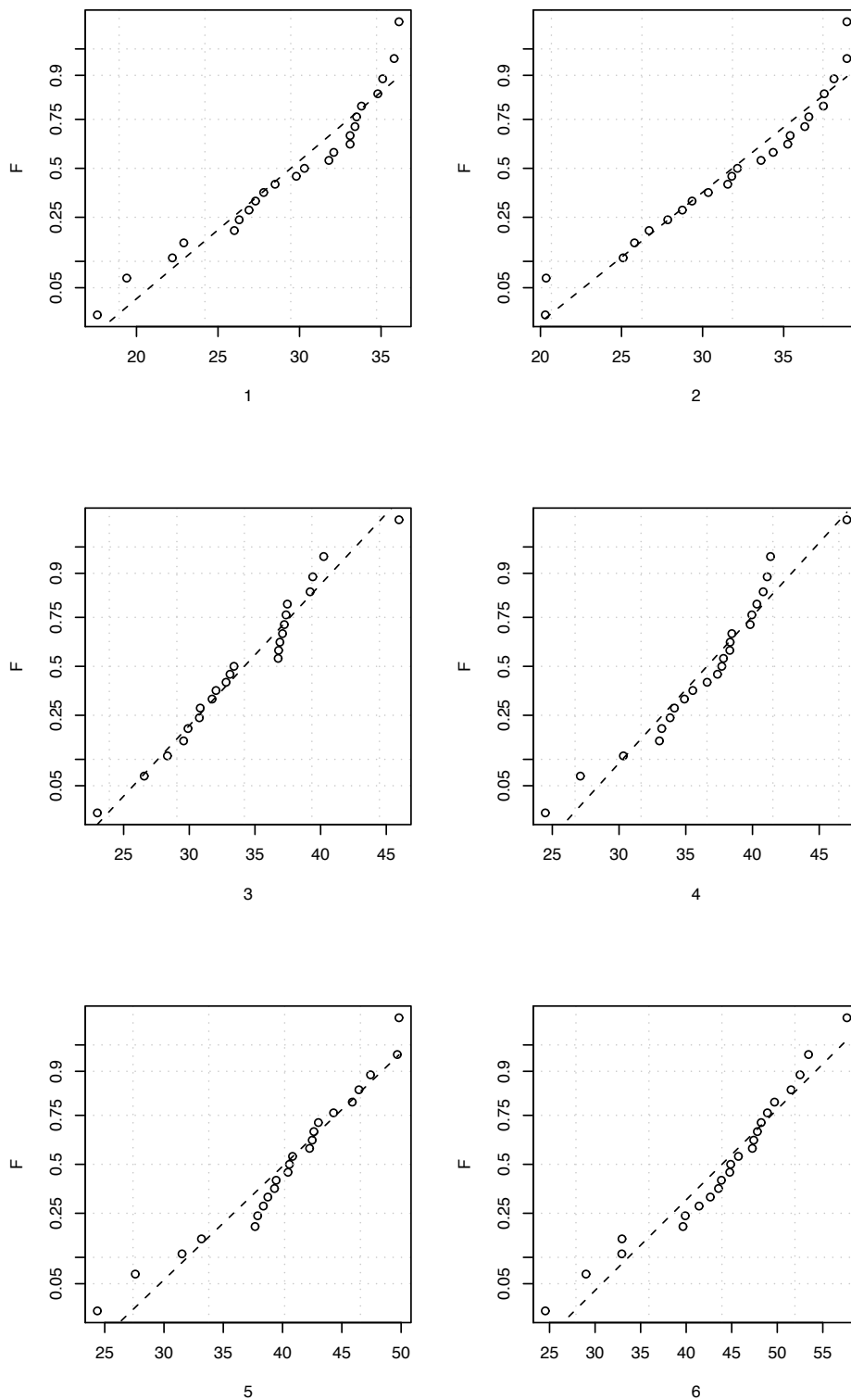


Figura F.22: Normal plot dei deflussi minimi mensili, bimestrali, ..., semestrali. (17/37 Stura di Demonte a Pianche)

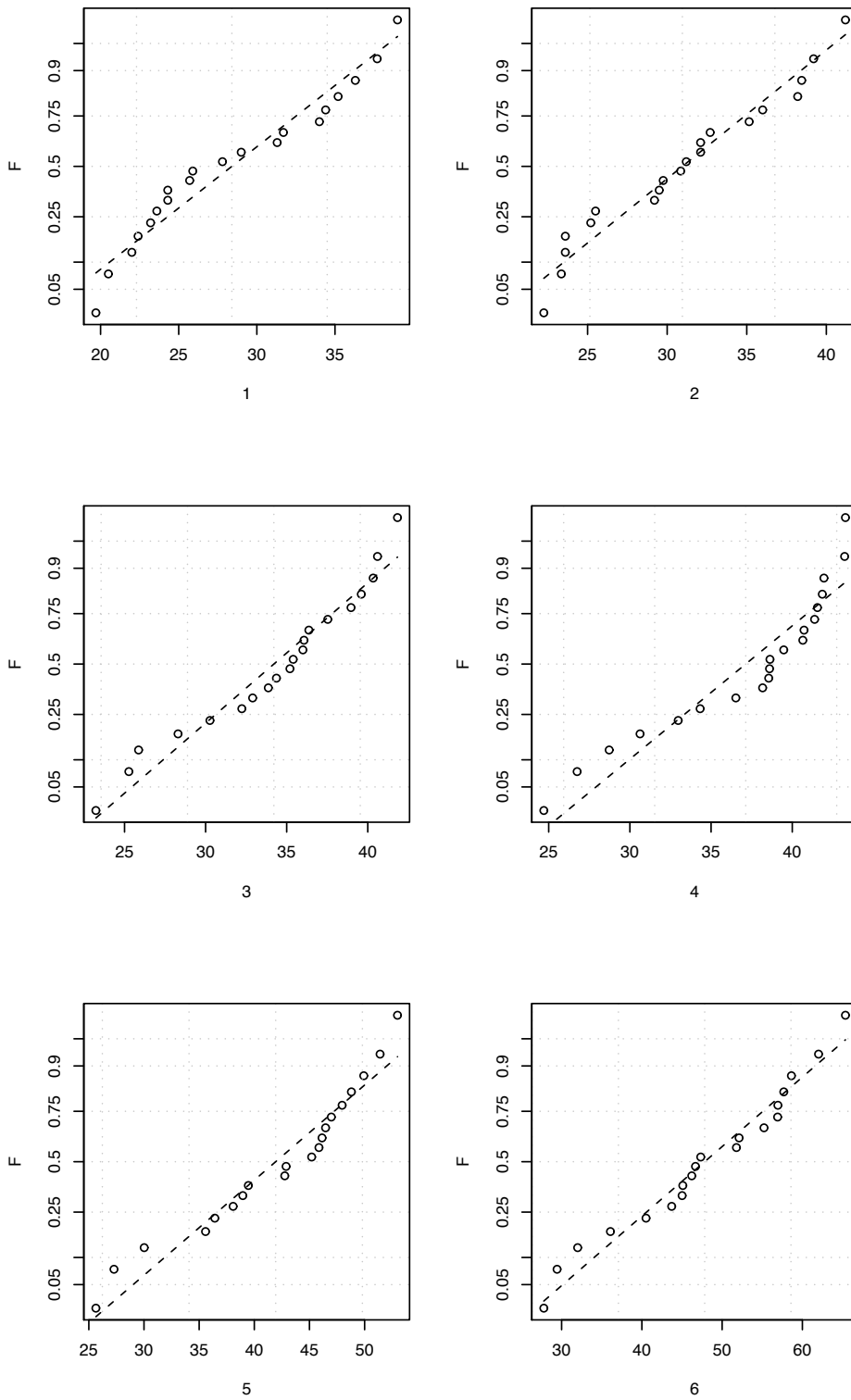


Figura F.22: Normal plot dei deflussi minimi mensili, bimestrali, ..., semestrali. (18/37 Rio Bagni a Bagni di Vinadio)

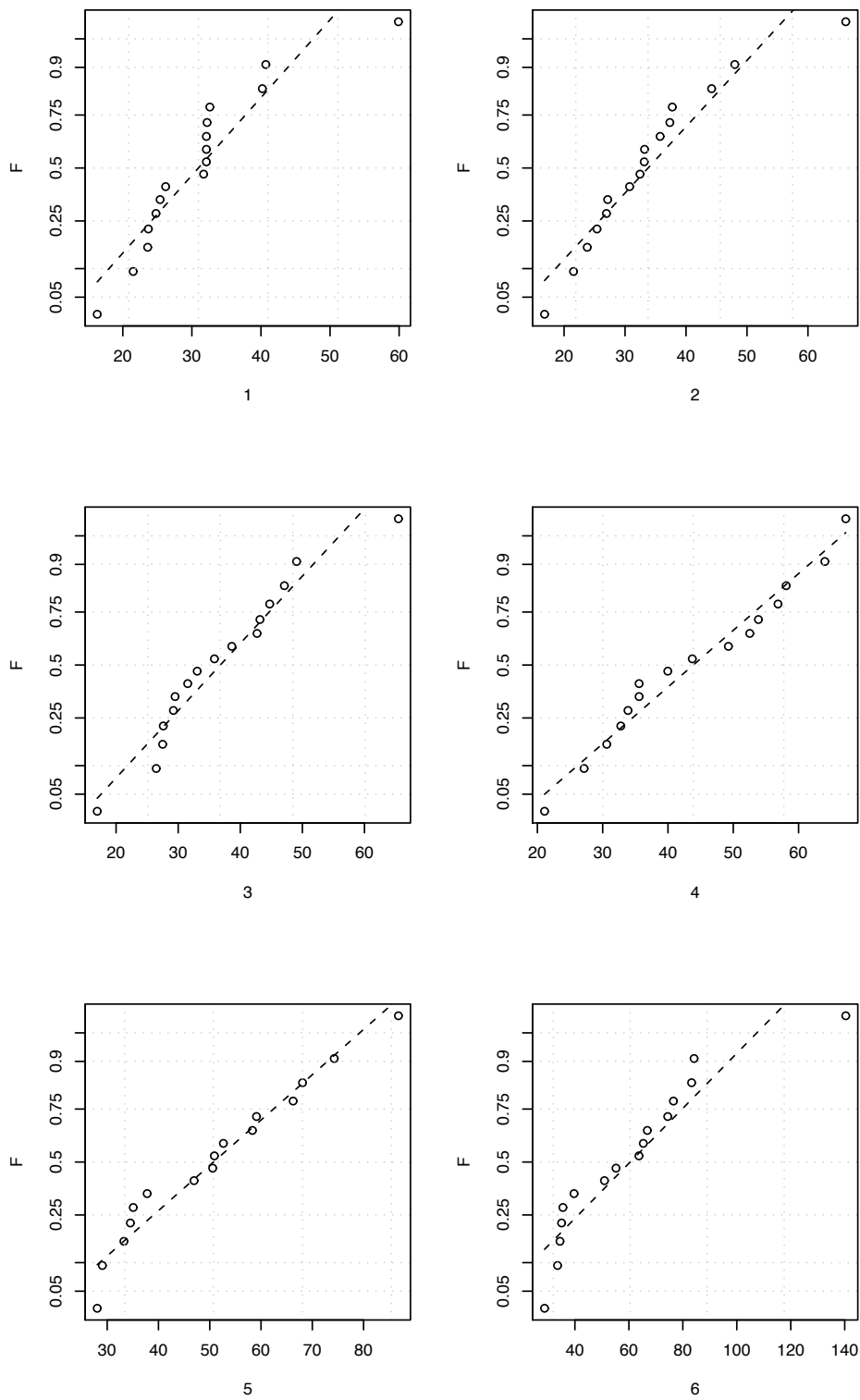


Figura F.22: Normal plot dei deflussi minimi mensili, bimestrali, ..., semestrali. (19/37 Vermenagna a Limone)

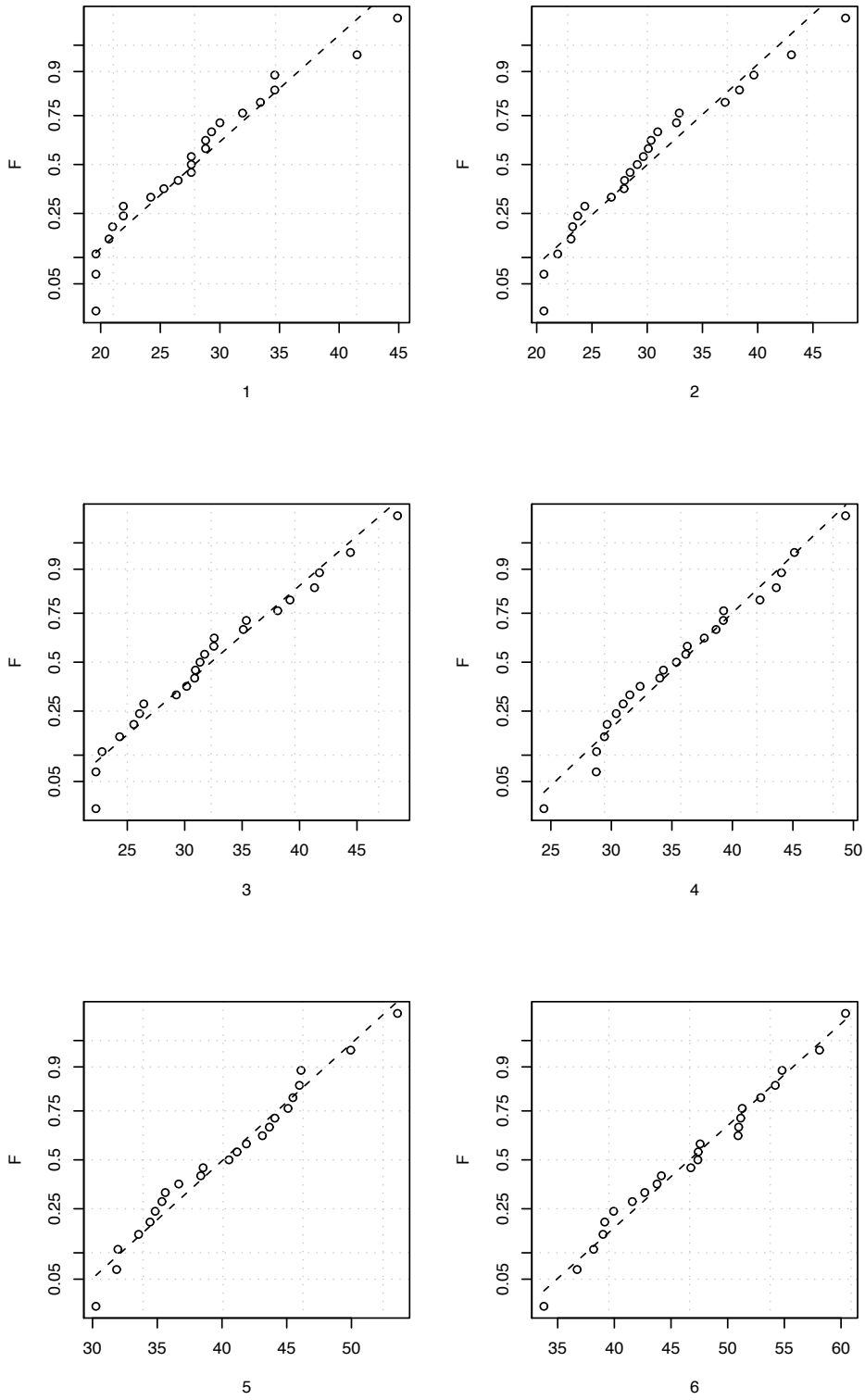


Figura F.22: Normal plot dei deflussi minimi mensili, bimestrali, ..., semestrali. (20/37 Rio Piz a Pietraporzio)

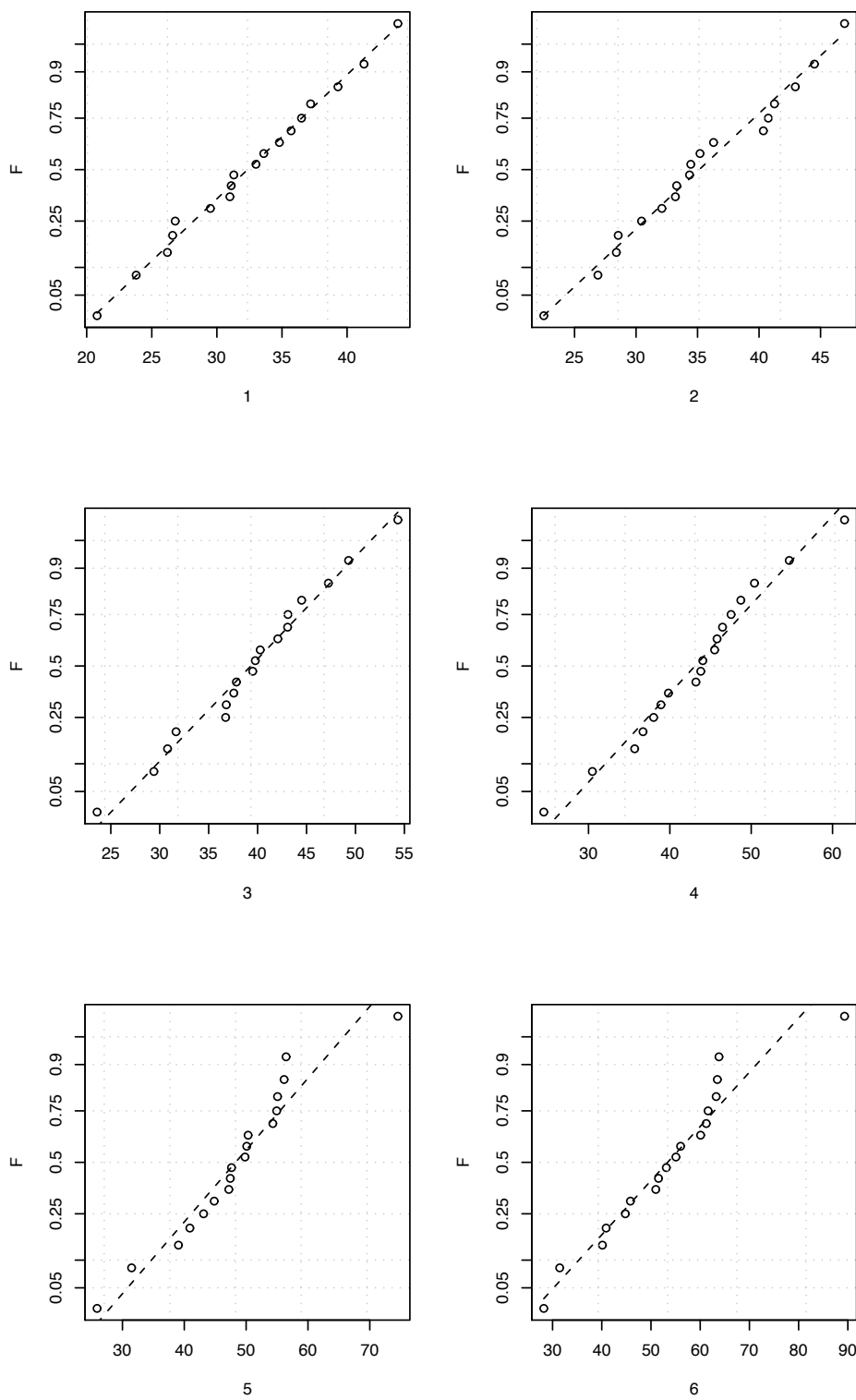


Figura F.22: Normal plot dei deflussi minimi mensili, bimestrali, ..., semestrali. (21/37 Stura di Demonte a Gaiola)

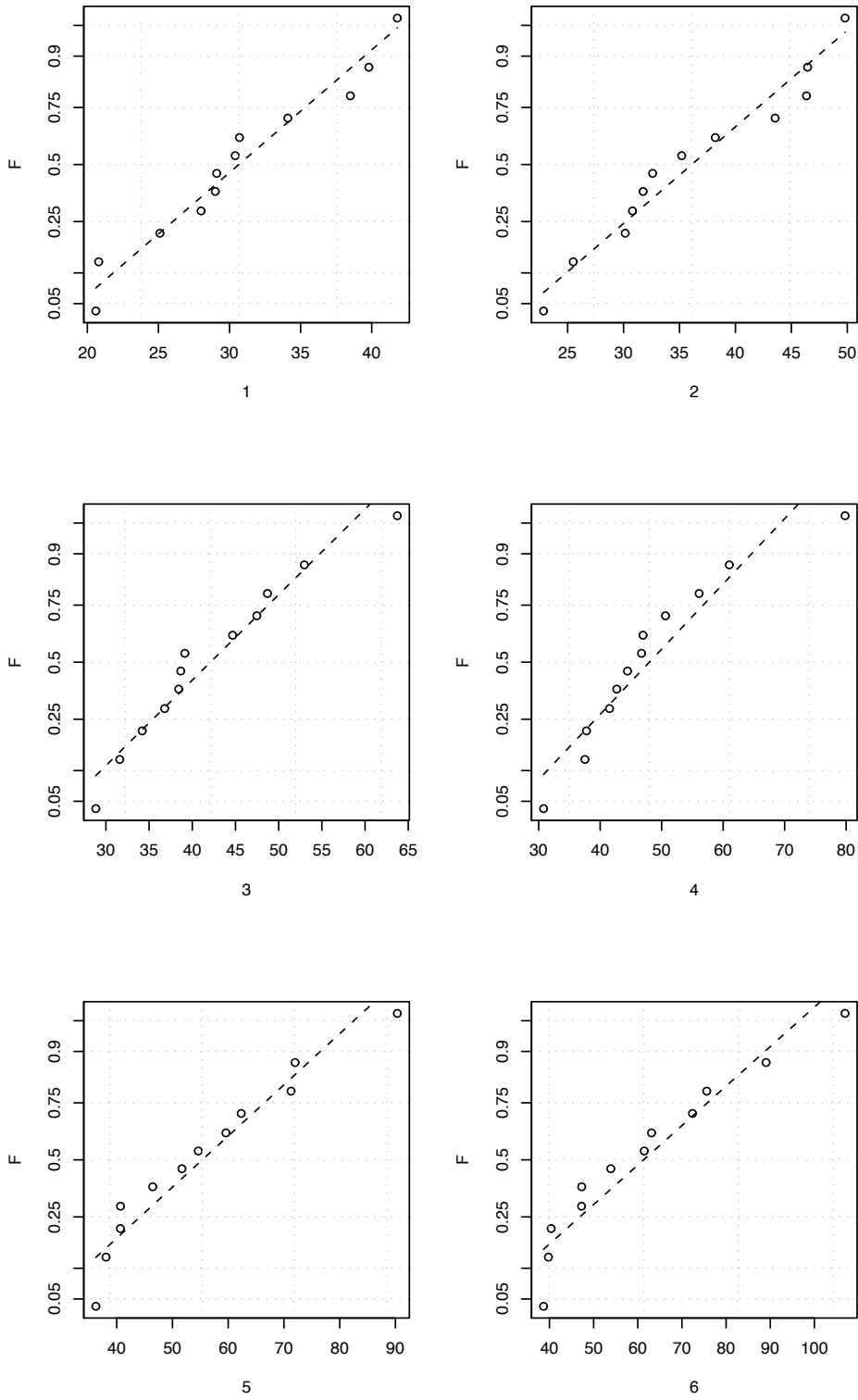


Figura F.22: Normal plot dei deflussi minimi mensili, bimestrali, ..., semestrali. (22/37 Gesso di Entracque ad Entracque)

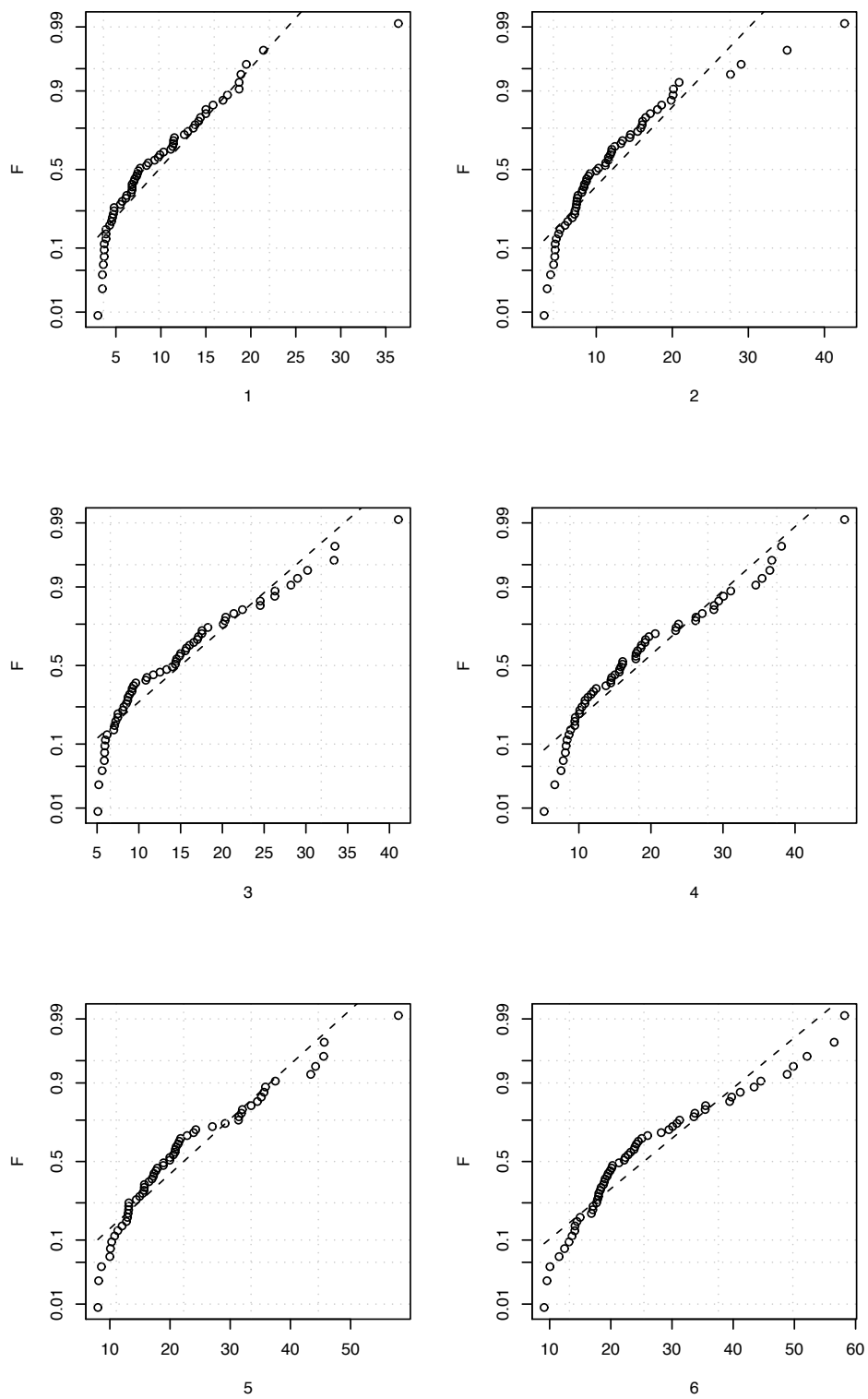


Figura F.22: Normal plot dei deflussi minimi mensili, bimestrali, ..., semestrali. (23/37 Tanaro a Montecastello)

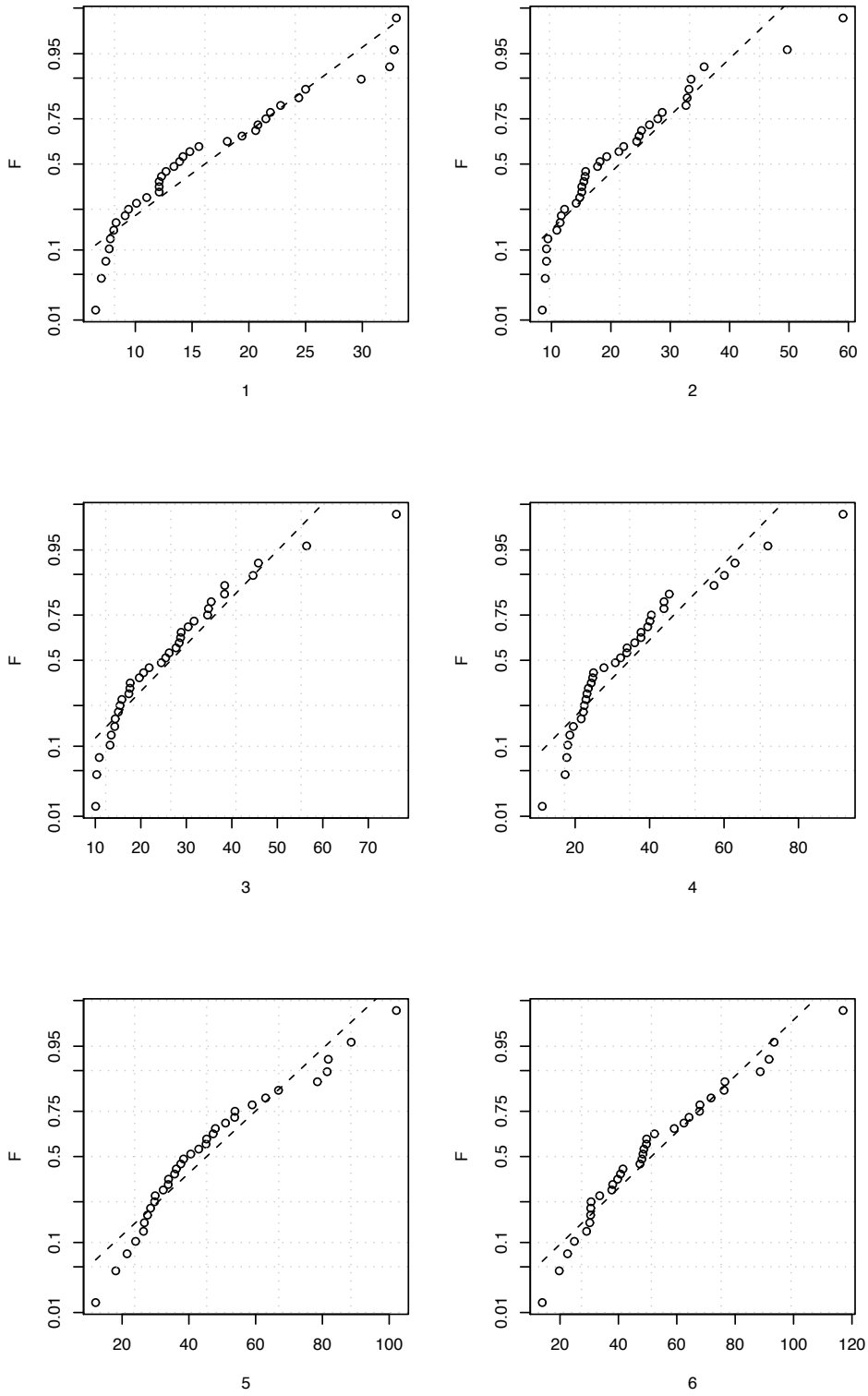


Figura F.22: Normal plot dei deflussi minimi mensili, bimestrali, ..., semestrali. (24/37 Tanaro a Ponte Nava)

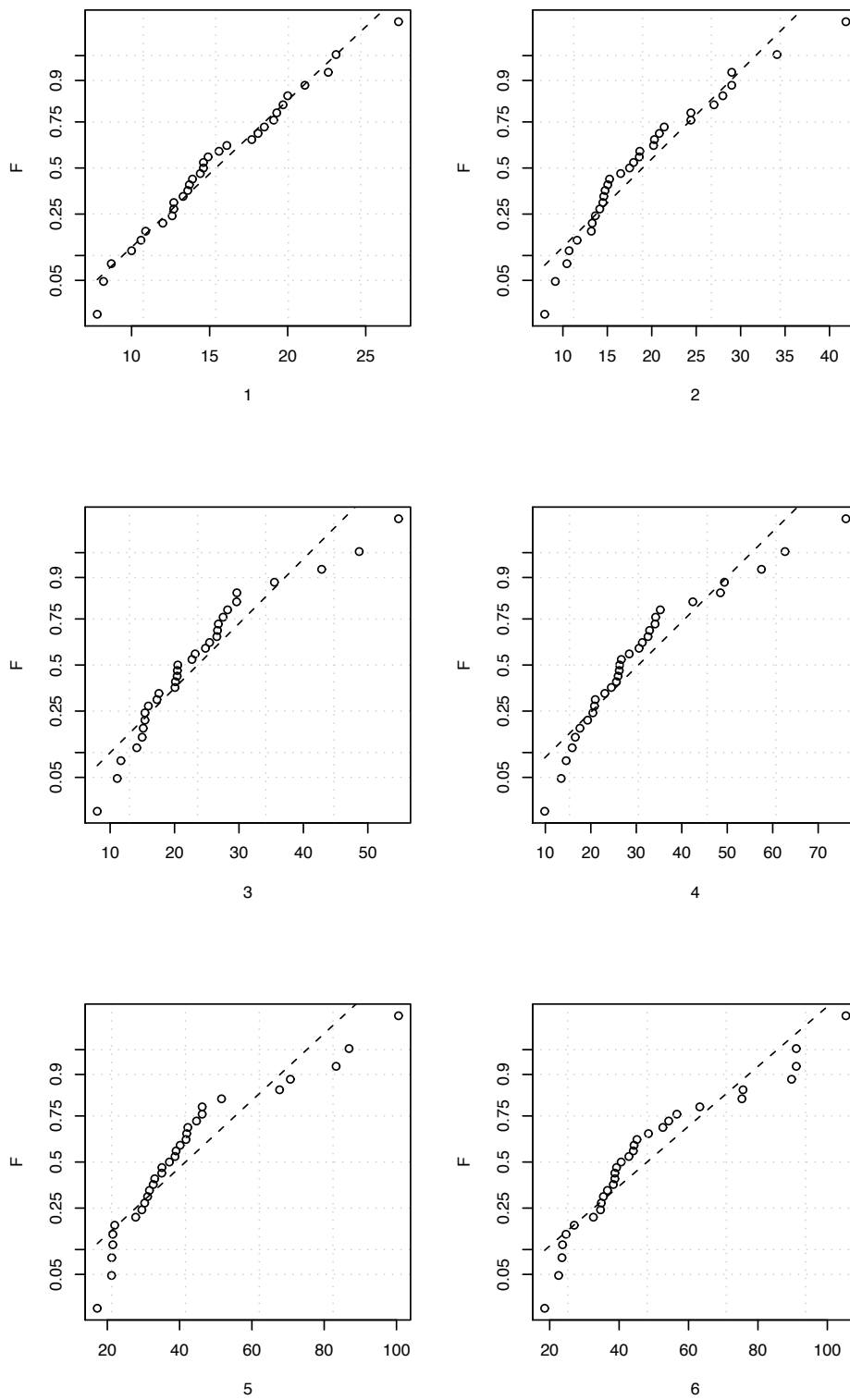


Figura F.22: Normal plot dei deflussi minimi mensili, bimestrali, ..., semestrali. (25/37 Tanaro a Nucetto)

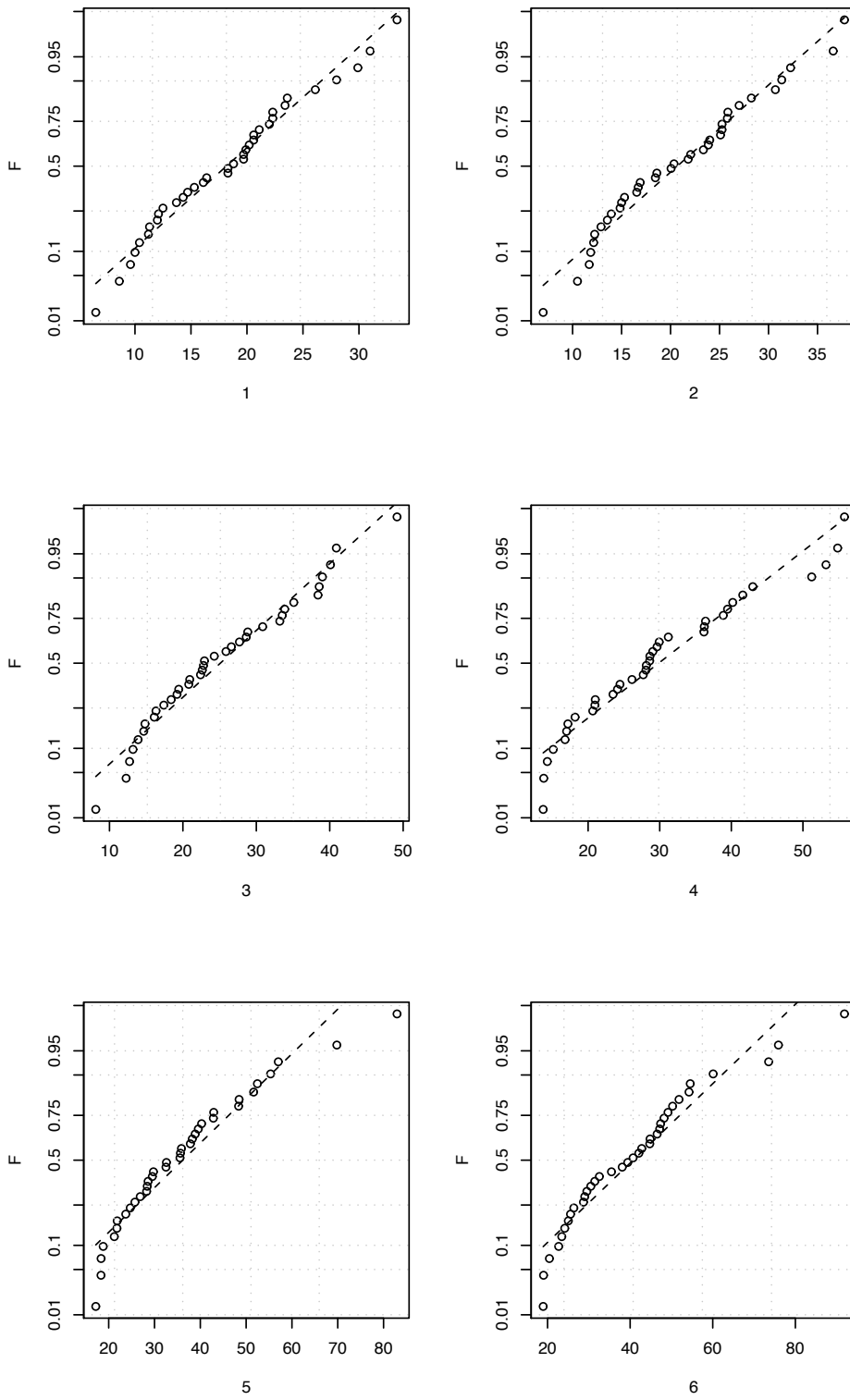


Figura F.22: Normal plot dei deflussi minimi mensili, bimestrali, ..., semestrali. (26/37 Tanaro a Farigliano)

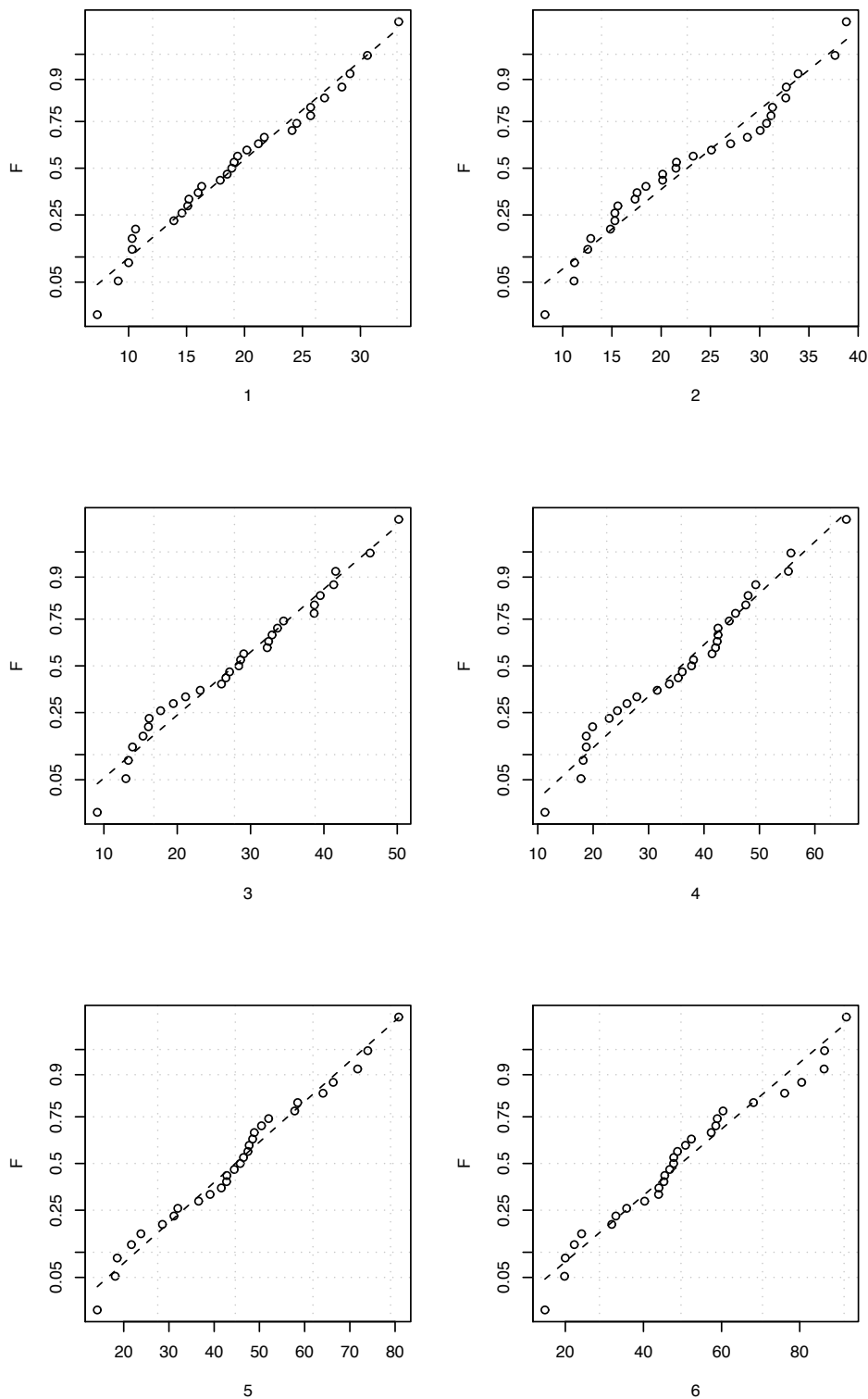


Figura F.22: Normal plot dei deflussi minimi mensili, bimestrali, ..., semestrali. (27/37 Corsaglia a Molline)

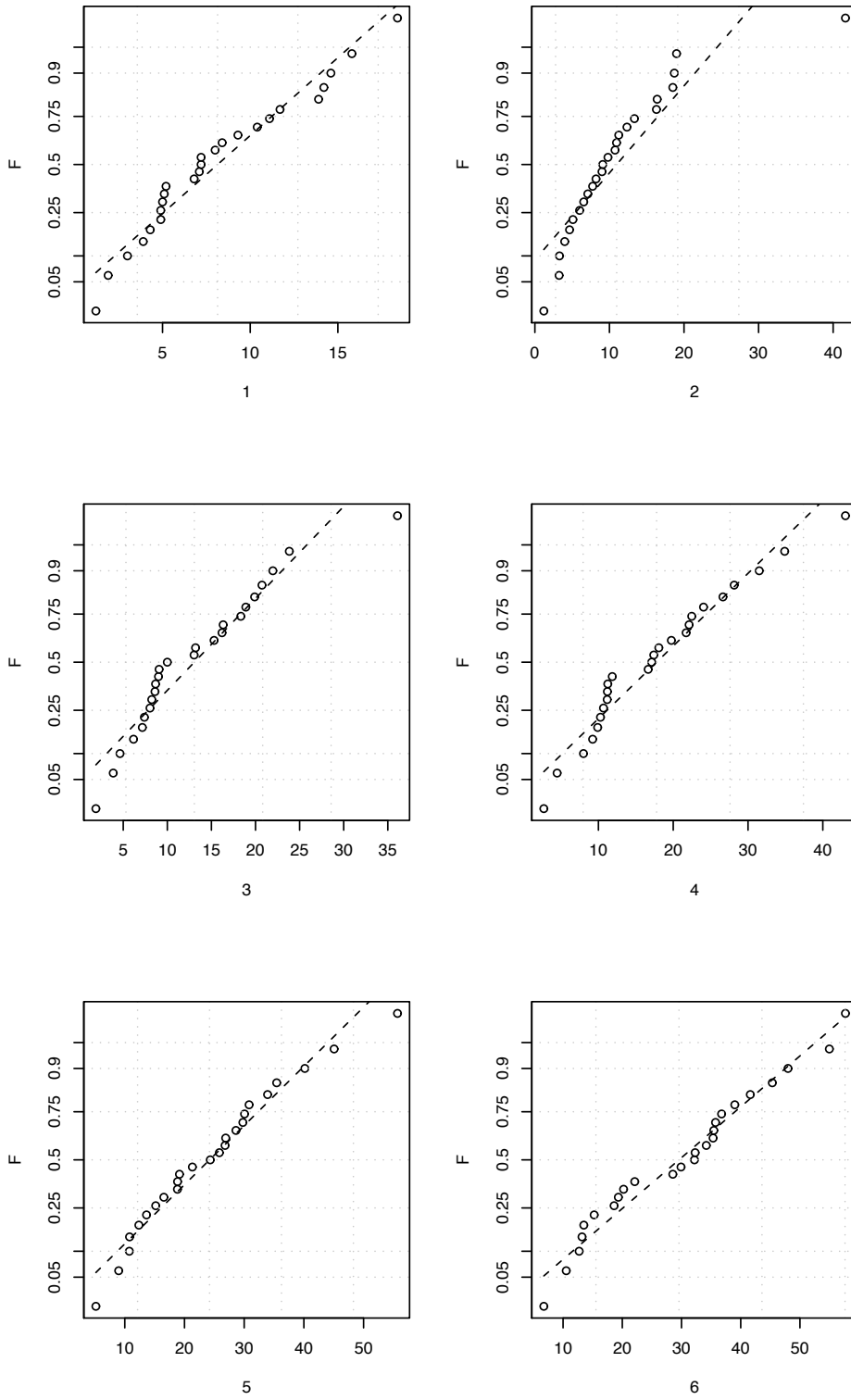


Figura F.22: Normal plot dei deflussi minimi mensili, bimestrali, ..., semestrali. (28/37 Scrvia a Serravalle)

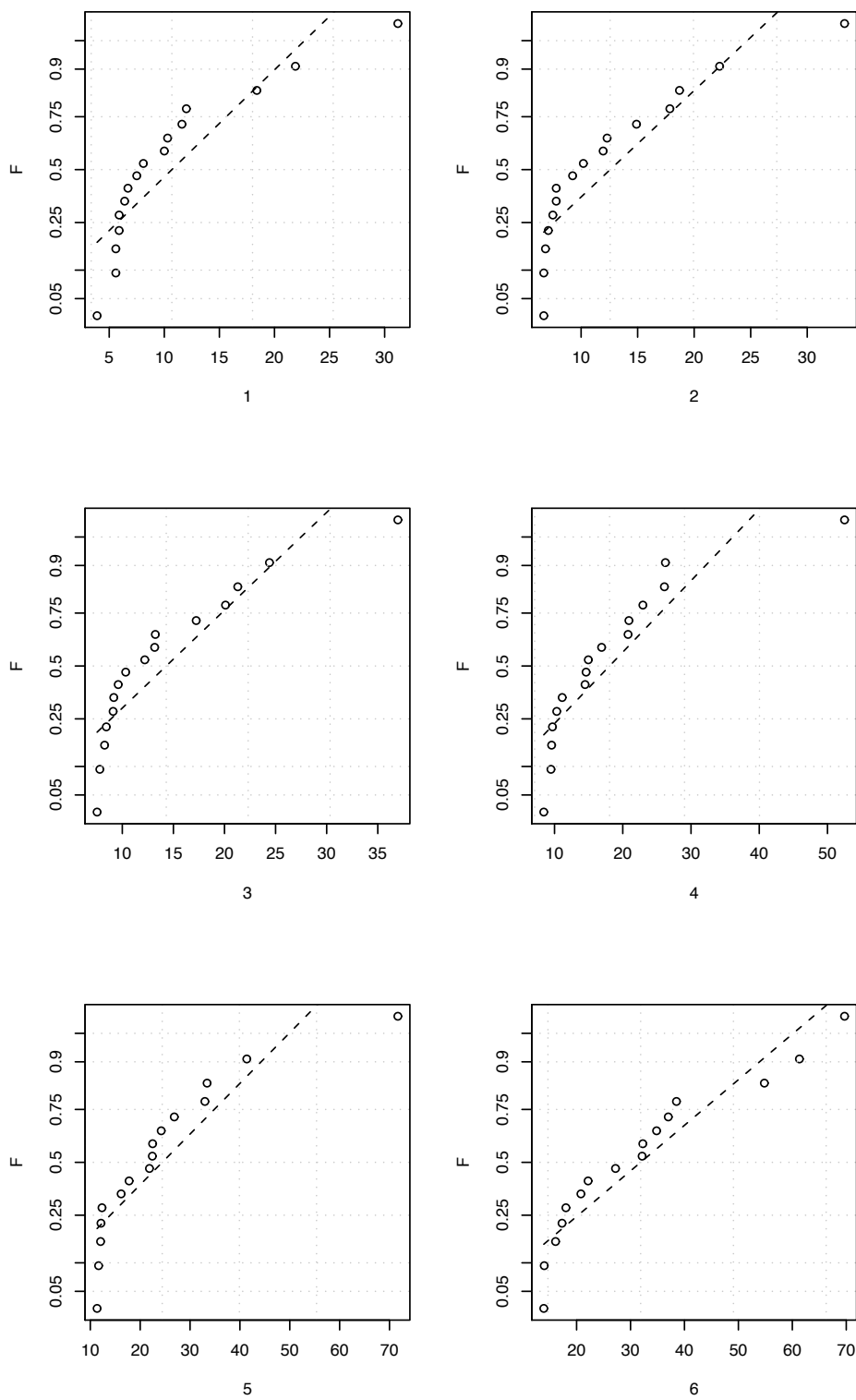


Figura F.22: Normal plot dei deflussi minimi mensili, bimestrali, ..., semestrali. (29/37 Erro a Sassello)

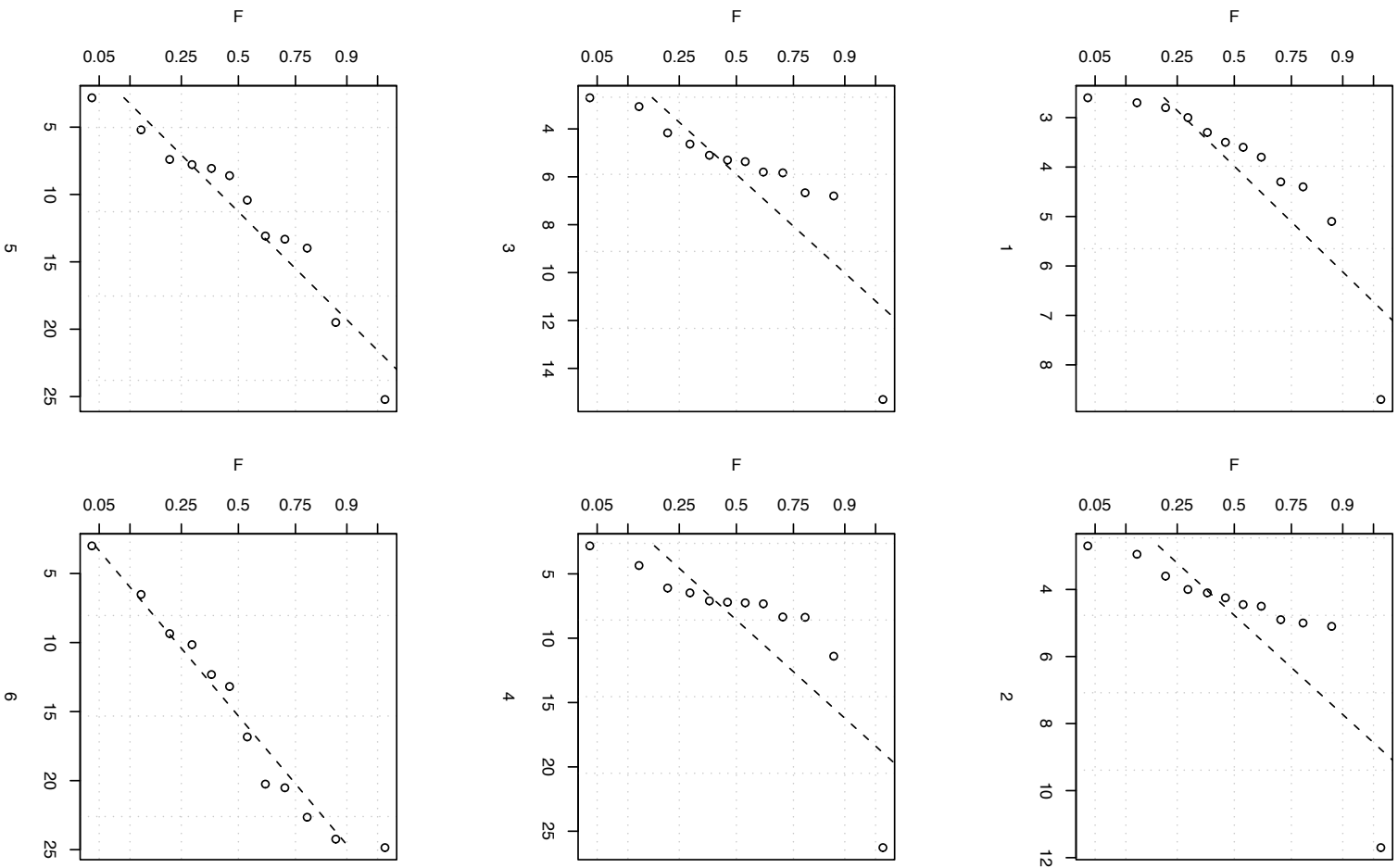


Figura F.22: Normal plot dei deflussi minimi mensili, bimestrali, ..., semestrali. (30/37 Bormida a Cassine)

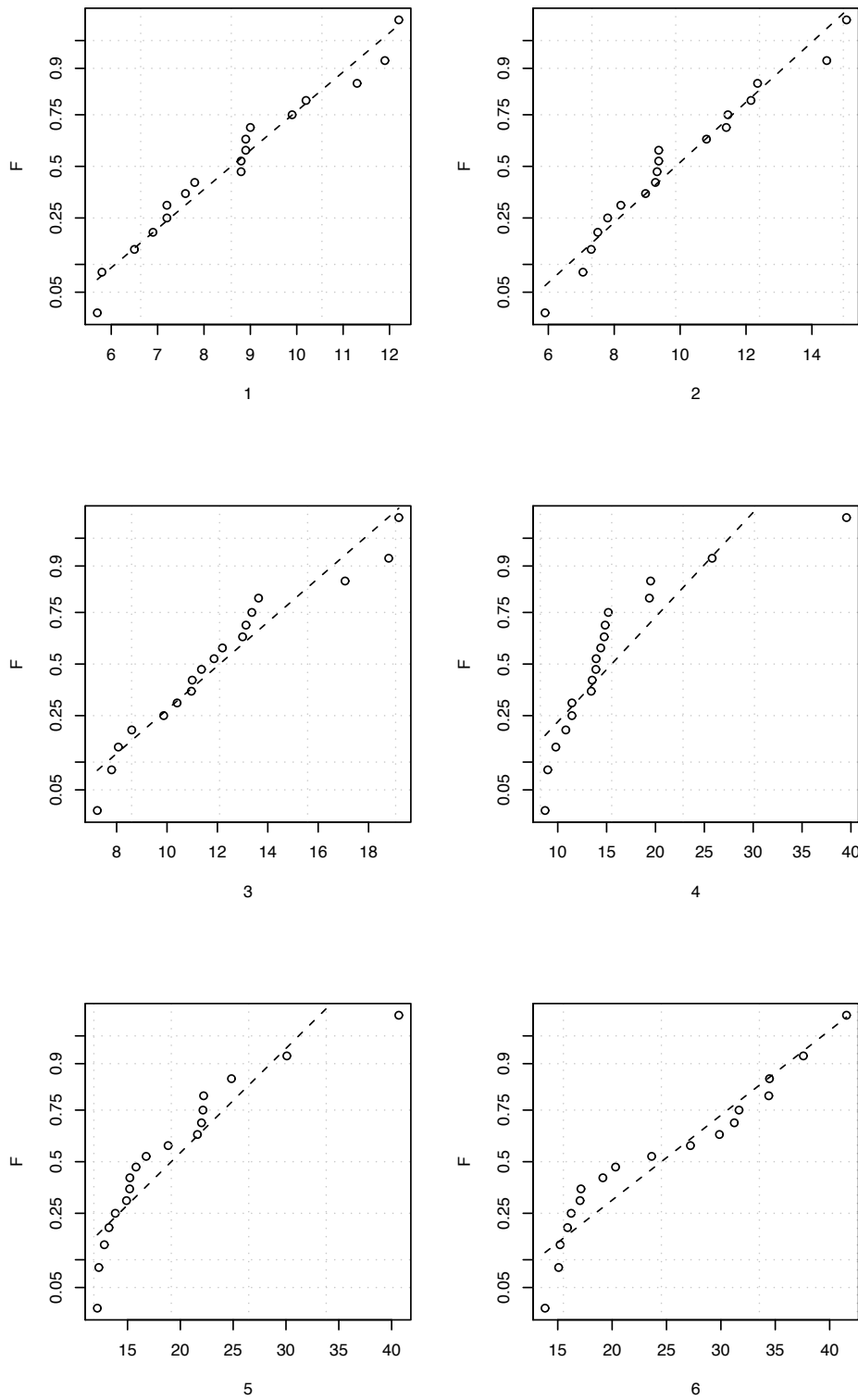


Figura F.22: Normal plot dei deflussi minimi mensili, bimestrali, ..., semestrali. (31/37 Borbera a Baracche)

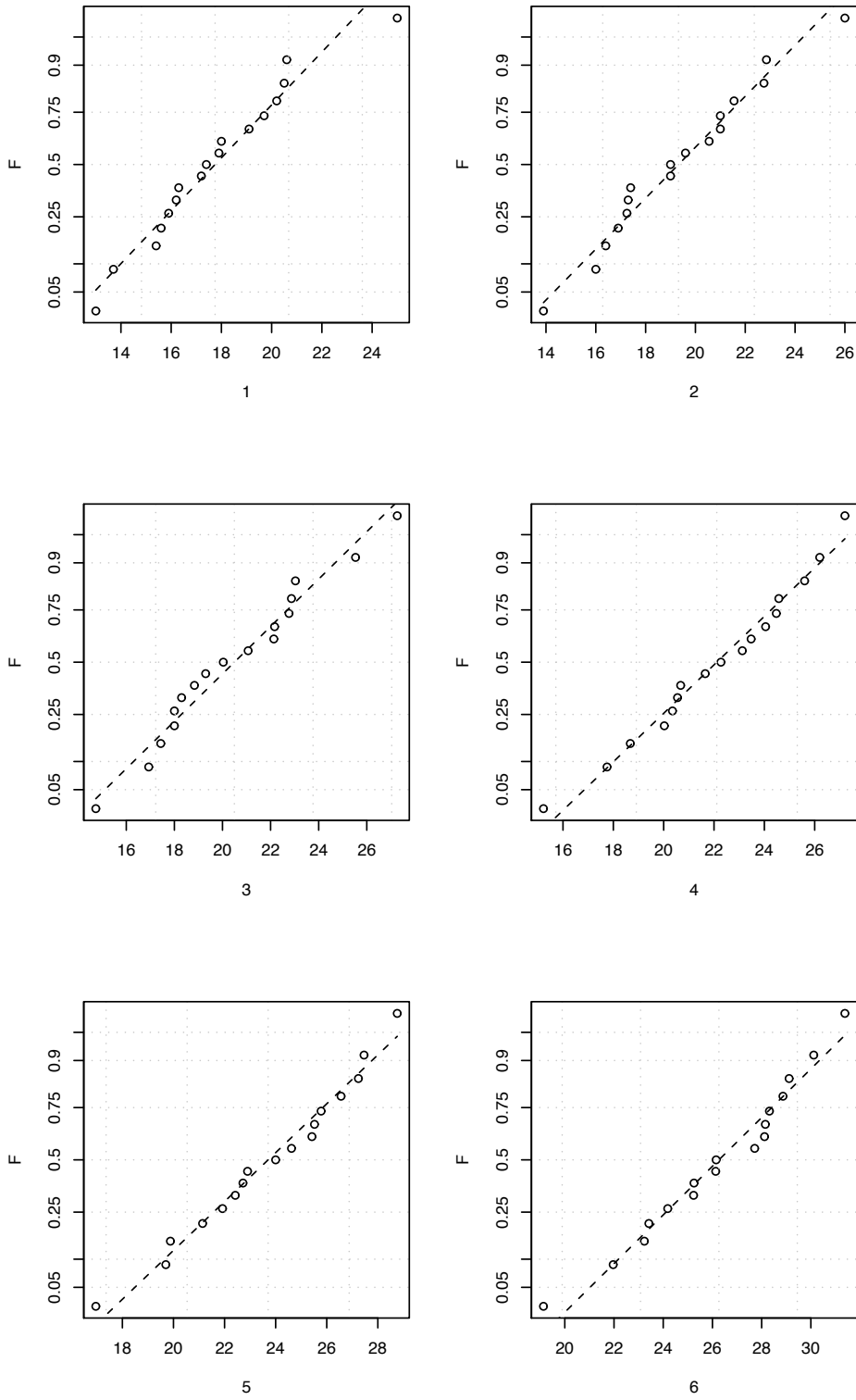


Figura F.22: Normal plot dei deflussi minimi mensili, bimestrali, ..., semestrali. (32/37 Dora Baltea ad Aosta)

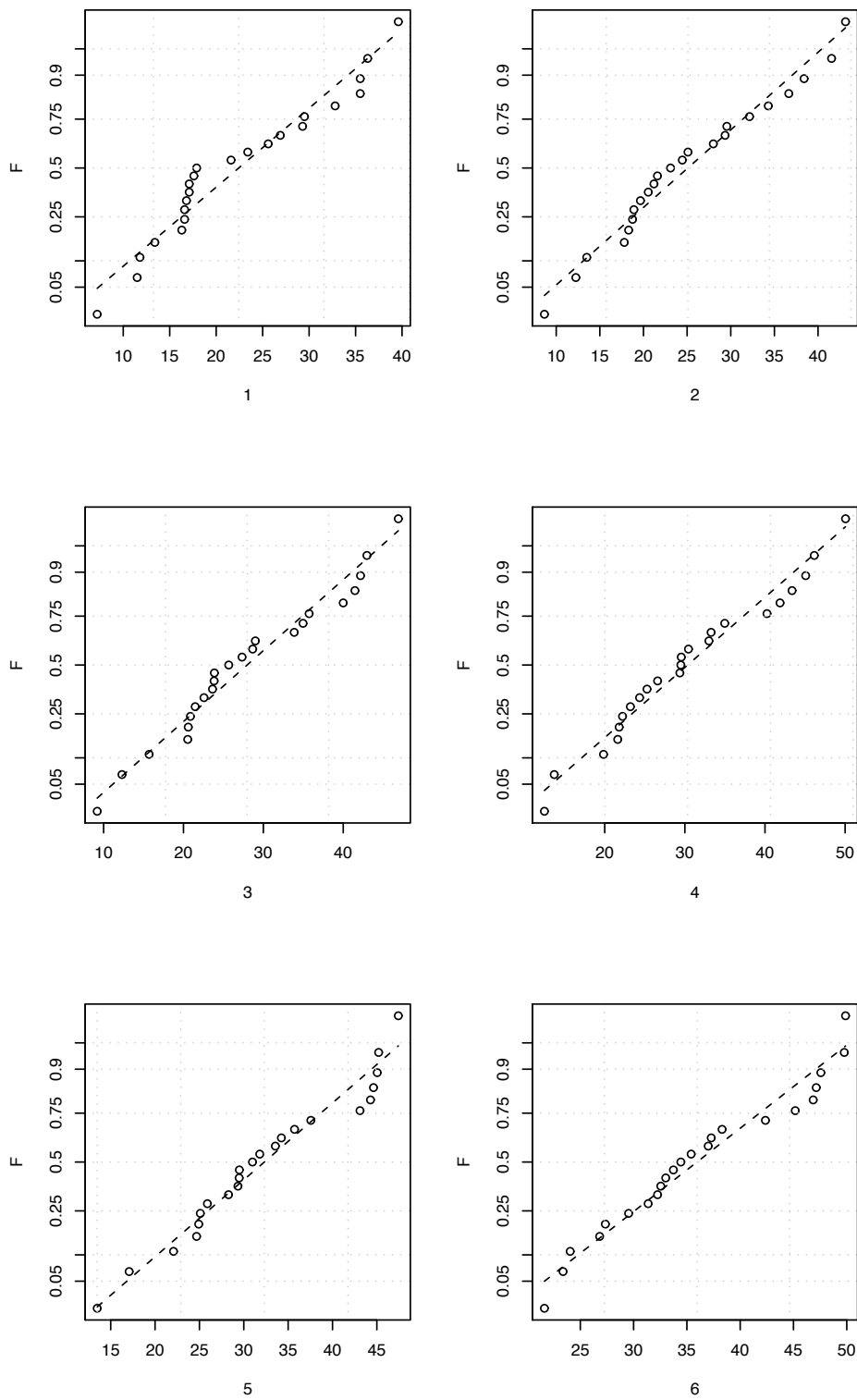


Figura F.22: Normal plot dei deflussi minimi mensili, bimestrali, ..., semestrali. (33/37 Lys a Gressoney)

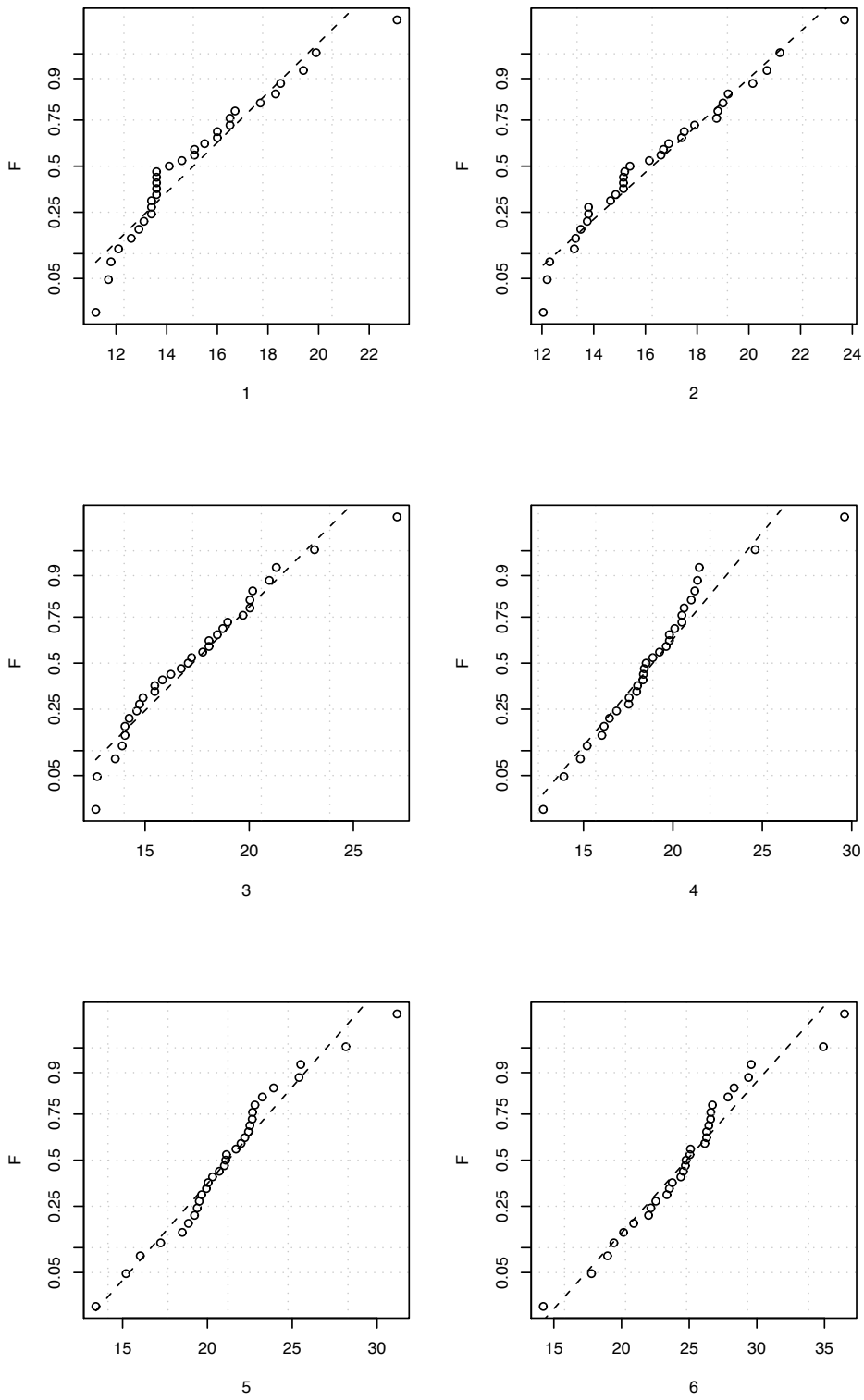


Figura F.22: Normal plot dei deflussi minimi mensili, bimestrali, ..., semestrali. (34/37 Rutor a Promise)

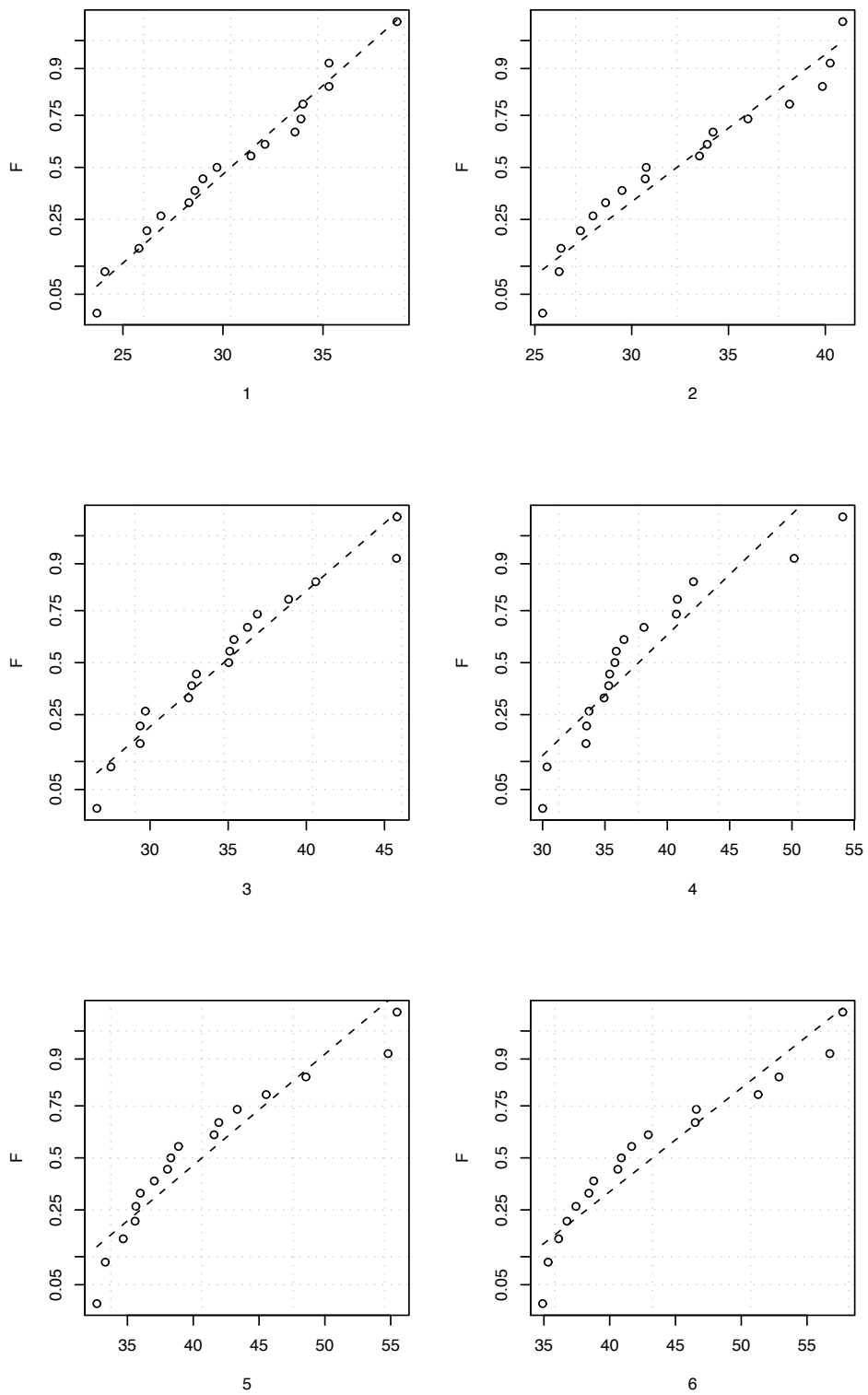


Figura F.22: Normal plot dei deflussi minimi mensili, bimestrali, ..., semestrali. (35/37 Artanavaz a St.Oyen)

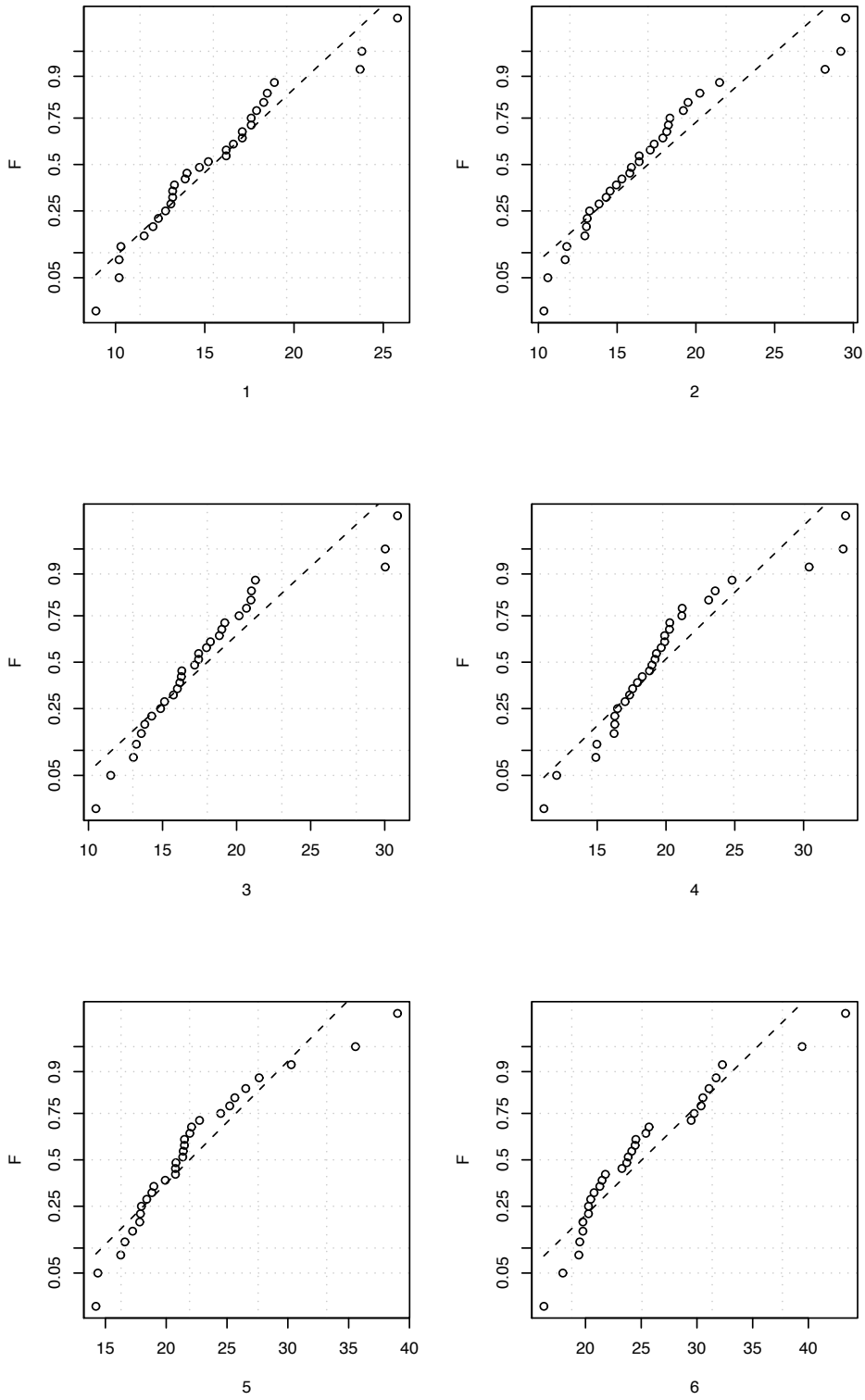


Figura F.22: Normal plot dei deflussi minimi mensili, bimestrali, ..., semestrali. (36/37 Evancon a Champoluc)

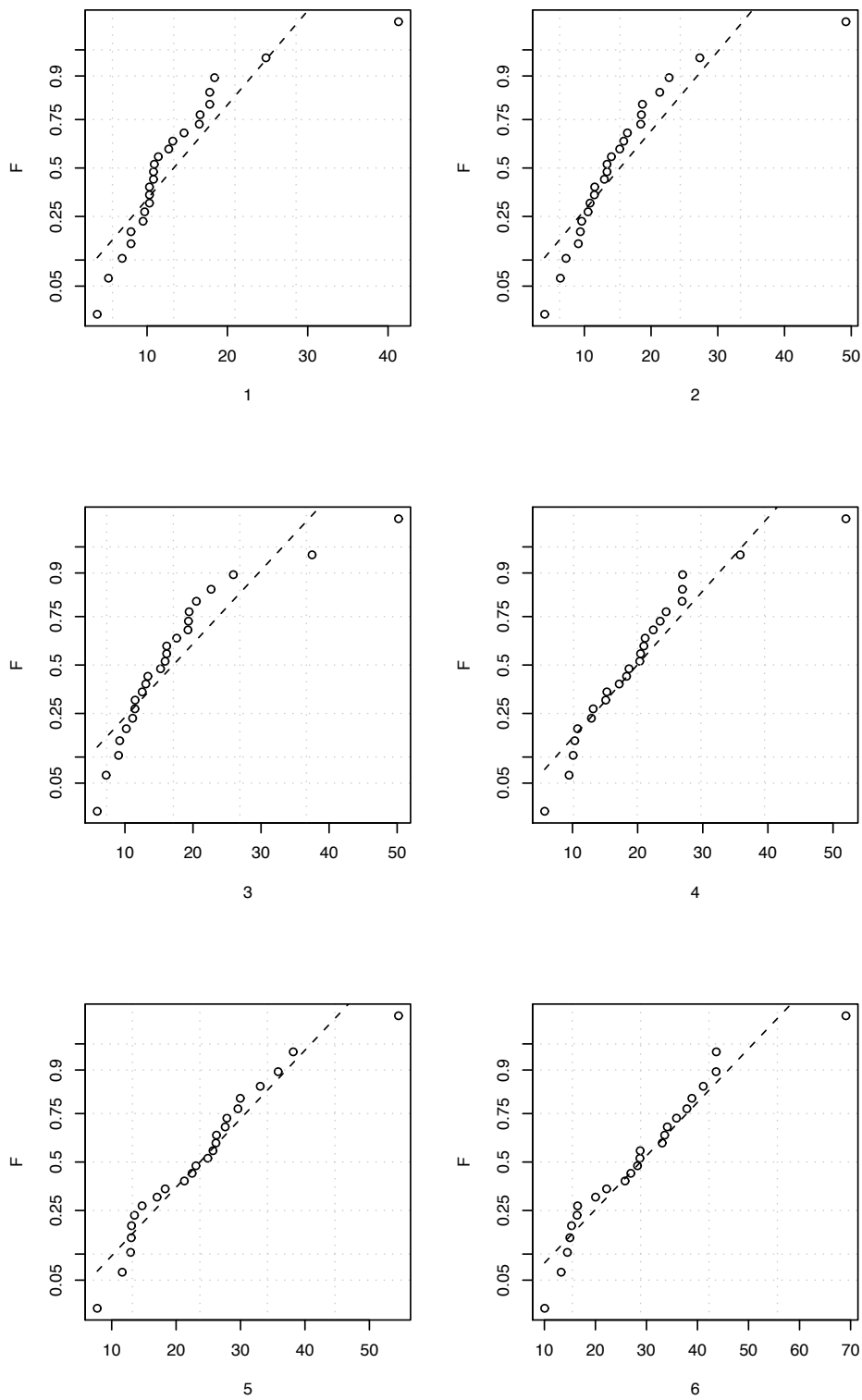


Figura F.22: Normal plot dei deflussi minimi mensili, bimestrali, ..., semestrali. (37/37 Ayasse a Champorcher)

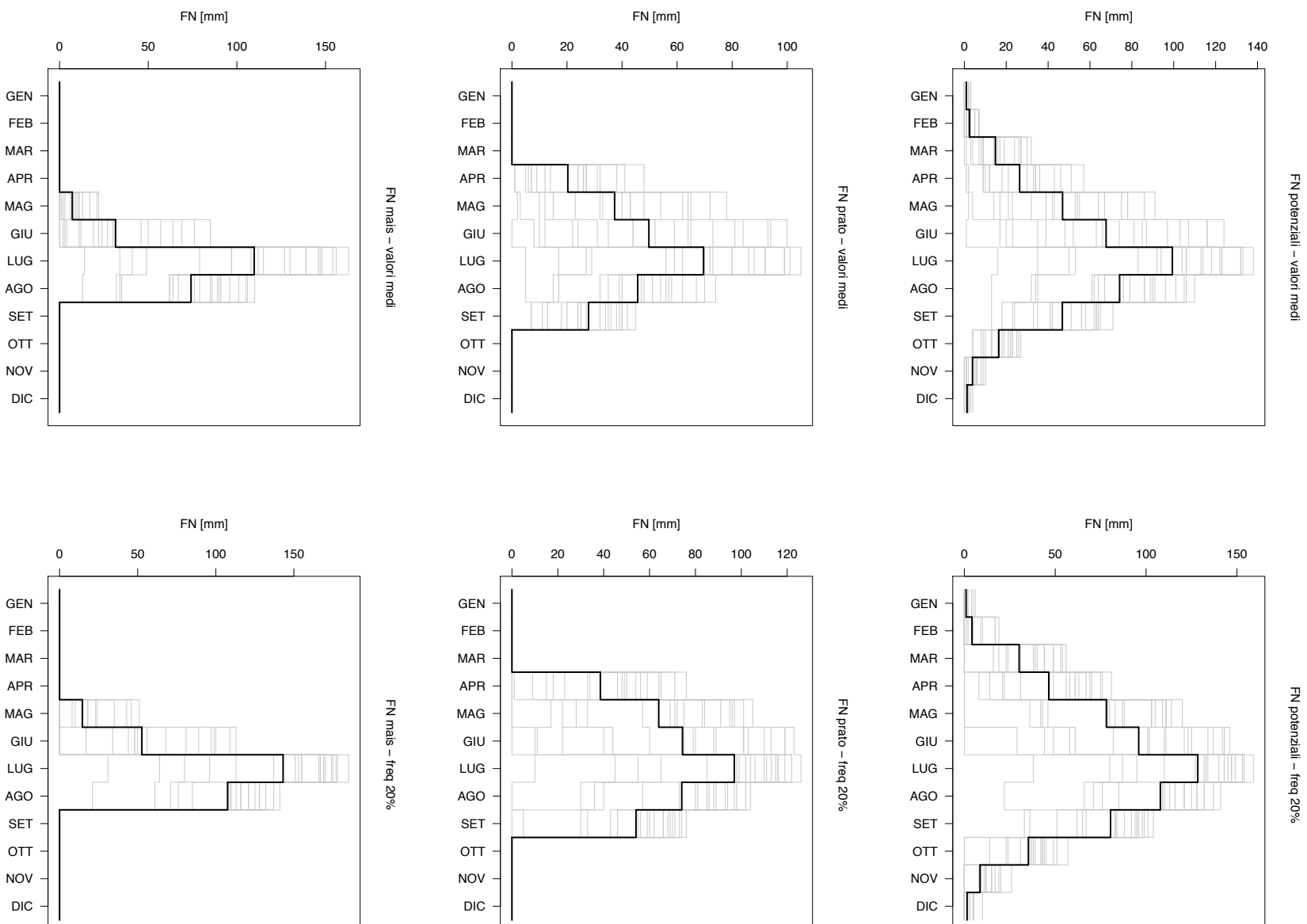


Figura F.23: Curve di richiesta stimate per diverse tipologie di coltura per i 20 punti di Figura 8.3 da Merlo et al. (Regione Piemonte, 2001); la curva media è rappresentata con la linea più marcata. (1/2)

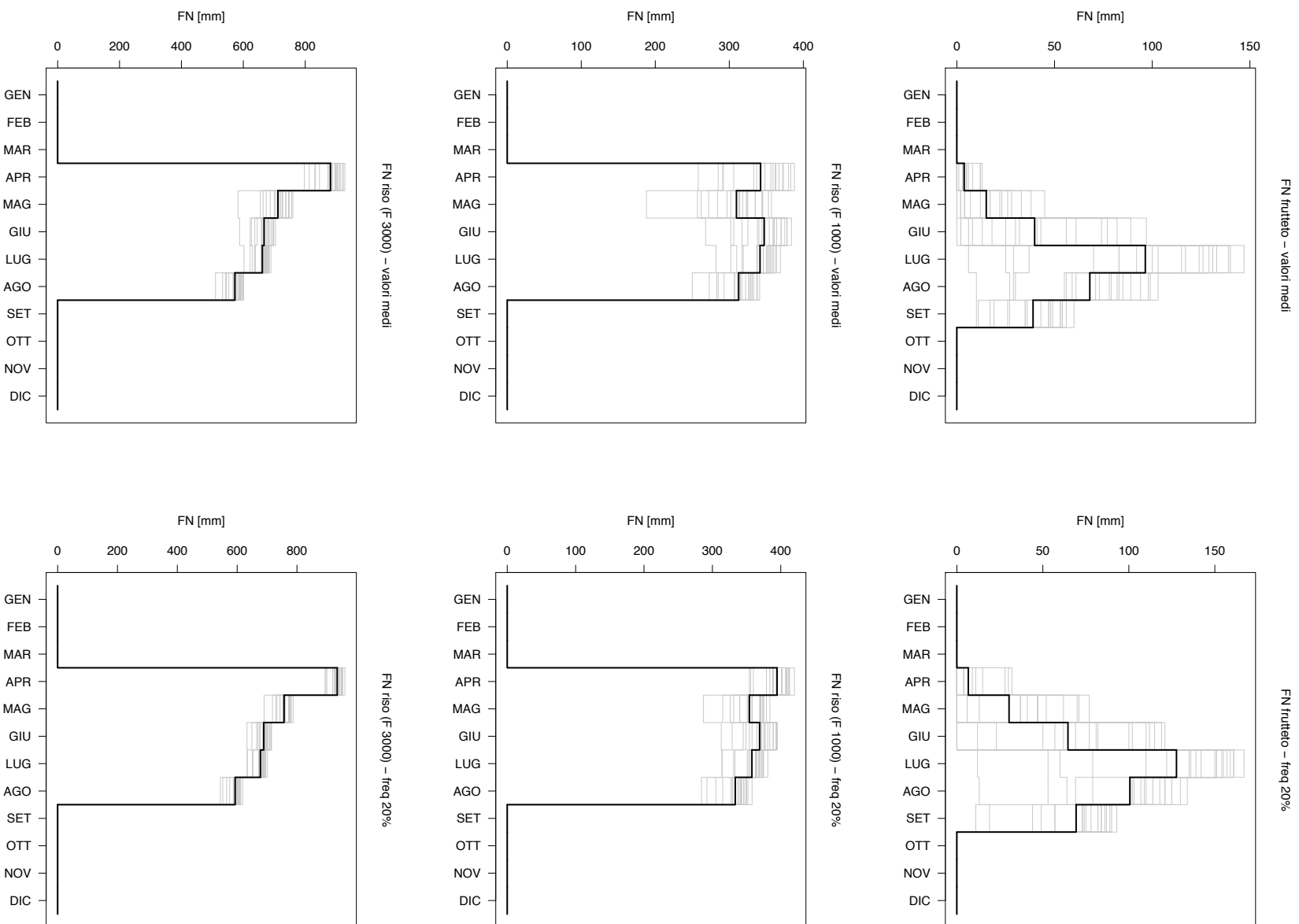


Figura F.23: Curve di richiesta stimate per diverse tipologie di coltura per i 20 punti di Figura 8.3 da Merlo et al. (Regione Piemonte, 2001); la curva media è rappresentata con la linea più marcata. (2/2)

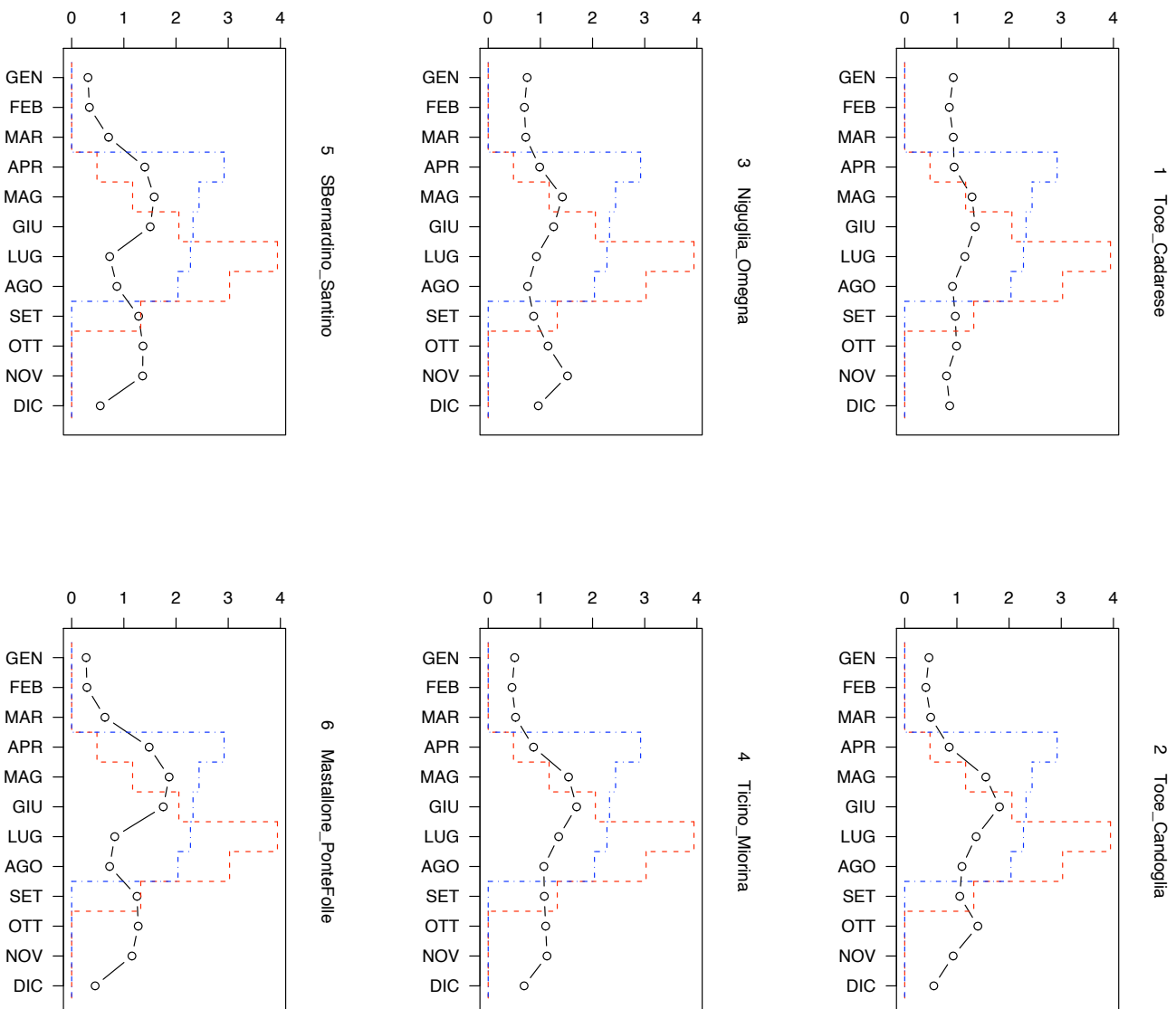


Figura F.24: Curve “tipo” di richiesta e regime idrometrico per le sezioni considerate nello studio. (1/8)

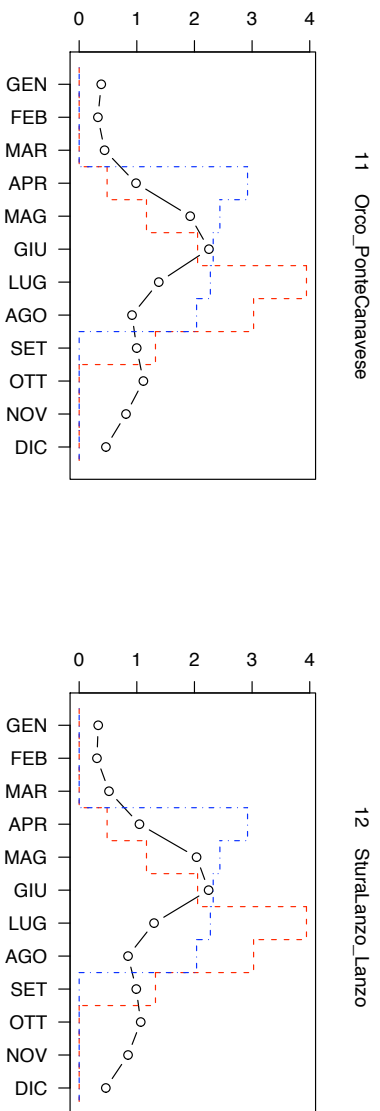
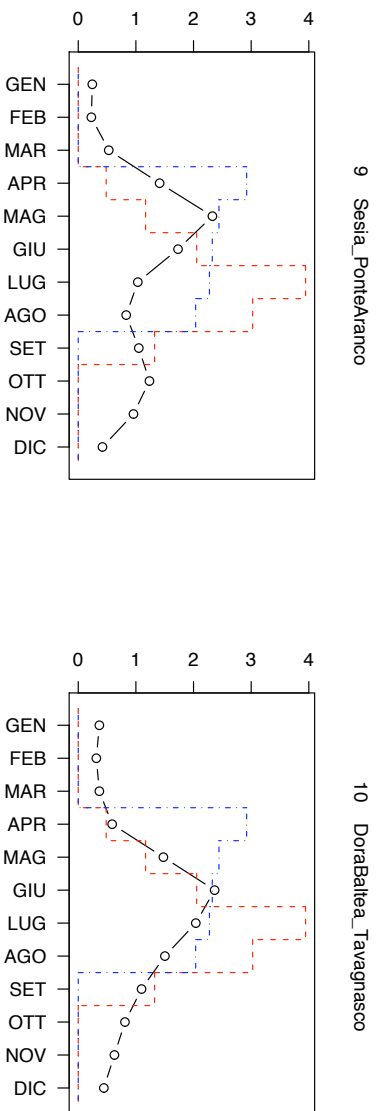
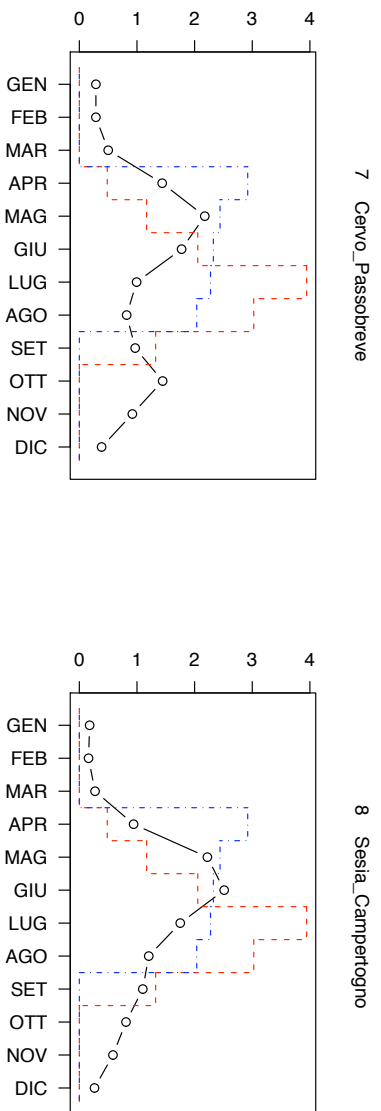


Figura F.24: Curve “tipo” di richiesta e regime idrometrico per le sezioni considerate nello studio. (2/8)

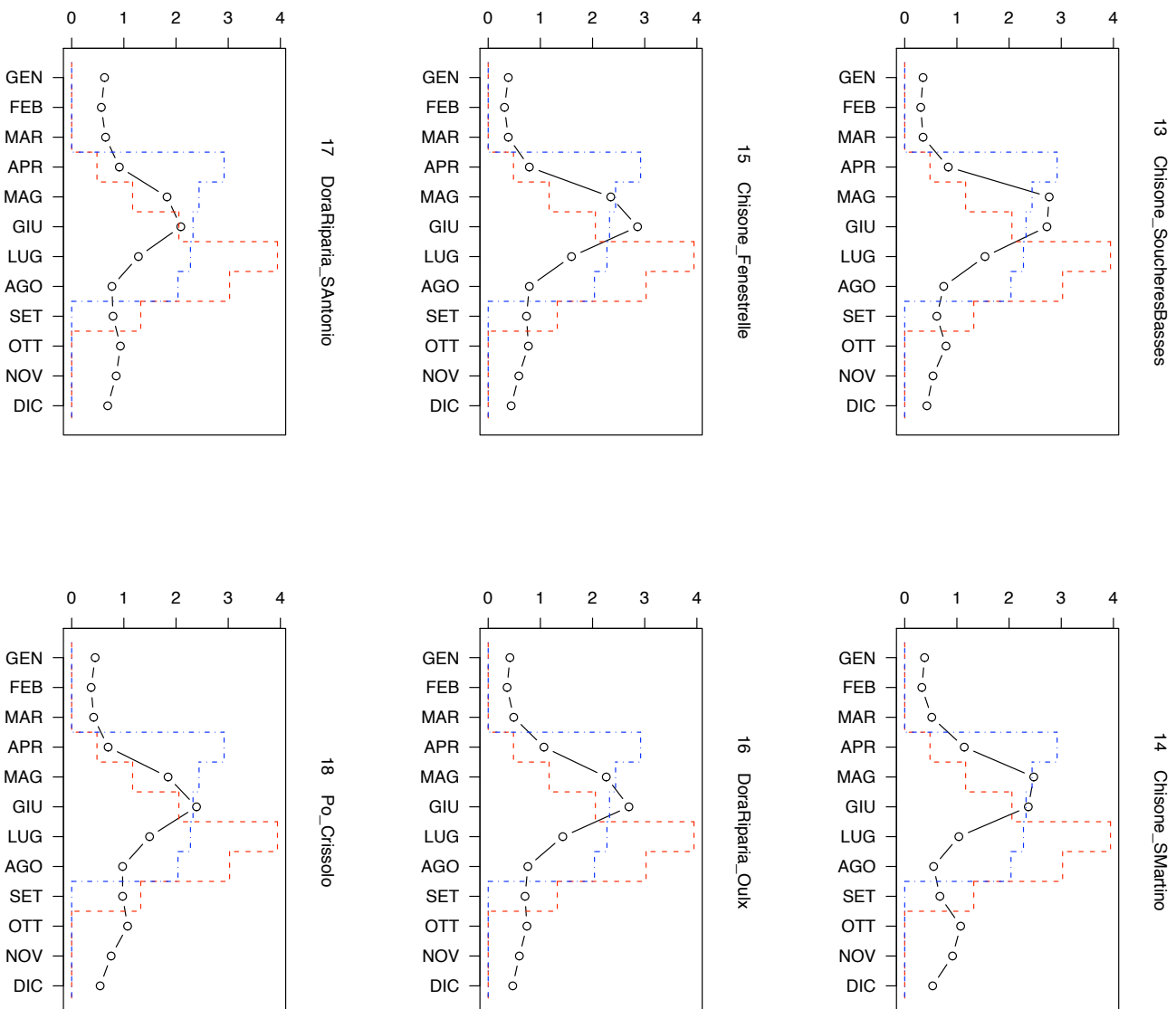
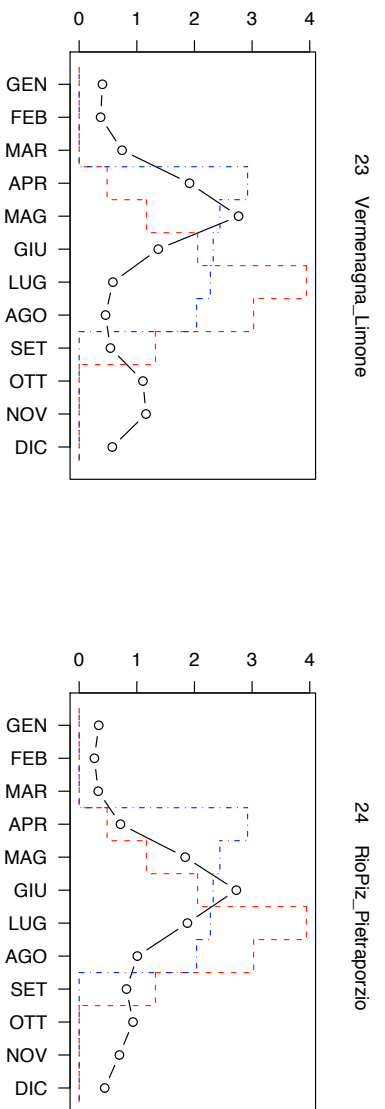
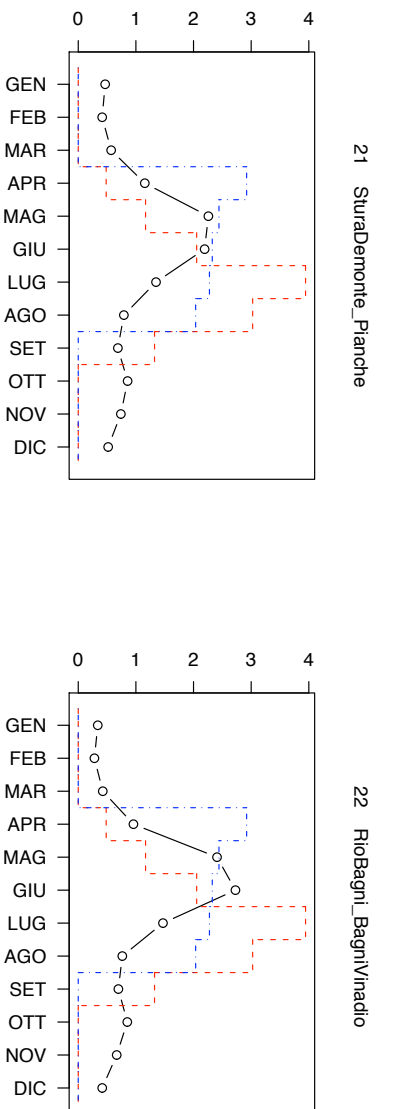
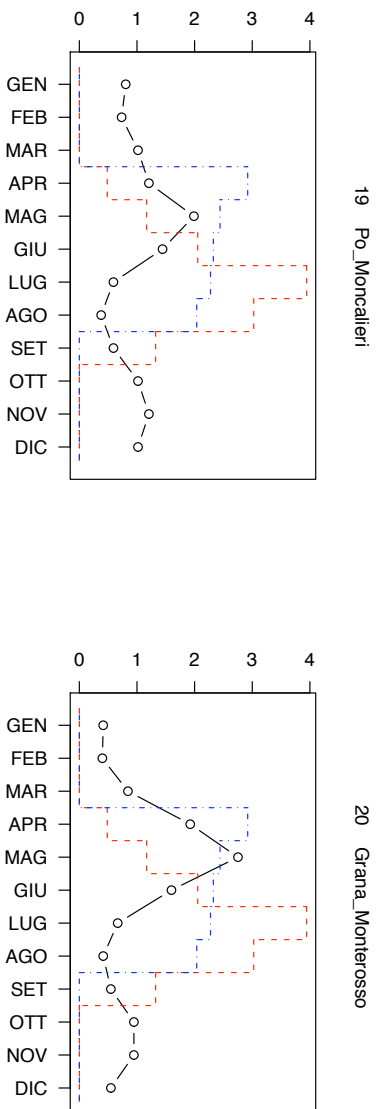


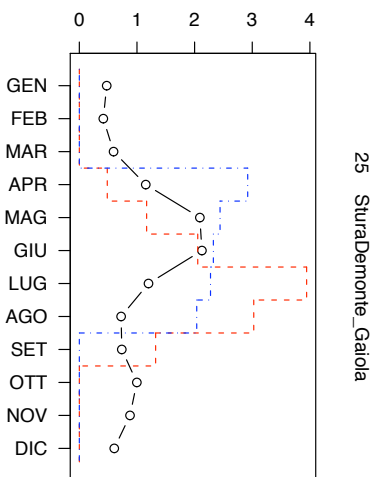
Figura F.24: Curve “tipo” di richiesta e regime idrometrico per le sezioni considerate nello studio. (3/8)



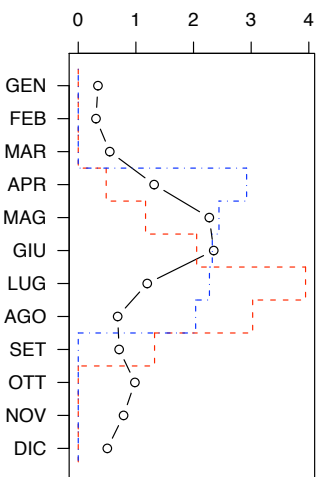
23 Vermevagna_Limone

24 RioPiz_Pietrapozzo

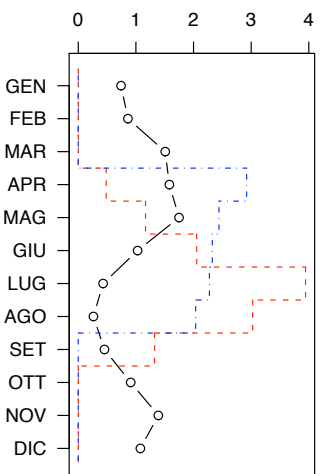
Figura F.24: Curve “tipo” di richiesta e regime idrometrico per le sezioni considerate nello studio. (4/8)



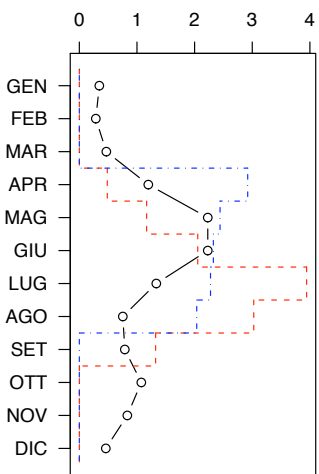
27 GessoEntraque_Entraque



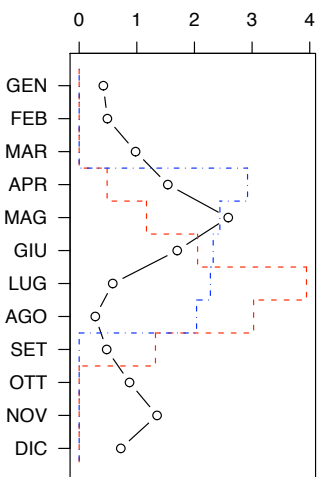
28 Tanaro_Montecastello



26 GessoValletta_SLorenzo



29 Tanaro_PonteNava



30 Tanaro_Nuceotto

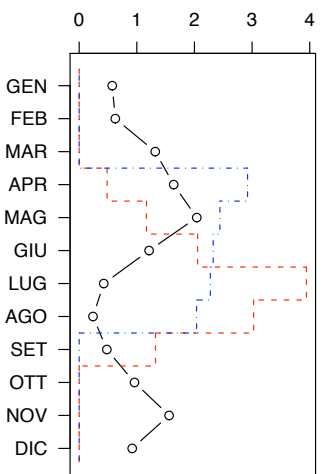


Figura F.24: Curve “tipo” di richiesta e regime idrometrico per le sezioni considerate nello studio. (5/8)

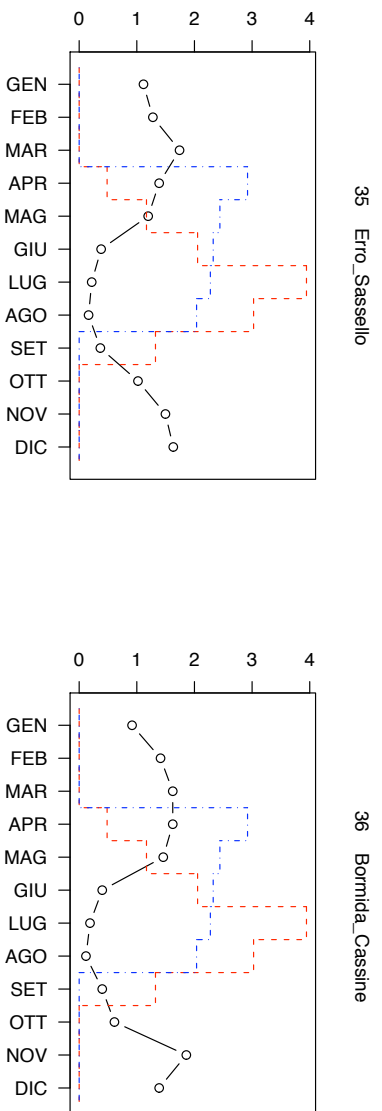
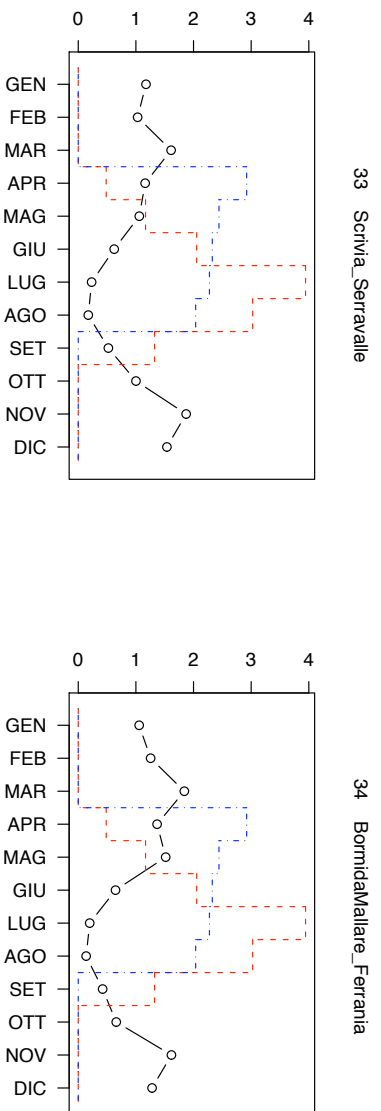
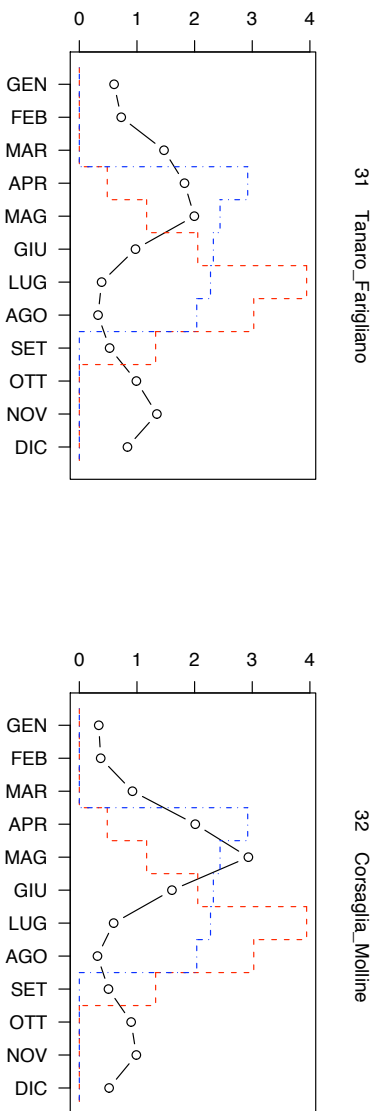


Figura F.24: Curve “tipo” di richiesta e regime idrometrico per le sezioni considerate nello studio. (6/8)

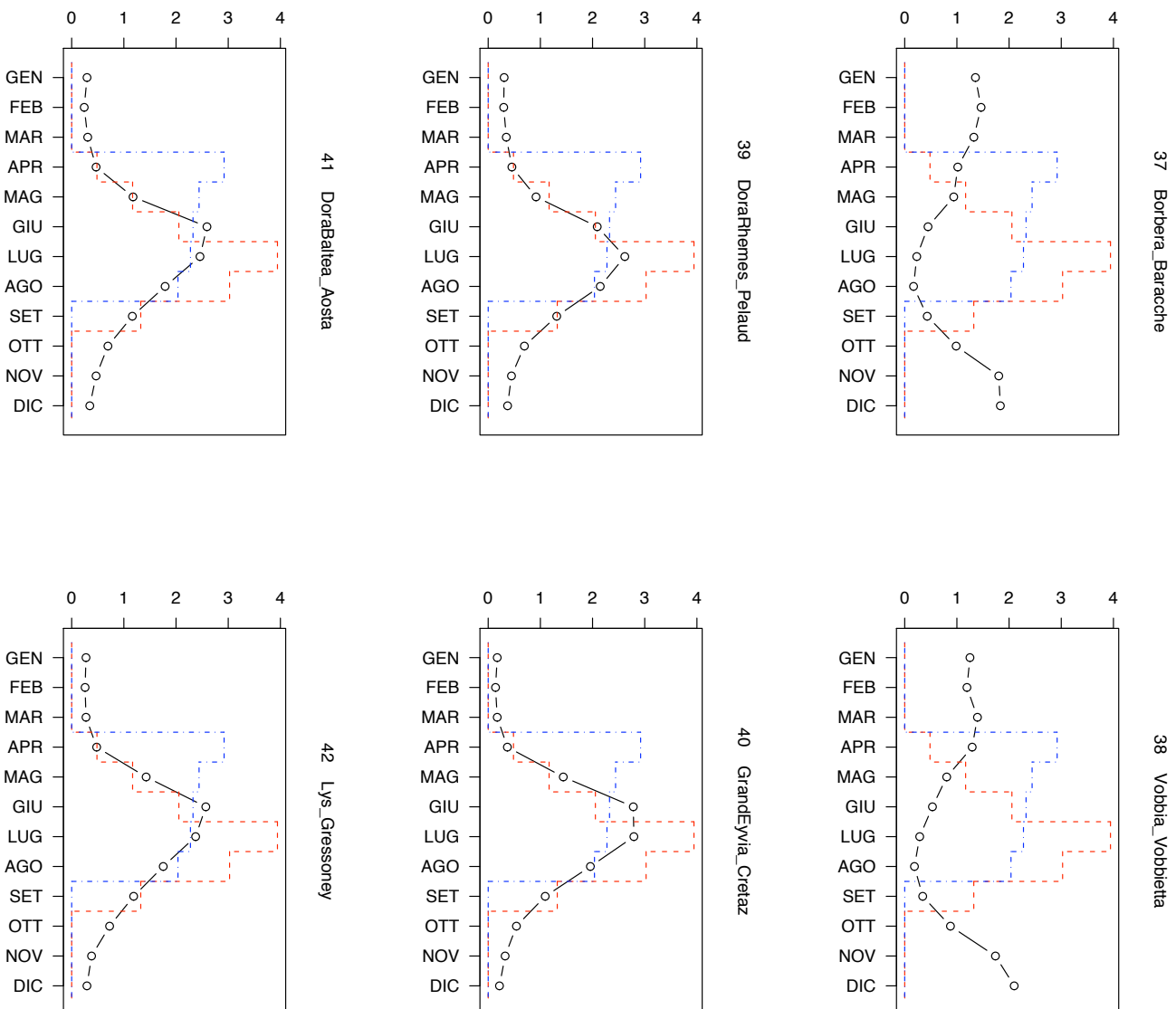


Figura F.24: Curve “tipo” di richiesta e regime idrometrico per le sezioni considerate nello studio. (7/8)

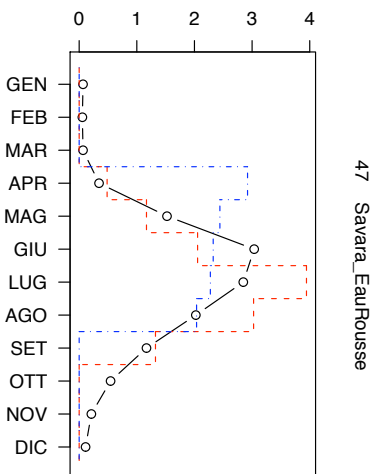
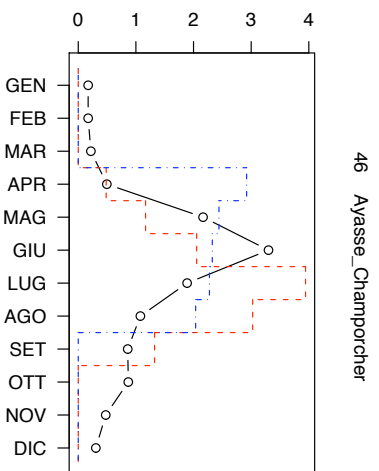
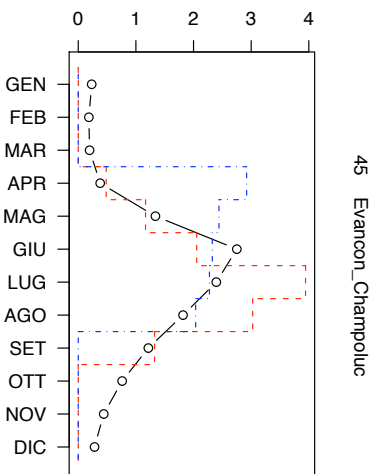
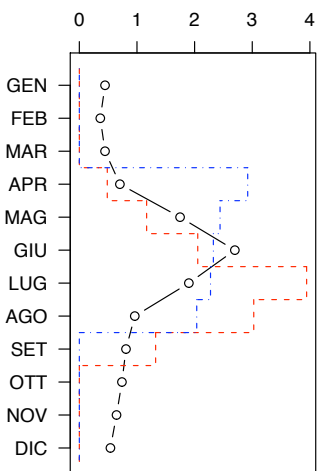
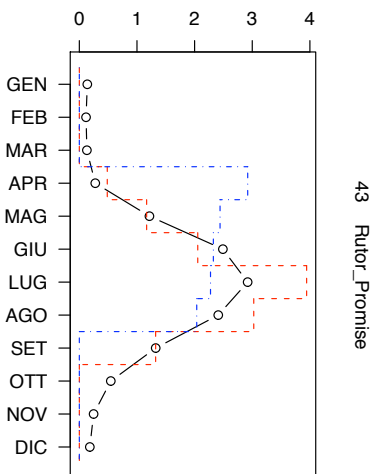


Figura F.24: Curve “tipo” di richiesta e regime idrometrico per le sezioni considerate nello studio. (8/8)

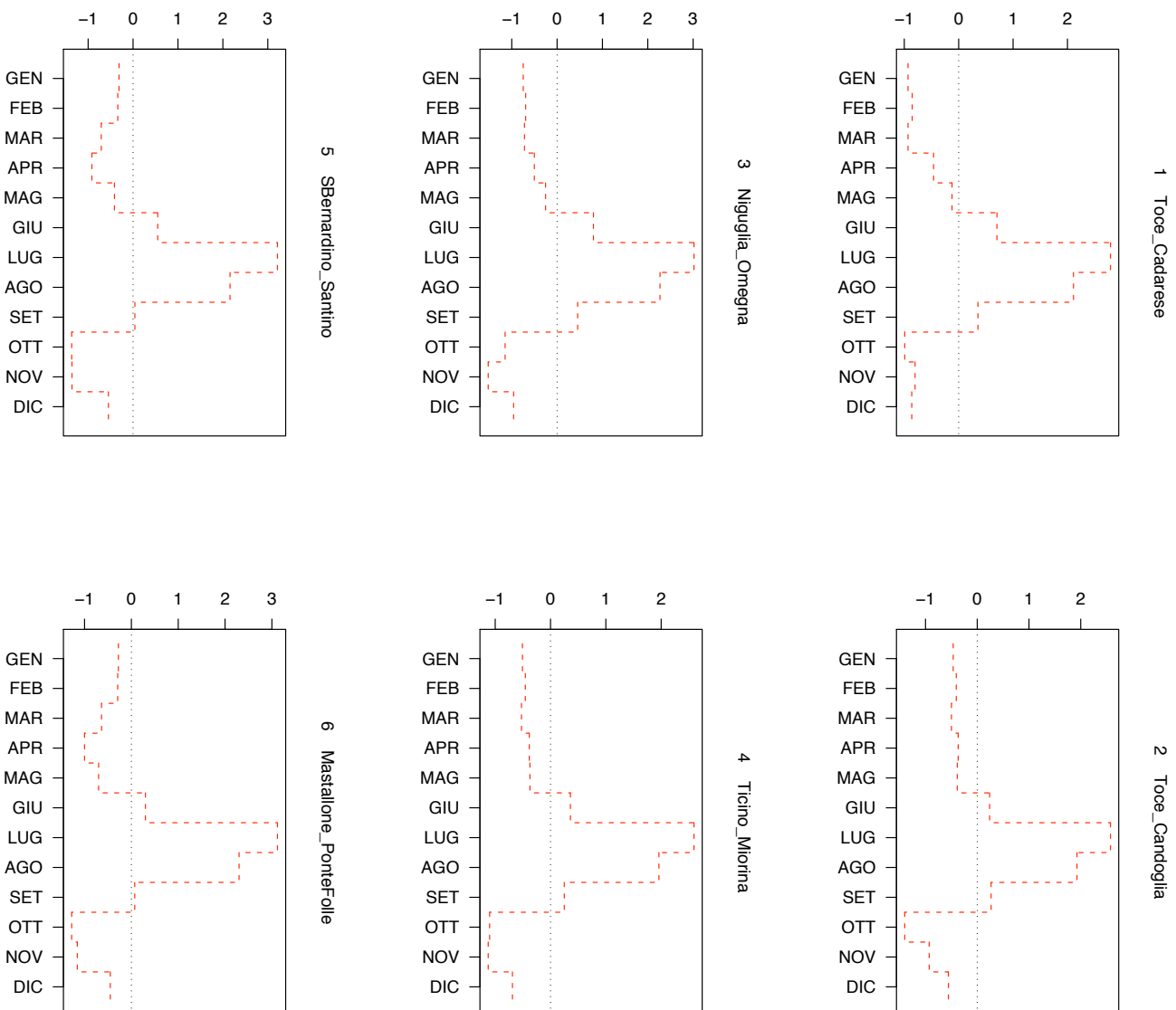


Figura F.25: Differenza tra la curva di richiesta per irrigazioni umettanti ed il regime idrometrico adimensionalizzati. (1/8)

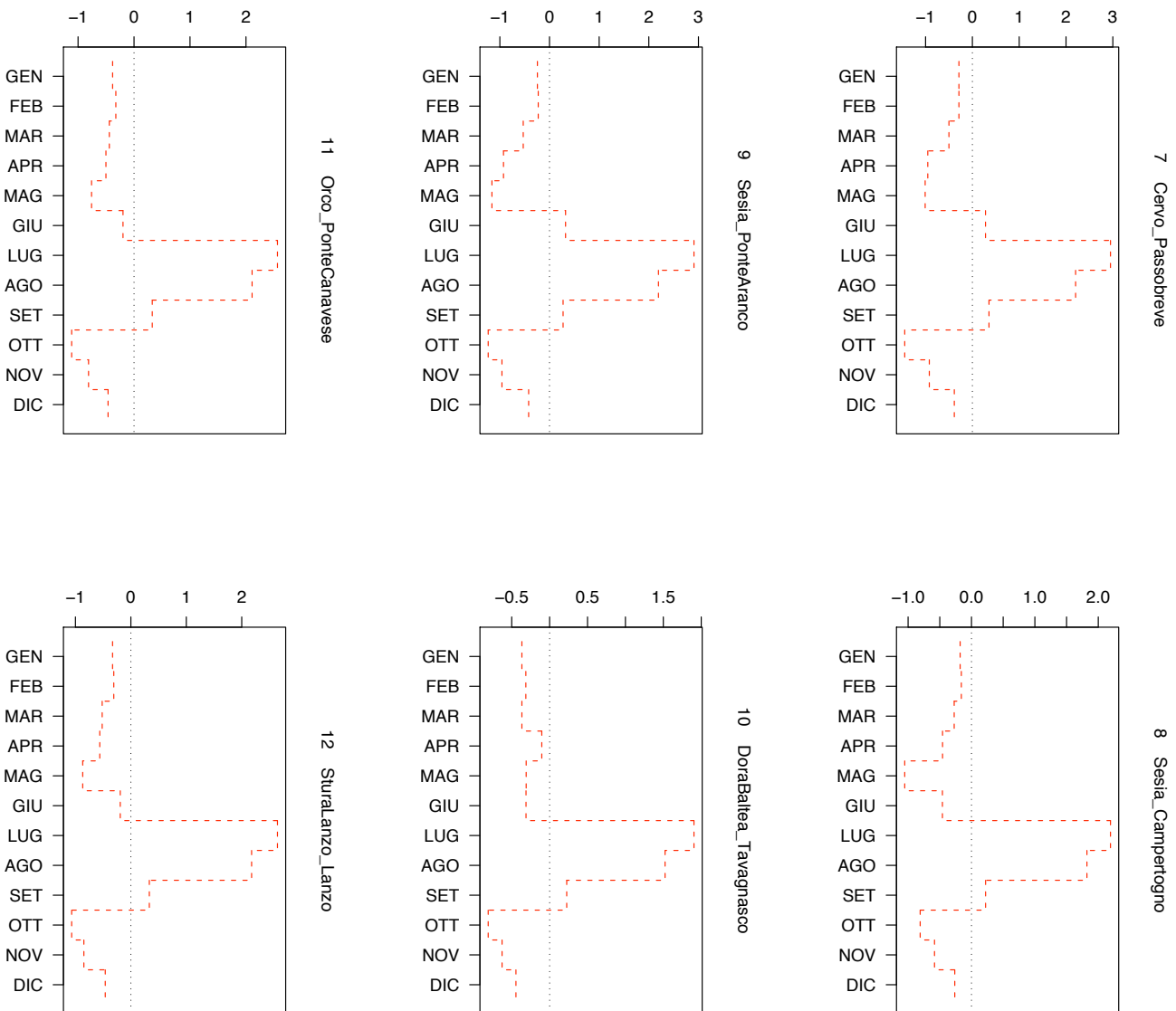


Figura F.25: Differenza tra la curva di richiesta per irrigazioni unmettanti ed il regime idrometrico adimensionalizzati. (2/8)

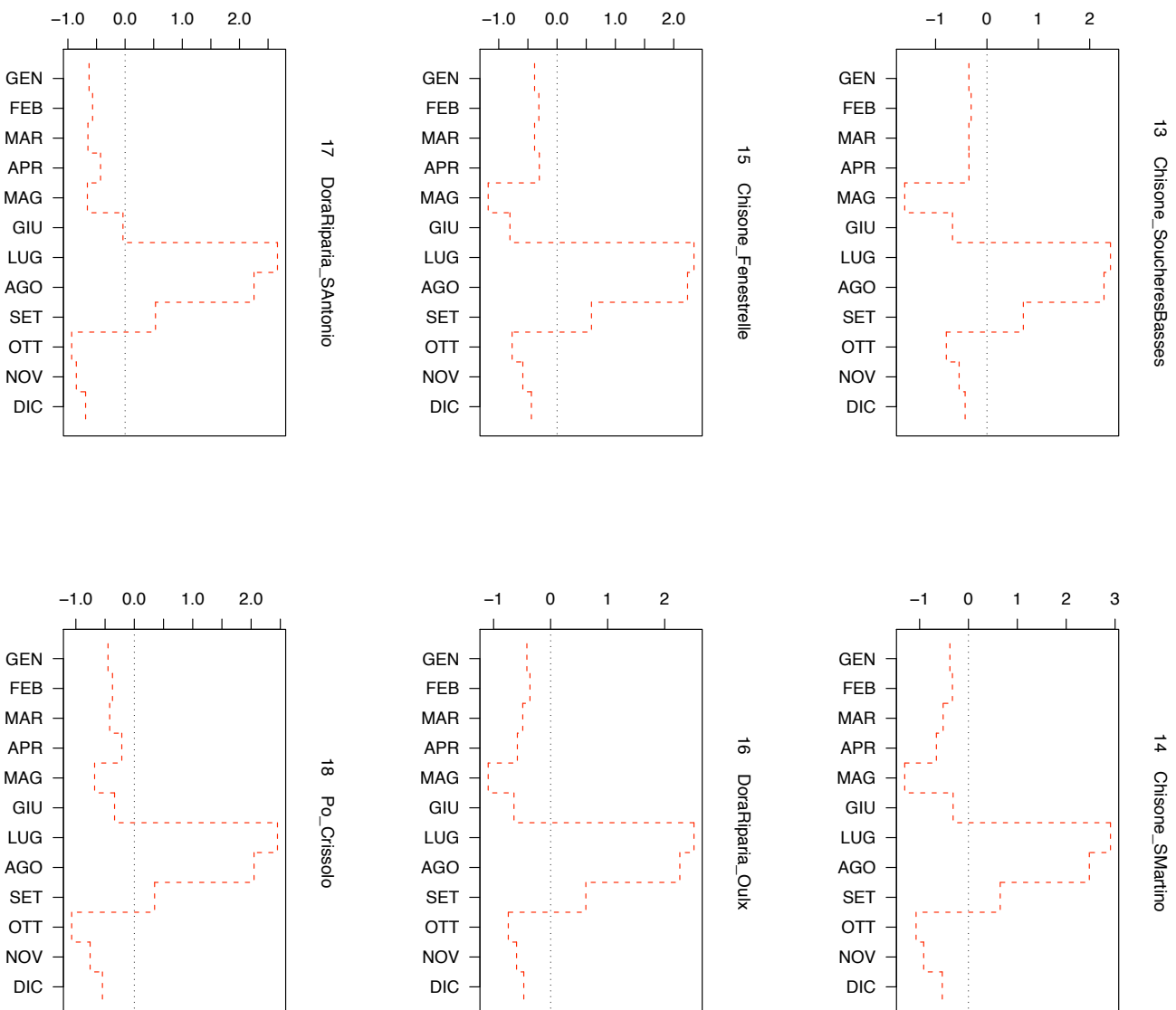


Figura F.25: Differenza tra la curva di richiesta per irrigazioni umettanti ed il regime idrometrico adimensionalizzati. (3/8)

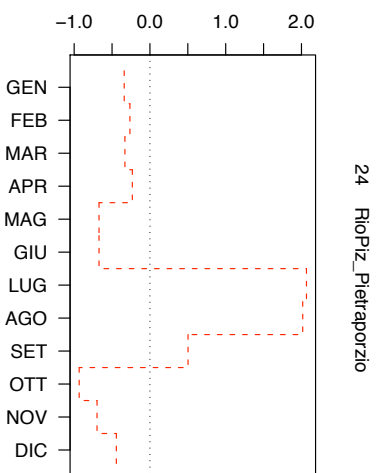
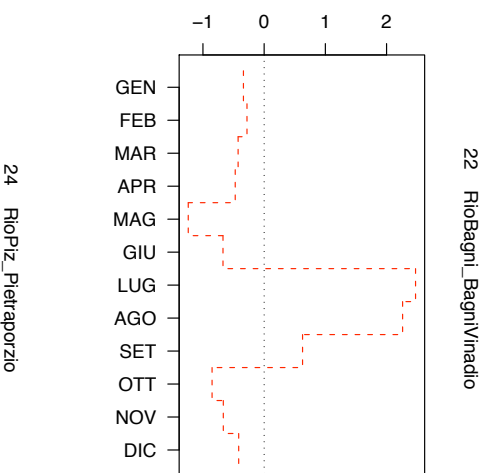
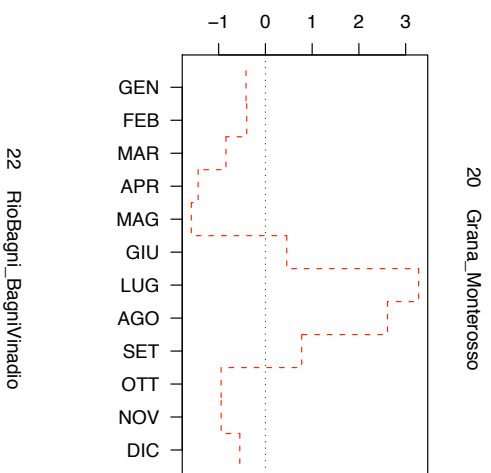
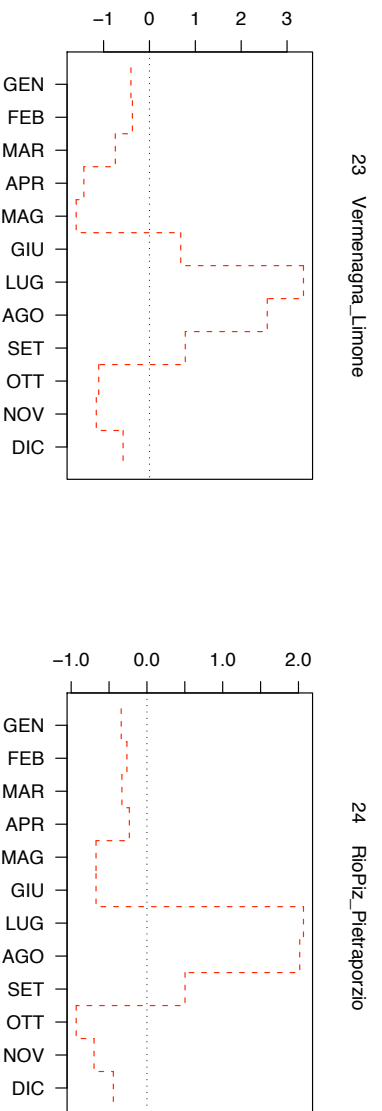
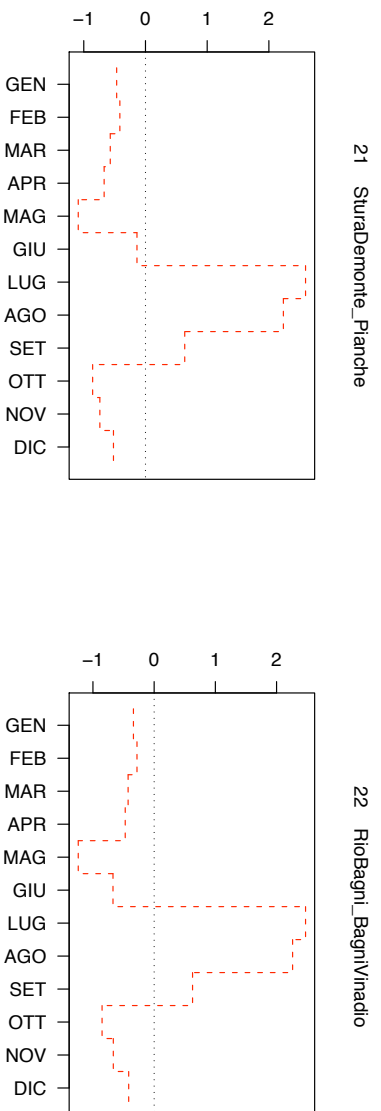
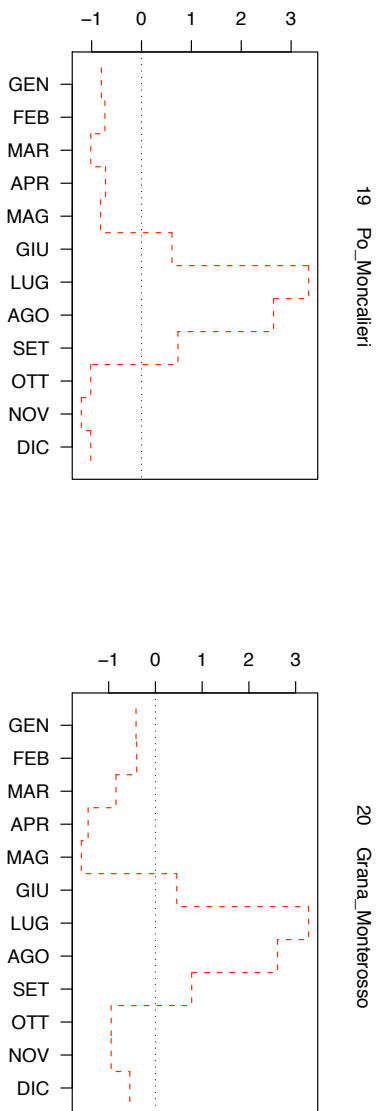


Figura F.25: Differenza tra la curva di richiesta per irrigazioni unmettanti ed il regime idrometrico adimensionalizzati. (4/8)

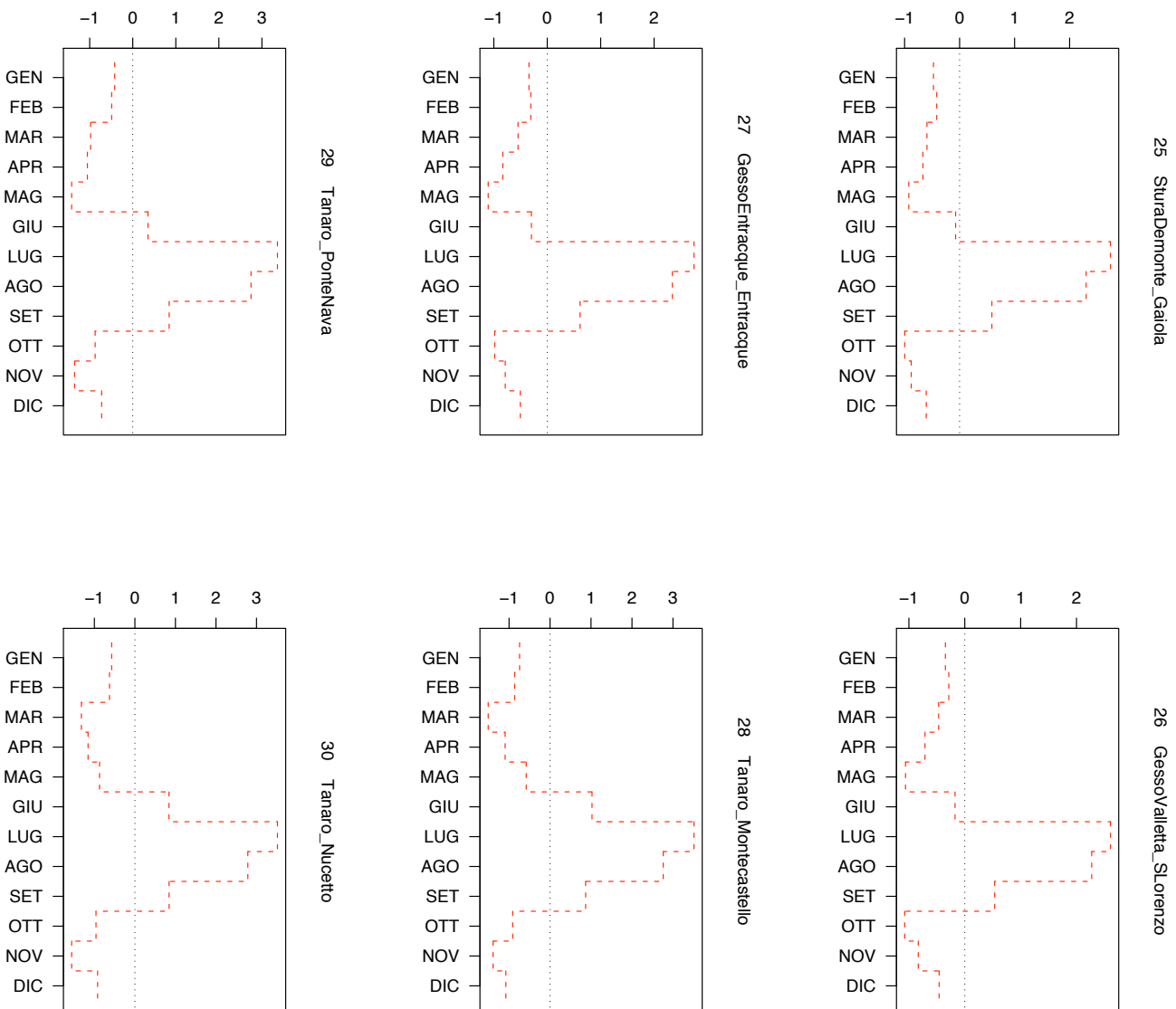


Figura F.25: Differenza tra la curva di richiesta per irrigazioni umettanti ed il regime idrometrico adimensionalizzati. (5/8)

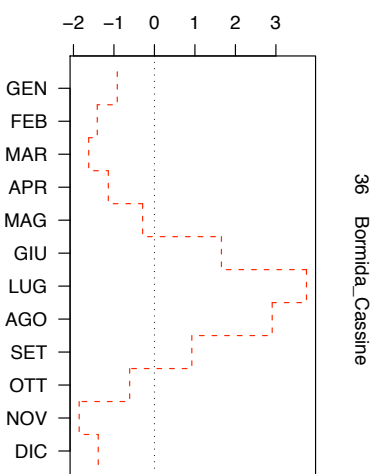
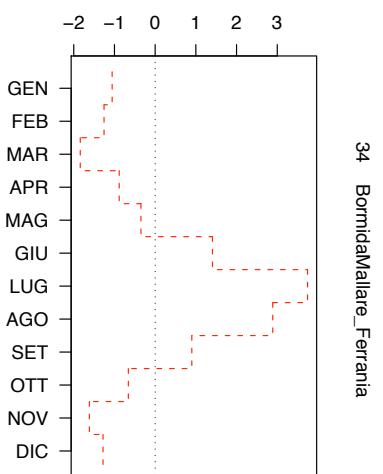
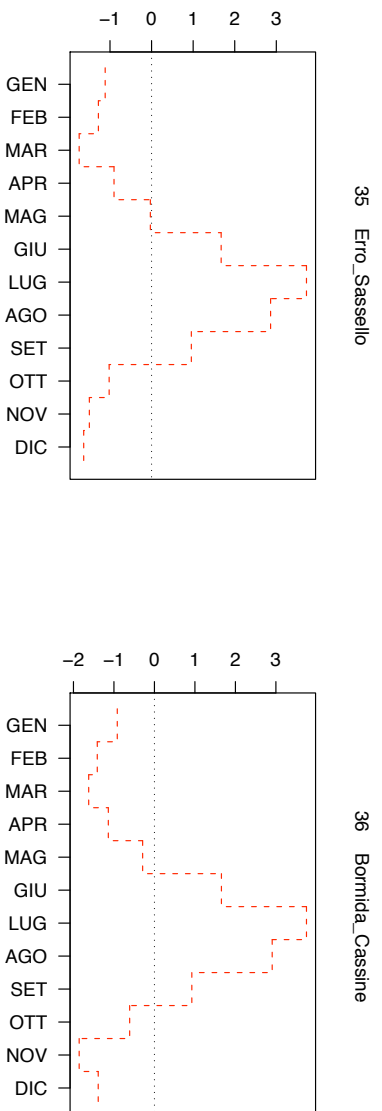
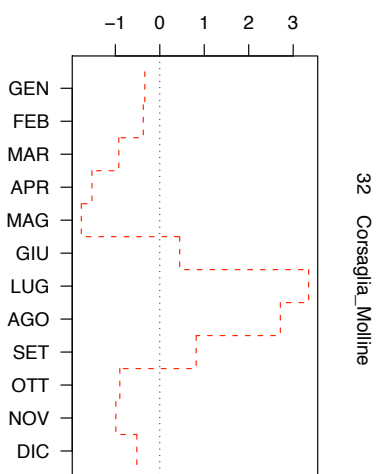
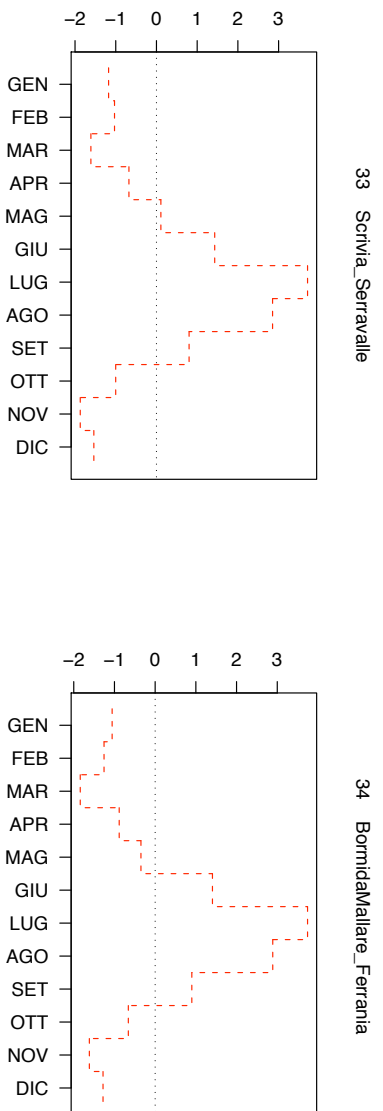
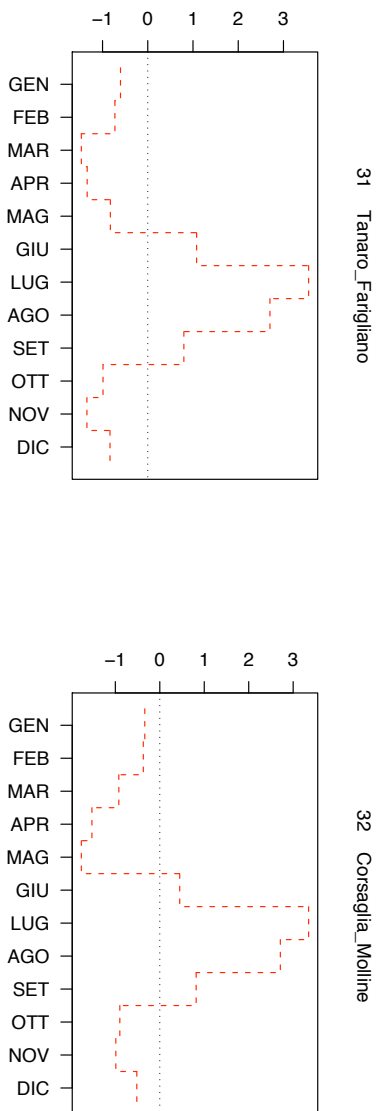


Figura F.25: Differenza tra la curva di richiesta per irrigazioni unmettanti ed il regime idrometrico adimensionalizzati. (6/8)

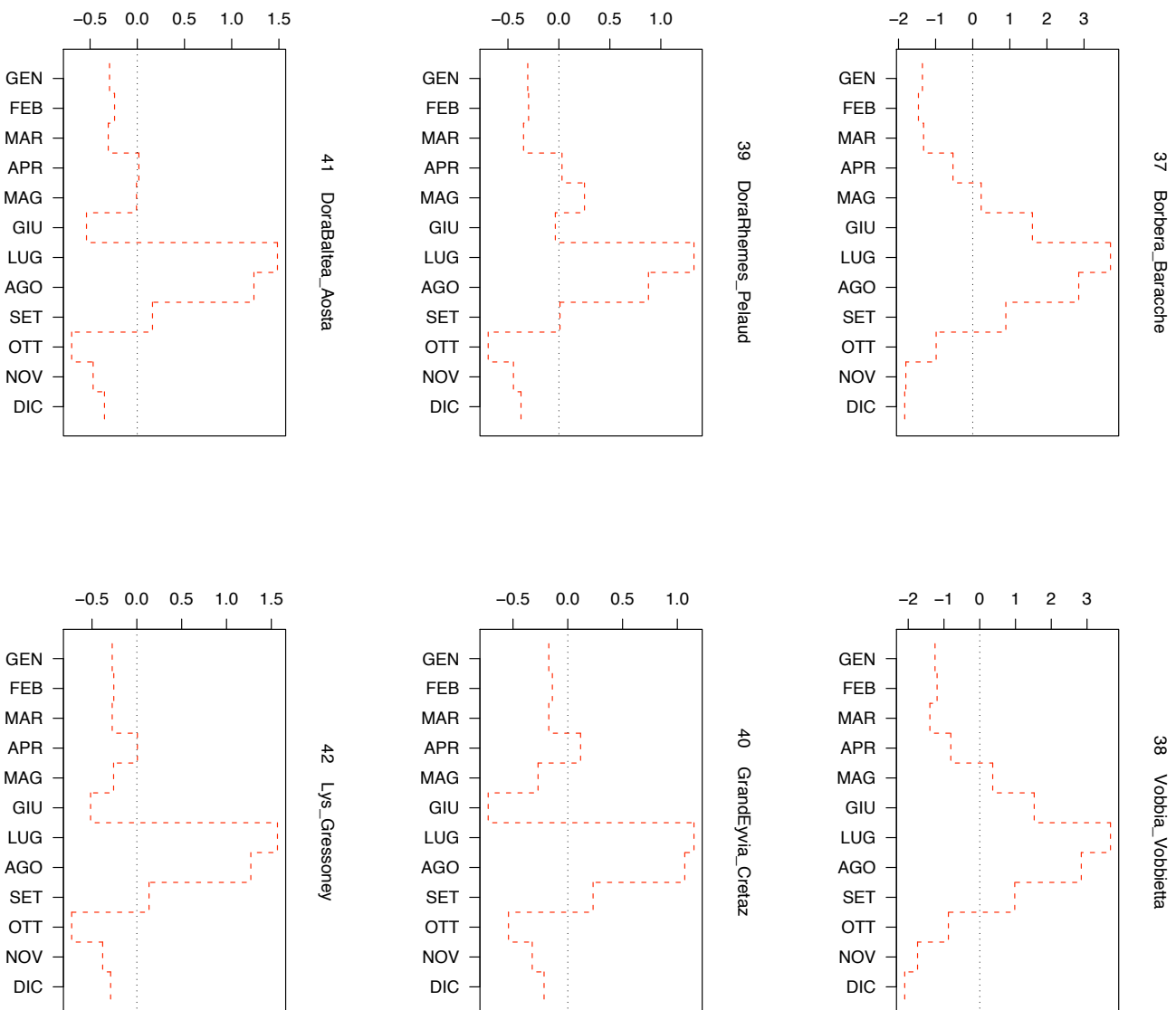


Figura F.25: Differenza tra la curva di richiesta per irrigazioni umettanti ed il regime idrometrico adimensionalizzati. (7/8)

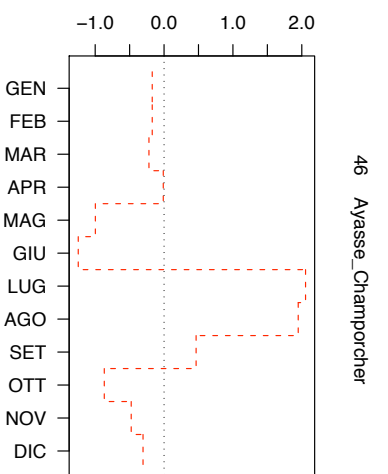
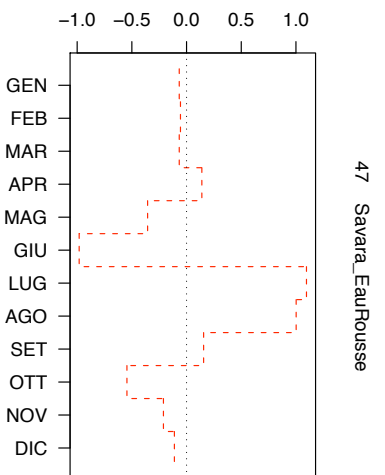
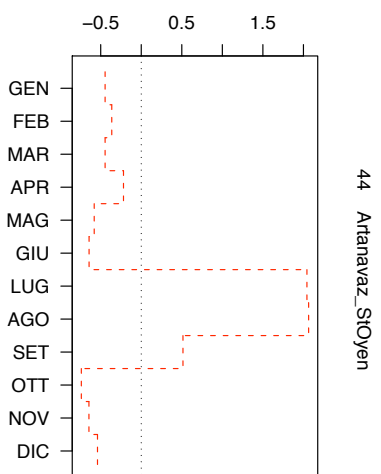
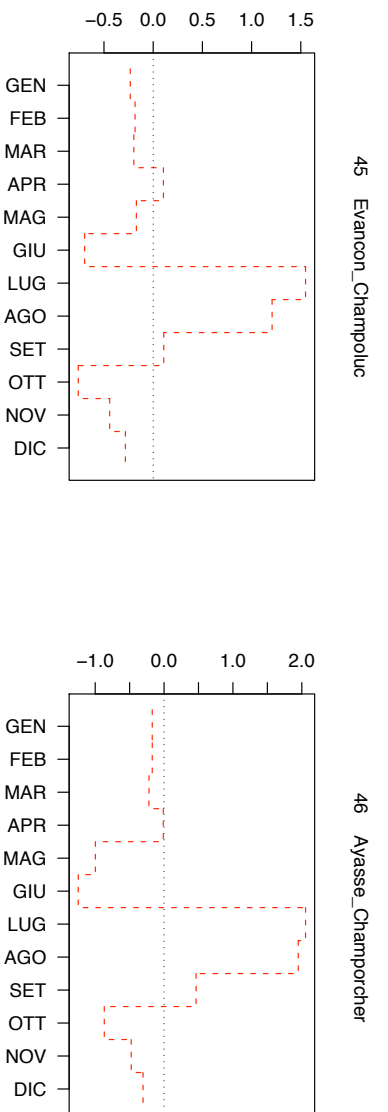
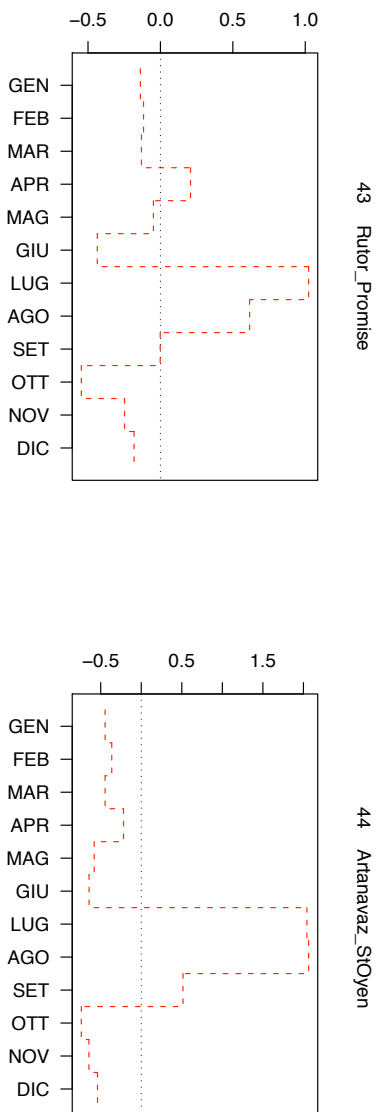


Figura F.25: Differenza tra la curva di richiesta per irrigazioni unmettanti ed il regime idrometrico adimensionalizzati. (8/8)

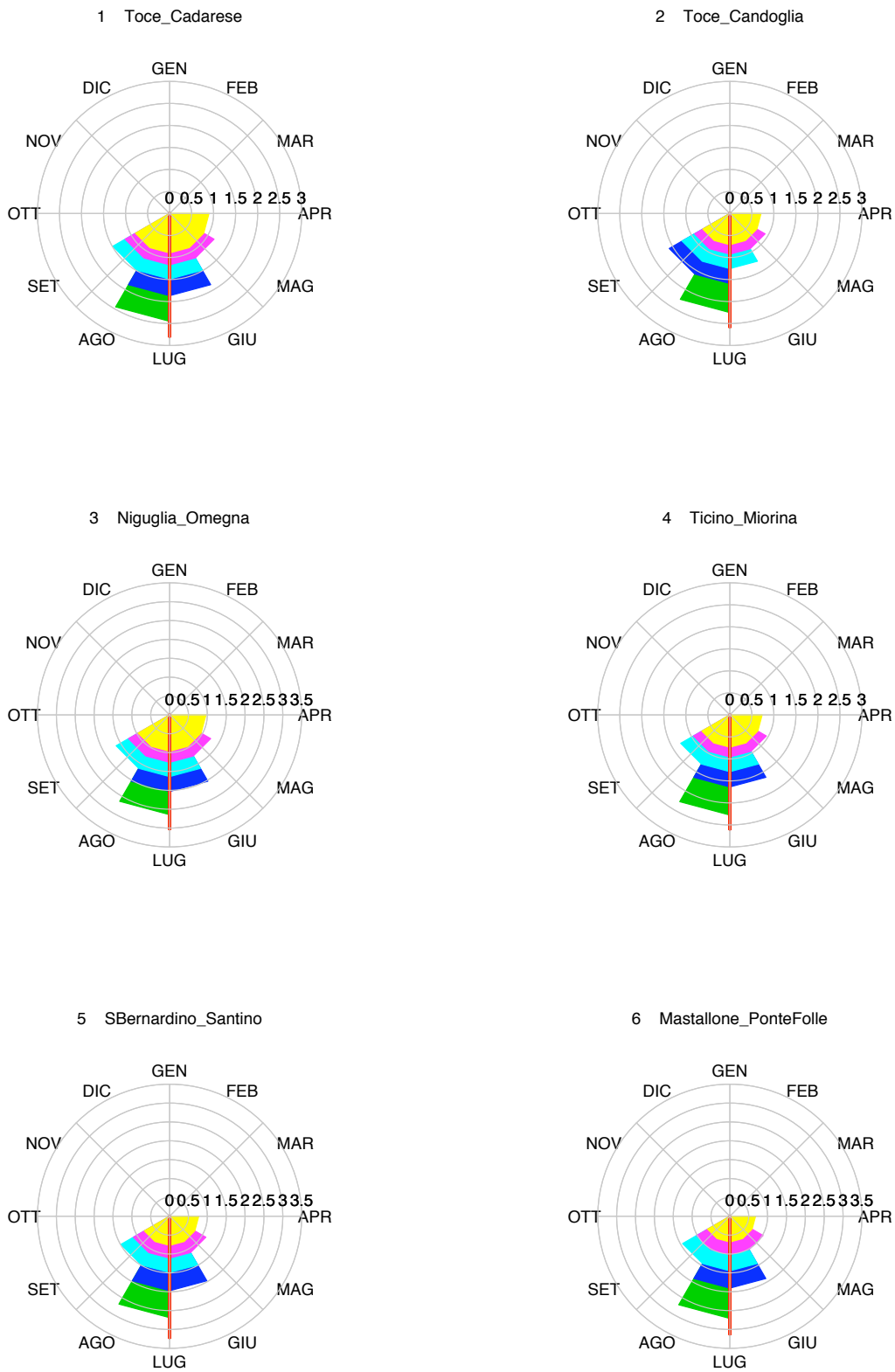


Figura F.26: Diagramma polare dei massimi mensili, bimestrali, ..., semestrali delle differenze tra la curva di richiesta per irrigazioni umettanti ed il regime idrometrico adimensionalizzati. (1/8)

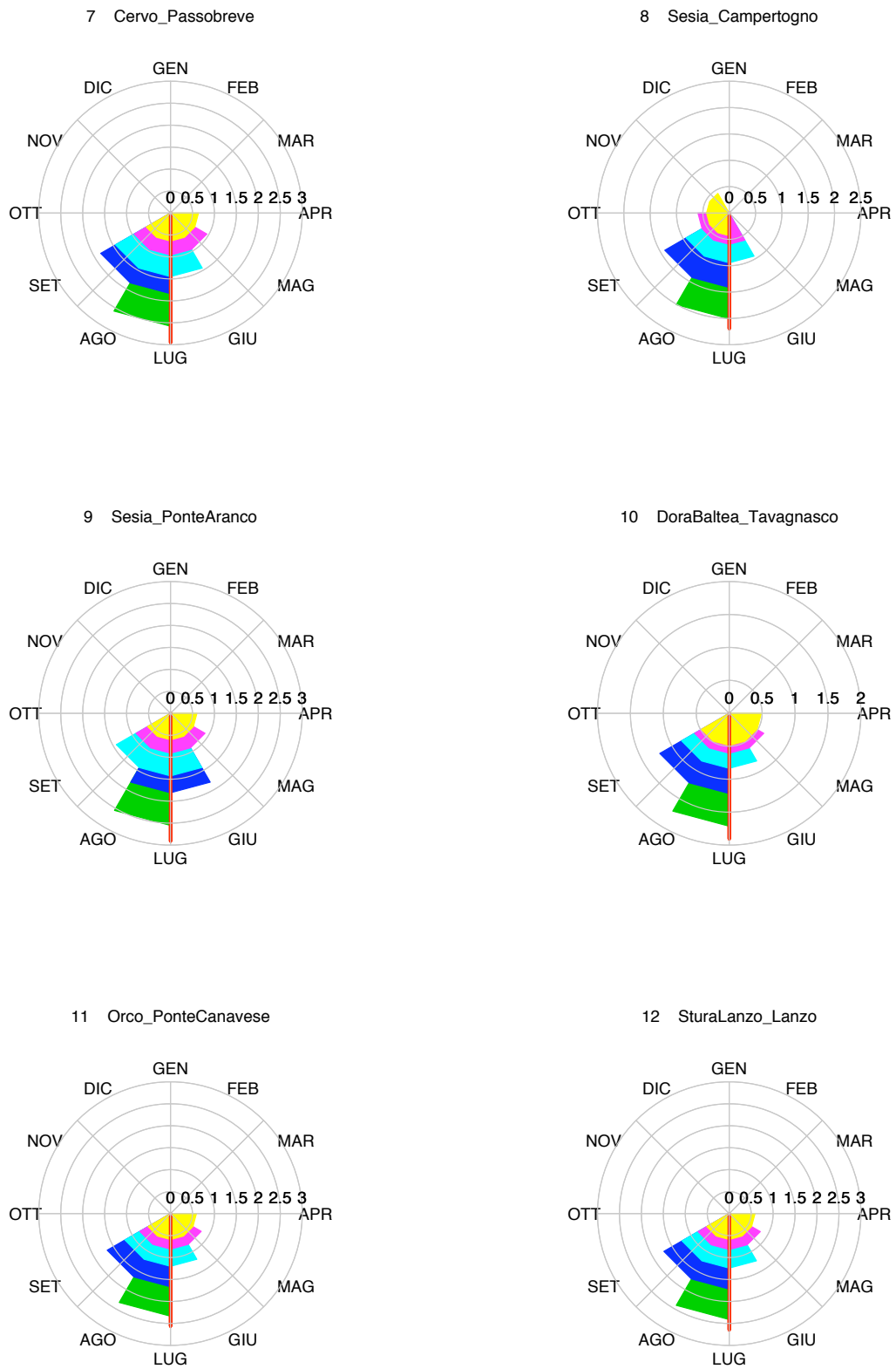


Figura F.26: Diagramma polare dei massimi mensili, bimestrali, ..., semestrali delle differenze tra la curva di richiesta per irrigazioni umettanti ed il regime idrometrico adimensionalizzati. (2/8)

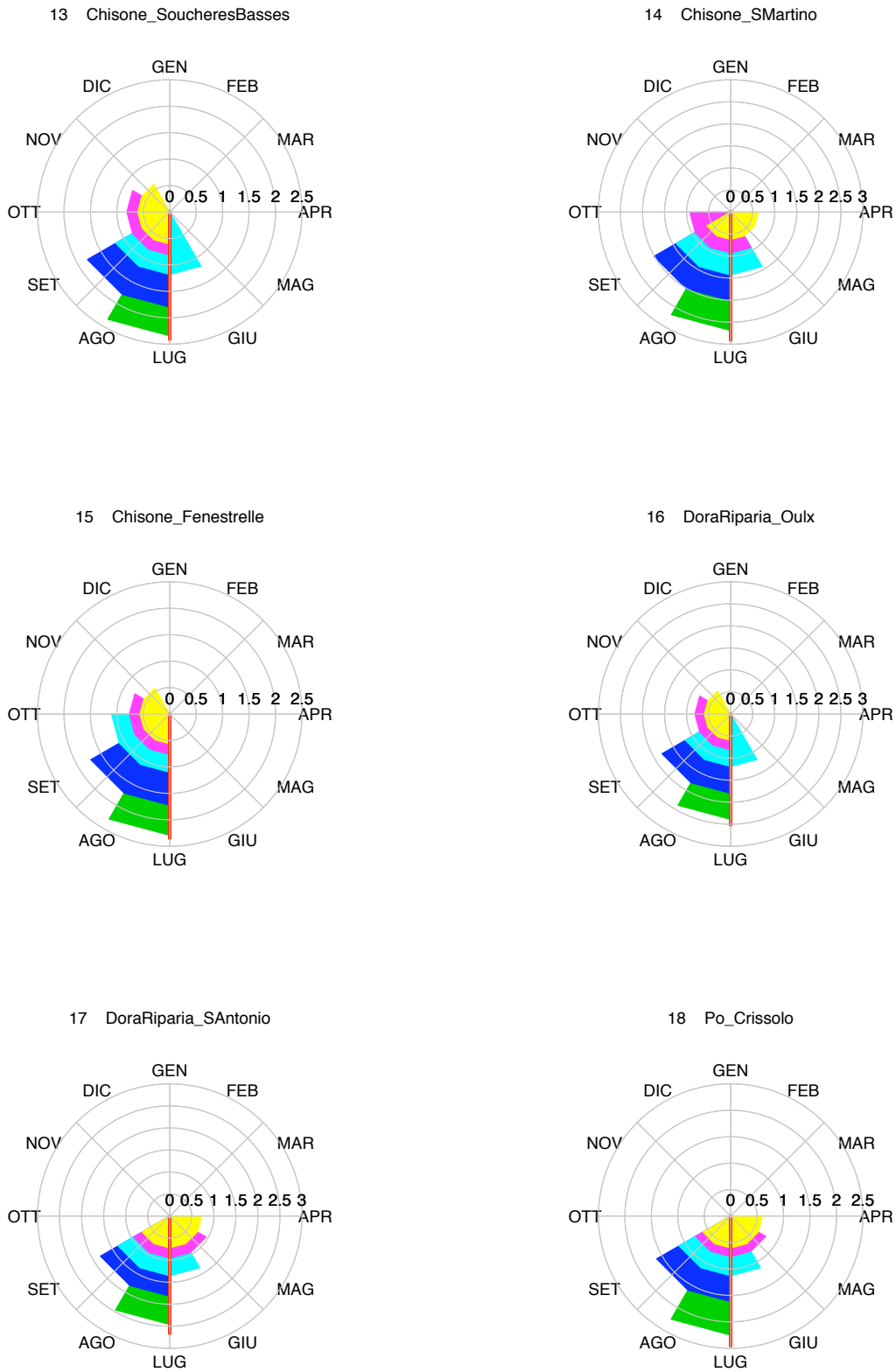


Figura F.26: Diagramma polare dei massimi mensili, bimestrali, ..., semestrali delle differenze tra la curva di richiesta per irrigazioni umettanti ed il regime idrometrico adimensionalizzati. (3/8)

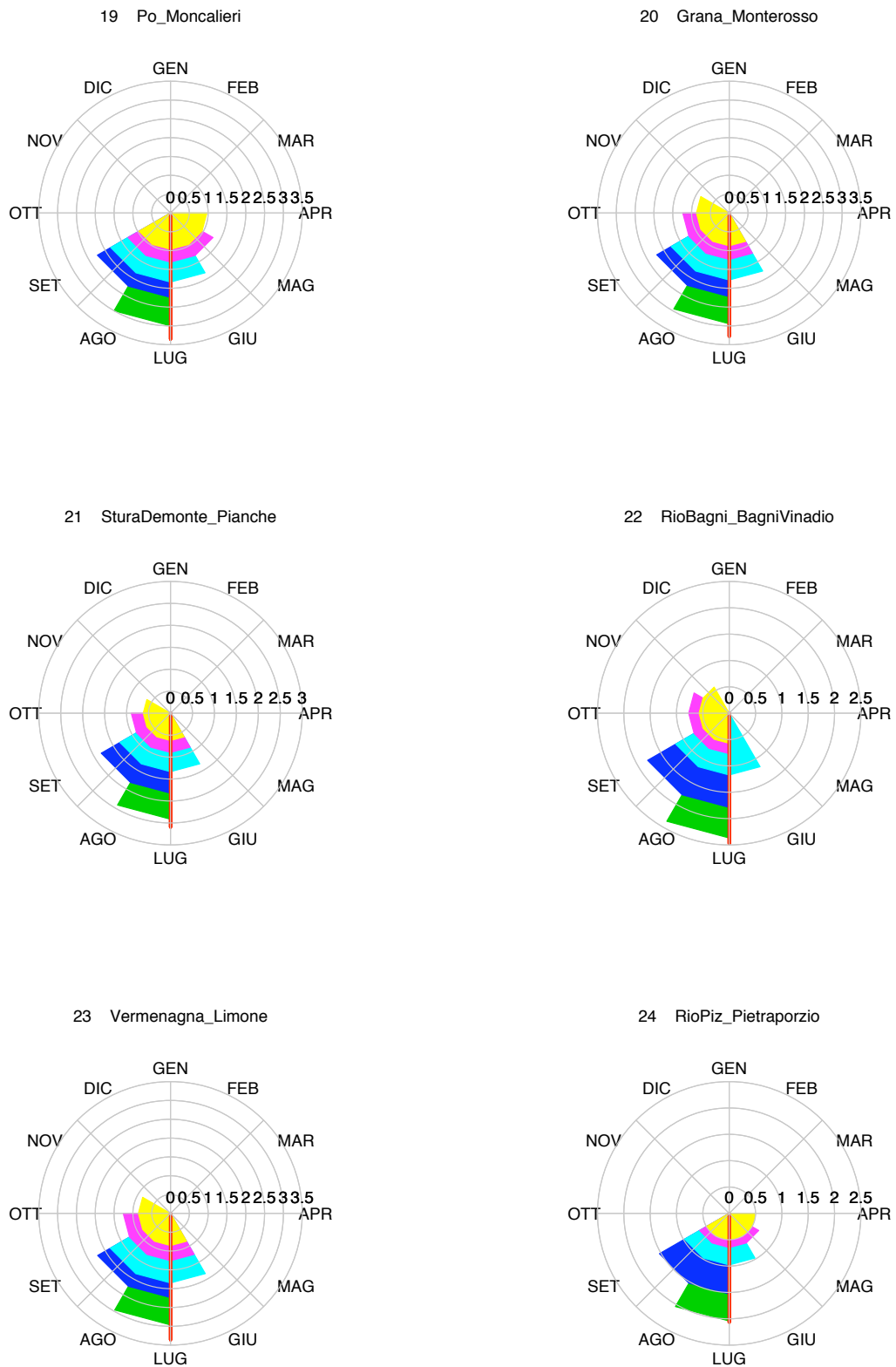


Figura F.26: Diagramma polare dei massimi mensili, bimestrali, ..., semestrali delle differenze tra la curva di richiesta per irrigazioni umettanti ed il regime idrometrico adimensionalizzati. (4/8)

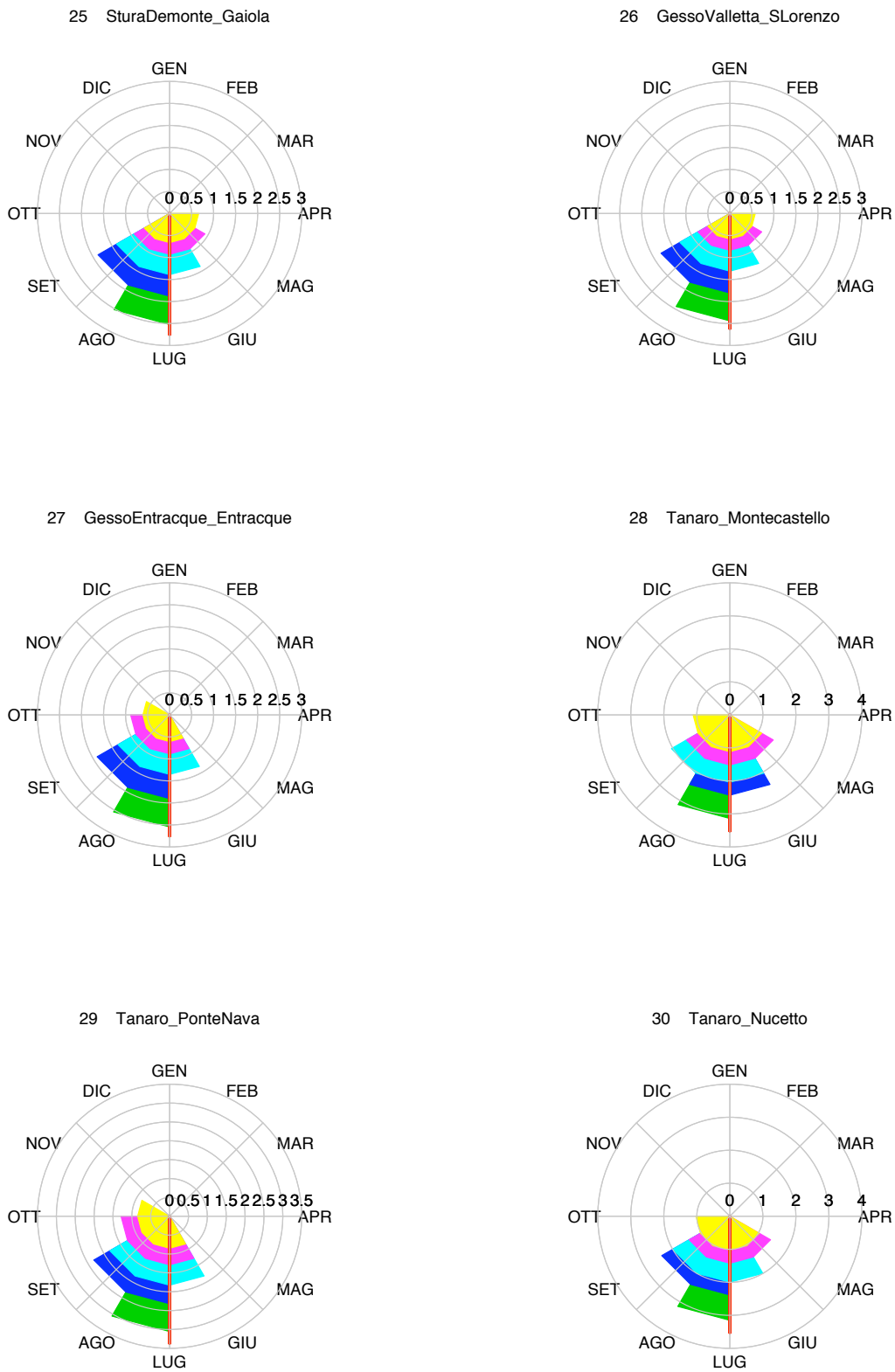


Figura F.26: Diagramma polare dei massimi mensili, bimestrali, ..., semestrali delle differenze tra la curva di richiesta per irrigazioni umettanti ed il regime idrometrico adimensionalizzati. (5/8)

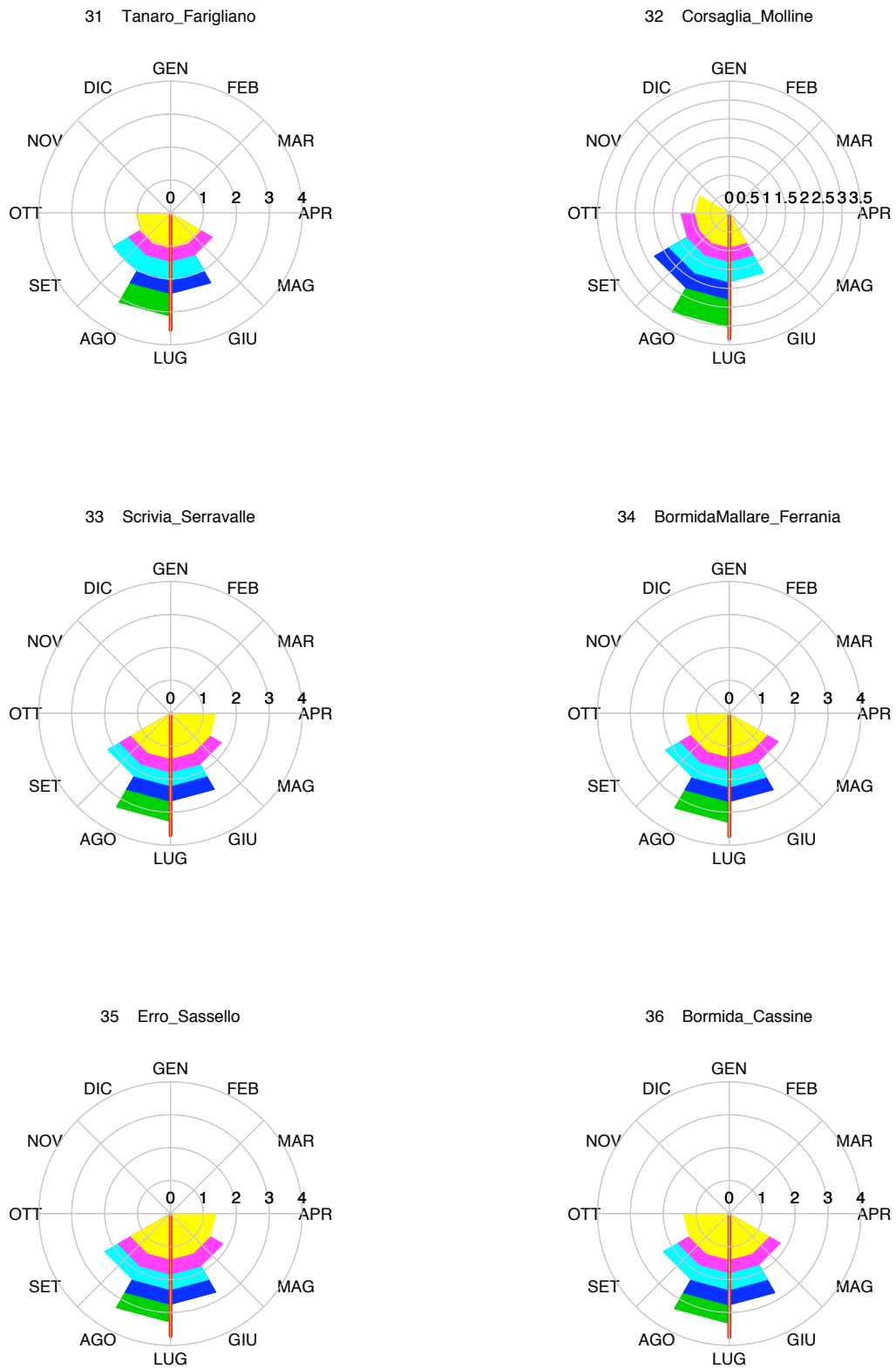


Figura F.26: Diagramma polare dei massimi mensili, bimestrali, ..., semestrali delle differenze tra la curva di richiesta per irrigazioni umettanti ed il regime idrometrico adimensionalizzati. (6/8)

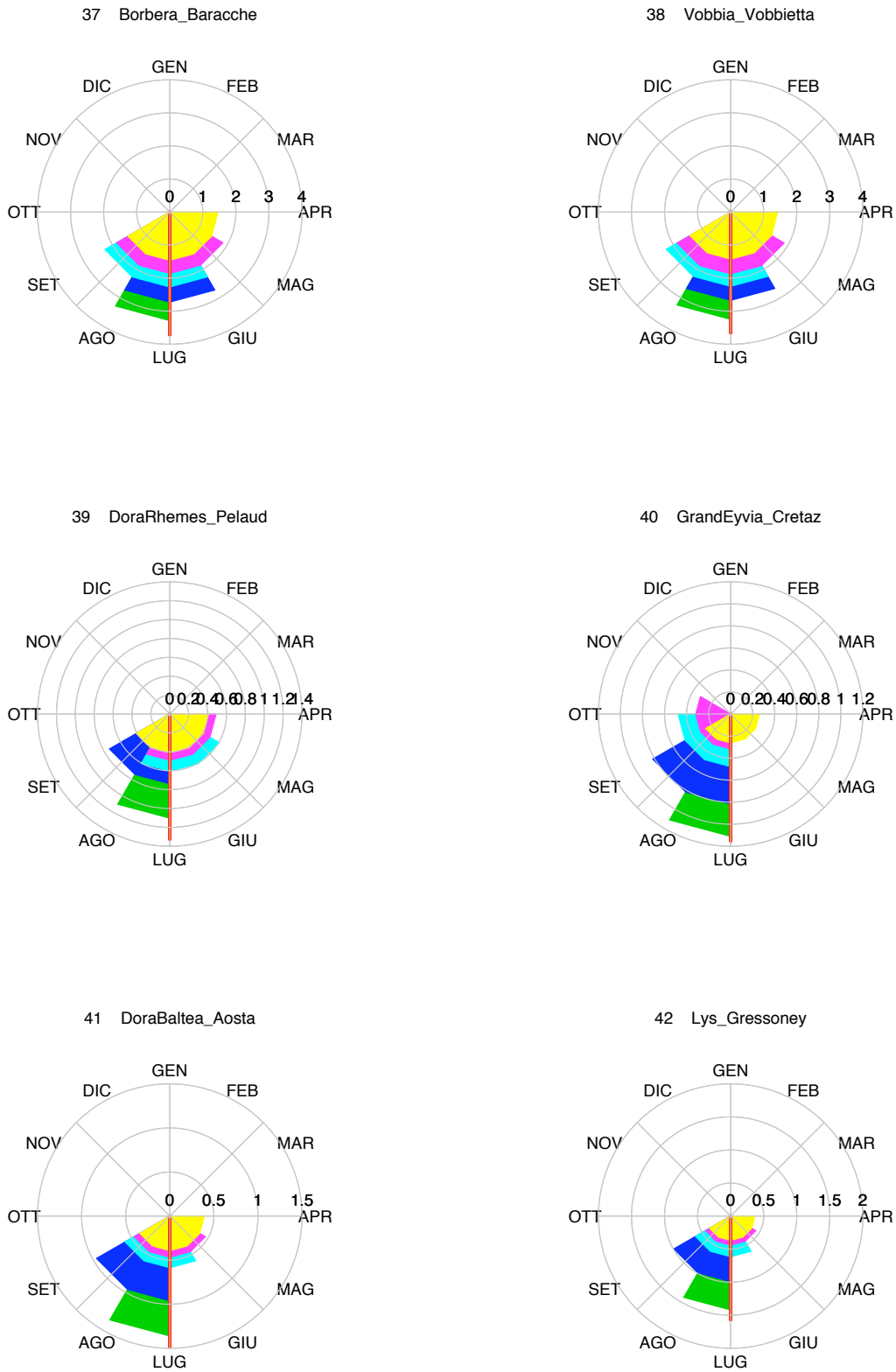


Figura F.26: Diagramma polare dei massimi mensili, bimestrali, ..., semestrali delle differenze tra la curva di richiesta per irrigazioni umettanti ed il regime idrometrico adimensionalizzati. (7/8)

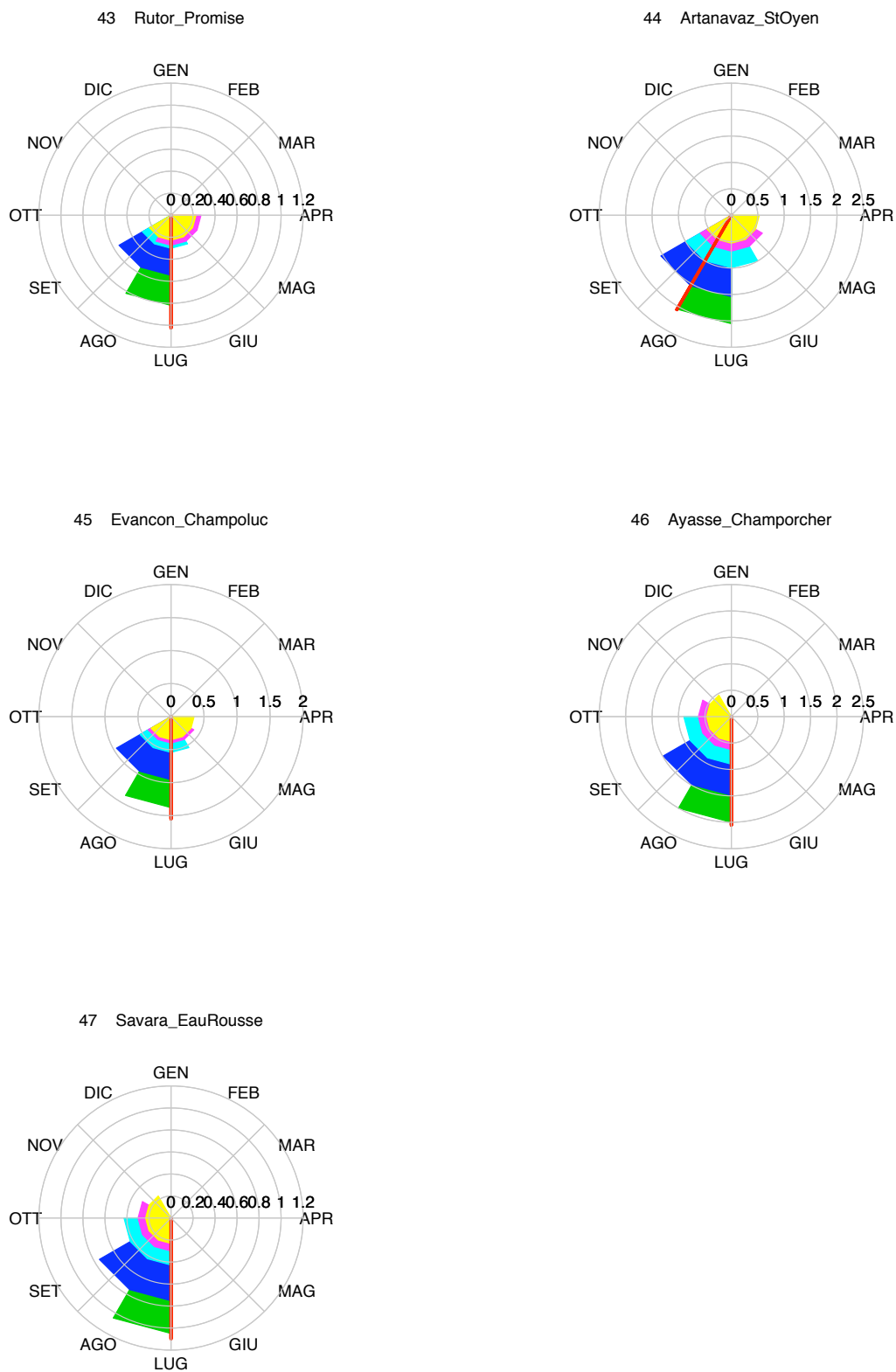


Figura F.26: Diagramma polare dei massimi mensili, bimestrali, ..., semestrali delle differenze tra la curva di richiesta per irrigazioni umettanti ed il regime idrometrico adimensionalizzati. (8/8)

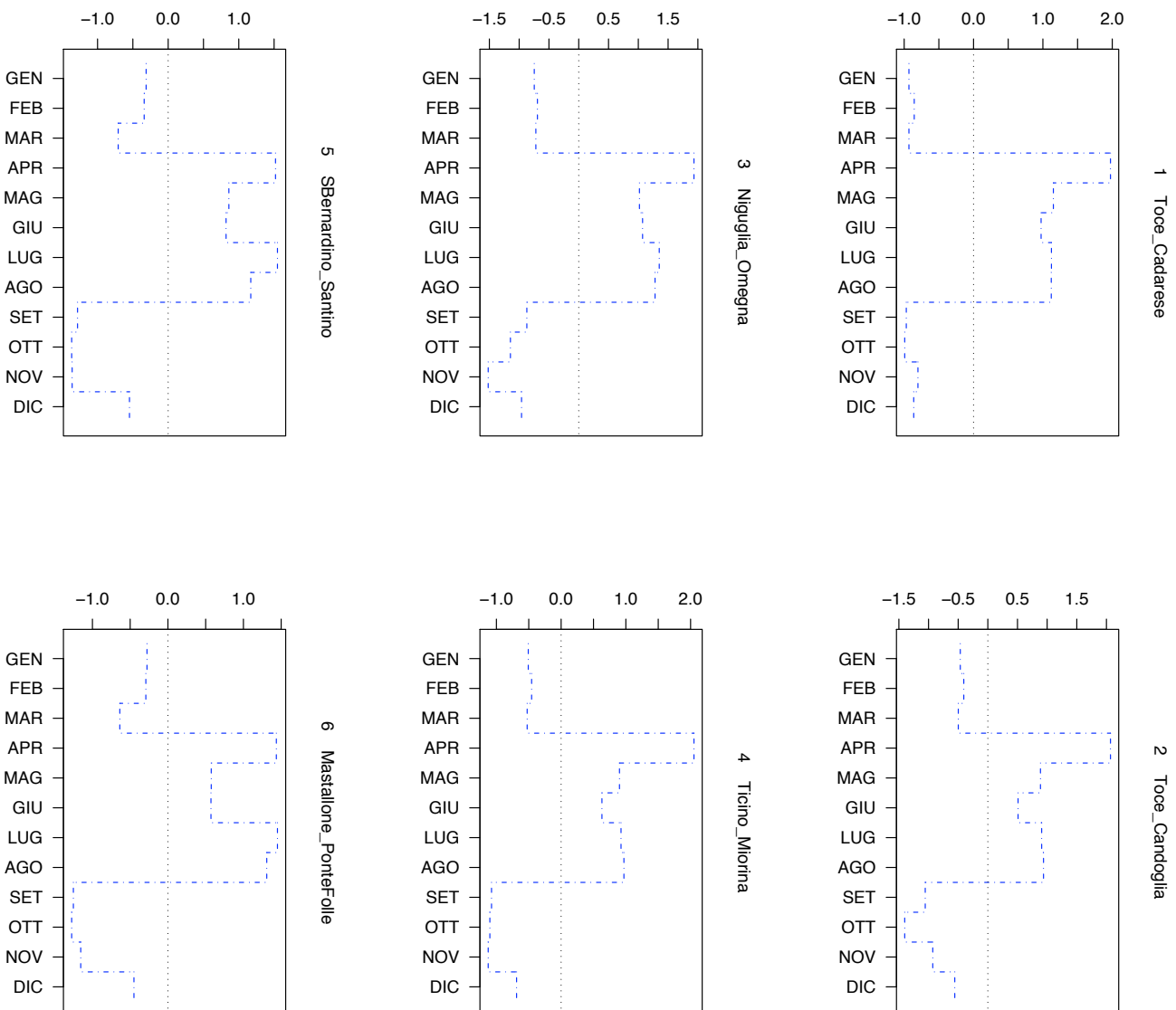


Figura F.27: Differenza tra la curva di richiesta per irrigazioni a sommersione ed il regime idrometrico adimensionalizzati. (1/8)

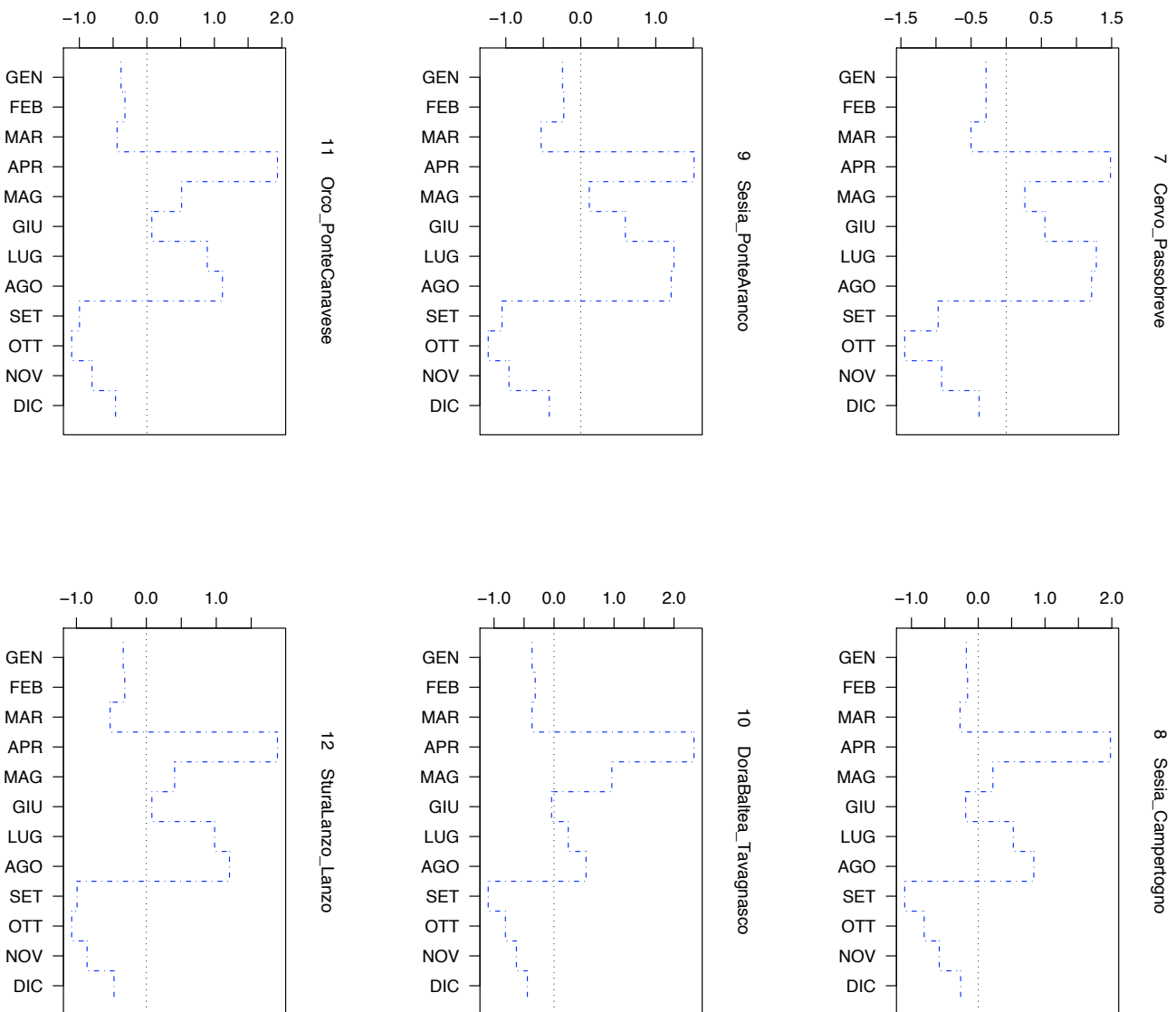


Figura F.27: Differenza tra la curva di richiesta per irrigazioni a sommersione ed il regime idrometrico adimensionalizzati. (2/8)

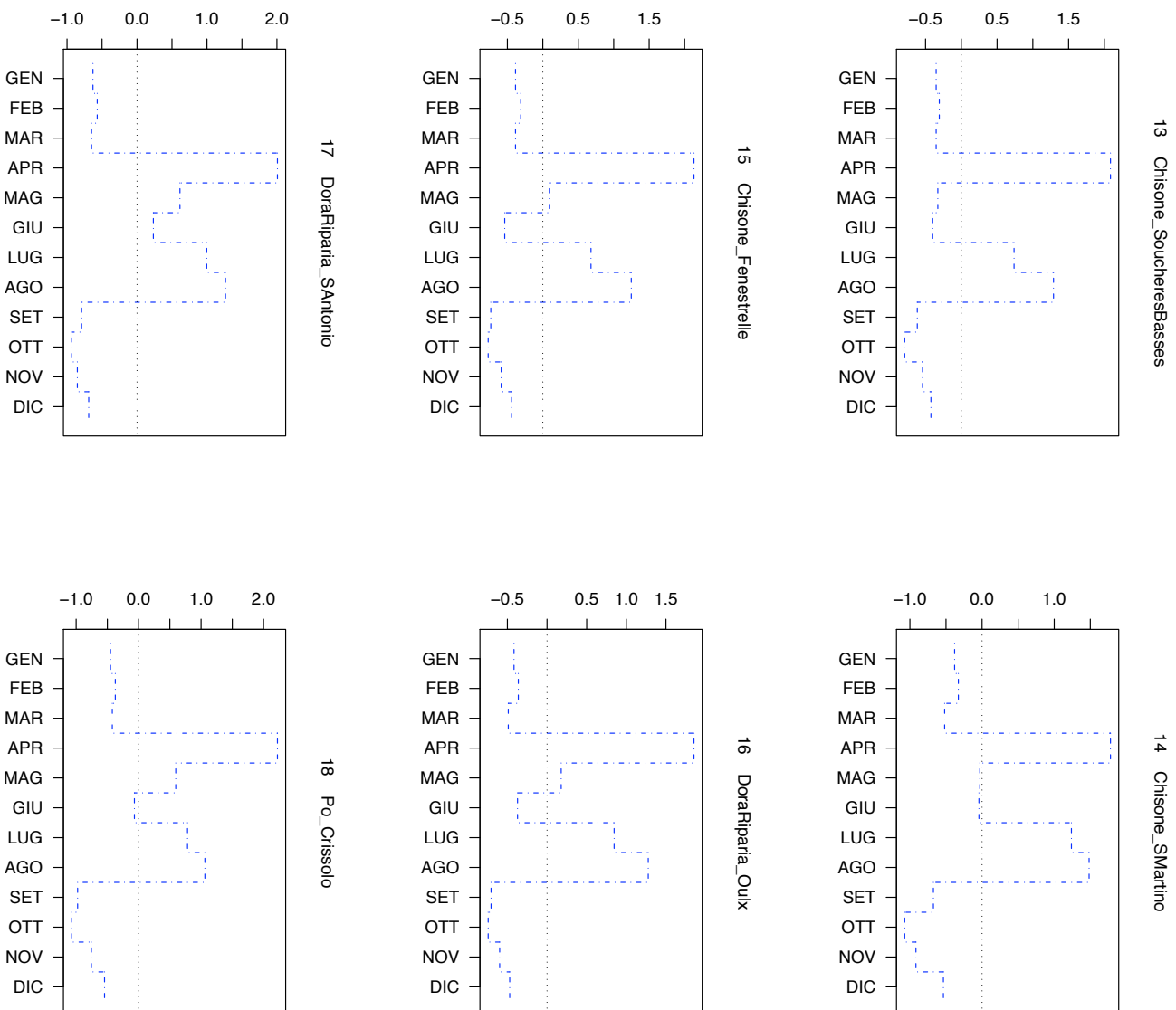


Figura F.27: Differenza tra la curva di richiesta per irrigazioni a sommersione ed il regime idrometrico adimensionalizzati. (3/8)

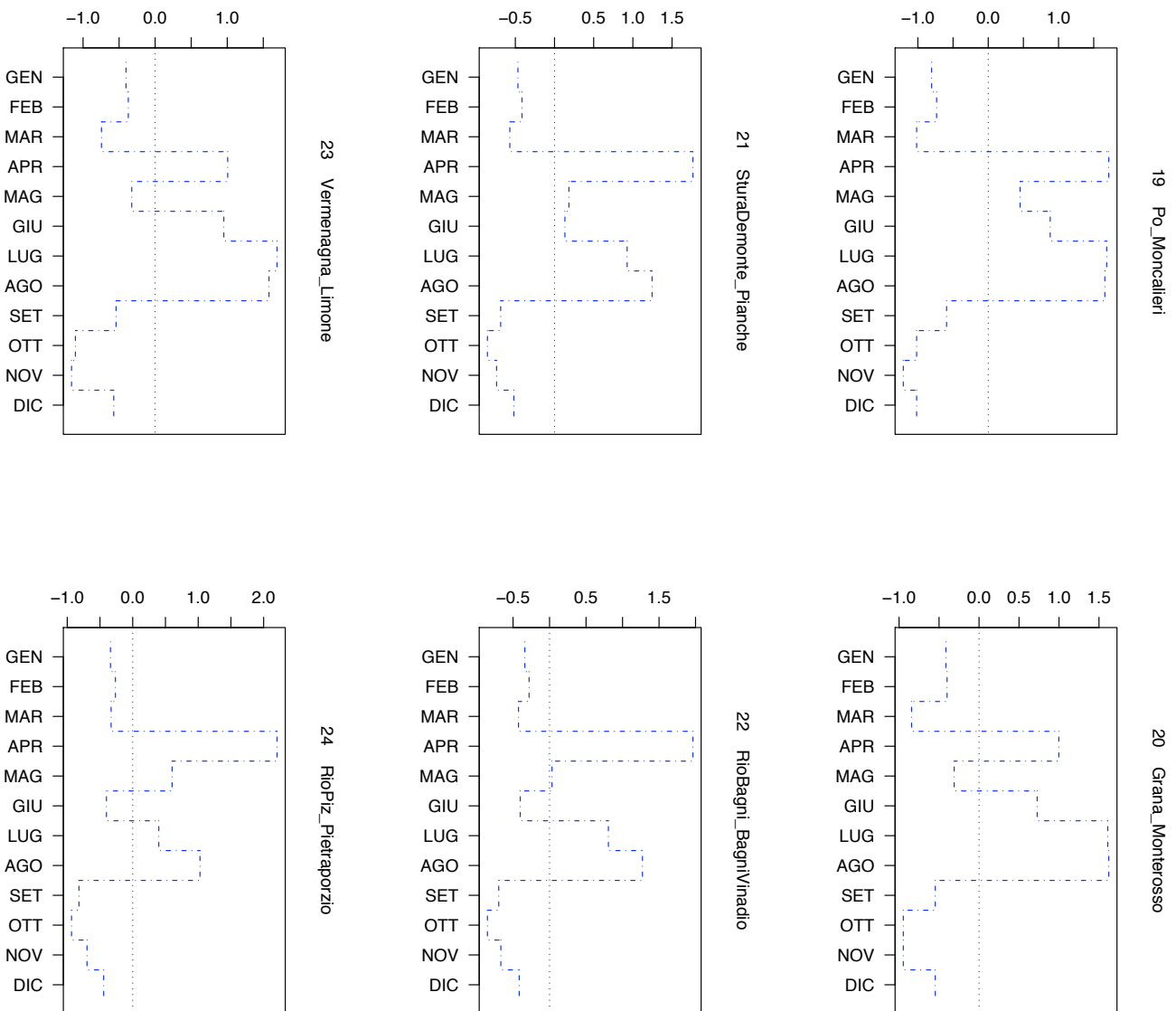


Figura F.27: Differenza tra la curva di richiesta per irrigazioni a sommersione ed il regime idrometrico adimensionalizzati. (4/8)

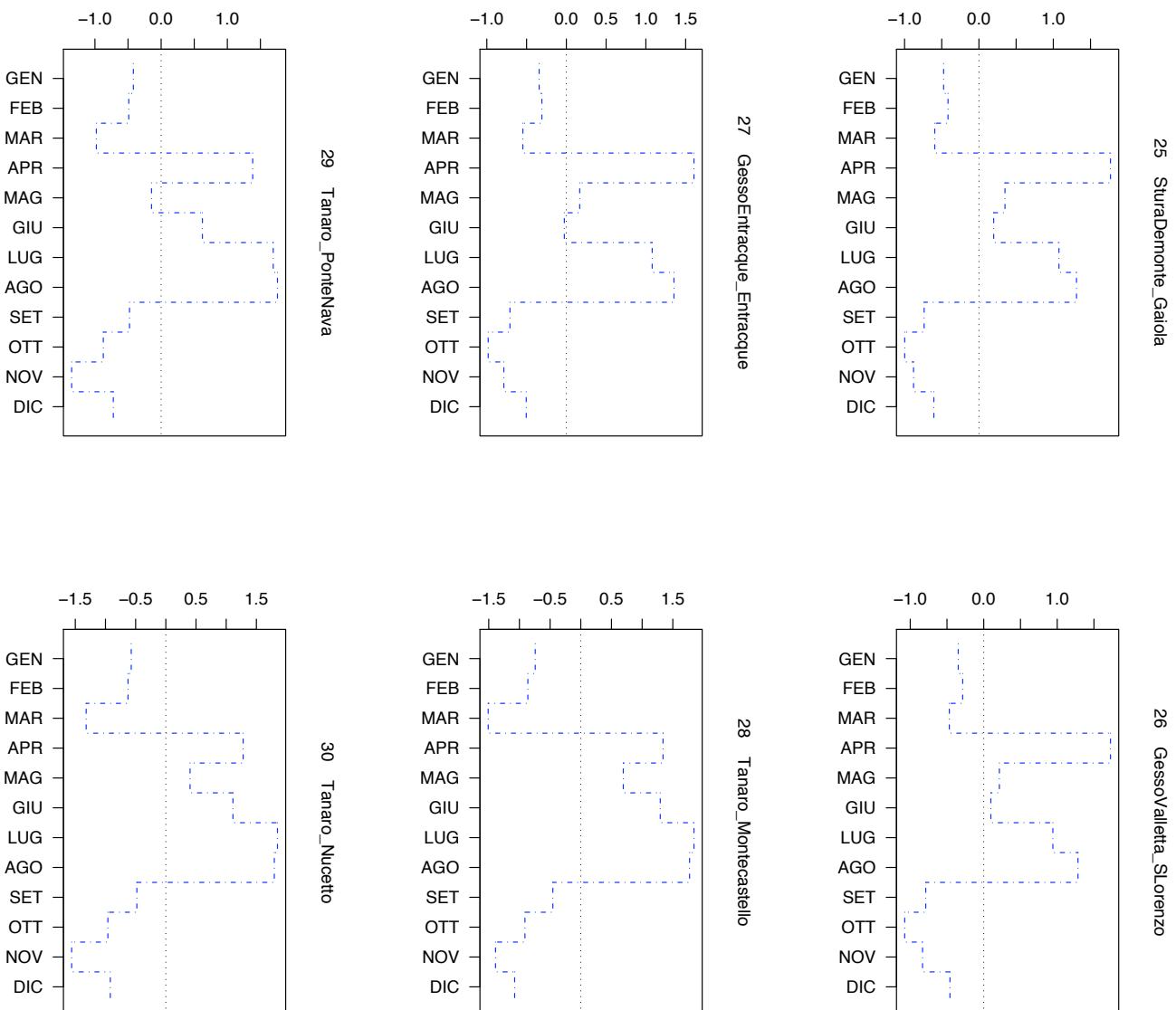


Figura F.27: Differenza tra la curva di richiesta per irrigazioni a sommersione ed il regime idrometrico adimensionalizzati. (5/8)

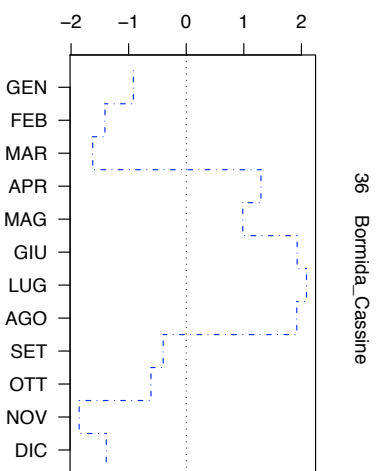
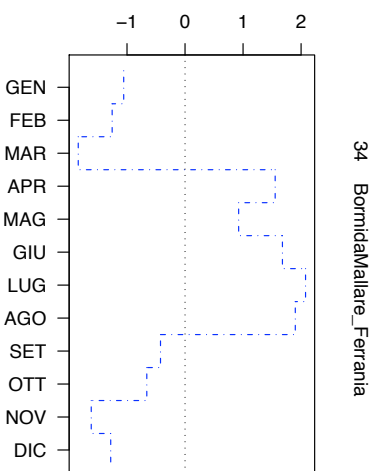
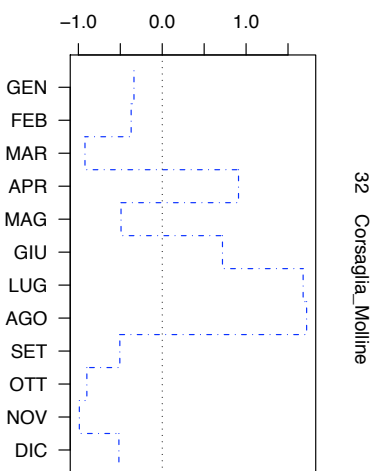
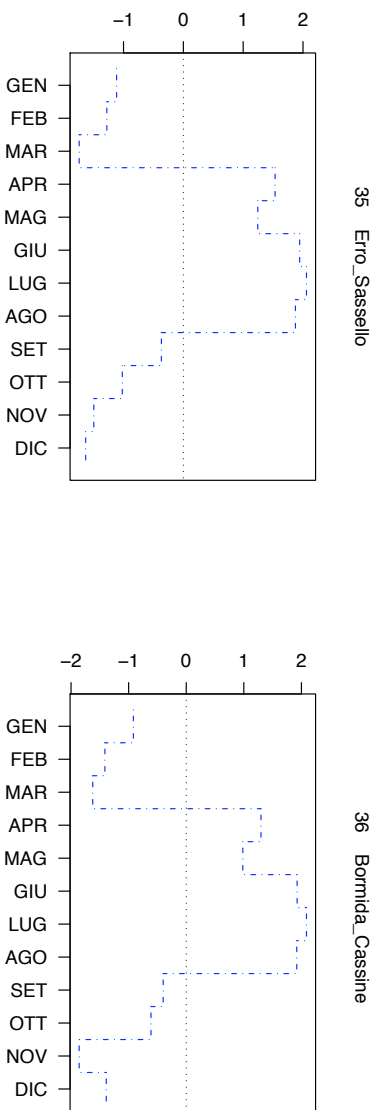
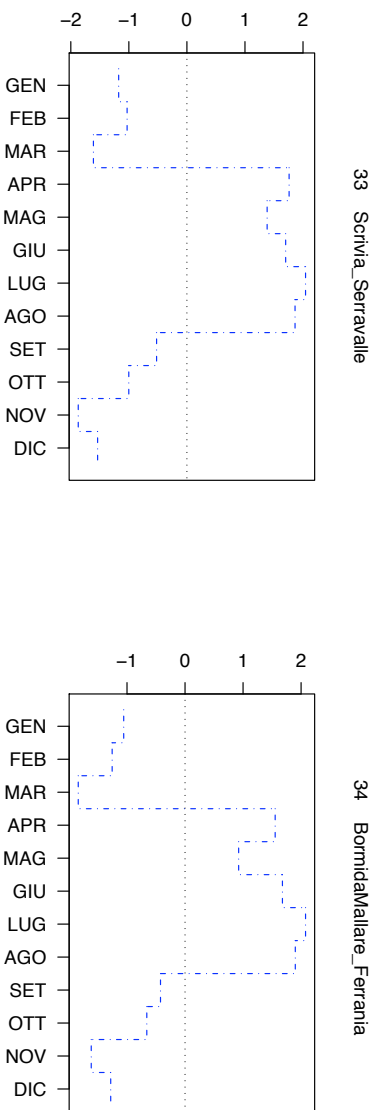
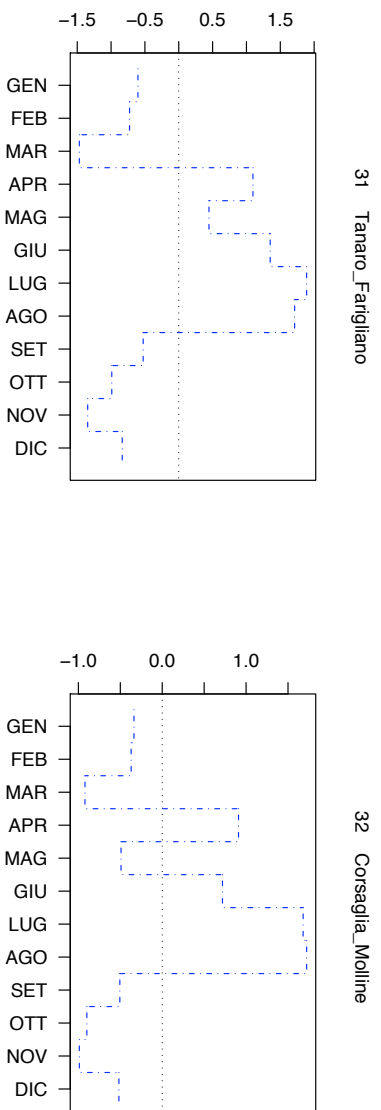


Figura F.27: Differenza tra la curva di richiesta per irrigazioni a sommersione ed il regime idrometrico adimensionalizzati. (6/8)

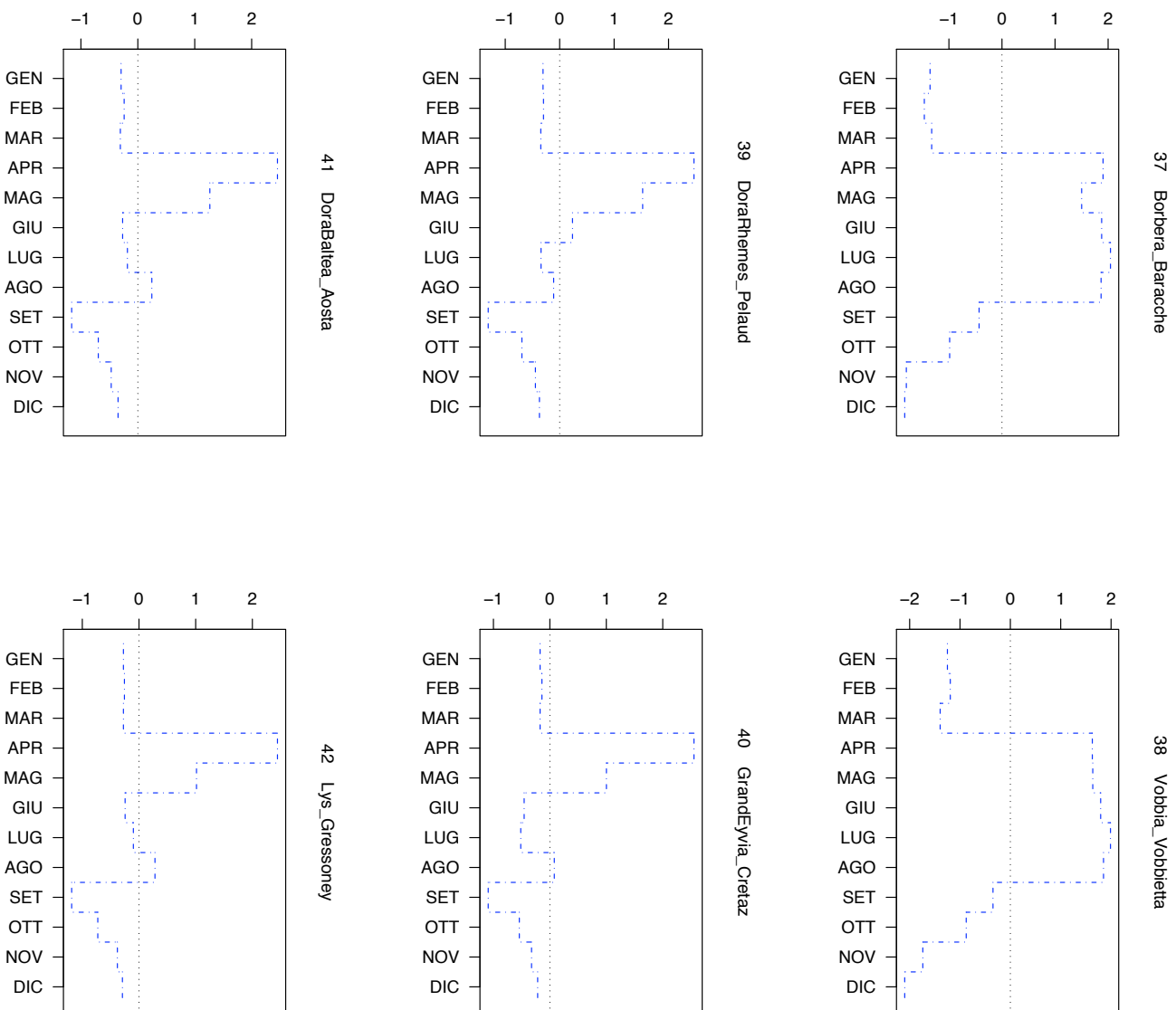


Figura F.27: Differenza tra la curva di richiesta per irrigazioni a sommersione ed il regime idrometrico adimensionalizzati. (7/8)

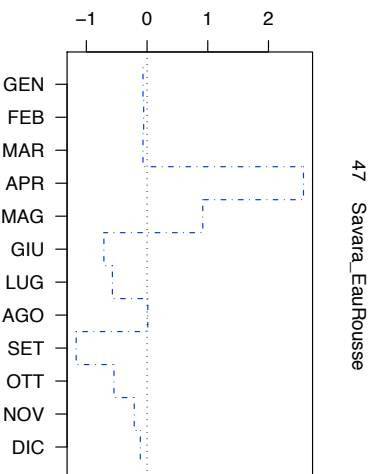
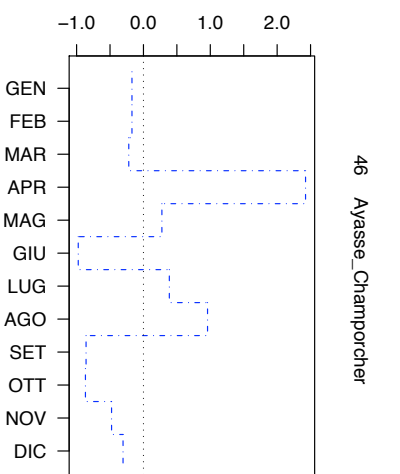
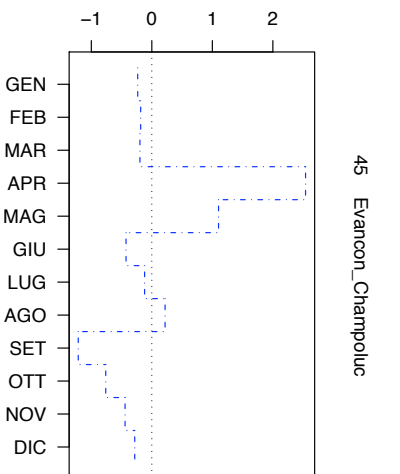
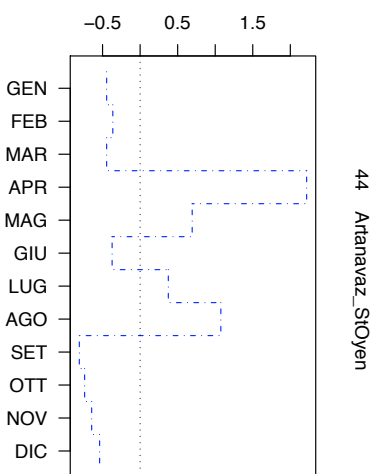
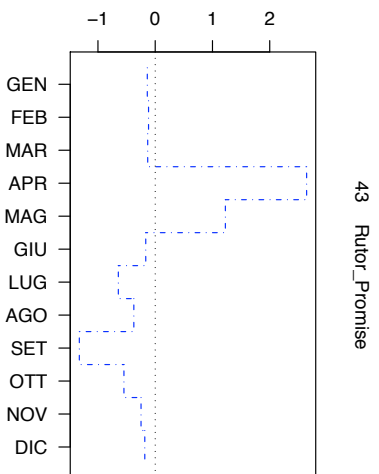


Figura F.27: Differenza tra la curva di richiesta per irrigazioni a sommersione ed il regime idrometrico adimensionalizzati. (8/8)

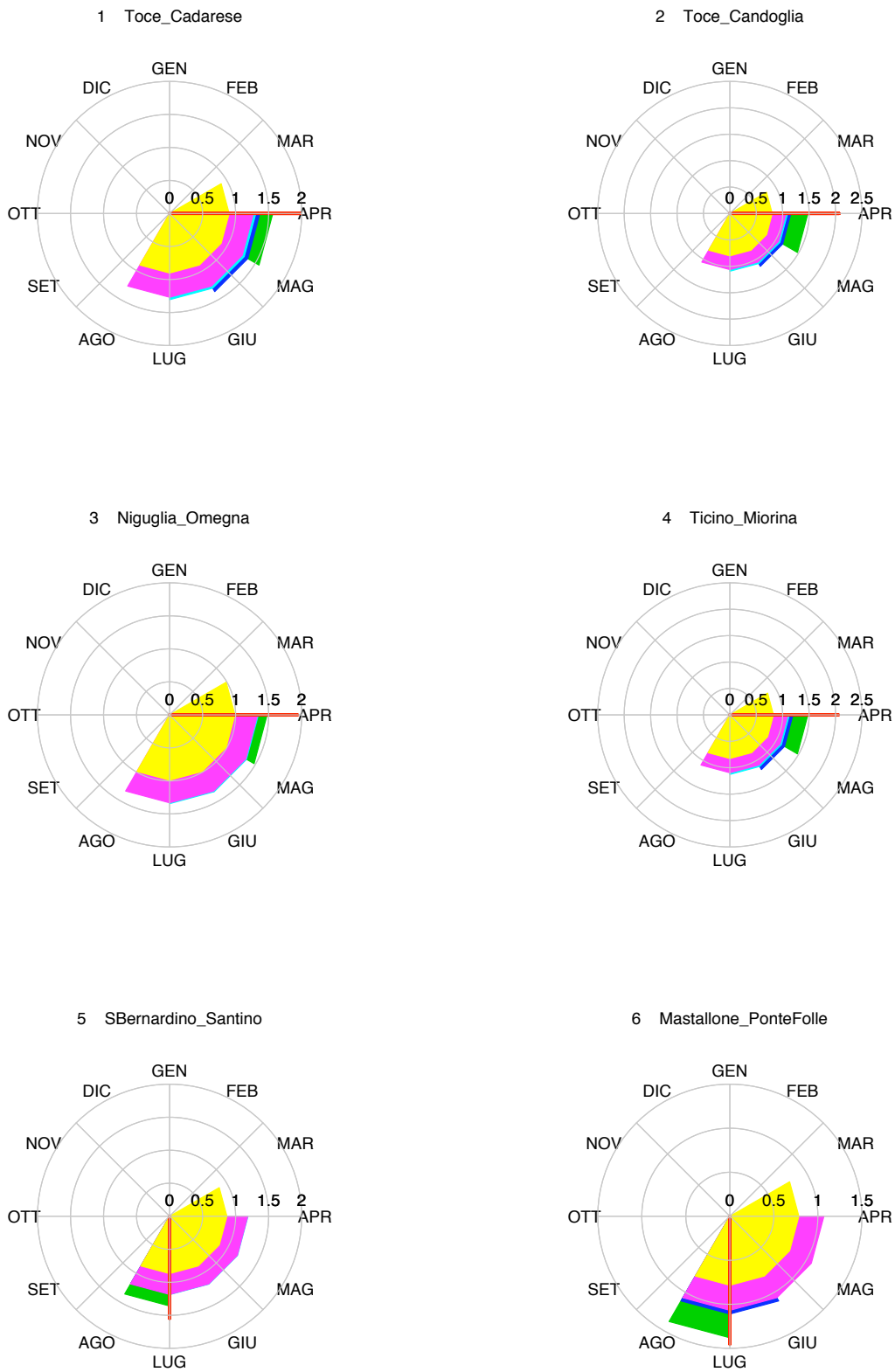


Figura F.28: Diagramma polare dei massimi mensili, bimestrali, ..., semestrali delle differenze tra la curva di richiesta per irrigazioni a sommersione ed il regime idrometrico adimensionalizzati. (1/8)

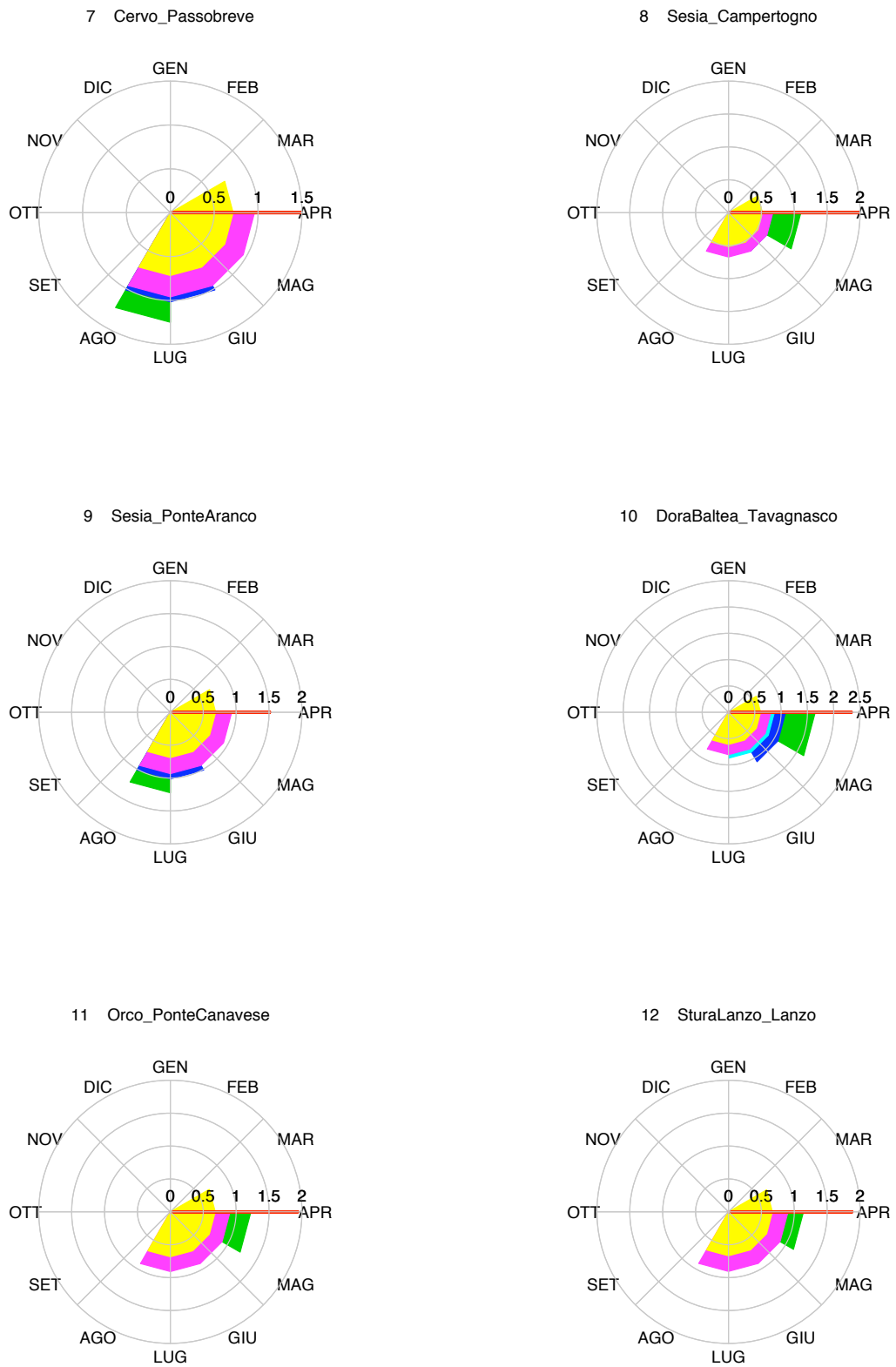


Figura F.28: Diagramma polare dei massimi mensili, bimestrali, ..., semestrali delle differenze tra la curva di richiesta per irrigazioni a sommersione ed il regime idrometrico adimensionalizzati. (2/8)

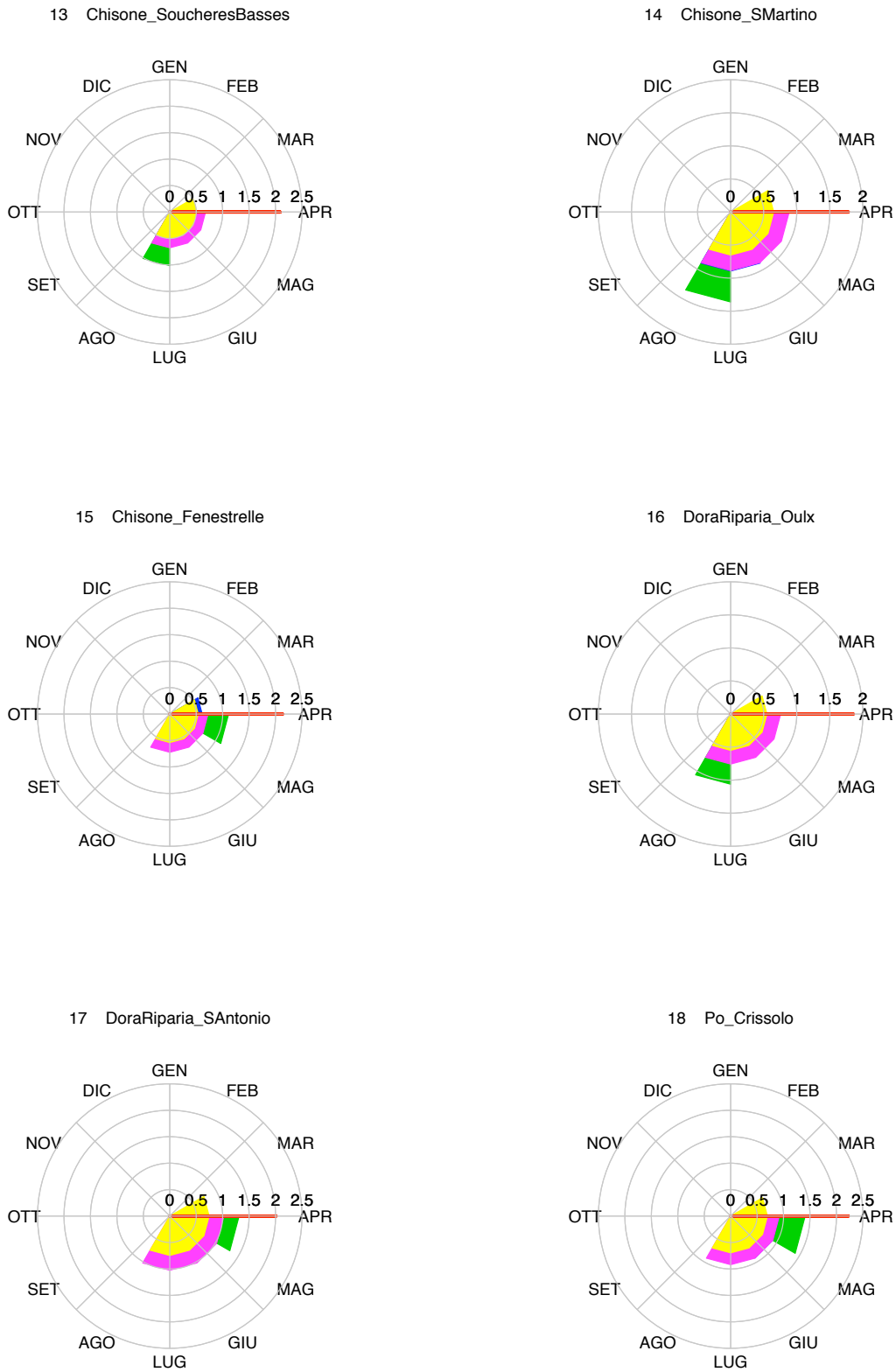


Figura F.28: Diagramma polare dei massimi mensili, bimestrali, ..., semestrali delle differenze tra la curva di richiesta per irrigazioni a sommersione ed il regime idrometrico adimensionalizzati. (3/8)

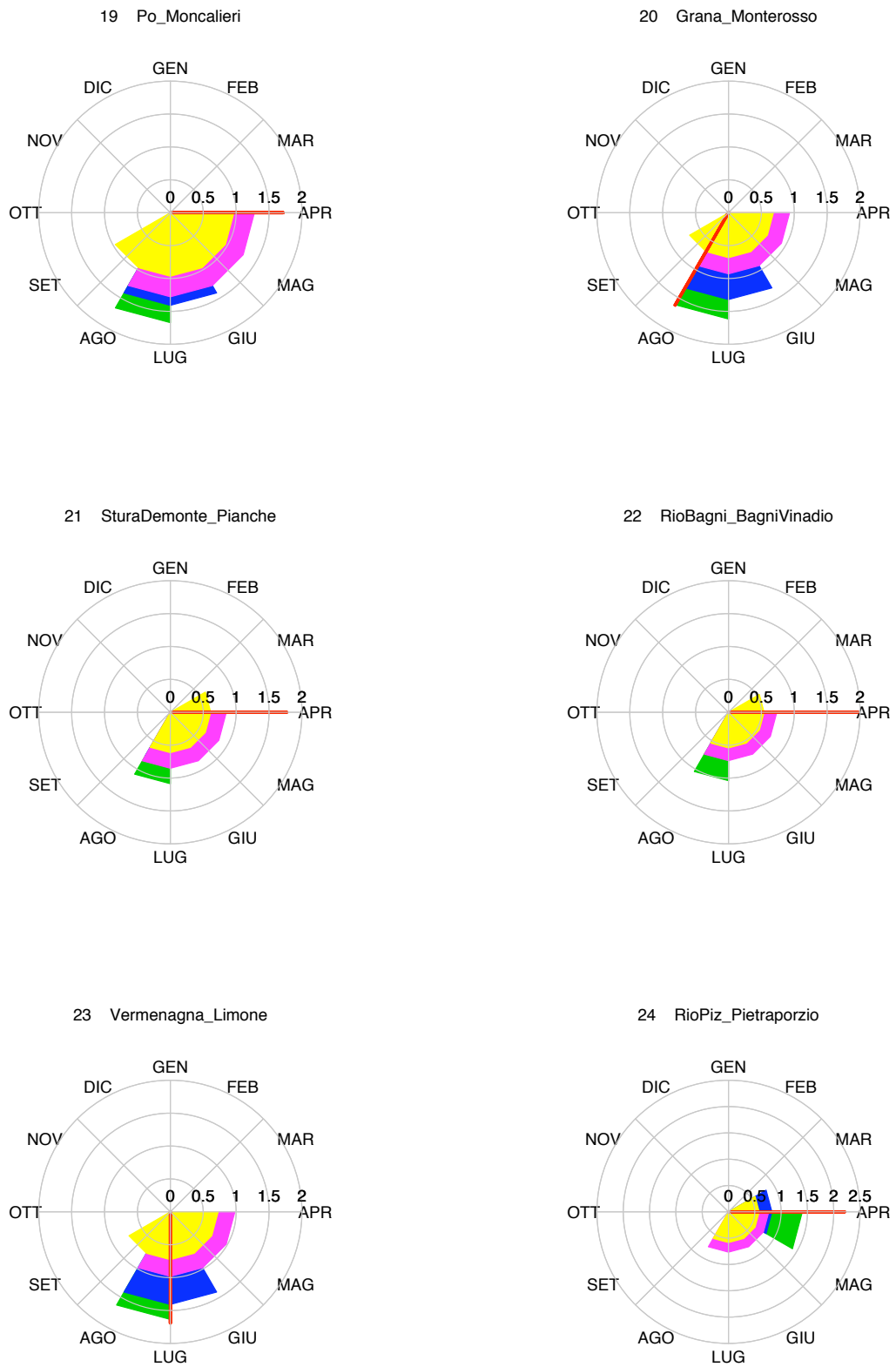


Figura F.28: Diagramma polare dei massimi mensili, bimestrali, ..., semestrali delle differenze tra la curva di richiesta per irrigazioni a sommersione ed il regime idrometrico adimensionalizzati. (4/8)

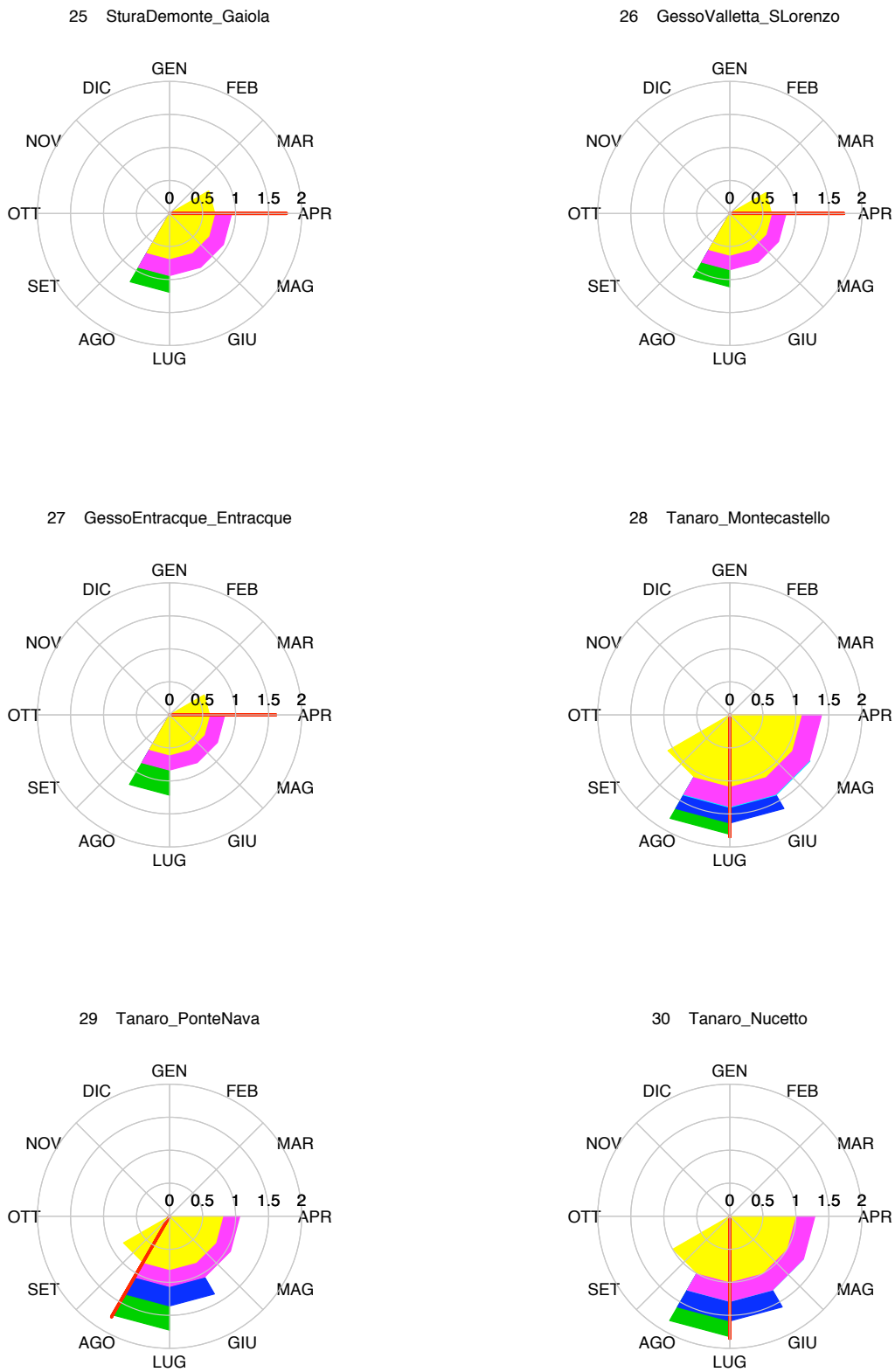


Figura F.28: Diagramma polare dei massimi mensili, bimestrali, ..., semestrali delle differenze tra la curva di richiesta per irrigazioni a sommersione ed il regime idrometrico adimensionalizzati. (5/8)

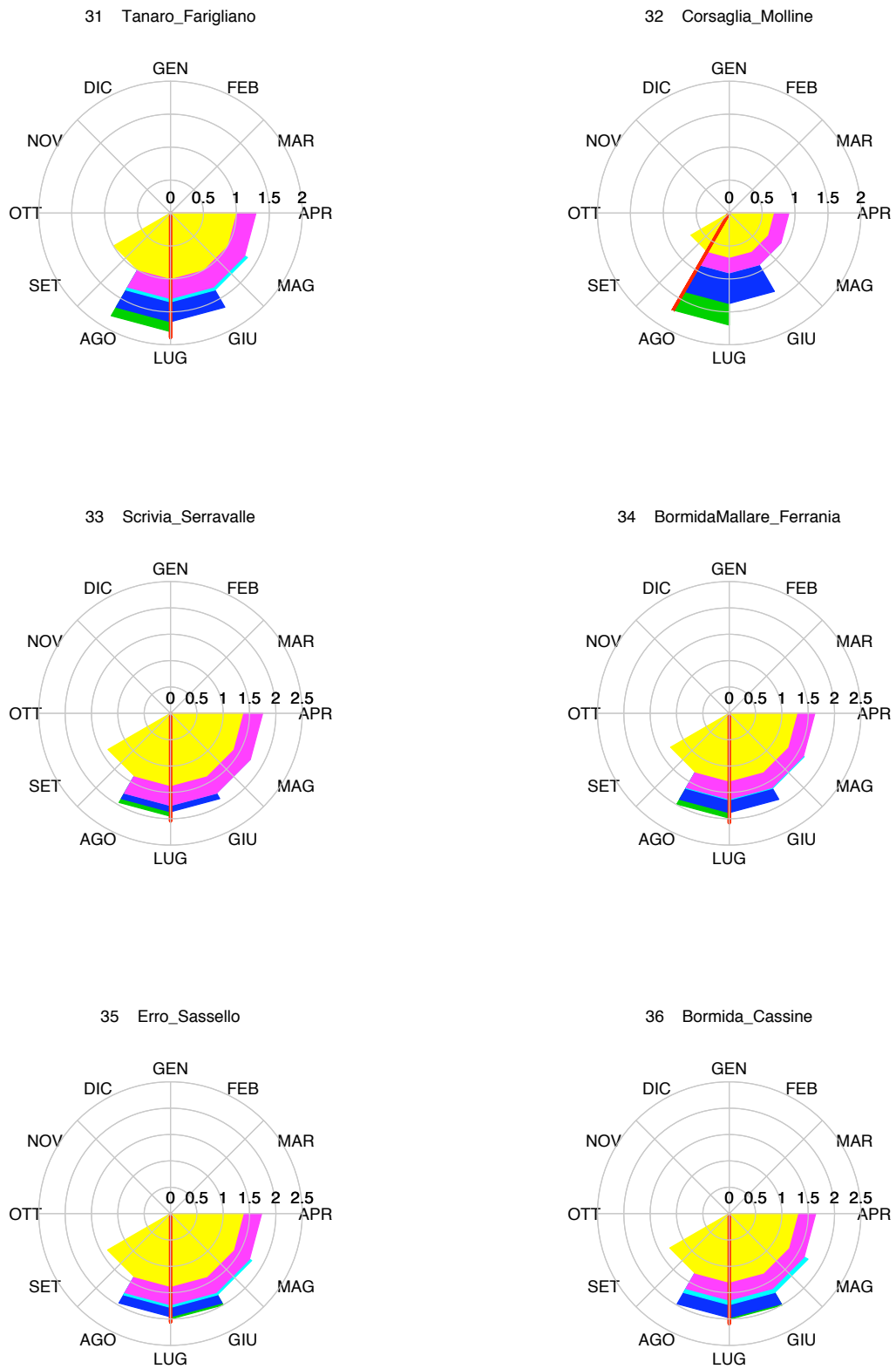


Figura F.28: Diagramma polare dei massimi mensili, bimestrali, ..., semestrali delle differenze tra la curva di richiesta per irrigazioni a sommersione ed il regime idrometrico adimensionalizzati. (6/8)

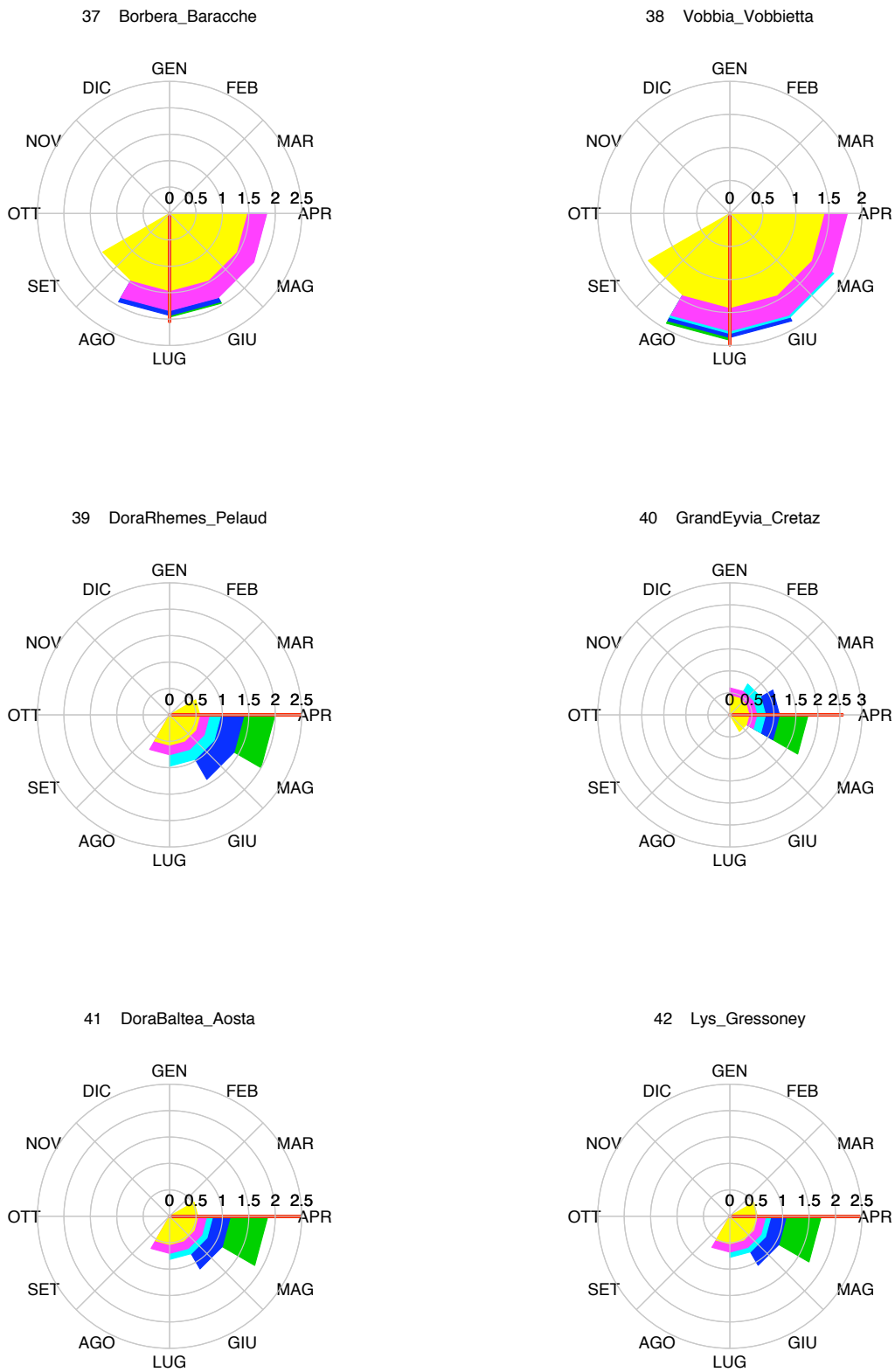


Figura F.28: Diagramma polare dei massimi mensili, bimestrali, ..., semestrali delle differenze tra la curva di richiesta per irrigazioni a sommersione ed il regime idrometrico adimensionalizzati. (7/8)

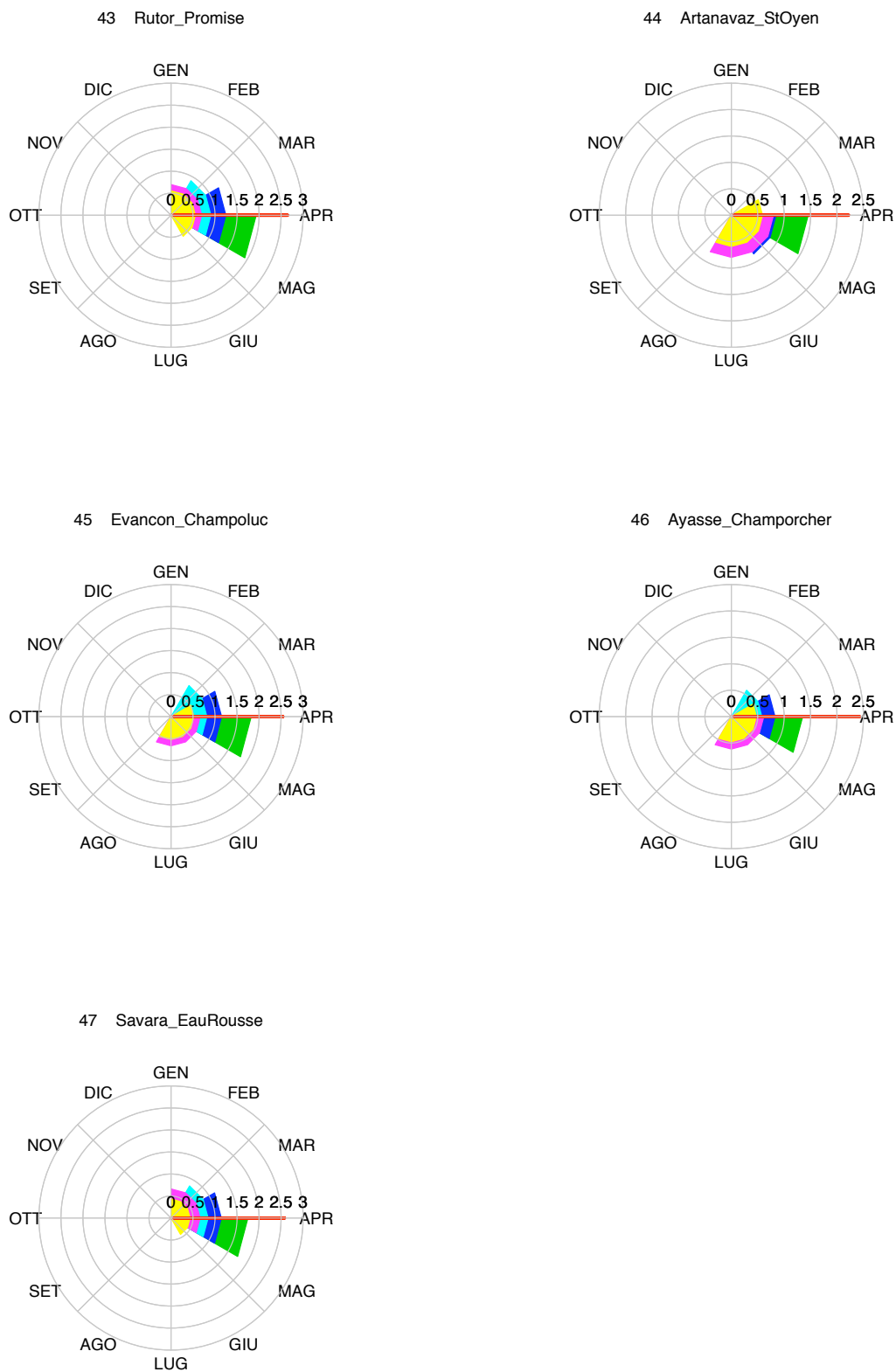


Figura F.28: Diagramma polare dei massimi mensili, bimestrali, ..., semestrali delle differenze tra la curva di richiesta per irrigazioni a sommersione ed il regime idrometrico adimensionalizzati. (8/8)

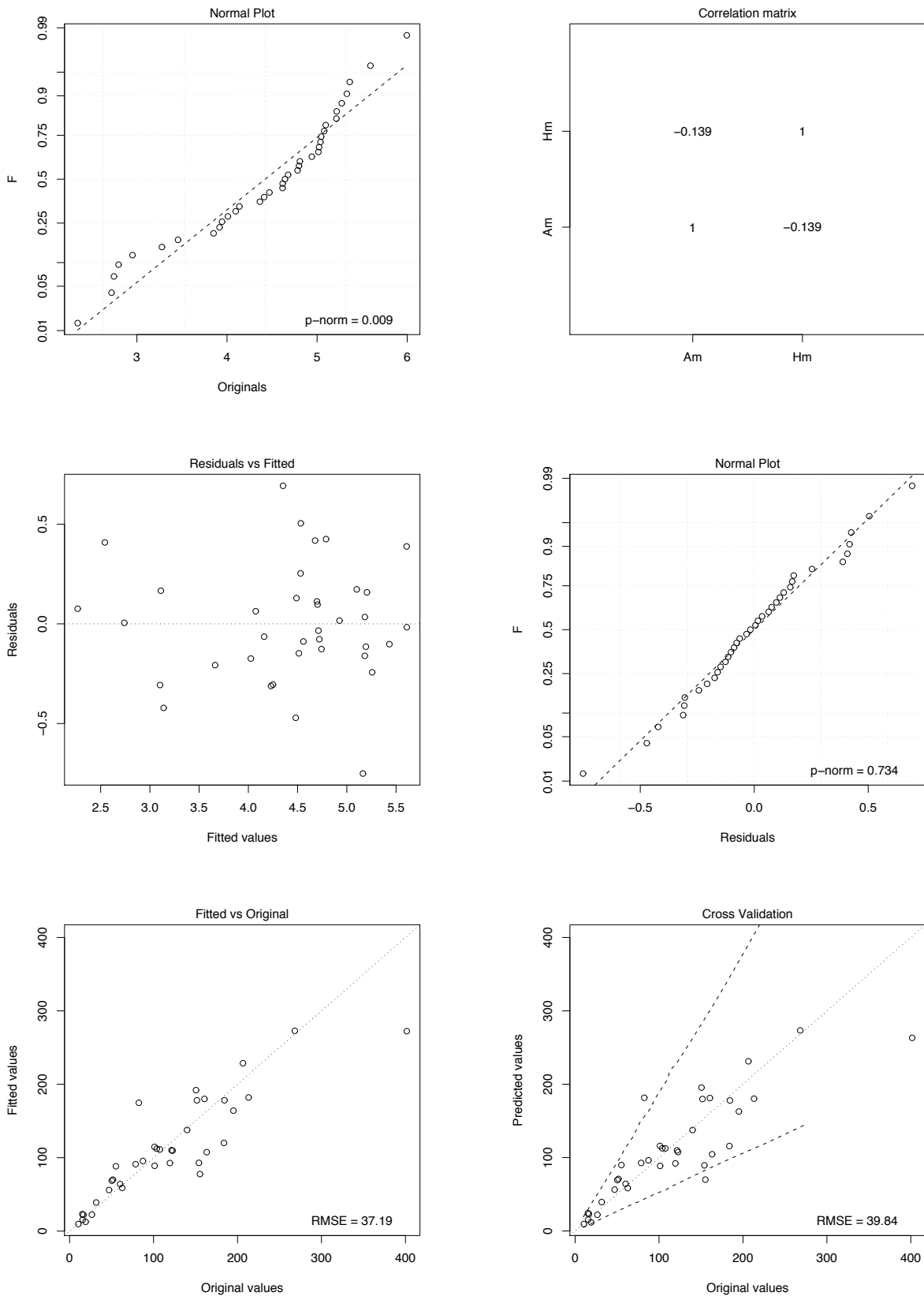


Figura F.29: Grafici diagnostici della regressione lineare 8.1 del deflusso medio per aggregazioni mensili critiche nel caso di irrigazione umettante (1 mese) (1/6).

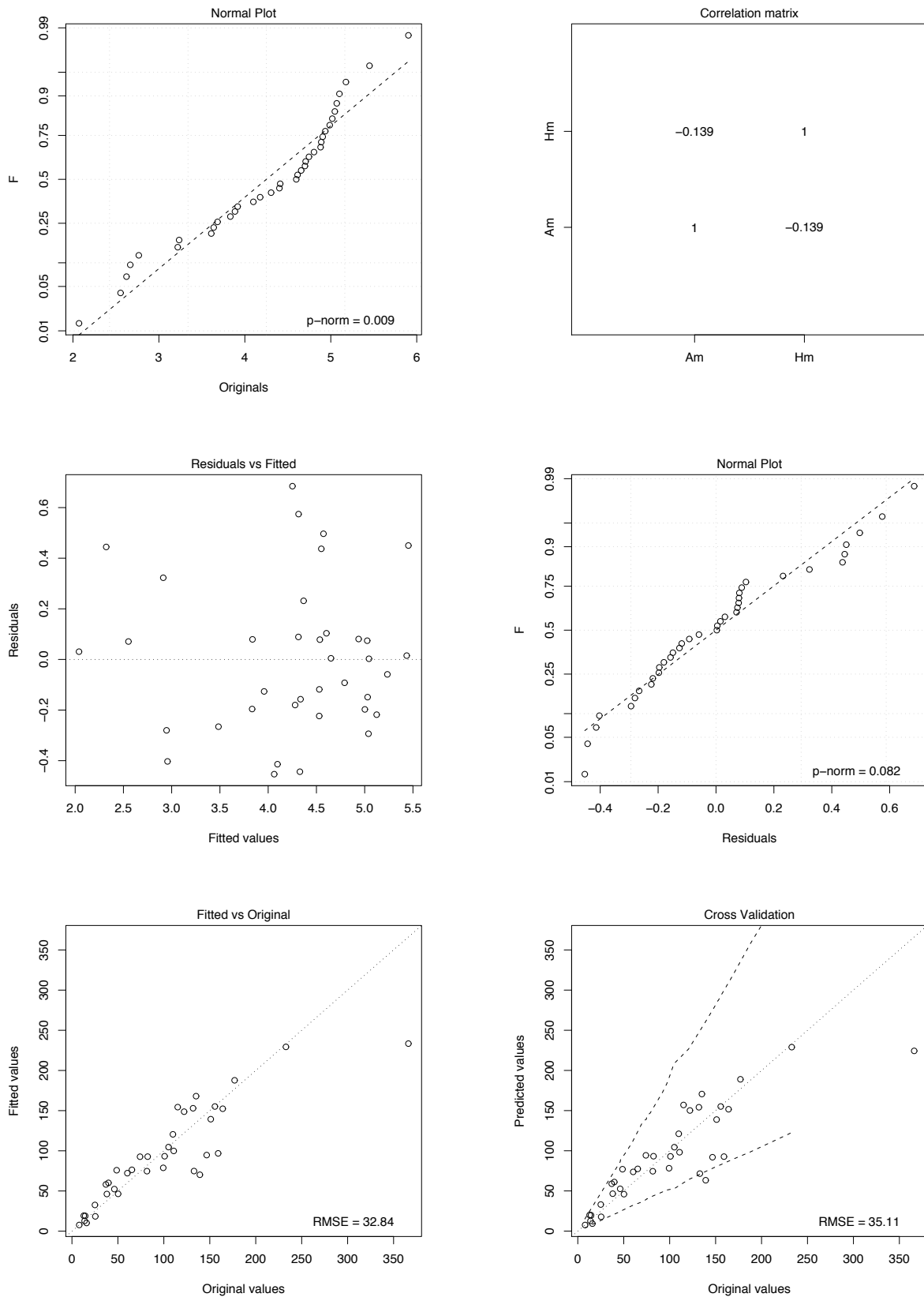


Figura F.29: Grafici diagnostici della regressione lineare 8.1 del deflusso medio per aggregazioni mensili critiche nel caso di irrigazione umettante (2 mesi) (2/6).

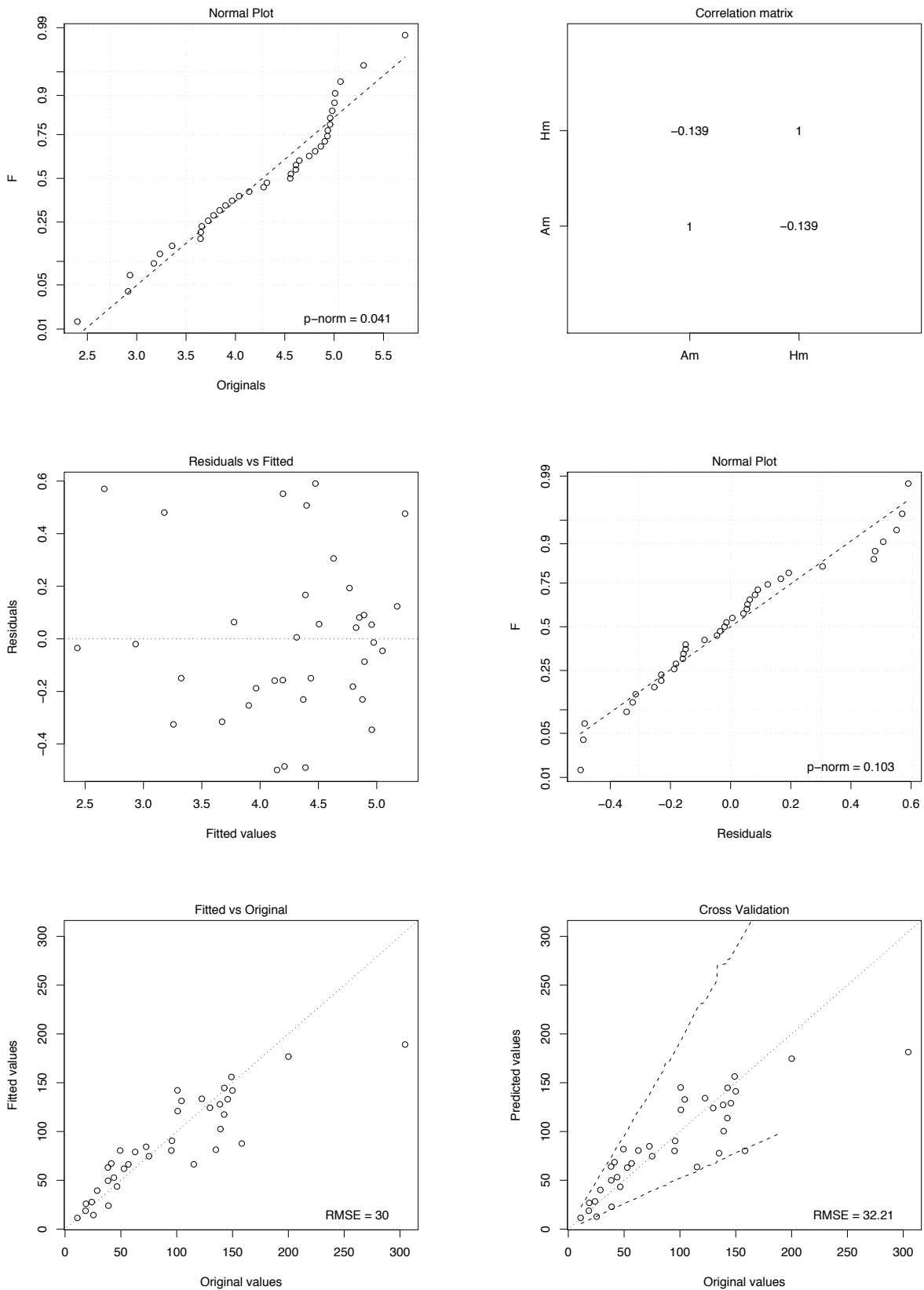


Figura F.29: Grafici diagnostici della regressione lineare 8.1 del deflusso medio per aggregazioni mensili critiche nel caso di irrigazione umettante (3 mesi) (3/6).

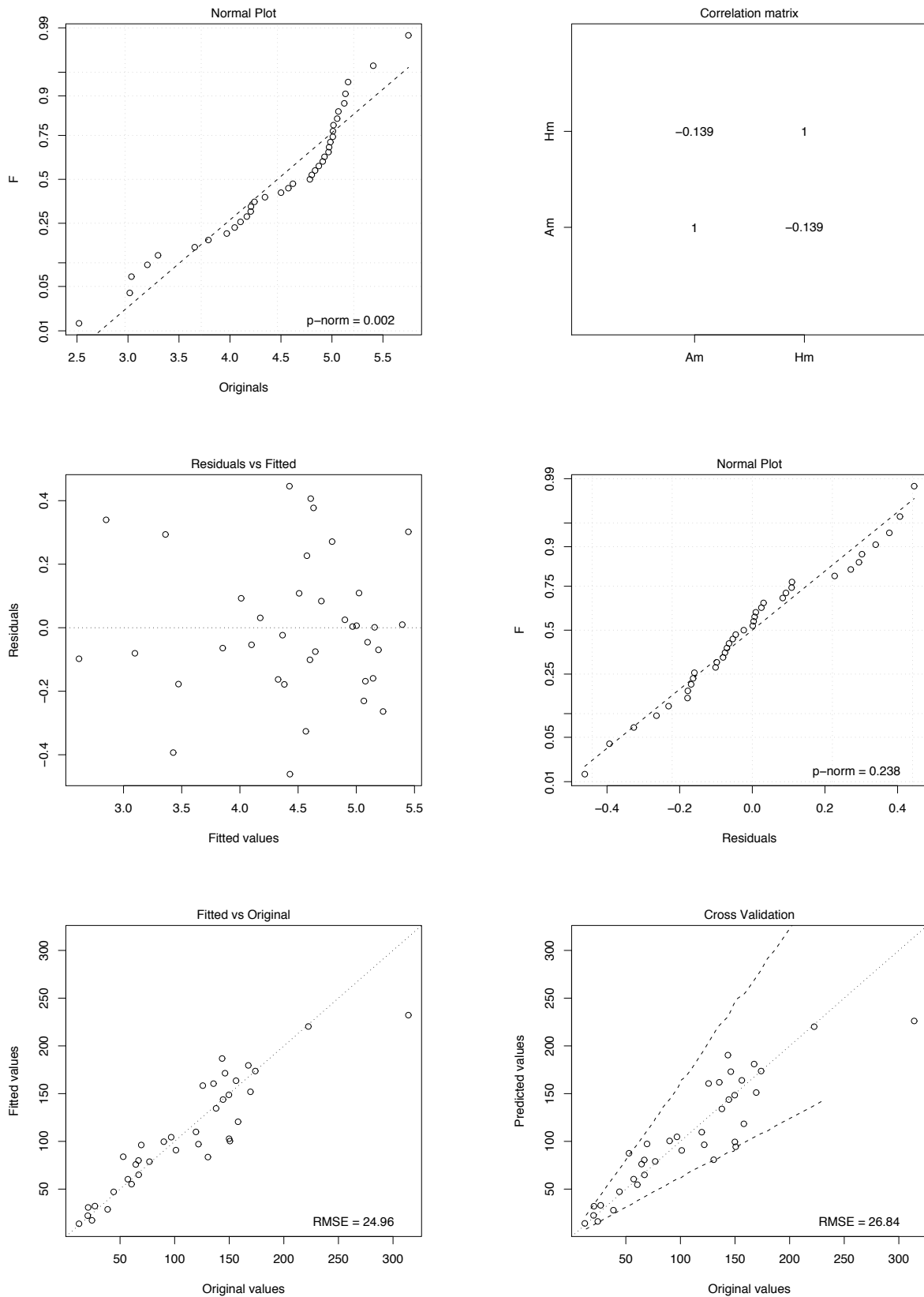


Figura F.29: Grafici diagnostici della regressione lineare 8.1 del deflusso medio per aggregazioni mensili critiche nel caso di irrigazione umettante (4 mesi) (4/6).

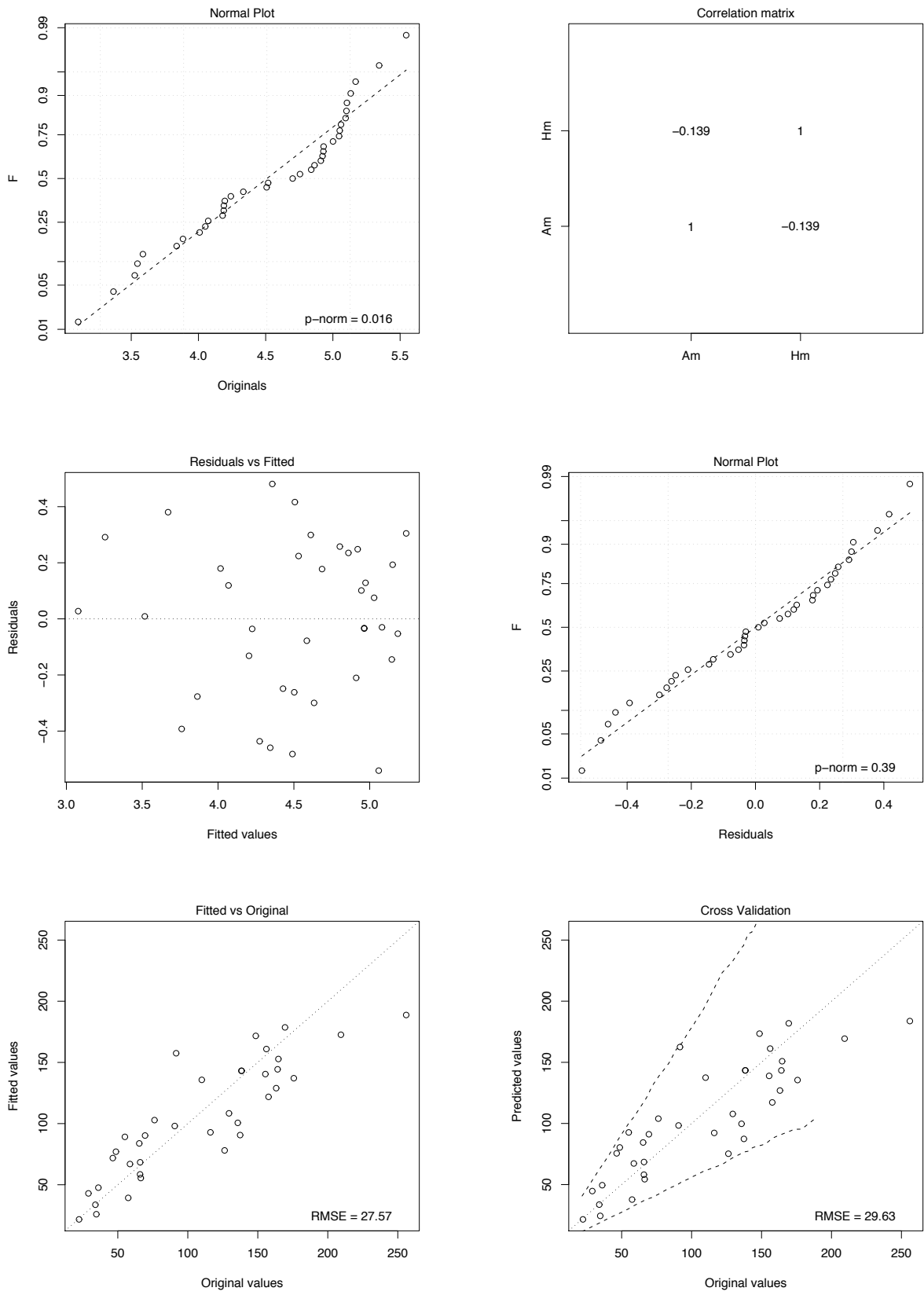


Figura F.29: Grafici diagnostici della regressione lineare 8.1 del deflusso medio per aggregazioni mensili critiche nel caso di irrigazione umettante (5 mesi) (5/6).

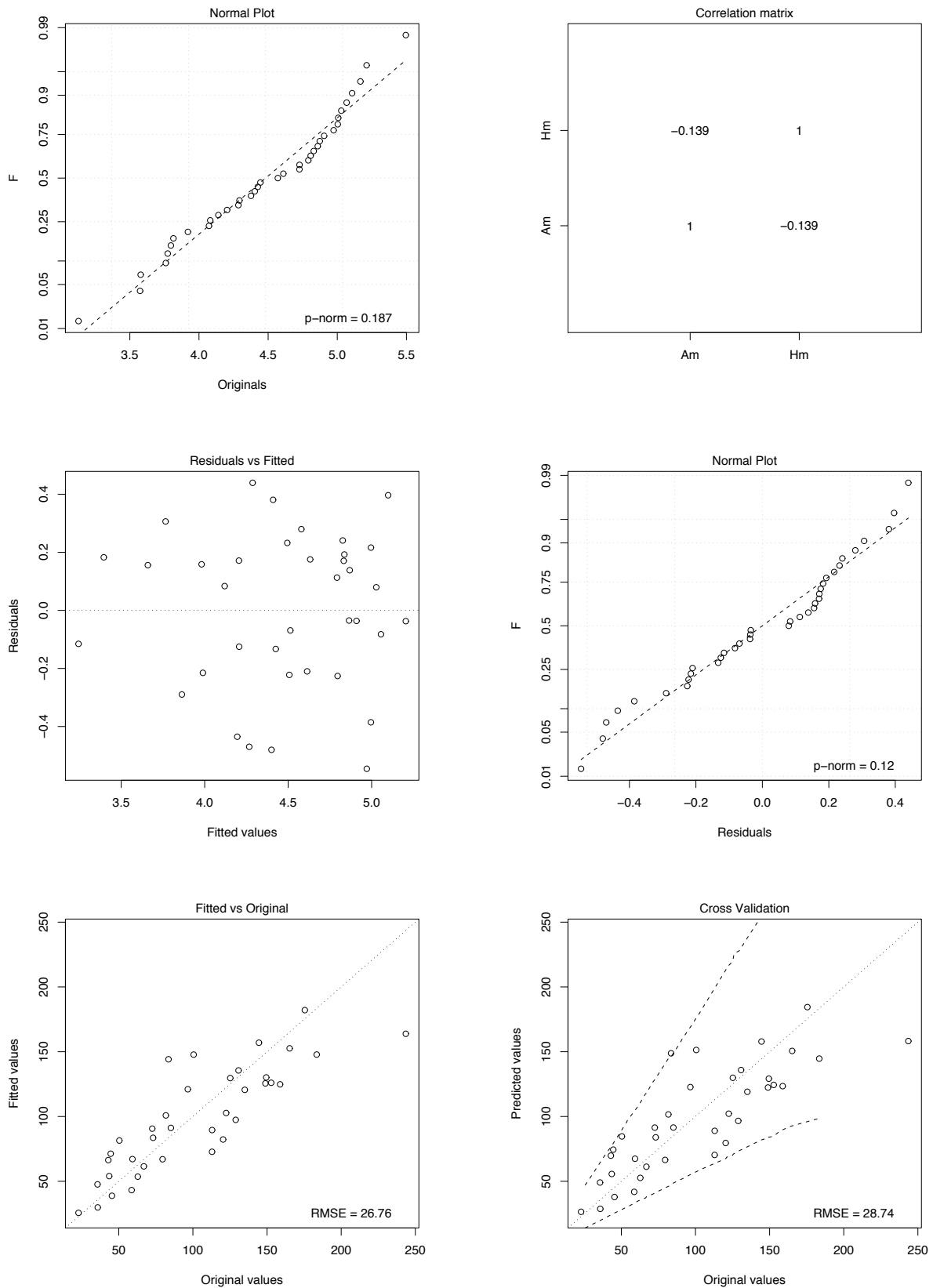


Figura F.29: Grafici diagnostici della regressione lineare 8.1 del deflusso medio per aggregazioni mensili critiche nel caso di irrigazione umettante (6 mesi) (6/6).

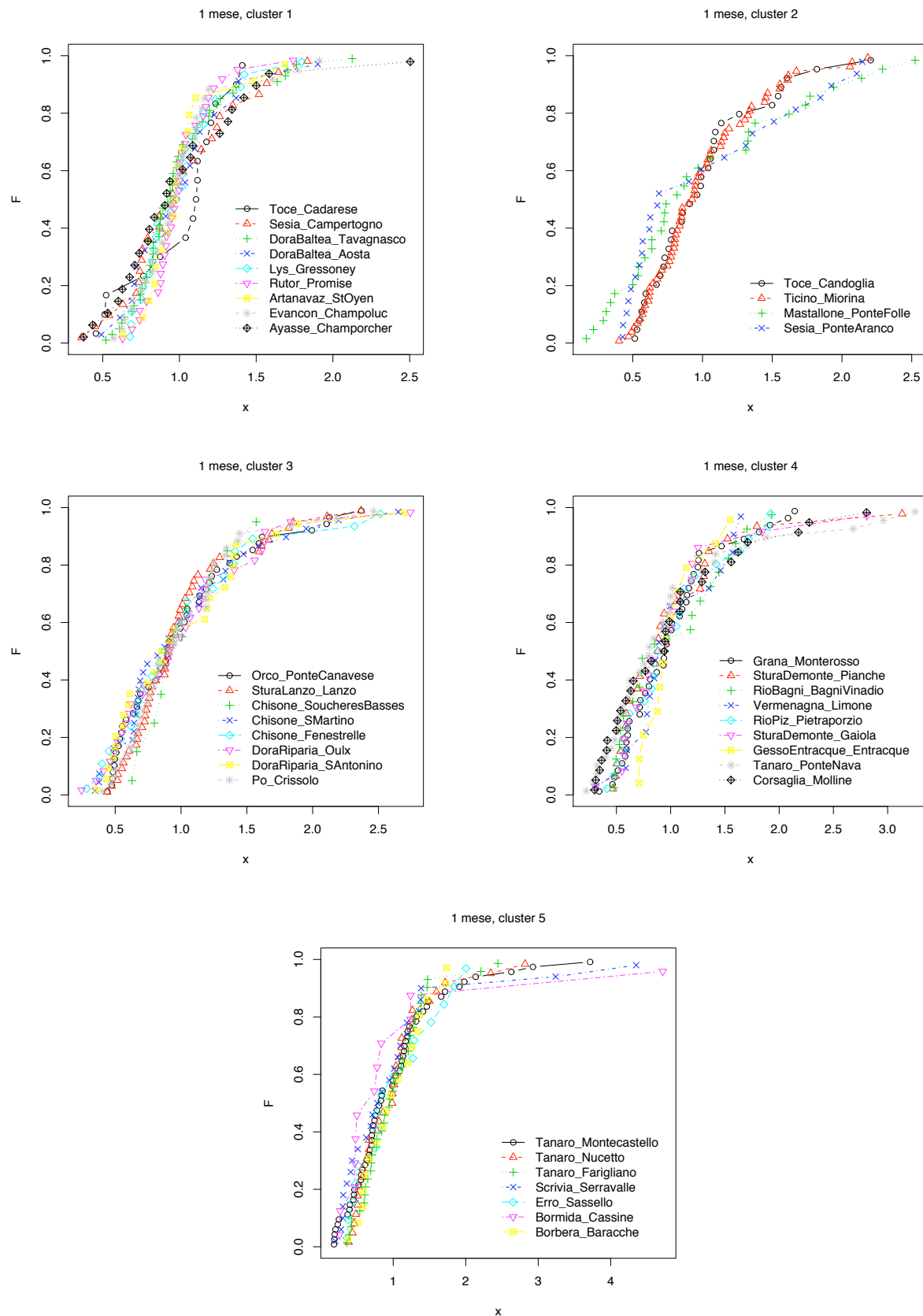


Figura F.30: Rappresentazione “plotting position” delle serie dei deflussi critici appartenenti ai cluster individuati (irrigazione umettante). (1/6)

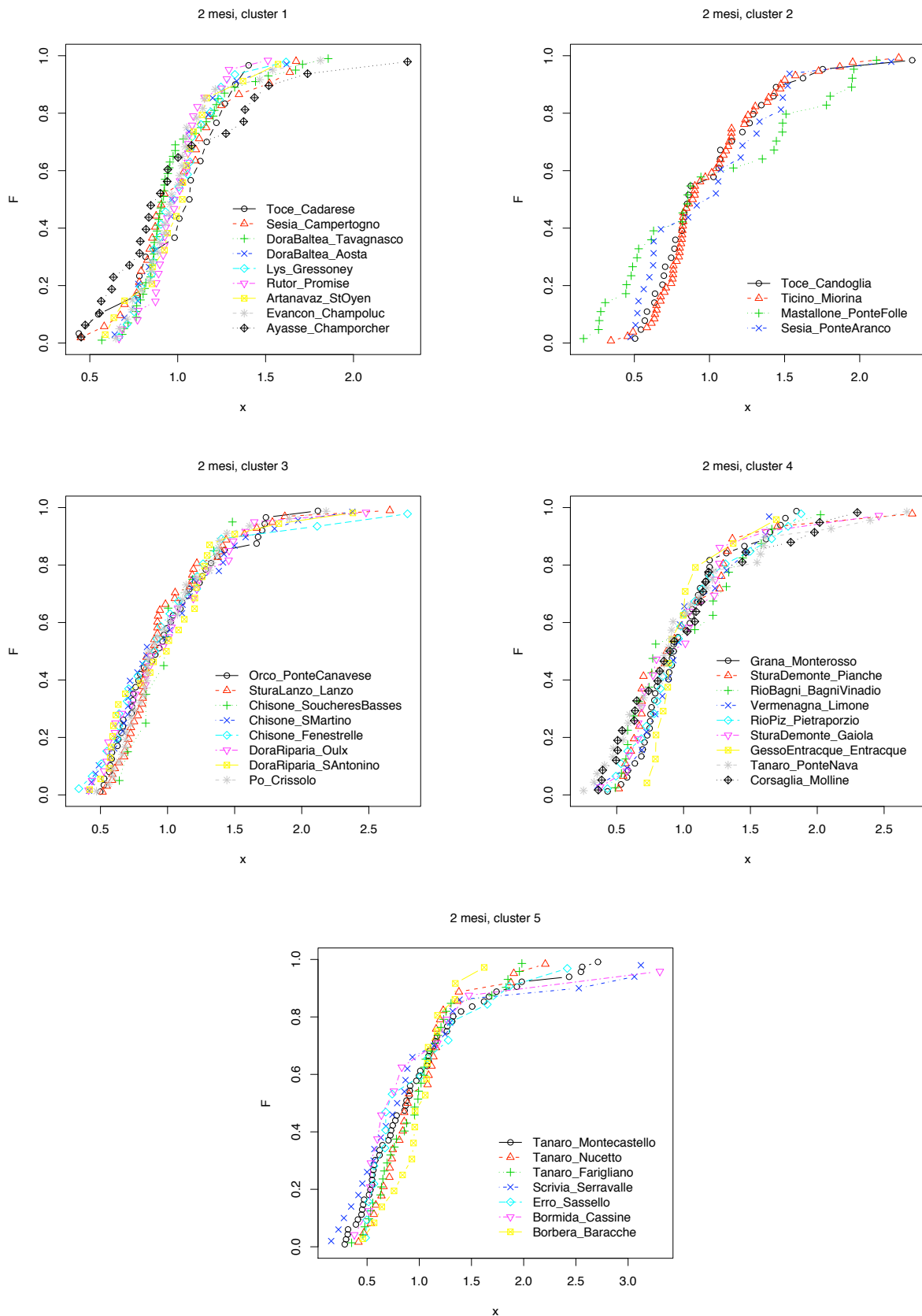


Figura F.30: Rappresentazione “plotting position” delle serie dei deflussi critici appartenenti ai cluster individuati (irrigazione umettante). (2/6)

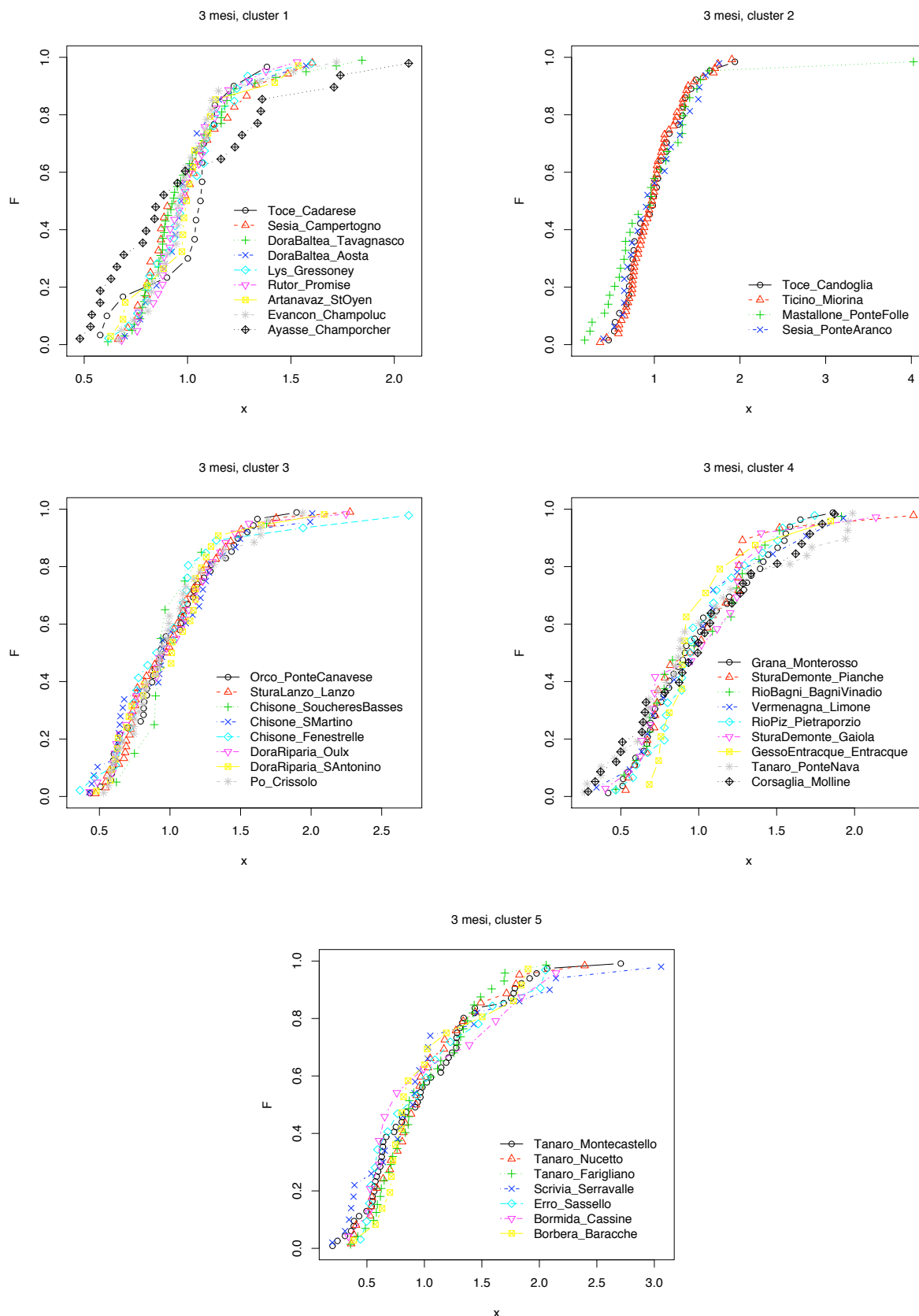


Figura F.30: Rappresentazione “plotting position” delle serie dei deflussi critici appartenenti ai cluster individuati (irrigazione umettante). (3/6)

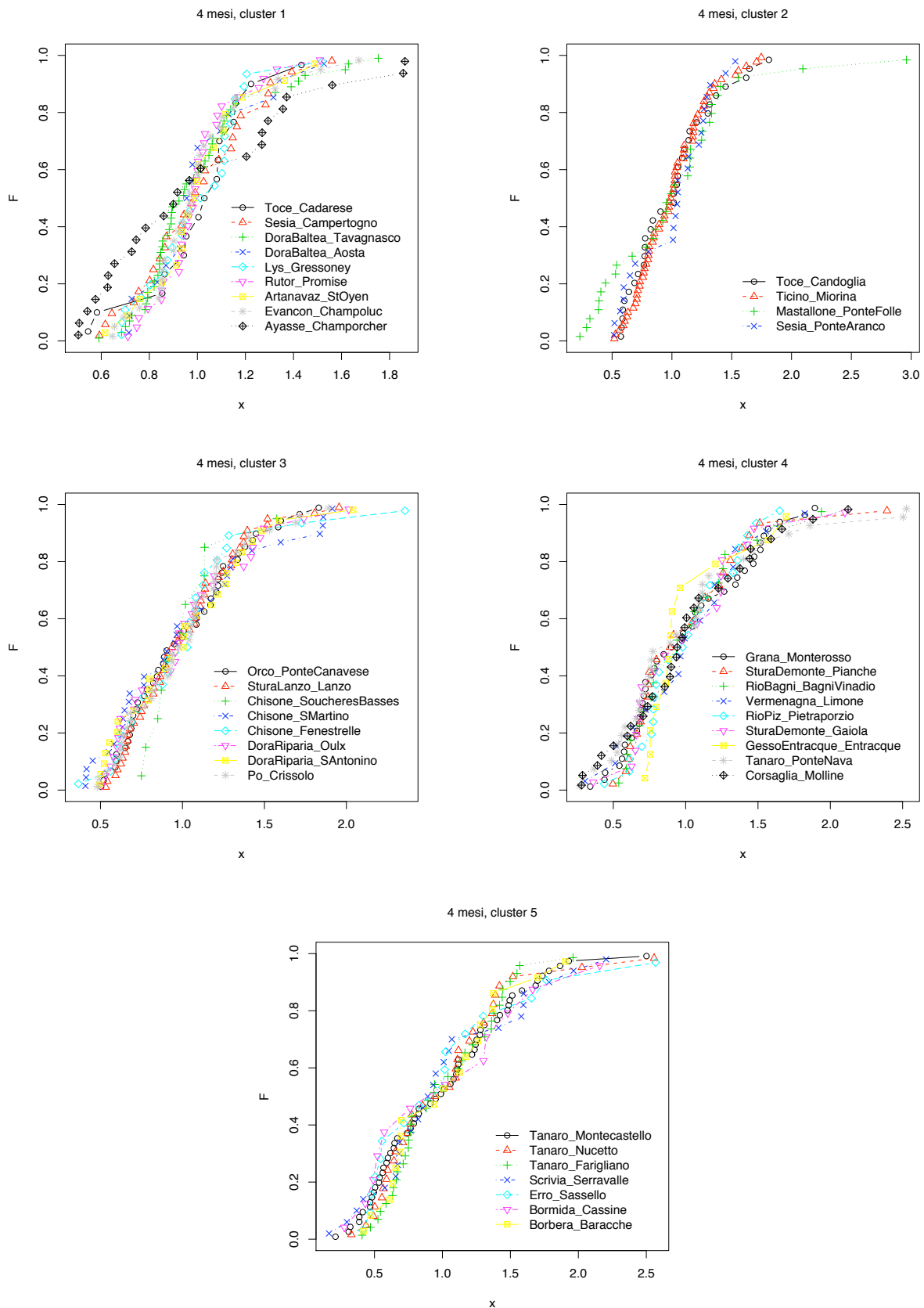


Figura F.30: Rappresentazione “plotting position” delle serie dei deflussi critici appartenenti ai cluster individuati (irrigazione umettante). (4/6)

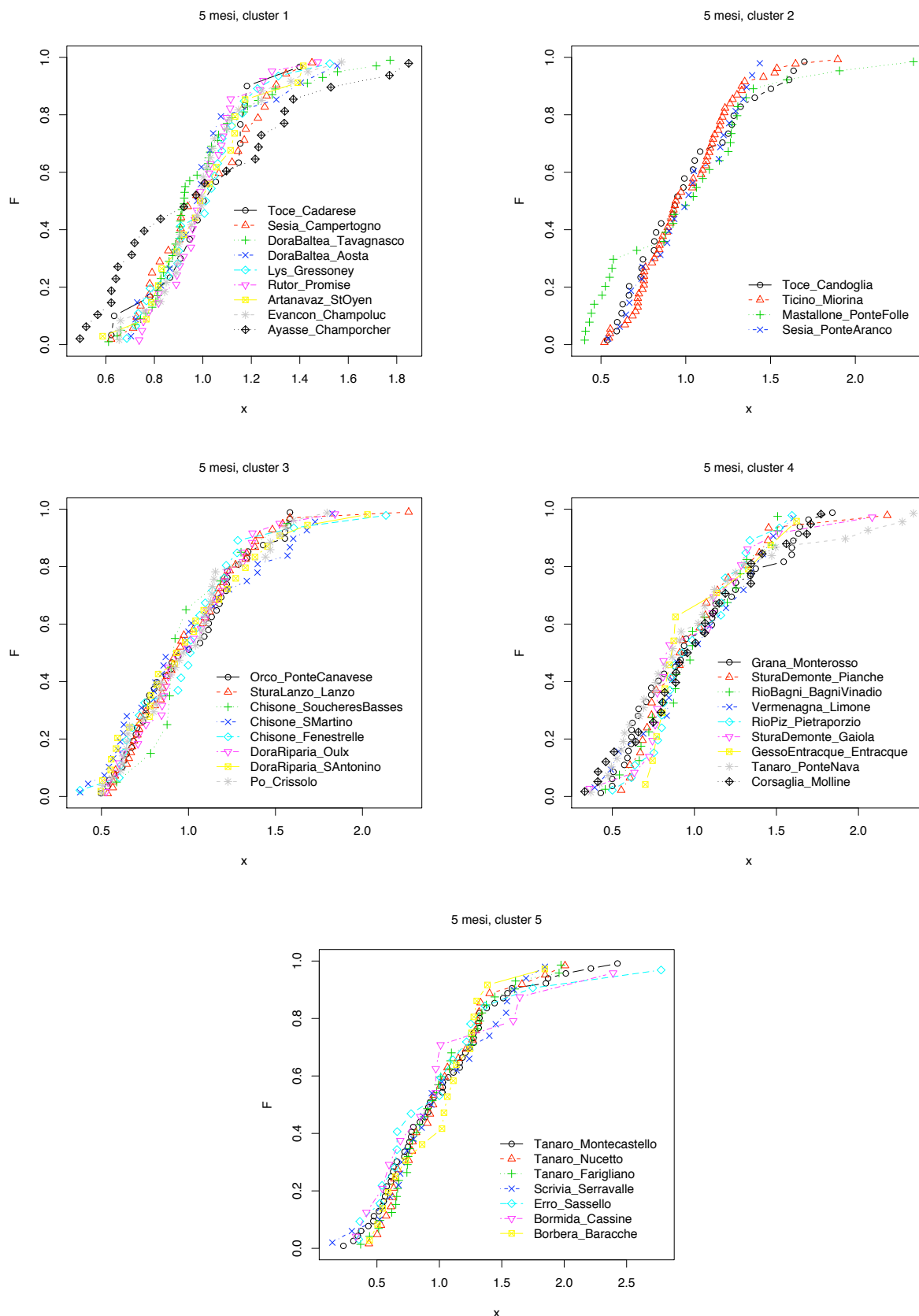


Figura F.30: Rappresentazione “plotting position” delle serie dei deflussi critici appartenenti ai cluster individuati (irrigazione umettante). (5/6)

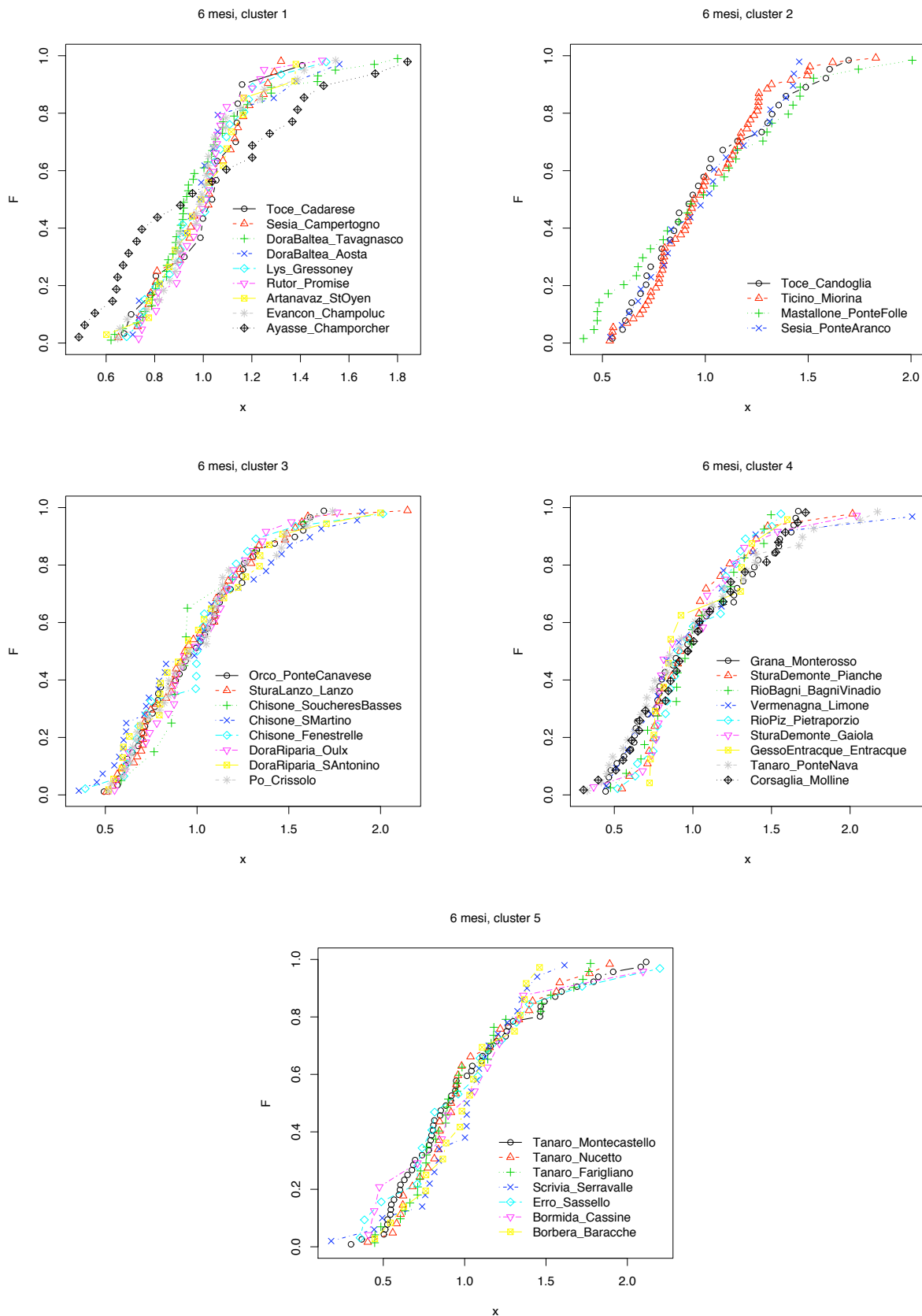


Figura F.30: Rappresentazione “plotting position” delle serie dei deflussi critici appartenenti ai cluster individuati (irrigazione umettante). (6/6)

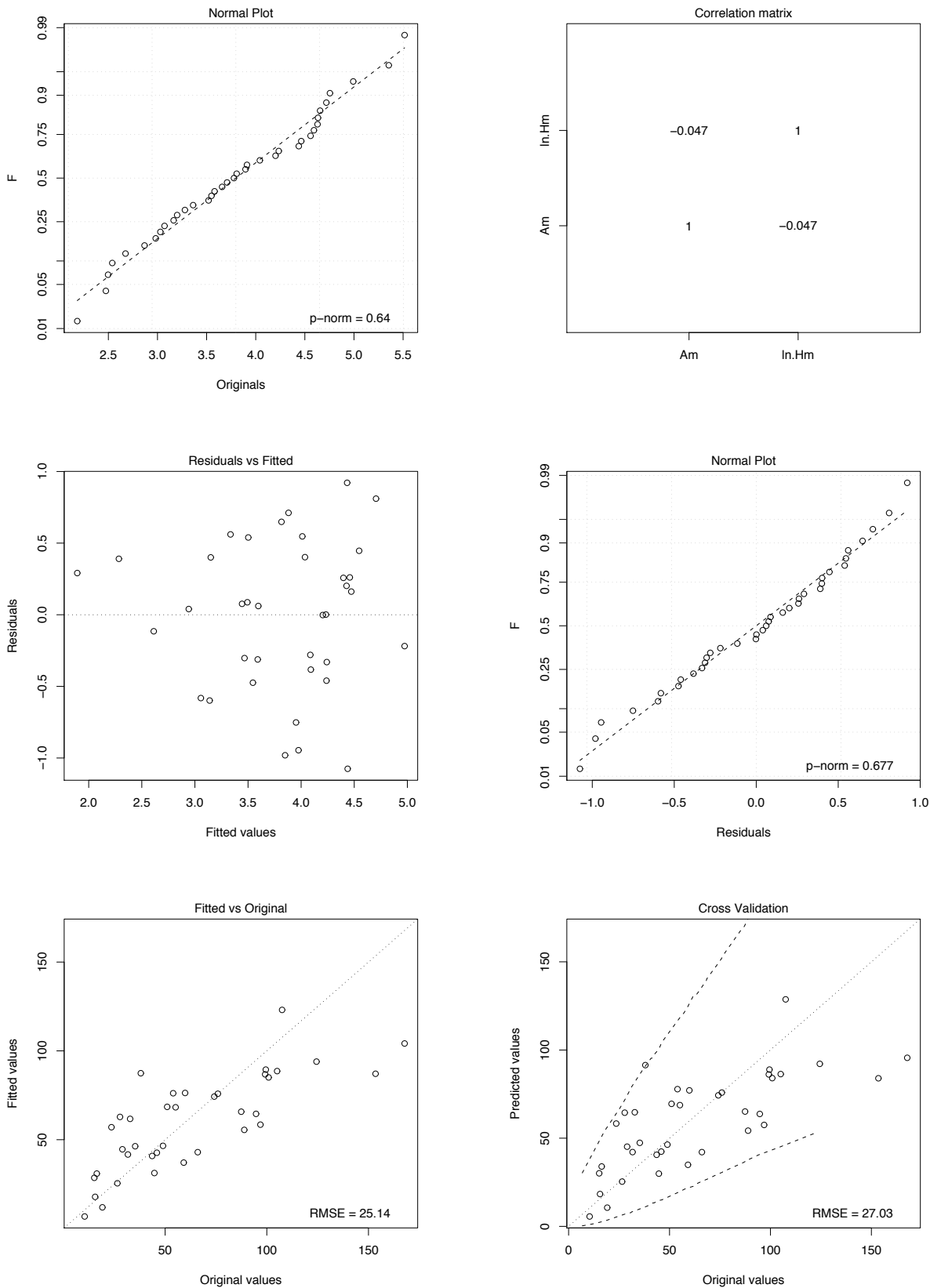


Figura F.31: Grafici diagnostici della regressione lineare 8.6 del deflusso medio per aggregazioni mensili critiche nel caso di irrigazione a sommersione (1 mese) (1/6).

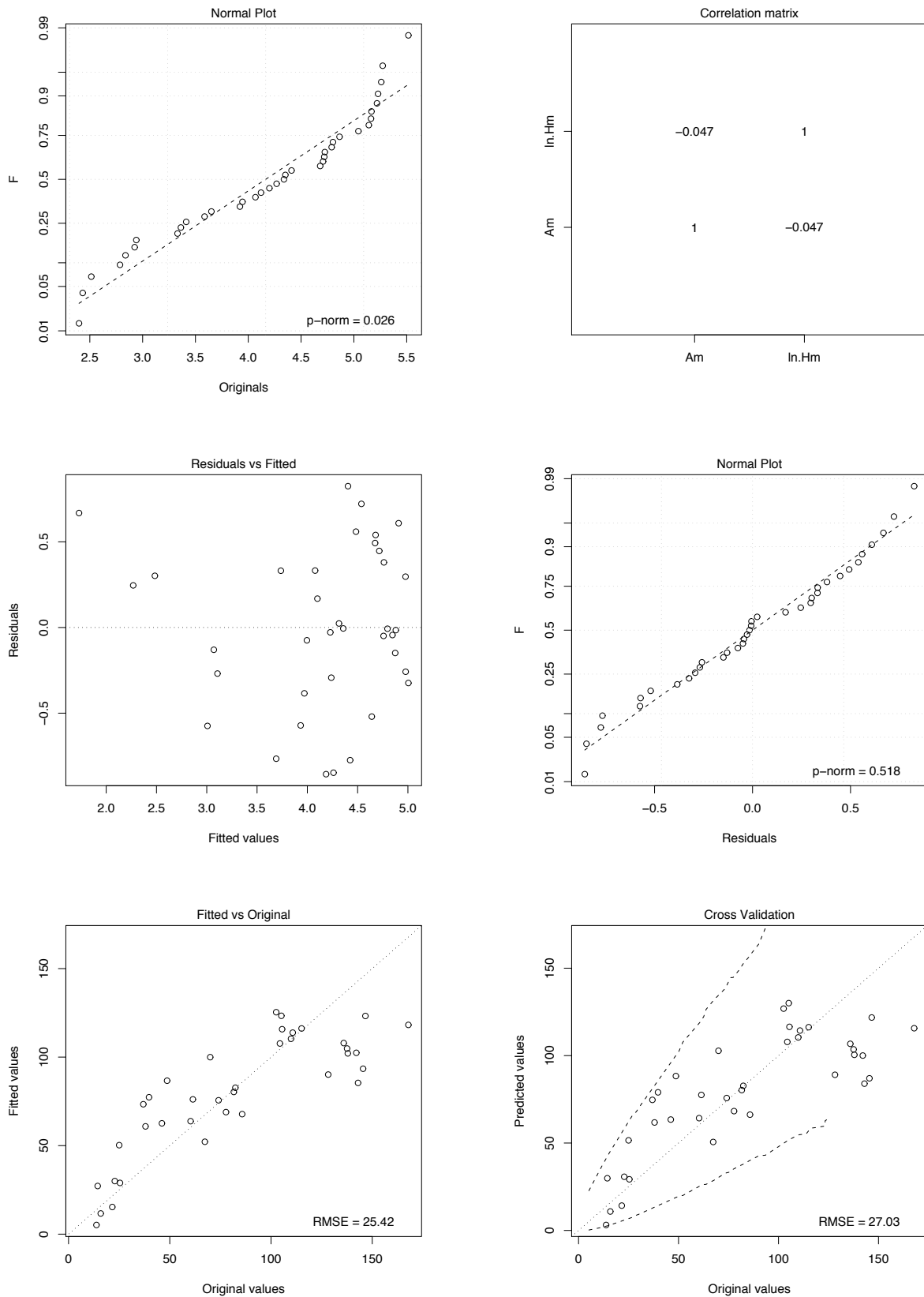


Figura F.31: Grafici diagnostici della regressione lineare 8.6 del deflusso medio per aggregazioni mensili critiche nel caso di irrigazione a sommersione (2 mesi) (2/6).

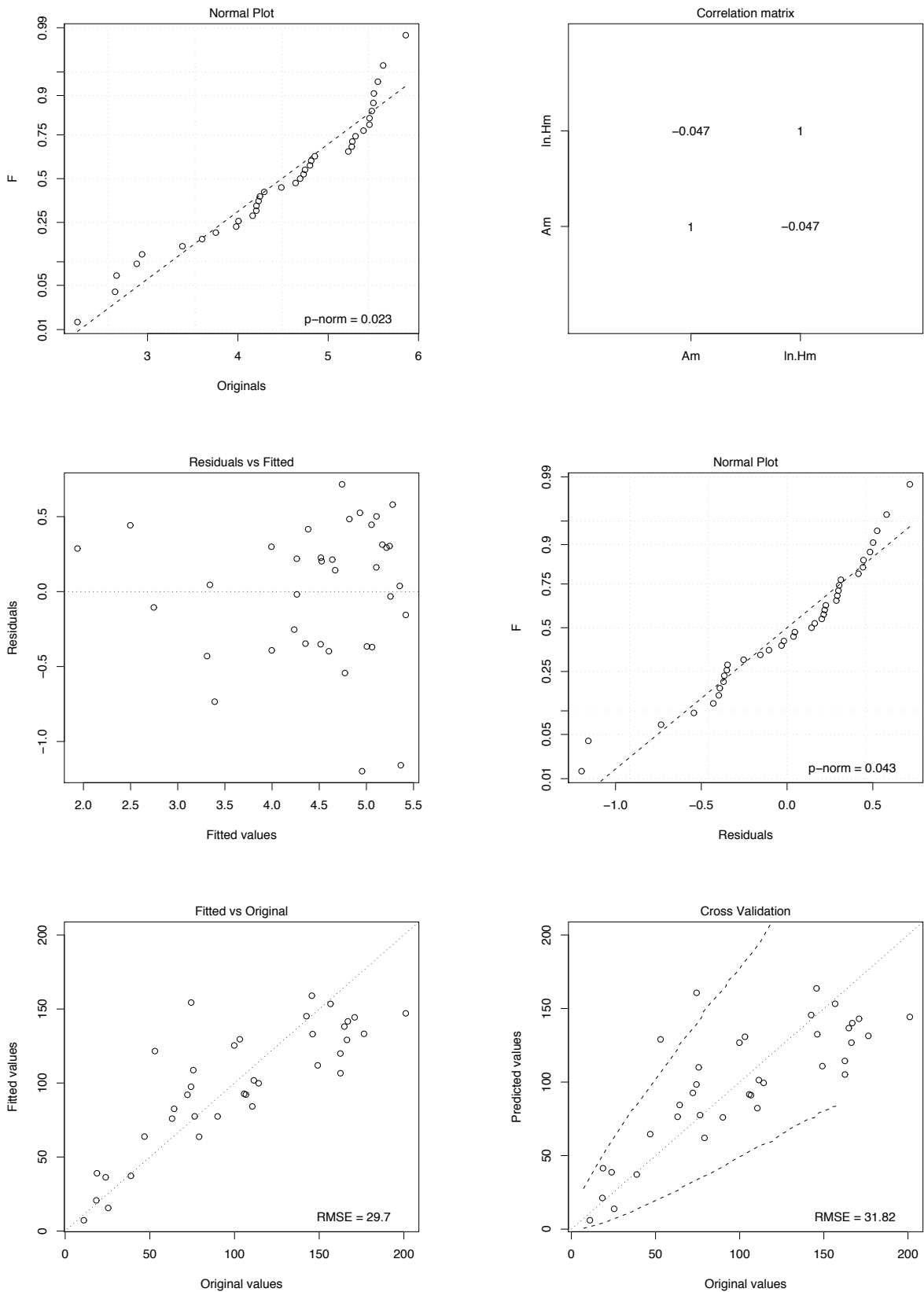


Figura F.31: Grafici diagnostici della regressione lineare 8.6 del deflusso medio per aggregazioni mensili critiche nel caso di irrigazione a sommersione (3 mesi) (3/6).

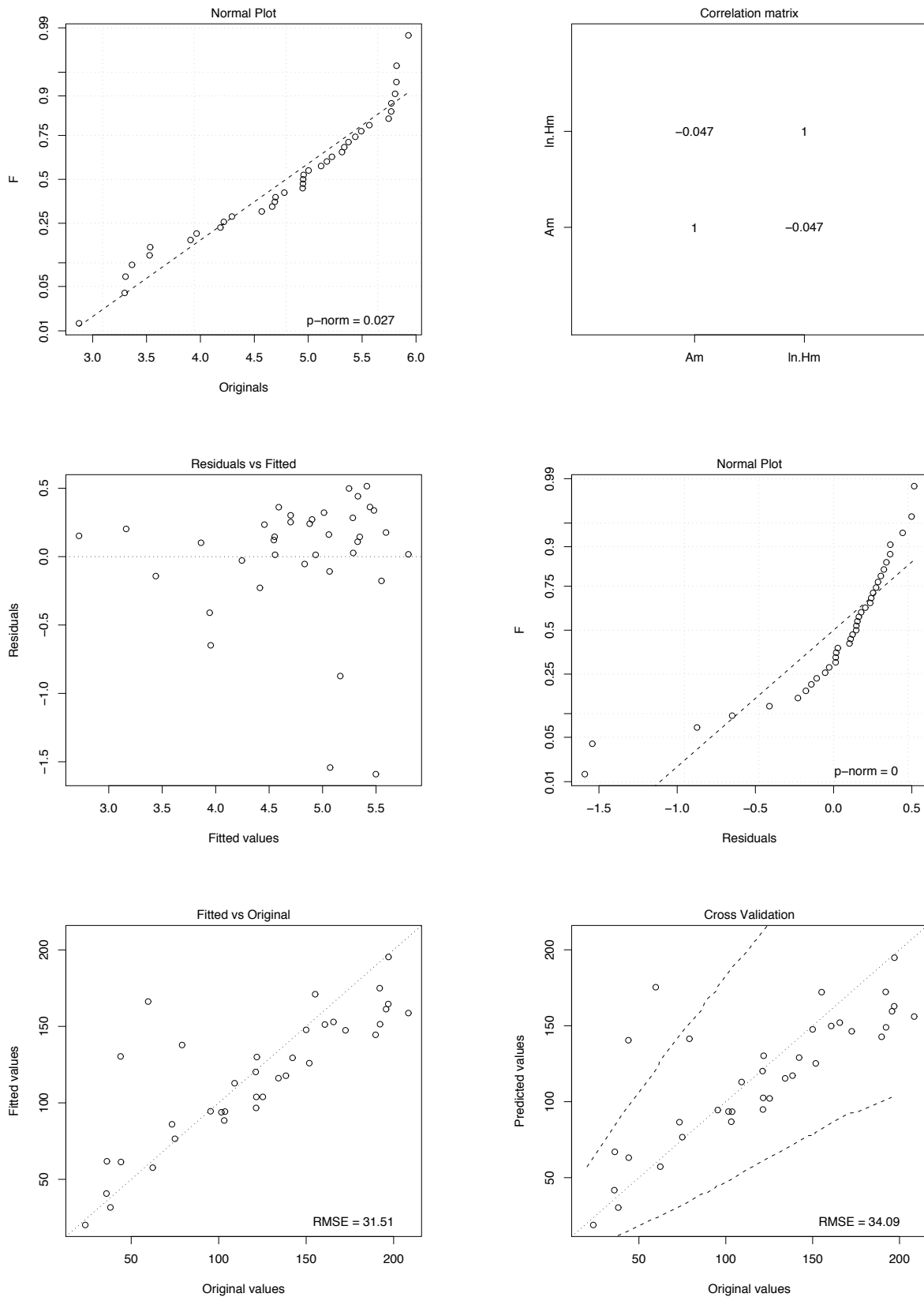


Figura F.31: Grafici diagnostici della regressione lineare 8.6 del deflusso medio per aggregazioni mensili critiche nel caso di irrigazione a sommersione (4 mesi) (4/6).

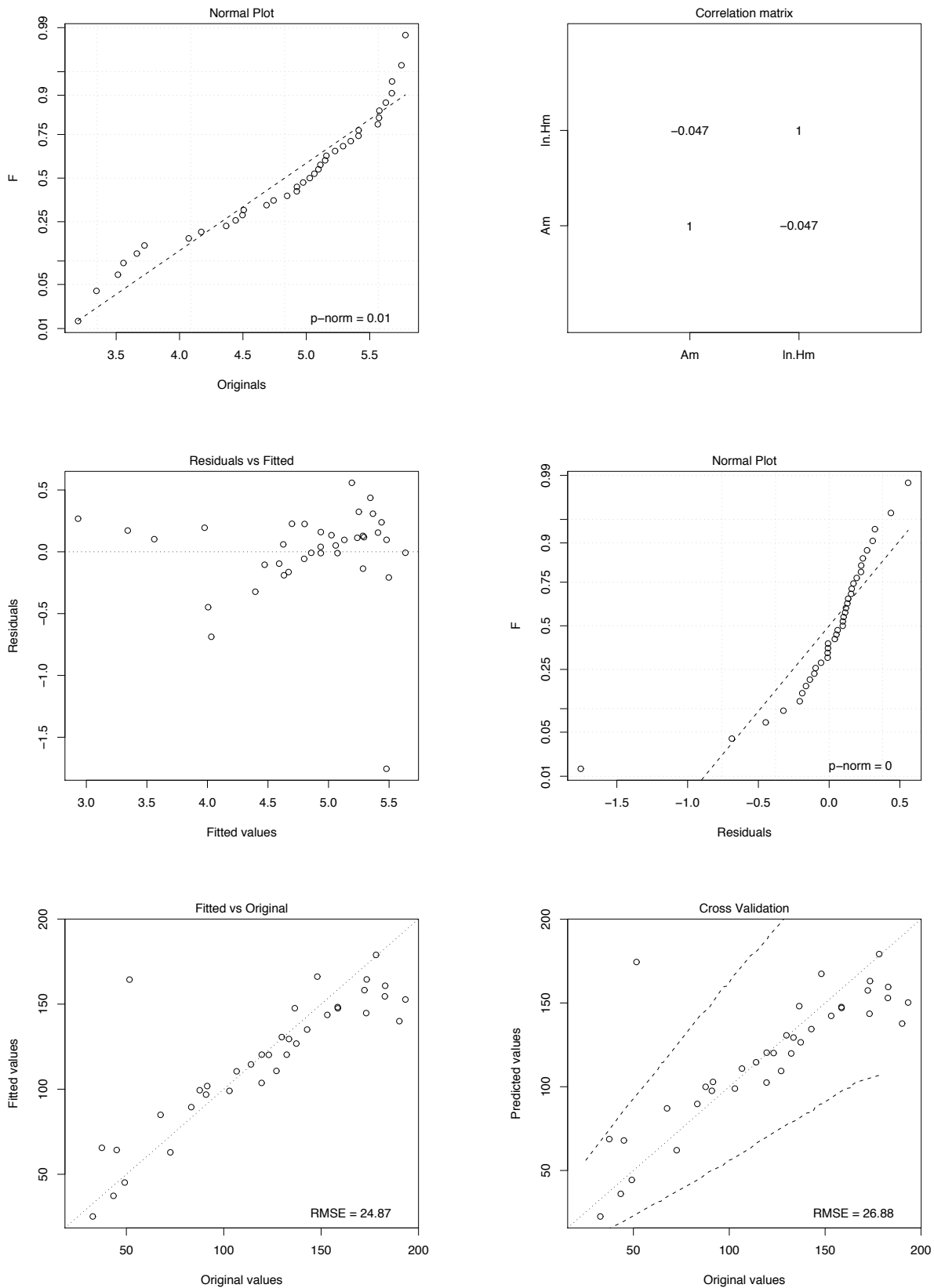


Figura F.31: Grafici diagnostici della regressione lineare 8.6 del deflusso medio per aggregazioni mensili critiche nel caso di irrigazione a sommersione (5 mesi) (5/6).

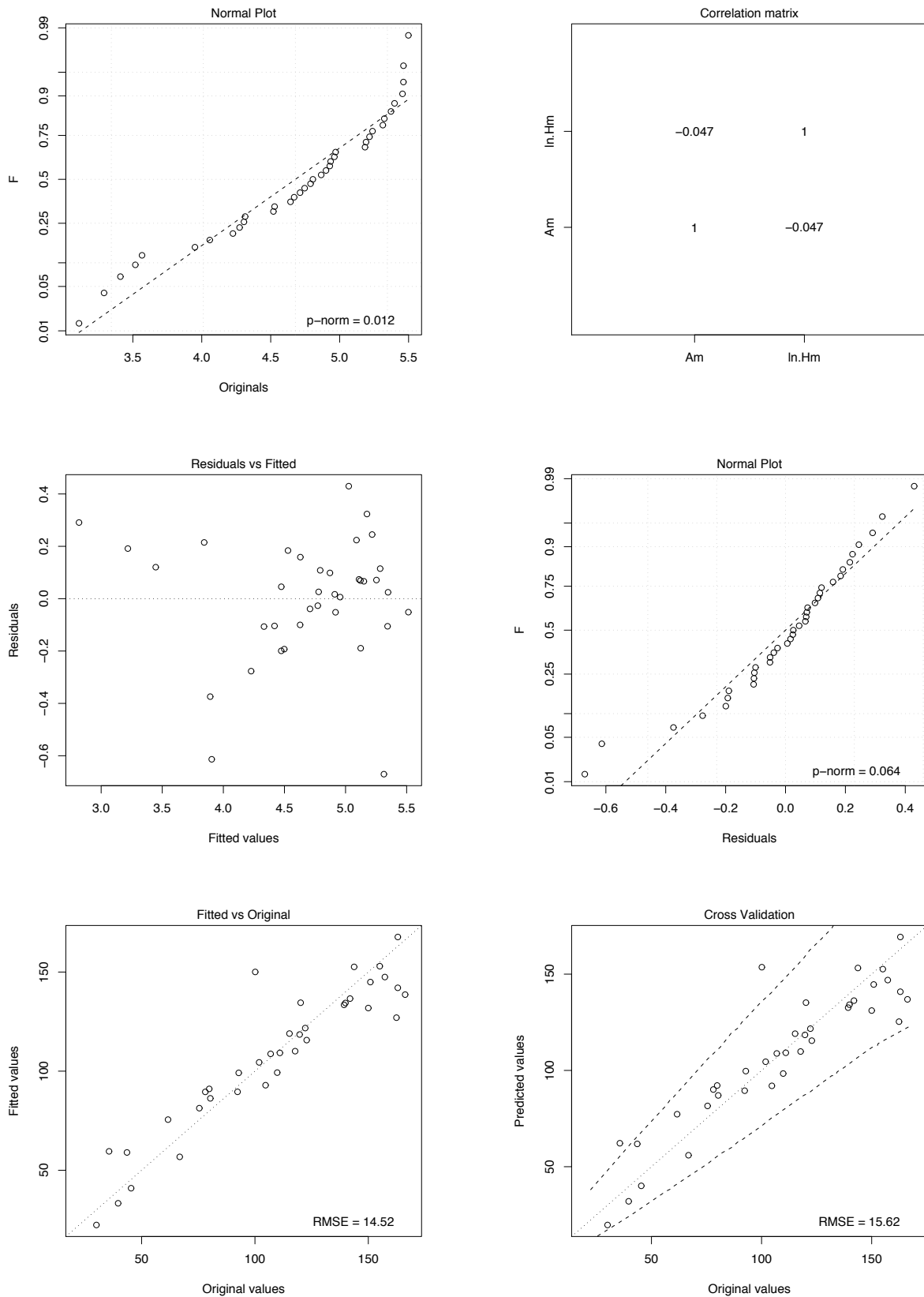


Figura F.31: Grafici diagnostici della regressione lineare 8.6 del deflusso medio per aggregazioni mensili critiche nel caso di irrigazione a sommersione (6 mesi) (6/6).

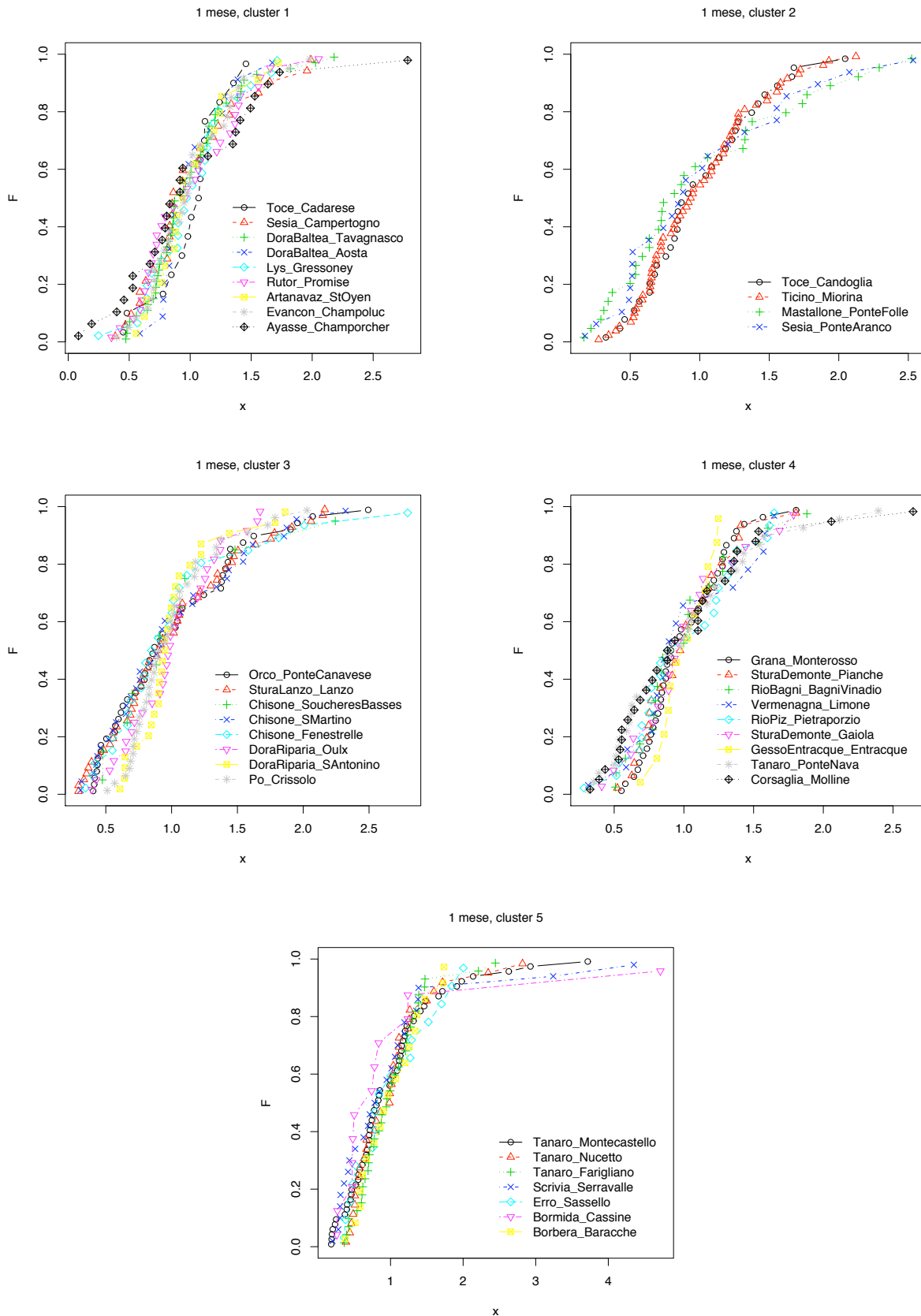


Figura F.32: Rappresentazione “plotting position” delle serie dei deflussi critici appartenenti ai cluster individuati (irrigazione a sommersione). (1/6)

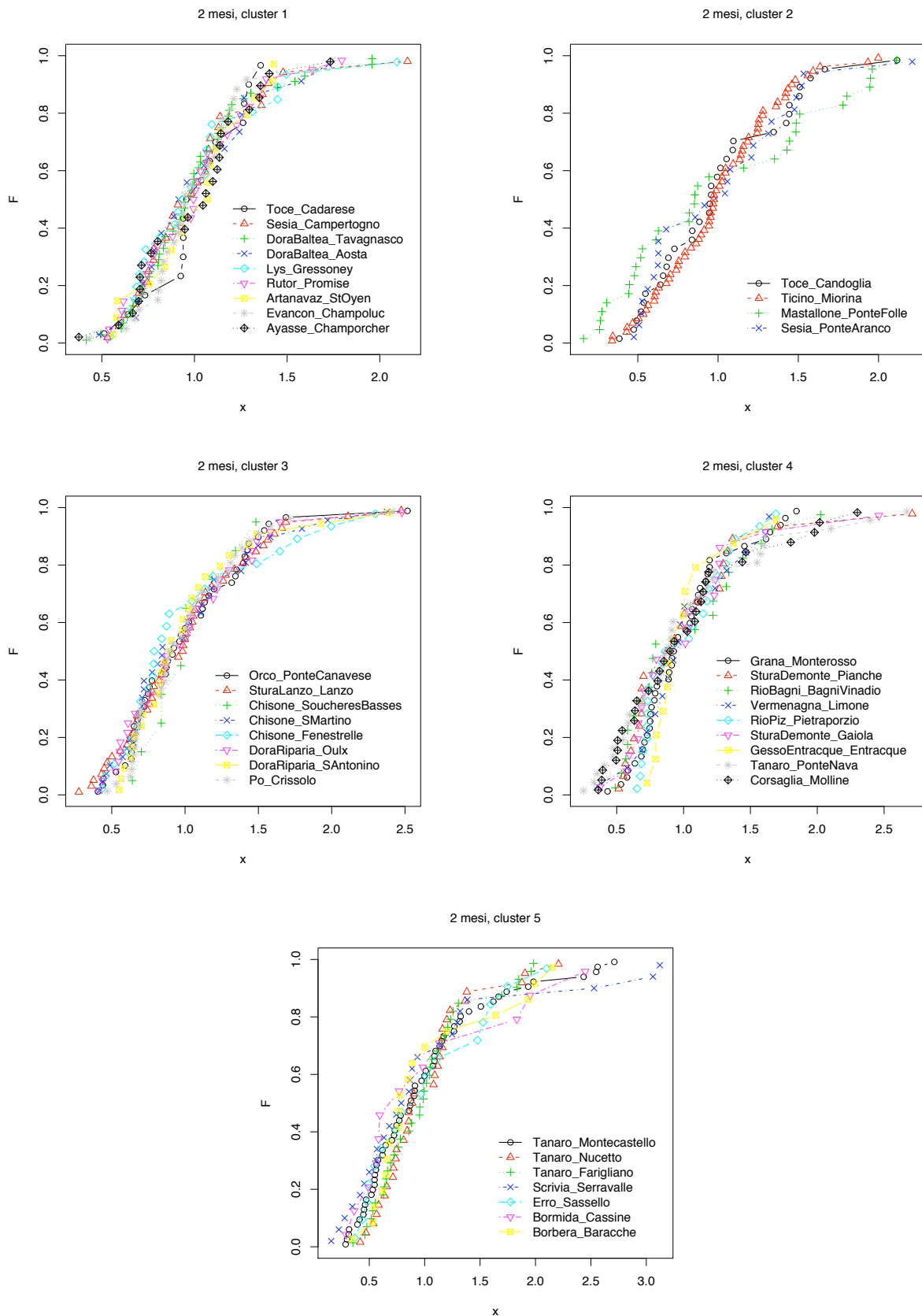


Figura F.32: Rappresentazione “plotting position” delle serie dei deflussi critici appartenenti ai cluster individuati (irrigazione a sommersione). (2/6)

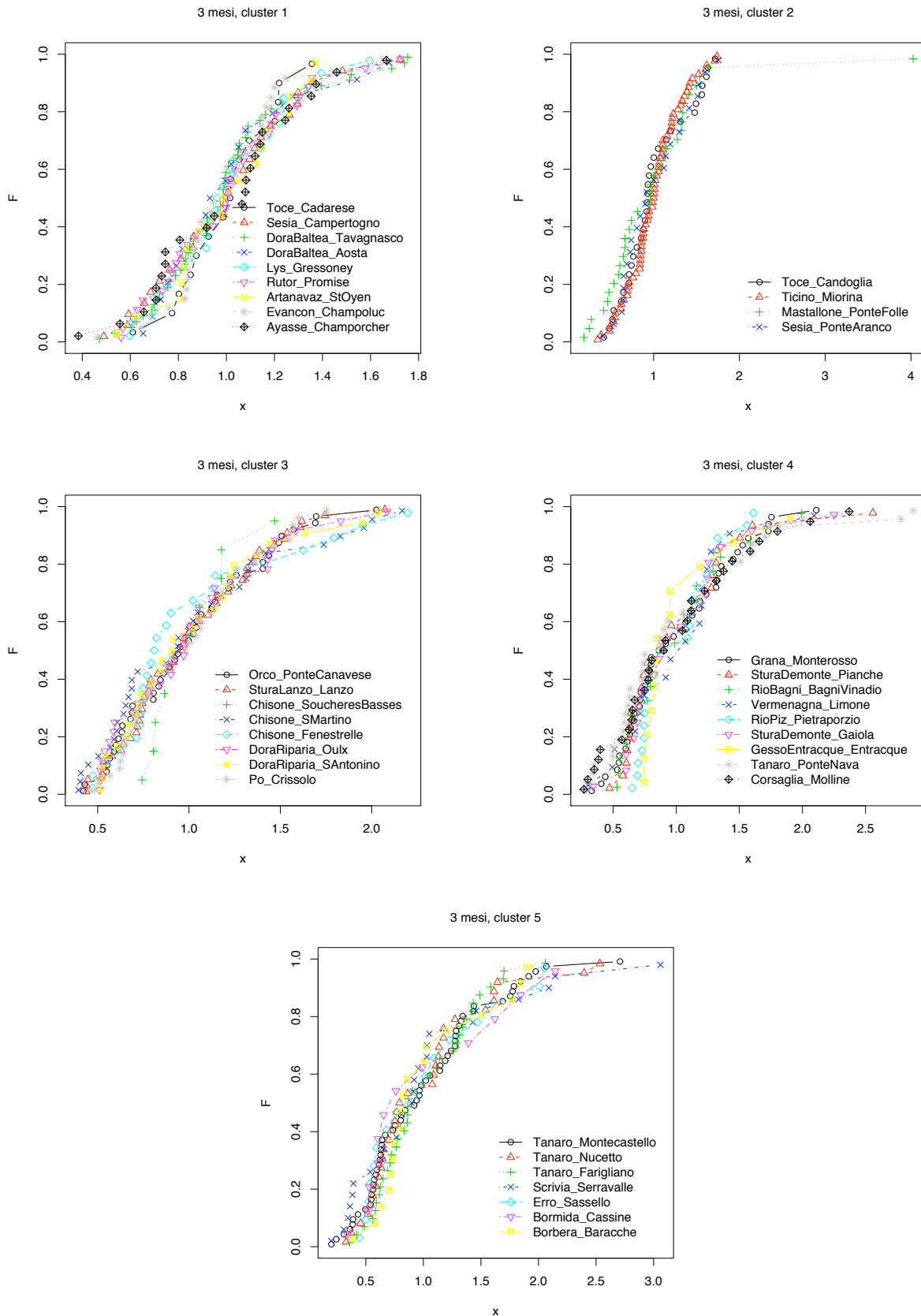


Figura F.32: Rappresentazione “plotting position” delle serie dei deflussi critici appartenenti ai cluster individuati (irrigazione a sommersione). (3/6)

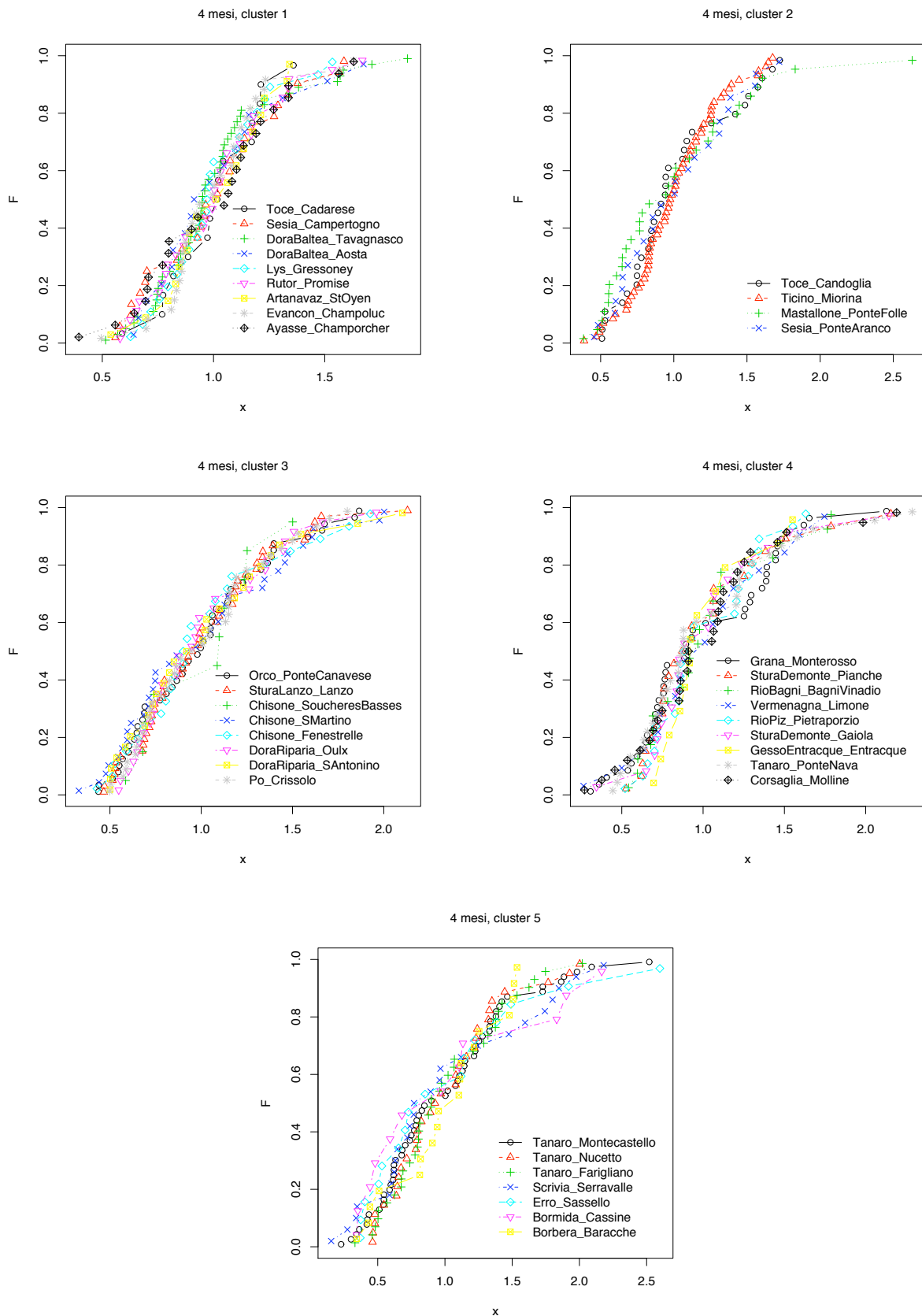


Figura F.32: Rappresentazione “plotting position” delle serie dei deflussi critici appartenenti ai cluster individuati (irrigazione a sommersione). (4/6)

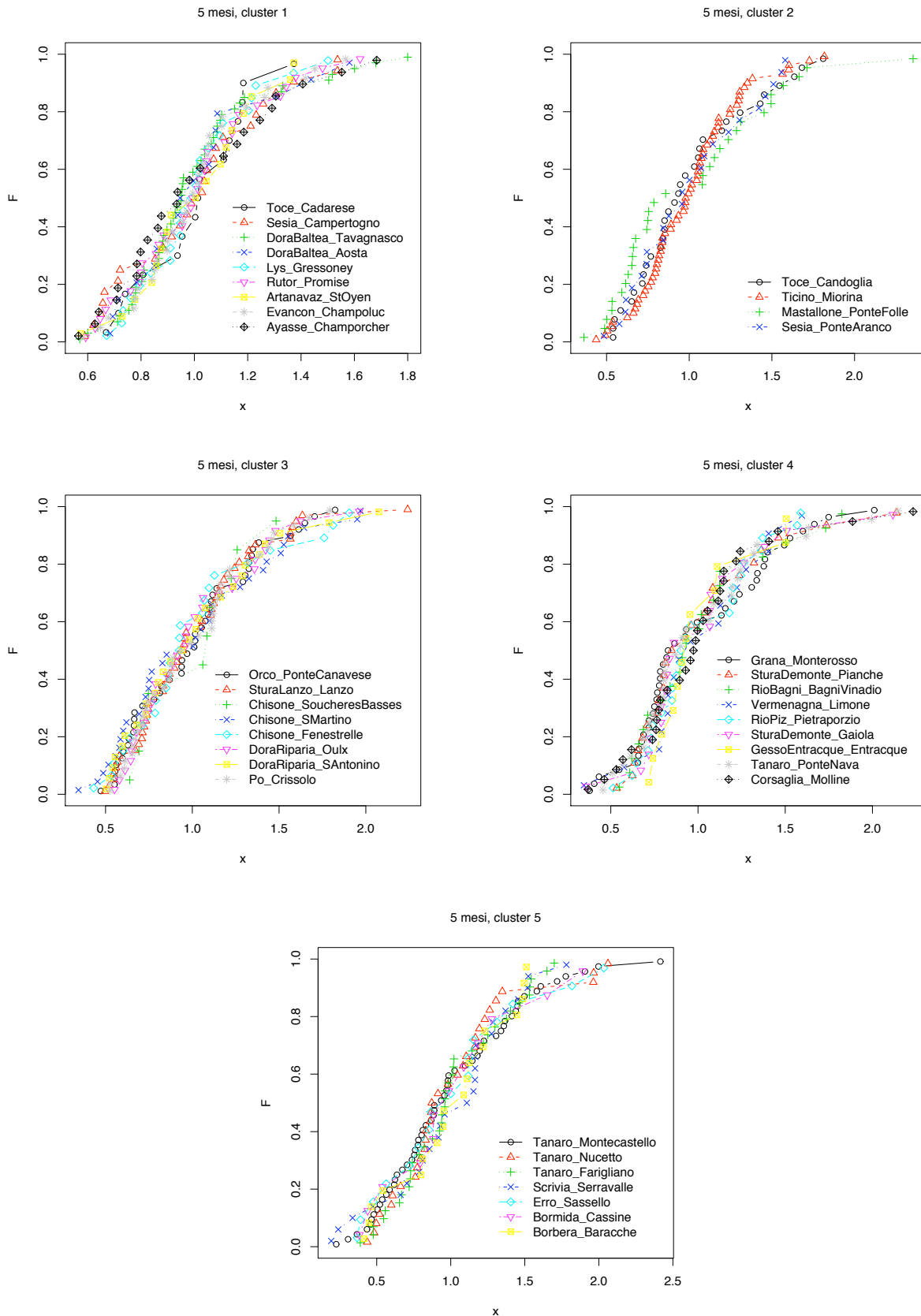


Figura F.32: Rappresentazione “plotting position” delle serie dei deflussi critici appartenenti ai cluster individuati (irrigazione a sommersione). (5/6)

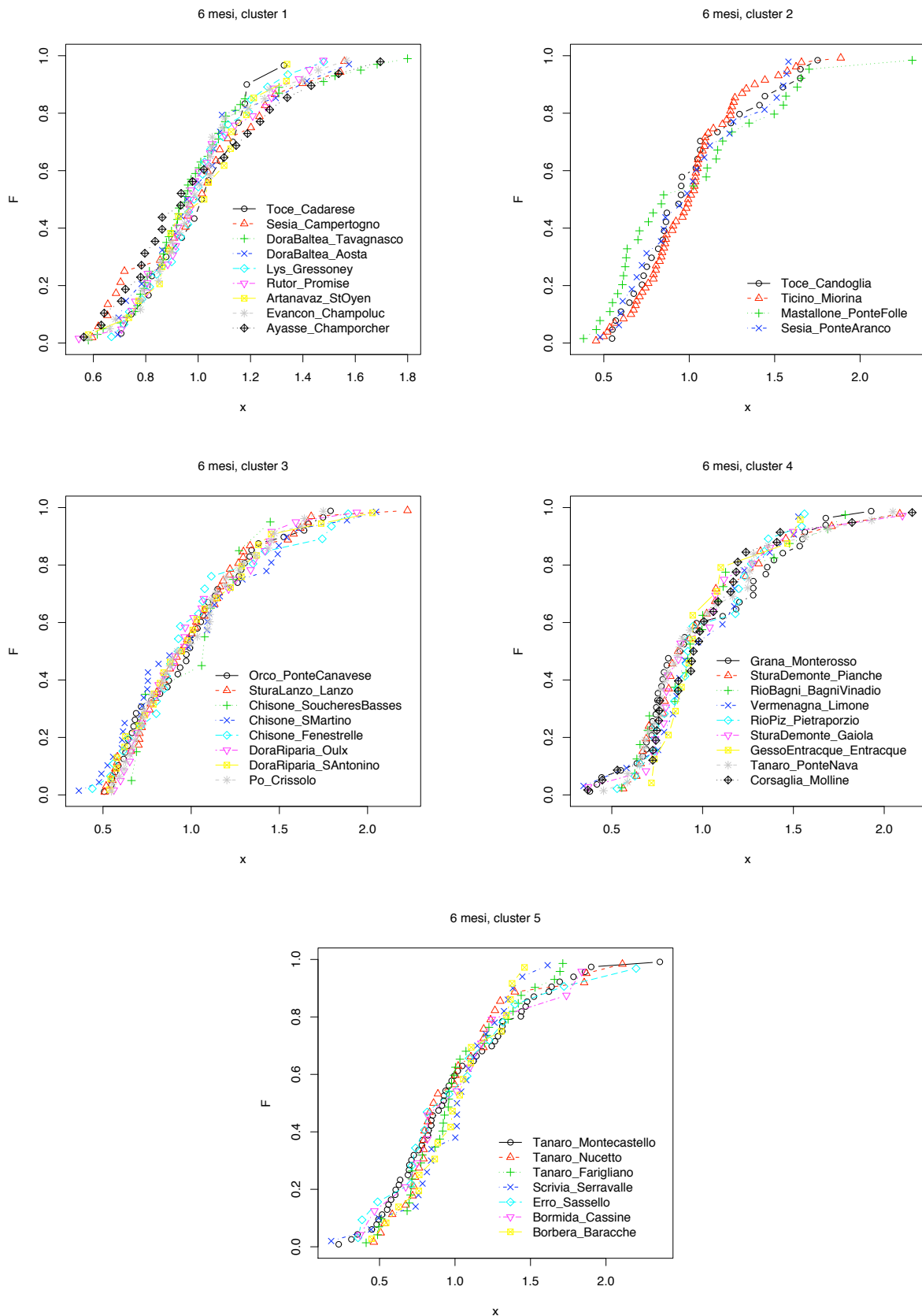


Figura F.32: Rappresentazione “plotting position” delle serie dei deflussi critici appartenenti ai cluster individuati (irrigazione a sommersione). (6/6)

F.4 Curve di possibilità di regolazione

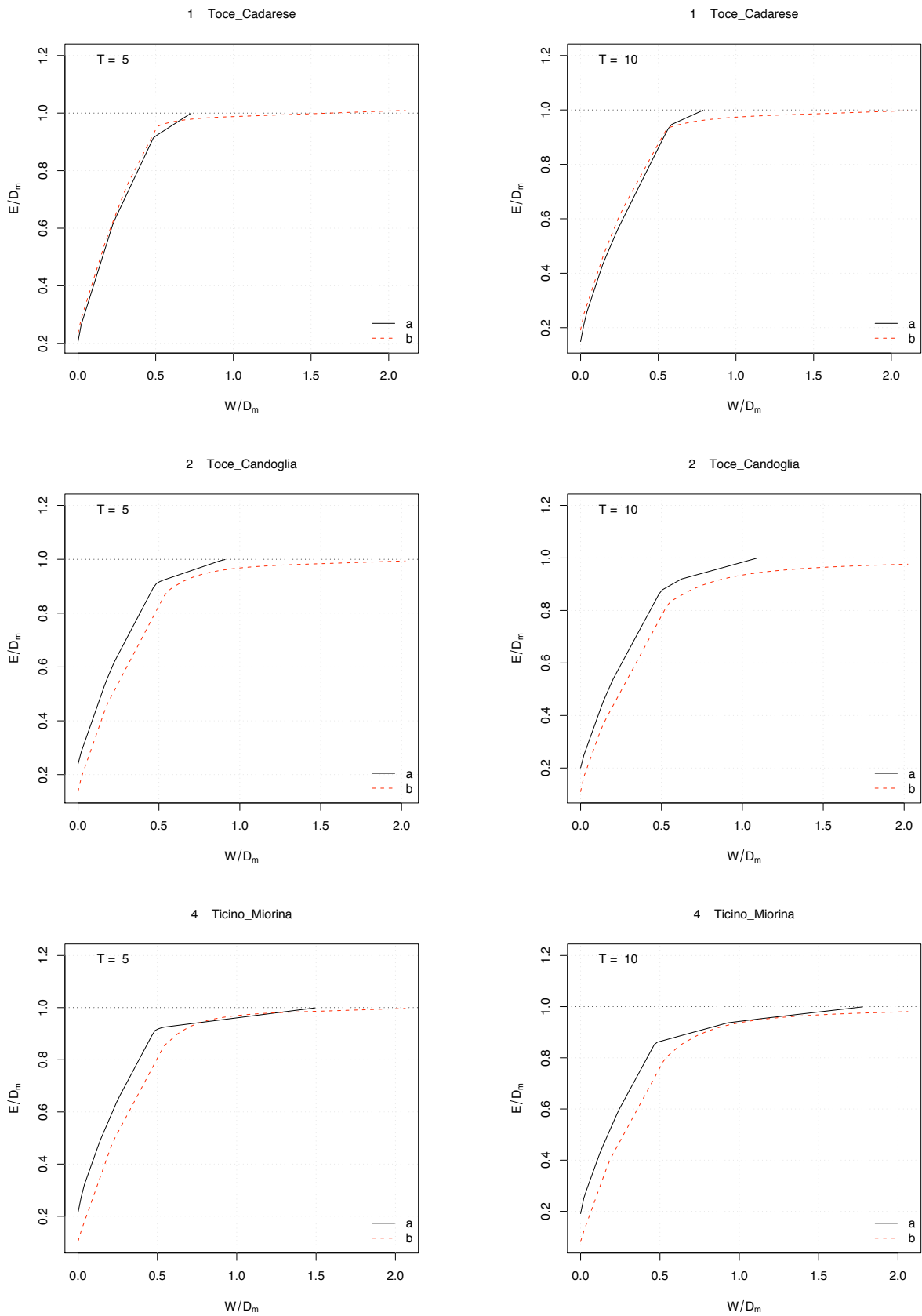


Figura F.33: Confronto tra curve di possibilità di regolazione adimensionali per colture umettanti: a) ottenute dai dati; b) ottenute dall'analisi regionale (1/13).

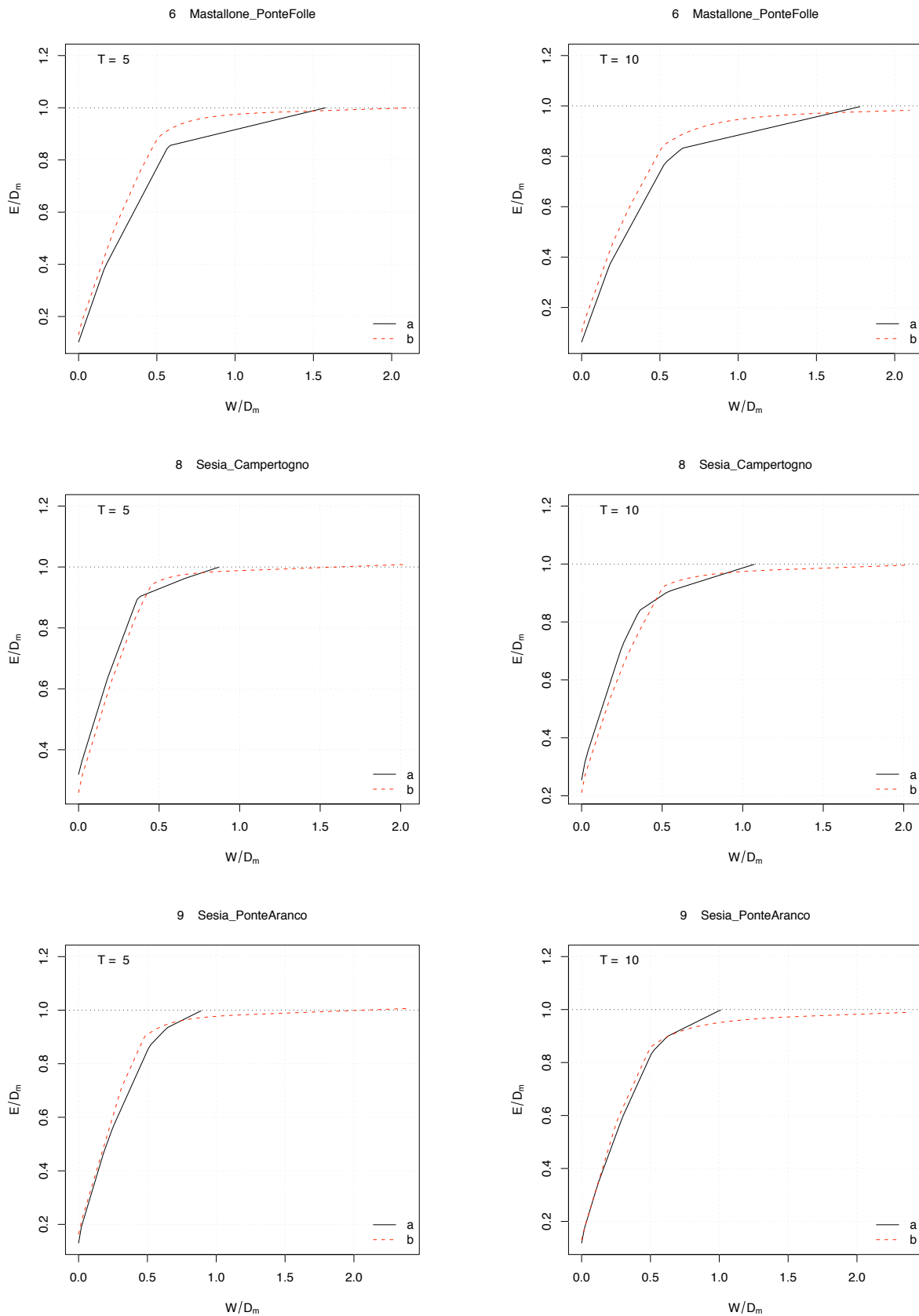


Figura F.33: Confronto tra curve di possibilità di regolazione adimensionali per colture umettanti: a) ottenute dai dati; b) ottenute dall'analisi regionale (2/13).

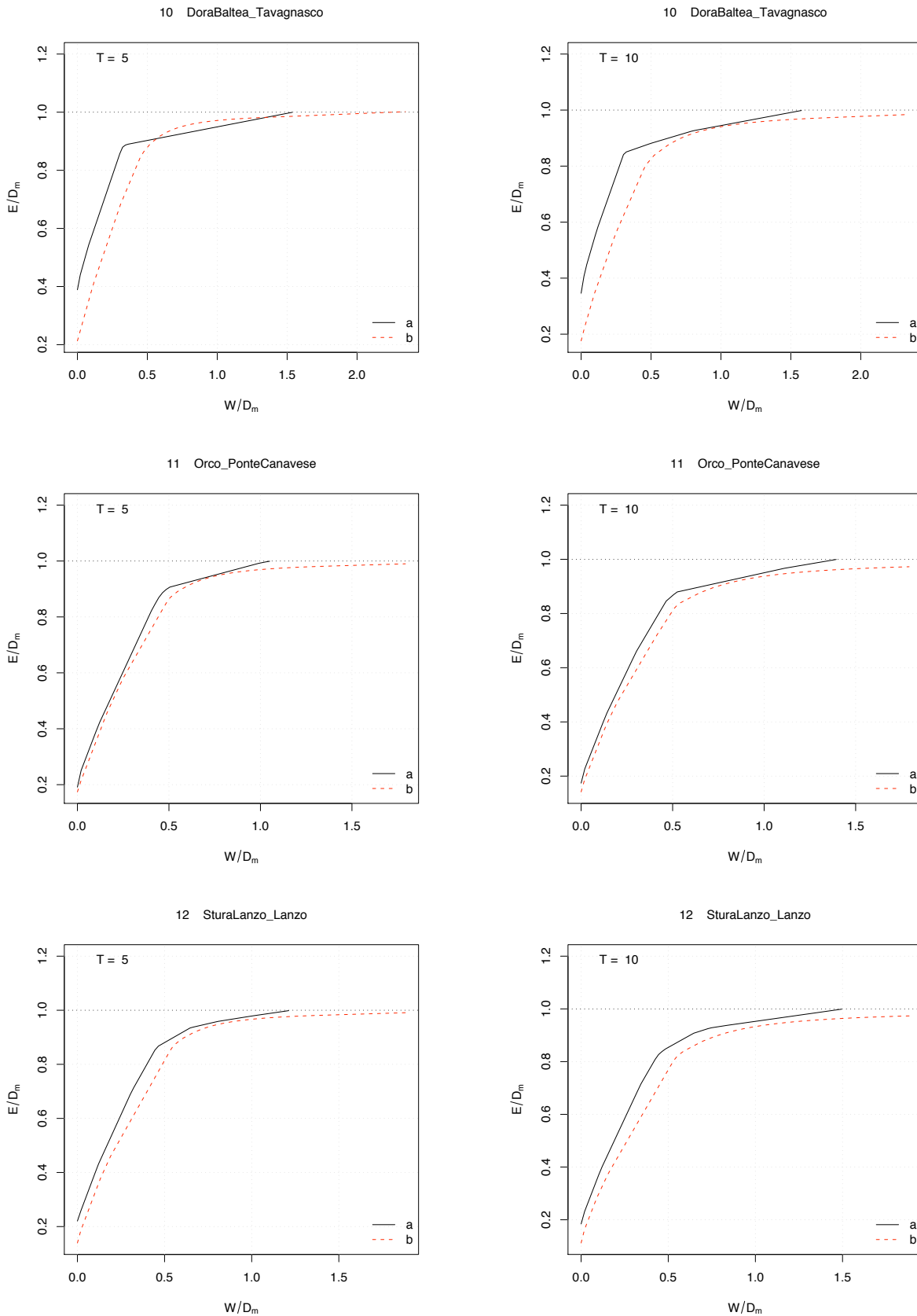


Figura F.33: Confronto tra curve di possibilità di regolazione adimensionali per colture umettanti: a) ottenute dai dati; b) ottenute dall'analisi regionale (3/13).

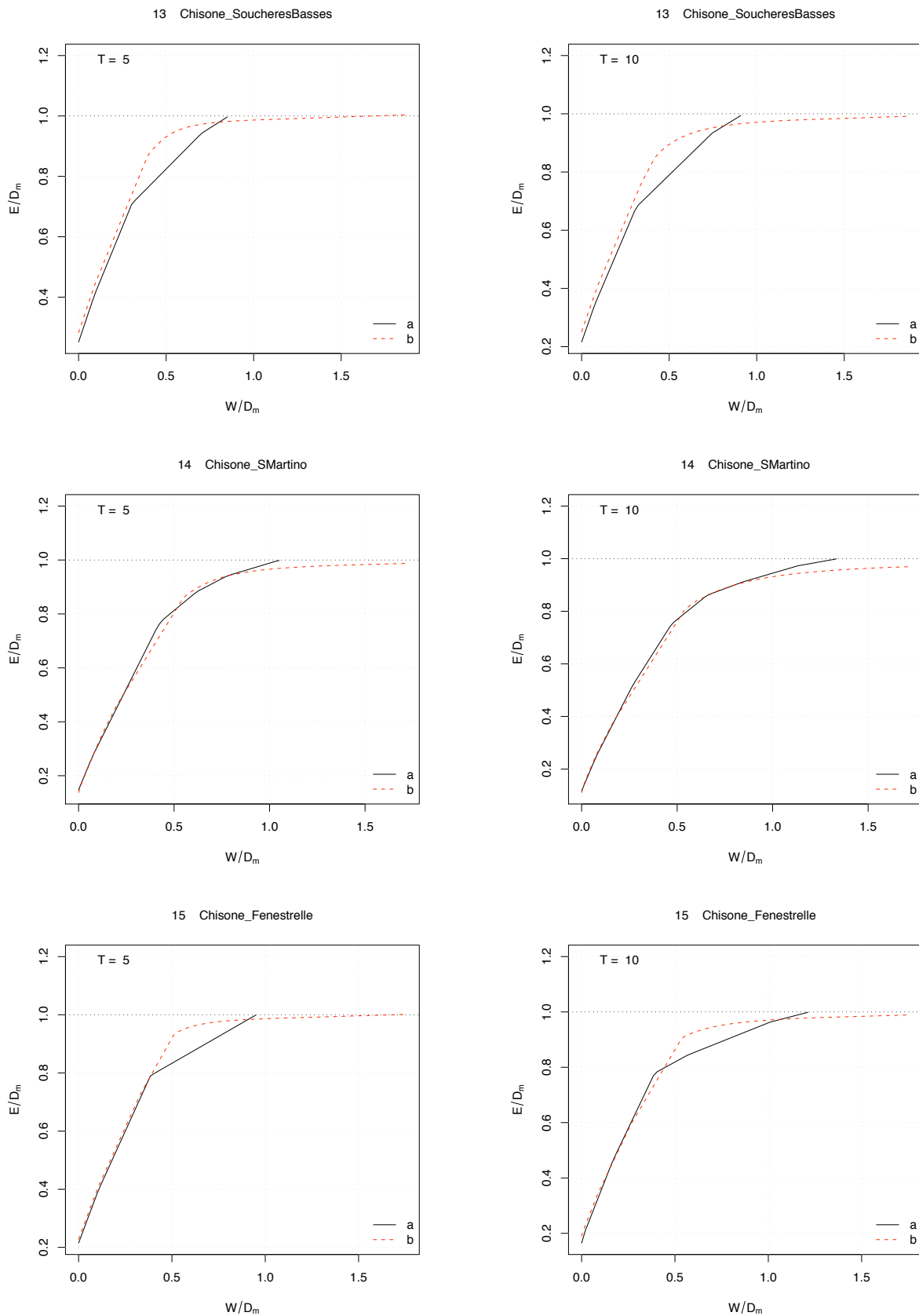


Figura F.33: Confronto tra curve di possibilità di regolazione adimensionali per colture umettanti: a) ottenute dai dati; b) ottenute dall'analisi regionale (4/13).

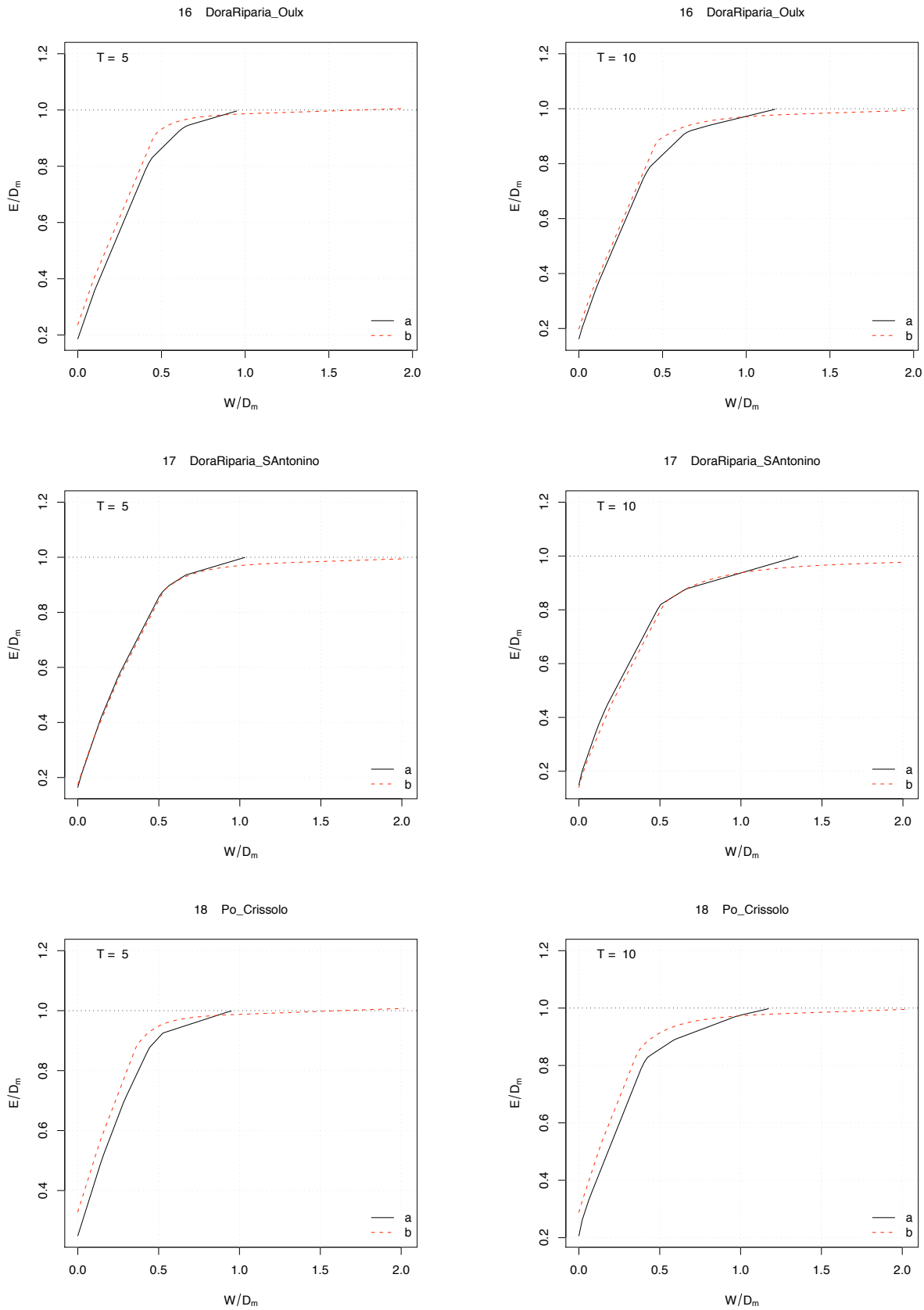


Figura F.33: Confronto tra curve di possibilità di regolazione adimensionali per colture umettanti: a) ottenute dai dati; b) ottenute dall'analisi regionale (5/13).

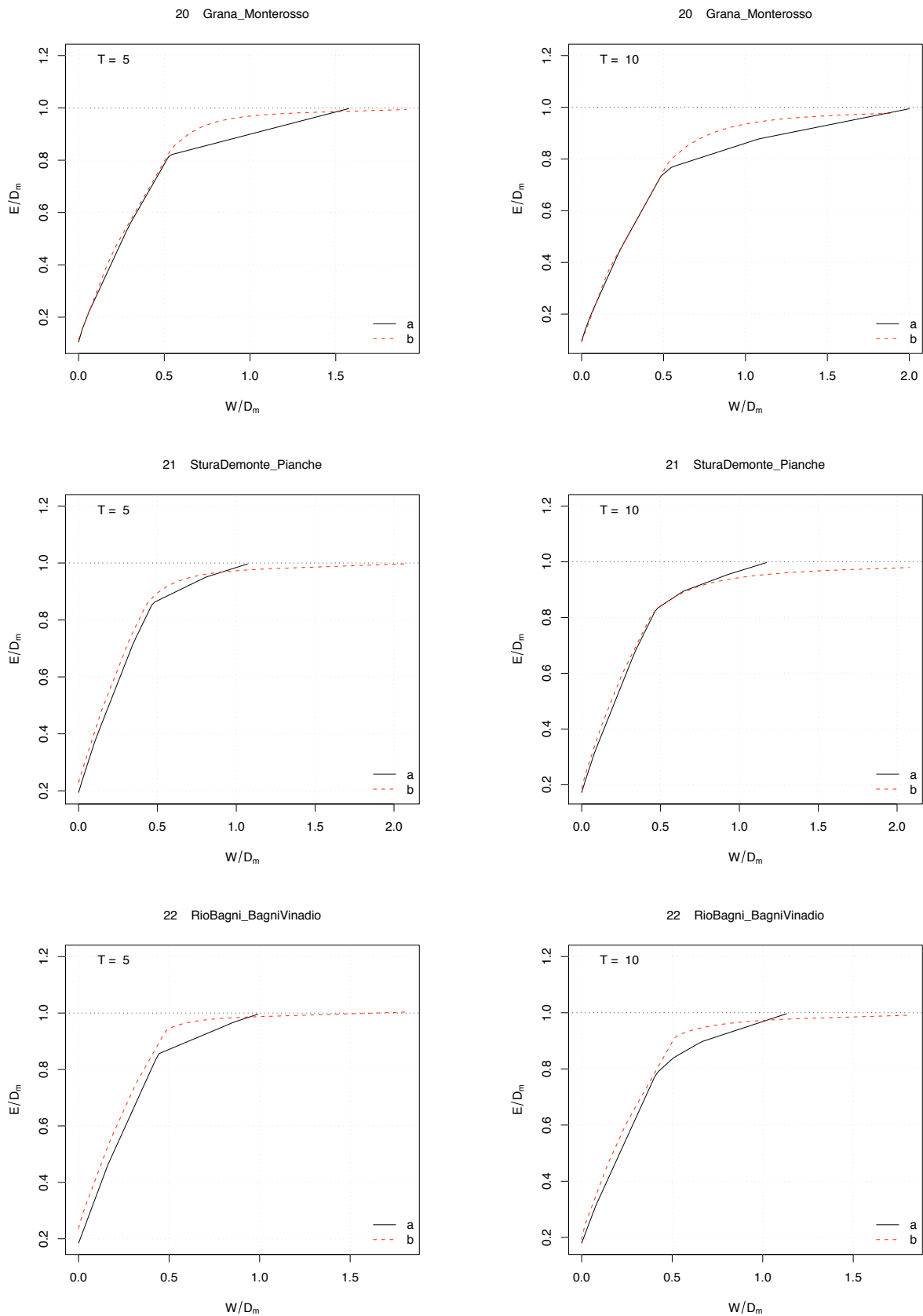


Figura F.33: Confronto tra curve di possibilità di regolazione adimensionali per colture umettanti: a) ottenute dai dati; b) ottenute dall'analisi regionale (6/13).

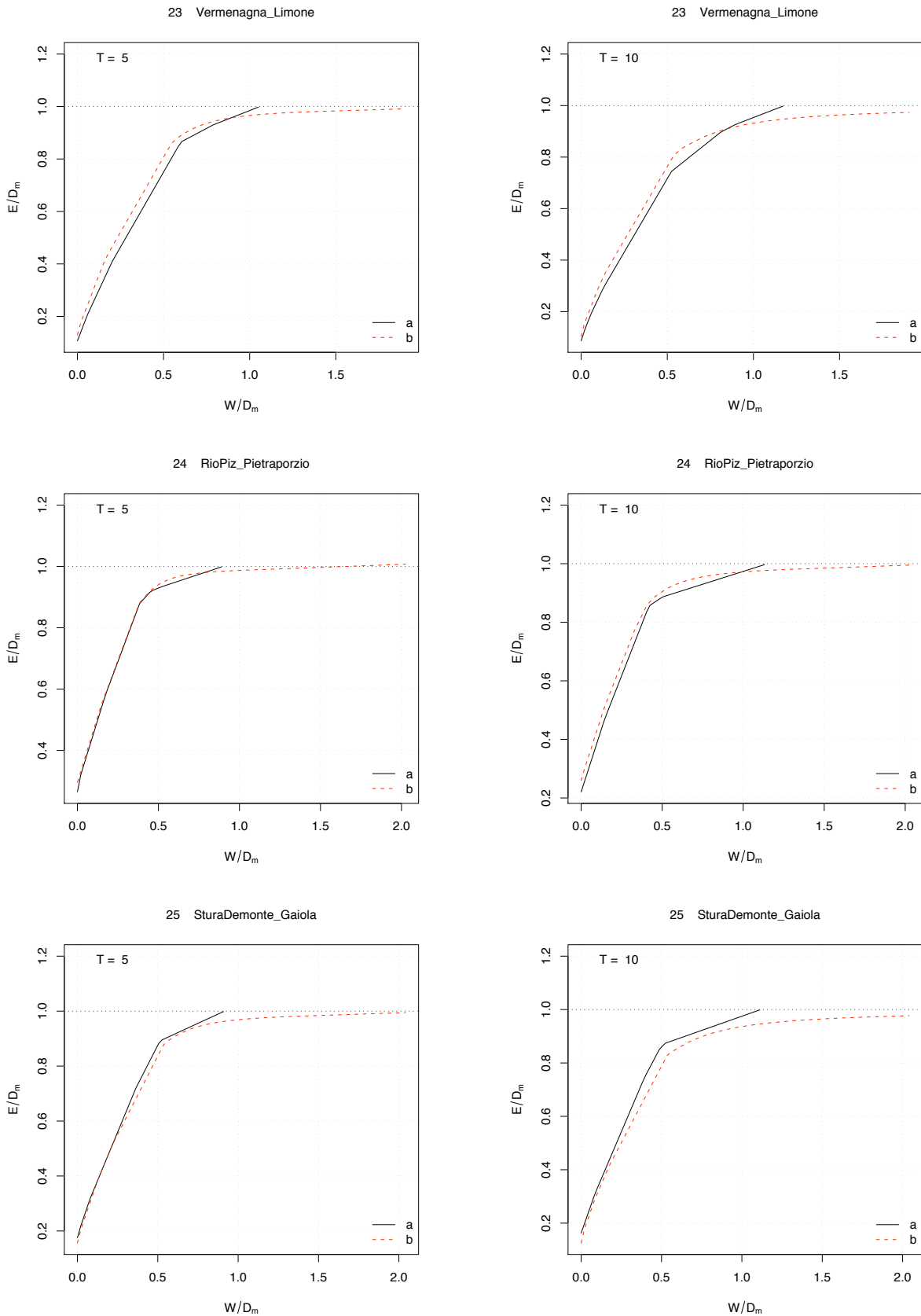


Figura F.33: Confronto tra curve di possibilità di regolazione adimensionali per colture umettanti: a) ottenute dai dati; b) ottenute dall'analisi regionale (7/13).

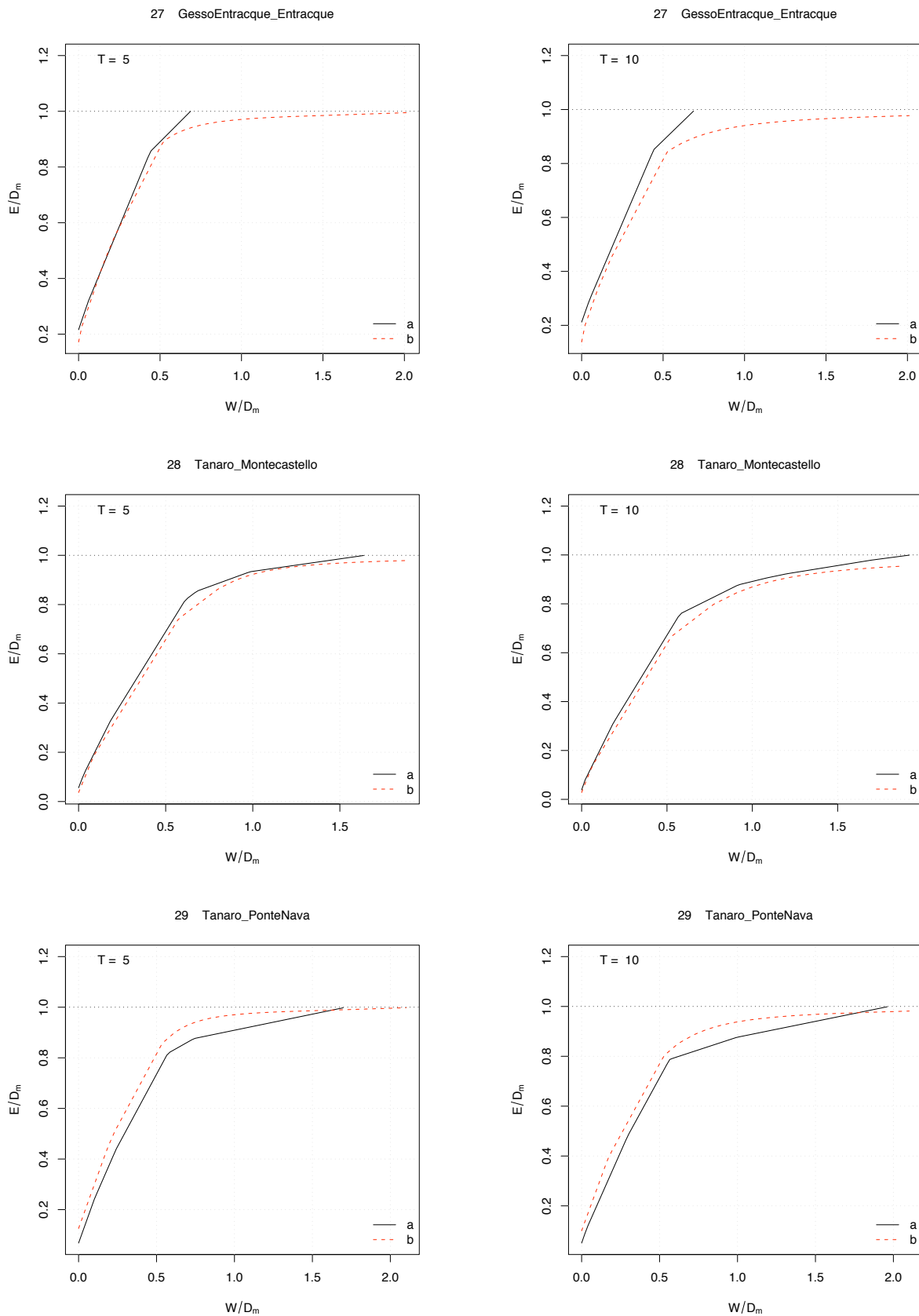


Figura F.33: Confronto tra curve di possibilità di regolazione adimensionali per colture umettanti: a) ottenute dai dati; b) ottenute dall'analisi regionale (8/13).

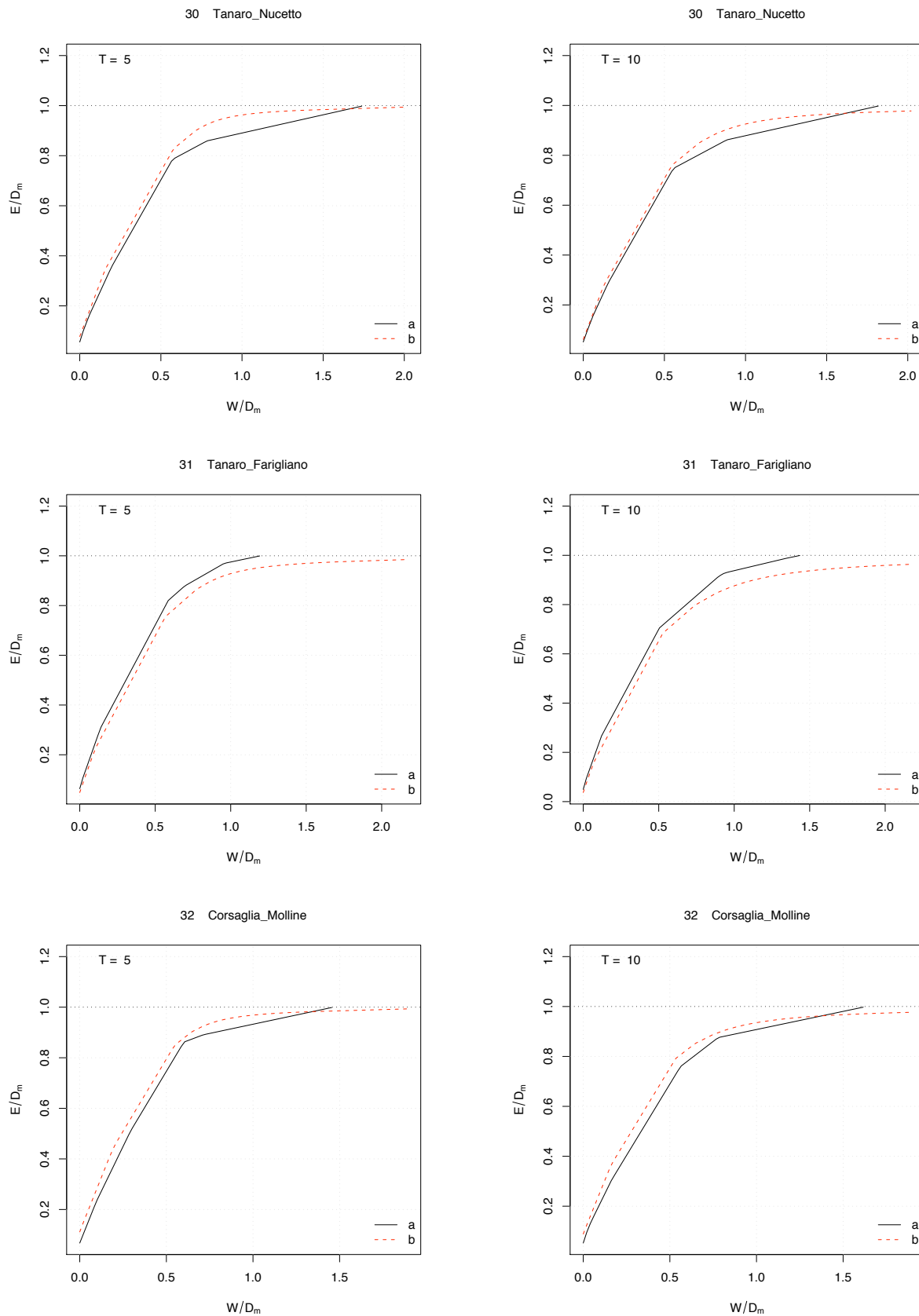


Figura F.33: Confronto tra curve di possibilità di regolazione adimensionali per colture umettanti: a) ottenute dai dati; b) ottenute dall'analisi regionale (9/13).

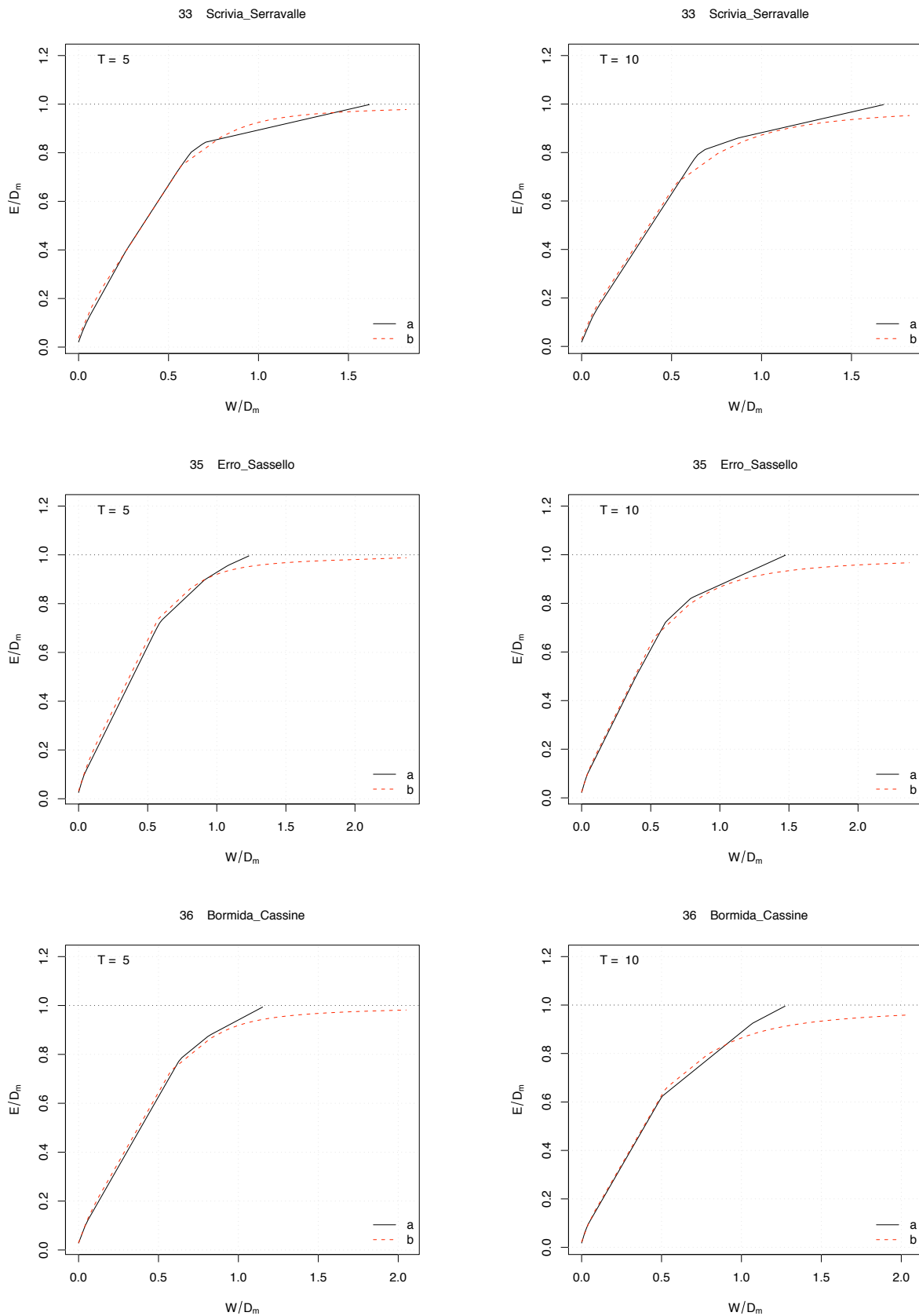


Figura F.33: Confronto tra curve di possibilità di regolazione adimensionali per colture umettanti: a) ottenute dai dati; b) ottenute dall'analisi regionale (10/13).

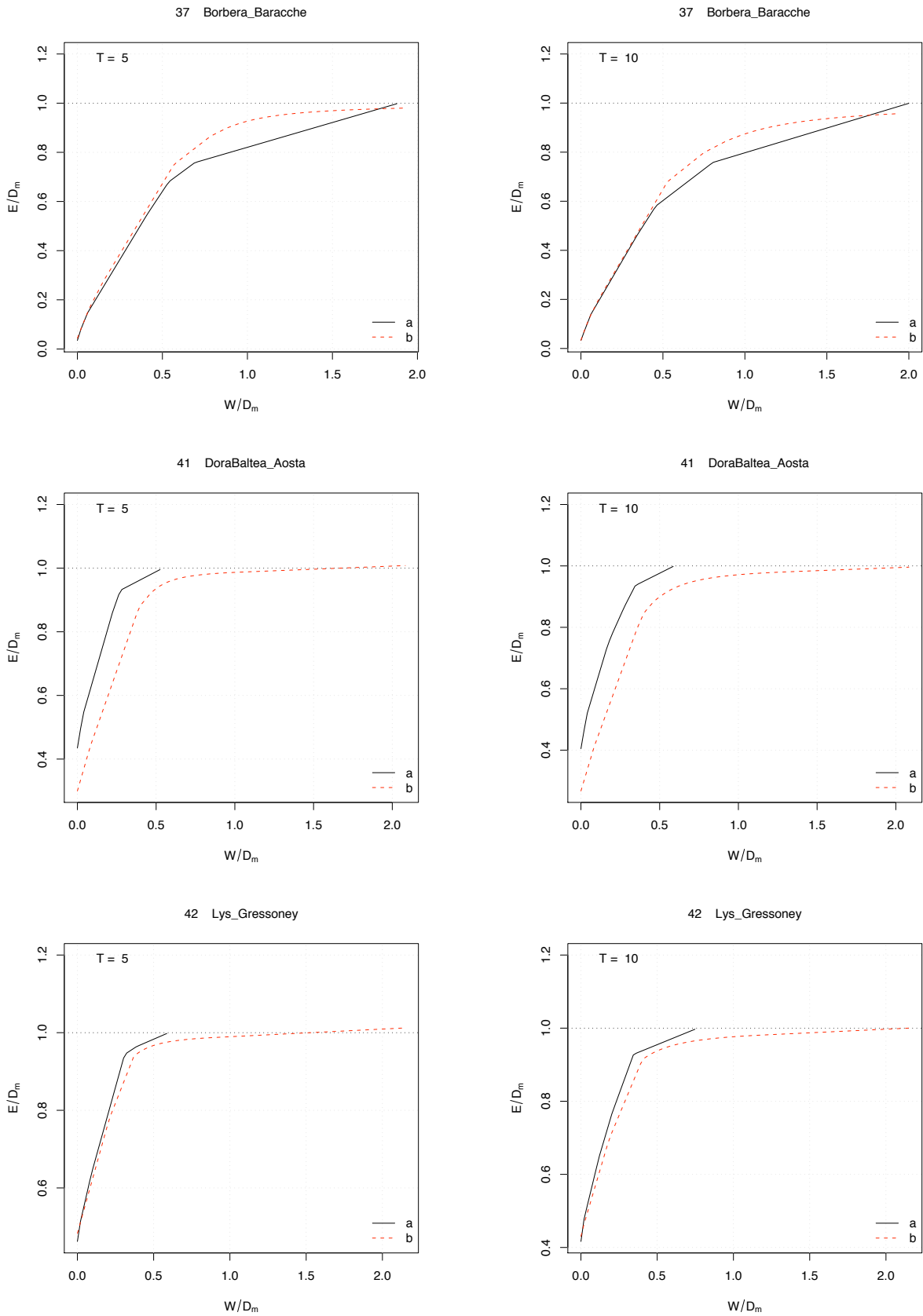


Figura F.33: Confronto tra curve di possibilità di regolazione adimensionali per colture umettanti: a) ottenute dai dati; b) ottenute dall'analisi regionale (11/13).

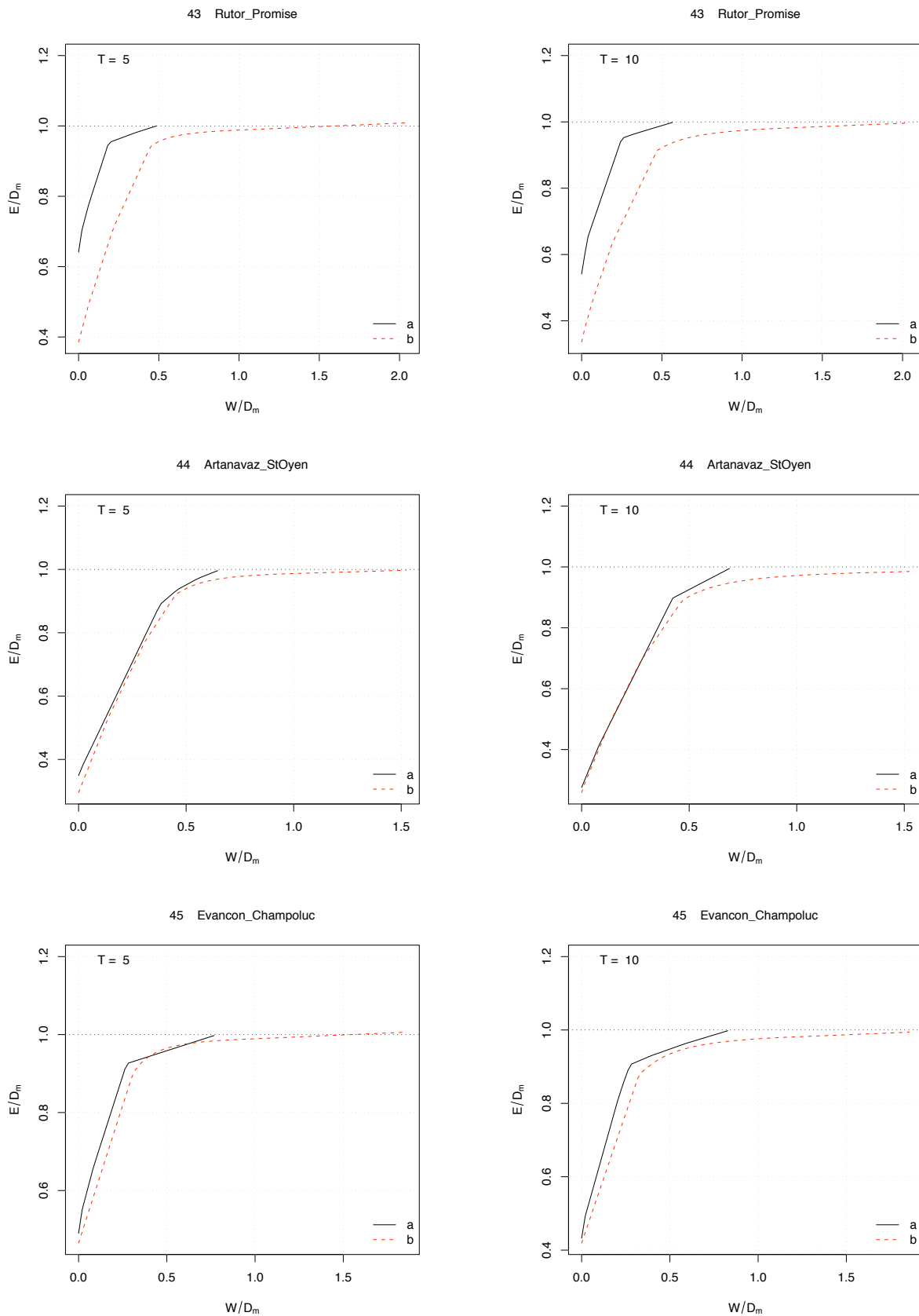


Figura F.33: Confronto tra curve di possibilità di regolazione adimensionali per colture umettanti: a) ottenute dai dati; b) ottenute dall'analisi regionale (12/13).

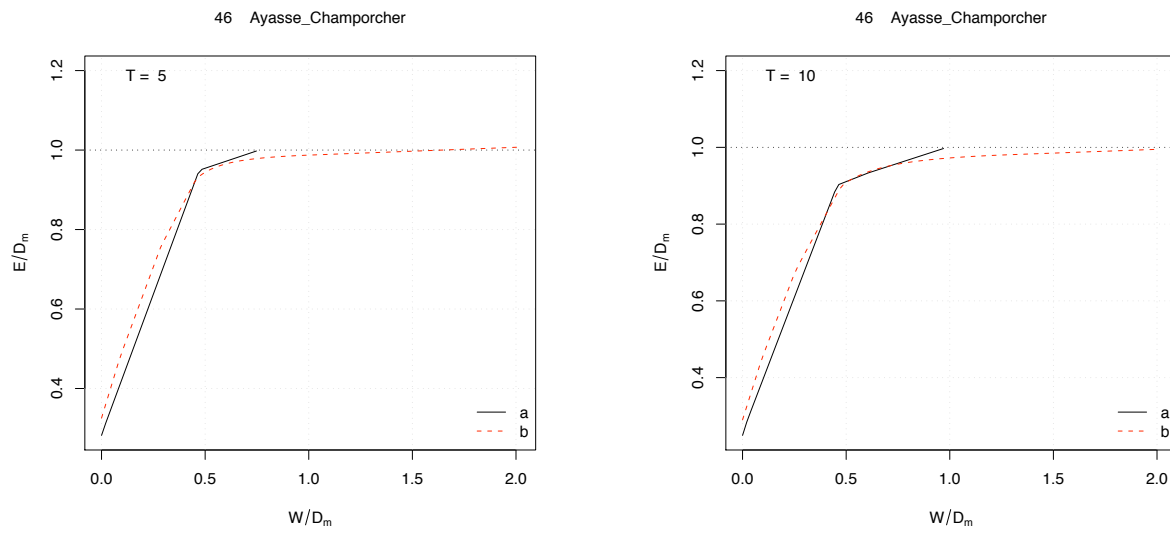


Figura F.33: Confronto tra curve di possibilità di regolazione adimensionali per colture umettanti: a) ottenute dai dati; b) ottenute dall'analisi regionale (13/13).

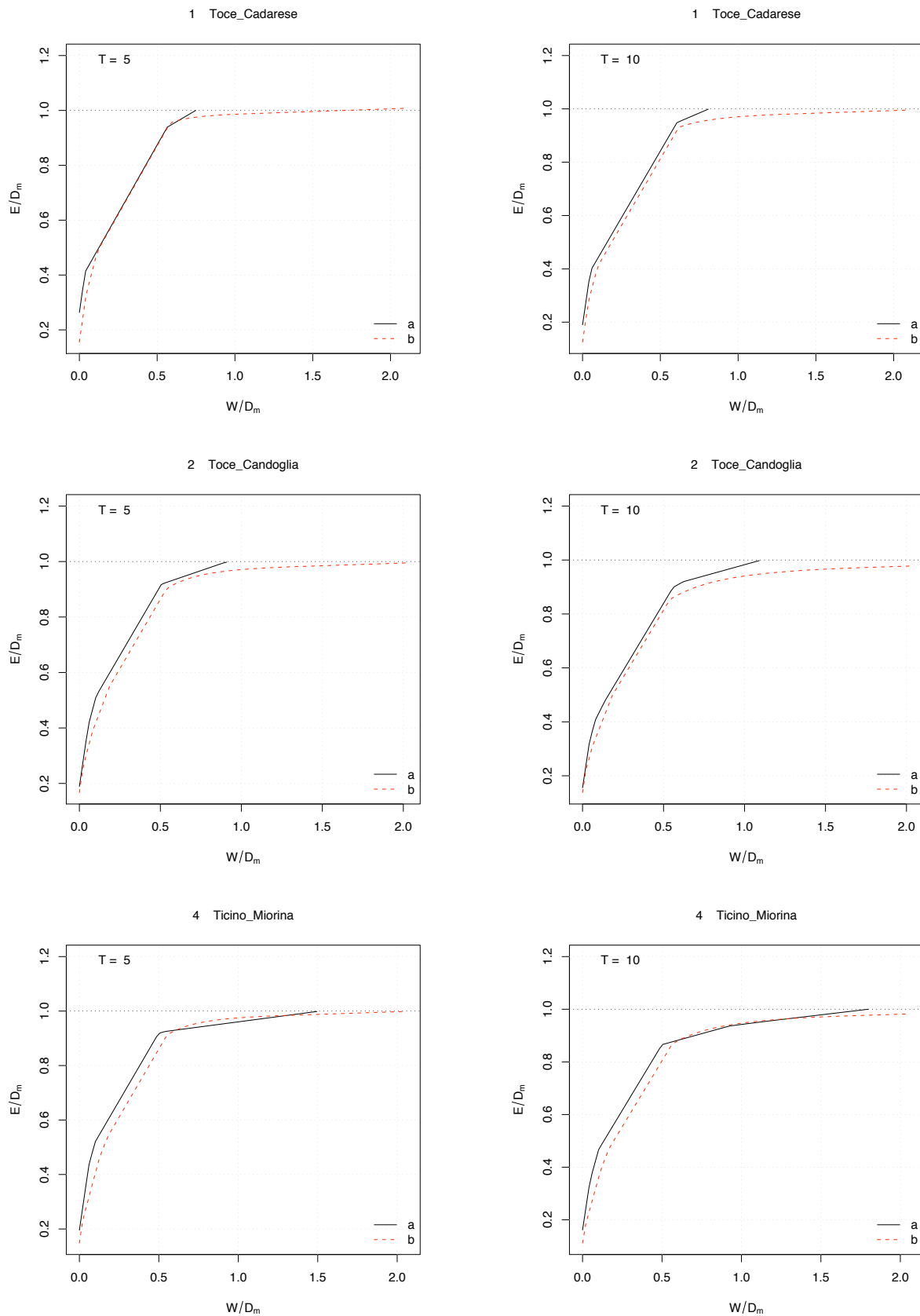


Figura F.34: Confronto tra curve di possibilità di regolazione adimensionali per irrigazione a sommersione: a) ottenute dai dati; b) ottenute dall'analisi regionale (1/13).

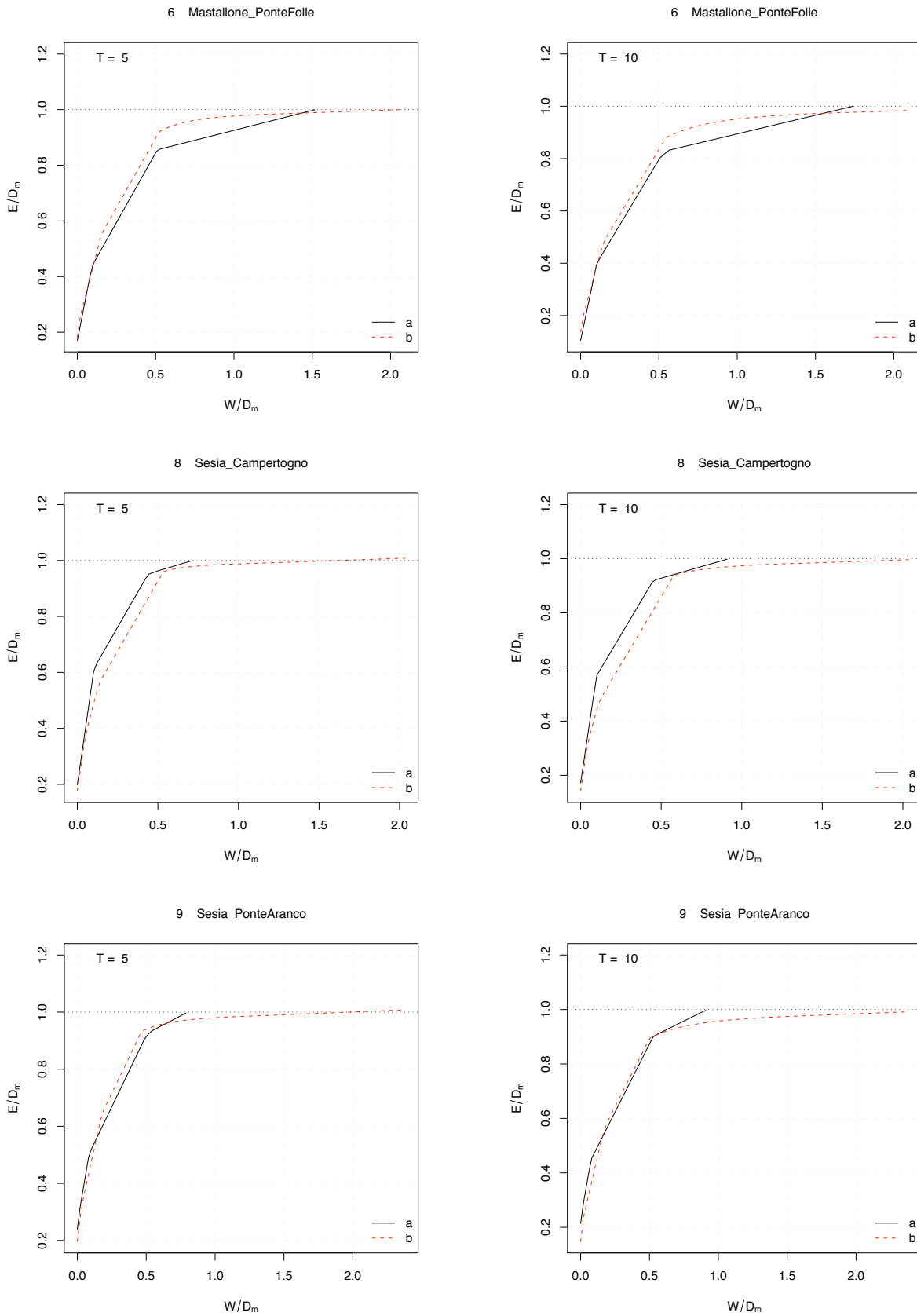


Figura F.34: Confronto tra curve di possibilità di regolazione adimensionali per irrigazione a sommersione: a) ottenute dai dati; b) ottenute dall'analisi regionale (2/13).

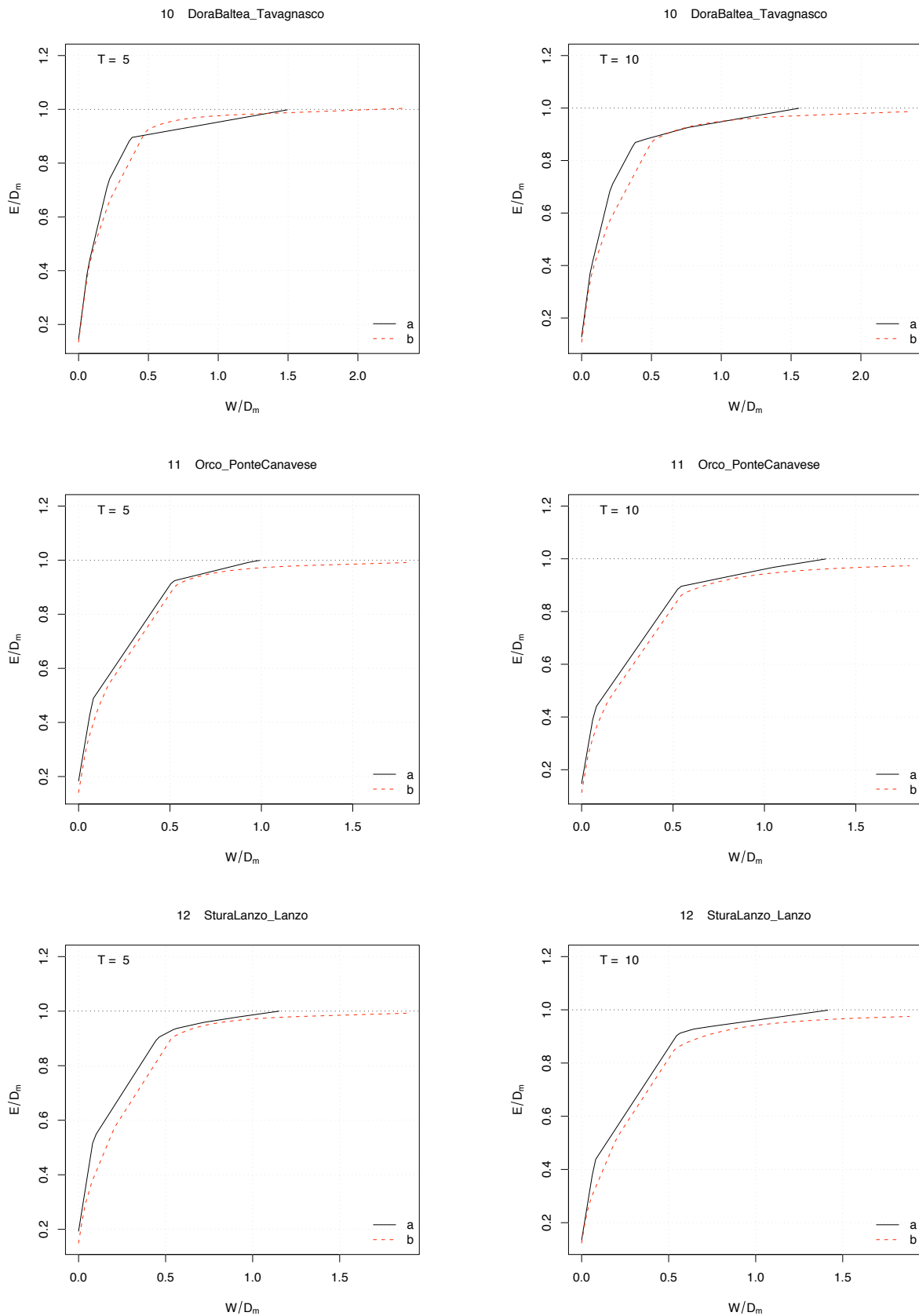


Figura F.34: Confronto tra curve di possibilità di regolazione adimensionali per irrigazione a sommersione: a) ottenute dai dati; b) ottenute dall'analisi regionale (3/13).

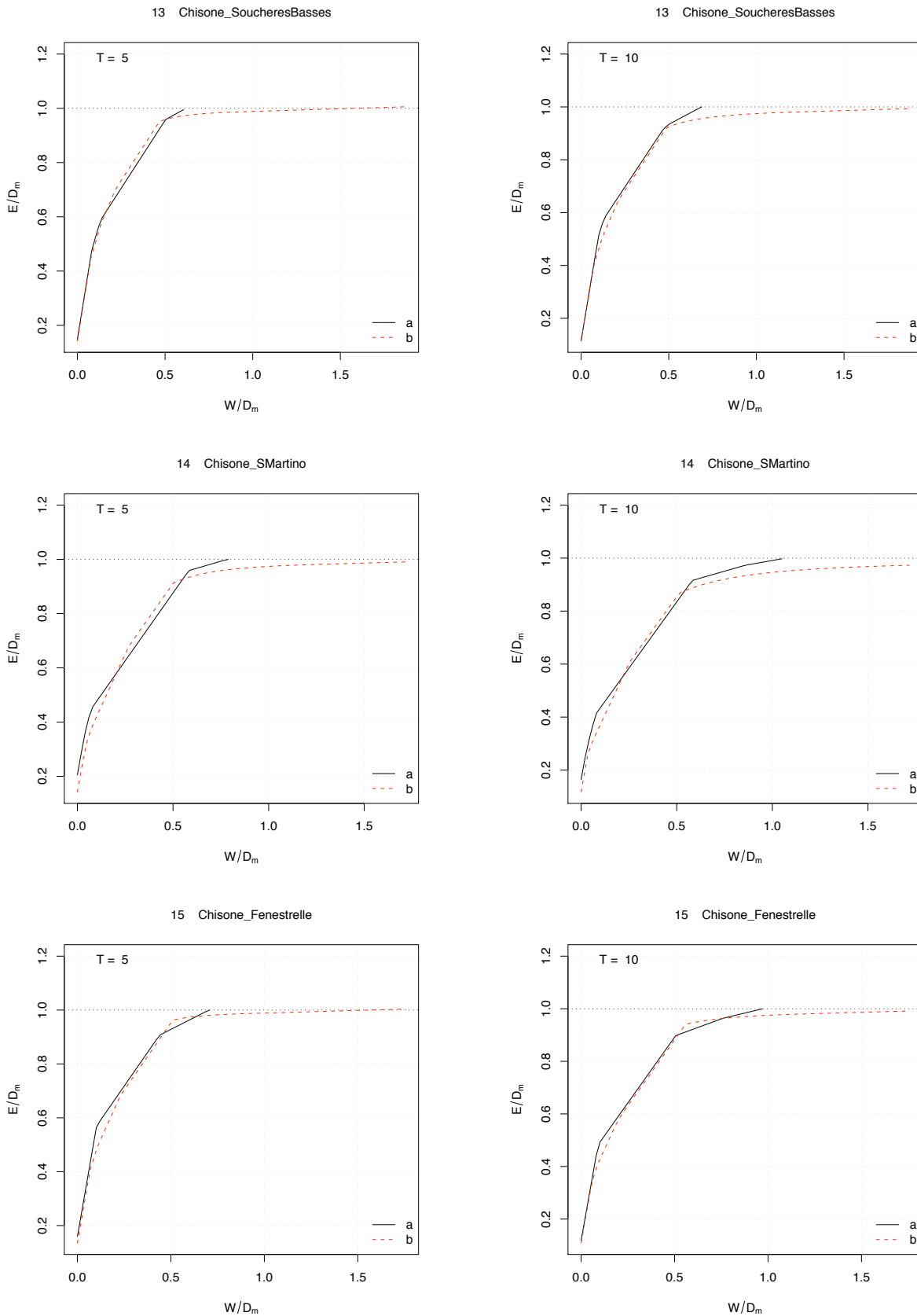


Figura F.34: Confronto tra curve di possibilità di regolazione adimensionali per irrigazione a sommersione: a) ottenute dai dati; b) ottenute dall'analisi regionale (4/13).

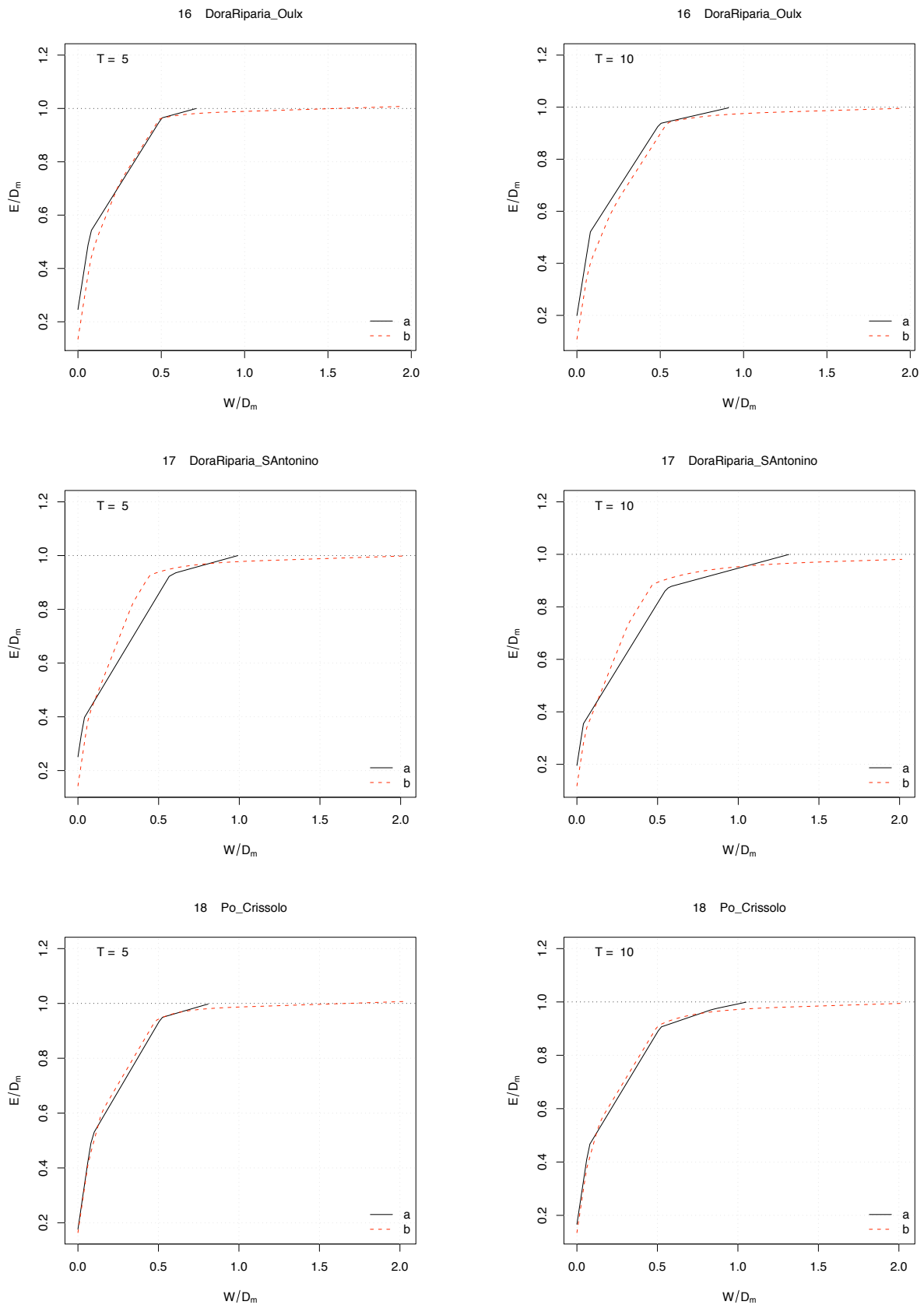


Figura F.34: Confronto tra curve di possibilità di regolazione adimensionali per irrigazione a sommersione: a) ottenute dai dati; b) ottenute dall'analisi regionale (5/13).

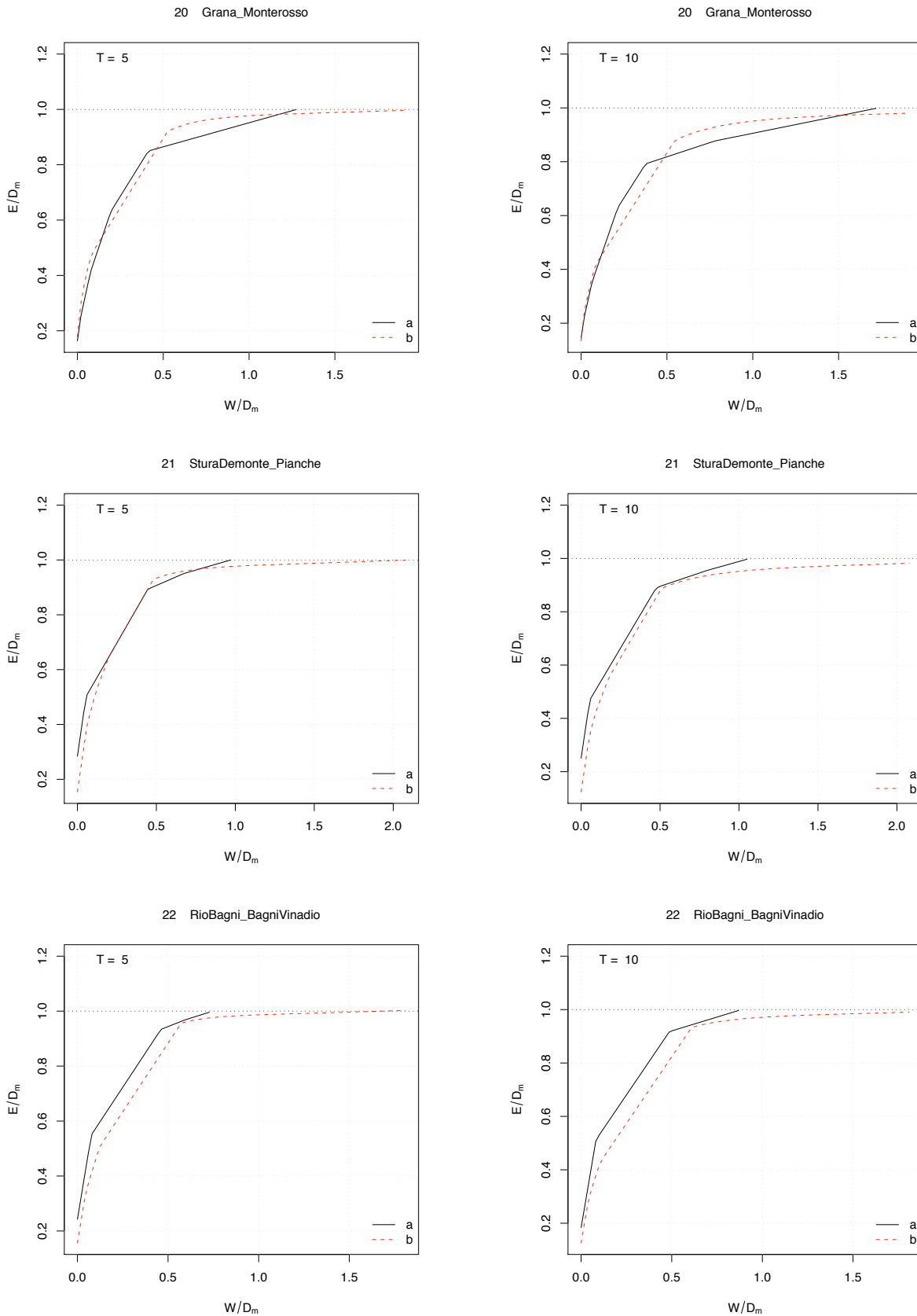


Figura F.34: Confronto tra curve di possibilità di regolazione adimensionali per irrigazione a sommersione: a) ottenute dai dati; b) ottenute dall'analisi regionale (6/13).

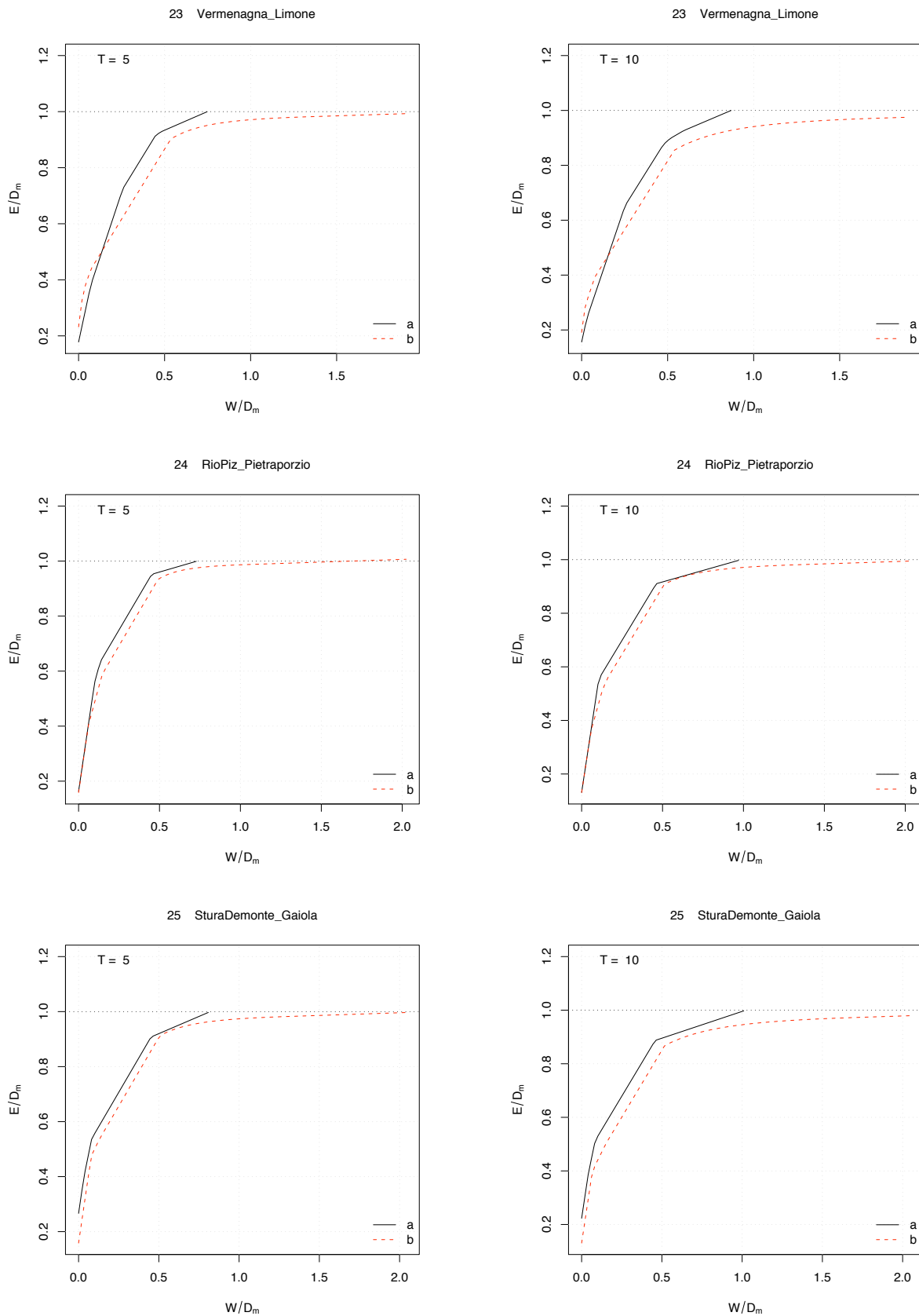


Figura F.34: Confronto tra curve di possibilità di regolazione adimensionali per irrigazione a sommersione: a) ottenute dai dati; b) ottenute dall'analisi regionale (7/13).

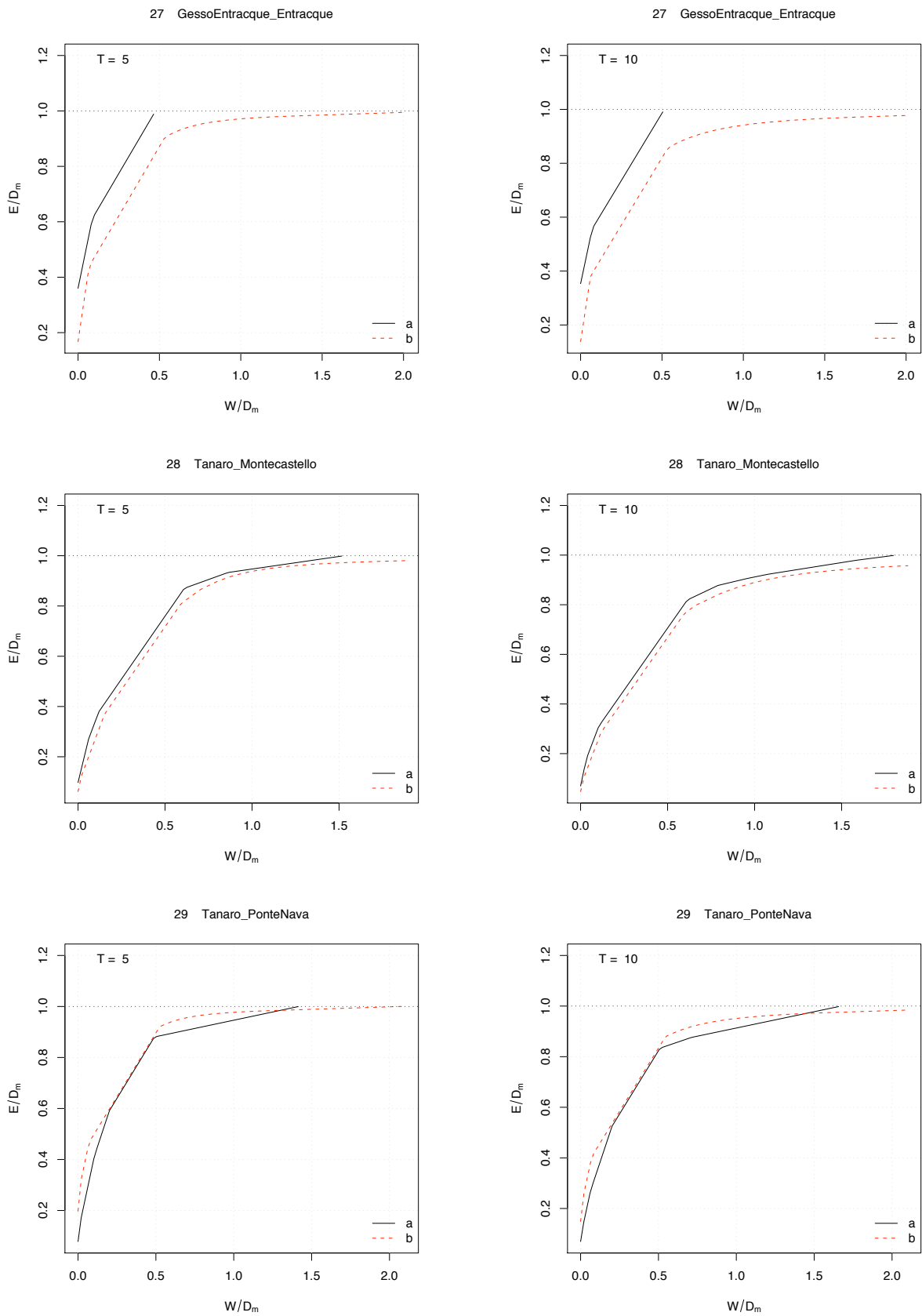


Figura F.34: Confronto tra curve di possibilità di regolazione adimensionali per irrigazione a sommersione: a) ottenute dai dati; b) ottenute dall'analisi regionale (8/13).

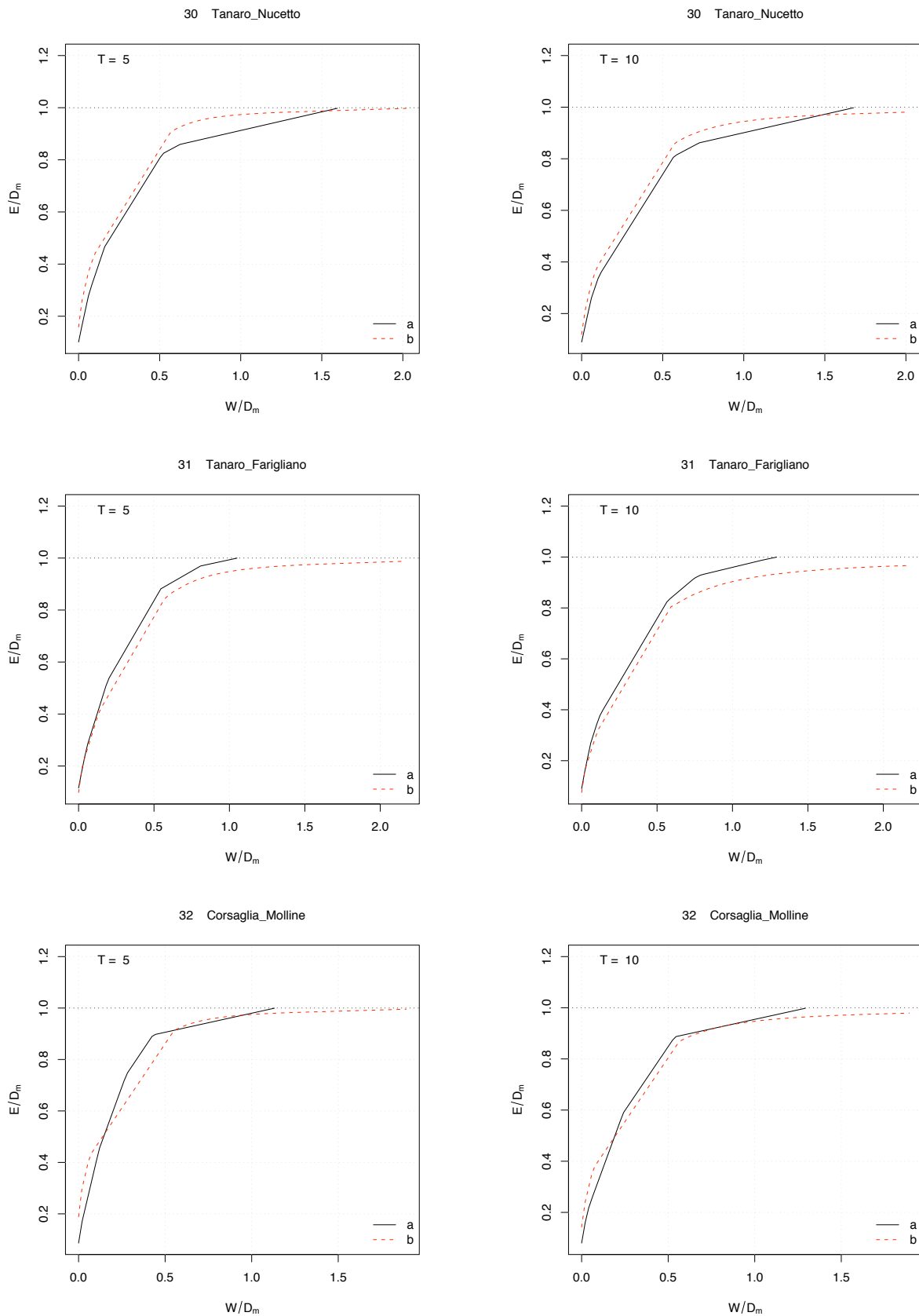


Figura F.34: Confronto tra curve di possibilità di regolazione adimensionali per irrigazione a sommersione: a) ottenute dai dati; b) ottenute dall'analisi regionale (9/13).

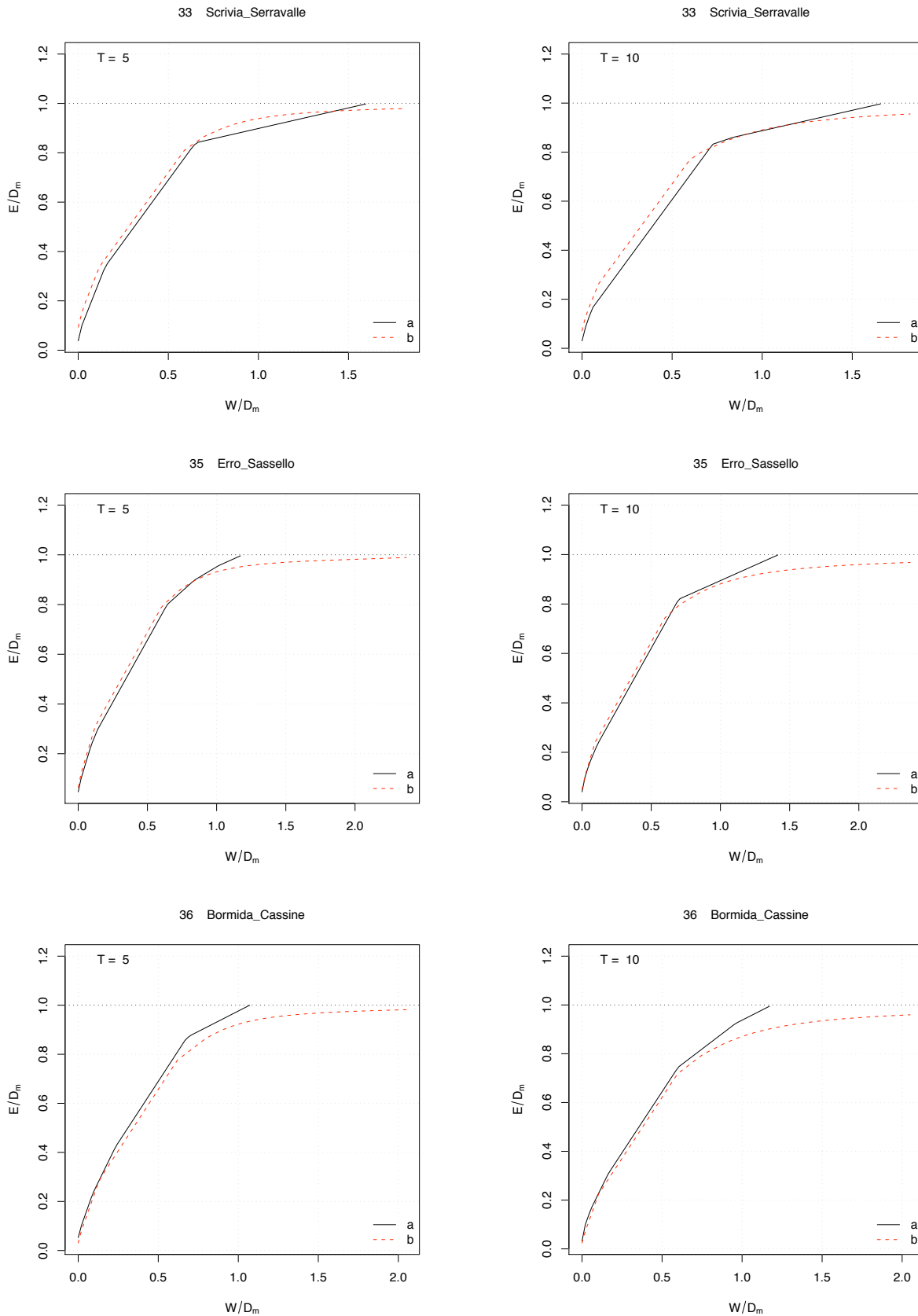


Figura F.34: Confronto tra curve di possibilità di regolazione adimensionali per irrigazione a sommersione: a) ottenute dai dati; b) ottenute dall'analisi regionale (10/13).

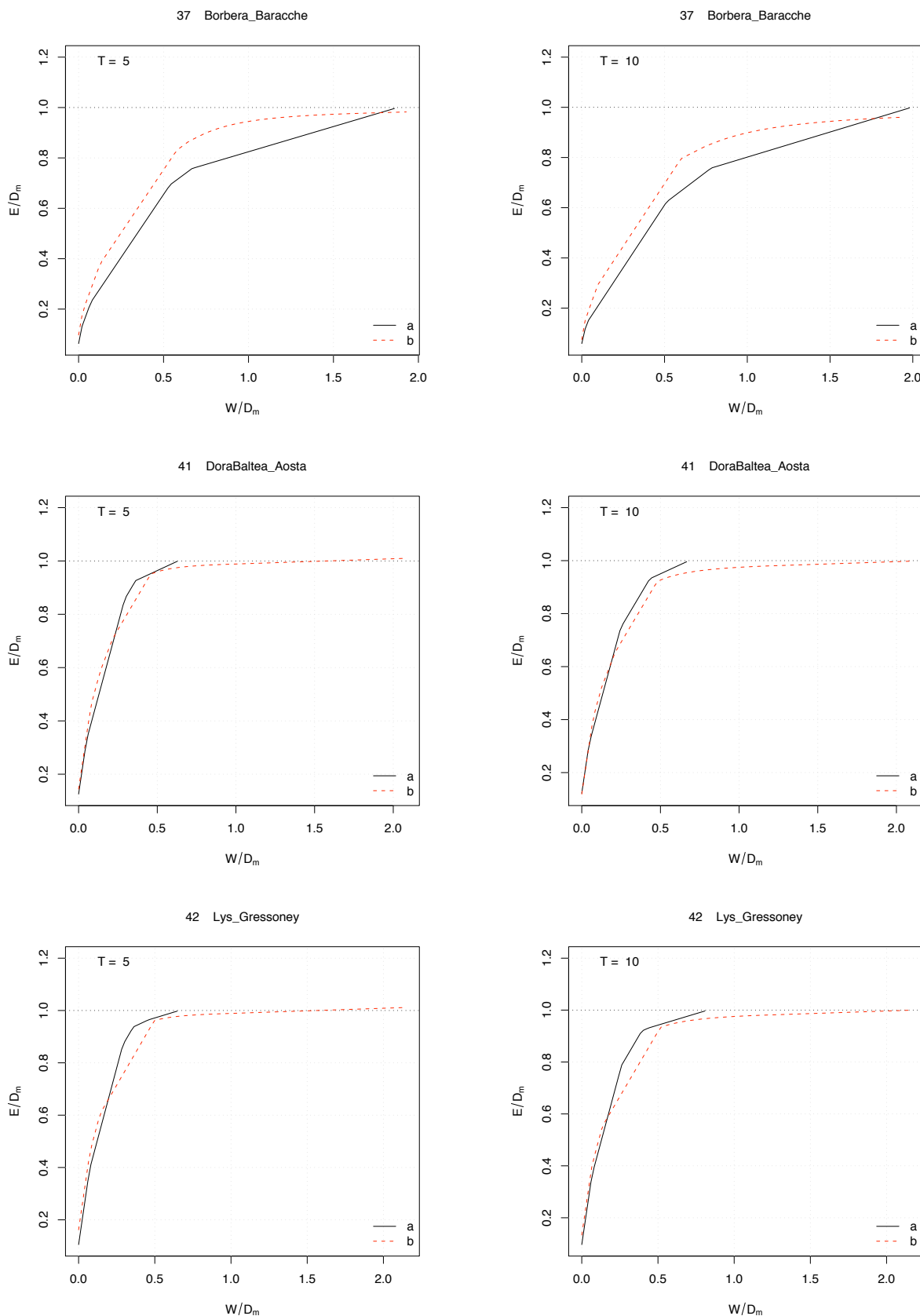


Figura F.34: Confronto tra curve di possibilità di regolazione adimensionali per irrigazione a sommersione: a) ottenute dai dati; b) ottenute dall'analisi regionale (11/13).

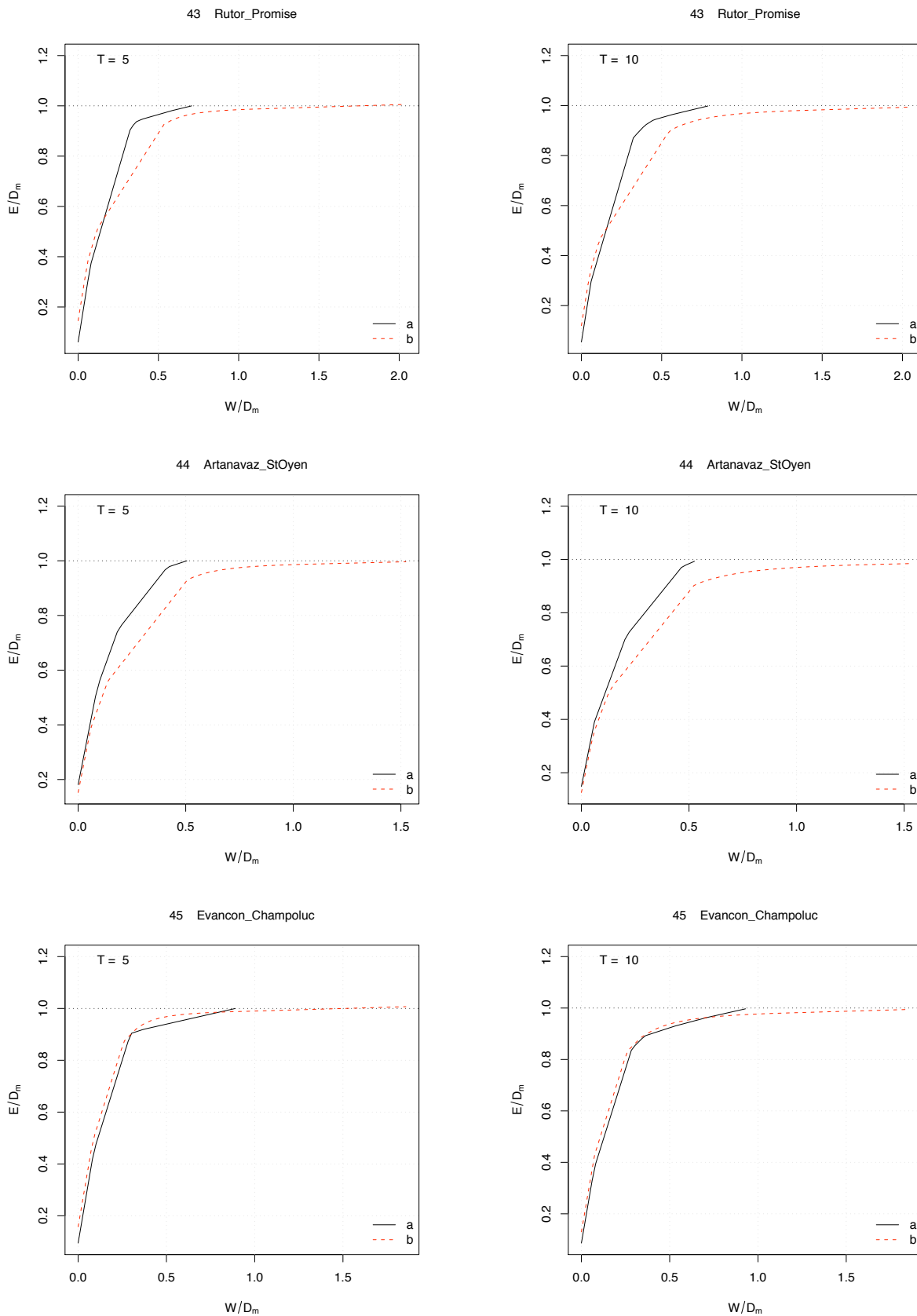


Figura F.34: Confronto tra curve di possibilità di regolazione adimensionali per irrigazione a sommersione: a) ottenute dai dati; b) ottenute dall'analisi regionale (12/13).

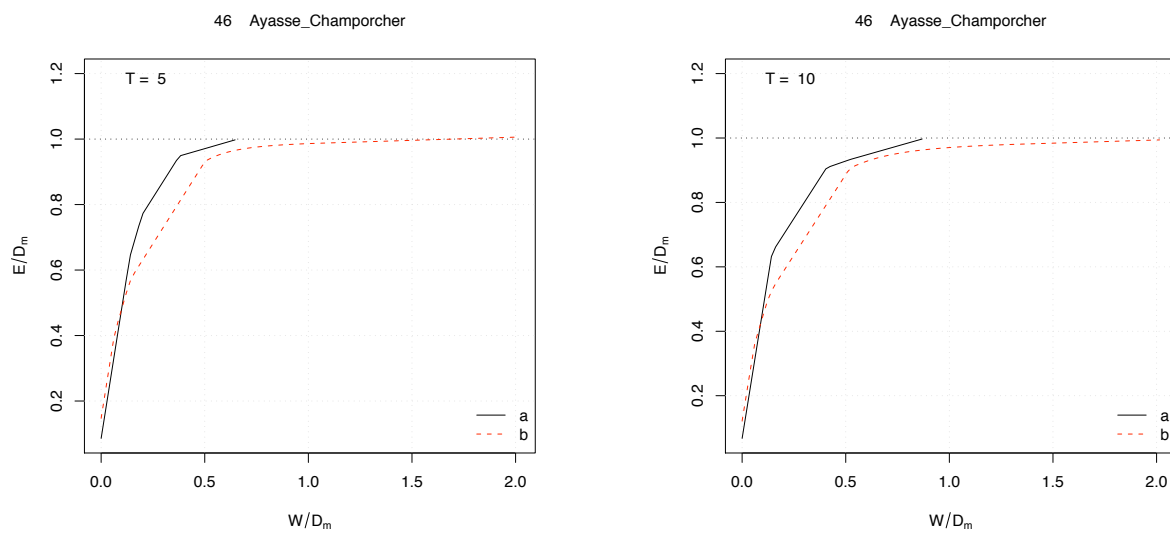


Figura F.34: Confronto tra curve di possibilità di regolazione adimensionali per irrigazione a sommersione: a) ottenute dai dati; b) ottenute dall'analisi regionale (13/13).

F.5 Applicazione dell'analisi agli involucri in progetto

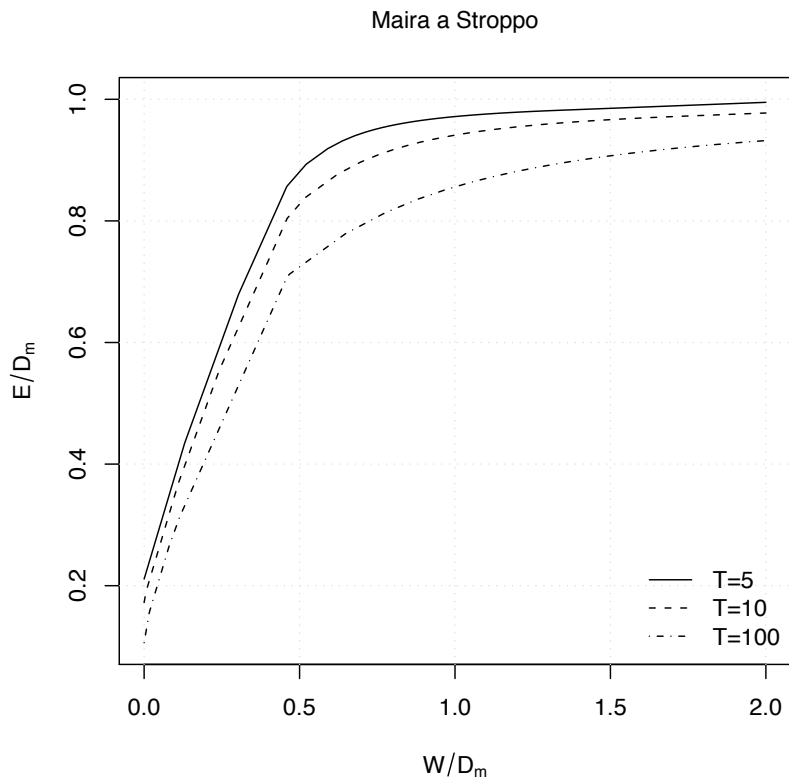
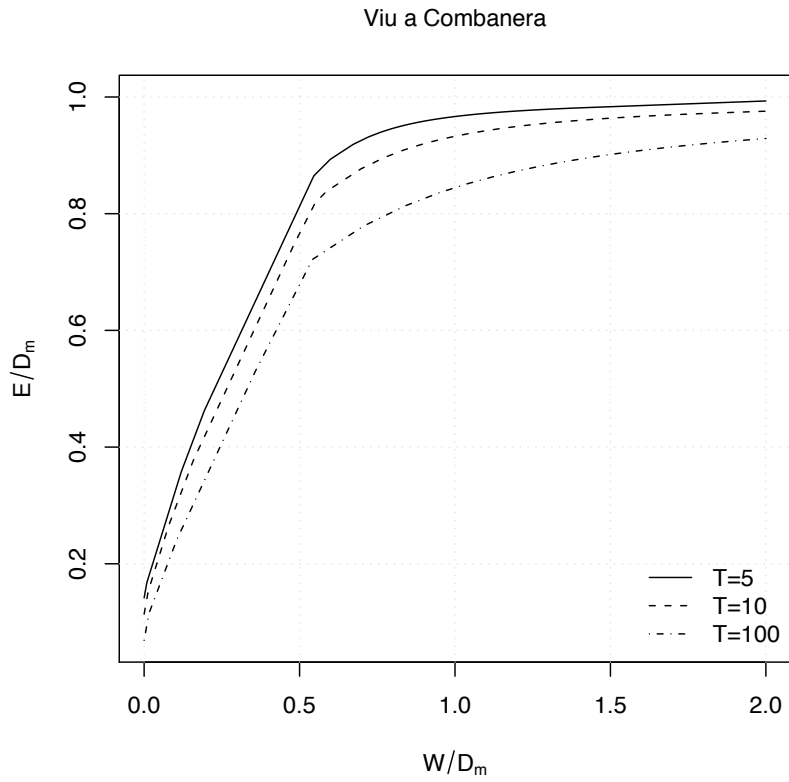


Figura F.35: Curve adimensionali di possibilità di regolazione per gli invasi in progetto (1/3).

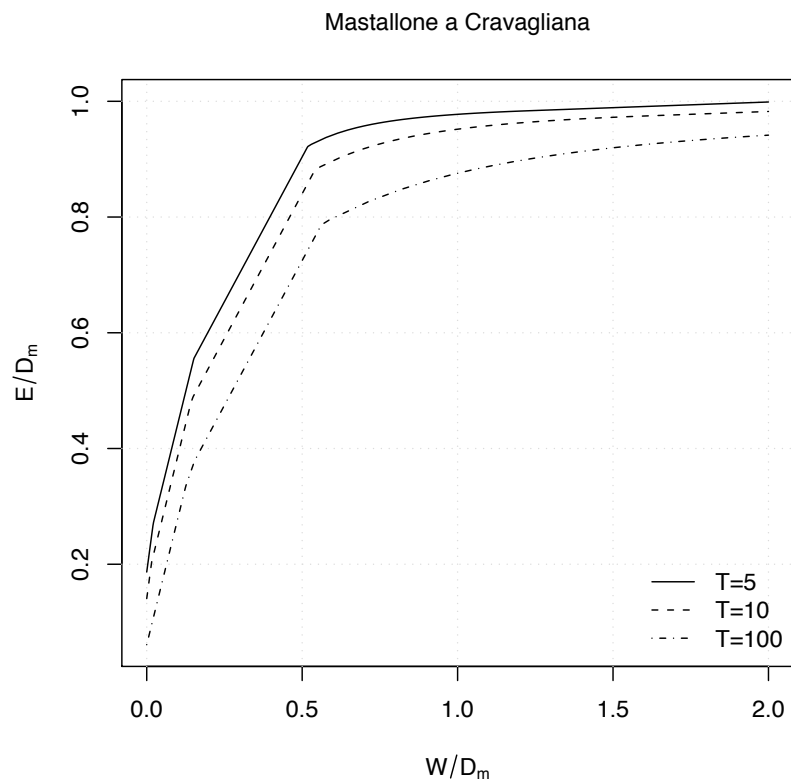
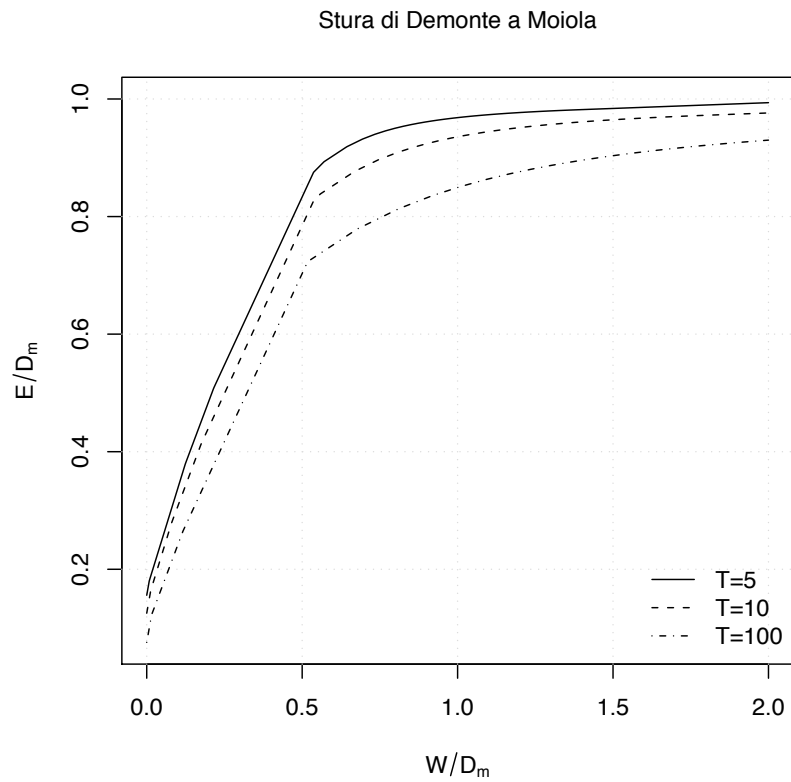


Figura F.35: Curve adimensionali di possibilità di regolazione per gli involucri in progetto (2/3).

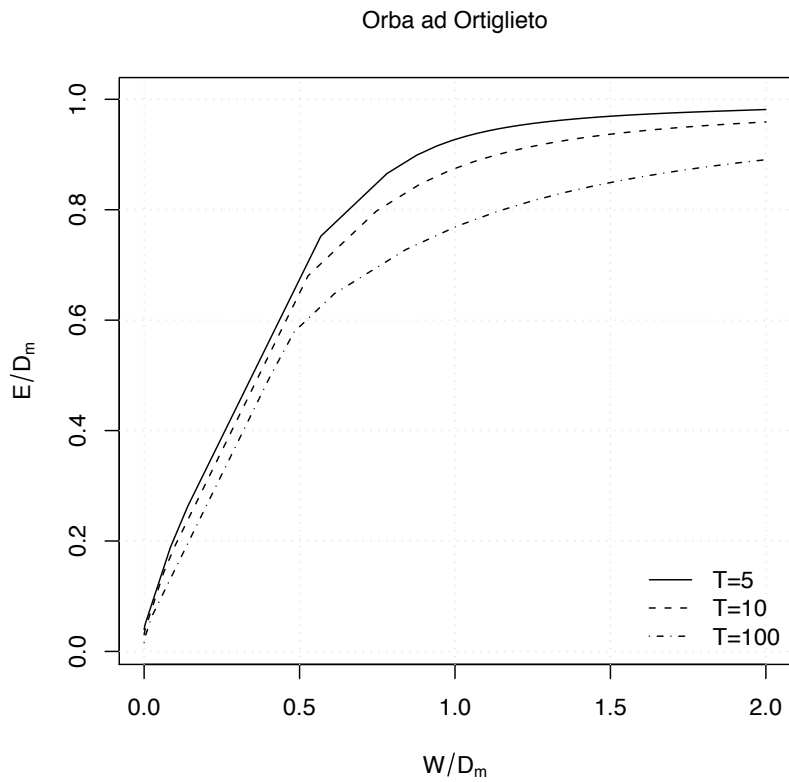
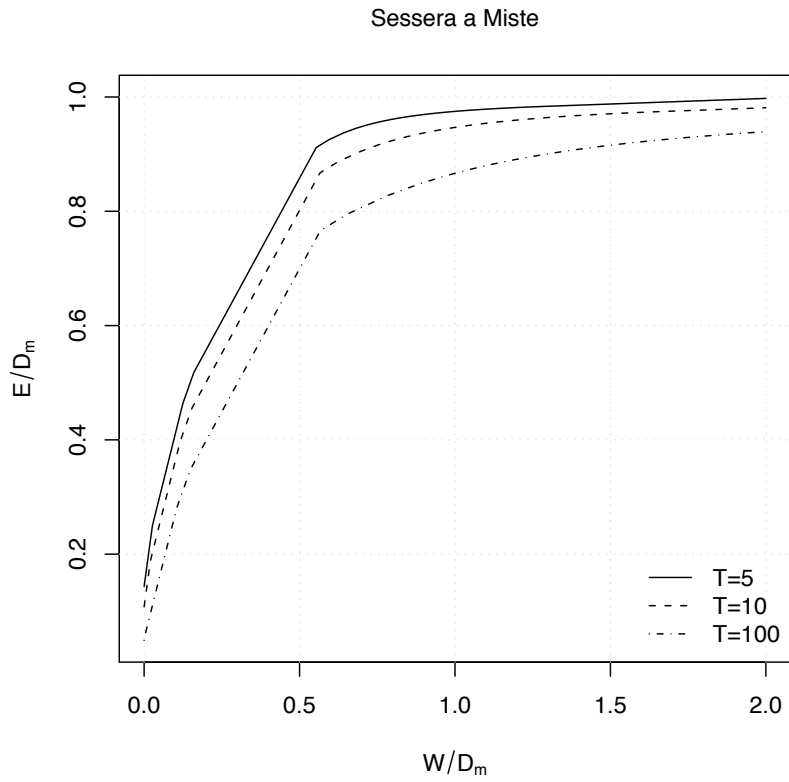


Figura F.35: Curve adimensionali di possibilità di regolazione per gli invasi in progetto (3/3).

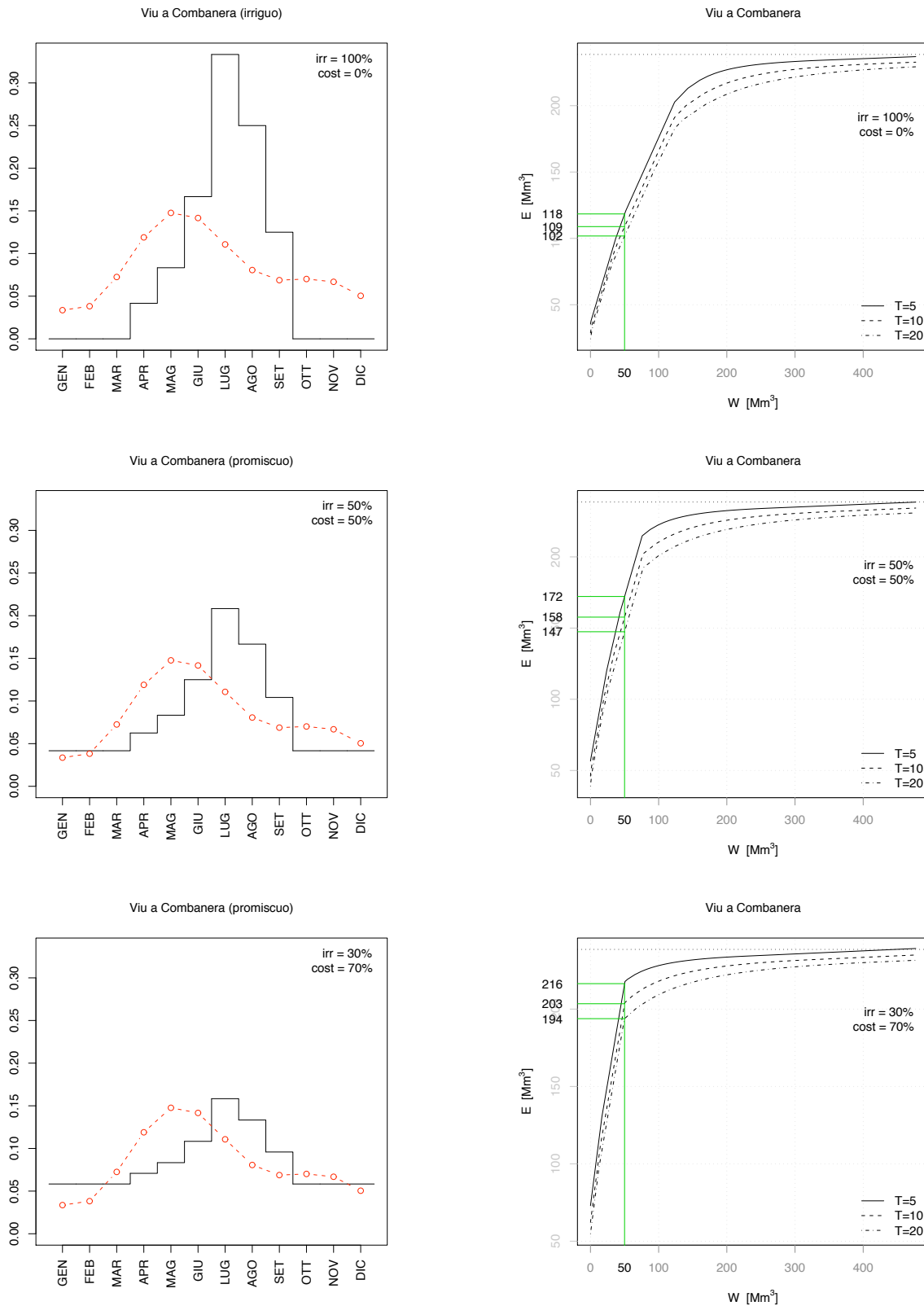


Figura F.36: Curve di possibilità di regolazione dell'invaso di Viù corrispondenti a tre tempi di ritorno ($T = 5, 10$ e 100 anni) per 3 ipotesi di utilizzo: utilizzo irriguo, 50% irriguo e 50% costante, 30% irriguo e 70% costante. Sono stati indicati i valori di erogazione annua corrispondente ai volumi di invaso ipotizzati, per i tre diversi tempi di ritorno.

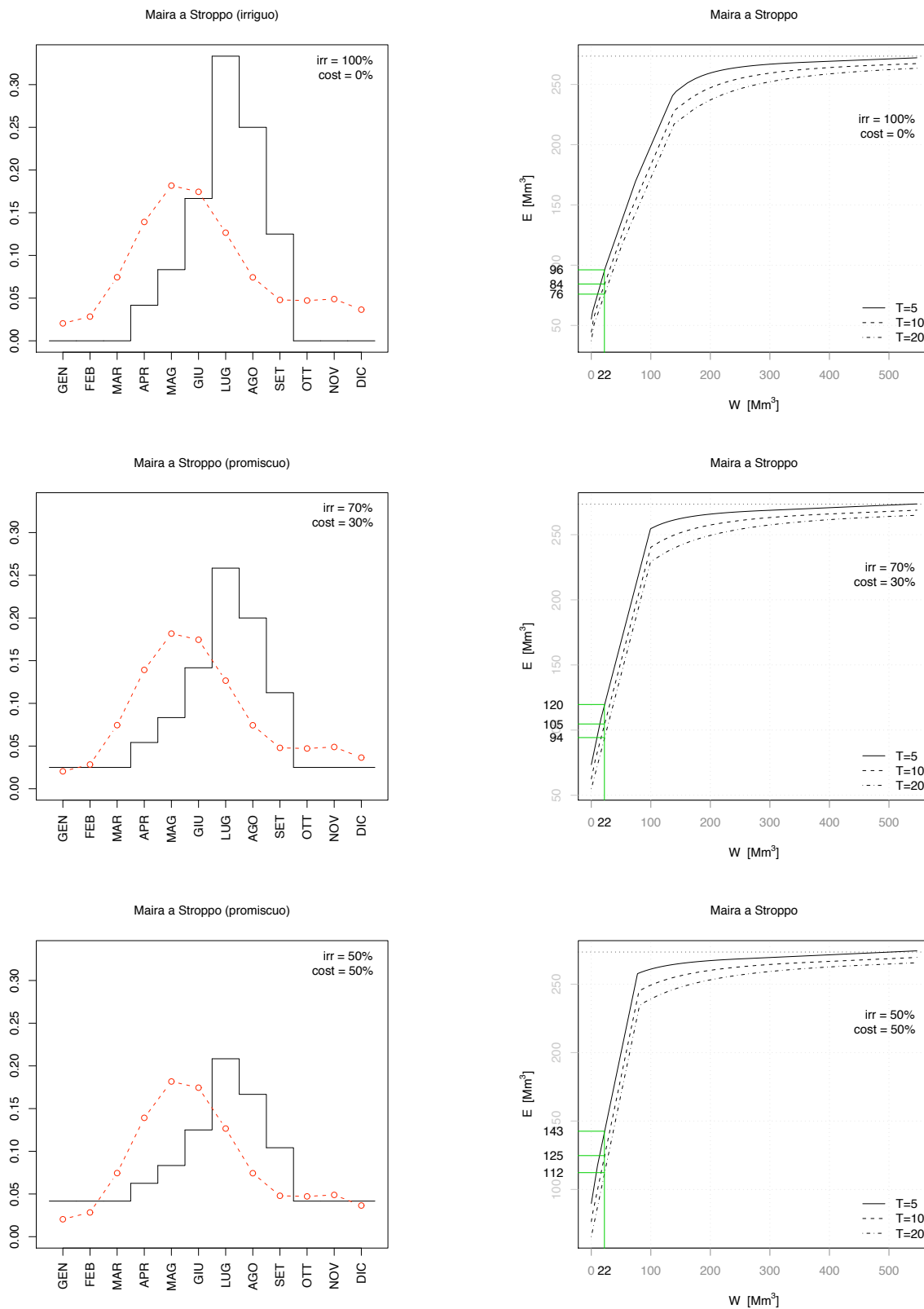


Figura F.37: Curve di possibilità di regolazione dell’invaso di Stroppo corrispondenti a tre tempi di ritorno ($T = 5, 10$ e 100 anni) per 3 ipotesi di utilizzo: utilizzo irriguo, 70% irriguo e 30% costante, 50% irriguo e 50% costante. Sono stati indicati i valori di erogazione annua corrispondente ai volumi di invaso ipotizzati, per i tre diversi tempi di ritorno.

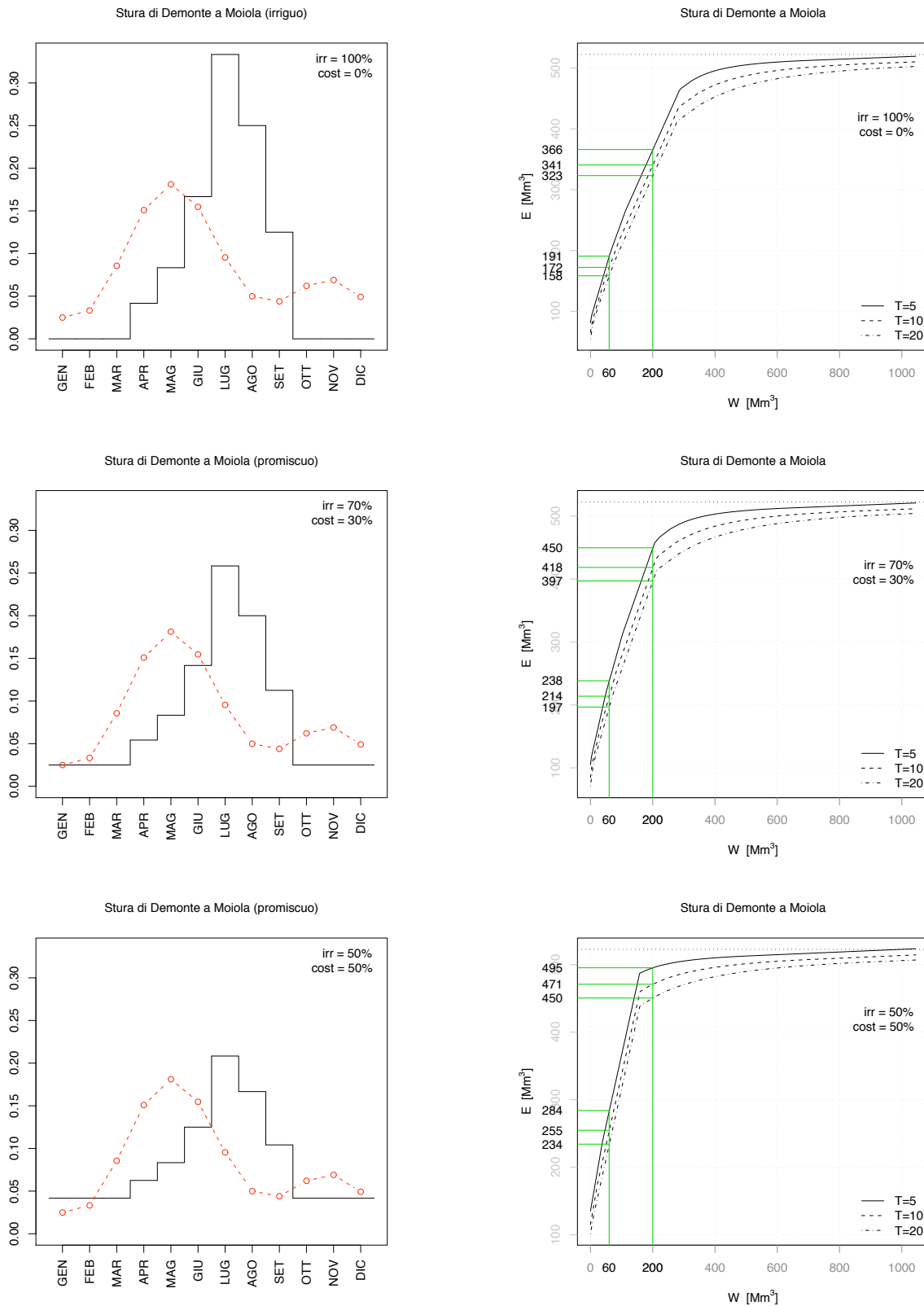


Figura F.38: Curve di possibilità di regolazione dell'invaso di Moiola corrispondenti a tre tempi di ritorno ($T = 5, 10$ e 100 anni) per 3 ipotesi di utilizzo: utilizzo irriguo, 70% irriguo e 30% costante, 50% irriguo e 50% costante. Sono stati indicati i valori di erogazione annua corrispondente ai volumi di invaso ipotizzati, per i tre diversi tempi di ritorno.

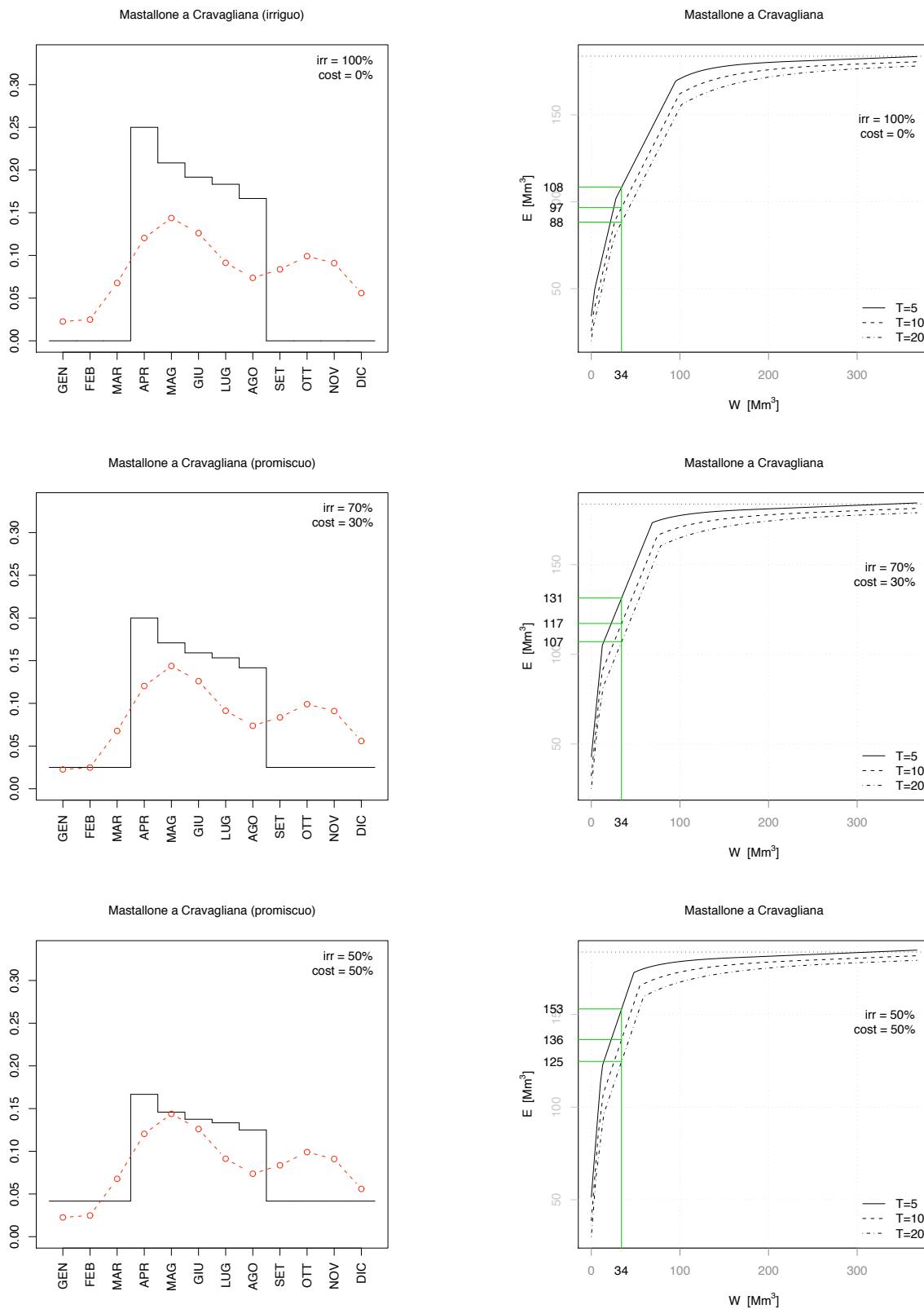


Figura F.39: Curve di possibilità di regolazione dell’invaso di Cravagliana corrispondenti a tre tempi di ritorno ($T = 5, 10$ e 100 anni) per 3 ipotesi di utilizzo: utilizzo irriguo, 70% irriguo e 30% costante, 50% irriguo e 50% costante. Sono stati indicati i valori di erogazione annua corrispondente ai volumi di vasca ipotizzati, per i tre diversi tempi di ritorno.

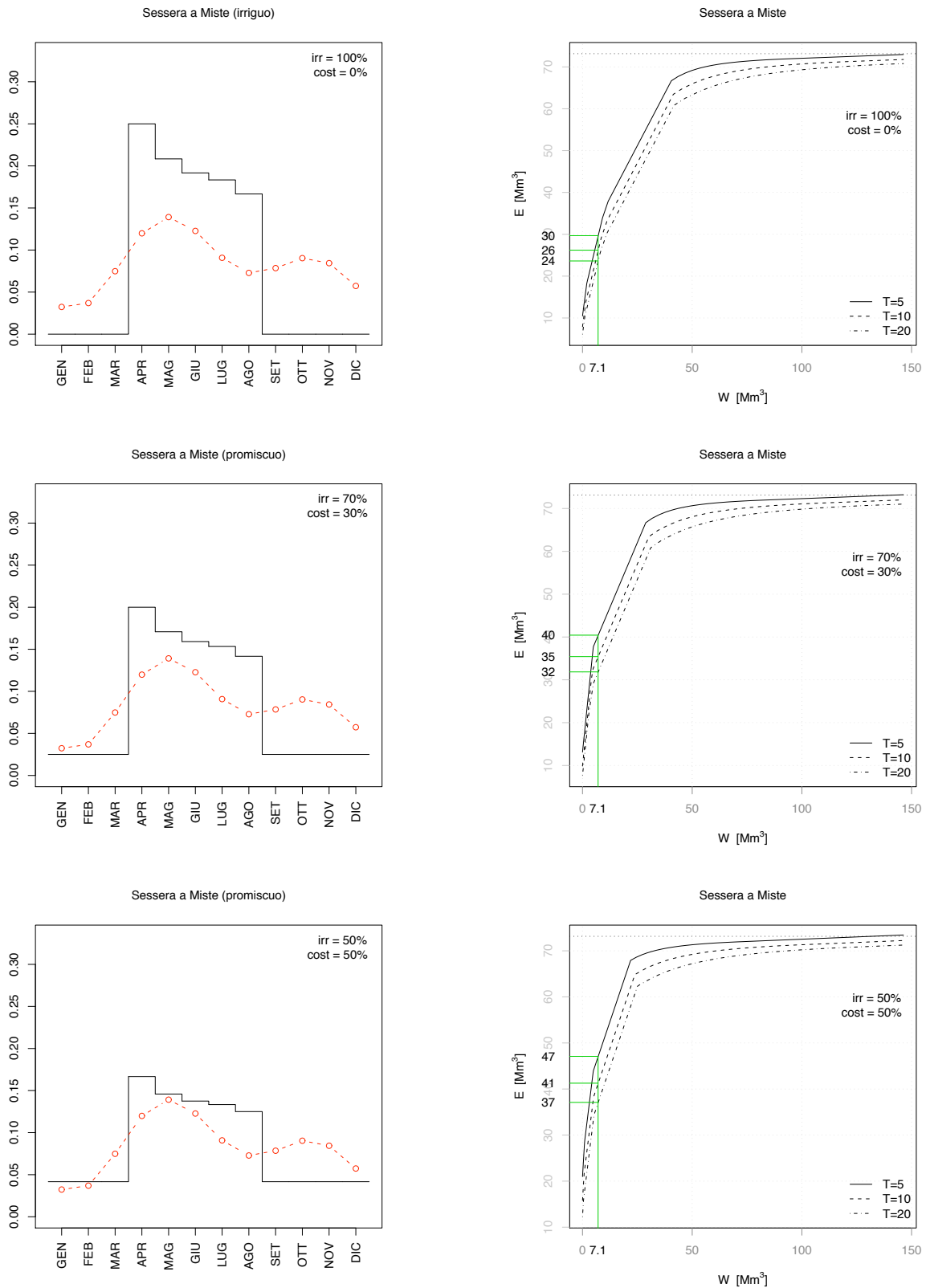


Figura F.40: Curve di possibilità di regolazione dell'invaso di Miste corrispondenti a tre tempi di ritorno ($T = 5, 10$ e 100 anni) per 3 ipotesi di utilizzo: utilizzo irriguo, 70% irriguo e 30% costante, 50% irriguo e 50% costante. Sono stati indicati i valori di erogazione annua corrispondente ai volumi di invaso ipotizzati, per i tre diversi tempi di ritorno.

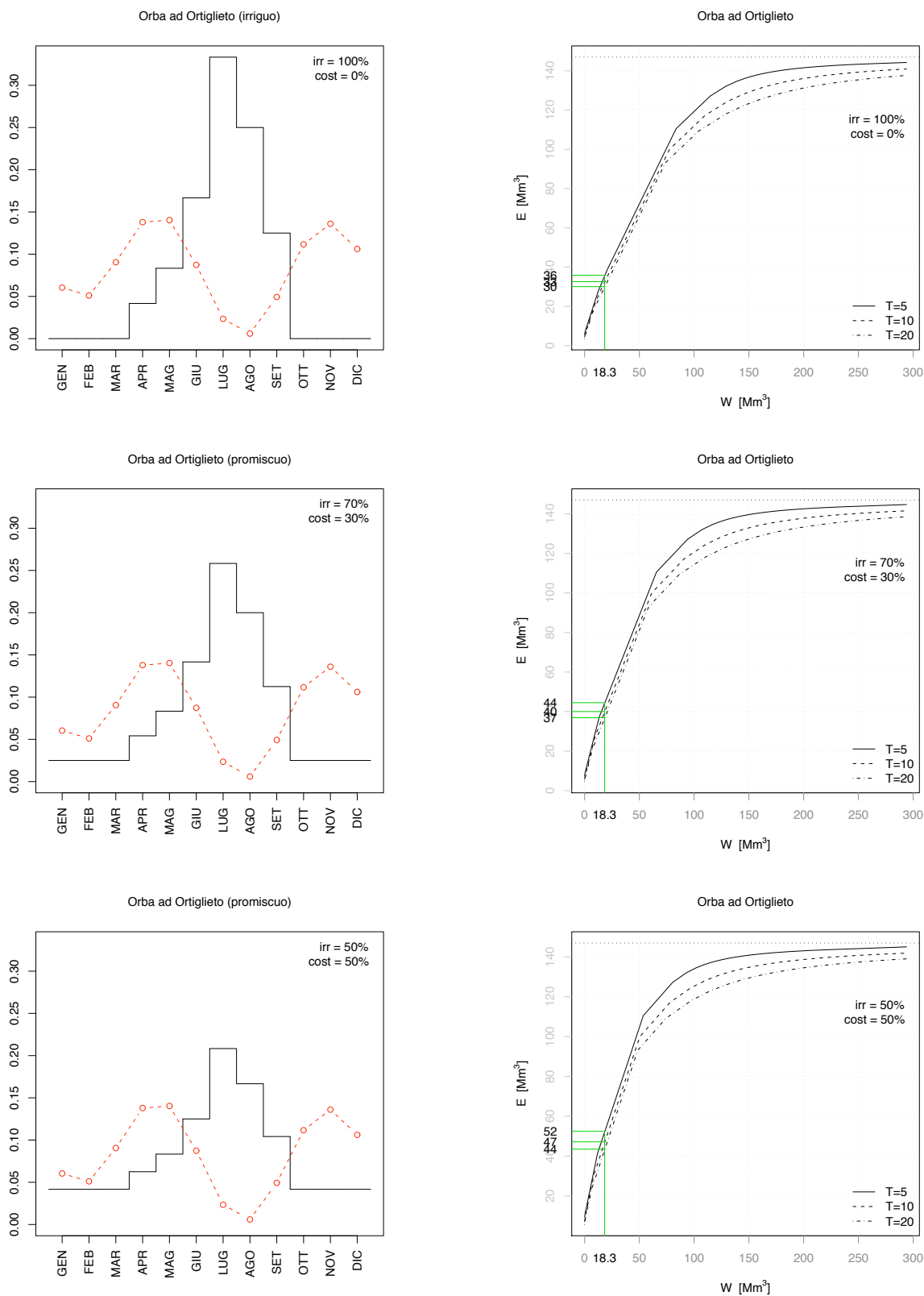


Figura F.41: Curve di possibilità di regolazione dell’invaso di Ortiglieto corrispondenti a tre tempi di ritorno ($T = 5, 10$ e 100 anni) per 3 ipotesi di utilizzo: utilizzo irriguo, 70% irriguo e 30% costante, 50% irriguo e 50% costante. Sono stati indicati i valori di erogazione annua corrispondente ai volumi di invaso ipotizzati, per i tre diversi tempi di ritorno.